

本資料のうち、枠囲みの内容は商業機密の観点や防護上の観点から公開できません。

女川原子力発電所第2号機 工事計画審査資料

資料番号	02-補-E-19-0610-20_改 11
提出年月日	2021年 7月 14日

補足－610－20 【屋外重要土木構造物の耐震安全性評価について】

## 目 次

### 資料 1 屋外重要土木構造物の耐震安全性評価について

1. 対象設備
2. 屋外重要土木構造物等の要求機能と要求機能に対する耐震評価内容
3. 安全係数
4. 屋外重要土木構造物等の耐震評価における断面選定及び解析手法選定
  - 4.1 断面選定の方針
  - 4.2 各施設の構造上の特徴と断面選定の方針の整理
  - 4.3 解析手法選定の方針
  - 4.4 軽油タンク連絡ダクト
  - 4.5 排気筒連絡ダクト
  - 4.6 原子炉機器冷却海水配管ダクト
  - 4.7 取水路（漸拡部）
  - 4.8 軽油タンク室
  - 4.9 軽油タンク室（H）
  - 4.10 海水ポンプ室
  - 4.11 取水口、貯留堰
  - 4.12 取水路（標準部）
  - 4.13 復水貯蔵タンク基礎
  - 4.14 ガスタービン発電設備軽油タンク室
  - 4.15 第3号機海水ポンプ室
5. 地盤物性及び材料物性のばらつきの考慮方法
6. 許容限界
7. ジョイント要素のばね設定
8. 隣接構造物のモデル化方針
9. 地震応答解析における構造物の減衰定数
10. 屋外重要土木構造物等の耐震評価における追加解析ケースの選定
11. 等価剛性モデルの設定方針

### 資料 2 軽油タンク連絡ダクトの耐震安全性評価

資料 3 排気筒連絡ダクトの耐震安全性評価

資料 4 原子炉機器冷却海水配管ダクト（水平部）の耐震安全性評価

資料 5 原子炉機器冷却海水配管ダクト（鉛直部）の耐震安全性評価

資料 6 取水路（漸拡部）の耐震安全性評価

資料 7 軽油タンク室の耐震安全性評価

資料 8 軽油タンク室（H）の耐震安全性評価

資料 9 海水ポンプ室の耐震安全性評価

資料 10 取水口、貯留堰の耐震安全性評価

資料 11 取水路（標準部）の耐震安全性評価

資料 12 復水貯蔵タンク基礎の耐震安全性評価

資料 13 ガスタービン発電設備軽油タンク室の耐震安全性評価

資料 14 第 3 号機海水ポンプ室の耐震安全性評価



：本日の説明範囲

# 屋外重要土木構造物の耐震安全性評価についての参考資料

- 参考資料 1 O.P. 14. 8m盤に分布する盛土・旧表土の液状化特性
- 参考資料 2 地中構造物の耐震性に支配的な要因の検討
- 参考資料 3 地震応答解析による断面選定の確認
- 参考資料 4 断層交差部の影響評価
- 参考資料 5 新設する構造物のコンクリートの圧縮強度の設定
- 参考資料 6 後施工せん断補強工法の適用性
- 参考資料 7 地中構造物への鉛直地震動の位相が与える影響
- 参考資料 8 等価剛性モデルにおける鉛直方向床応答への影響
- 参考資料 9 解析手法の選定（④全応力解析）の補足確認結果
- 参考資料 10 追加解析ケースの詳細に選定方法の詳細について
- 参考資料 11 女川原子力発電所における地盤の振動特性について



：本日の説明範囲

## 5. 地盤物性及び材料物性のばらつきの考慮方法

屋外重要土木構造物等の耐震安全性評価においては、地盤物性及び材料物性のばらつきを適切に考慮する必要がある。本章では、「4.3 解析手法選定の方針」に基づき選定された解析手法（基本ケース）における地盤物性及び材料物性のばらつきの考慮方法について記載する。なお、液状化強度特性については下限値を設定しており、最も液状化の影響が大きい物性を採用していることから、液状化強度特性のばらつきは考慮しない。

### 5.1 耐震安全性評価における解析ケース

#### (1) 地盤物性のばらつきを考慮する地盤（パターン 1, 2）

屋外重要土木構造物等の地震時の応答は、構造物と周辺地盤の相互作用によるところから、地盤物性のばらつきの影響を評価するに当たっては、解析モデルに分布する地盤のうち、主に構造物の応答に支配的となる地盤を選定することとし、構造物周辺の地盤状況に応じて、以下に示す 2 パターンとする。各パターンの参考例を図 5.1-1 及び図 5.1-2 に示す。

- ・パターン 1：評価対象構造物周辺に主として旧表土、盛土、 $D$  級岩盤、セメント改良土及び改良地盤といった、動的変形特性にひずみ依存性がある地盤が分布し、これらの地盤が地震時に構造物への応答に大きく影響を与えると判断される場合は、これらの物性のばらつきについて影響を確認する。

（例：開削工法により構築し、上記地盤によって埋め戻された線状構造物又は箱形構造物）

- ・パターン 2：評価対象構造物周辺に主として、 $C_L$  級岩盤、 $C_M$  級岩盤、 $C_H$  級岩盤及び  $B$  級岩盤が分布し、これらの地盤が地震時に構造物への応答に大きく影響を与えると判断される場合は、これらの物性のばらつきについて影響を確認する。

（例：トンネル工法により構築された岩盤トンネル）

#### (2) 選定された解析手法と基本ケース（ケース①、ケース⑥）

「4.3 解析手法選定の方針」に基づき周辺地盤の液状化や浮上りの影響を考慮し、基本ケースとする解析手法は、a) 全応力解析の場合、b) 有効応力解析の場合、c) 全応力解析及び有効応力解析の場合に分けられる。

表 5.1-1 耐震安全性評価における基本ケース

解析手法の選定フロー	基本ケース	ばらつきを考慮した解析ケース
①全応力解析	ケース①	表 5.1-2(1), (2)
②全応力解析	ケース①	表 5.1-2(1), (2)
③有効応力解析	ケース⑥	表 5.1-3
④全応力解析	ケース①	表 5.1-2(1), (2)
⑤全応力解析及び有効応力解析	ケース①及びケース⑥	表 5.1-4

(3) 地盤物性のばらつきを考慮した解析ケース（ケース②～③及びケース⑦～⑧）

屋外重要土木構造物等は、主に地中に埋設された鉄筋コンクリート構造物であり、構造物の耐震性に支配的な損傷モードは地盤のせん断変形を伴う構造部材の曲げ・軸力系の破壊及びせん断破壊となる。そのため、ばらつきを考慮する物性値は地盤のせん断変形を定義するせん断弾性係数とし、平均値±1.0×標準偏差( $\sigma$ )のケースについて確認を行う。

具体的な解析ケースについて、全応力解析を基本ケース（ケース①）とする場合を表 5.1-2、有効応力解析を基本ケース（ケース⑥）とする場合を表 5.1-3、全応力解析及び有効応力解析を基本ケース（ケース①及びケース⑥）とする場合を表 5.1-4 にそれぞれ示す。

ばらつきの設定方法の詳細は、「補足-600-1 地盤の支持性能について」に示す。

(4) 材料物性のばらつきを考慮した解析ケース（ケース④, ⑤）

材料物性のばらつきについては、剛性を定義するコンクリートのヤング係数が、コンクリートの設計基準強度に対応して定まるることを踏まえ、コンクリートの設計基準強度を基本ケースとし、ヤング係数をコンクリートの実強度に対応して定めたケースについて確認を行う（表 5.1-2～表 5.1-4 に示すケース④又はケース⑨）。

屋外重要土木構造物等の耐震性に支配的な要因である土圧は、構造物と周囲の地盤の剛性差により生じることから、構造物の剛性が低下し、地盤との剛性差が小さくなることは、耐震裕度が向上することとなる。したがって、屋外重要土木構造物等のコンクリートは設計基準強度に対応する剛性を基本とし、ばらつきの考慮としては、土圧が大きく評価されるようコンクリートの実強度に対応する剛性について確認を行う。なお、屋外重要土木構造物等は、屋外かつ湿潤した地盤に接して地中に埋設されていることから、建物と異なり乾燥する環境にはなく、点検においても温度応力に伴う外的拘束によるひび割れはあるものの、乾燥収縮による有害なひび割れは確認されておらず、コンクリートの剛性低下は顕在化していない。

一方、機器・配管系の耐震評価においては、建物・構築物で考慮しているコンクリートの初期剛性低下を考慮したケースについて影響を確認する（表 5.1-2～表

5.1-4 に示すケース⑤)。

新設の構造物については許容応力度法による設計を行うなど、裕度を確保した設計とすることから、材料物性のばらつきを考慮した構造解析は実施しないが、機器・配管系の耐震評価においては、文献\*を参照し、JASS 5N の方法により推定される圧縮強度又は日本原子力学会標準の方法により推定される圧縮強度（設計基準強度の 1.4 倍）を比較し、保守的な配慮として圧縮強度が大きい方の値を採用し、対応するヤング係数を用いて地震応答解析を行い評価する。

JASS 5N の方法により推定される調合強度は、算定式の違い（以下に示す「式 1-(1)」及び「式 1-(2)」）から 2 つの値が得られるが、圧縮強度の推定値は大きい方の値とする。

$$F \geq F_m + 1.73 \sigma \quad \text{式 1-(1)}$$

$$F \geq 0.85 F_m + 3 \sigma \quad \text{式 1-(2)}$$

ここに  $F$  : コンクリートの調合強度 ( $N/mm^2$ )

$F_m$  : コンクリートの調合管理強度 ( $N/mm^2$ )

$\sigma$  : 構造体コンクリートの強度管理用供試体の圧縮強度の標準偏差 ( $N/mm^2$ )

注記\* : 建築工事標準仕様書・同解説 JASS 5N 原子力発電所における鉄筋コンクリート工事（日本建築学会、2013）（以下「JASS 5N」という。）又は日本原子力学会標準 原子力発電所に対する地震を起因とした確率論的リスク評価に関する実施基準（日本原子力学会、2015）（以下「日本原子力学会標準」という。）より推定した圧縮強度（詳細は、「参考資料 5 新設する構造物のコンクリートの圧縮強度の設定」に示す。）

表 5.1-2(1) 全応力解析を基本ケースとする解析ケース (パターン 1)  
(パターン 1: 構造物周辺に旧表土、盛土、D級岩盤等が分布する場合)

解析ケース	解析手法	材料物性 (コンクリート) ( $E_0$ : ヤング係数)	地盤物性	
			旧表土、盛土、D級岩盤、 セメント改良土、改良地盤 ( $G_0$ : 初期せん断弾性係数)	C <sub>L</sub> 級岩盤、C <sub>M</sub> 級岩盤、 C <sub>H</sub> 級岩盤、B級岩盤 ( $G_d$ : 動せん断弾性係数)
ケース① (基本ケース)	全応力解析	設計基準強度	平均値	平均値
ケース②	全応力解析	設計基準強度	平均値 + 1 σ	平均値
ケース③	全応力解析	設計基準強度	平均値 - 1 σ	平均値
ケース④	全応力解析	実強度に基づく 圧縮強度 <sup>*1</sup>	平均値	平均値
ケース⑤ <sup>*2</sup>	全応力解析	初期剛性低下考慮	平均値	平均値

注記\*1: 既設構造物のコア採取による圧縮強度試験の結果を使用する。なお、新設構造物については、文献を参照し推定した圧縮強度とする。

\*2: 機器・配管系の耐震安全性評価で影響を確認する。

表 5.1-2(2) 全応力解析を基本ケースとする解析ケース (パターン 2)  
(パターン 2: 構造物周辺に C<sub>L</sub>級岩盤～B級岩盤が分布する場合)

解析ケース	解析手法	材料物性 (コンクリート) ( $E_0$ : ヤング係数)	地盤物性	
			旧表土、盛土、D級岩盤、 セメント改良土、改良地盤 ( $G_0$ : 初期せん断弾性係数)	C <sub>L</sub> 級岩盤、C <sub>M</sub> 級岩盤、 C <sub>H</sub> 級岩盤、B級岩盤 ( $G_d$ : 動せん断弾性係数)
ケース① (基本ケース)	全応力解析	設計基準強度	平均値	平均値
ケース②	全応力解析	設計基準強度	平均値	平均値 + 1 σ
ケース③	全応力解析	設計基準強度	平均値	平均値 - 1 σ
ケース④	全応力解析	実強度に基づく 圧縮強度 <sup>*1</sup>	平均値	平均値
ケース⑤ <sup>*2</sup>	全応力解析	初期剛性低下考慮	平均値	平均値

注記\*1: 既設構造物のコア採取による圧縮強度試験の結果を使用する。

\*2: 機器・配管系の耐震安全性評価で影響を確認する。

表 5.1-3 有効応力解析を基本ケースとする解析ケース（パターン1）  
 （パターン1：構造物周辺に旧表土、盛土、D級岩盤等が分布する場合）

解析ケース	解析手法	材料物性 (コンクリート) ( $E_0$ : ヤング係数)	地盤物性	
			旧表土、盛土、D級岩盤、 セメント改良土、改良地盤 ( $G_0$ : 初期せん断弾性係数)	C <sub>L</sub> 級岩盤、C <sub>M</sub> 級岩盤、 C <sub>H</sub> 級岩盤、B級岩盤 ( $G_d$ : 動せん断弾性係数)
ケース⑥ (基本ケース)	有効応力解析	設計基準強度	平均値	平均値
ケース⑦	有効応力解析	設計基準強度	平均値 + 1 σ	平均値
ケース⑧	有効応力解析	設計基準強度	平均値 - 1 σ	平均値
ケース⑨	有効応力解析	実強度に基づく 圧縮強度*	平均値	平均値

注記\*：既設構造物のコア採取による圧縮強度試験の結果を使用する。なお、新設構造物については、文献を参照し推定した圧縮強度とする。

表 5.1-4 全応力解析及び有効応力解析を基本ケースとする解析ケース（パターン1）  
 （パターン1：構造物周辺に旧表土、盛土、D級岩盤等が分布する場合）

解析ケース	解析手法	材料物性 (コンクリート) ( $E_0$ : ヤング係数)	地盤物性	
			旧表土、盛土、D級岩盤、 セメント改良土、改良地盤 ( $G_0$ : 初期せん断弾性係数)	C <sub>L</sub> 級岩盤、C <sub>M</sub> 級岩盤、 C <sub>H</sub> 級岩盤、B級岩盤 ( $G_d$ : 動せん断弾性係数)
ケース① (基本ケース)	全応力解析	設計基準強度	平均値	平均値
ケース②	全応力解析	設計基準強度	平均値 + 1 σ	平均値
ケース③	全応力解析	設計基準強度	平均値 - 1 σ	平均値
ケース④* <sup>2</sup>	全応力解析	実強度に基づく 圧縮強度* <sup>1</sup>	平均値	平均値
ケース⑤* <sup>3</sup>	全応力解析	初期剛性低下考慮	平均値	平均値
ケース⑥ (基本ケース)	有効応力解析	設計基準強度	平均値	平均値
ケース⑦	有効応力解析	設計基準強度	平均値 + 1 σ	平均値
ケース⑧	有効応力解析	設計基準強度	平均値 - 1 σ	平均値
ケース⑨* <sup>2</sup>	有効応力解析	実強度に基づく 圧縮強度* <sup>1</sup>	平均値	平均値

注記\*1：既設構造物のコア採取による圧縮強度試験の結果を使用する。なお、新設構造物については、文献を参照し推定した圧縮強度とする。

\*2：基本ケース（ケース①及び⑥）を実施し、曲げ・軸力系の破壊、せん断破壊及び基礎地盤の支持力照査における照査値の最大値を比較し、最大照査値を示す解析手法において、実強度を考慮した解析ケース（ケース⑤又はケース⑨）を実施する。

\*3：機器・配管系の耐震安全性評価で影響を確認する。

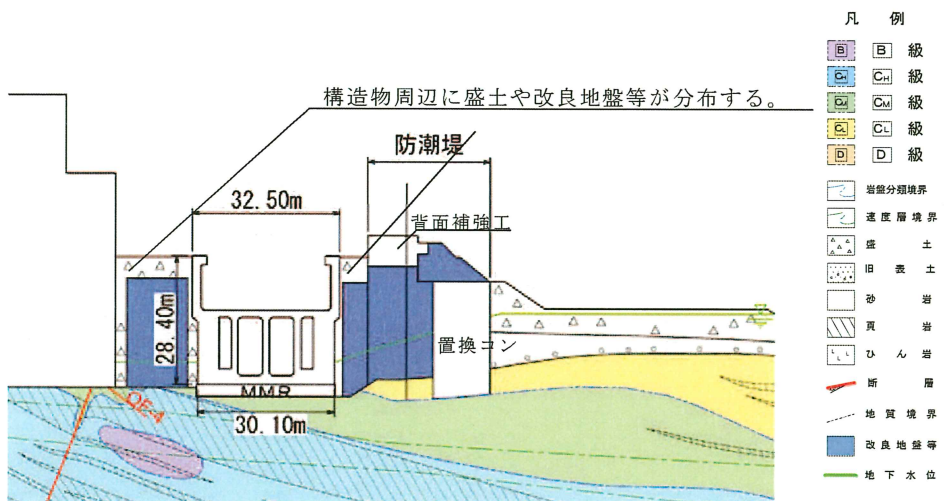


図 5.1-1 (参考例) パターン 1：海水ポンプ室の例

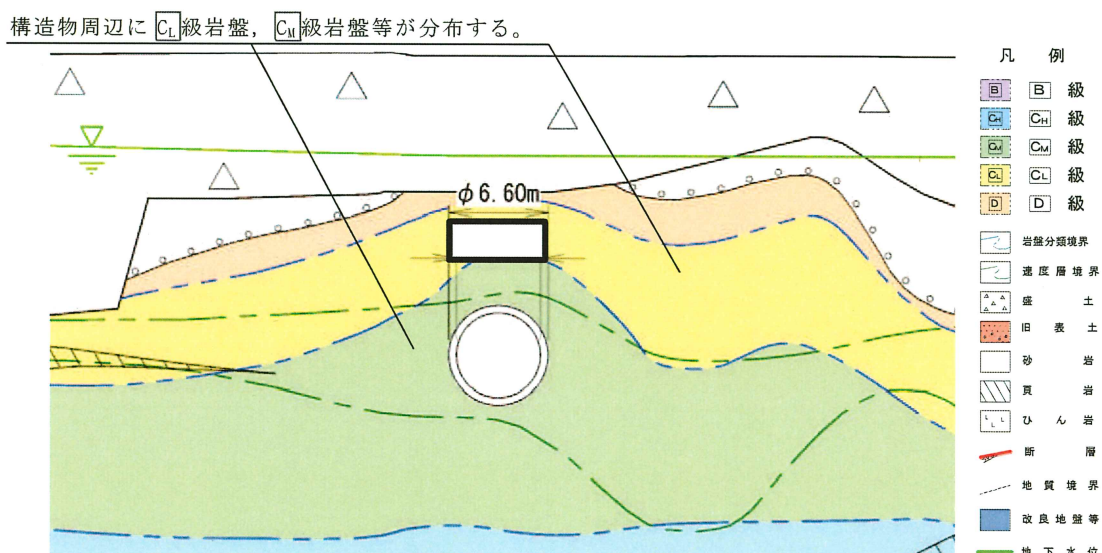


図 5.1-2 (参考例) パターン 2：排気筒連絡ダクト（岩盤部）の例

枠囲みの内容は防護上の観点から公開できません。

## 5.2 屋外重要土木構造物等の耐震安全性評価における解析ケースの組合せについて

屋外重要土木構造物等の耐震安全性評価においては、基準地震動 S s (7 波) 及びこれらに水平動の位相反転を考慮した地震動 (14 波) に対し、解析手法の選定結果に基づく基本ケースを実施する。具体的には、全応力解析の場合はケース①、有効応力解析の場合はケース⑥、全応力解析及び有効応力解析の場合はケース①及びケース⑥を実施する。**鉛直動の位相反転について、基礎地盤及び周辺斜面の安定性評価において位相反転が地盤の安定性に与える影響を考慮するために、スペクトル適合波については、鉛直動の位相反転を反転したケースを実施する。また、構造物が地上に突出している防潮堤及び防潮壁の耐震安全性評価についても、基礎地盤及び周辺斜面と同様に鉛直動の位相を反転したケースを実施する。屋外重要土木構造物等の耐震安全性評価については、地中に埋没された RC 構造物は「参考資料 7 地中構造物への鉛直地震動の位相が与える影響」に示すように、鉛直地震動は耐震性に顕著な影響を及ぼさないと判断されることから、鉛直地震動については、位相の反転を考慮しない。**

上記のケース①及びケース⑥において、曲げ・軸力系の破壊、せん断破壊及び基礎地盤の支持力照査の各照査項目ごとに照査値が 0.5 以上となる照査項目に対して、最も厳しい地震動\*を用いて、図 5.2-1 に示すケース②～④又はケース⑦及び⑧を実施する。

耐震安全性評価に対する解析ケースの組合せを図 5.2-1 及び表 5.2-1～3 に示す。

注記\*：各要求機能（支持機能、通水機能、貯水機能、止水機能）により許容限界は異なるが、各照査項目に対して、許容限界に対する余裕が最も小さくなる地震動を選定する。

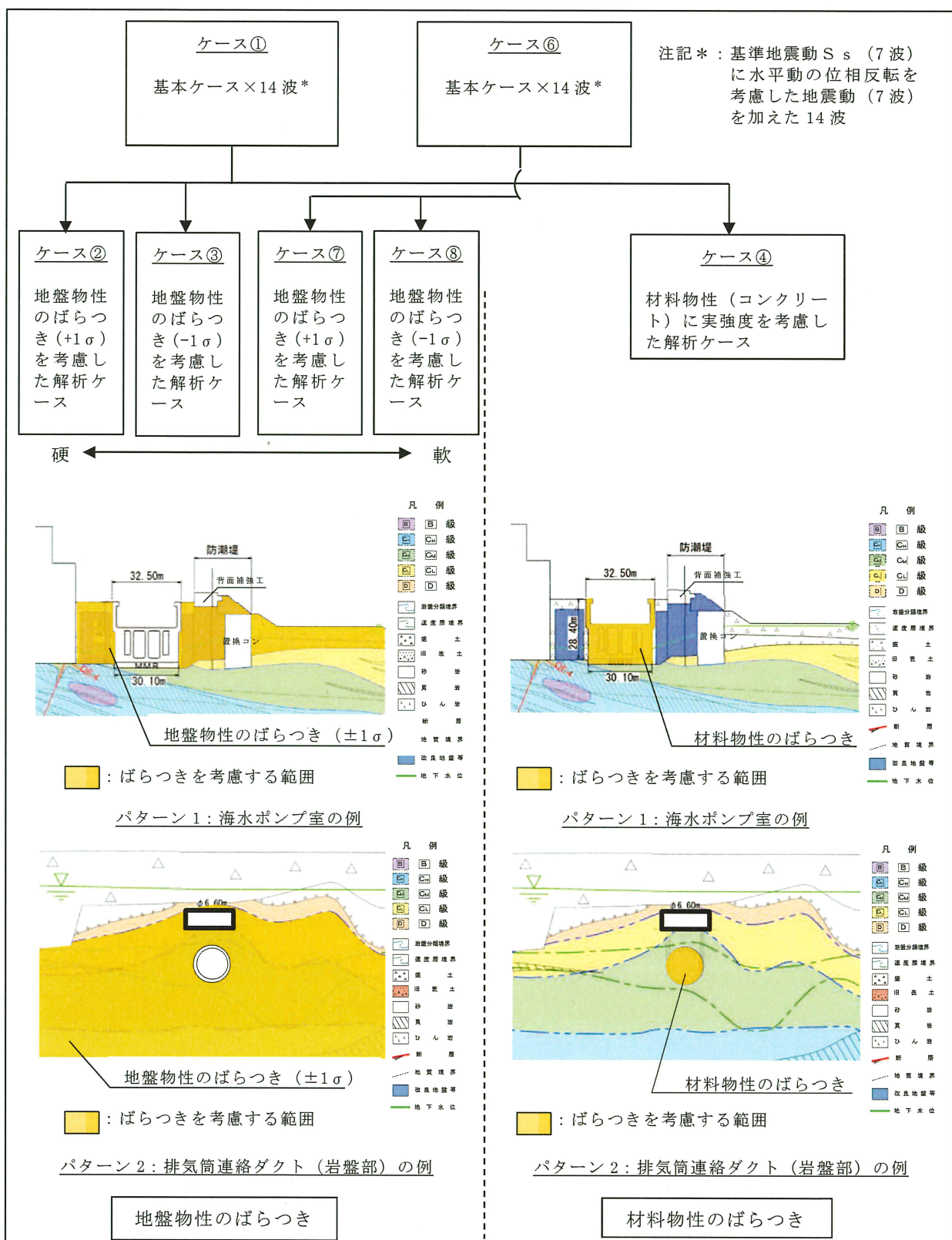


図 5.2-1 屋外重要土木構造物等の耐震安全性評価における解析ケース

枠囲みの内容は防護上の観点から公開できません。

表 5.2-1 屋外重要土木構造物等の耐震安全性評価における解析ケース（全応力解析）

解析ケース		全応力解析			
		ケース① 基本ケース	ケース② 地盤物性のばらつき (+1σ) を考慮した解析ケース	ケース③ 地盤物性のばらつき (-1σ) を考慮した解析ケース	ケース④ 材料物性（コンクリート）に実強度を考慮した解析ケース
地盤物性		平均値	平均値+1σ	平均値-1σ	平均値
材料物性		設計基準強度	設計基準強度	設計基準強度	実強度に基づく圧縮強度 <sup>*2</sup>
地震動（位相）	S s - D 1	++ * <sup>1</sup>	○		
		- + * <sup>1</sup>	○		
	S s - D 2	++ * <sup>1</sup>	○		
		- + * <sup>1</sup>	○		
	S s - D 3	++ * <sup>1</sup>	○		
		- + * <sup>1</sup>	○		
	S s - F 1	++ * <sup>1</sup>	○		
		- + * <sup>1</sup>	○		
	S s - F 2	++ * <sup>1</sup>	○		
		- + * <sup>1</sup>	○		
	S s - F 3	++ * <sup>1</sup>	○		
		- + * <sup>1</sup>	○		
	S s - N 1	++ * <sup>1</sup>	○		
		- + * <sup>1</sup>	○		

【追加解析ケースについて】  
 基準地震動 S s (7 波) に水平動の位相反転を考慮した地震動 (7 波) を加えた全 14 波に対し、全応力解析による基本ケース①を実施し、曲げ・軸力系の破壊、せん断破壊、基礎地盤の支持力照査の各照査項目ごとに照査値が 0.5 以上となる照査項目に対して、最も厳しい（許容限界に対する裕度が最も小さい）地震動を用いてケース②～④を実施する。  
 すべての照査項目の照査値がいずれも 0.5 未満の場合は、照査値が最も厳しくなる地震動を用いてケース②～④を実施する。  
 また、上記解析ケースの結果を踏まえ、更に照査値が大きくなる可能性がある場合は、追加解析ケースを実施する。

注記 \*1：耐震評価にあたっては、原子力発電所屋外重要土木構造物の耐震性能照査指針・マニュアル（土木学会 原子力土木委員会、2005 年 6 月）（以下「土木学会マニュアル」という。）に従い、水平方向の位相反転を考慮する。地震動の位相について、++ の左側は水平動、右側は鉛直動を表し、「-」は位相を反転させたケースを示す。

\*2：既設構造物のコア採取による圧縮強度試験の結果を使用する。

表 5.2-2 屋外重要土木構造物等の耐震安全性評価における解析ケース（有効応力解析）

解析ケース		有効応力解析			
		ケース⑥	ケース⑦	ケース⑧	ケース⑨
地震動 （位相）	基本ケース	地盤物性のはらつき (+1 σ) を考慮した解析ケース	地盤物性のはらつき (-1 σ) を考慮した解析ケース	材料物性(コンクリート)に実強度を考慮した解析ケース	
	地盤物性	平均値	平均値+1 σ	平均値-1 σ	平均値
	材料物性	設計基準強度	設計基準強度	設計基準強度	実強度に基づく圧縮強度 <sup>*2</sup>
	S s - D 1	++ * <sup>1</sup> - + * <sup>1</sup>	○ ○		
	S s - D 2	++ * <sup>1</sup> - + * <sup>1</sup>	○ ○		
	S s - D 3	++ * <sup>1</sup> - + * <sup>1</sup>	○ ○		
	S s - F 1	++ * <sup>1</sup> - + * <sup>1</sup>	○ ○		
	S s - F 2	++ * <sup>1</sup> - + * <sup>1</sup>	○ ○		
	S s - F 3	++ * <sup>1</sup> - + * <sup>1</sup>	○ ○		
	S s - N 1	++ * <sup>1</sup> - + * <sup>1</sup>	○ ○		

【追加解析ケースについて】  
 基準地震動 S s (7 波) に水平動の位相反転を考慮した地震動 (7 波) を加えた全 14 波に対し、有効応力解析を実施し、照査を行ったケース⑥の結果から、曲げ・軸力系の破壊、せん断破壊、基礎地盤の支持力照査の各照査項目ごとに照査値が 0.5 以上となる照査項目に対して、最も厳しい（許容限界に対する裕度が最も小さい）地震動を用いてケース⑦～⑨を実施する。  
 すべての照査項目の照査値がいずれも 0.5 未満の場合は、照査値が最も厳しくなる地震動を用いてケース⑦～⑨を実施する。  
 また、上記解析ケースの結果を踏まえ、更に照査値が大きくなる可能性がある場合は、追加解析ケースを実施する。

注記 \*1：耐震評価にあたっては、原子力発電所屋外重要土木構造物の耐震性能照査指針・マニュアル（土木学会 原子力土木委員会、2005 年 6 月）（以下「土木学会マニュアル」という。）に従い、水平方向の位相反転を考慮する。地震動の位相について、++ の左側は水平動、右側は鉛直動を表し、「-」は位相を反転させたケースを示す。

\*2：既設構造物のコア採取による圧縮強度試験の結果を使用する。

表 5.2-3 屋外重要土木構造物等の耐震安全性評価における解析ケース（全応力解析及び有効応力解析）

解析ケース	全応力解析				有効応力解析		地盤物性のばらつき(-1σ)を考慮した解析ケース
	ケース①	ケース②	ケース③	ケース④	ケース⑤	ケース⑦	
基本ケース	地盤物性のばらつき(+1σ)を考慮した解析ケース	地盤物性のばらつき(-1σ)を考慮した解析ケース	材料物性(コンクリート)に実強度を考慮した解析ケース	材料物性(コンクリート)に実強度を考慮した解析ケース	基本ケース	地盤物性のばらつき(+1σ)を考慮した解析ケース	地盤物性のばらつき(-1σ)を考慮した解析ケース
地盤物性	平均値	平均値+1σ	平均値-1σ	平均値	平均値	平均値+1σ	平均値-1σ
材料物性	設計基準強度	設計基準強度	設計基準強度	実強度に基づく圧縮強度*2	設計基準強度	設計基準強度	設計基準強度
S s - D 1	++*1 -+*1	○	○	○	○	○	○
S s - D 2	++*1 -+*1	○	○	○	○	○	○
S s - D 3	++*1 -+*1	○	○	○	○	○	○
S s - F 1	++*1 -+*1	○	○	○	○	○	○
S s - F 2	++*1 -+*1	○	○	○	○	○	○
S s - F 3	++*1 -+*1	○	○	○	○	○	○
S s - N 1	++*1 -+*1	○	○	○	○	○	○

注記\*1：耐震評価にあたっては、原子力発電所屋外重要土木構造物の耐震性能照査指針・マニュアル（土木学会 原子力土木委員会、2005年6月）（以下「-」は位相を反転させたケースを示す。）に従い、水平方向の位相反転を考慮する。地震動の位相による影響を考慮する。

\*2：既設構造物のコア採取による圧縮強度試験の結果を使用する。

### 5.3 機器・配管系の耐震安全性評価に適用する解析ケース

屋外重要土木構造物等に支持される機器・配管系の耐震安全性評価に適用する応答加速度及び応答変位の算定については、基準地震動  $S_s$  (7 波)、弹性設計用地震動  $S_d$  (7 波) 及びこれらに水平動の位相反転を考慮した地震動 (28 波) を用いて、図 5.3-1 に示す全応力解析のケース①～④及び有効応力解析のケース⑧を実施する。

屋外重要土木構造物等の耐震安全性評価においては、有効応力解析のケース⑥～⑧（地盤物性：標準、 $+ \sigma$ 、 $- \sigma$ ）を考慮するのに対して、機器・配管系の耐震安全性評価においてケース⑧（地盤物性： $- \sigma$ ）のみ考慮する理由は、有効応力解析による周辺地盤の液状化を考慮した床応答は、固有周期が長周期化することにより機器・配管系の固有周期帯への影響は小さいと考えられるため、地盤が硬い側（ケース②：全応力解析、地盤物性 $+ \sigma$ ）から地盤が軟らかい側（ケース⑧：有効応力解析、地盤物性 $- \sigma$ ）の床応答を設計に考慮したものである。

なお、全応力解析に対して材料物性に剛性低下を考慮したケース⑤についても基準地震動  $S_s$  (7 波) を用いて機器・配管系の耐震安全性評価への影響を確認する。

機器・配管系の耐震安全性評価に適用するケースの組合せを図 5.3-1 及び表 5.3-1 に示す。

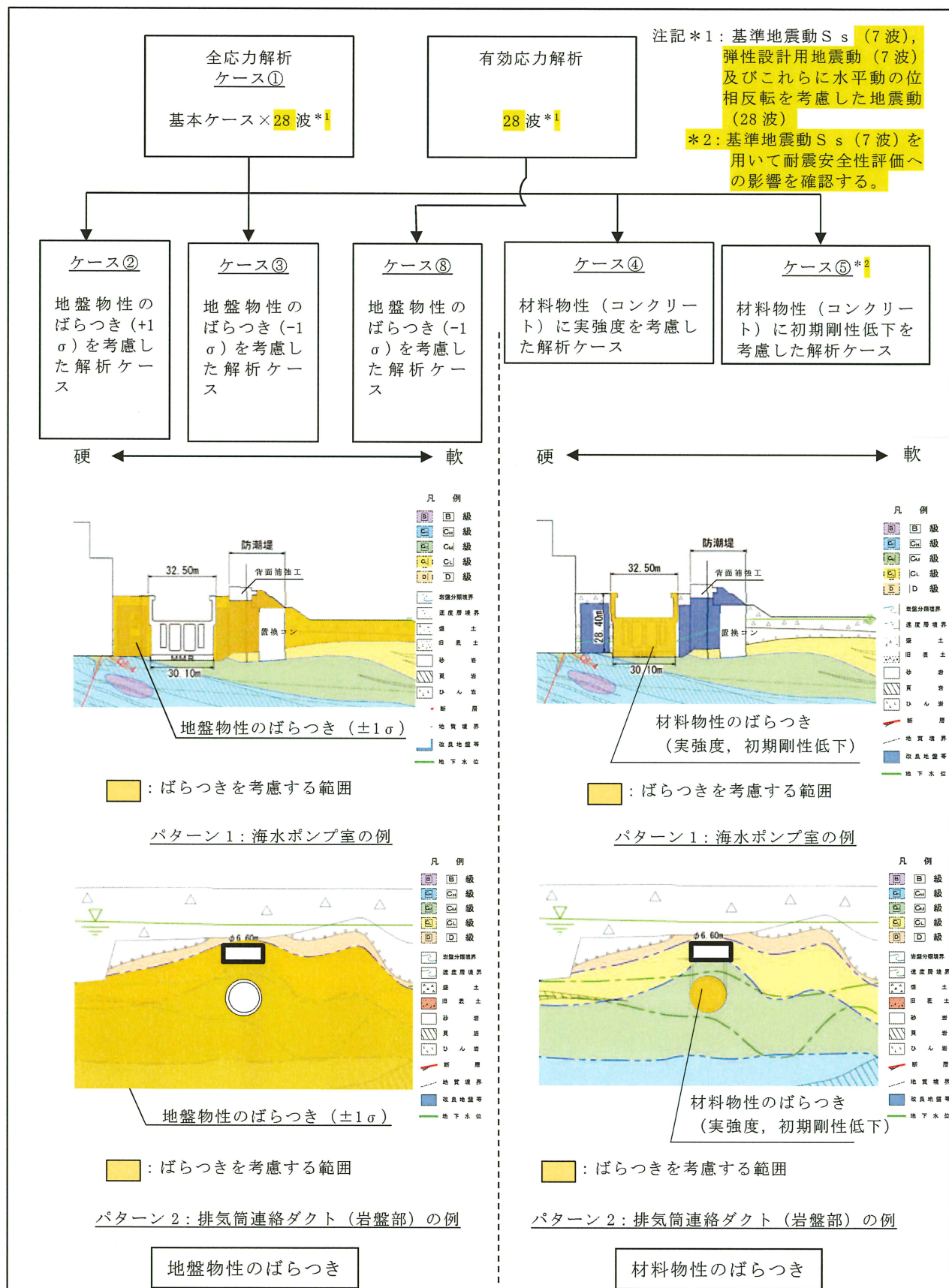


図 5.3-1 機器・配管系の耐震安全性評価に適用する解析ケース

枠囲みの内容は防護上の観点から公開できません。

表 5.3-1 (1) 機器・配管系の耐震安全性評価に適用する解析ケース（基準地震動 S s）

		全応力解析					有効応力解析	
		ケース①	ケース②	ケース③	ケース④	ケース⑤	ケース⑧	
解析ケース <sup>*3</sup>	基本ケース	地盤物性のばらつき (+1 σ) を考慮した解析ケース	地盤物性のばらつき (-1 σ) を考慮した解析ケース	地盤物性のばらつき (-1 σ) を考慮した解析ケース	材料物性（コンクリート）に実強度を考慮した解析ケース	材料物性（コンクリート）に剛性低下を考慮した解析ケース	地盤物性のばらつき (-1 σ) を考慮した解析ケース	
		平均値	平均値	平均値+1 σ	平均値-1 σ	平均値	平均値-1 σ	
地震動（位相）	S s-D 1	+ + *1	○	○	○	○	△	○
		- + *1	○	○	○	○	-	○
	S s-D 2	+ + *1	○	○	○	○	△	○
		- + *1	○	○	○	○	-	○
	S s-D 3	+ + *1	○	○	○	○	△	○
		- + *1	○	○	○	○	-	○
	S s-F 1	+ + *1	○	○	○	○	△	○
		- + *1	○	○	○	○	-	○
	S s-F 2	+ + *1	○	○	○	○	△	○
		- + *1	○	○	○	○	-	○
	S s-F 3	+ + *1	○	○	○	○	△	○
		- + *1	○	○	○	○	-	○
	S s-N 1	+ + *1	○	○	○	○	△	○
		- + *1	○	○	○	○	-	○

注記\*1：地震動の位相について、++の左側は水平動、右側は鉛直動を表し、「-」は位相を反転させたケースを示す。

\*2：既設構造物のコア採取による圧縮強度試験の結果を使用する。なお、新設構造物については、文献を参考し推定した圧縮強度とする。

\*3：○は設計に用いる解析ケースを示し、△は影響検討ケースを示す。

表 5.3-1 (2) 機器・配管系の耐震安全性評価に適用する解析ケース（弹性設計用地震動 S d）

		全応力解析				有効応力解析		
		ケース①	ケース②	ケース③	ケース④	ケース⑧		
解析ケース	基本ケース	地盤物性のばらつき (+1 σ ) を考慮した解析ケース	地盤物性のばらつき (-1 σ ) を考慮した解析ケース	材料物性（コシク リート）に実強度を考慮した解析ケース	材料物性のばらつき (-1 σ ) を考慮した解析ケース	地盤物性のばらつき (-1 σ ) を考慮した解析ケース		
		平均値	平均値 +1 σ	平均値 -1 σ	平均値	平均値 -1 σ		
材料物性		設計基準強度	設計基準強度	設計基準強度	設計基準強度	実強度に基づく 圧縮強度*2		
S d - D 1		+ + *1	○	○	○	○		
S d - D 2		+ + *1	○	○	○	○		
S d - D 3		- + *1	○	○	○	○		
S d - F 1		+ + *1	○	○	○	○		
S d - F 2		- + *1	○	○	○	○		
S d - F 3		+ + *1	○	○	○	○		
S d - N 1		+ + *1	○	○	○	○		
		- + *1	○	○	○	○		

注記 \*1：地震動の位相について、+ + の左側は水平動、右側は鉛直動を表し、「-」は位相を反転させたケースを示す。

\*2：既設構造物のコア採取による圧縮強度試験の結果を使用する。なお、新設構造物については、文献を参考し推定した圧縮強度とする。

## 参考資料 11 女川原子力発電所における地盤の振動特性について

### 1. 概要

本資料は、図 1-1 に示す女川原子力発電所の敷地における地盤の振動特性として、代表断面における地盤の最大加速度分布図、最大変位分布図及び最大せん断ひずみ分布図を示すものである。

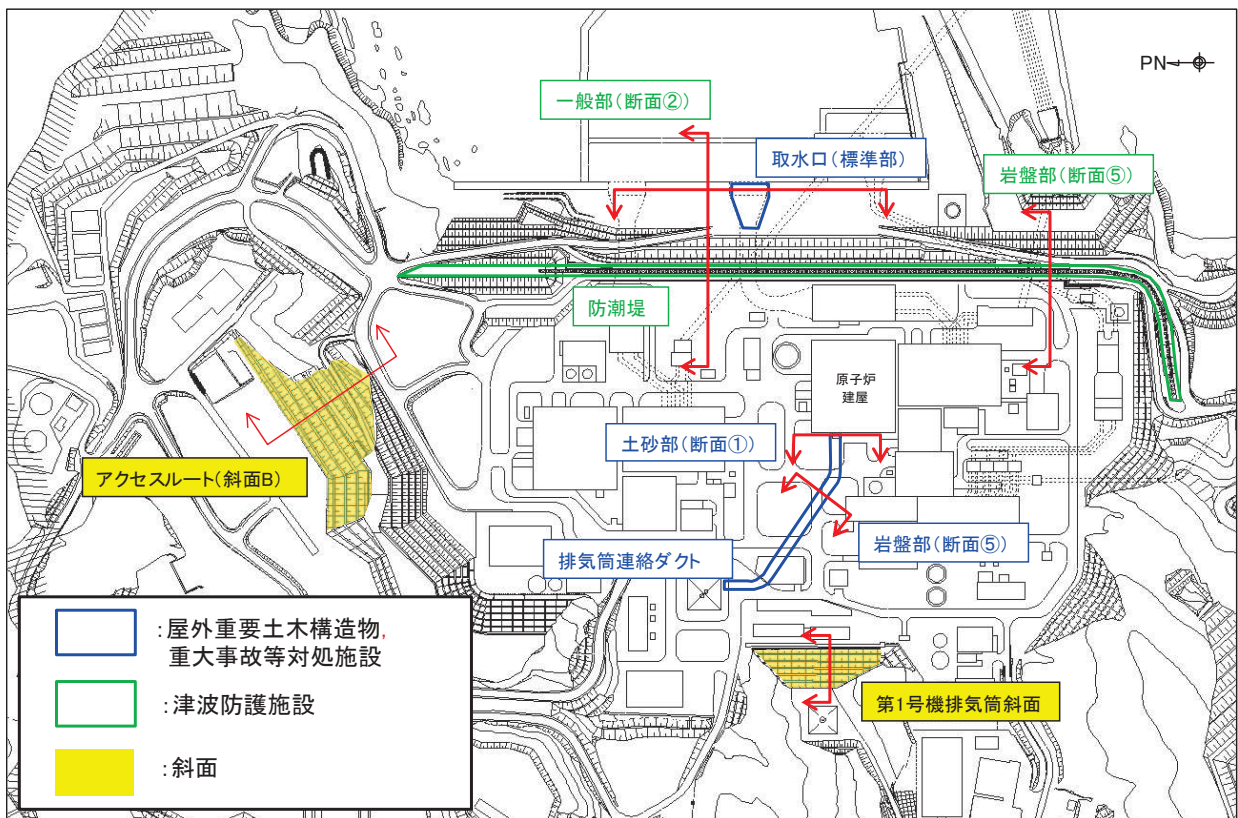


図 1-1 屋外重要土木構造物等の配置平面図

## 2. 対象断面の選定

対象断面は敷地の地盤特性を網羅的に示すよう、周囲に分布する地盤状況を踏まえて、表 2-1 の断面を対象断面として選定する。対象断面における地質断面図を図 2-1～2-7 に示す。

表 2-1 対象断面の選定

対象断面	選定理由
排気筒連絡ダクト（土砂部、断面①）	・施設の周囲に盛土が広く分布している
排気筒連絡ダクト（岩盤部、断面⑤）	・施設の周囲に岩盤が広く分布している
取水口（標準部）	・施設の周囲に旧表土が広く分布している ・施設近傍に地盤改良を実施している
防潮堤（鋼管式鉛直壁）一般部（断面②）	・O.P. 13.8m 盤*から海方向の断面であり、 施設の周囲に旧表土が広く分布している
防潮堤（鋼管式鉛直壁）岩盤部（断面⑤）	・O.P. 13.8m 盤*から海方向の断面であり、 施設の周囲に岩盤が広く分布している
アクセスルート（斜面 B）	・O.P. 14.8m 盤から高台への断面であり、 斜面に盛土が広く分布している
第 1 号機排気筒斜面	・O.P. 14.8m 盤から高台への断面であり、 岩盤で構成されている斜面

注記\*：東北地方太平洋沖地震による約 1m の沈下を考慮した標高

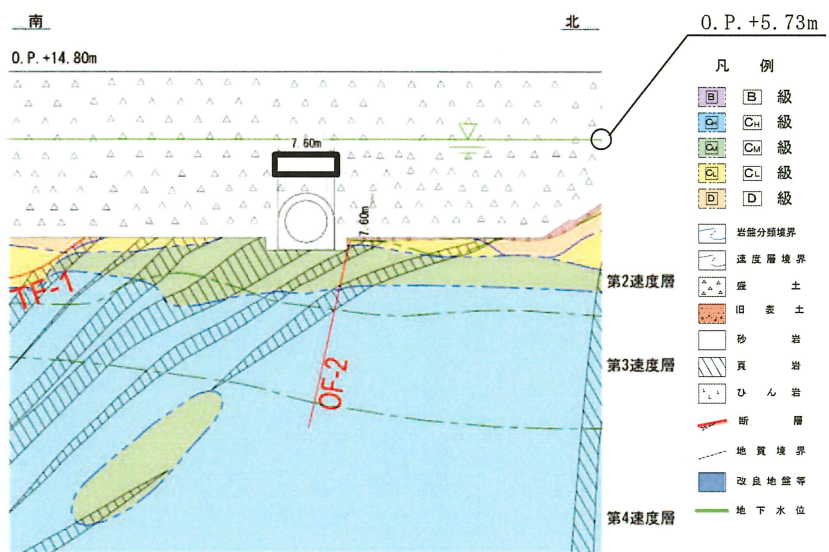


図 2-1 排気筒連絡ダクト土砂部（断面①）における地質断面図

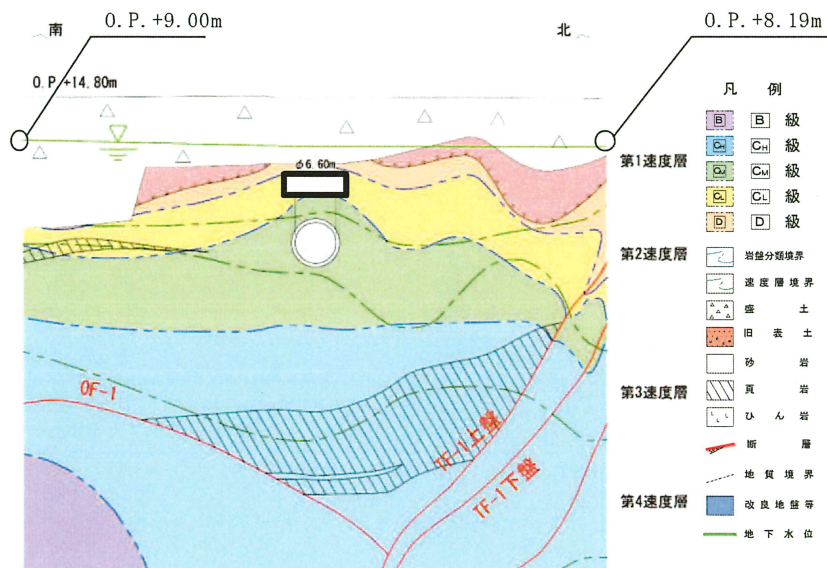


図 2-2 排気筒連絡ダクト岩盤部（断面⑤）における地質断面図

枠囲みの内容は防護上の観点から公開できません。

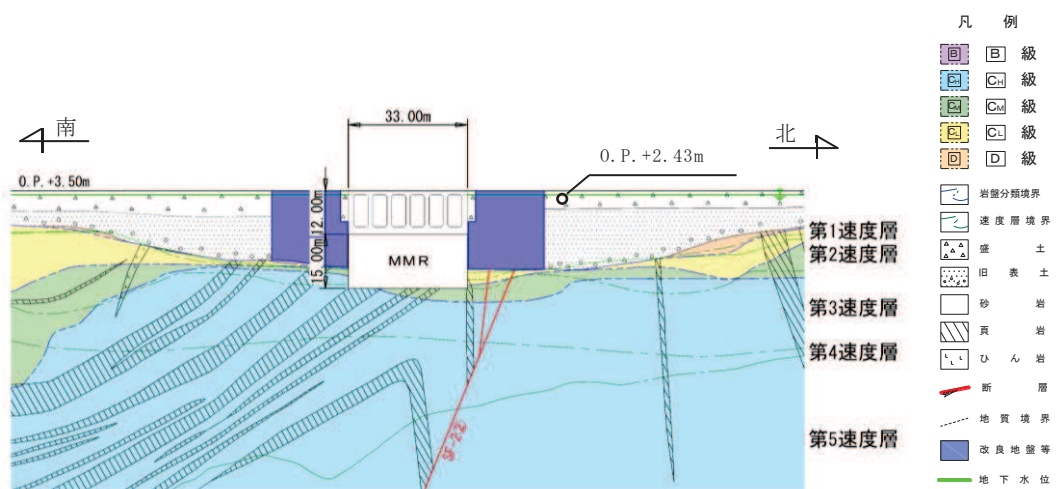
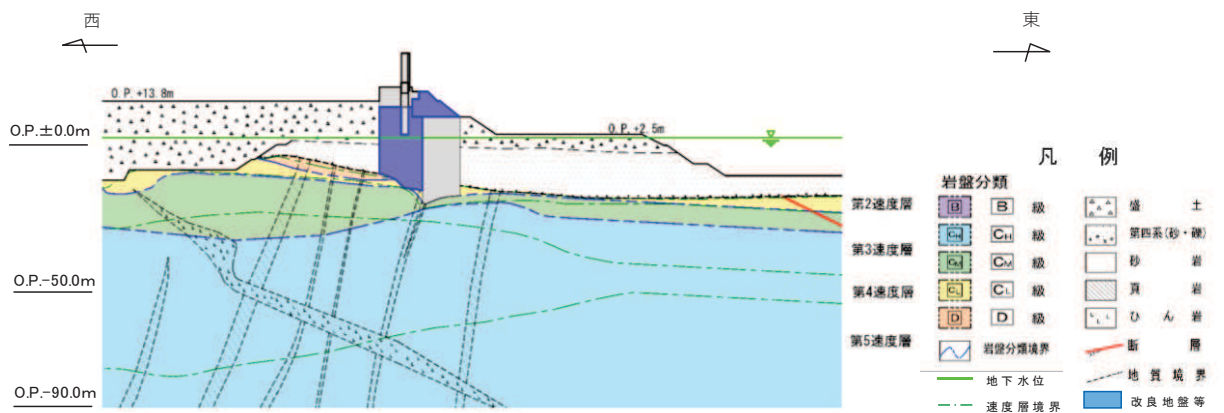
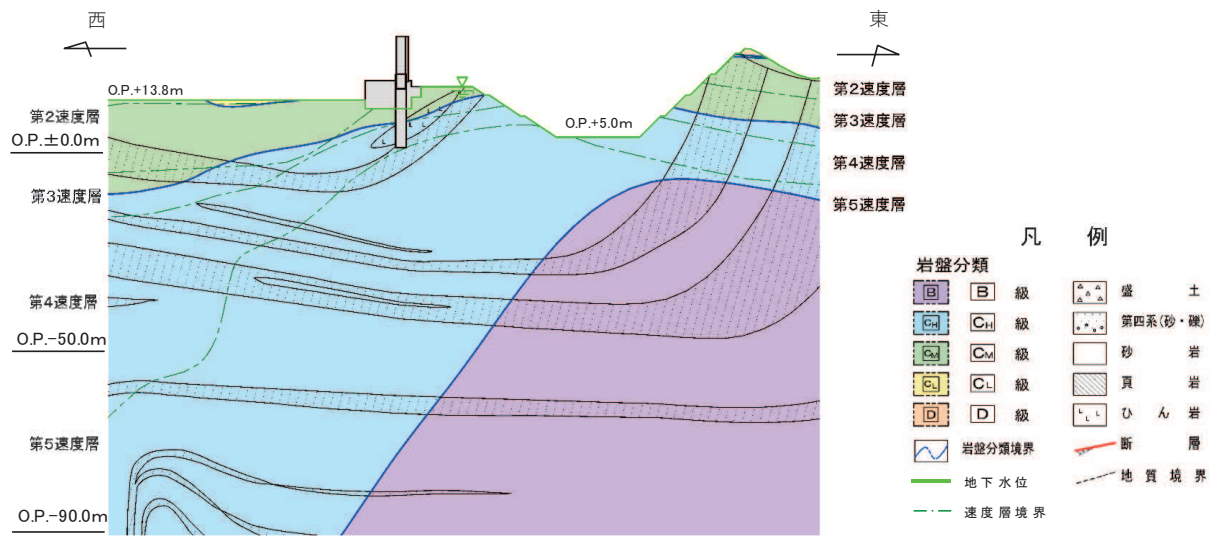


図 2-3 取水口（標準部）における地質断面図



注＊：東北地方太平洋沖地震による約1mの沈下を考慮した標高

図2-4 防潮堤（鋼管式鉛直壁）一般部（断面②）における地質断面図



注＊：東北地方太平洋沖地震による約1mの沈下を考慮した標高

図2-5 防潮堤（鋼管式鉛直壁）岩盤部（断面⑤）における地質断面図

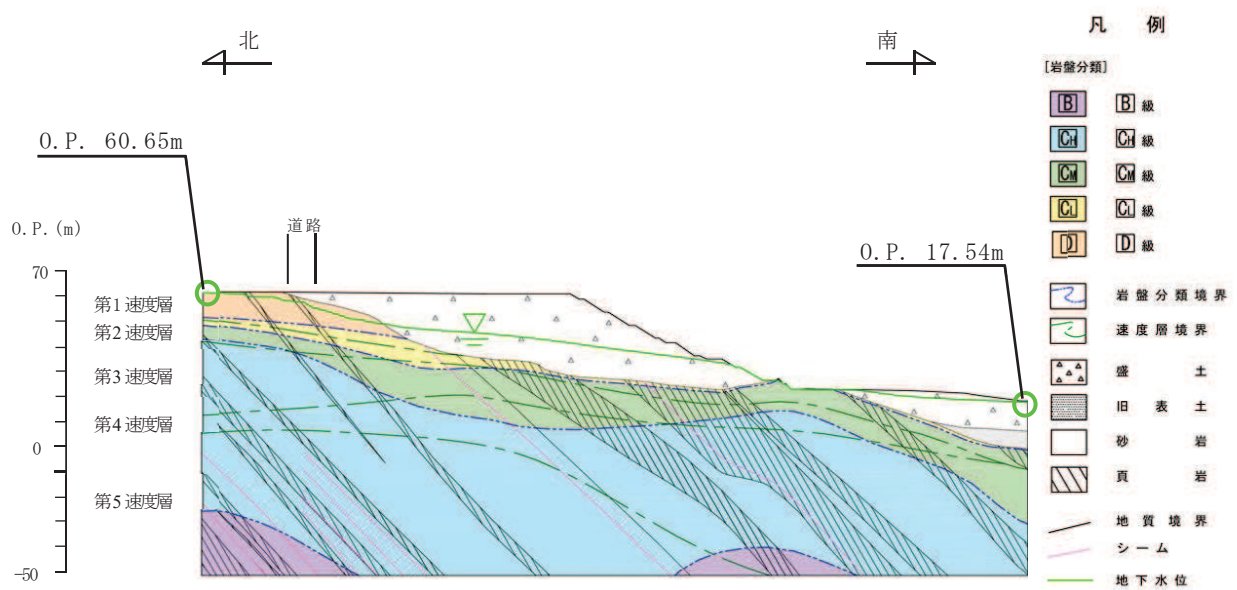


図 2-6 アクセスルート（斜面 B）における地質断面図

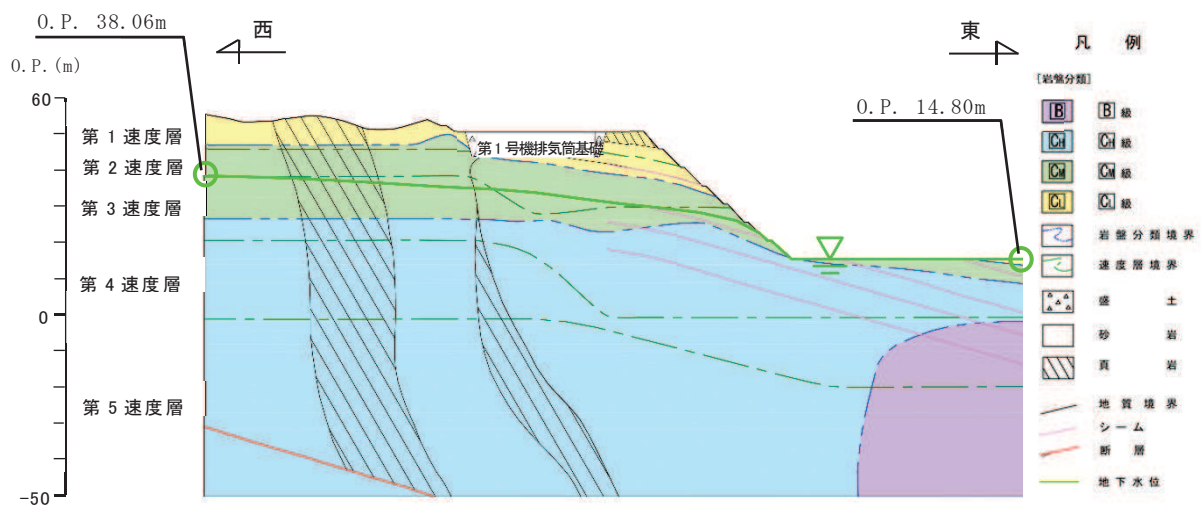


図 2-7 第1号機排気筒斜面における地質断面図

### 3. 解析方針

地盤の最大加速度分布図、最大変位分布図及び最大せん断ひずみ分布図は、添付書類「VI-2-2-2-27 排気筒連絡ダクトの地震応答計算書」、「VI-2-10-4-3 取水口の耐震性についての計算書」、「VI-2-10-2-2 防潮堤の耐震性についての計算書」、「VI-1-1-6-別添1 可搬型重大事故等対処設備の保管場所及びアクセスルート」及び「VI-2-11-2-15 第1号機排気筒の耐震性についての計算書」に基づき、地震応答解析を実施し、算定する。検討に用いる地震動は構造物における解析手法ごとに照査値が最も厳しい地震動を選定する。対象断面ごとの解析手法及び地震動を表3-1に示す。

図3-1 対象断面ごとの解析手法及び地震動

対象断面	解析手法	地震動	分布図の記載箇所	
			加速度	変位
排気筒連絡ダクト (土砂部、断面①)	・ S s-D 2 (++) ケース④ (曲げ・軸力系の破壊に対する照査)	図4-1(1)	図4-1(2)	図4-1(3)
	・ S s-N 1 (++) ケース④ (せん断破壊に対する照査)	図4-2(1)	図4-2(2)	図4-2(3)
	・ S s-D 3 (-+) ケース⑦ (曲げ・軸力系及びせん断破壊に対する照査)	図4-3(1)	図4-3(2)	図4-3(3)
	・ S s-D 2 (-+) ケース④ (曲げ・軸力系の破壊に対する照査)	図4-4(1)	図4-4(2)	図4-4(3)
排気筒連絡ダクト (岩盤部、断面⑤)	全応力解析	・ S s-D 2 (-+) ケース③ (せん断破壊に対する照査)	図4-5(1)	図4-5(2)

取水口、防潮堤、アクセスルート、第1号機排気筒斜面における地震動及び解析結果は、別途示す。

#### 4. 解析結果

地震応答解析により算出された、対象断面における最大加速度分布図、最大変位分布図及び最大せん断ひずみ分布図を図 4-1 及び図 4-2 に示す。

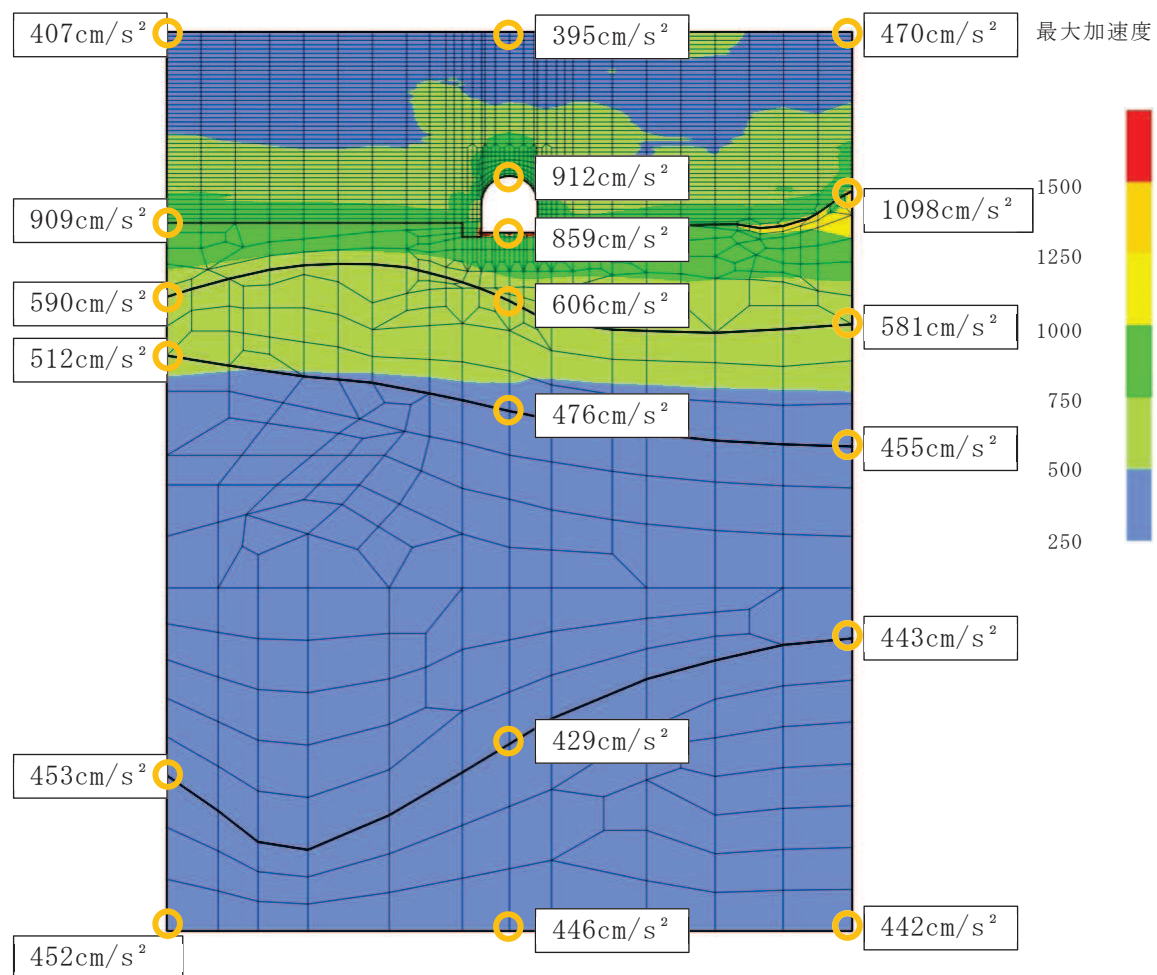


図 4-1(1) 排気筒連絡ダクト土砂部（断面①）における最大加速度分布図  
(全応力解析, S s-D 2 (++) ケース④)

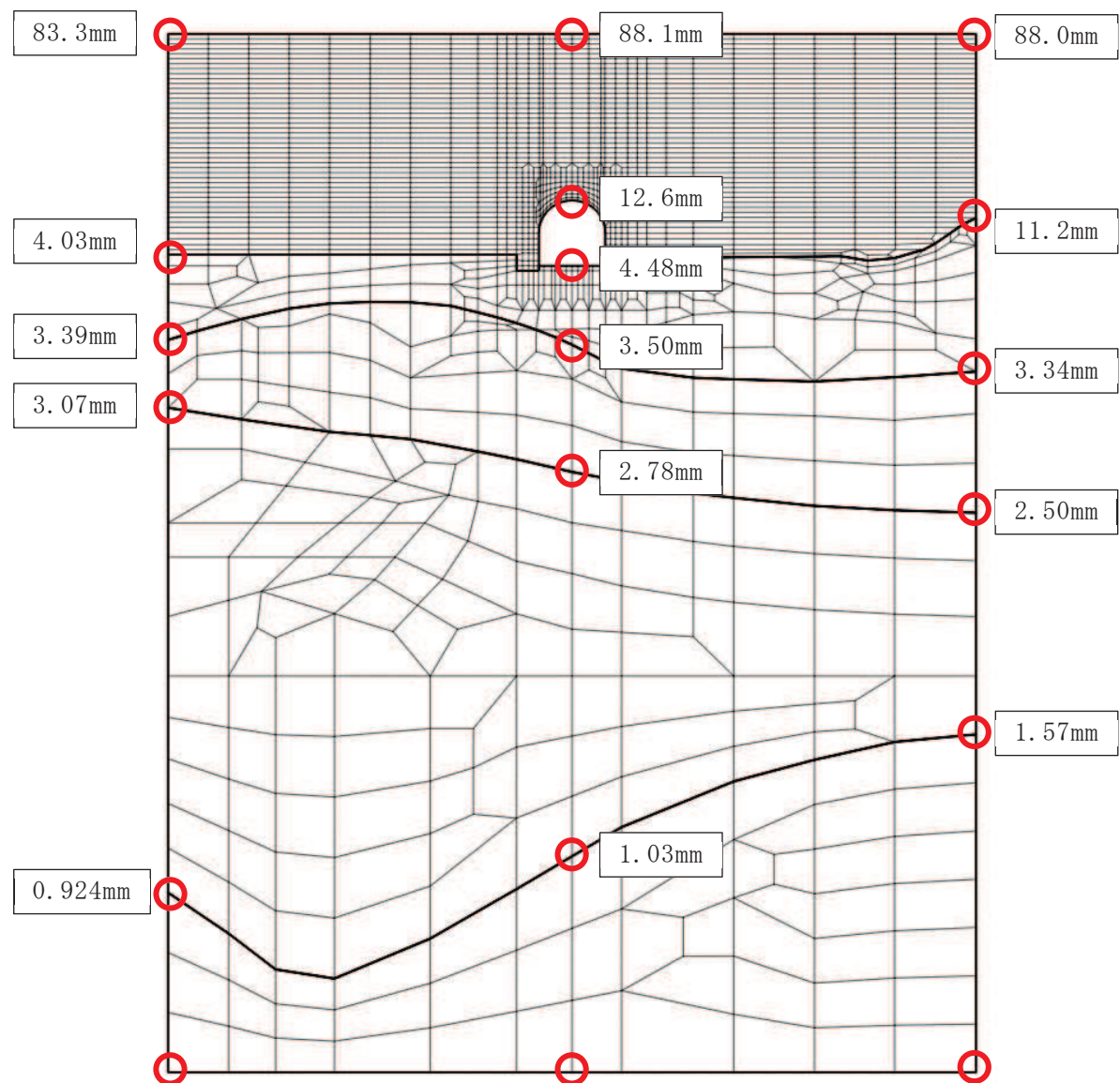


図 4-1(2) 排気筒連絡ダクト土砂部（断面①）における最大変位分布図  
(全応力解析, S s - D 2 (++) ケース④)

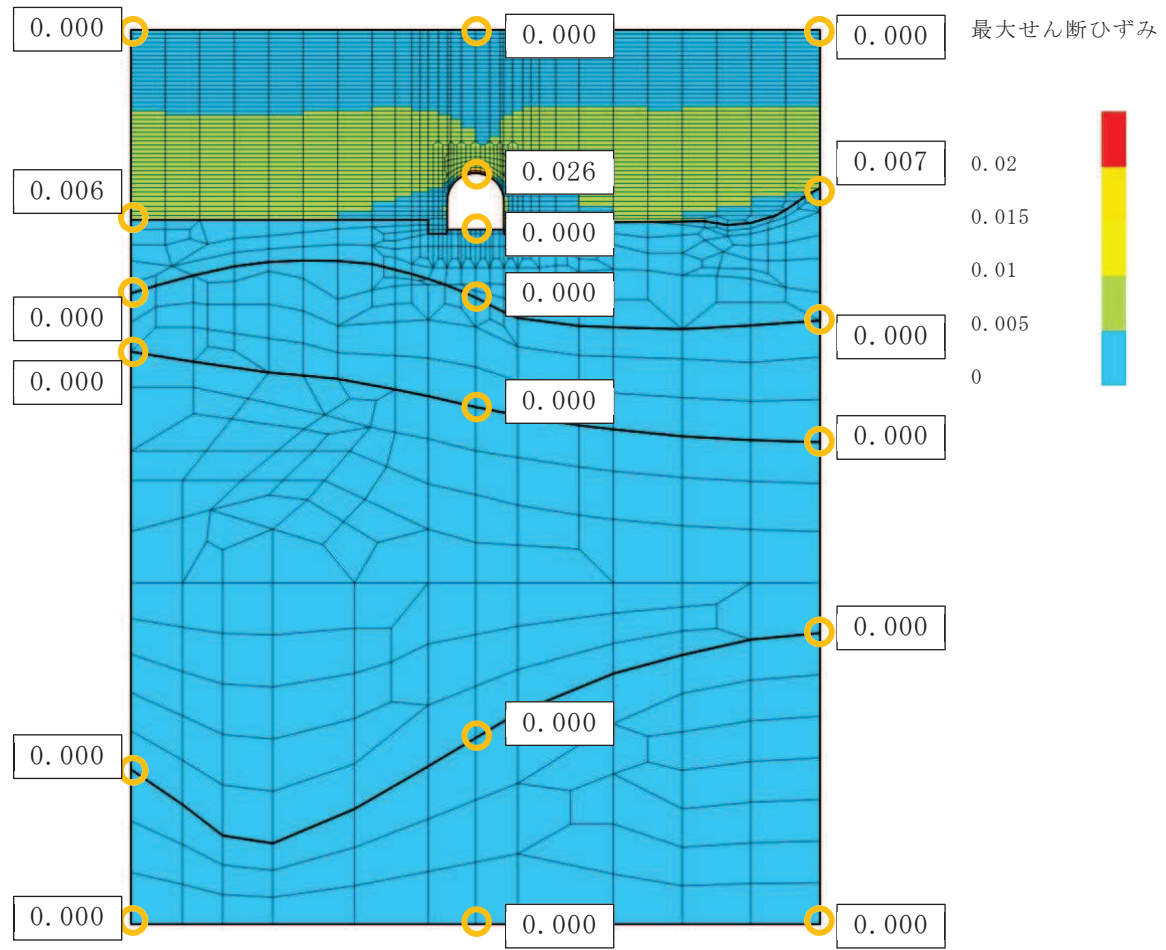


図 4-1(3) 排気筒連絡ダクト土砂部（断面①）における最大せん断ひずみ分布図  
(全応力解析, S s - D 2 (++) ケース④)

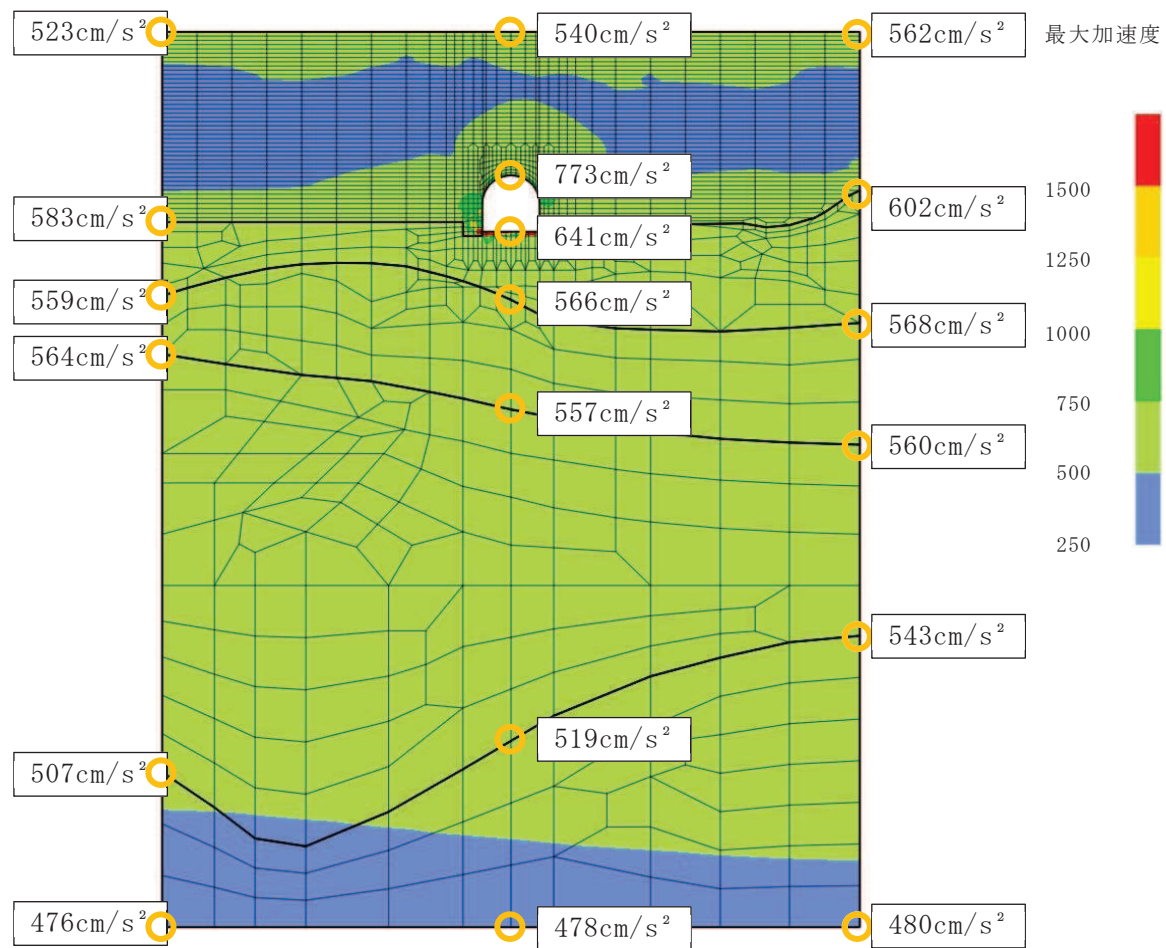


図 4-2(1) 排気筒連絡ダクト土砂部（断面①）における最大加速度分布図  
(全応力解析, S s - N 1 (++) ケース④)

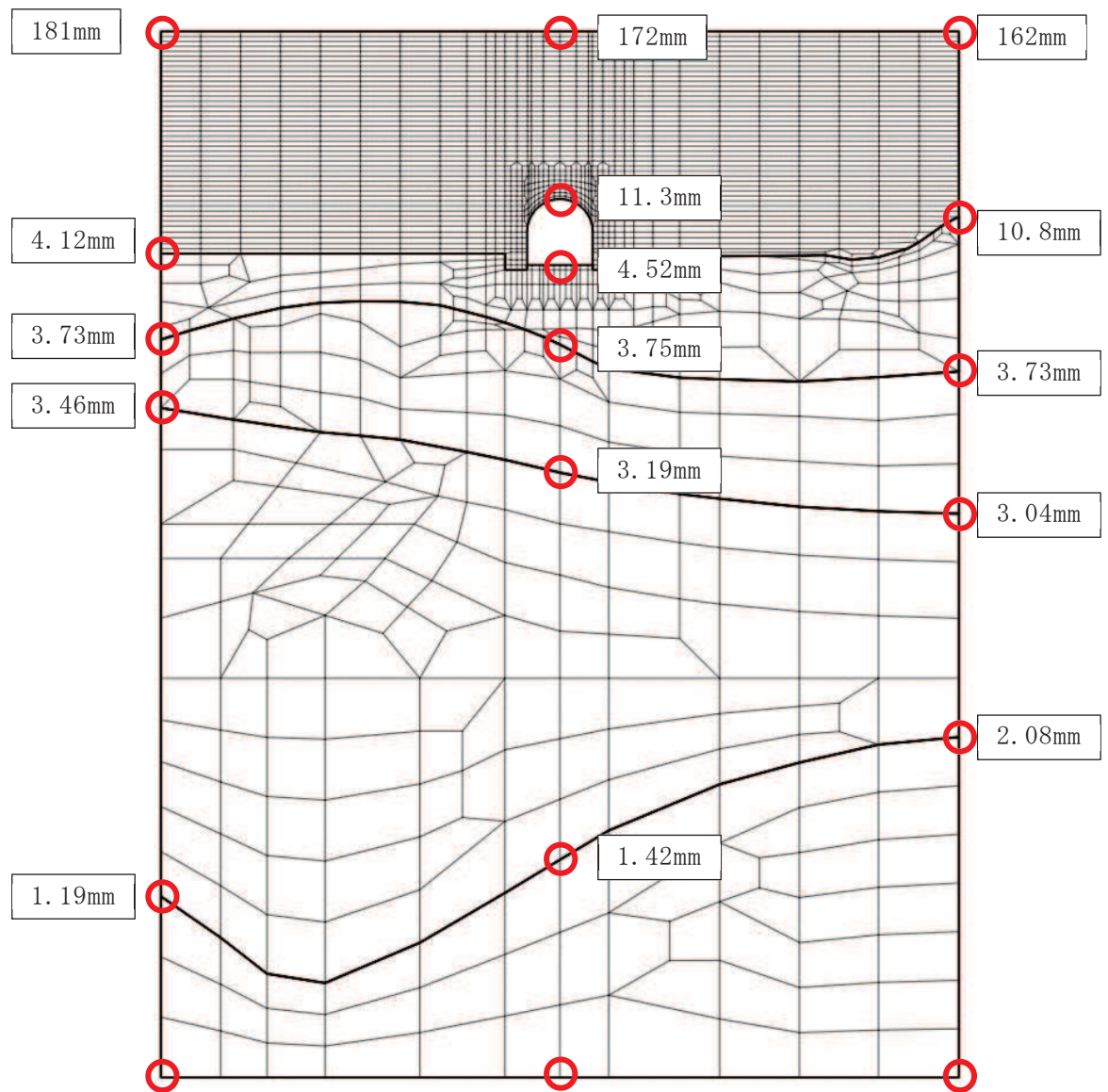


図 4-2(2) 排気筒連絡ダクト土砂部（断面①）における最大変位分布図  
(全応力解析, S s - N 1 (++) ケース④)

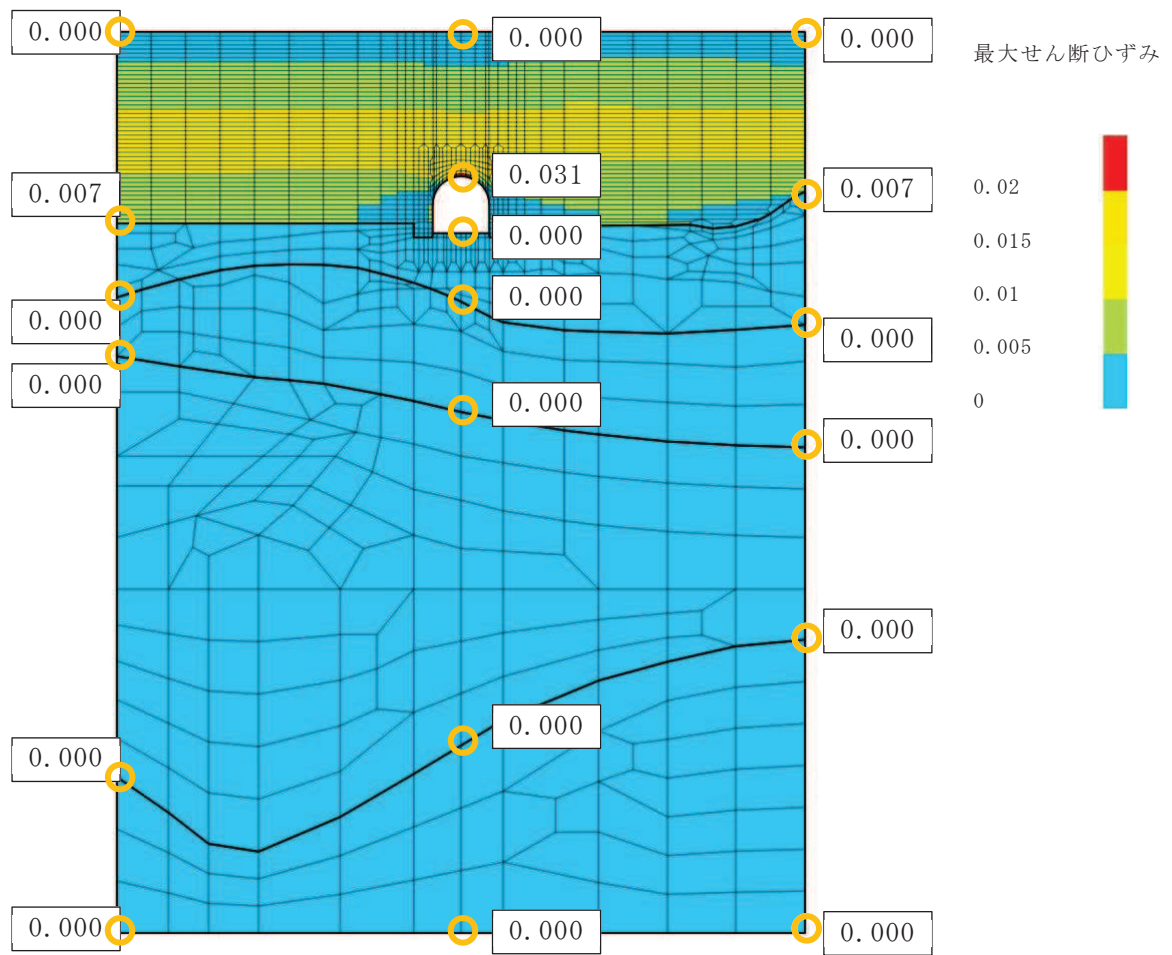


図 4-2(3) 排気筒連絡ダクト土砂部（断面①）における最大せん断ひずみ分布図  
(全応力解析, S s - N 1 (++) ケース④)

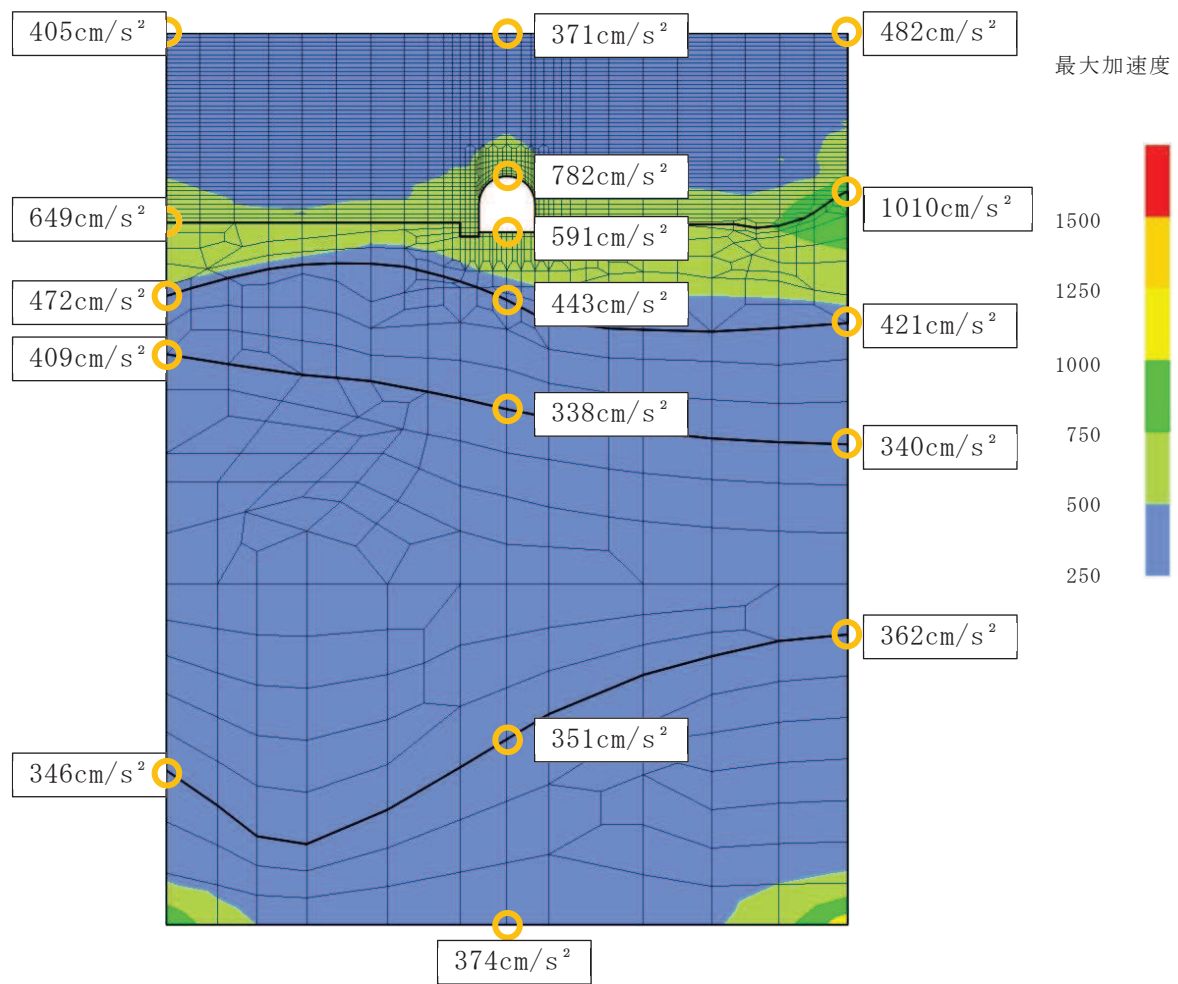


図 4-3(1) 排気筒連絡ダクト土砂部（断面①）における最大加速度分布図  
(有効応力解析, S s - D 3 (-+) ケース⑦)

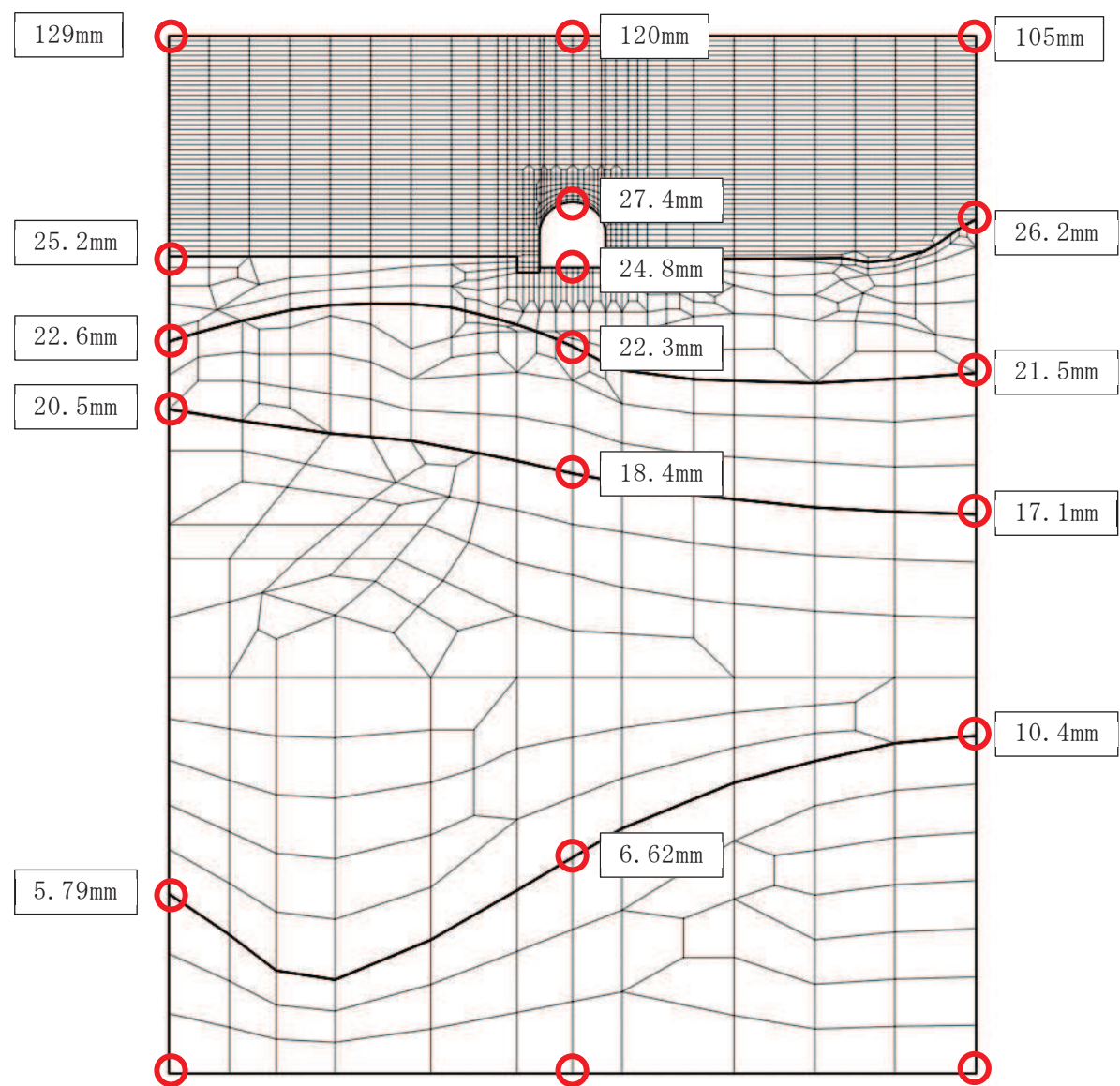


図 4-3(2) 排気筒連絡ダクト土砂部（断面①）における最大変位分布図  
(有効応力解析, S s - D 3 (-+) ケース⑦)

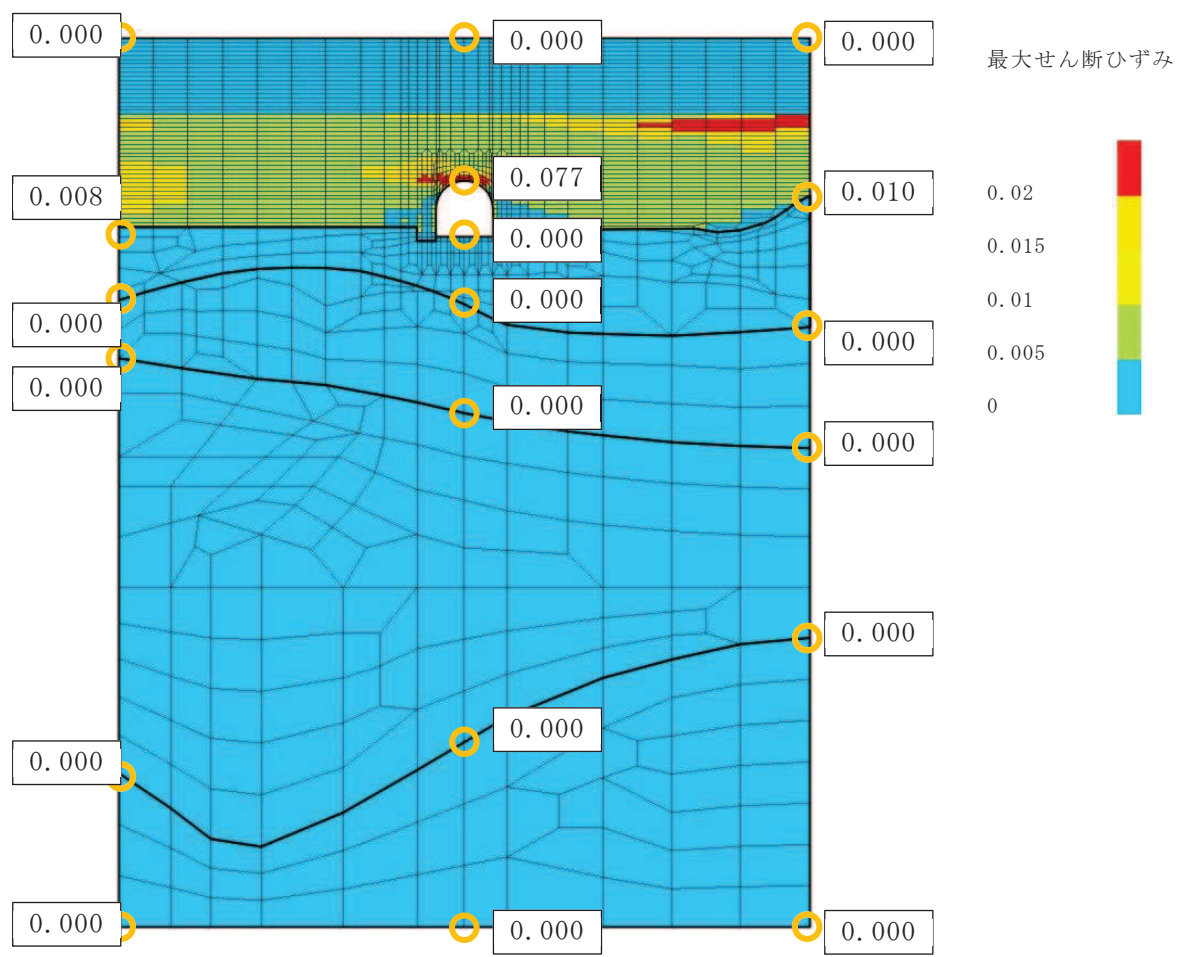


図 4-3(3) 排気筒連絡ダクト土砂部（断面①）における最大せん断ひずみ分布図  
(有効応力解析, S s - D 3 (-+) ケース⑦)

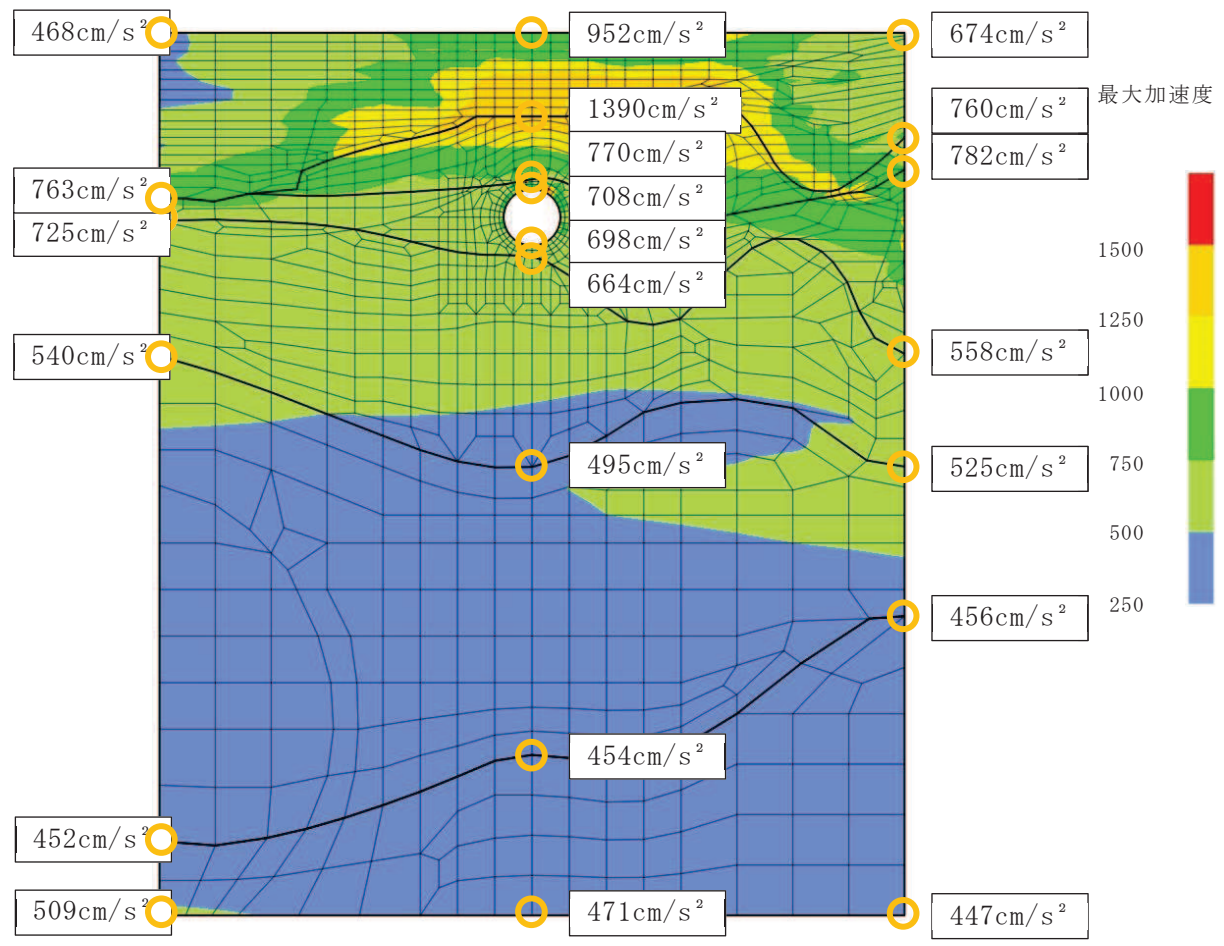


図 4-4(1) 排気筒連絡ダクト岩盤部（断面⑤）における最大加速度分布図  
(全応力解析, S s - D 2 (-+) ケース④)

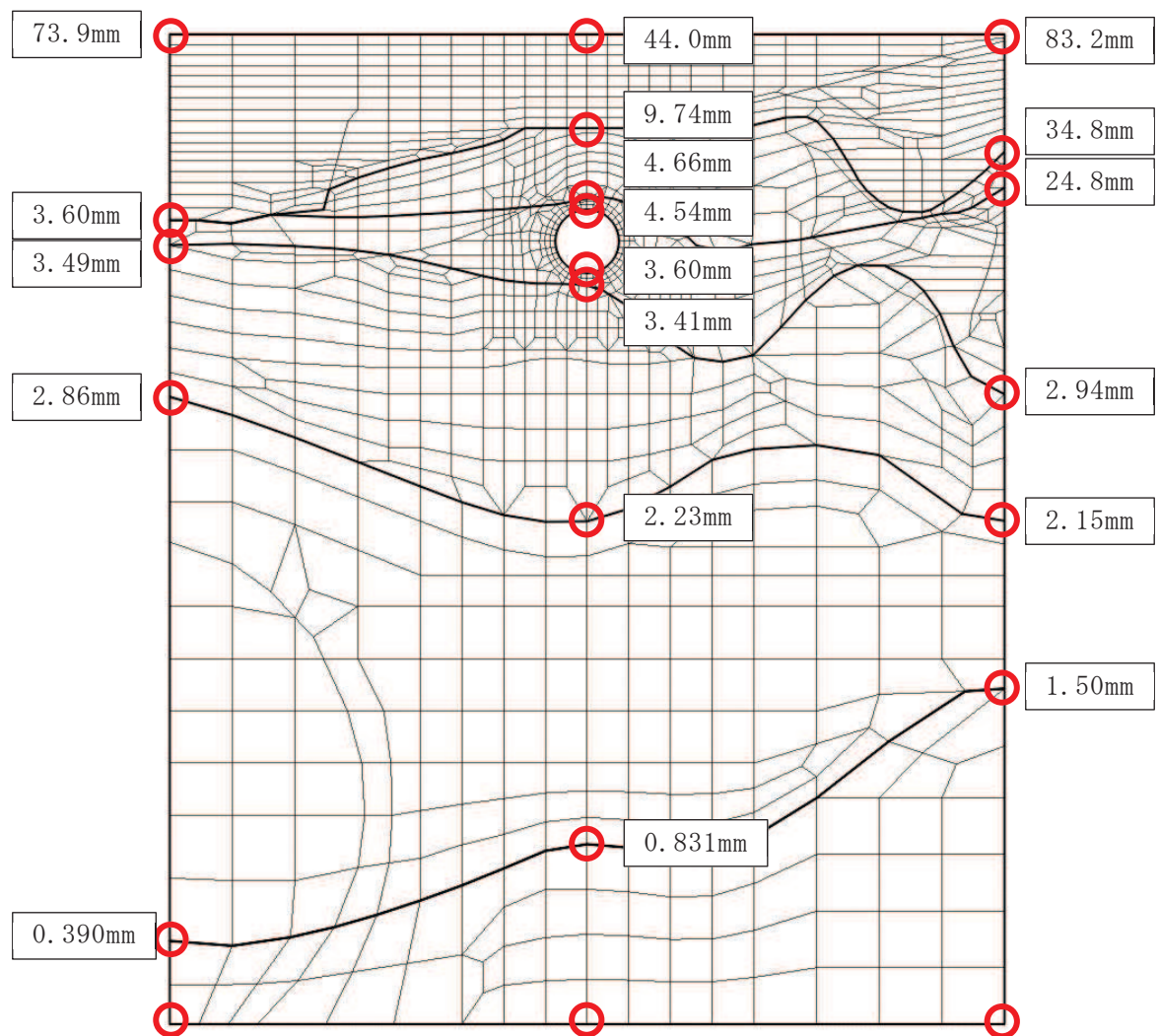


図 4-4(2) 排気筒連絡ダクト岩盤部（断面⑤）における最大変位分布図  
(全応力解析, S s - D 2 (-+) ケース④)

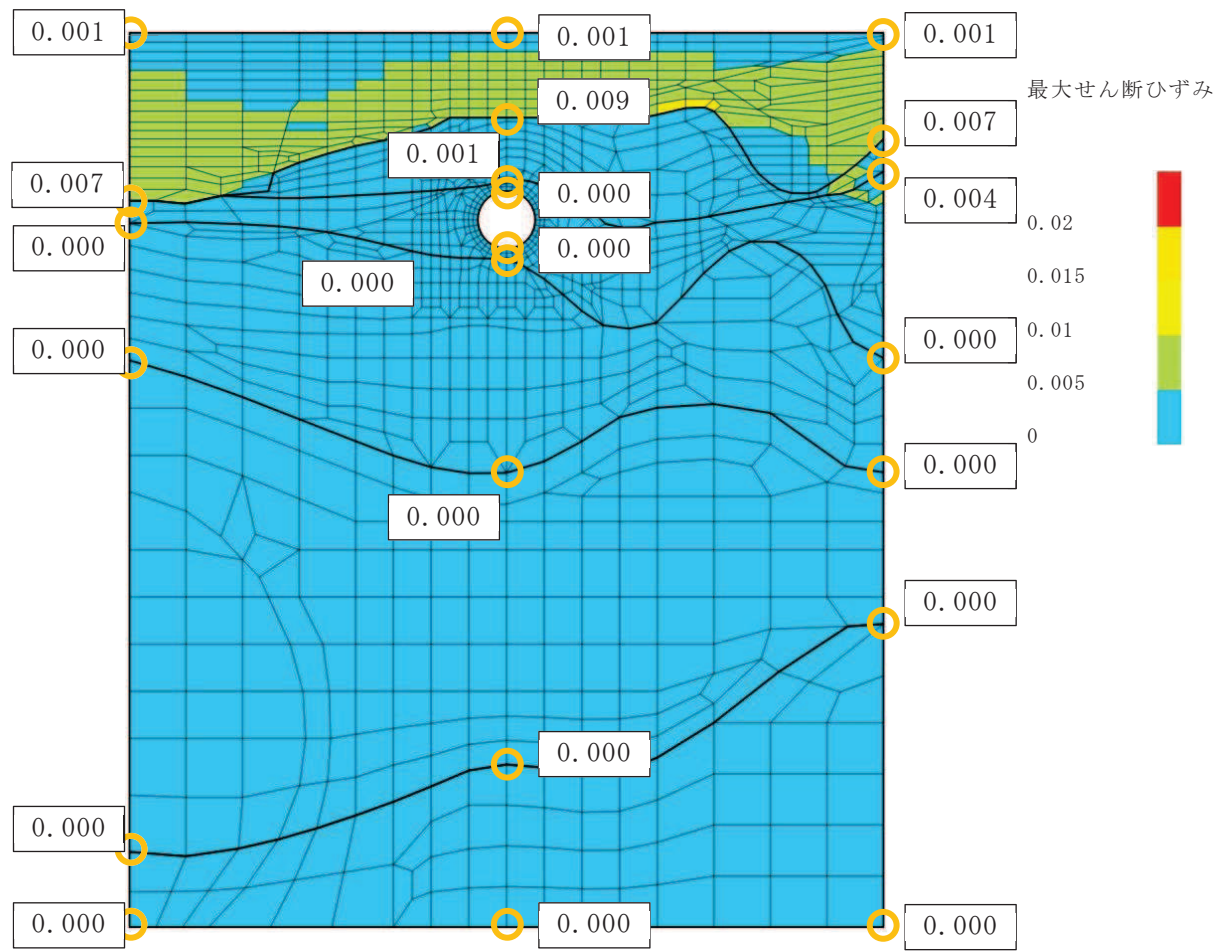


図 4-4(3) 排気筒連絡ダクト岩盤部（断面⑤）における最大せん断ひずみ分布図  
(全応力解析, S s - D 2 (-+) ケース④)

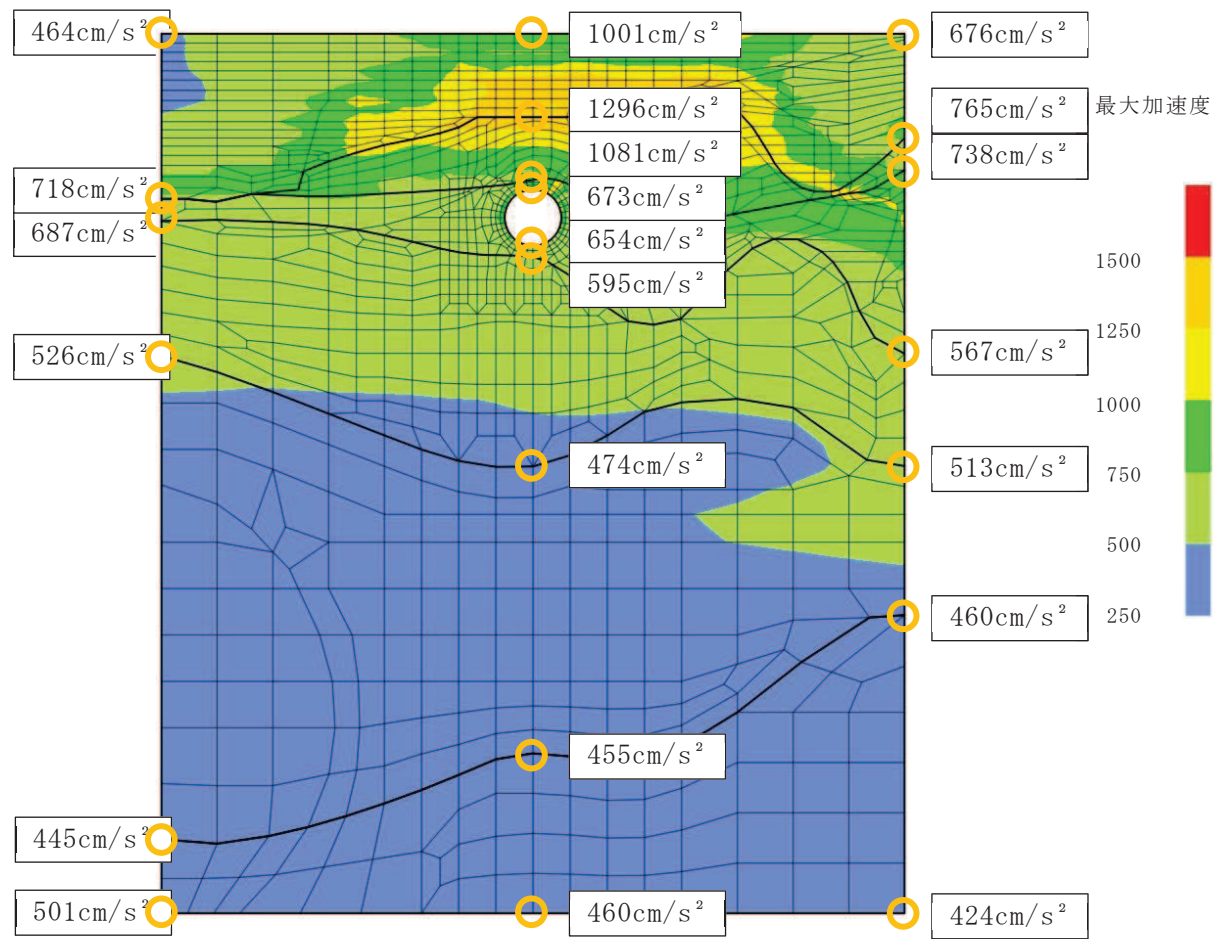


図 4-5(1) 排気筒連絡ダクト岩盤部（断面⑤）における最大加速度分布図  
(全応力解析, S s - D 2 (- +) ケース③)

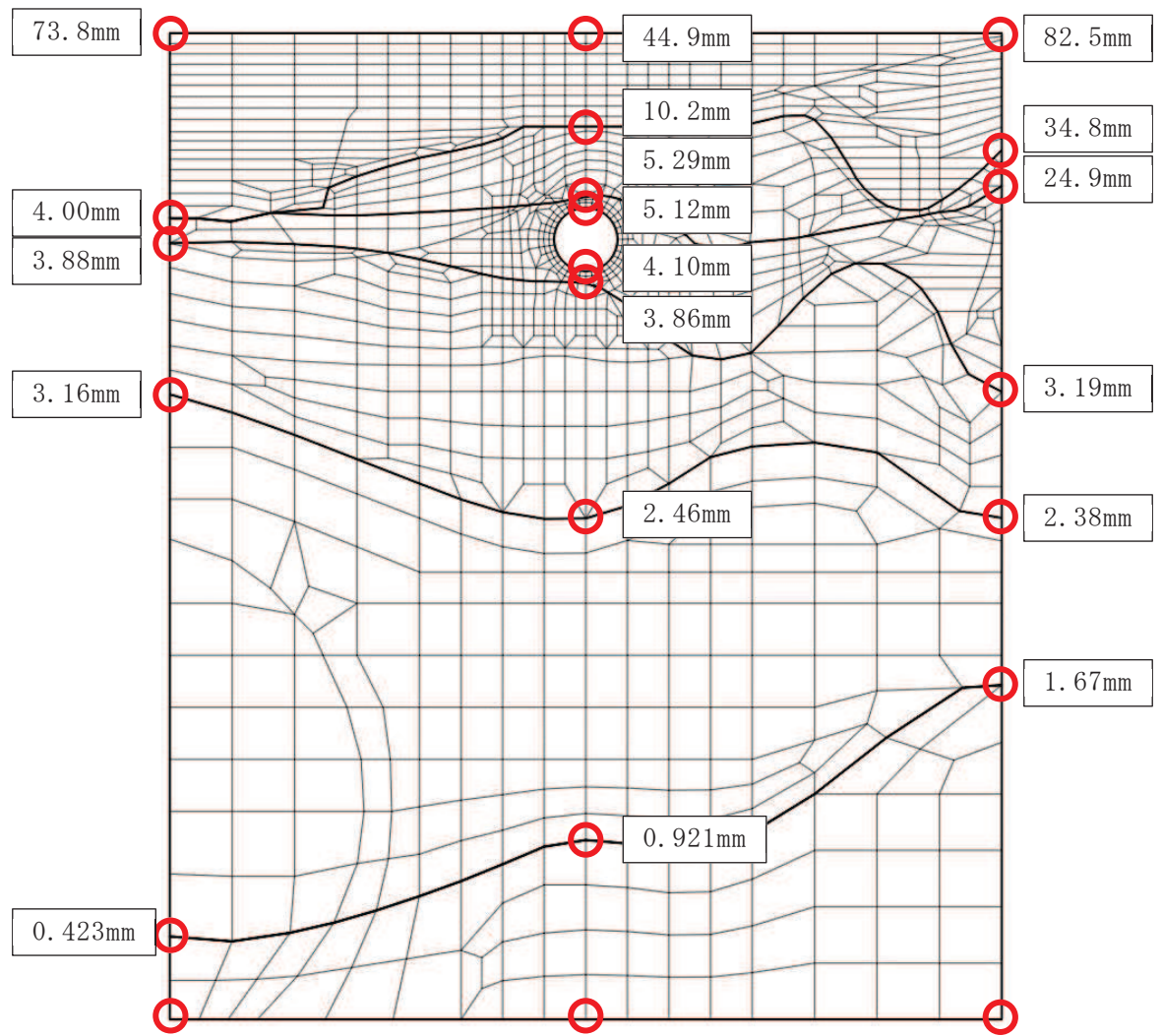


図 4-5(2) 排気筒連絡ダクト岩盤部（断面⑤）における最大変位分布図  
(全応力解析, S s - D 2 (-+) ケース③)

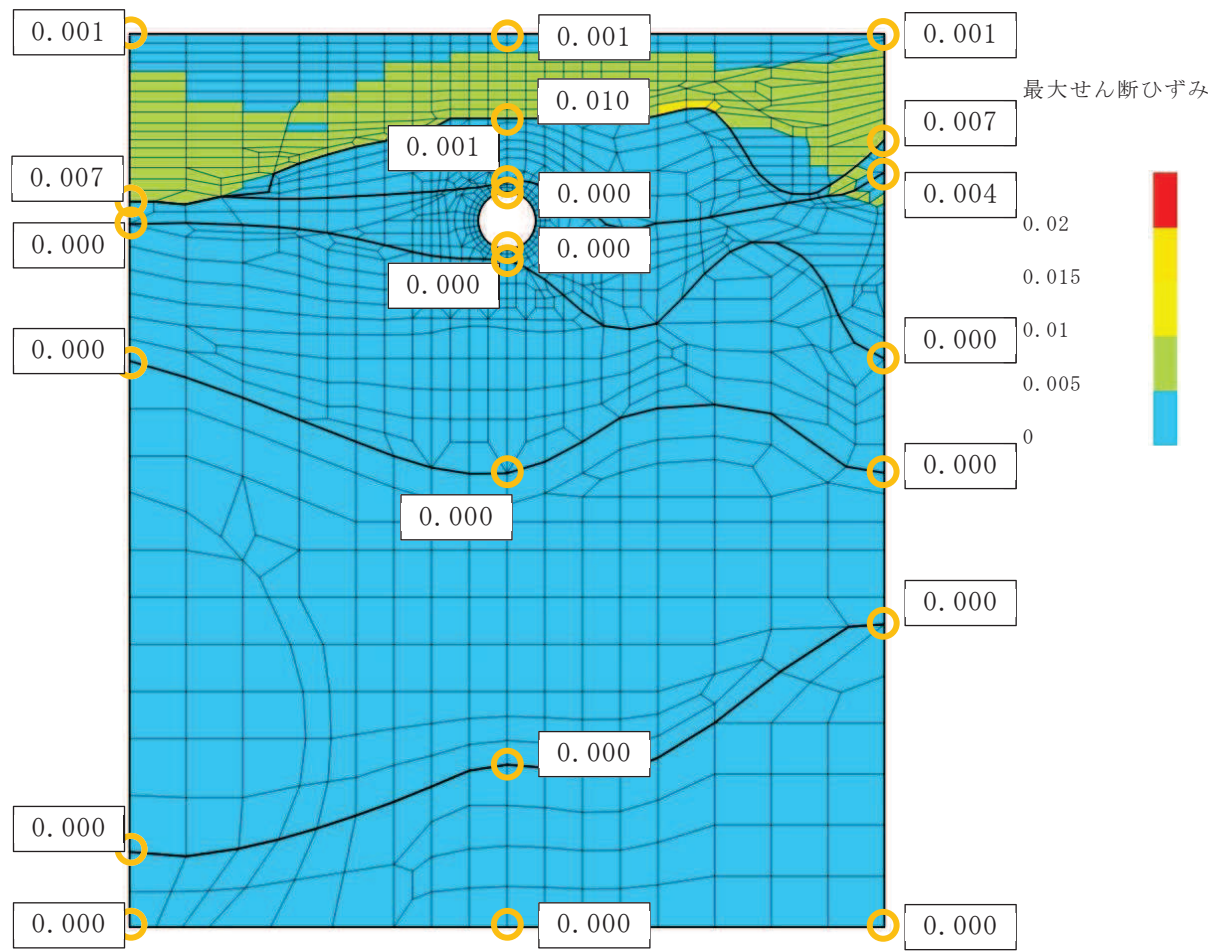


図 4-5(3) 排気筒連絡ダクト岩盤部（断面⑤）における最大せん断ひずみ分布図  
(全応力解析, S s - D 2 (-+) ケース③)

### 資料3 排気筒連絡ダクトの耐震安全性評価

## 目 次

1.	評価方法 .....	資料 3-1
2.	評価条件 .....	資料 3-1
2.1	構造概要 .....	資料 3-1
2.2	評価対象断面の方向 .....	資料 3-6
2.3	評価対象断面の選定 .....	資料 3-7
2.4	使用材料及び材料の物性値 .....	資料 3-10
2.5	地盤物性値 .....	資料 3-10
2.6	評価構造物諸元 .....	資料 3-16
2.6.1	土砂部 (断面①及び③) .....	資料 3-16
2.6.2	岩盤部 (断面⑤) .....	資料 3-17
2.7	地下水位 .....	資料 3-18
2.8	耐震評価フロー .....	資料 3-20
2.9	適用規格 .....	資料 3-22
3.	地震応答解析 .....	資料 3-25
3.1	地震応答解析手法 .....	資料 3-25
3.2	地震応答解析モデルの設定 .....	資料 3-28
3.2.1	解析モデル領域 .....	資料 3-28
3.2.2	境界条件 .....	資料 3-30
3.2.3	構造物のモデル化 .....	資料 3-36
3.2.4	地盤のモデル化 .....	資料 3-38
3.2.5	ジョイント要素の設定 .....	資料 3-38
3.2.6	材料特性の設定 .....	資料 3-42
3.3	減衰定数 .....	資料 3-45
3.4	荷重の組合せ .....	資料 3-59
3.4.1	機器・配管荷重 .....	資料 3-60
3.4.2	外水圧 .....	資料 3-60
3.4.3	積載荷重 .....	資料 3-61
3.5	地震応答解析の解析ケース .....	資料 3-62
3.5.1	耐震評価における解析ケース .....	資料 3-62
3.5.2	機器・配管系に対する応答加速度抽出のための解析ケース .....	資料 3-73
4.	評価内容 .....	資料 3-80
4.1	入力地震動の設定 .....	資料 3-80
4.2	許容限界の設定 .....	資料 3-165
4.2.1	曲げ・軸力系の破壊に対する許容限界 .....	資料 3-165
4.2.2	せん断破壊に対する許容限界 (せん断耐力式によるせん断耐力) .....	資料 3-168
4.2.3	せん断破壊に対する許容限界 (材料非線形解析によるせん断耐力) .....	資料 3-172

4.2.4 基礎地盤の支持性能に対する許容限界.....	資料 3-185
5. 評価結果 .....	資料 3-186
5.1 地震応答解析結果 .....	資料 3-186
5.1.1 解析ケースと照査値 .....	資料 3-187
5.1.2 層間変形角時刻歴波形（曲げ・軸力系の破壊に対する照査） .....	資料 3-201
5.1.3 断面力分布（曲げ・軸力系の破壊に対する照査） .....	資料 3-203
5.1.4 断面力分布（せん断破壊に対する照査） .....	資料 3-205
5.1.5 最大せん断ひずみ分布.....	資料 3-211
5.1.6 過剰間隙水圧比分布 .....	資料 3-218
5.2 構造部材の健全性に対する評価結果.....	資料 3-220
5.2.1 曲げ・軸力系の破壊に対する評価結果.....	資料 3-220
5.2.2 せん断破壊に対する評価結果.....	資料 3-230
5.3 基礎地盤の支持性能に対する評価結果.....	資料 3-263
5.3.1 土砂部（断面①） .....	資料 3-263
5.3.2 岩盤部（断面⑤） .....	資料 3-266
6. まとめ .....	資料 3-268

## 参考資料

- 参考資料 1 機器・配管系の耐震評価に適用する影響検討ケース ..... 資料 3- (参考) 1-1  
参考資料 2 静的地震力に対する耐震評価 ..... 資料 3- (参考) 2-1  
参考資料 3 断層交差部の影響評価 ..... 資料 3- (参考) 3-1  
参考資料 4 地下水位の設定による影響 ..... 資料 3- (参考) 4-1  
参考資料 5 非線形はり要素のモデル化方法に関する補足 ..... 資料 3- (参考) 5-1

□ : 本日の説明範囲

## 1. 評価方法

排気筒連絡ダクトは、耐震重要施設及び常設重大事故等対処設備である非常用ガス処理系配管を底版で間接支持しており、支持機能が要求される。

排気筒連絡ダクトについては、基準地震動 S s による耐震評価として、構造部材の曲げ・軸力系の破壊、せん断破壊及び基礎地盤の支持性能に対する評価を実施する。

構造部材の健全性評価については、鉄筋コンクリート部材の応力度、層間変形角、ひずみ、曲げモーメント及びせん断力が要求性能に応じた許容限界を下回ることを確認する。基礎地盤の支持性能評価については、基礎地盤に発生する応力（接地圧）が極限支持力に基づく許容限界を下回ることを確認する。

## 2. 評価条件

### 2.1 構造概要

排気筒連絡ダクトの位置図を図2-1に示す。

排気筒連絡ダクトは、鉄筋コンクリート造のトンネル構造物である。

排気筒連絡ダクトの平面図を図2-2に、断面図及び縦断図を図2-3に、概略配筋図を図2-4に示す。

排気筒連絡ダクトは、原子炉建屋と排気筒を結ぶ、延長187.49m、内空 [ ] mの鉄筋コンクリート造のトンネル構造物であり、幌形の土砂部と円形の岩盤部にて構成され、土砂部は直接又はマンメイドロック（以下「MMR」という。）を介して十分な支持性能を有する岩盤に設置されており、岩盤部は岩盤に囲まれている。

排気筒連絡ダクトは、延長方向に3.0m～9.0m間隔に構造目地を介して分割され、原子炉建屋及び排気筒との接合部には耐震ジョイントが設置されており、土砂部と岩盤部のそれぞれの区間で延長方向に断面の変化がない線状構造物である。

枠囲みの内容は防護上の観点から公開できません。

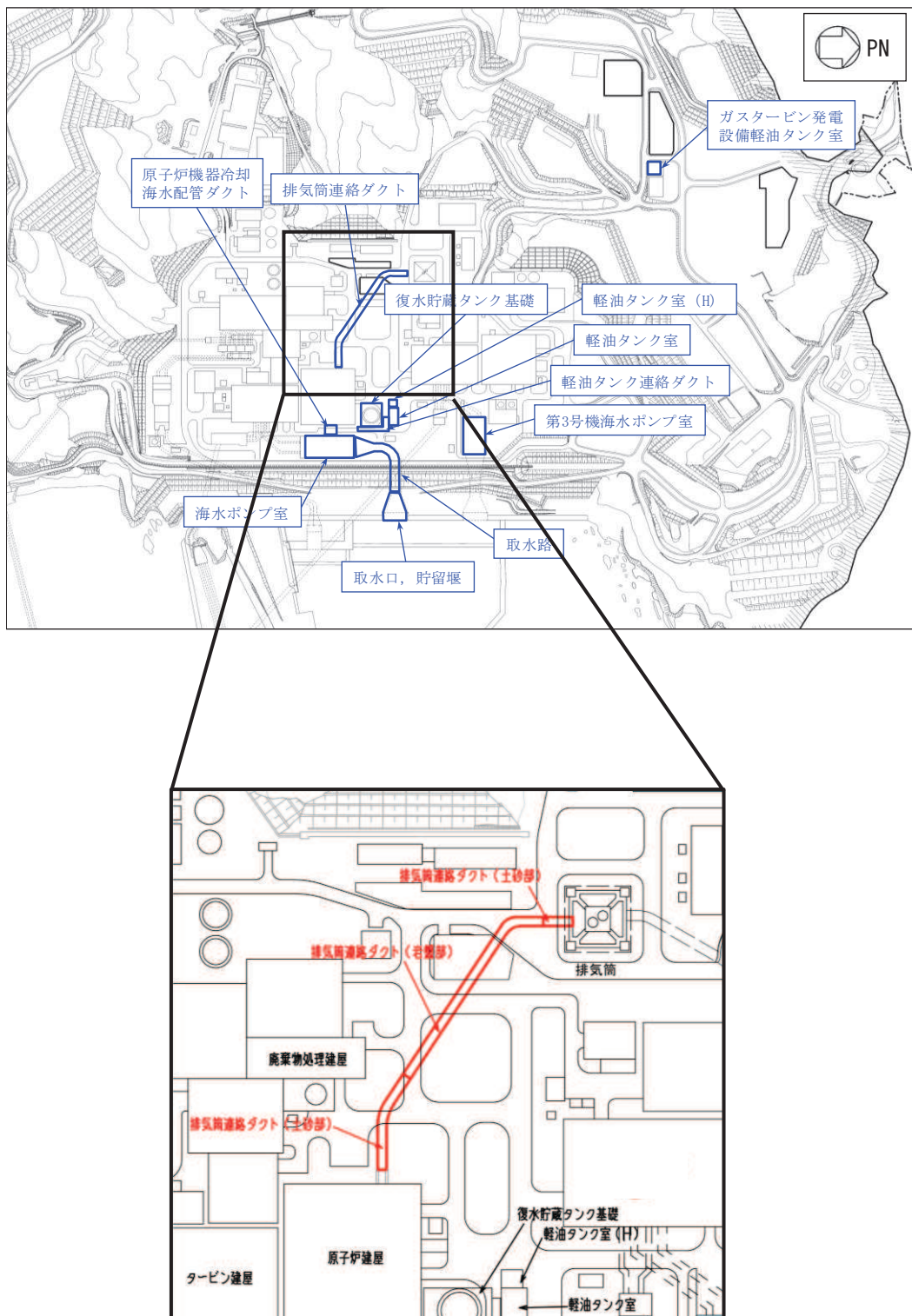


図 2-1 排気筒連絡ダクトの位置図

J1・J28：耐震ジョイント  
J2～J27：構造目地

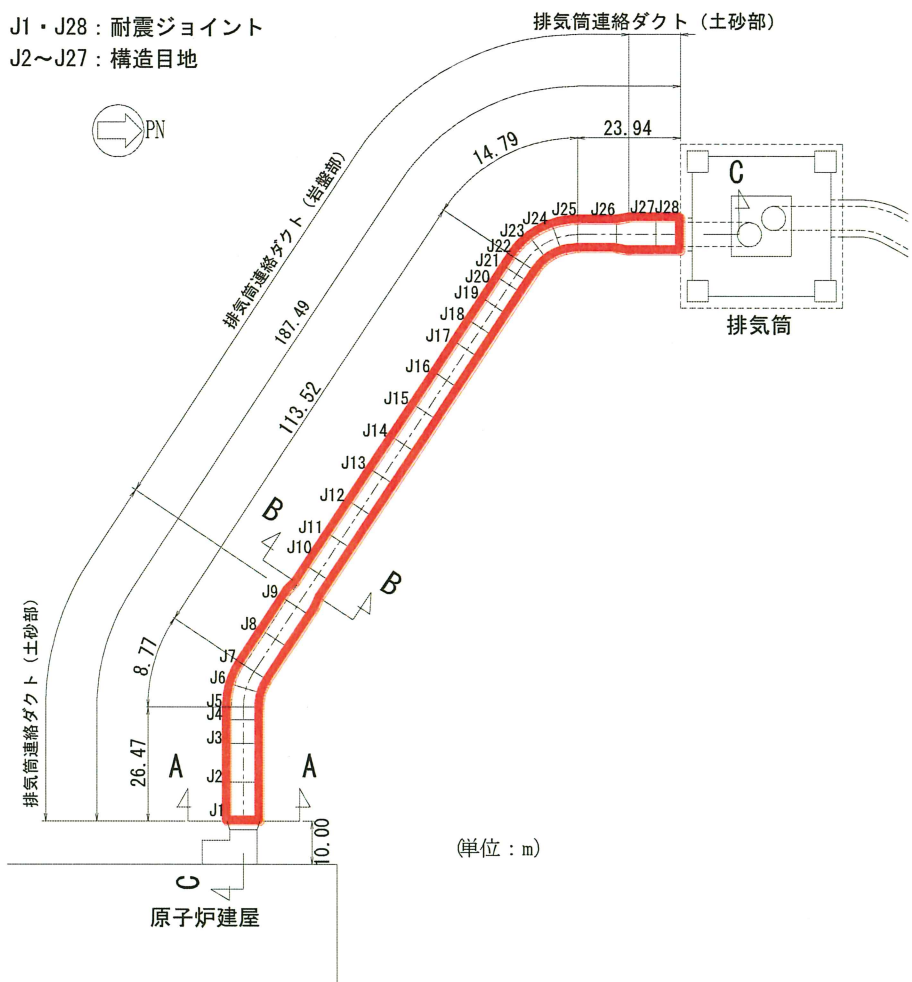


図 2-2 排気筒連絡ダクト平面図

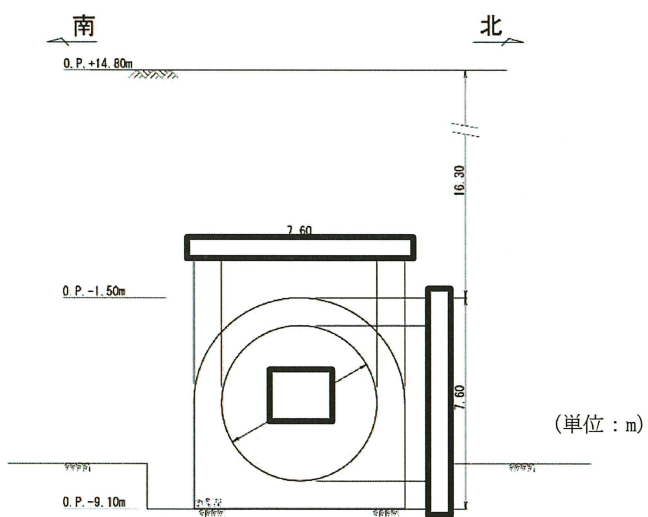


図 2-3(1) 排気筒連絡ダクト断面図 (A-A 断面, 土砂部)

枠囲みの内容は防護上の観点から公開できません。

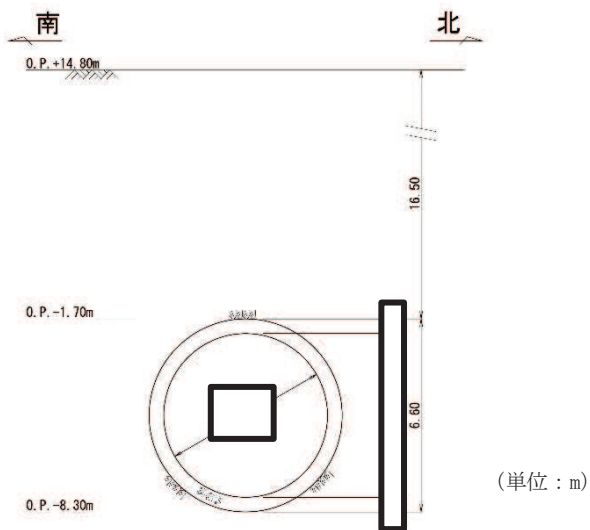


図 2-3(2) 排気筒連絡ダクト断面図 (B-B 断面, 岩盤部)

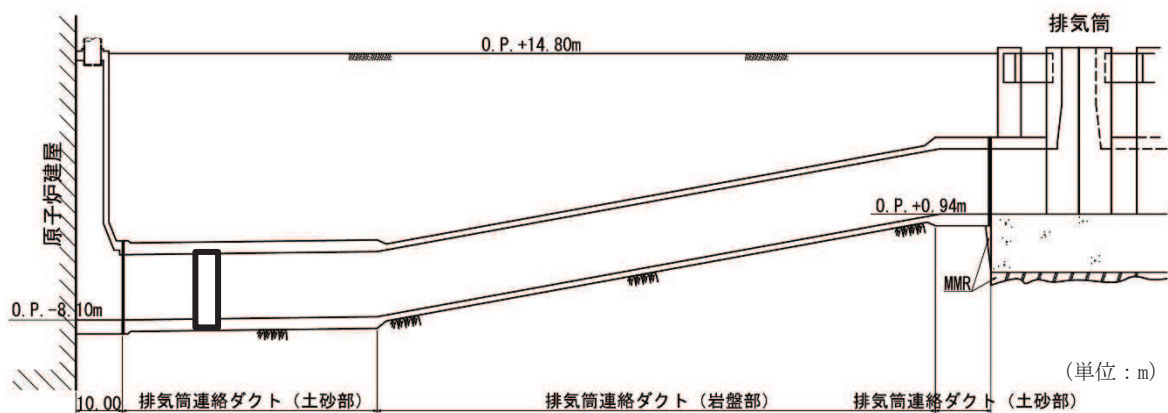


図 2-3(3) 排気筒連絡ダクト縦断図 (C-C 断面)

枠囲みの内容は防護上の観点から公開できません。

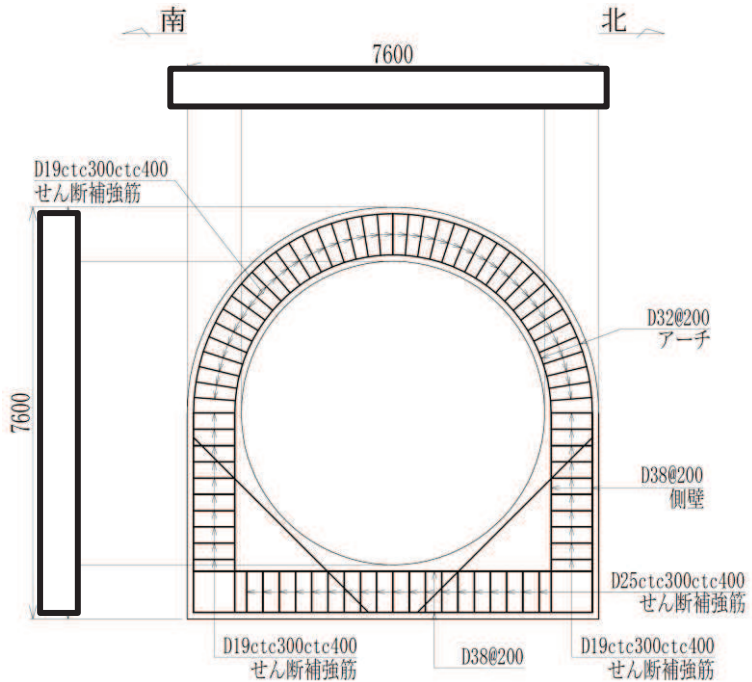


図 2-4(1) 排気筒連絡ダクト概略配筋図 (A-A 断面, 土砂部)

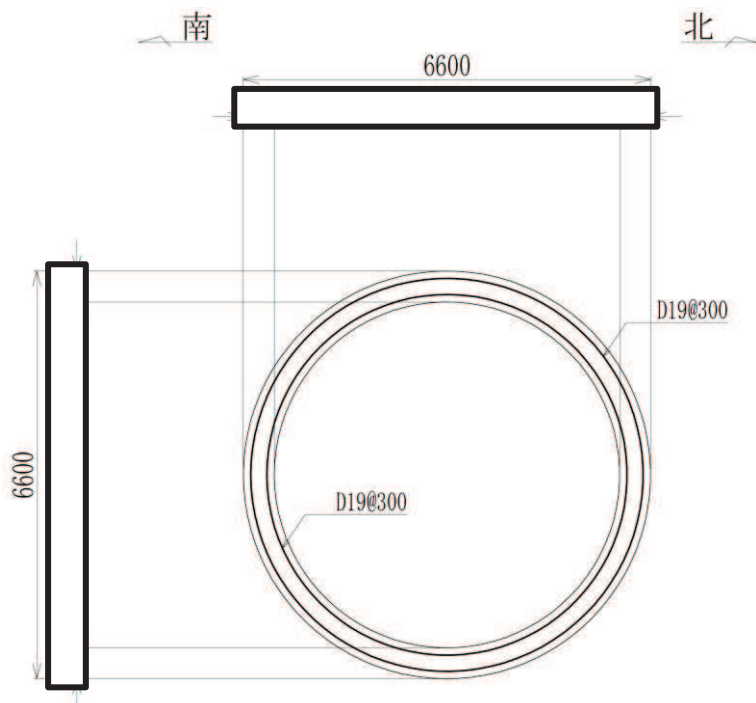


図 2-4(2) 排気筒連絡ダクト概略配筋図 (B-B 断面, 岩盤部)

枠囲みの内容は防護上の観点から公開できません。

## 2.2 評価対象断面の方向

評価対象断面の方向の選定に係る考え方を表2-1に示す。排気筒連絡ダクトは、横断方向（延長方向に直交する方向）に構造部材がない線状構造物であり、横断方向が明確な弱軸になるとともに全線にわたりブロック割されており、延長方向の応力は区画ごとに解放されることから、横断方向の断面を評価対象断面とする。

表 2-1 排気筒連絡ダクトの評価対象断面の方向の選定

	横断方向の加振	縦断方向の加振
排気筒連絡ダクト		
	<ul style="list-style-type: none"> <li>・横断方向は、加振方向に平行な壁部材がなく、弱軸方向にあたる。</li> </ul>	<ul style="list-style-type: none"> <li>・縦断方向は、加振方向に平行な部材全体を耐震設計上見込むことができ、強軸方向にあたる。</li> </ul>
弱軸方向を評価対象断面とする。		

### 2.3 評価対象断面の選定

排気筒連絡ダクトは、延長方向に3.0m～9.0m間隔に構造目地を介して分割され、原子炉建屋及び排気筒との接合部には耐震ジョイントが設置されており、土砂部と岩盤部のそれぞれの区間で延長方向に断面の変化がない線状構造物である。

評価対象断面は、「資料1 屋外重要土木構造物の耐震安全性評価について」の「4.5 排気筒連絡ダクト」に示すとおり、構造的特徴や周辺状況等を踏まえ、土砂部については断面①、岩盤部については断面⑤を選定する。また機器・配管系の床応答の観点から、断面①及び断面⑤に加えて断面③を選定する。

排気筒連絡ダクトの評価対象断面位置図及び評価対象地質断面図を図2-5に示す。

凡 例

[B]	B 級
[C <sub>H</sub> ]	C <sub>H</sub> 級
[C <sub>M</sub> ]	C <sub>M</sub> 級
[C <sub>L</sub> ]	C <sub>L</sub> 級
[D]	D 級
[	岩盤分類境界
[	速度層 境界
△△	盛 土
○○	旧 表 土
□□	砂 岩
▨▨	頁 岩
▨	ひ ん 岩
—	断 層
---	地 質 境 界
[■]	改良地盤等
—	地 下 水 位

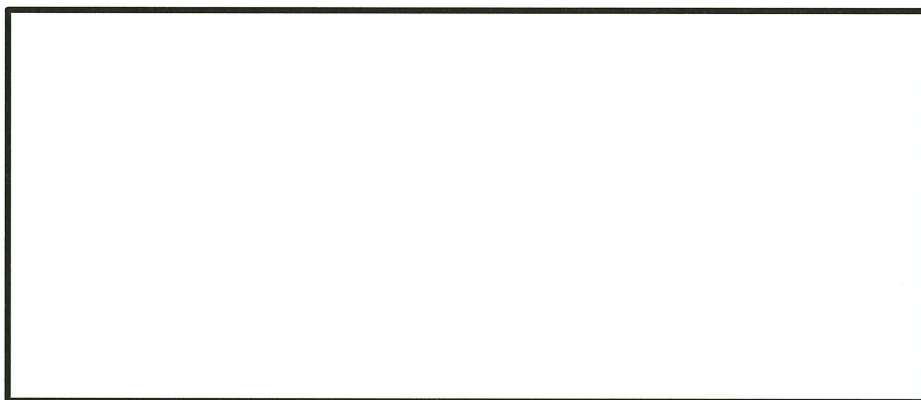


図 2-5(1) 排気筒連絡ダクト 評価対象断面位置図

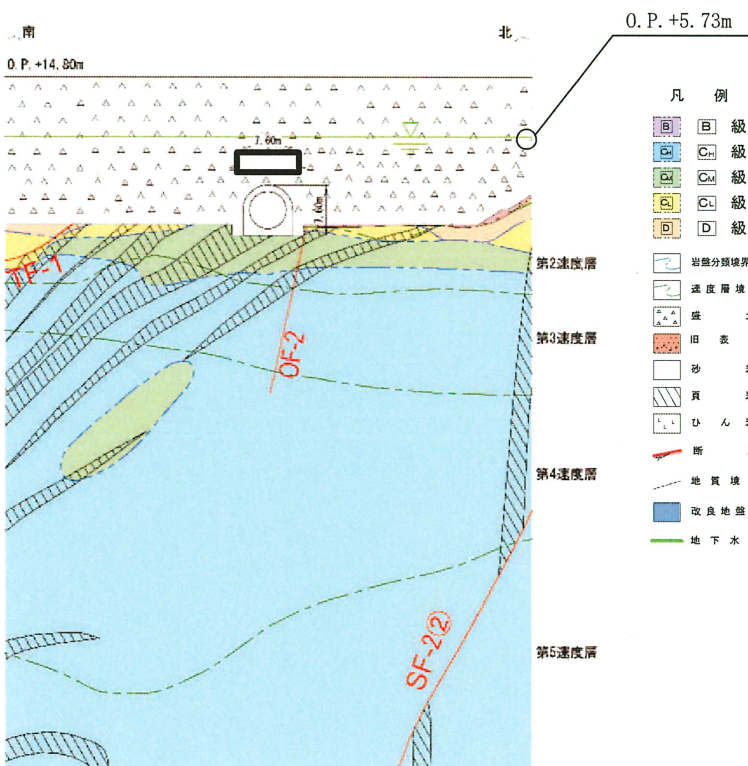


図 2-5(2) 排気筒連絡ダクト 評価対象地質断面図 (土砂部 (断面①))

枠囲みの内容は防護上の観点から公開できません。

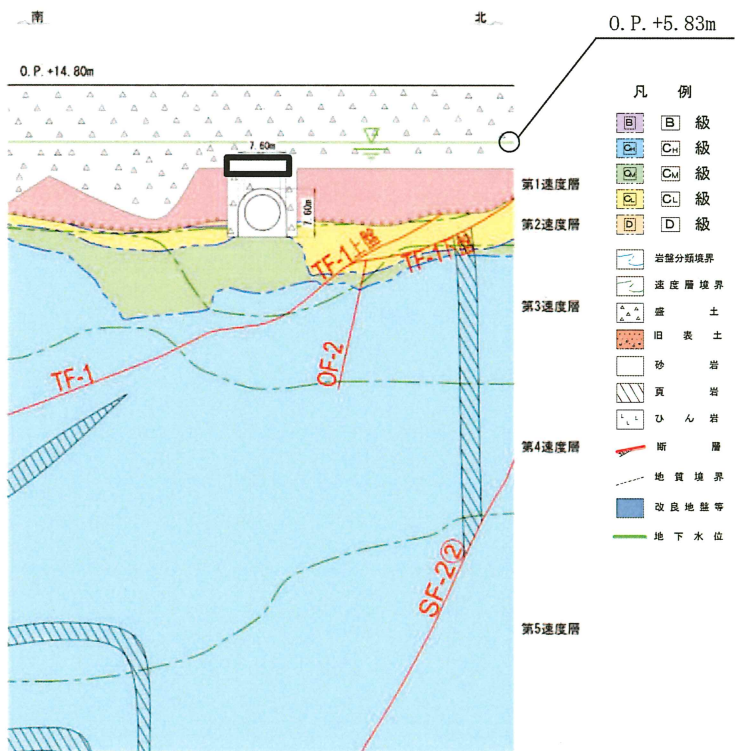


図 2-5(3) 排気筒連絡ダクト 評価対象地質断面図（土砂部（断面③））

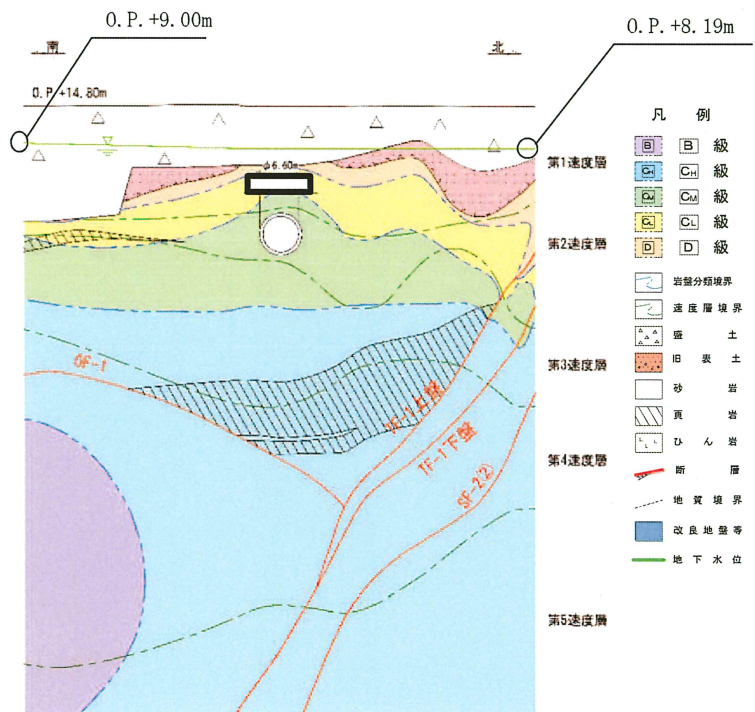


図 2-5(4) 排気筒連絡ダクト 評価対象地質断面図（岩盤部（断面⑤））

枠囲みの内容は防護上の観点から公開できません。

## 2.4 使用材料及び材料の物性値

構造物の使用材料を表2-2に、材料の物性値を表2-3に示す。

表 2-2 使用材料

材料	仕様
コンクリート	設計基準強度 $20.5\text{N/mm}^2$
鉄筋	SD345

表 2-3 材料の物性値

材料	項目	材料諸元	備考
鉄筋コンクリート	単位体積重量 ( $\text{kN/m}^3$ )	24.0	
コンクリート	ヤング係数 ( $\text{N/mm}^2$ )	設計基準強度 $2.33 \times 10^4$	解析ケース <sup>*2</sup> ①, ②, ③, ⑥, ⑦, ⑧
		実強度 <sup>*1</sup> $2.54 \times 10^4$	解析ケース <sup>*2(4)</sup>
	ボアソン比	0.2	

注記\*1：既設構造物のコア採取による圧縮強度試験の結果を使用する。

\*2：解析ケースについては、「3.5 地震応答解析の解析ケース」に示す。

## 2.5 地盤物性値

地盤については、添付書類「VI-2-1-3 地盤の支持性能に係る基本方針」にて設定している物性値を用いる。地盤の物性値を表2-4～表2-7に示す。

なお、有効応力解析に用いる液状化強度特性は、敷地の原地盤における代表性及び網羅性を踏まえた上で、下限値として設定する。

表2-4(1) 地盤の解析用物性値（狐崎部層）

岩種・岩級	物理特性		強度特性		变形特性		
	単位体積重量 $\gamma$ (kN/m <sup>3</sup> )		せん断強度 $\tau_0$ (N/mm <sup>2</sup> )	内部摩擦角 $\phi$ (°)	残留強度 $\tau$ (N/mm <sup>2</sup> )	静弾性係数 $E_s$ (N/mm <sup>2</sup> )	静ボアン比 $\nu_s$
B級	26.4	1.72	43.0	1.30	0.73	1,770	0.25
C <sub>H</sub> 級	26.2	1.72	43.0	1.30	0.73	1,770	0.24
C <sub>M</sub> 級	25.2	0.49	47.0	1.16	0.62	980	0.26
C <sub>L</sub> 級	24.1	0.46	44.0	0.73	0.76	400	0.31
D級	20.2	0.10	24.0	0.41	0.49	78	0.38

表2-4(2) 参照

$h = 0.085 \gamma / (0.00026 + \gamma) + 0.028$

表 2-4(2) 地盤の解析用物性値（狐崎部層）

岩種・岩級		速度層	動的変形特性	
			動せん断弾性係数 $G_d$ (N/mm <sup>2</sup> )	動ポアソン比 $\nu_d$
<span style="border: 1px solid black; padding: 2px;">B</span> 級 及び <span style="border: 1px solid black; padding: 2px;">C<sub>H</sub></span> 級	<span style="border: 1px solid black; padding: 2px;">砂岩</span>	第 2 速度層	$1.5 \times 10^3$	0.44
		第 3 速度層	$5.9 \times 10^3$	0.40
		第 4 速度層	$13.2 \times 10^3$	0.36
		第 5 速度層	$16.5 \times 10^3$	0.35
		第 1 速度層	$0.2 \times 10^3$	0.48
	<span style="border: 1px solid black; padding: 2px;">C<sub>M</sub></span> 級	第 2 速度層	$1.5 \times 10^3$	0.44
		第 3 速度層	$5.7 \times 10^3$	0.40
		第 4 速度層	$12.7 \times 10^3$	0.36
		第 5 速度層	$15.8 \times 10^3$	0.35
		第 1 速度層	$0.2 \times 10^3$	0.48
<span style="border: 1px solid black; padding: 2px;">C<sub>L</sub></span> 級		第 2 速度層	$1.4 \times 10^3$	0.44
		第 3 速度層	$5.5 \times 10^3$	0.40
		第 1 速度層	表 2-4(1) 参照	0.48
<span style="border: 1px solid black; padding: 2px;">D</span> 級		第 2 速度層		0.44

表 2-5 地盤の解析用物性値（盛土他）

岩種・岩級	物理特性			強度特性			変形特性			
	単位体積重量 $\gamma$ (kN/m <sup>3</sup> )	せん断強度 $\tau_0$ (N/mm <sup>2</sup> )	内部摩擦角 $\phi$ (°)	引張強度 $\sigma_t$ (N/mm <sup>2</sup> )	残留強度 $\tau$ (N/mm <sup>2</sup> )	静弾性係数 $E_s$ (N/mm <sup>2</sup> )	静的特性 $\gamma_s$	動せん断弾性係数 $G_d$ (N/mm <sup>2</sup> )	動的特性 $\gamma_d$	減衰定数 $h$
盛土	20.6	0.06	30.0	—	0.06 + $\sigma \tan 30.0^\circ$	198 $\sigma^{0.60}$	0.40	$G_0 = 382 \sigma^{0.71}$ $G_d/G_0 = 1/(1+\gamma/\sqrt{0.00036})^{*1}$	0.48	$h = 0.183\gamma / (\gamma + 0.000261)$
日表土	19.0	0.08	26.2	—	0.08 + $\sigma \tan 26.2^\circ$	302 $\sigma^{0.80}$	0.40	$G_0 = 211 \sigma^{0.42}$ $G_d/G_0 = 1/(1+\gamma/\sqrt{0.00087})^{*1}$	0.46	$\gamma < 3 \times 10^{-4}$ $h = 0.125 + 0.0201 \log \gamma$ $3 \times 10^{-4} \leq \gamma < 2 \times 10^{-2}$ $h = 0.374 + 0.0911 \log \gamma$ $2 \times 10^{-2} \leq \gamma$ $h = 0.22$
断層 及びシーム <sup>*2</sup>	18.6	0.067	22.2	—	0.067 + $\sigma \tan 22.2^\circ$	124.5 $\sigma^{0.90}$ せん断方向 44.43 $\sigma^{0.90}$	0.40	$G_0 = 192.3 \sigma^{0.74}$ $G_d/G_0 = 1/(1+\gamma/\sqrt{0.0012})^{*1}$	0.46	$\gamma < 1 \times 10^{-4}$ $h = 0.024$ $1 \times 10^{-4} \leq \gamma < 1.6 \times 10^{-2}$ $h = 0.024 + 0.089(\log \gamma + 4)$ $1.6 \times 10^{-2} \leq \gamma$ $h = 0.22$
セメント改良土	21.6	0.65	44.3	0.46	0.21 + $\sigma \tan 40.9^\circ$	690	0.26	$G_0 = 1670$ $G_d/G_0 = 1/(1+\gamma/\sqrt{0.00085})^{*1}$	0.36	$\gamma < 3.8 \times 10^{-5}$ $h = 0.014$ $3.8 \times 10^{-5} \leq \gamma$ $h = 0.151 + 0.0311 \log \gamma$
改良地盤	20.6	1.39	22.1	0.65	0.51 + $\sigma \tan 34.6^\circ$	4,480	0.19	$G_0 = 1940$ $G_d/G_0 = 1/(1+\gamma/\sqrt{0.00136})^{*1}$	0.35	$\gamma < 1.2 \times 10^{-4}$ $h = 0.031$ $1.2 \times 10^{-4} \leq \gamma < 5.2 \times 10^{-3}$ $h = 0.227 + 0.0501 \log \gamma$ $5.2 \times 10^{-3} \leq \gamma$ $h = 0.13$

\*1：残存剛性率 ( $G_d/G_0$ ) が小さい領域は次式で補間

$$G_0 = E_s/2 \cdot (1 + \gamma_s), \quad G_d/G_0 = 1/(1 + \gamma/\gamma_s), \quad \gamma_m = \tau_f/G_0$$

\*2：断層及びシームの挿在物は、「粘土状」、「砂状」、「鱗片上」等の性状が確認されているが、そのうち最も強度の小さい粘土状物質にて試験を行い解析用物性値を設定している

表 2-6 地盤の解析用物性値（有効応力解析、液状化検討対象層）

		旧表土	盛土
物理特性	密度 $\rho$ ( $\text{g}/\text{cm}^3$ )	1.94 (1.88)*	2.10 (1.90)*
	間隙率 n	0.437	0.363
変形特性	動せん断弾性係数 $G_{m_a}$ ( $\text{kN}/\text{m}^2$ )	$2.110 \times 10^5$	$7.071 \times 10^4$
	基準平均有効拘束圧 $\sigma_{m_a}$ ( $\text{kN}/\text{m}^2$ )	$1.0 \times 10^3$	$1.0 \times 10^3$
	ポアソン比 $\nu$	0.40	0.40
	減衰定数の上限値 $h_{m_a x}$	0.220	0.183
強度特性	粘着力 c ( $\text{N}/\text{mm}^2$ )	0.08 (0.00) *	0.06 (0.10) *
	内部摩擦角 $\phi$ (°)	26.2 (38.7) *	30.0 (33.9) *
液状化特性	変相角 $\phi_p$ (°)	28.0	28.0
	液状化パラメータ	S <sub>1</sub>	0.005
		w <sub>1</sub>	1.0
		p <sub>1</sub>	1.4
		p <sub>2</sub>	1.5
		c <sub>1</sub>	2.0
			2.8

注記\*：括弧内の数値は、地下水位以浅の値を表す。

表 2-7 地盤の解析用物性値（有効応力解析、非液状化検討対象層）

		D 級岩盤	改良地盤	セメント改良土	
物理特性	密度 $\rho$ (g/cm <sup>3</sup> )	2.06 (1.95)*	2.10 (2.00)*	2.20	
	間隙率 n	0.349	0.00	0.00	
変形特性	動せん断弹性係数 $G_{m_a}$ (kN/m <sup>2</sup> )	$2.000 \times 10^5$	$1.94 \times 10^6$ ( $1.84 \times 10^6$ )	$1.67 \times 10^6$	
	基準平均有効拘束圧 $\sigma_{m_a}$ , (kN/m <sup>2</sup> )	$1.0 \times 10^3$	$1.0 \times 10^3$	$1.0 \times 10^3$	
	ボアソン比 $\nu$	第 1 速度層	0.48	0.35	0.36
		第 2 速度層	0.44(狐崎部層)		
強度特性	減衰定数の上限値 $h_{m_a x}$	0.113	0.113	0.080	
	粘着力 c (N/mm <sup>2</sup> )	0.10	1.39	0.65	
	内部摩擦角 $\phi$ (°)	24.0	22.1	44.3	

注記\*：括弧内の数値は、地下水位以浅の値を表す。

## 2.6 評価構造物諸元

### 2.6.1 土砂部 (断面①及び③)

排気筒連絡ダクト (土砂部 (断面①及び③)) の諸元を表 2-8 に、評価部位を図 2-6 に示す。

表 2-8 評価部位とその仕様 (土砂部 (断面①及び③))

部位	仕様		材料		要求機能	
	部材幅 (mm)	部材厚 (mm)	コンクリート $f'_{ck}$ (N/mm <sup>2</sup> )	鉄筋		
アーチ	1	1000	1000	20.5	SD345	—
側壁	2 3	1000	1000	20.5	SD345	—
底版	4	1000	1000	20.5	SD345	支持機能

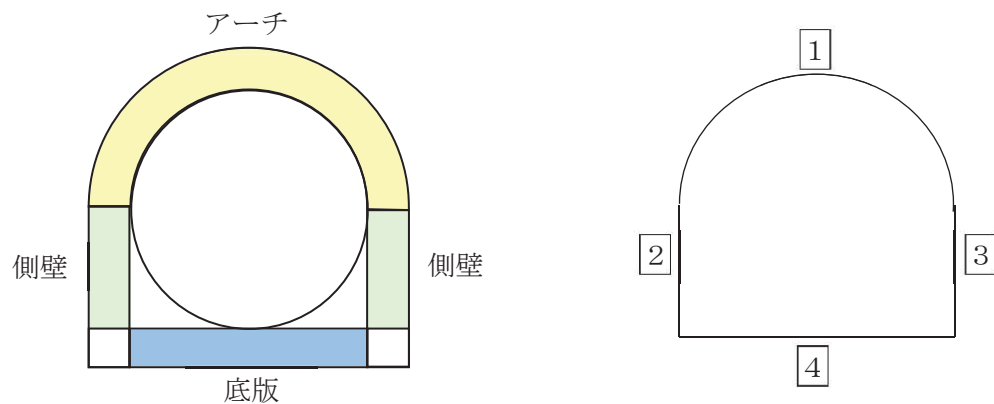


図 2-6 評価部位 (土砂部 (断面①及び③))

## 2.6.2 岩盤部 (断面⑤)

排気筒連絡ダクト (岩盤部 (断面⑤)) の諸元を表 2-9 に、評価部位を図 2-7 に示す。

表 2-9 評価部位とその仕様 (岩盤部 (断面⑤))

部位	仕様		材料		要求機能	
	部材幅 (mm)	部材厚 (mm)	コンクリート $f'_{ck}$ (N/mm <sup>2</sup> )	鉄筋		
覆工部	[1]	1000	500	20.5	SD345	支持機能

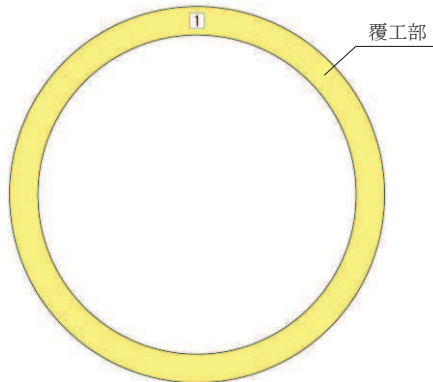


図 2-7 評価部位 (岩盤部 (断面⑤))

## 2.7 地下水位

設計用地下水位は、添付書類「VI-2-1-3 地盤の支持性能に係る基本方針」に従い設定する。設計用地下水位の一覧を表2-10に、設計用地下水位を図2-8～図2-10に示す。

表 2-10 設計用地下水位

評価対象断面	設計用地下水位
土砂部（断面①）	O. P. +5.73m
土砂部（断面③）	O. P. +5.83m
岩盤部（断面⑤）	O. P. +8.19m～O. P. +9.00m

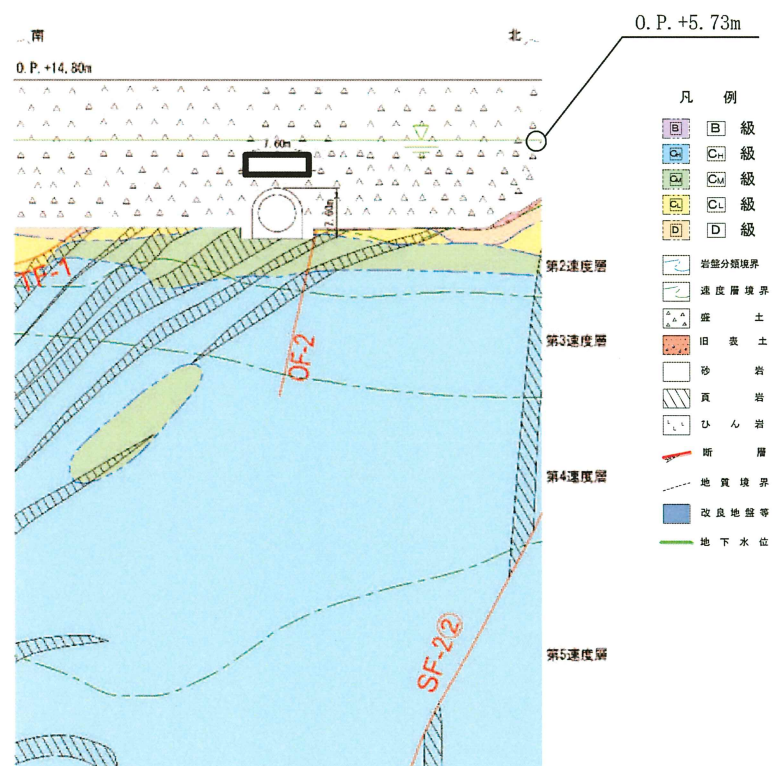


図 2-8 排気筒連絡ダクトの設計用地下水位（土砂部（断面①））

枠囲みの内容は防護上の観点から公開できません。

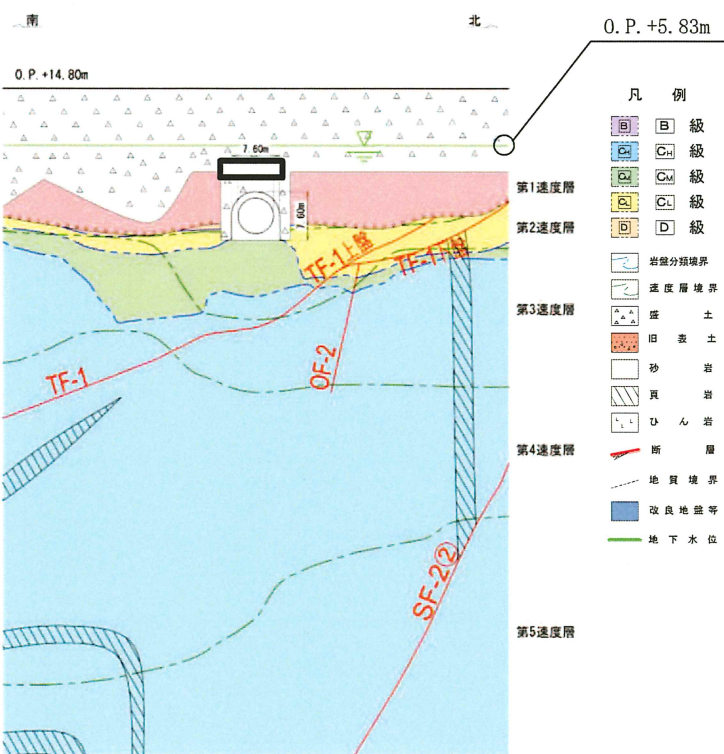


図 2-9 排気筒連絡ダクトの設計用地下水位 (土砂部 (断面③))

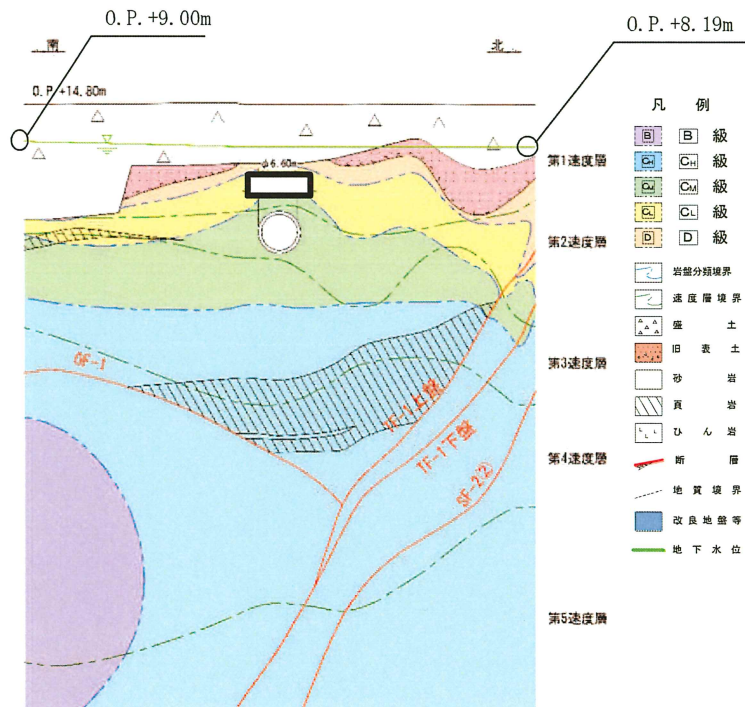


図 2-10 排気筒連絡ダクトの設計用地下水位 (岩盤部 (断面⑤))

枠囲みの内容は防護上の観点から公開できません。

## 2.8 耐震評価フロー

排気筒連絡ダクトの地震応答解析フロー及び耐震評価フローを図2-11及び図2-12に示す。

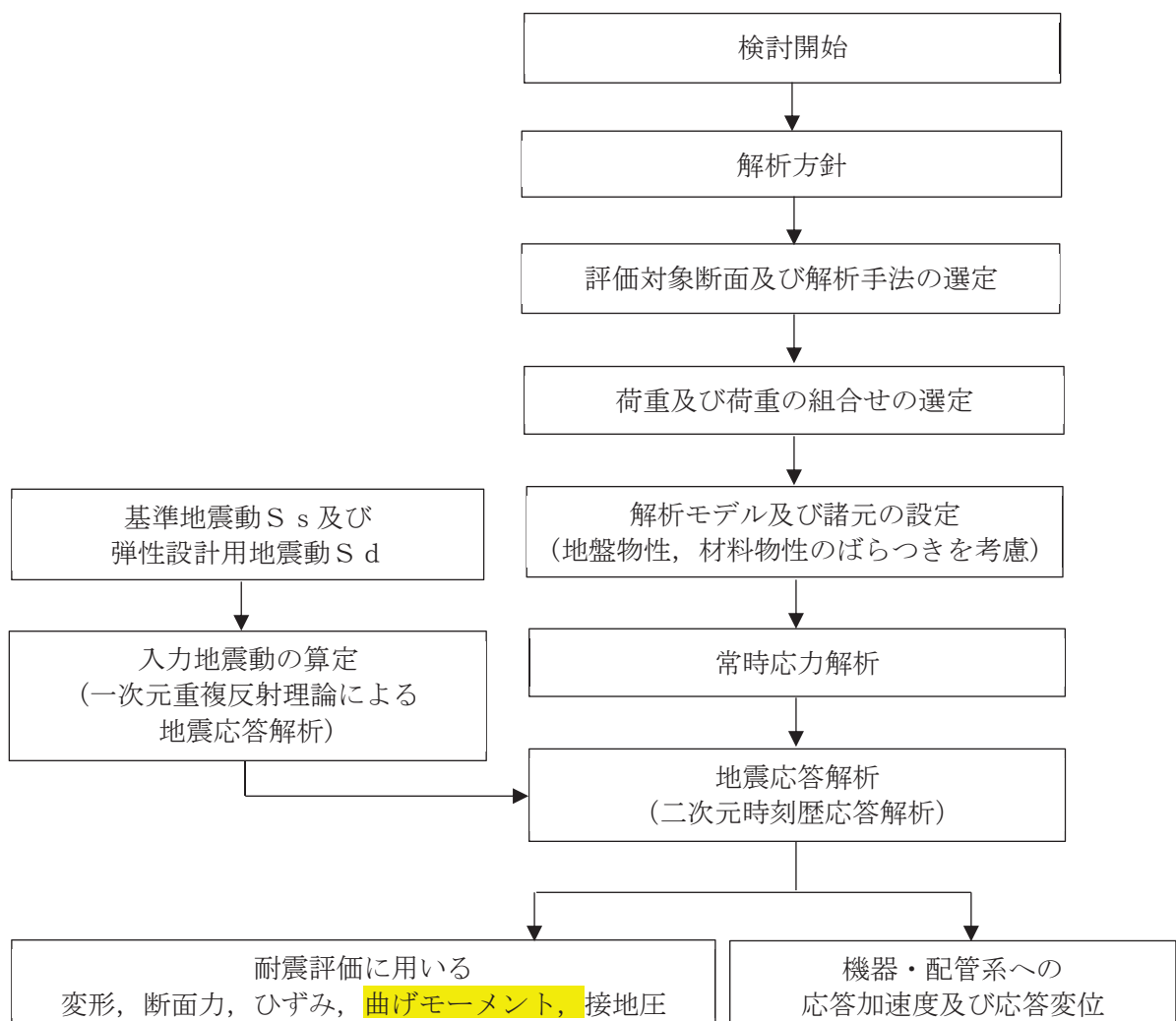


図 2-11 排気筒連絡ダクトの地震応答解析フロー

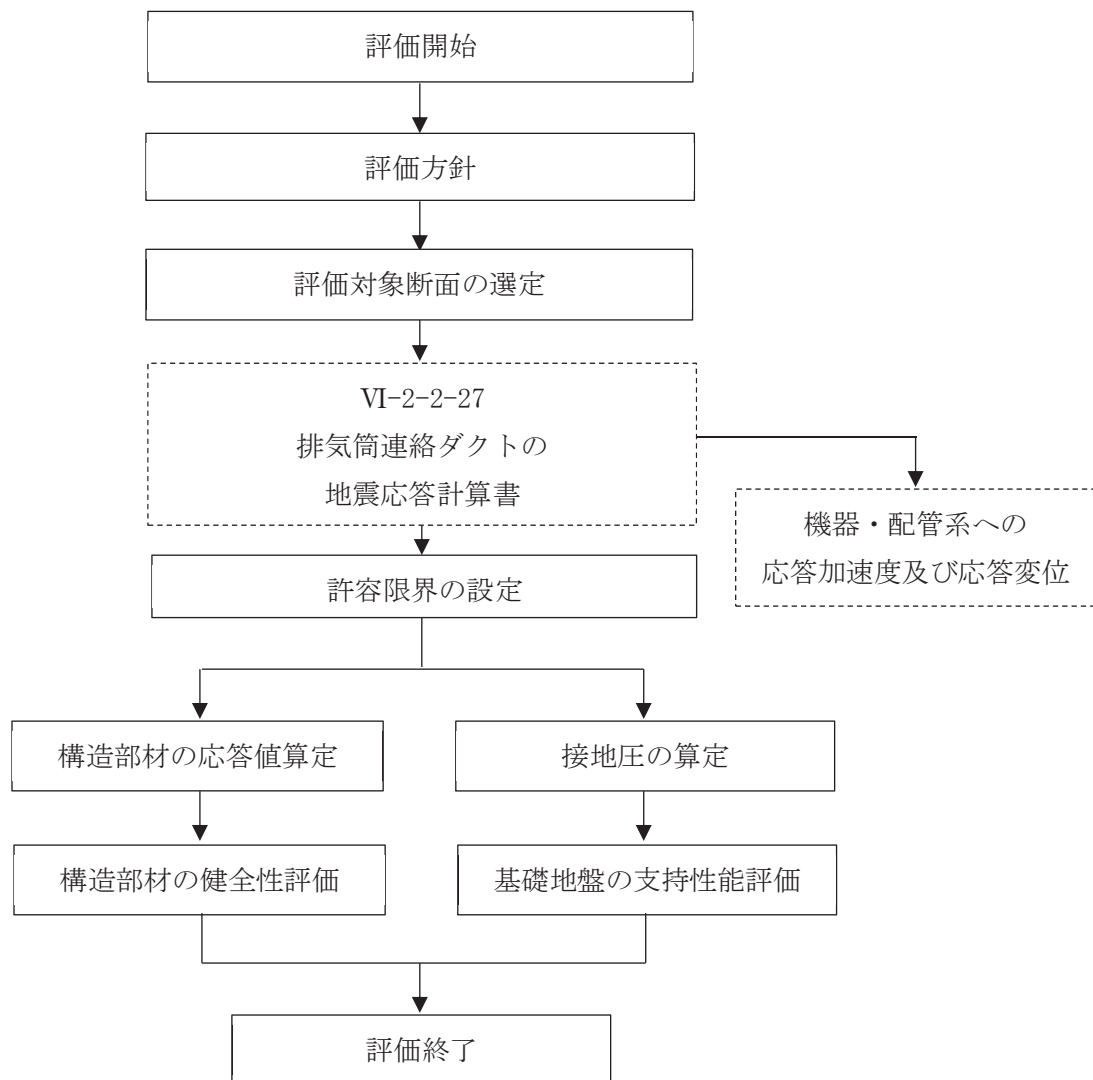


図 2-12 排気筒連絡ダクトの耐震評価フロー

## 2.9 適用規格

排気筒連絡ダクトの耐震評価に当たっては、コンクリート標準示方書[構造性能照査編]（土木学会 2002年制定）（以下「コンクリート標準示方書」という。），原子力発電所耐震設計技術指針 JEAG 4601-1987（社団法人 日本電気協会 電気技術基準調査委員会）を適用するが、鉄筋コンクリート部材の曲げ・軸力系及びせん断破壊の許容限界の一部については、原子力発電所屋外重要土木構造物の耐震性能照査指針・マニュアル（2005年6月 土木学会 原子力土木委員会）（以下「土木学会マニュアル」という。）及びコンクリート標準示方書を適用する。また、基礎地盤の支持性能の許容限界については、道路橋示方書・同解説（I共通編・IV下部構造編）（社団法人 日本道路協会、平成14年3月）を適用する。

また、材料非線形解析によりせん断耐力を求める場合の材料定数についてはコンクリート標準示方書[設計編]（土木学会 2017年制定）（以下「コンクリート標準示方書2017」という。）を適用する。

表2-11に適用する規格、基準類を示す。

表2-11 適用する規格、基準類(1/2)

項目	適用する規格、基準類	備考	確認項目
使用材料及び材料定数	・コンクリート標準示方書 [構造性能照査編] (土木学会 2002年制定)	・鉄筋コンクリートの材料諸元( $\gamma$ , E, $\nu$ )	—
	・コンクリート標準示方書 [設計編] (土木学会 2017年制定)	・コンクリートの材料定数 (材料非線形解析によるせん断耐力の算定)	—
荷重及び荷重の組合せ	・コンクリート標準示方書 [構造性能照査編] (土木学会 2002年制定)	・永久荷重、偶発荷重等の適切な組合せを検討	—
許容限界	・原子力発電所屋外重要土木構造物の耐震性能照査指針・マニュアル (2005年6月 土木学会 原子力土木委員会)	【土砂部 (全応力解析及び有効応力解析)】 ・曲げ・軸力系の破壊に対する照査は、限界層間変形角を設定した上で、発生層間変形角が限界層間変形角を下回ることを確認*	・構造強度を有すること
		【土砂部 (全応力解析及び有効応力解析)】 ・せん断破壊に対する照査は、発生せん断力がせん断耐力を下回ることを確認*	・構造強度を有すること ・Sクラスの施設を支持する機能を損なわないこと
	・コンクリート標準示方書 [構造性能照査編] (土木学会 2002年制定)	【土砂部 (全応力解析)】 ・曲げ・軸力系の破壊に対する照査においておおむね弾性範囲として、発生ひずみが限界ひずみ (コンクリート圧縮 $2000\mu$ , 主筋ひずみ $1725\mu$ ) を下回ることを確認*	・Sクラスの施設を支持する機能を損なわないこと
	・コンクリート標準示方書 [構造性能照査編] (土木学会 2002年制定)	【土砂部 (有効応力解析)】 ・曲げ・軸力系の破壊に対する照査においておおむね弾性範囲として、発生曲げモーメントが降伏曲げモーメントを下回ることを確認*	
	・コンクリート標準示方書 [構造性能照査編] (土木学会 2002年制定)	【岩盤部】 ・曲げ・軸力系の破壊に対する照査において、発生応力度が短期許容応力度を下回ることを確認*	・構造強度を有すること ・Sクラスの施設を支持する機能を損なわないこと
		【岩盤部】 ・せん断破壊に対する照査において、発生せん断力が短期許容せん断力を下回ることを確認*	・構造強度を有すること ・Sクラスの施設を支持する機能を損なわないこと

注記\* : 妥当な安全余裕を考慮する。

表 2-11 適用する規格、基準類(2/2)

項目	適用する規格、基準類	備考	確認項目
許容限界	・道路橋示方書・同解説（I共通編・IV下部構造編）（日本道路協会 平成14年3月）	・基礎地盤の支持性能に対する照査は、基礎地盤に発生する応力が極限支持力を下回ることを確認*	—
地震応答 解析	・原子力発電所耐震設計技術指針 J E A G 4 6 0 1-1987（社団法人 日本電気協会 電気技術基準調査委員会）	・有限要素法による二次元モデルを用いた時刻歴非線形解析	—

注記\*：妥当な安全余裕を考慮する。

### 3. 地震応答解析

#### 3.1 地震応答解析手法

地震応答解析は、構造物と地盤の相互作用を考慮できる二次元有限要素法により、基準地震動  $S_s$  及び弾性設計用地震動  $S_d$  に基づき設定した水平地震動と鉛直地震動の同時加振による逐次時間積分の時刻歴応答解析により行うこととし、解析手法については、図3-1に示す解析手法の選定フローに基づき選定する。解析手法は、「資料1 屋外重要土木構造物の耐震安全性評価について」の「4.5 排気筒連絡ダクト」に示すとおり、土砂部（断面①及び③）については全応力解析及び有効応力解析、岩盤部（断面⑤）については全応力解析とする。

構造部材については、土砂部（断面①及び断面③）は非線形はり要素、岩盤部（断面⑤）は線形はり要素を用いる。

地盤については、平面ひずみ要素でモデル化することとし、岩盤（D級岩盤以外）は線形でモデル化する。盛土、旧表土及びD級岩盤については、地盤のひずみ依存性を適切に考慮できるようマルチスプリングモデルを用いることとし、ばね特性は双曲線モデル（全応力解析では修正GHEモデル又はH-Dモデル、有効応力解析ではH-Dモデル）を用いて非線形性を考慮する。

なお、有効応力解析では、盛土・旧表土は液状化パラメータを設定することで、地震時の有効応力の変化に応じた非線形せん断応力ーせん断ひずみ関係を考慮する。

地震応答解析については、解析コード「SLAP Ver. 6.64」、「SLAP Ver. 6.65」及び「FLIP Ver. 7.3.0\_2」を使用する。なお、解析コードの検証及び妥当性確認等の概要については、添付書類「VI-5 計算機プログラム（解析コード）の概要」に示す。

地震応答解析手法の選定フローを図3-2に示す。

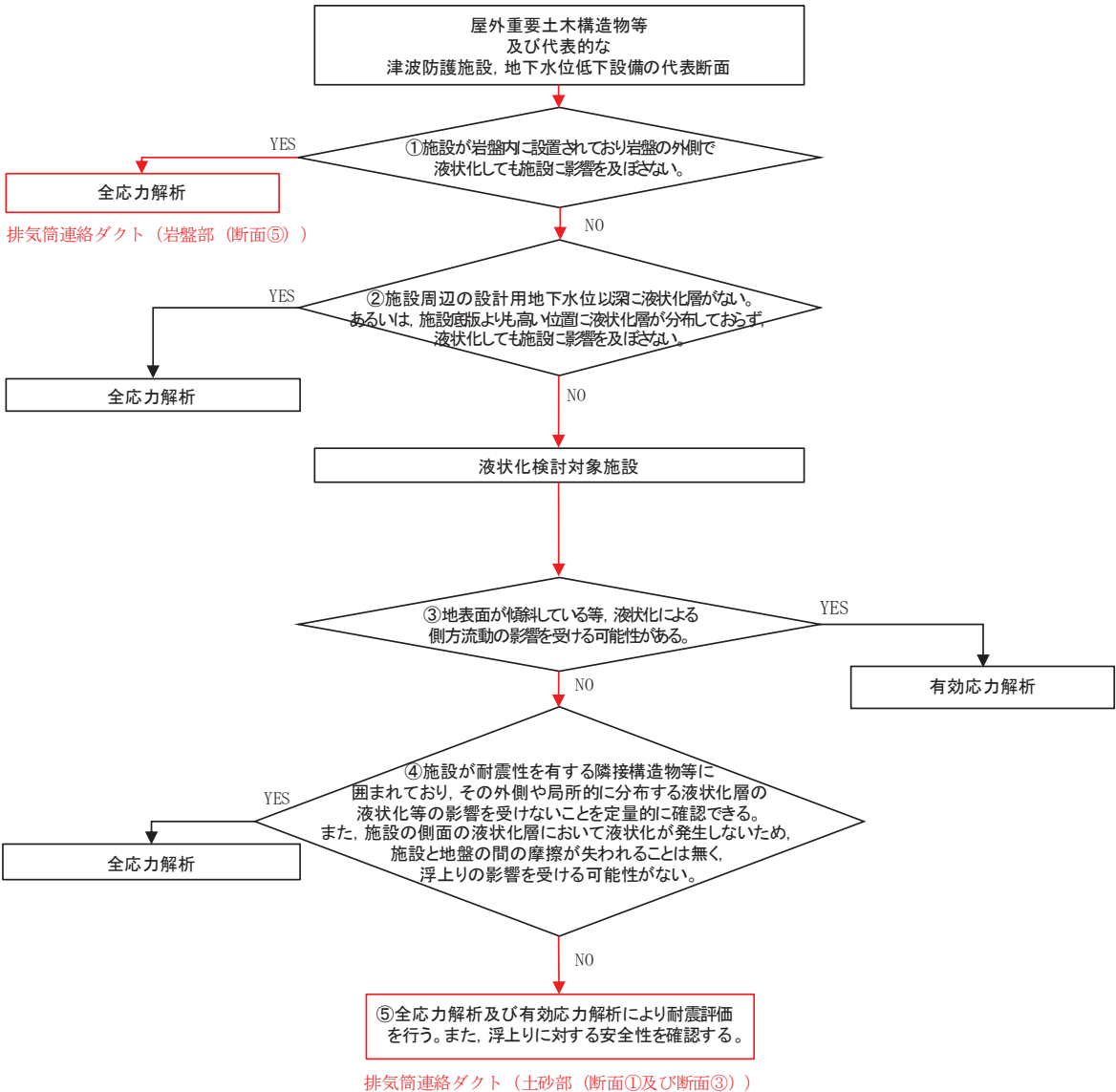
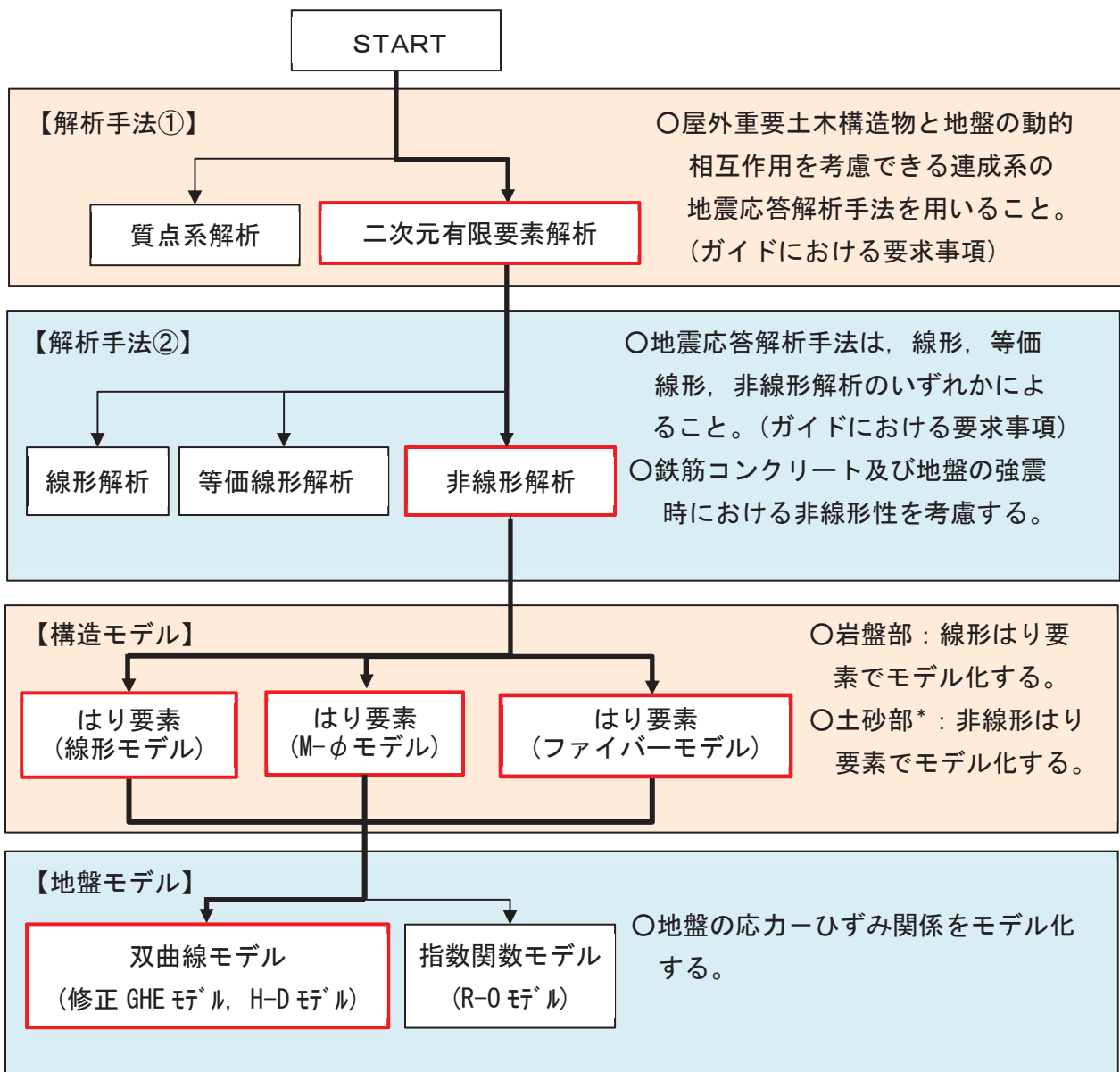


図 3-1 解析手法の選定フロー



注記\*：土砂部の構造モデルは、有効応力解析ではM-φモデルを用いてモデル化し、全応力解析ではファイバーモデルを用いてモデル化する。

図 3-2 地震応答解析手法の選定フロー

### 3.2 地震応答解析モデルの設定

#### 3.2.1 解析モデル領域

地震応答解析モデルは、境界条件の影響が地盤及び構造物の応力状態に影響を及ぼさないよう、十分広い領域とする。具体的には、原子力発電所耐震設計技術指針 J E A G 4 6 0 1 -1987（社団法人 日本電気協会 電気技術基準調査委員会）を参考に、図3-3に示すとおりモデル幅を構造物基礎幅の5倍以上、モデル高さを構造物基礎幅の2倍以上とする。

なお、解析モデルの境界条件は、側面及び底面ともに粘性境界とする。

地盤の要素分割については、波動をなめらかに表現するために、対象とする波長の5分の1程度を考慮し、要素高さを1m程度まで細分割して設定する。

構造物の要素分割については、土木学会マニュアルに従い、要素長さを部材の断面厚さ又は有効高さの2.0倍以下とし、1.0倍程度まで細分して設定する。

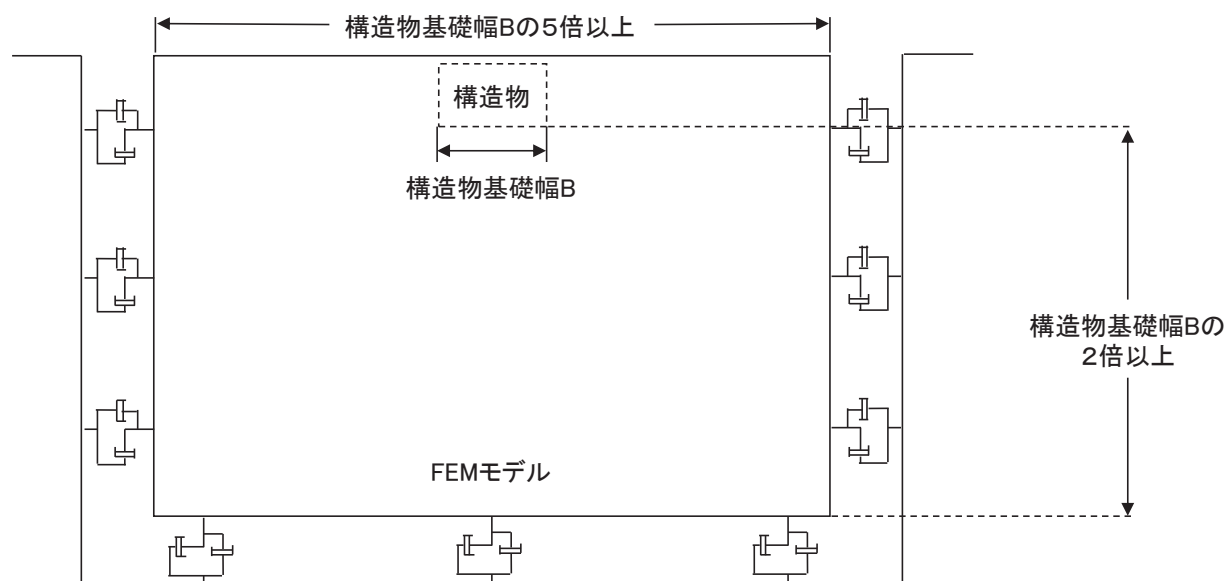


図3-3 モデル化範囲の考え方

二次元地震応答解析モデルは、検討対象構造物とその周辺地盤をモデル化した不整形地盤に加え、この不整形地盤の左右に広がる地盤をモデル化した自由地盤で構成される。この自由地盤は、不整形地盤の左右端と同じ地質構成を有する一次元地盤モデルである。二次元地震応答解析における自由地盤の常時応力解析から不整形地盤の地震応答解析までのフローを図3-4に示す。

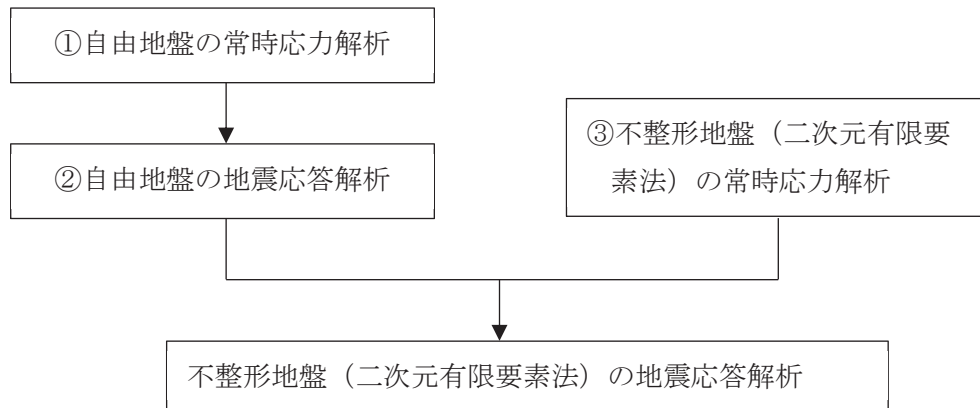


図3-4　自由地盤の常時応力解析から不整形地盤（二次元有限要素法）の地震応答解析までのフロー

### 3.2.2 境界条件

#### (1) 固有値解析時

固有値解析を実施する際の境界条件は、境界が構造物を含めた周辺地盤の振動特性に影響を与えないよう設定する。ここで、底面境界は地盤のせん断方向の卓越変形モードを把握するために固定とし、側面は実地盤が側方に連続していることを模擬するため水平ローラーとする。境界条件の概念図を図3-5に示す。

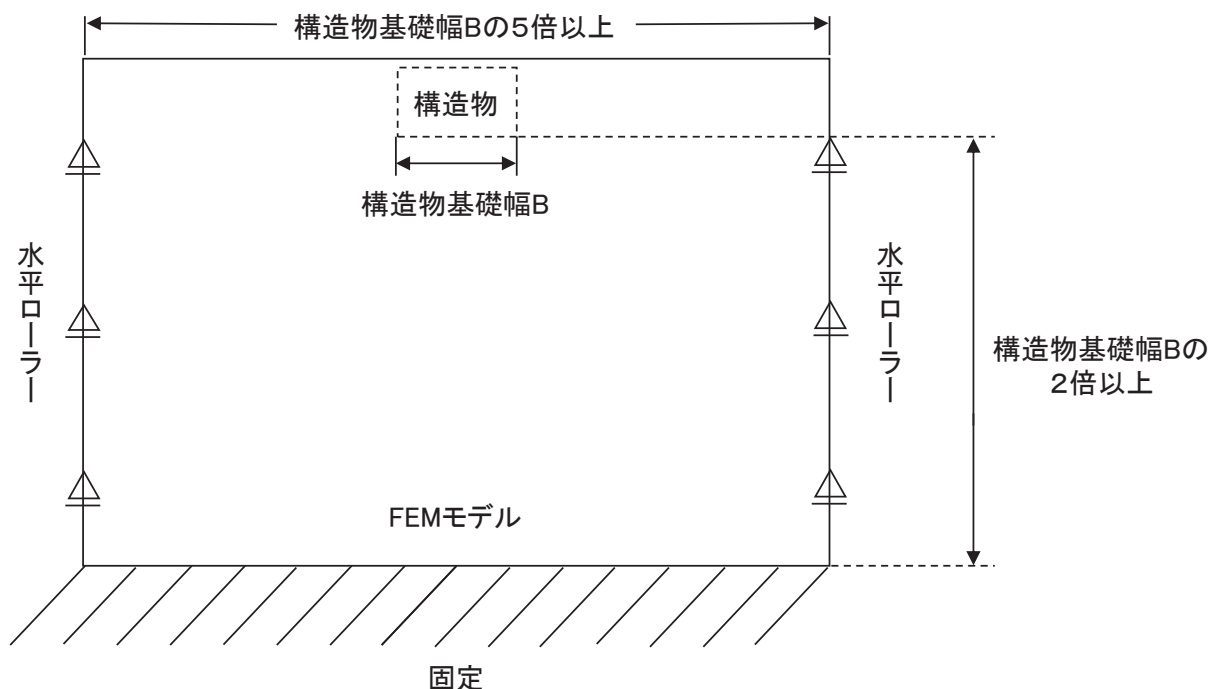


図3-5 固有値解析における境界条件の概念図

## (2) 常時応力解析時

常時応力解析は、地盤や構造物の自重等の静的な荷重を載荷することによる常時応力を算定するために行う。そこで、常時応力解析時の境界条件は底面固定とし、側方は自重等による地盤の鉛直方向の変形を拘束しないよう鉛直ローラーとする。境界条件の概念図を図3-6に示す。

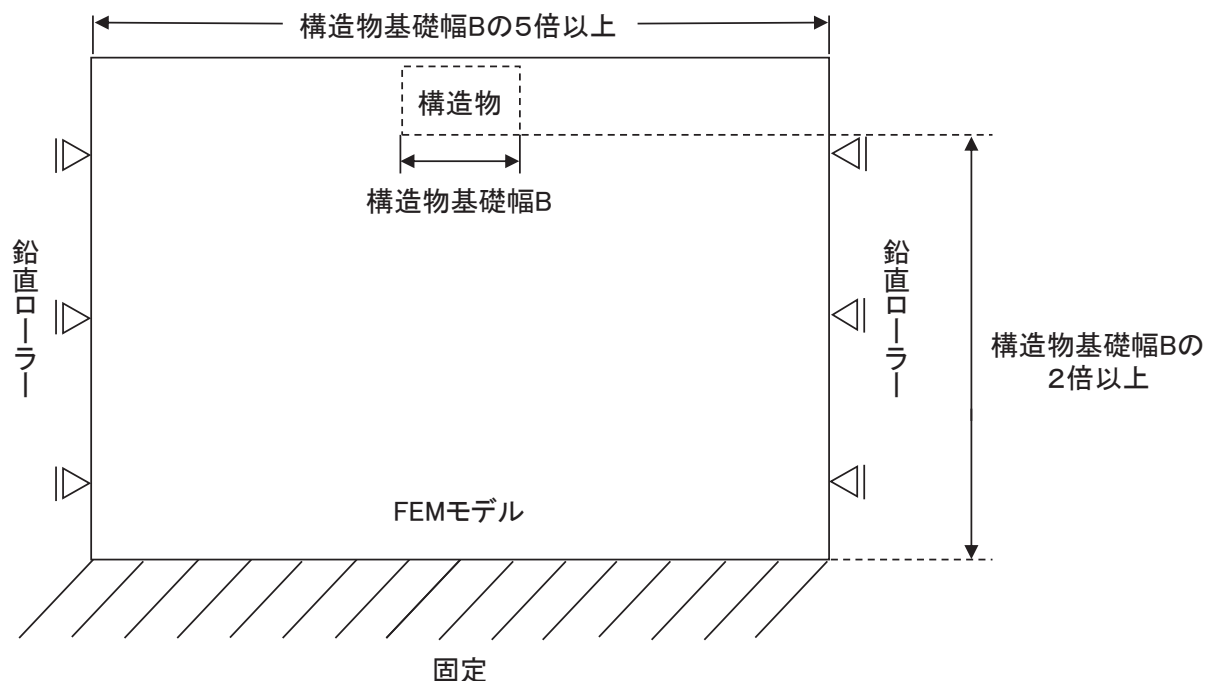
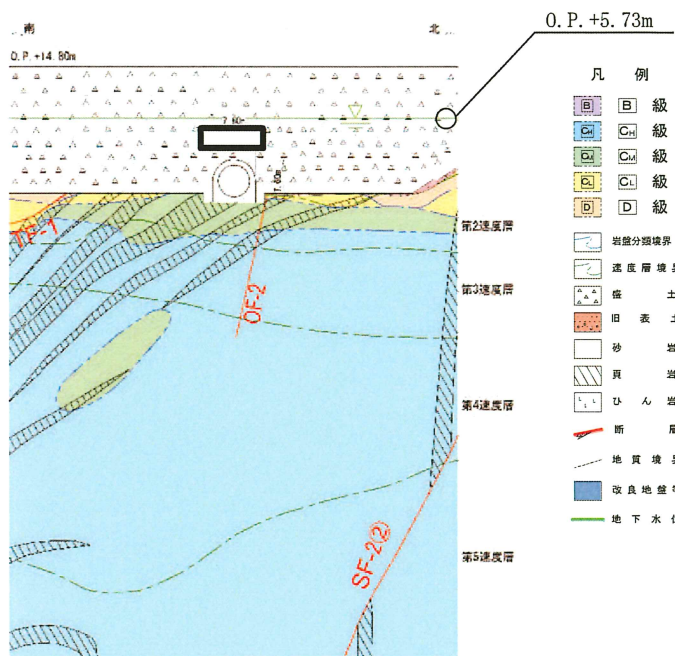


図3-6 常時応力解析における境界条件の概念図

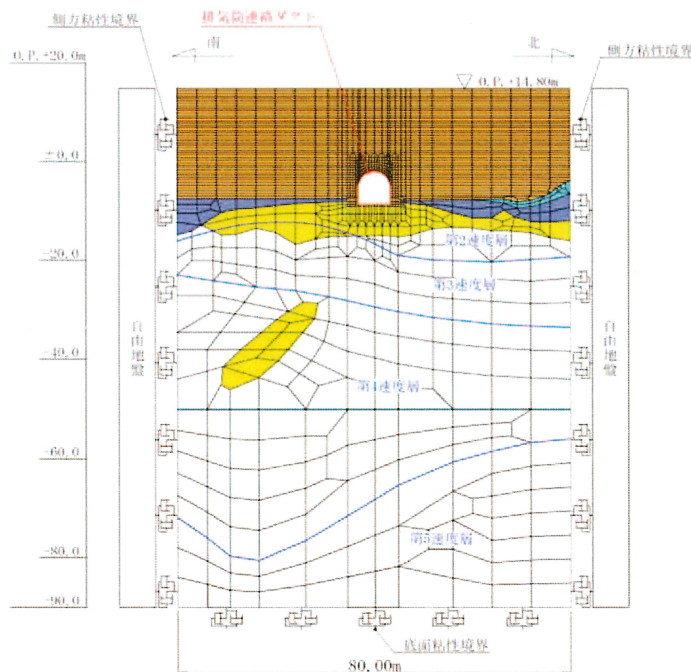
### (3) 地震応答解析時

地震応答解析時の境界条件については、有限要素解析における半無限地盤を模擬するため、粘性境界を設ける。底面の粘性境界については、地震動の下降波がモデル底面境界から半無限地盤へ通過していく状態を模擬するため、ダッシュポットを設定する。側方の粘性境界については、自由地盤の地盤振動と不整形地盤側方の地盤振動の差分が側方を通過していく状態を模擬するため、自由地盤の側方にダッシュポットを設定する。評価対象地質断面図及び地震応答解析モデル図を図3-7に示す。



(a) 評価対象地質断面図

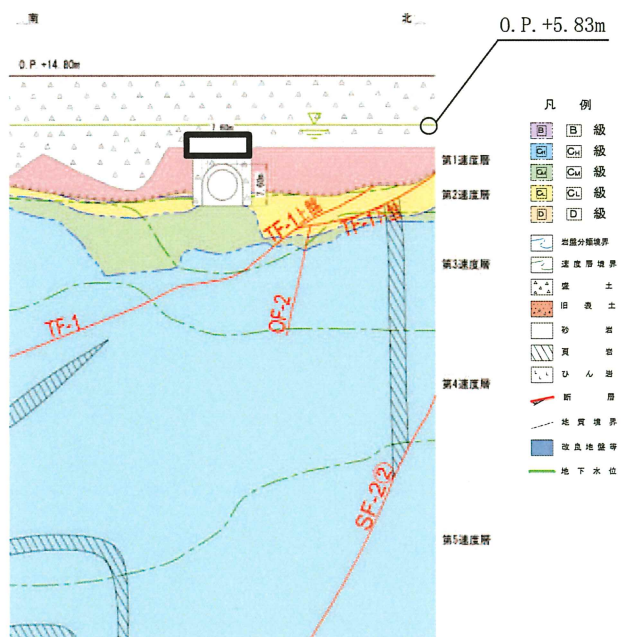
凡 例	
■ B 級	旧表土
■ C <sub>n</sub> 級	盛土
■ C <sub>s</sub> 級	セメント改良土
■ C <sub>u</sub> 級	MMR
■ D 級	地盤改良土
□ 速度層境界	— 排気筒連絡ダクト



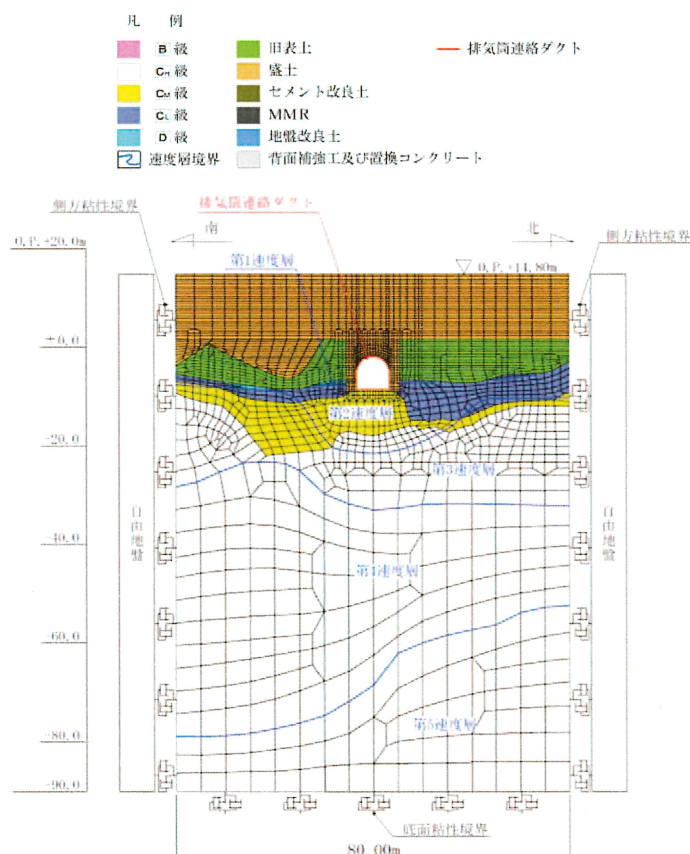
(b) 地震応答解析モデル図

図 3-7(1) 排気筒連絡ダクトの評価対象地質断面図及び地震応答解析モデル図  
(土砂部 (断面①))

枠囲みの内容は防護上の観点から公開できません。



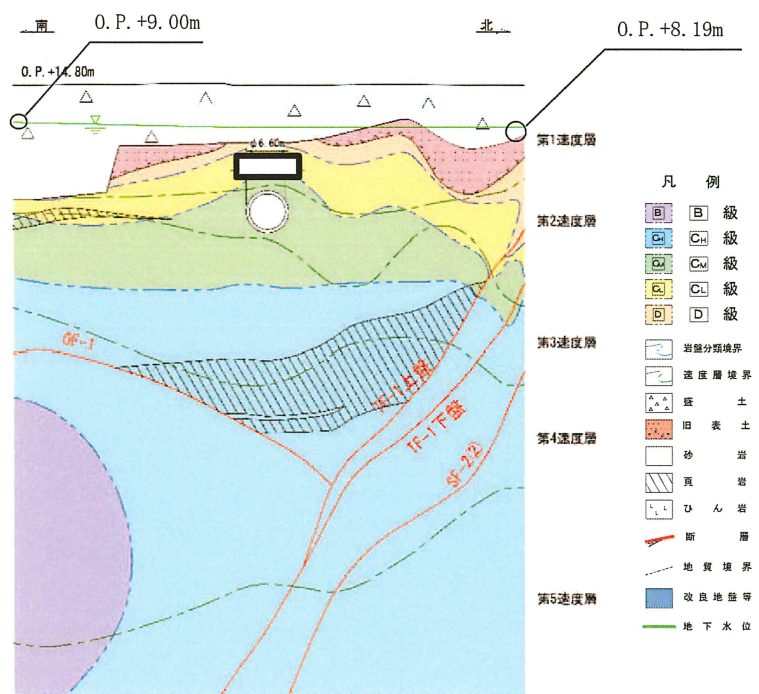
(a) 評価対象地質断面図



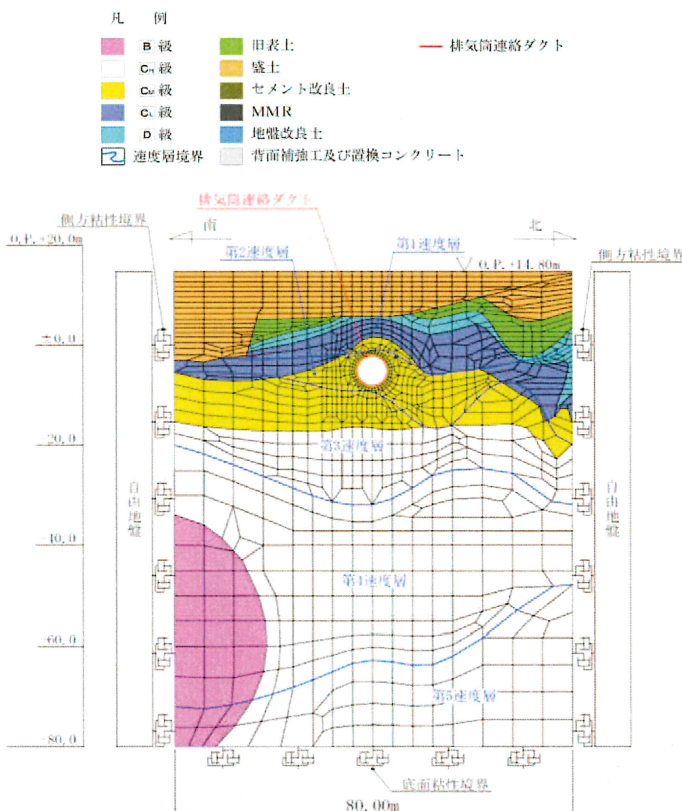
(b) 地震応答解析モデル図

図 3-7(2) 排気筒連絡ダクトの評価対象地質断面図及び地震応答解析モデル図  
(土砂部 (断面③))

枠囲みの内容は防護上の観点から公開できません。



(a) 評価対象地質断面図



(b) 地震応答解析モデル図

図 3-7(3) 排気筒連絡ダクトの評価対象地質断面図及び地震応答解析モデル図  
(岩盤部 (断面⑤))

枠囲みの内容は防護上の観点から公開できません。

### 3.2.3 構造物のモデル化

排気筒連絡ダクトでは、構造部材を土砂部（断面①及び断面③）は非線形はり要素、岩盤部（断面⑤）は線形はり要素でモデル化する。排気筒連絡ダクトのモデル化について、土砂部（断面①及び断面③）は、周囲に分布する盛土の土圧により構造物が非線形領域まで大きく変形することから非線形モデルを用いた限界状態設計法による設計を行い、岩盤部（断面⑤）は、周囲に岩盤が分布することから構造物が線形領域と小さい変形となることから線形はり要素を用いた許容応力度設計法による設計を行っている。土砂部（断面①及び断面③）の鉄筋コンクリート部材のはり要素の交点には、図3-8に示すとおり、断面内部の円弧部を、部材の軸線に対して45°傾斜し円弧部に接するハンチとみなし、コンクリート標準示方書に基づき剛域を設ける。また、円弧部のコンクリート重量については、はり要素に付加重量として考慮する。岩盤部（断面⑤）は円形断面として剛域は設けない。

排気筒連絡ダクトの解析モデルにおける構造物部分の拡大図を図3-9に示す。

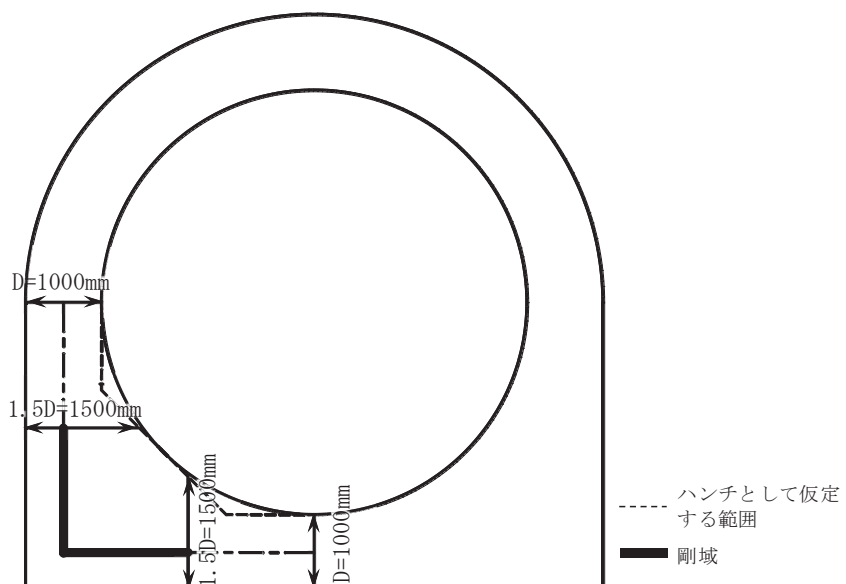


図3-8 排気筒連絡ダクト土砂部（断面①及び断面③）の剛域設定

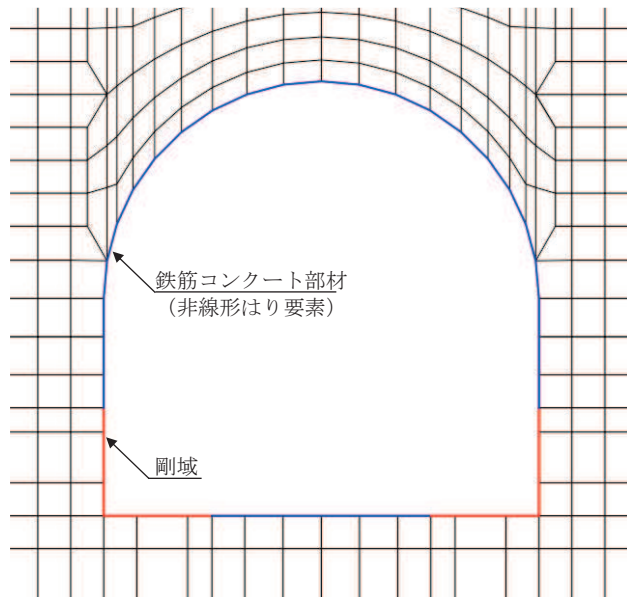


図 3-9(1) 排気筒連絡ダクトの地震応答解析モデル  
(構造物部分拡大, 土砂部 (断面①及び③)))

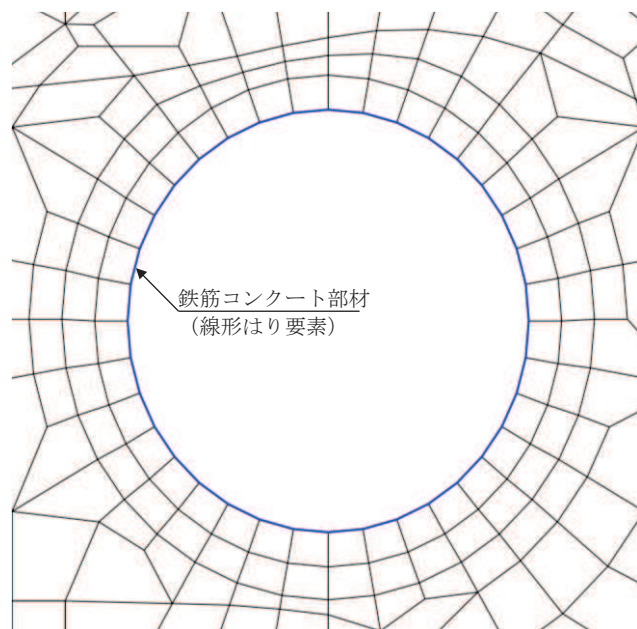


図 3-9(2) 排気筒連絡ダクトの地震応答解析モデル  
(構造物部分拡大, 岩盤部 (断面⑤)))

### 3.2.4 地盤のモデル化

**D**級を除く岩盤は線形の平面ひずみ要素でモデル化する。また、全応力解析では、盛土、旧表土及び**D**級岩盤は、地盤の非線形性をマルチスプリング要素で考慮した平面ひずみ要素でモデル化する。

有効応力解析では、盛土及び旧表土は、マルチスプリング要素及び間隙水要素でモデル化し、地盤については地震時の有効応力の変化に応じた非線形せん断応力～せん断ひずみ関係を考慮する。

### 3.2.5 ジョイント要素の設定

地盤と構造物との接合面にジョイント要素を設けることにより、地震時の地盤と構造物の接合面における剥離及びすべりを考慮する。

ジョイント要素は、地盤と構造物の接合面で法線方向及びせん断方向に対して設定する。法線方向については、常時状態以上の引張荷重が生じた場合、剛性及び応力をゼロとし、剥離を考慮する。せん断方向については、地盤と構造物の接合面におけるせん断抵抗力以上のせん断荷重が生じた場合、せん断剛性をゼロとし、すべりを考慮する。

せん断強度  $\tau_f$  は次式の Mohr-Coulomb 式により規定される。粘着力 c 及び内部摩擦角  $\phi$  は周辺地盤の c,  $\phi$  とし、添付書類「VI-2-1-3 地盤の支持性能に係る基本方針」に基づき表 3-1 のとおりとする。また、要素間の粘着力 c 及び内部摩擦角  $\phi$  は、表 3-2 のとおり設定する。

$$\tau_f = c + \sigma' \tan \phi$$

ここで、

$\sigma'$  : 面直圧

$\tau_f$  : せん断強度

c : 粘着力

$\phi$  : 内部摩擦角

表 3-1 周辺地盤との境界に用いる強度特性（狐崎部層）

地盤	粘着力 c (N/mm <sup>2</sup> )	内部摩擦角 $\phi$ (°)
盛土*	0.06	30.0
<b>C<sub>M</sub></b> 級	0.49	47.0

注記\* : 地下水位以深

表 3-2 要素間の粘着力と内部摩擦角

条件	粘着力 c (N/mm <sup>2</sup> )	内部摩擦角 $\phi$ (°)
盛土ー構造物	盛土の c	盛土の $\phi$
岩盤ー構造物	岩盤の c	岩盤の $\phi$

ジョイント要素のばね定数は、数値解析上、不安定な挙動を起こさない程度に十分な値とし、松本らの方法（松本ら：基礎構造物における地盤・構造物境界面の実用的な剛性評価法、応用力学論文集 Vol. 12 pp1061-1070, 2009）に従い、表 3-3 のとおり設定する。

ジョイント要素の力学特性を図 3-10 に、ジョイント要素の配置を図 3-11 に示す。

表 3-3 ジョイント要素のばね定数

地盤	圧縮剛性 $k_n$ (kN/m <sup>3</sup> )	せん断剛性 $k_s$ (kN/m <sup>3</sup> )
盛土	$1.0 \times 10^6$	$1.0 \times 10^6$
岩盤	$1.0 \times 10^7$	$1.0 \times 10^7$

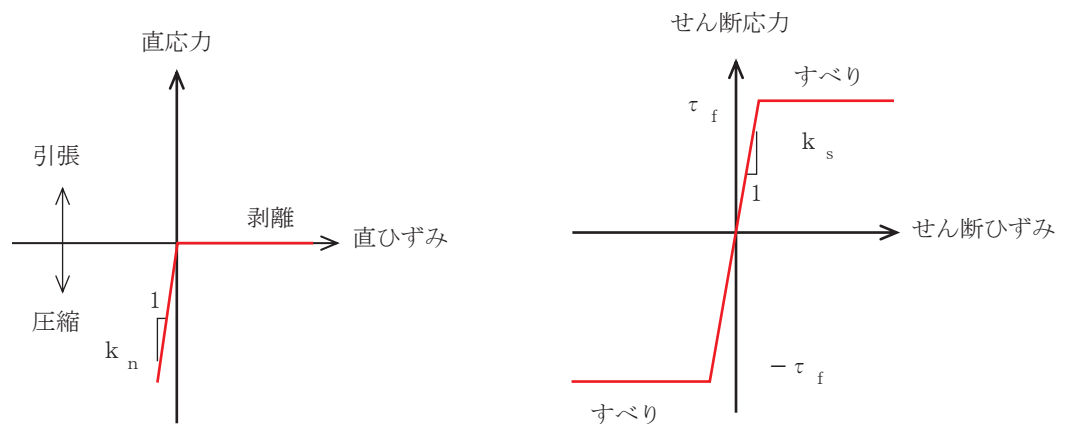


図 3-10 ジョイント要素の力学特性

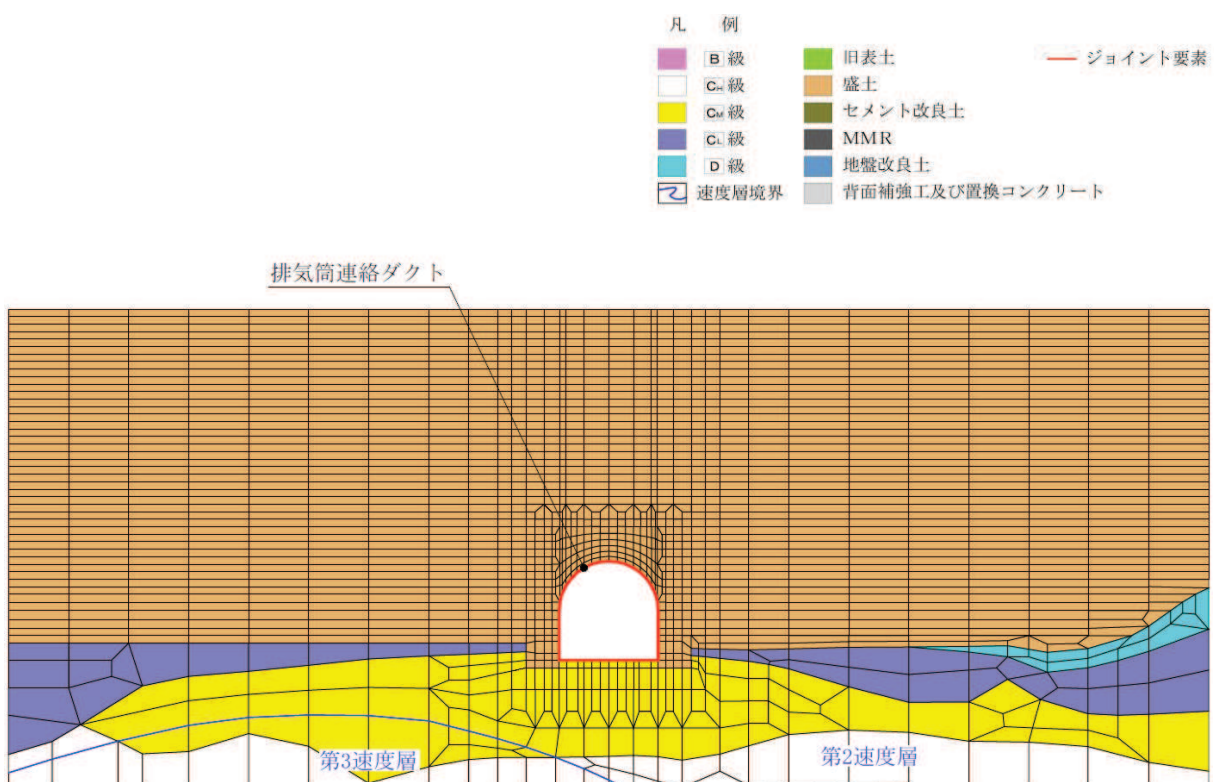


図 3-11(1) ジョイント要素の配置 (土砂部 (断面①))

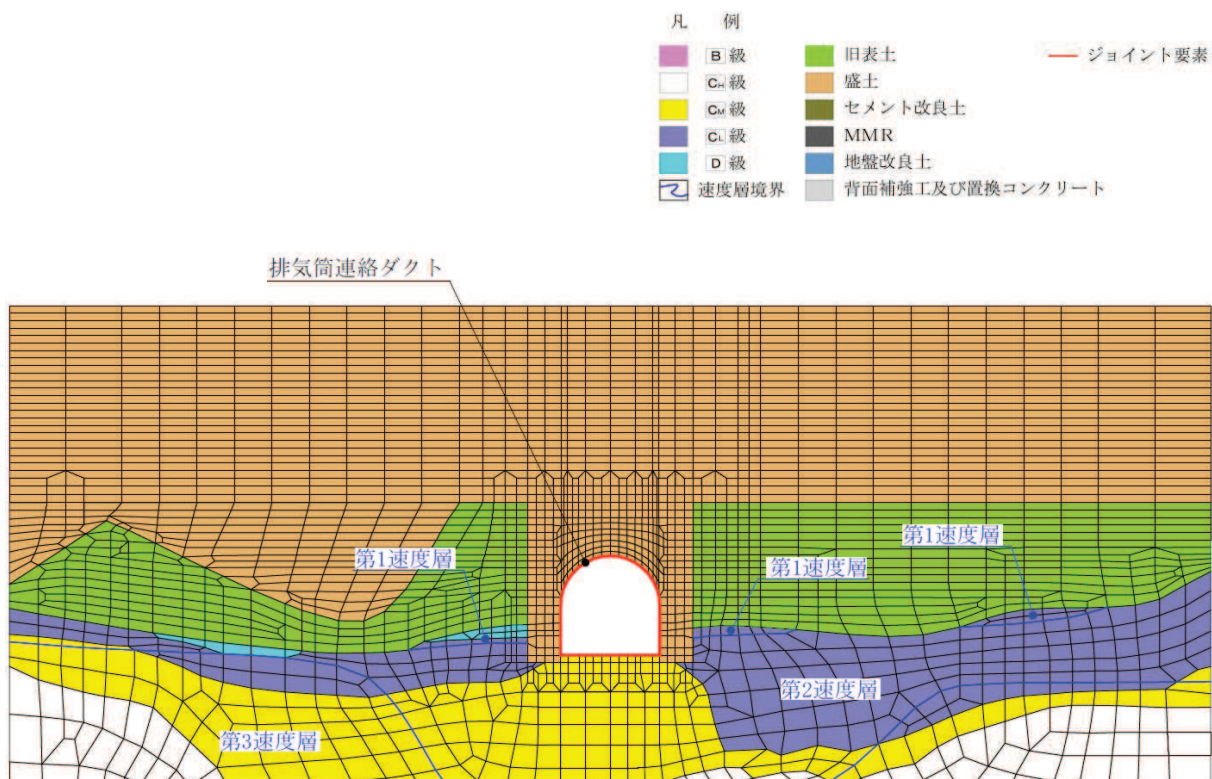


図 3-11(2) ジョイント要素の配置 (土砂部 (断面③))

凡　例		ジョイント要素
B 級	旧表土	
C <sub>s</sub> 級	盛土	
C <sub>d</sub> 級	セメント改良土	
C <sub>r</sub> 級	MMR	
D 級	地盤改良土	
速度層境界	背面補強工及び置換コンクリート	

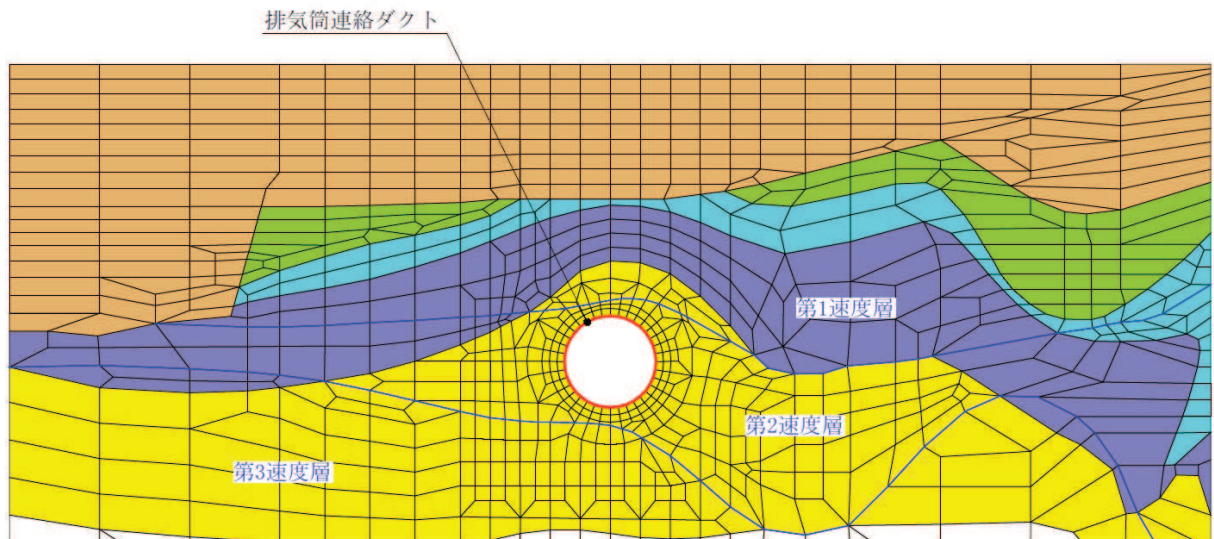


図 3-11(3) ジョイント要素の配置 (岩盤部 (断面⑤))

### 3.2.6 材料特性の設定

土砂部（断面①及び断面③）の鉄筋コンクリート部材は、非線形はり要素を用いてモデル化する。全応力解析ではファイバーモデルを用いてモデル化し、有効応力解析ではM- $\phi$ モデルを用いてモデル化する。非線形特性の設定においては、コンクリート及び鉄筋の非線形性を考慮する。材料の非線形性はコンクリート標準示方書及びコンクリート標準示方書2017に基づき設定する。

図3-12にファイバーモデルの概念図を、図3-13にファイバーモデルに用いるコンクリートの応力-ひずみ関係を示す。また、図3-14にM- $\phi$ 関係のトリリニアモデルを示す。M- $\phi$ モデルに用いるコンクリートの履歴特性は、図3-15に示すとおり修正武田モデルを適用する。図3-16にM- $\phi$ モデルに用いるコンクリートの応力-ひずみ関係を、図3-17に鉄筋の応力-ひずみ関係を示す。

岩盤部（断面⑤）の鉄筋コンクリート部材は、線形はり要素を用いてモデル化する。

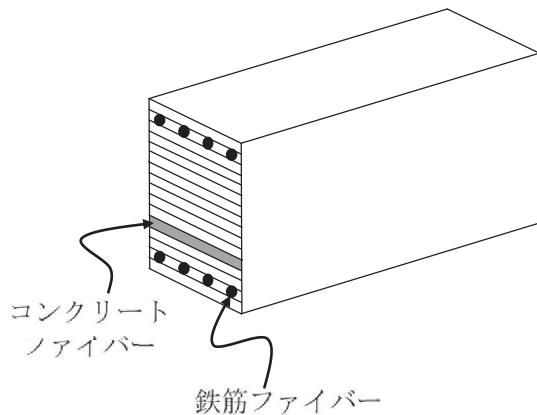


図3-12 ファイバーモデルの概念図

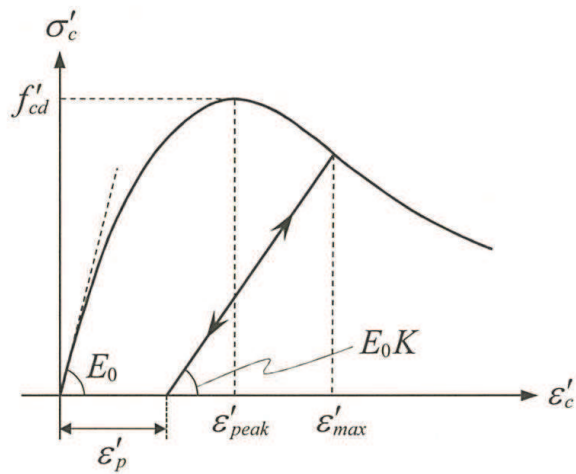


図 3-13 ファイバーモデルに用いるコンクリートの応力-ひずみ関係  
(コンクリート標準示方書 2017 より引用)

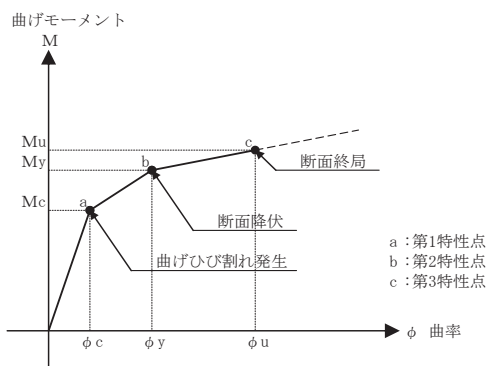


図 3-14 鉄筋コンクリート部材のM-φ関係  
(土木学会マニュアルより引用)

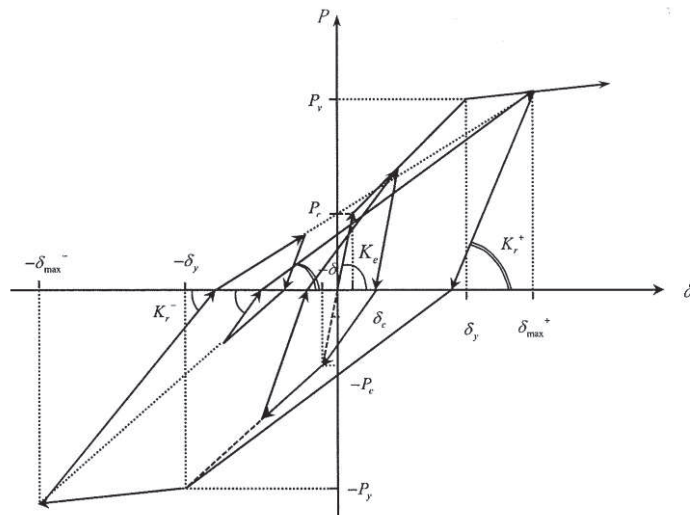


図 3-15 M- $\phi$  モデルに用いる鉄筋コンクリート部材の履歴特性（修正武田モデル）  
(道路橋示方書（V耐震設計編）・同解説（平成 14 年 3 月）より引用)

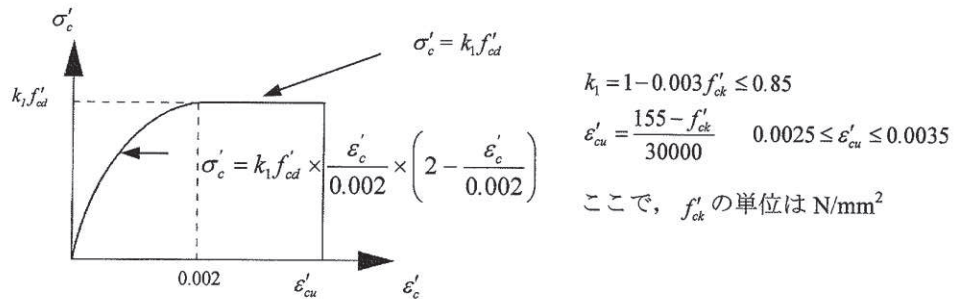


図 3-16 構造部材の非線形特性（M- $\phi$  モデルに用いるコンクリートの応力-ひずみ関係）  
(コンクリート標準示方書より引用)

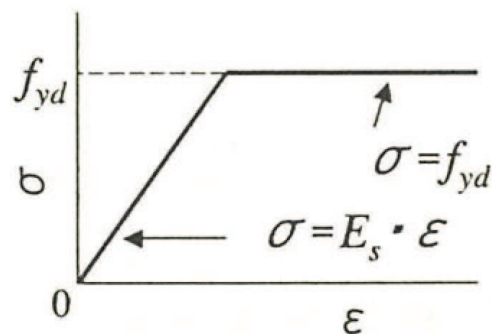


図 3-17 鉄筋の応力-ひずみ関係  
(コンクリート標準示方書より引用)

### 3.3 減衰定数

減衰定数は、「資料1 屋外重要土木構造物の耐震安全性評価について」の「9. 地震応答解析における減衰定数」に基づき、粘性減衰及び履歴減衰で考慮する。

粘性減衰は、固有値解析にて求められる解析モデル全体の固有周期と各材料の減衰比に基づき、質量マトリックス及び剛性マトリックスの線形結合で表される以下のRayleigh減衰を解析モデル全体に与える。

また、有効応力解析では、Rayleigh 減衰を考慮することとし、剛性比例型減衰 ( $\alpha = 0$ ,  $\beta = 0.002$ ) とする。なお、係数  $\beta$  の設定については、「FLIP 研究会 14 年間の検討成果のまとめ「理論編」」による。

Rayleigh 減衰の設定フローを図3-18に示す。

$$[c] = \alpha [m] + \beta [k]$$

[c] : 減衰係数マトリックス, [m] : 質量マトリックス,

[k] : 剛性マトリックス

$\alpha$ ,  $\beta$  : 係数

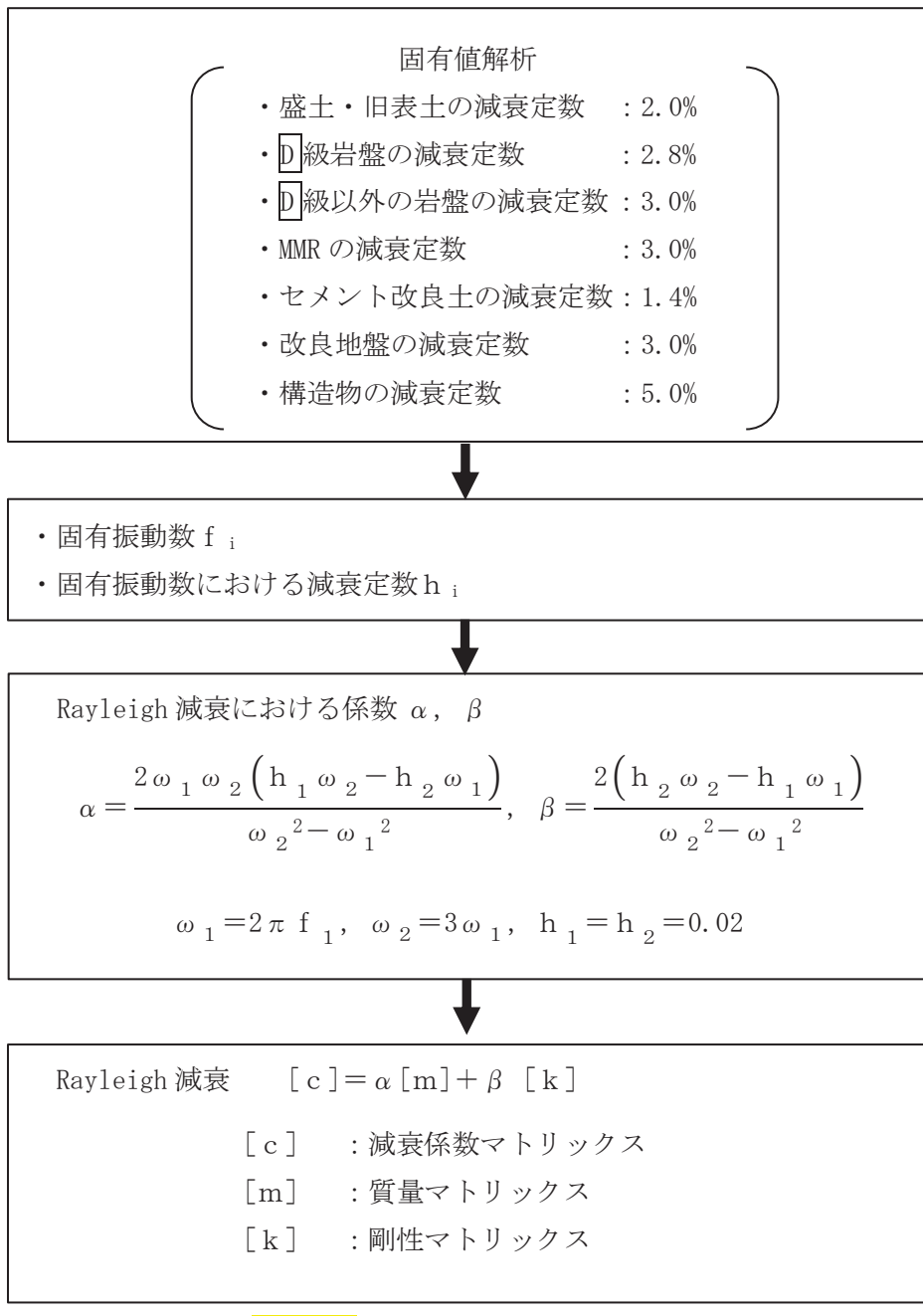


図 3-18 Rayleigh 減衰の設定フロー

Rayleigh 減衰における係数  $\alpha$ ,  $\beta$  の設定に当たっては、低次のモードの変形が支配的となる地中埋設構造物に対して、その特定の振動モードの影響が大きいことを考慮して、1 次及び 2 次モードの固有振動数において、過大な減衰とならないよう定めている。

1 次固有振動数 ( $f_1$ ) は、地震応答解析の解析モデルの固有値解析結果から算定する。2 次固有振動数 ( $f_2$ ) は、図 3-18 に示すとおり、水平成層地盤の 2 次固有振動数が 1 次固有振動数の 3 倍であることから、固有値解析から算定した 1 次固有振動数 ( $f_1$ ) の 3 倍とする。

固有値解析結果の一覧を表 3-4 に、固有値解析におけるモード図を図 3-19 に、係数  $\alpha$ ,  $\beta$  を表 3-5 に、固有値解析結果に基づき設定した Rayleigh 減衰を図 3-20 に示す。

表 3-4(1) 固有値解析結果 (土砂部 (断面①))

固有振動数 (Hz)	有効質量比 (%)	刺激係数				備考
		T x	T y	$\beta$ x	$\beta$ y	
1	1.422	15	0	56.15	-0.94	1 次として採用
2	1.716	15	1	2.95	14.15	—
3	2.153	15	1	2.51	0.18	—
4	2.277	15	2	0.38	12.06	—
5	2.684	15	2	-1.24	-0.66	—
6	3.176	15	2	0.76	7.34	—
7	3.574	15	2	7.19	-6.31	—
8	3.616	15	3	-1.39	14.75	—
9	3.751	15	3	4.36	-0.02	—
10	3.769	15	3	1.36	4.51	—

表 3-4(2) 固有値解析結果 (土砂部 (断面③))

固有振動数 (Hz)	有効質量比 (%)	刺激係数				備考
		T x	T y	$\beta$ x	$\beta$ y	
1	1.541	14	0	53.46	2.55	1 次として採用
2	1.883	14	1	10.02	-11.26	—
3	2.299	14	1	1.51	-3.30	—
4	2.509	14	1	-1.45	-8.67	—
5	2.832	14	1	2.34	0.58	—
6	3.213	14	1	0.06	6.66	—
7	3.700	14	1	2.12	2.68	—
8	3.805	14	2	-7.90	-10.09	—
9	3.892	15	2	13.32	6.91	—
10	4.094	16	2	15.57	5.33	—

表 3-4(3) 固有値解析結果 (岩盤部 (断面⑤))

	固有振動数 (Hz)	有効質量比 (%)		刺激係数		備考
		T x	T y	$\beta$ x	$\beta$ y	
1	2.048	8	0	39.53	6.73	1次として採用
2	2.475	13	1	30.71	-8.82	—
3	2.915	13	1	-4.11	3.92	—
4	3.288	13	1	2.00	8.73	—
5	3.744	13	1	-0.66	-4.11	—
6	4.048	13	1	-1.18	-5.96	—
7	4.425	13	1	2.77	-2.14	—
8	4.819	14	2	-14.12	-5.22	—
9	4.873	14	2	-3.23	-7.57	—
10	5.370	15	2	-9.82	-0.45	—

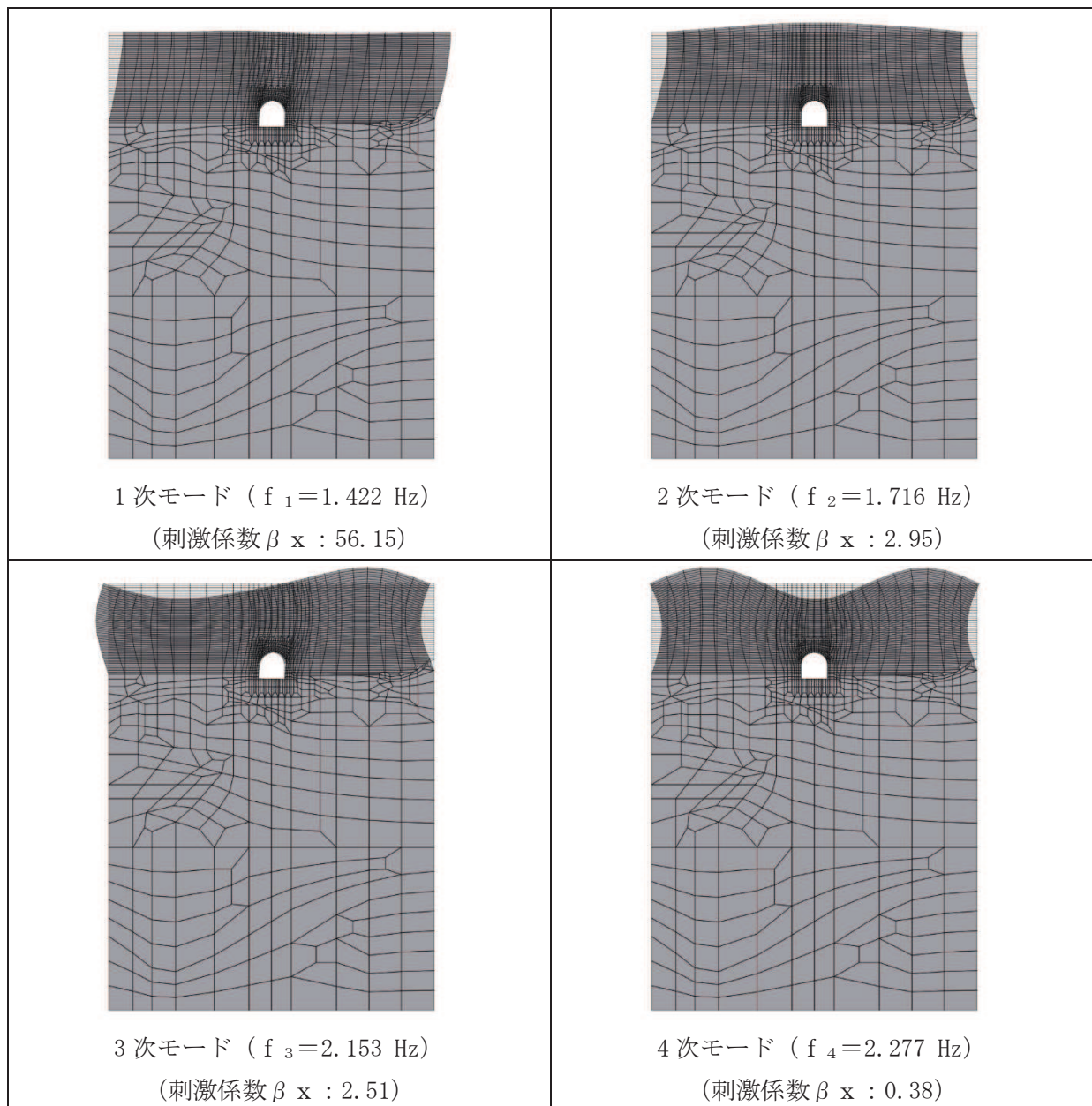


図 3-19(1) 固有値解析結果（モード図）（土砂部（断面①））

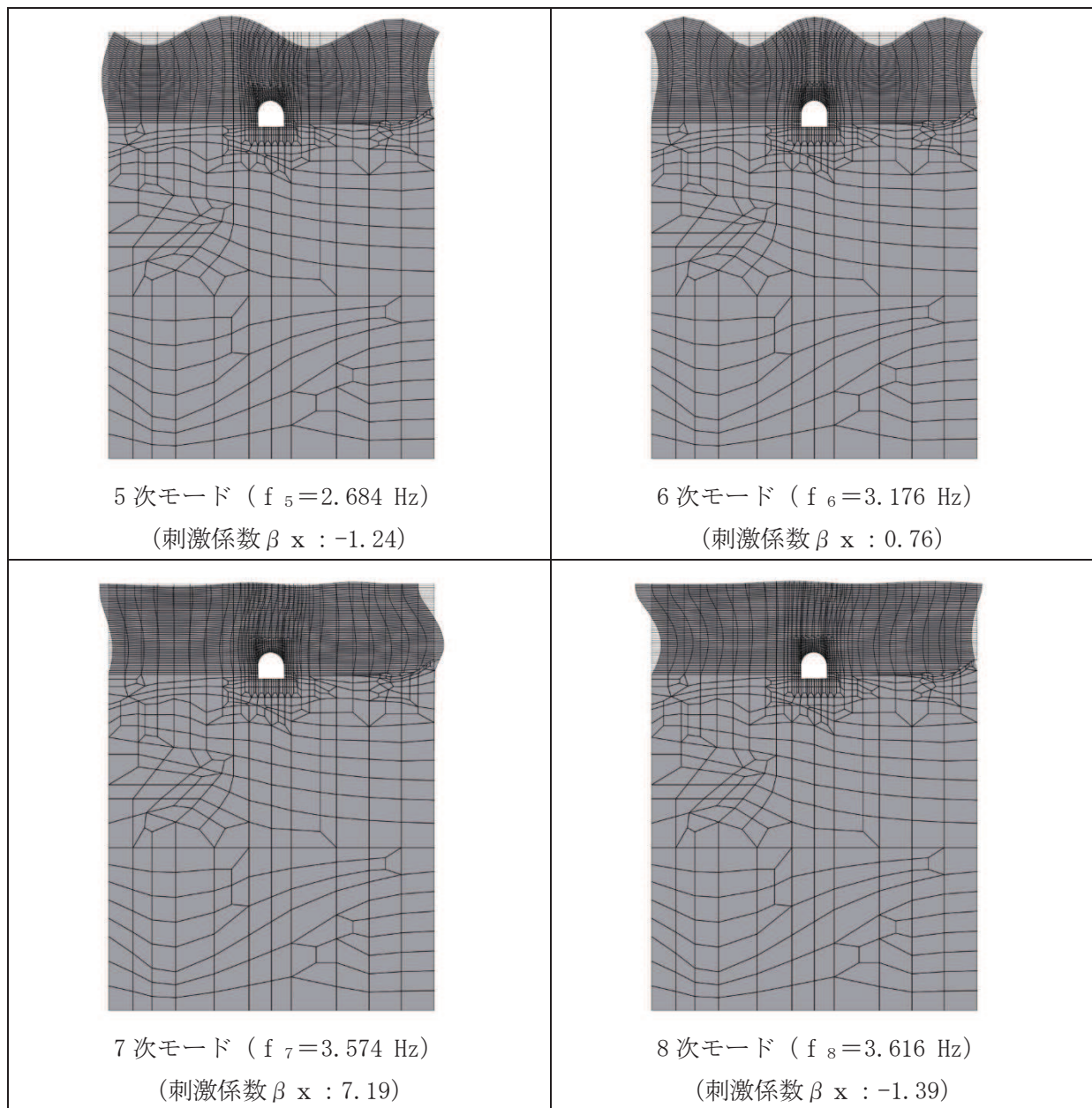


図 3-19(2) 固有値解析結果（モード図）（土砂部（断面①））

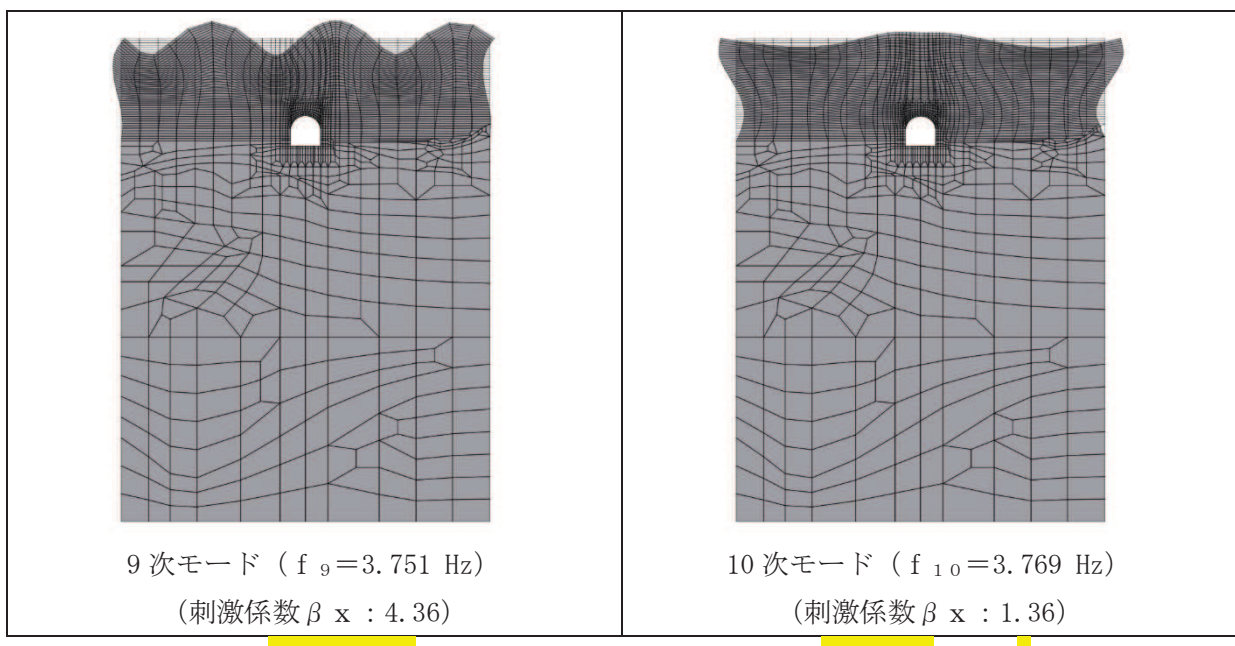
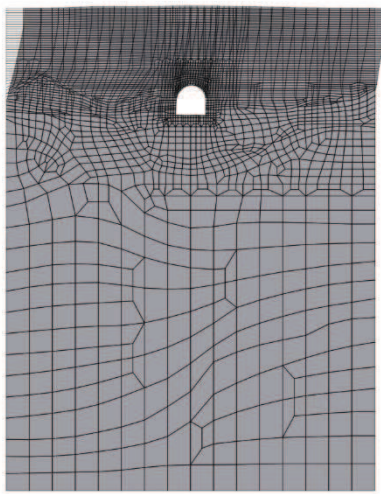
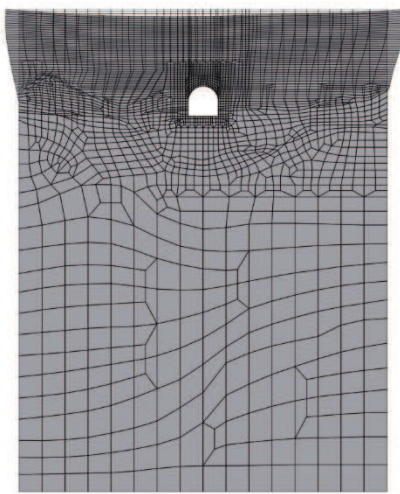


図 3-19(3) 固有値解析結果（モード図）（土砂部（断面①））



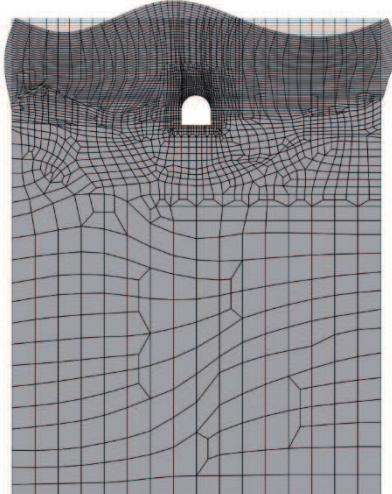
1 次モード ( $f_1 = 1.541 \text{ Hz}$ )  
(刺激係数  $\beta_x : 53.46$ )



2 次モード ( $f_2 = 1.883 \text{ Hz}$ )  
(刺激係数  $\beta_x : 10.02$ )



3 次モード ( $f_3 = 2.299 \text{ Hz}$ )  
(刺激係数  $\beta_x : 1.51$ )



4 次モード ( $f_4 = 2.509 \text{ Hz}$ )  
(刺激係数  $\beta_x : -1.45$ )

図 3-19(4) 固有値解析結果（モード図）（土砂部（断面③））

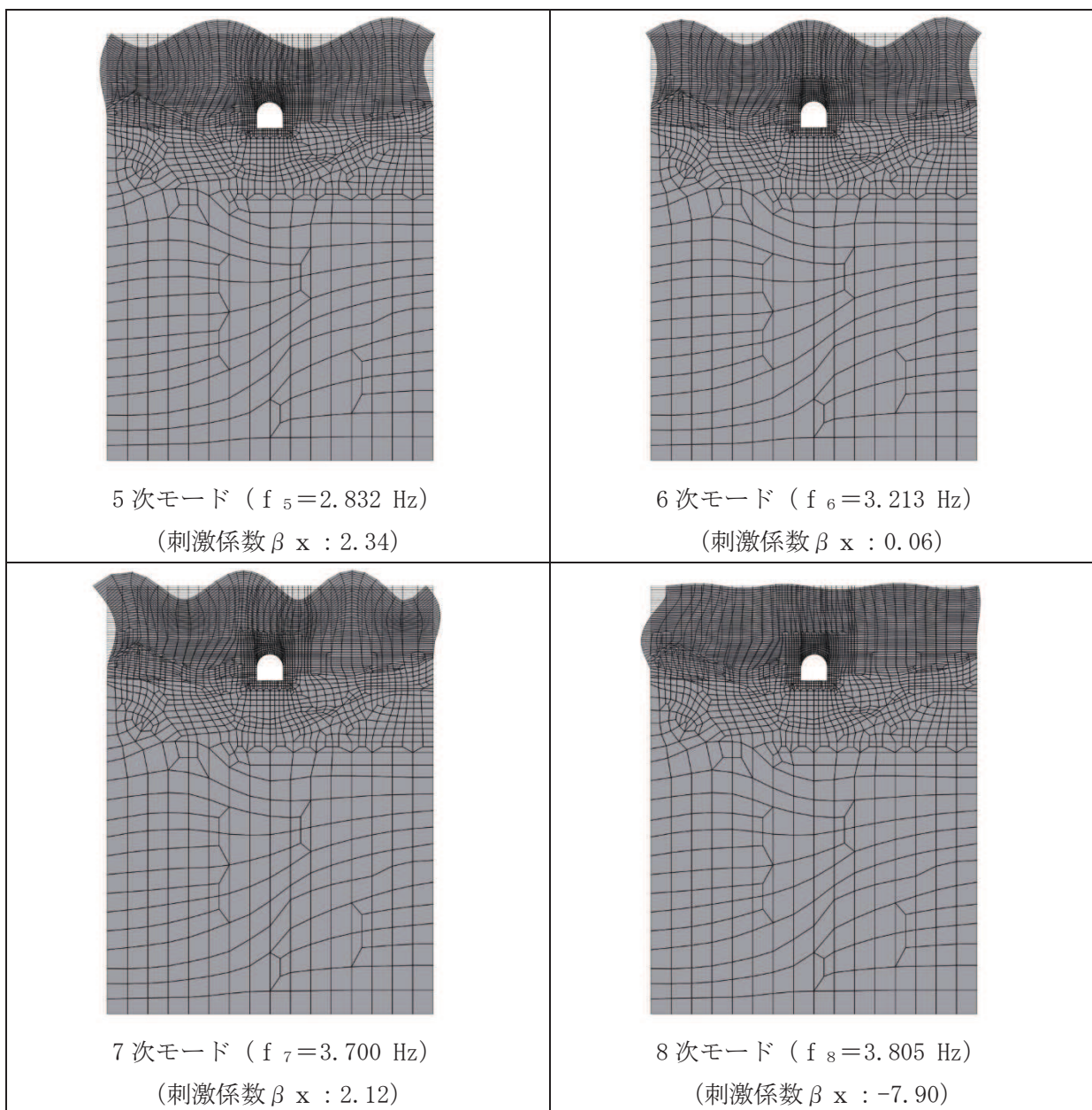
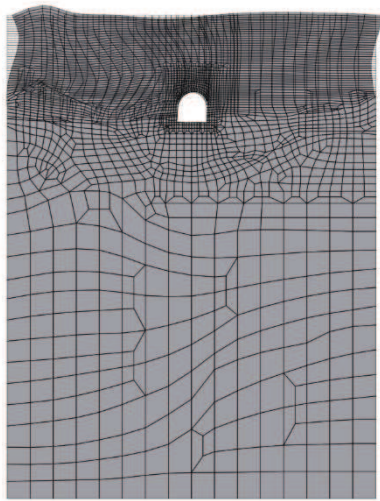
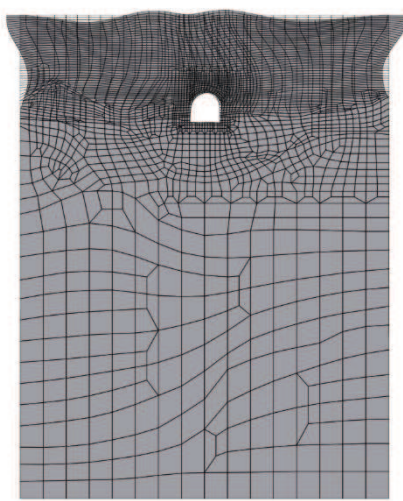


図 3-19(5) 固有値解析結果（モード図）（土砂部（断面③））

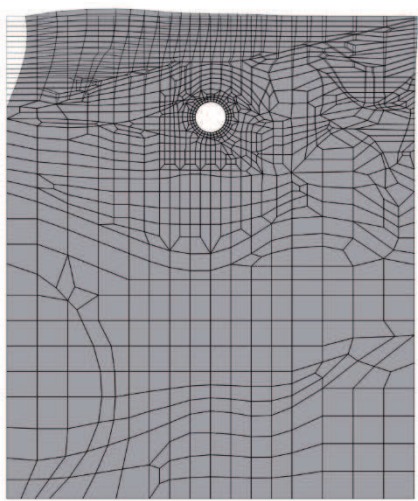


9 次モード ( $f_9 = 3.892 \text{ Hz}$ )  
(刺激係数  $\beta_x : 13.32$ )

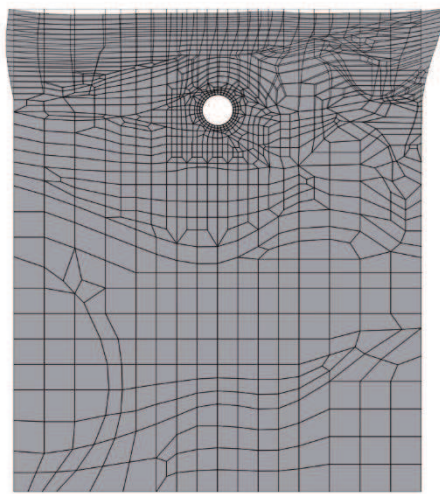


10 次モード ( $f_{10} = 4.094 \text{ Hz}$ )  
(刺激係数  $\beta_x : 15.57$ )

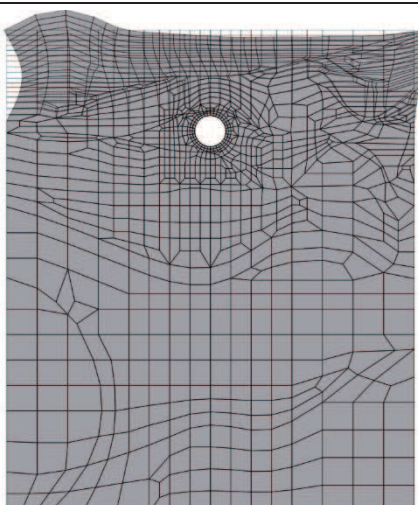
図 3-19(6) 固有値解析結果 (モード図) (土砂部 (断面③))



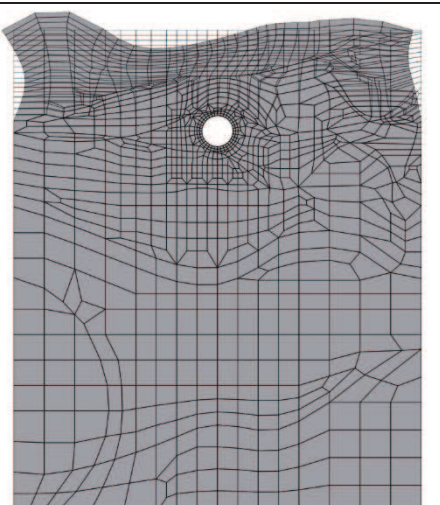
1 次モード ( $f_1 = 2.048 \text{ Hz}$ )  
(刺激係数  $\beta_x : 39.53$ )



2 次モード ( $f_2 = 2.475 \text{ Hz}$ )  
(刺激係数  $\beta_x : 30.71$ )

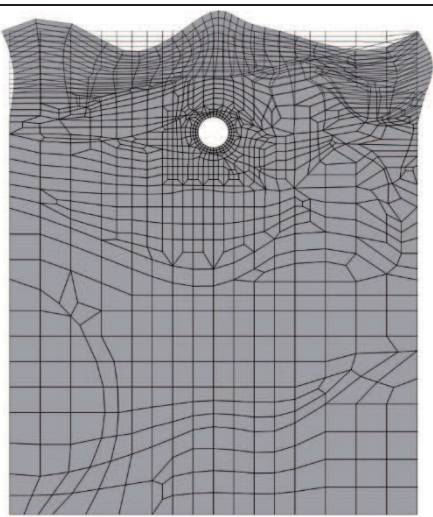


3 次モード ( $f_3 = 2.915 \text{ Hz}$ )  
(刺激係数  $\beta_x : -4.11$ )

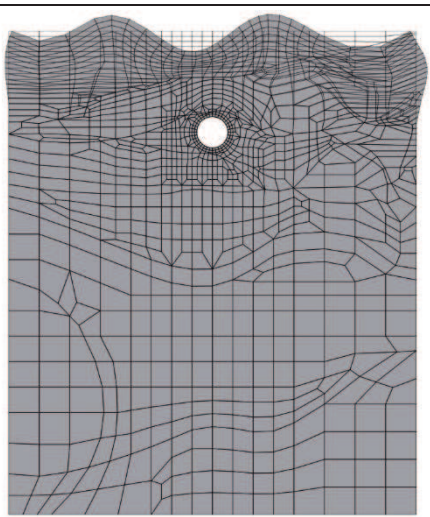


4 次モード ( $f_4 = 3.288 \text{ Hz}$ )  
(刺激係数  $\beta_x : 2.00$ )

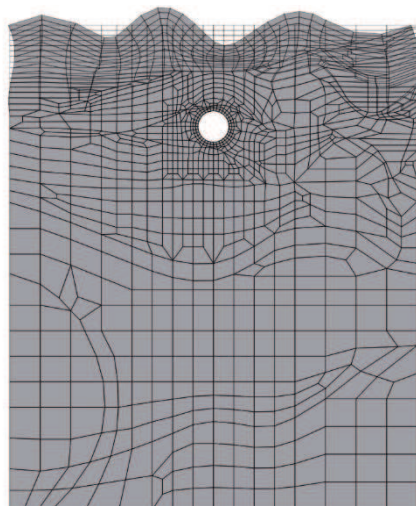
図 3-19(7) 固有値解析結果（モード図）（岩盤部（断面⑤））



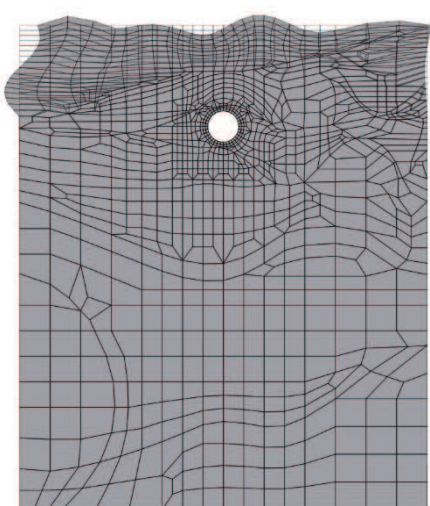
5 次モード ( $f_5 = 3.744 \text{ Hz}$ )  
(刺激係数  $\beta_x : -0.66$ )



6 次モード ( $f_6 = 4.048 \text{ Hz}$ )  
(刺激係数  $\beta_x : -1.18$ )



7 次モード ( $f_7 = 4.425 \text{ Hz}$ )  
(刺激係数  $\beta_x : 2.77$ )



8 次モード ( $f_8 = 4.819 \text{ Hz}$ )  
(刺激係数  $\beta_x : -14.12$ )

図 3-19(8) 固有値解析結果（モード図）（岩盤部（断面⑤））

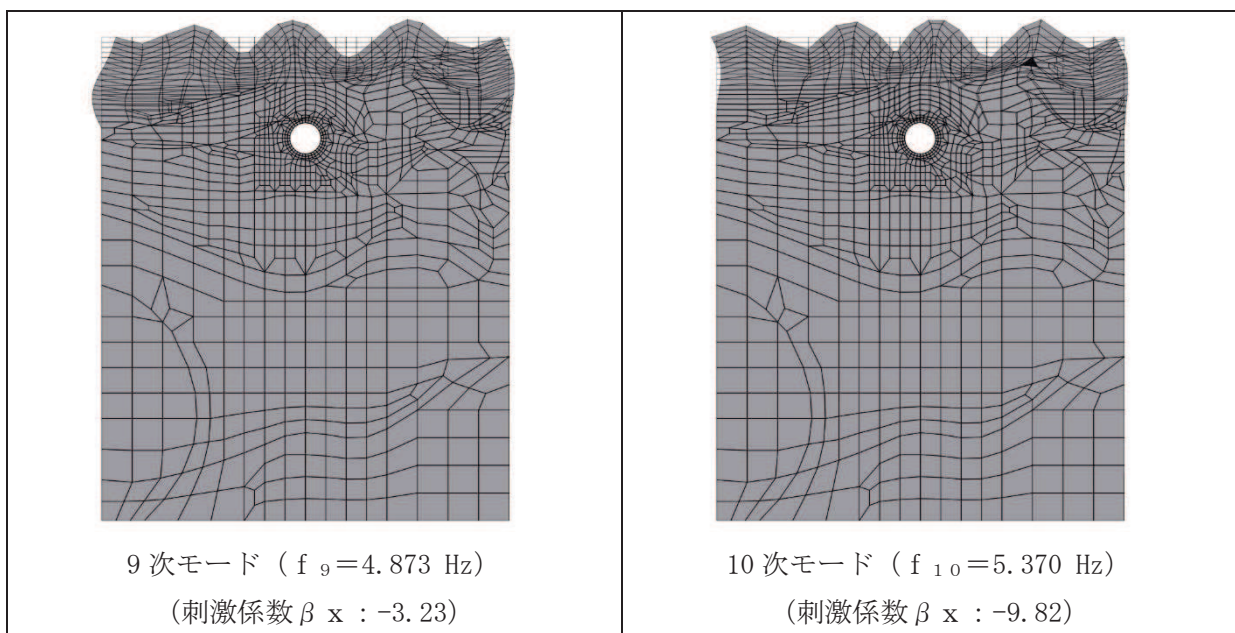


図 3-19(9) 固有値解析結果（モード図）（岩盤部（断面⑤））

表 3-5 Rayleigh 減衰における係数  $\alpha$ ,  $\beta$  の設定結果

評価対象断面	$\alpha$	$\beta$
土砂部（断面①）	$2.680 \times 10^{-1}$	$1.120 \times 10^{-3}$
土砂部（断面③）	$2.905 \times 10^{-1}$	$1.033 \times 10^{-3}$
岩盤部（断面⑤）	$3.860 \times 10^{-1}$	$7.773 \times 10^{-4}$

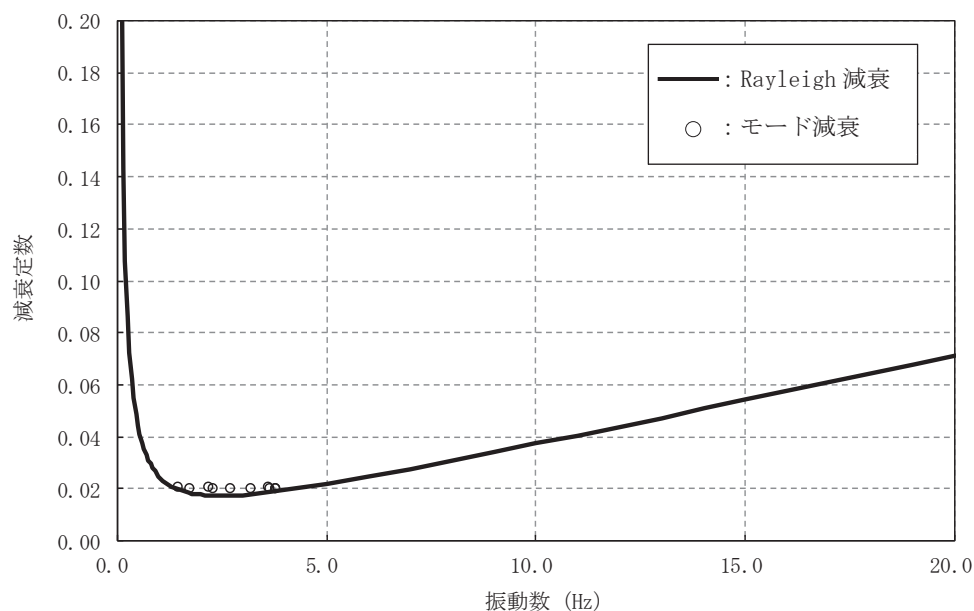


図 3-20(1) 設定した Rayleigh 減衰（土砂部（断面①））

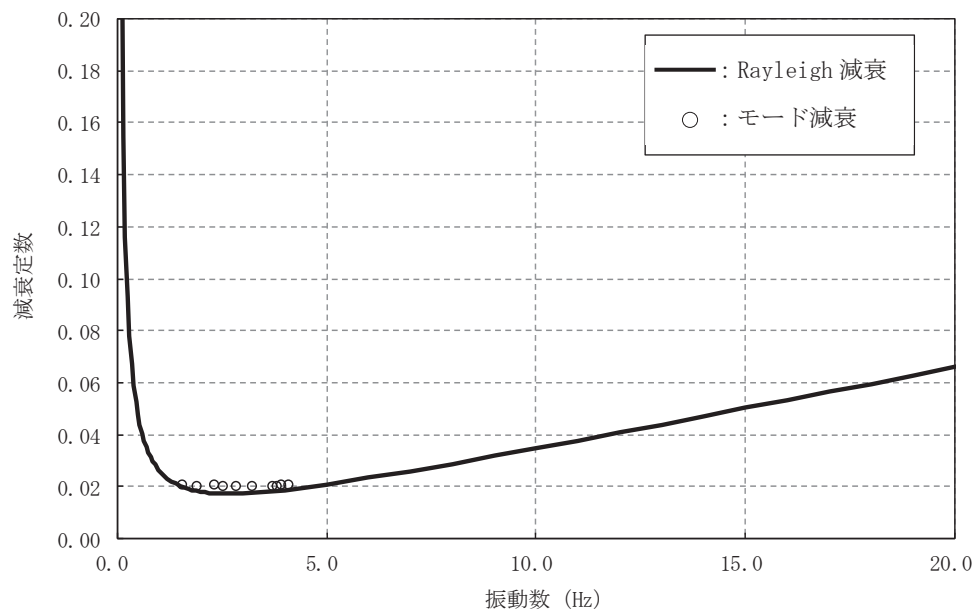


図 3-20(2) 設定した Rayleigh 減衰 (土砂部 (断面③))

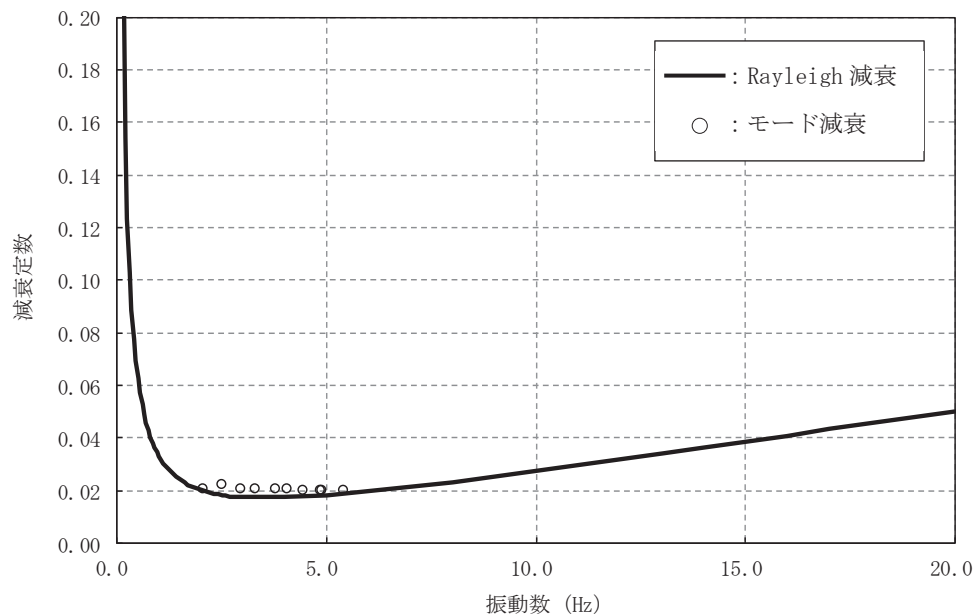


図 3-20(3) 設定した Rayleigh 減衰 (岩盤部 (断面⑤))

### 3.4 荷重の組合せ

耐震評価にて考慮する荷重は、通常運転時の荷重（永久荷重）及び地震荷重を抽出し、それぞれを組み合せて設定する。地震荷重には、地震時土圧及び機器・配管系からの反力による荷重が含まれるものとする。

地震時に排気筒連絡ダクトに作用する機器・配管系からの反力については、機器・配管系を解析モデルに付加質量として与えることで考慮する。

なお、排気筒連絡ダクトの運転時、設計基準事故時及び重大事故時の状態における荷重条件は変わらないため、評価は設計基準対象施設の評価結果に包括されることから、設計基準対象施設の評価結果を用いた重大事故等対処施設の評価を行う。

荷重の組合せを表3-6に示す。

表 3-6 荷重の組合せ

種別	荷重			算定方法の概要
永久 荷重 (常時荷重)	固定 荷重	躯体自重	○	・設計図書に基づいて、対象構造物の体積に材料の密度を乗じて設定する
		機器・配管荷重	○	・機器・配管系の重量に基づいて設定する。
		土被り荷重	○	・常時応力解析により設定する。
		永久上載荷重	—	・地盤表面に恒常に置かれる設備等はないことから考慮しない。
	静止土圧	静止土圧	○	・常時応力解析により設定する。
		外水圧	○	・地下水位に応じた静水圧として考慮する。 ・地下水の密度を考慮する。
		積載荷重	○	・地表面に考慮する。
偶発荷重 (地震荷重)	水平地震動	○	・基準地震動 S s による水平・鉛直同時加振を考慮する。	
	鉛直地震動	○		

### 3.4.1 機器・配管荷重

地震時に排気筒連絡ダクトに作用する機器・配管系の荷重図を図3-21に示す。機器・配管系の荷重は解析モデルに単位奥行き（1m）あたりの付加質量として与えることで考慮する。

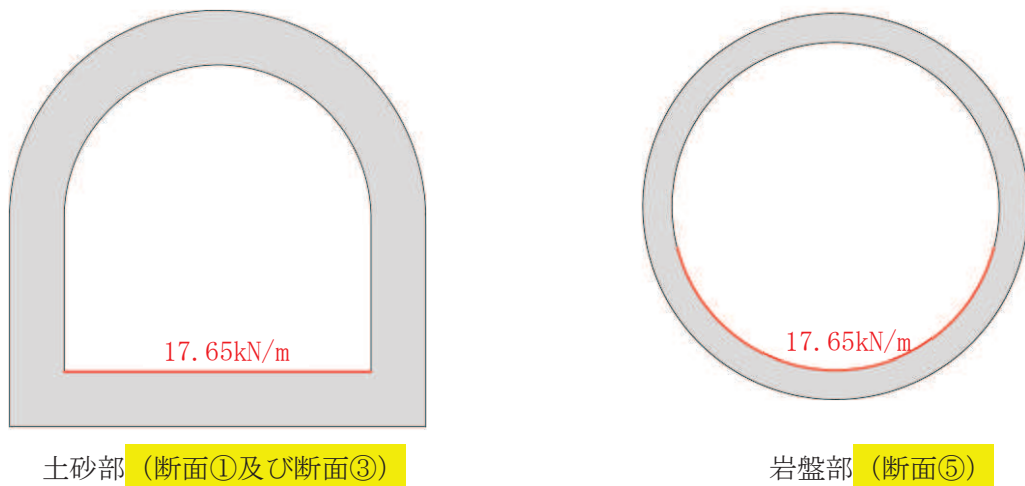


図3-21 機器・配管系の荷重図

### 3.4.2 外水圧

外水圧は、地下水位に応じた静水圧を設定する。地下水位については「2.6 地下水位」のとおりとし、地下水の密度として $1.00\text{g/cm}^3$ を考慮する。

外水圧図を図3-22に示す。

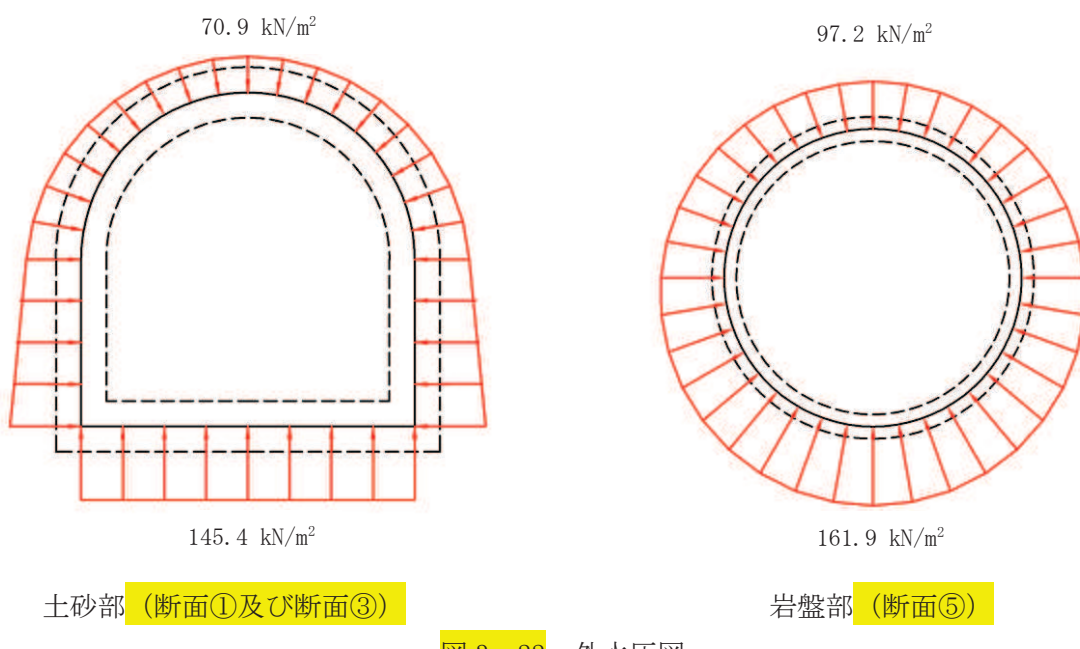


図3-22 外水圧図

### 3.4.3 積載荷重

地震時に排気筒連絡ダクトに作用する積載荷重は、積雪荷重以外は想定されないが、保守的な配慮として地表面に  $4.9\text{kN/m}^2$  を考慮する。

なお、積雪荷重は、発電所の最寄りの気象官署である石巻特別地域気象観測所で観測された月最深積雪の最大値である43cmに平均的な積雪荷重を与えるための係数0.35を考慮した値を設定する。また、建築基準法施行令第86条第2項により、積雪量1cmごとに $20\text{N/m}^2$ の積雪荷重が作用することを考慮し、 $0.301\text{kN/m}^2$ とする。

地表面への積載荷重は、単位奥行き(1m)あたりの付加質量として考慮する。

### 3.5 地震応答解析の解析ケース

#### 3.5.1 耐震評価における解析ケース

##### (1) 地盤物性のばらつきを考慮した解析ケース

排気筒連絡ダクト土砂部（断面①及び断面③）は、地中に埋設された鉄筋コンクリート構造物であり、構造物の耐震性に支配的な損傷モードは地盤のせん断変形を伴う構造部材の曲げ・軸力系の破壊及びせん断破壊となる。そのため、ばらつきを考慮する物性値は、評価対象構造物周辺に主として盛土、旧表土、D級岩盤といった、動的変形特性にひずみ依存性がある地盤が分布し、これらの地盤が地震時に構造物への応答に大きく影響を与えると判断される場合は、これらの物性のばらつきについて影響を確認する。

ばらつきを考慮する物性は、地盤のせん断変形を定義するせん断弾性係数とし、平均値を基本ケース（全応力解析の場合は、表3-9(1)に示すケース①、有効応力解析の場合は表3-9(1)に示すケース⑥）とした場合に加えて、平均値± $1.0 \times$ 標準偏差( $\sigma$ )のケース（全応力解析の場合は、表3-9(1)に示すケース②及び③、有効応力解析の場合は、表3-9(1)に示すケース⑦及び⑧）について確認を行う。なお、液状化強度特性については下限値を設定しており、最も液状化の影響が大きい物性を採用していることから、液状化強度特性のばらつきは考慮しない。

岩盤部（断面⑤）は、地中に埋設された鉄筋コンクリート構造物であり、構造物の耐震性に支配的な損傷モードは地盤のせん断変形を伴う構造部材の曲げ・軸力系の破壊及びせん断破壊となる。そのため、ばらつきを考慮する物性値は、評価対象構造物周辺に主として、C<sub>L</sub>級岩盤、C<sub>M</sub>級岩盤、C<sub>H</sub>級岩盤及びB級岩盤が分布し、これらの地盤が地震時に構造物への応答に大きく影響を与えると判断される場合は、これらの物性のばらつきについて影響を確認する。

ばらつきを考慮する物性は、地盤のせん断変形を定義するせん断弾性係数とし、平均値を基本ケース（表3-9(2)に示すケース①）とした場合に加えて、平均値± $1.0 \times$ 標準偏差( $\sigma$ )のケース（表3-9(2)に示すケース②及び③）について確認を行う。

地盤のばらつきの設定方法の詳細は、「補足-600-1 地盤の支持性能について」に示す。

##### (2) 材料物性のばらつきを考慮した解析ケース

材料物性のばらつきについては、剛性を定義するコンクリートのヤング係数が、コンクリートの設計基準強度に対応して定まるることを踏まえ、コンクリートの設計基準強度を基本ケースとし、ヤング係数をコンクリートの実強度に対応して定めたケースについて確認を行う（表3-9に示すケース④）。

屋外重要土木構造物等の耐震性に支配的な要因である土圧は、構造物と周囲の地盤の剛性差により生じることから、構造物の剛性が低下し、地盤との剛性差が小さくなることは、耐震裕度が向上することとなる。したがって、屋外重要土木構造物等のコンクリートは設計基準強度に対応する剛性を基本とし、ばらつきの考慮としては、土圧が大きく評価されるようコンクリートの実強度に対応する剛性について確認を行う。なお、屋外重要土木構造物等は、屋外かつ湿潤した地盤に接して地中に埋設されていることから、建物と異なり乾燥する環境にはなく、点検においても乾燥収縮による有害なひび割れは確認されておらず

ず、コンクリートの剛性低下は顕在化していない。

一方、機器・配管系の耐震評価においては、建物・構築物で考慮しているコンクリートの初期剛性低下を考慮したケースについて影響を確認する（表3-9に示すケース⑤）。

排気筒連絡ダクトにおける実強度は、構造物ごとのコア抜き強度  $f'_{ck}$  の平均値とし、ヤング係数は実強度の平均値からコンクリート標準示方書2017に基づき算出する。排気筒連絡ダクトの実強度及びヤング係数を表3-7及び表3-8に示す。

また、耐震評価における解析ケースの一覧を表3-9に示す。

表3-7 排気筒連絡ダクトの実強度及びヤング係数

実強度*	ヤング係数
24.8N/mm <sup>2</sup>	25.4kN/mm <sup>2</sup>

注記\*：排気筒連絡ダクトのコア採取による圧縮強度試験結果を表3-8に示す。

表3-8 排気筒連絡ダクトのコア採取による圧縮強度試験結果

採取位置*	採取年	供試体数 (本)	実強度 (N/mm <sup>2</sup> )		ヤング係数 (kN/mm <sup>2</sup> )	
			最大	最小	最大	最小
側壁	2012	3	23.4	20.9	24.7	23.5
側壁	2018	3	28.1	26.1	27.1	26.1

注記\*：コア採取位置は図3-23に示す。

J1・J28：耐震ジョイント

J2～J27：構造目地

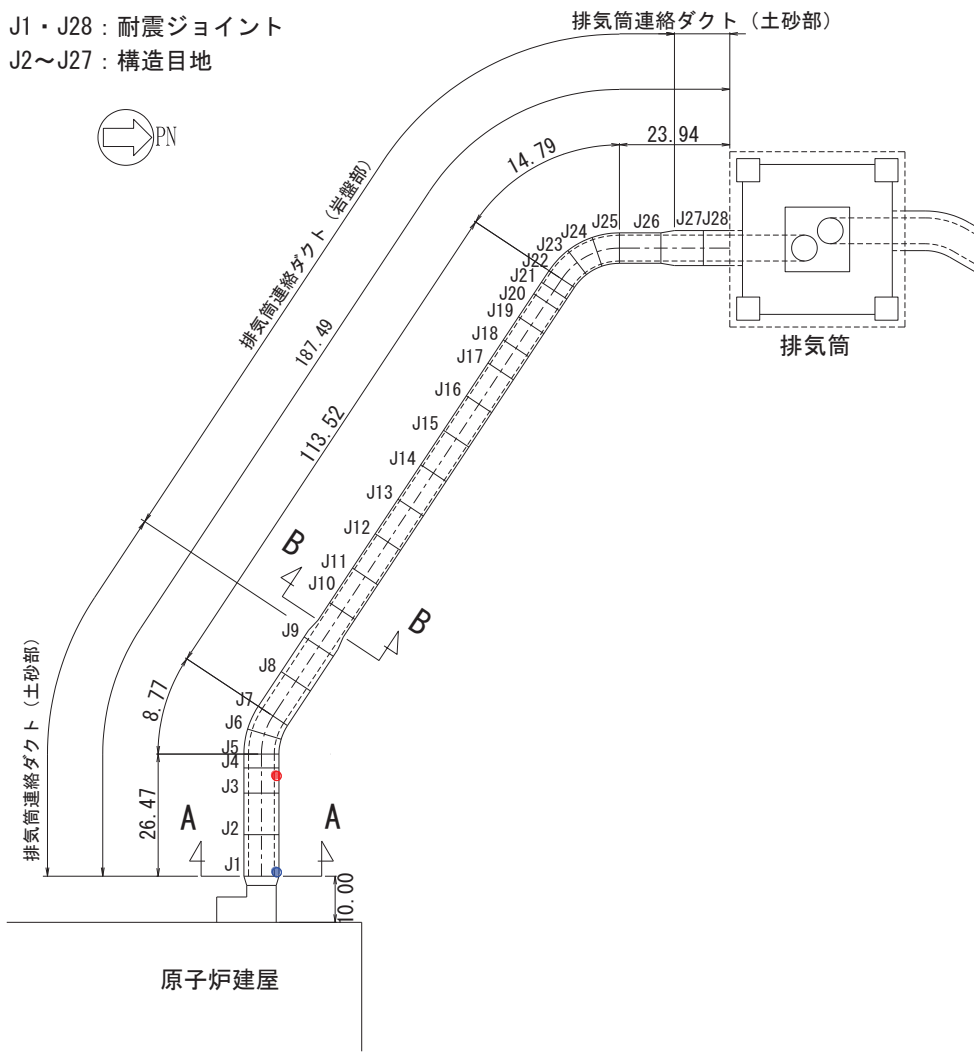


図3-23 コア採取位置図

表 3-9(1) 耐震評価における解析ケース（土砂部（断面①及び③））

解析ケース	解析手法	材料物性 (コンクリート) ( $E_0$ : ヤング係数)	地盤物性	
			盛土, 旧表土, D級岩盤 ( $G_0$ : 初期せん断 弾性係数)	C <sub>L</sub> 級岩盤, C <sub>M</sub> 級岩盤, C <sub>H</sub> 級岩盤, B級岩盤 ( $G_d$ : 動せん断弾性係数)
ケース① (基本ケース)	全応力解析	設計基準強度	平均値	平均値
ケース②	全応力解析	設計基準強度	平均値 + 1 σ	平均値
ケース③	全応力解析	設計基準強度	平均値 - 1 σ	平均値
ケース④* <sup>2</sup>	全応力解析	実強度に基づく 圧縮強度* <sup>1</sup>	平均値	平均値
ケース⑤* <sup>3</sup>	全応力解析	初期剛性低下考慮	平均値	平均値
ケース⑥ (基本ケース)	有効応力解析	設計基準強度	平均値	平均値
ケース⑦	有効応力解析	設計基準強度	平均値 + 1 σ	平均値
ケース⑧	有効応力解析	設計基準強度	平均値 - 1 σ	平均値
ケース⑨* <sup>2</sup>	有効応力解析	実強度に基づく 圧縮強度* <sup>1</sup>	平均値	平均値

注記\*1：既設構造物のコア採取による圧縮強度試験に基づき表 3-7 に示すとおりとする。

\*2：基本ケース（ケース①及び⑥）を実施し、曲げ・軸力系の破壊、せん断破壊及び基礎地盤の支持力照査における照査値の最大値を比較し、最大照査値を示す解析手法において、実強度を考慮した解析ケース（ケース④又はケース⑨）を実施する。

\*3：機器・配管系の耐震評価に適用する。原子炉建屋の剛性低下率のうち特異的なオペフロの値を除いた中で最大となる NS 方向の剛性低下率を設定する。

表 3-9(2) 耐震評価における解析ケース（岩盤部（断面⑤））

解析ケース	解析手法	材料物性 (コンクリート) ( $E_0$ : ヤング係数)	地盤物性	
			盛土, 旧表土, D級岩盤 ( $G_0$ : 初期せん断弾 性係数)	C <sub>L</sub> 級岩盤, C <sub>M</sub> 級岩盤, C <sub>H</sub> 級岩盤, B級岩盤 ( $G_d$ : 動せん断弾性係数)
ケース① (基本ケース)	全応力解析	設計基準強度	平均値	平均値
ケース②	全応力解析	設計基準強度	平均値	平均値 + 1 σ
ケース③	全応力解析	設計基準強度	平均値	平均値 - 1 σ
ケース④	全応力解析	実強度に基づく 圧縮強度* <sup>1</sup>	平均値	平均値
ケース⑤* <sup>2</sup>	全応力解析	初期剛性低下考慮	平均値	平均値

注記\*1：既設構造物のコア採取による圧縮強度試験に基づき表 3-7 に示すとおりとする。

\*2：機器・配管系の耐震評価に適用する。原子炉建屋の剛性低下率のうち特異的なオペフロの値を除いた中で最大となる NS 方向の剛性低下率を設定する。

(3) 耐震評価における解析ケースの組合せ

a. 土砂部 (断面①)

排気筒連絡ダクトの土砂部 (断面①) における耐震評価においては、基準地震動 S<sub>s</sub> (7 波) 及びこれらに水平動の位相反転を考慮した地震動 (7 波) を加えた全 14 波 (全応力解析の場合はケース①, 有効応力解析の場合はケース⑥) を実施する。

上記のケース①, ⑥において、曲げ・軸力系の破壊、せん断破壊及び基礎地盤の支持力照査において照査値が 0.5 以上となるすべての照査項目に対して、最も厳しい地震動を用いて、全応力解析の場合は図 3-24(1) に示すケース②及び③を、有効応力解析の場合は図 3-24(1) に示すケース⑦及び⑧を実施する。また、上記のケース①, ⑥において、曲げ・軸力系の破壊、せん断破壊及び基礎地盤の支持力照査における照査値の最大値を比較し、最大照査値を示す解析手法において、実強度を考慮した解析ケース (ケース④又はケース⑨) を実施する。排気筒連絡ダクトの土砂部 (断面①) については、上記のケース①で最大照査値を示すことから、実強度を考慮した解析ケース④を実施する。上記解析ケースの結果を踏まえ、更に照査値が大きくなる可能性がある場合は、追加解析を実施する。

耐震評価に対する解析ケースの組合せを表 3-10(1) に示す。また、追加解析ケースを実施する地震動の選定フローを図 3-25(1) に示す。

なお、「資料 1 屋外重要土木構造物の耐震安全性評価について」の「参考資料 7 地中構造物への鉛直地震動の位相が与える影響」において、排気筒連絡ダクトのような、地中に埋没された RC 構造物は、鉛直地震動の影響をほぼ受けないことを確認しているため、鉛直地震動については、位相の反転を考慮しない。

b. 岩盤部

排気筒連絡ダクトの岩盤部 (断面⑤) における耐震評価においては、基準地震動 S<sub>s</sub> (7 波) 及びこれらに水平動の位相反転を考慮した地震動 (7 波) を加えた全 14 波 (ケース①) を実施する。

上記のケース①において、曲げ・軸力系の破壊、せん断破壊及び基礎地盤の支持力照査において照査値が 0.5 以上となるすべての照査項目に対して、最も厳しい地震動を用いて、図 3-24(2) に示すケース②～④を実施する。また、上記解析ケースの結果を踏まえ、更に照査値が大きくなる可能性がある場合は、追加解析を実施する。

耐震評価に対する解析ケースの組合せを表 3-10(2) に示す。また、追加解析ケースを実施する地震動の選定フローを図 3-25(2) に示す。

なお、「資料 1 屋外重要土木構造物の耐震安全性評価について」の「参考資料 7 地中構造物への鉛直地震動の位相が与える影響」において、排気筒連絡ダクトのような、地中に埋没された RC 構造物は、鉛直地震動の影響をほぼ受けないことを確認しているため、鉛直地震動については、位相の反転を考慮しない。

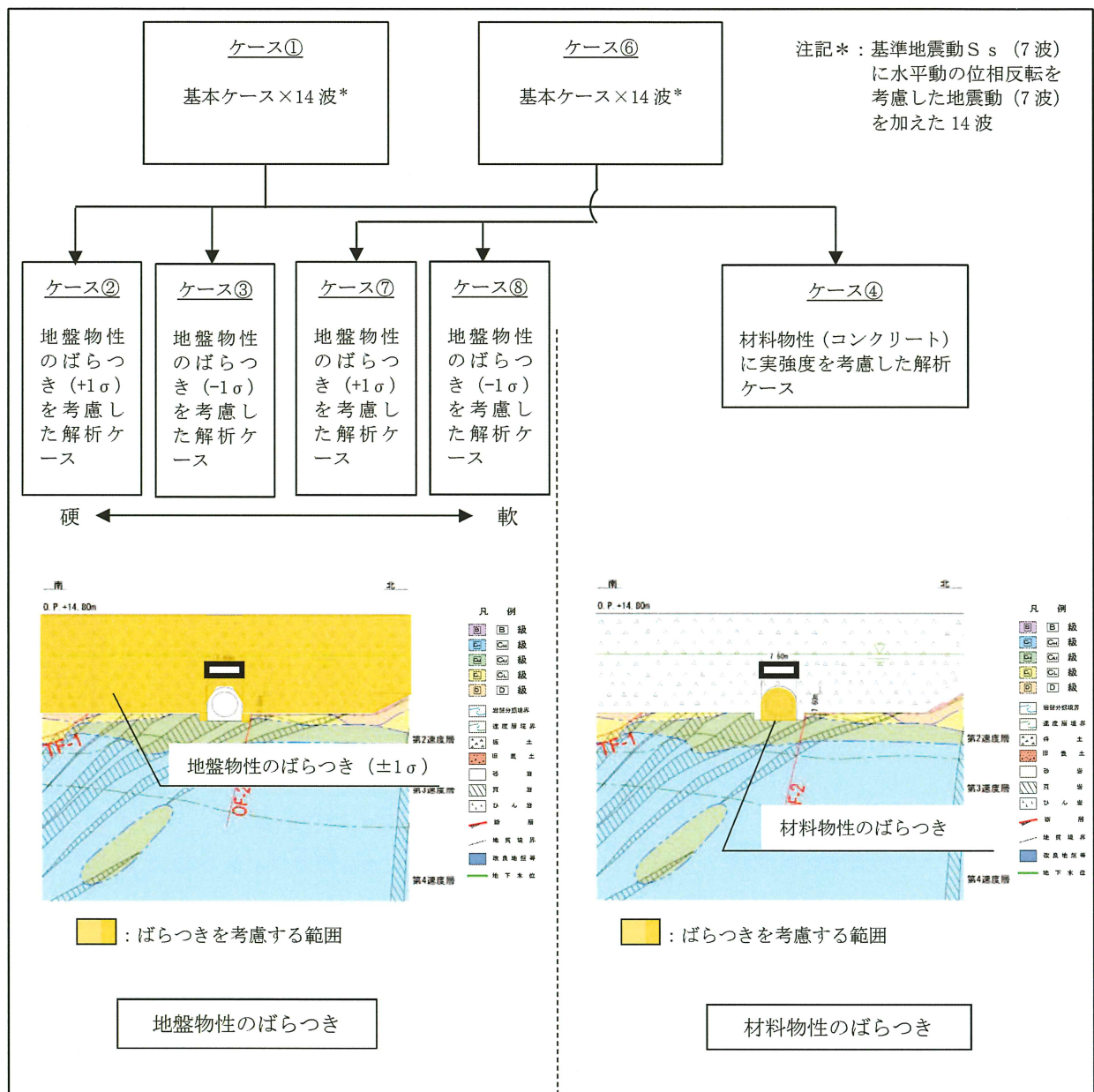


図 3-24(1) 耐震評価における解析ケース（土砂部（断面①））

枠囲みの内容は防護上の観点から公開できません。

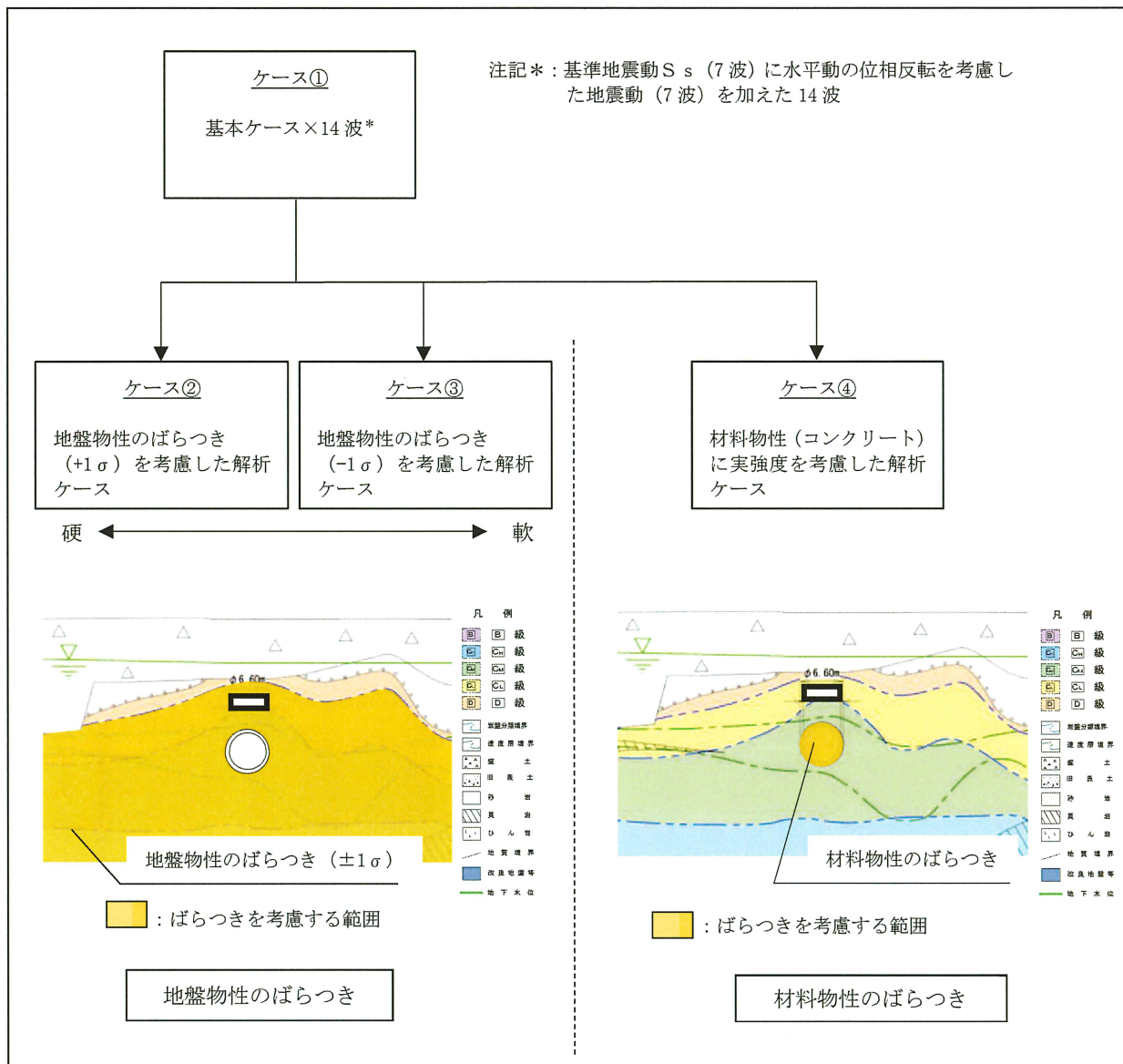


図3-24(2) 耐震評価における解析ケース（岩盤部（断面⑤））

株式会社の内容は防護上の観点から公開できません。

表 3-10(1) 排気筒連絡ダクト（土砂部（断面①））の耐震評価における解析ケース

解析ケース	全応力解析				有効応力解析			
	ケース①	ケース②	ケース③	ケース④	ケース⑤	ケース⑥	ケース⑦	ケース⑧
地盤物性	地盤物性のばらつき (+1σ) を考慮した解析ケース	地盤物性のばらつき (-1σ) を考慮した解析ケース	地盤物性のコンクリートに実強度を考慮した解析ケース	地盤物性のコンクリートに実強度を考慮した解析ケース	基本ケース	地盤物性のばらつき (+1σ) を考慮した解析ケース	地盤物性のばらつき (-1σ) を考慮した解析ケース	地盤物性のばらつき (-1σ) を考慮した解析ケース
材料物性	平均値	平均値+1σ	平均値-1σ	平均値	平均値	平均値+1σ	平均値-1σ	平均値-1σ
S s-D 1	++*1	○				○		
S s-D 2	++*1	○				○		
S s-D 3	-+*1	○				○		
S s-F 1	++*1	○				○		
S s-F 2	-+*1	○				○		
S s-F 3	++*1	○				○		
S s-N 1	-+*1	○				○		

【追加解析ケースについて】

基準地震動 S s (7 波) に水平動の位相反転を考慮した地震動 (7 波) を加えた全 14 波に対し、全応力解析及び有効応力解析を実施し、照査を行ったケース①及びケース⑥の結果から、曲げ・軸力系の破壊、せん断破壊、基礎地盤の支持力照査の各照査項目ごとに照査値が 0.5 以上となる照査項目に対して、最も厳しい（許容限界に対する裕度が最も小さい）地震動を用いてケース②～④又はケース⑦及び⑧を実施する。

すべての照査項目の照査値がいずれも 0.5 未満の場合は、照査値が最も厳しくなる地震動を用いてケース②～④又はケース⑦及び⑧を実施する。

また、上記解析ケースの結果を踏まえ、更に照査値が大きくなる可能性がある場合は、追加解析ケースを実施する。

注：「資料 1 屋外重要土木構造物の耐震安全性評価について」の「参考資料 7 地中構造物への鉛直地盤動の影響」において、排気管連絡ダクトのよう

な、地中に埋設された RC 構造物は、鉛直地震動の影響をほぼ受けないことを確認しているため、鉛直地震動については、位相の反転を考慮しない。

注記 \*1：耐震評価にあたっては、土木学会マニアルに従い、水平方向の位相反転を考慮する。地盤動の位相について、+ + の左側は水平動、右側は鉛直動を表し、「-」は位相を反転させたケースを示す。

\*2：既設構造物のコア採取による圧縮強度試験の結果を使用する。

表 3-10(2) 排気筒連絡ダクト（岩盤部（断面⑤））の耐震評価における解析ケース

解析ケース			ケース①	ケース②	ケース③	ケース④
地震動 (位相)	地盤物性		基本ケース	地盤物性のはらつき (+1 σ) を考慮した解析ケース	地盤物性のはらつき (-1 σ) を考慮した解析ケース	材料物性（コンクリート）に実強度を考慮した解析ケース
	材料物性		設計基準強度	設計基準強度	設計基準強度	実強度に基づく圧縮強度 <sup>*2</sup>
	S s - D 1	++ <sup>*1</sup>	○			
		-+ <sup>*1</sup>	○			
	S s - D 2	++ <sup>*1</sup>	○			
		-+ <sup>*1</sup>	○			
	S s - D 3	++ <sup>*1</sup>	○			
		-+ <sup>*1</sup>	○			
	S s - F 1	++ <sup>*1</sup>	○			
		-+ <sup>*1</sup>	○			
	S s - F 2	++ <sup>*1</sup>	○			
		-+ <sup>*1</sup>	○			
	S s - F 3	++ <sup>*1</sup>	○			
		-+ <sup>*1</sup>	○			
	S s - N 1	++ <sup>*1</sup>	○			
		-+ <sup>*1</sup>	○			

【追加解析ケースについて】  
 基準地震動 S s (7 波) に水平動の位相反転を考慮した地震動 (7 波) を加えた全 14 波に対し、全応力解析による基本ケース①を実施し、曲げ・軸力系の破壊、せん断破壊、基礎地盤の支持力照査の各照査項目に照査値が 0.5 以上となる照査項目に対して、最も厳しい（許容限界に対する裕度が最も小さい）地震動を用いてケース②～④を実施する。すべての照査項目の照査値がいずれも 0.5 未満の場合は、照査値が最も厳しくなる地震動を用いてケース②～④を実施する。また、上記解析ケースの結果を踏まえ、更に照査値が大きくなる可能性がある場合は、追加解析ケースを実施する。

注：「資料 1 屋外重要土木構造物の耐震安全性評価について」の「参考資料 7 地中構造物への鉛直地震動の位相が与える影響」において、排気筒連絡ダクトのような、地中に埋没された RC 構造物は、鉛直地震動の影響をほぼ受けないことを確認しているため、鉛直地震動については、位相の反転を考慮しない。

注記 \*1：耐震評価にあたっては、土木学会マニュアルに従い、水平方向の位相反転を考慮する。

地震動の位相について、++ の左側は水平動、右側は鉛直動を表し、「-」は位相を反転させたケースを示す。

\*2：既設構造物のコア採取による圧縮強度試験の結果を使用する。

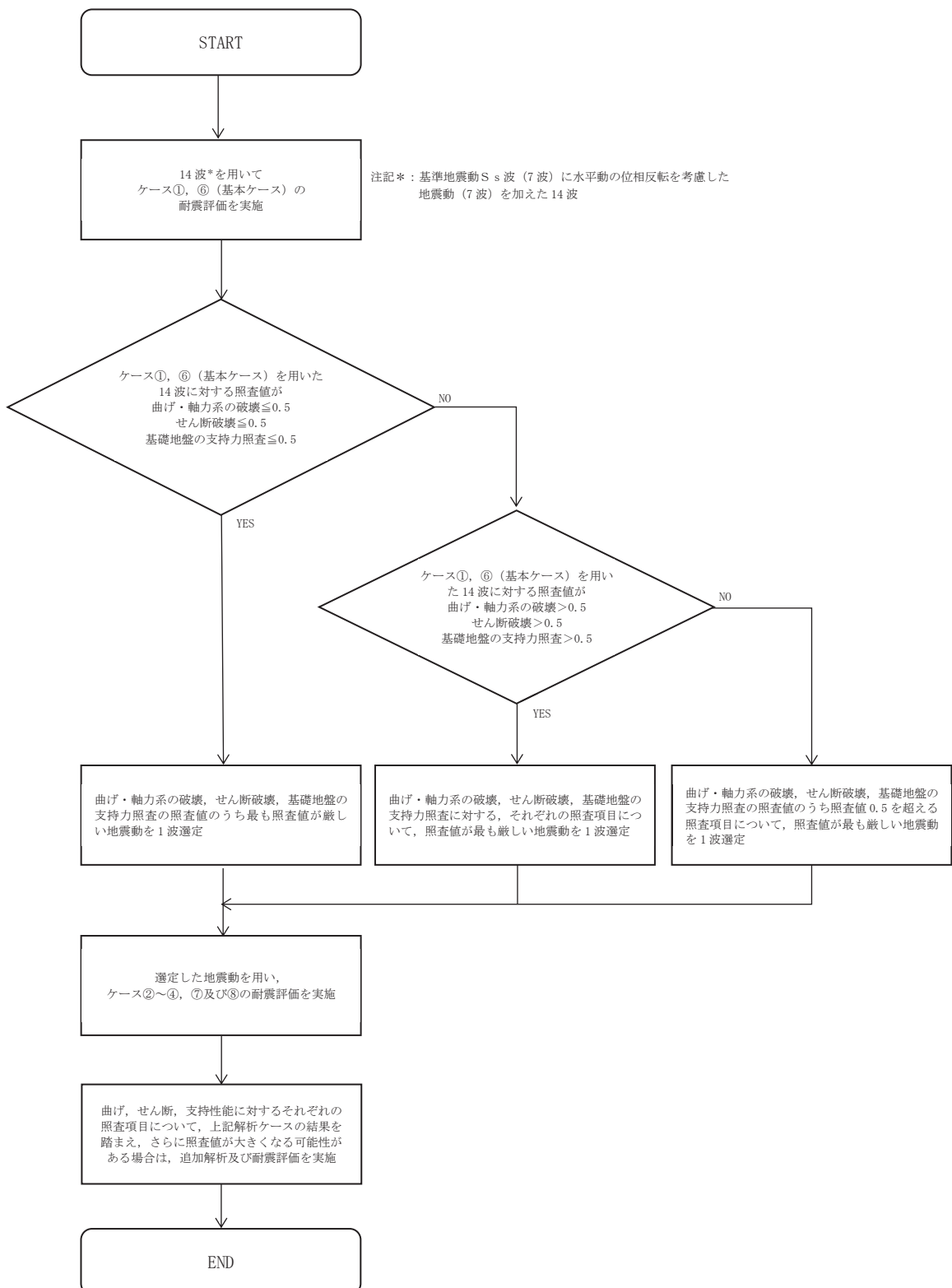


図3-25(1) 追加解析を実施する地震動の選定フロー (土砂部 (断面①))

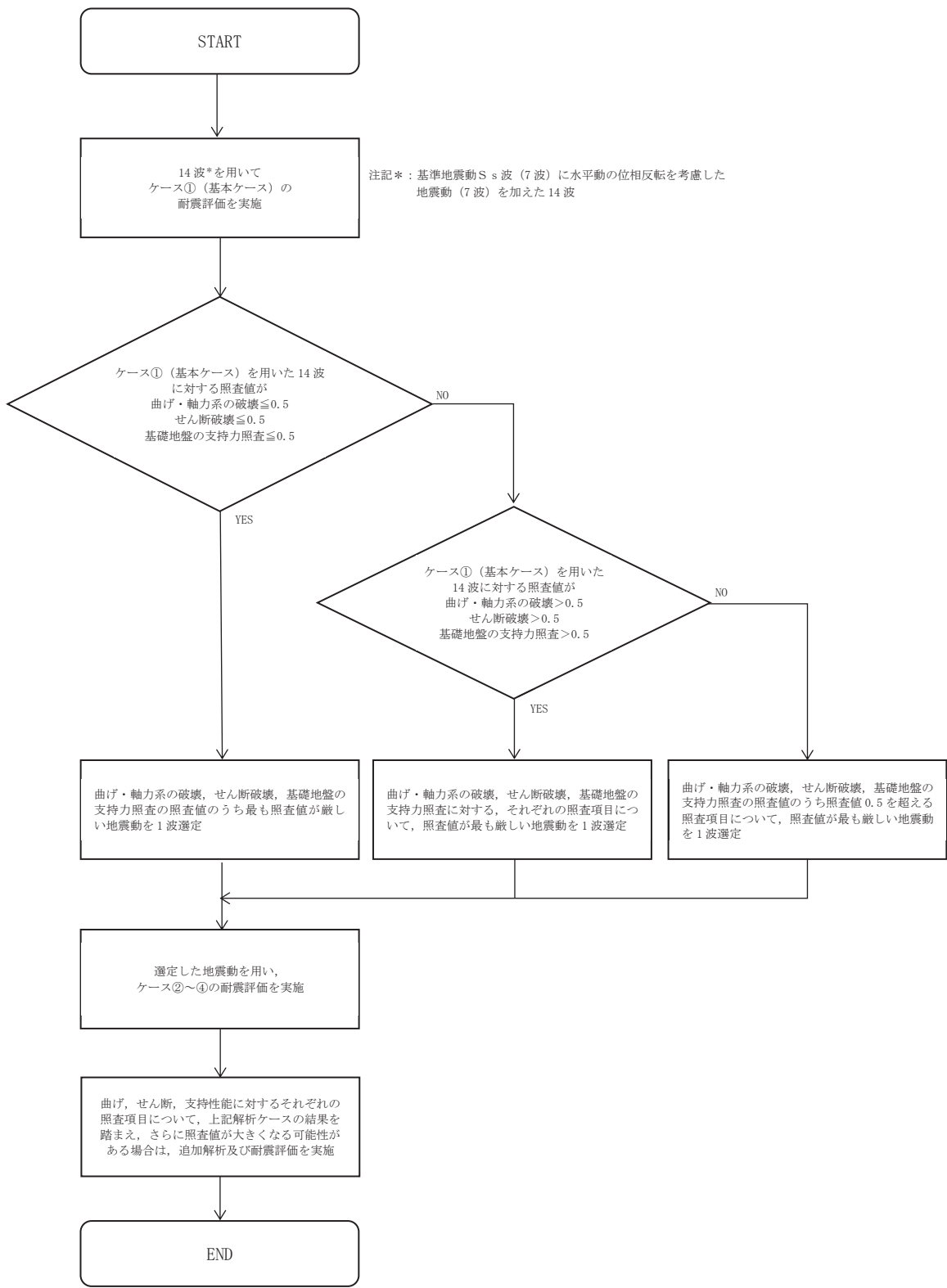


図 3-25(2) 追加解析を実施する地震動の選定フロー (岩盤部 (断面⑤))

### 3.5.2 機器・配管系に対する応答加速度抽出のための解析ケース

排気筒連絡ダクトに支持される機器・配管系の耐震評価に適用する床応答への保守的な配慮として、基準地震動 S s (7 波)、弹性設計用地震動 S d (7 波) 及びこれらに水平動の位相反転を考慮した地震動 (28 波) を用いて、ケース①に加え、図 3-26 に示すケース②～④の解析を実施する。

また、基準地震動 S s (7 波) を用いて、初期剛性低下を考慮したケース⑤について影響を確認する。

さらに、土砂部 (断面①及び断面③) は、「3.1 地震応答解析手法」に示すとおり、地震応答解析として全応力解析及び有効応力解析を実施することから、基準地震動 S s (7 波)、弹性設計用地震動 S d (7 波) 及びこれらに水平動の位相反転を考慮した地震動 (28 波) を加えた全 14 波を用いて、図 3-26 に示す全応力解析のケース①～④及び有効応力解析のケース⑧を実施する。

機器・配管系に対する応答加速度及び応答変位抽出の基本ケースであるケース①に対して、最も地盤が固い条件となるケース②、最も地盤が軟らかいケース③及びケース⑧、最も材料特性が固い条件のケース④を実施することで地盤剛性等のばらつきの影響を網羅的に考慮する。

機器・配管系の耐震評価に適用する解析ケースを図 3-26 及び表 3-11 に示す。

なお、基準地震動 S s (7 波) におけるケース⑤の地震応答解析結果については、「参考資料 1 機器・配管系の耐震評価に適用する影響検討ケース」に示す。

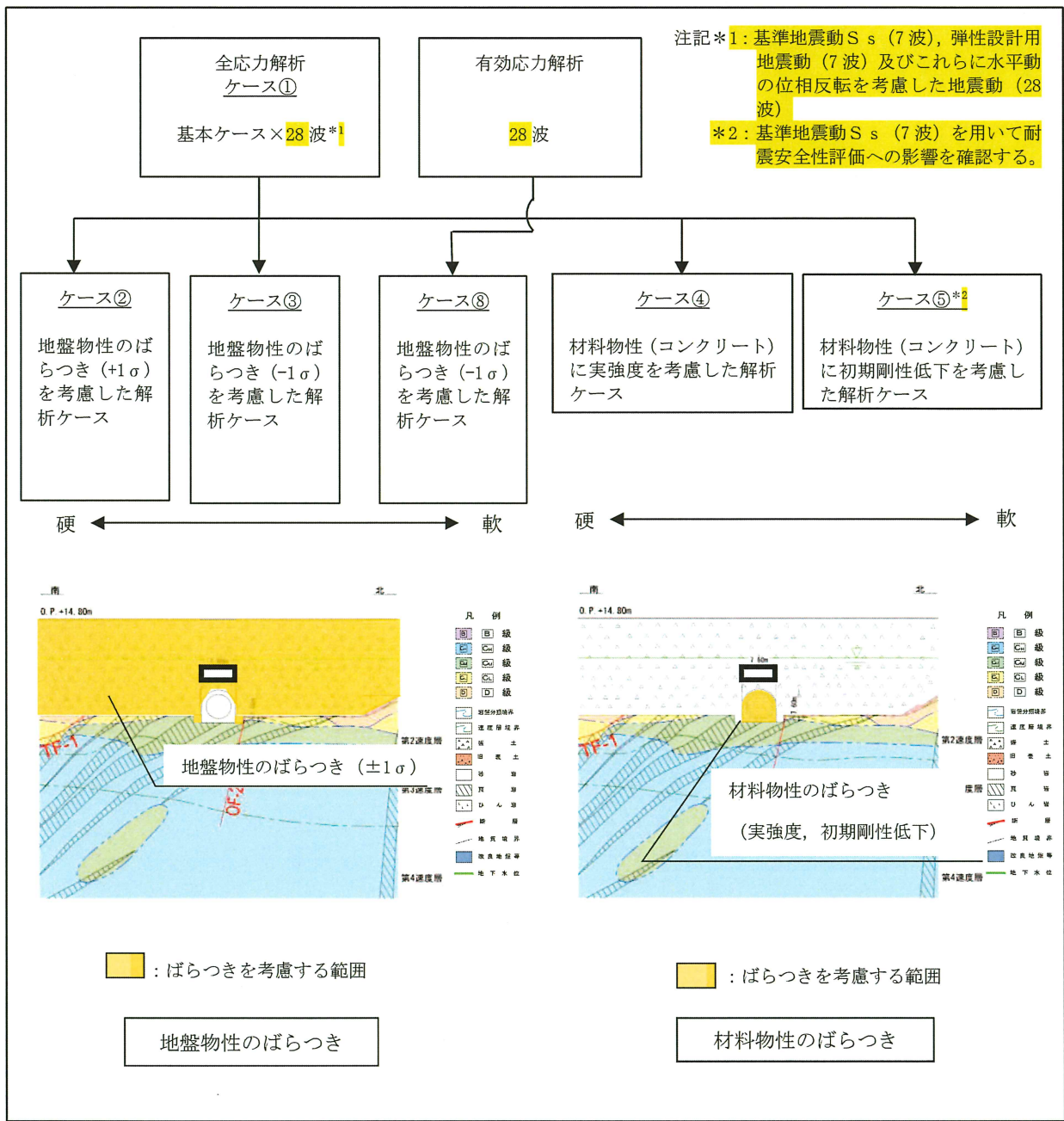


図 3-26(1) 機器・配管系の耐震評価に適用する解析ケース (土砂部 (断面①及び断面③))

枠囲みの内容は防護上の観点から公開できません。

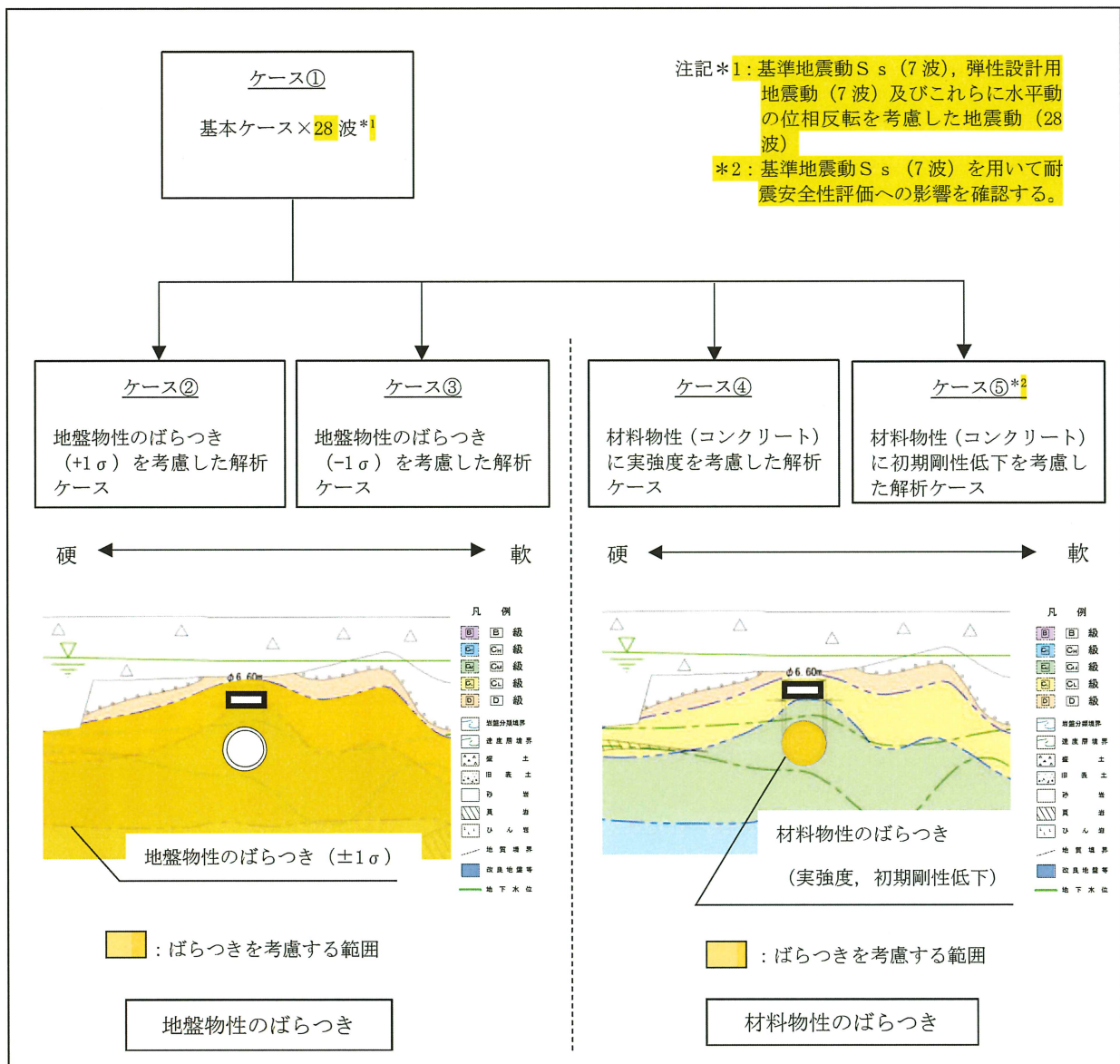


図 3-26(2) 機器・配管系の耐震評価に適用する解析ケース (岩盤部 (断面⑤))

枠囲みの内容は防護上の観点から公開できません。

表 3-11(1) 機器・配管系の耐震評価に適用する解析ケース（基準地震動 S<sub>s</sub>）（土砂部（断面①及び断面③））

解析ケース <sup>*3</sup>	全応力解析						有効応力解析 ケース⑧
	ケース①	ケース②	ケース③	ケース④	ケース⑤	ケース⑥	
基本ケース <sup>*2</sup>	地盤物性のばらつき(+1σ)を考慮した解析ケース	地盤物性のばらつき(-1σ)を考慮した解析ケース	材料物性(コンクリート)に実強度を考慮した解析ケース	材料物性(コンクリート)に剛性低下を考慮した解析ケース	材料物性(コンクリート)に剛性低下を考慮した解析ケース	地盤物性のばらつき(-1σ)を考慮した解析ケース	地盤物性のばらつき(-1σ)を考慮した解析ケース
地盤物性	平均値	平均値+1σ	平均値-1σ	平均値	平均値	平均値	平均値-1σ
材料物性	設計基準強度	設計基準強度	設計基準強度	実強度に基づく圧縮強度 <sup>*2</sup>	実強度に基づく圧縮強度 <sup>*2</sup>	剛性低下に基づく圧縮強度 <sup>*1</sup>	設計基準強度
S <sub>s</sub> -D 1	++*1 -+*1	○ ○	○ ○	○ ○	○ ○	△ -	○ ○
S <sub>s</sub> -D 2	++*1 -+*1	○ ○	○ ○	○ ○	○ ○	△ -	○ ○
S <sub>s</sub> -D 3	++*1 -+*1	○ ○	○ ○	○ ○	○ ○	△ -	○ ○
S <sub>s</sub> -F 1	++*1 -+*1	○ ○	○ ○	○ ○	○ ○	△ -	○ ○
S <sub>s</sub> -F 2	++*1 -+*1	○ ○	○ ○	○ ○	○ ○	△ -	○ ○
S <sub>s</sub> -F 3	++*1 -+*1	○ ○	○ ○	○ ○	○ ○	△ -	○ ○
S <sub>s</sub> -N 1	++*1 -+*1	○ ○	○ ○	○ ○	○ ○	△ -	○ ○

注：「資料 1 屋外重要土木構造物の耐震安全性評価について」の「参考資料 7 地中構造物への鉛直地震動の位相が与える影響」において、排気筒連絡ダクトのような、地中に埋設された RC 構造物は、鉛直地震動の影響をほぼ受けないことを確認しているため、鉛直地震動については、位相の反転を考慮しない。

注記 \*1：地震動の位相について、+ + の左側は水平動、右側は鉛直動を表し、「-」は位相を反転させたケースを示す。

\*2：既設構造物のコア採取による圧縮強度試験の結果を示す。

\*3：○は設計に用いる解析ケースを示し、△は影響検討ケースを示す。

\*4：機器・配管系の耐震評価に適用する。原子炉建屋の剛性低下率のうち特異的なオペフロの値を除いた中で最大となる NS 方向の剛性低下率を設定する。

表 3-11(2) 機器・配管系の耐震評価に適用する解析ケース（基準地震動 S s）

(岩盤部 (断面⑤))

解析ケース <sup>*3</sup>			全応力解析				
			ケース①	ケース②	ケース③	ケース④	ケース⑤
地盤物性		基本ケース <sup>*2</sup>	地盤物性のばらつき (+1 σ) を考慮した解析ケース	地盤物性のばらつき (-1 σ) を考慮した解析ケース	材料物性(コンクリート)に実強度を考慮した解析ケース	材料物性(コンクリート)に剛性低下を考慮した解析ケース	
		平均値	平均値+1 σ	平均値-1 σ	平均値	平均値	平均値
材料物性		設計基準強度	設計基準強度	設計基準強度	実強度に基づく圧縮強度 <sup>*2</sup>	剛性低下に基づく圧縮強度 <sup>*4</sup>	
		○	○	○	○	△	
地震動 (位相)	S s - D 1	+ + *1	○	○	○	○	△
		- + *1	○	○	○	○	—
	S s - D 2	+ + *1	○	○	○	○	△
		- + *1	○	○	○	○	—
	S s - D 3	+ + *1	○	○	○	○	△
		- + *1	○	○	○	○	—
	S s - F 1	+ + *1	○	○	○	○	△
		- + *1	○	○	○	○	—
	S s - F 2	+ + *1	○	○	○	○	△
		- + *1	○	○	○	○	—
	S s - F 3	+ + *1	○	○	○	○	△
		- + *1	○	○	○	○	—
	S s - N 1	+ + *1	○	○	○	○	△
		- + *1	○	○	○	○	—

注：「資料 1 屋外重要土木構造物の耐震安全性評価について」の「参考資料 7 地中構造物への鉛直地震動の位相が与える影響」において、排気筒連絡ダクトのような、地中に埋没された RC 構造物は、鉛直地震動の影響をほぼ受けないことを確認しているため、鉛直地震動については、位相の反転を考慮しない。

注記\*1：地震動の位相について、++の左側は水平動、右側は鉛直動を表し、「-」は位相を反転させたケースを示す。

\*2：既設構造物のコア採取による圧縮強度試験の結果を使用する。

\*3：○は設計に用いる解析ケースを示し、△は影響検討ケースを示す。

\*4：機器・配管系の耐震評価に適用する。原子炉建屋の剛性低下率のうち特異的なオペ一口の値を除いた中で最大となるNS方向の剛性低下率を設定する。

表 3-11(3) 機器・配管系の耐震評価に適用する解析ケース（弹性設計用地震動 S d）（土砂部（断面①及び断面③））

解析ケース <sup>*3</sup>	全応力解析					有効応力解析 ケース⑧
	ケース①	ケース②	ケース③	ケース④	ケース⑤	
地盤物性のばらつき (+1 σ) を考慮した解析ケース <sup>*2</sup>	地盤物性のばらつき (-1 σ) を考慮した解析ケース <sup>*</sup>	地盤物性のばらつき (-1 σ) を考慮した解析ケース <sup>*</sup>	材料物性 (コンクリート) に実強度を考慮した解析ケース <sup>*</sup>	材料物性 (コンクリート) に剛性低下を考慮した解析ケース <sup>*</sup>	地盤物性のばらつき (-1 σ) を考慮した解析ケース <sup>*</sup>	地盤物性のばらつき (-1 σ) を考慮した解析ケース <sup>*</sup>
地盤物性	平均値	平均値+1 σ	平均値-1 σ	平均値	平均値	平均値-1 σ
材料物性	設計基準強度	設計基準強度	設計基準強度	実強度に基づく圧縮強度 <sup>*2</sup>	剛性低下に基づく圧縮強度 <sup>*</sup>	設計基準強度
S d-D 1	++*1 -+*1	○ ○	○ ○	○ ○	○ ○	△ -
S d-D 2	+*1 -+*1	○ ○	○ ○	○ ○	○ ○	△ -
S d-D 3	+*1 -+*1	○ ○	○ ○	○ ○	○ ○	△ -
S d-F 1	+*1 -+*1	○ ○	○ ○	○ ○	○ ○	△ -
S d-F 2	+*1 -+*1	○ ○	○ ○	○ ○	○ ○	△ -
S d-F 3	+*1 -+*1	○ ○	○ ○	○ ○	○ ○	△ -
S d-N 1	+*1 -+*1	○ ○	○ ○	○ ○	○ ○	△ -

注記 \*1：地震動の位相について、+ + の左側は水平動、右側は鉛直動を表し、「-」は位相を反転させたケースを示す。

\*2：既設構造物のコア採取による圧縮強度試験の結果を使用する。

\*3：機器・配管系の耐震評価に適用する。原子炉建屋の剛性低下率のうち特異的なオペフロの値を除いた中で最大となる NS 方向の剛性低下率を設定する。

表 3-11(4) 機器・配管系の耐震評価に適用する解析ケース（弾性設計用地震動 S d）

(岩盤部 (断面⑤))

解析ケース			ケース①	ケース②	ケース③	ケース④
地震動 (位相)	地盤物性		基本ケース	地盤物性のはらつき (+1 σ) を考慮した解析ケース	地盤物性のはらつき (-1 σ) を考慮した解析ケース	材料物性 (コンクリート) に実強度を考慮した解析ケース
	材料物性		平均値	平均値+1 σ	平均値-1 σ	平均値
	S s - D 1	++* <sup>1</sup>	○	○	○	○
	S d - D 1	-+* <sup>1</sup>	○	○	○	○
	S s - D 2	++* <sup>1</sup>	○	○	○	○
	S d - D 2	-+* <sup>1</sup>	○	○	○	○
	S s - D 3	++* <sup>1</sup>	○	○	○	○
	S d - D 3	-+* <sup>1</sup>	○	○	○	○
	S s - F 1	++* <sup>1</sup>	○	○	○	○
	S d - F 1	-+* <sup>1</sup>	○	○	○	○
	S s - F 2	++* <sup>1</sup>	○	○	○	○
	S d - F 2	-+* <sup>1</sup>	○	○	○	○
	S s - F 3	++* <sup>1</sup>	○	○	○	○
	S d - F 3	-+* <sup>1</sup>	○	○	○	○
	S s - N 1	++* <sup>1</sup>	○	○	○	○
	S d - N 1	-+* <sup>1</sup>	○	○	○	○

注記\*1：地震動の位相について、++の左側は水平動、右側は鉛直動を表し、「-」は位相を反転させたケースを示す。

\*2：既設構造物のコア採取による圧縮強度試験の結果を使用する。

#### 4. 評価内容

##### 4.1 入力地震動の設定

入力地震動は、添付書類「VI-2-1-6 地震応答解析の基本方針」のうち「2.3 屋外重要土木構造物」に示す入力地震動の設定方針を踏まえて設定する。

地震応答解析に用いる入力地震動は、解放基盤表面で定義される基準地震動  $S_s$  及び弾性設計用地震動  $S_d$  を一次元重複反射理論により地震応答解析モデル下端位置で評価したものを用いる。なお、入力地震動の設定に用いる地下構造モデルは、添付書類「VI-2-1-3 地盤の支持性能に係る基本方針」のうち「7.1 入力地震動の設定に用いる地下構造モデル」を用いる。

図4-1に入力地震動算定の概念図を、図4-2に入力地震動の加速度時刻歴波形及び加速度応答スペクトルを示す。入力地震動の算定には、解析コード「SHAKE Ver. 1.6」を使用する。解析コードの検証及び妥当性確認の概要については、添付書類「VI-5 計算機プログラム（解析コード）の概要」に示す。

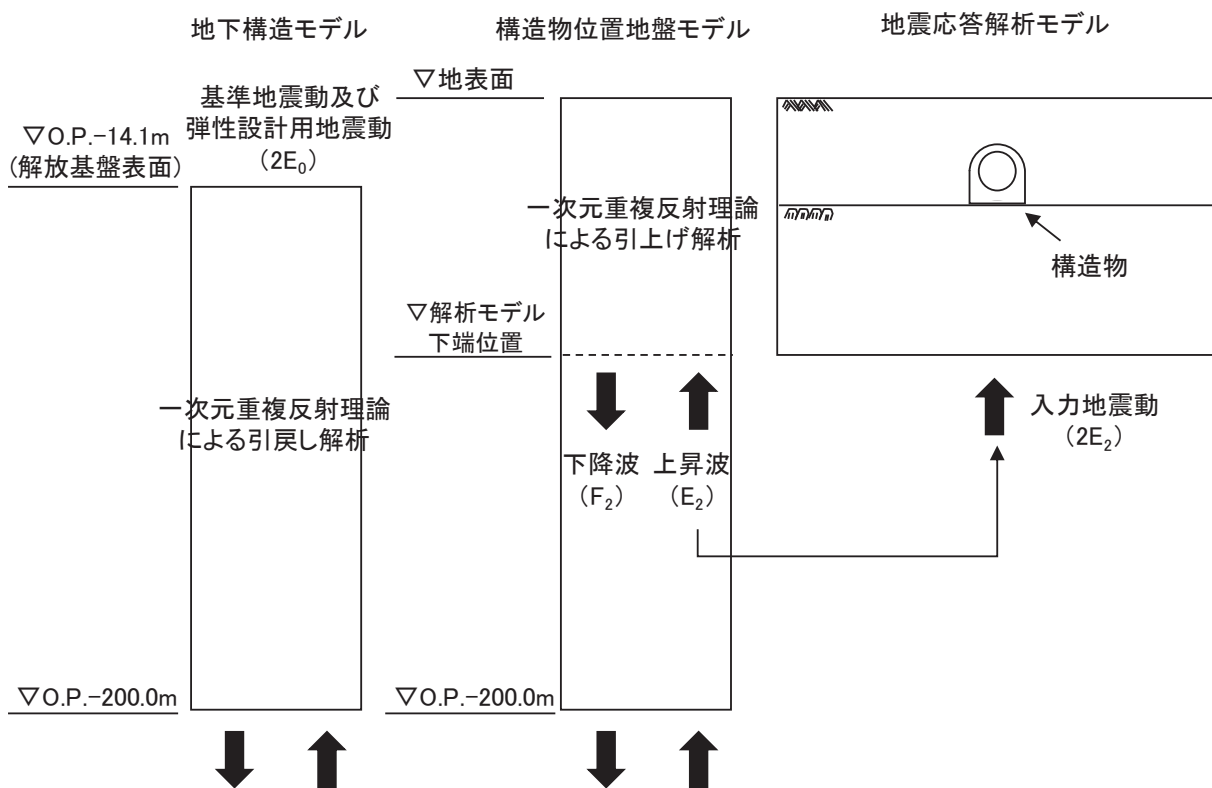
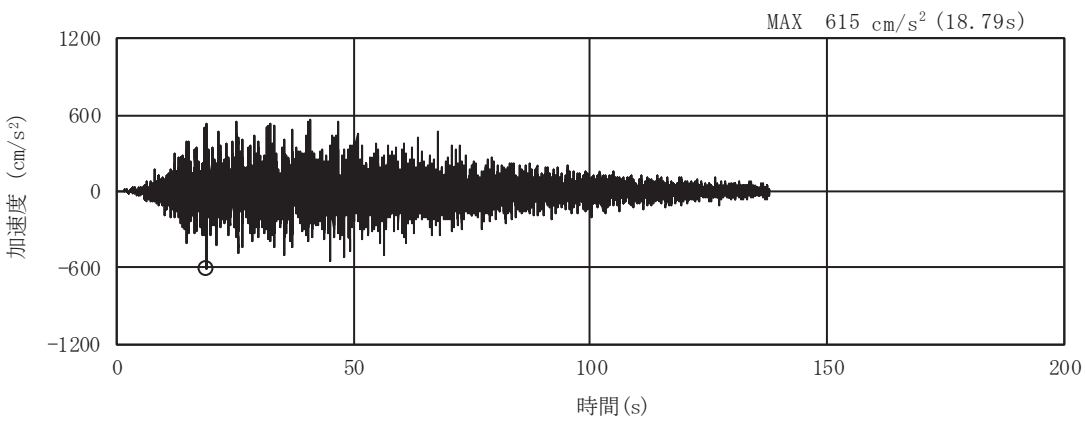
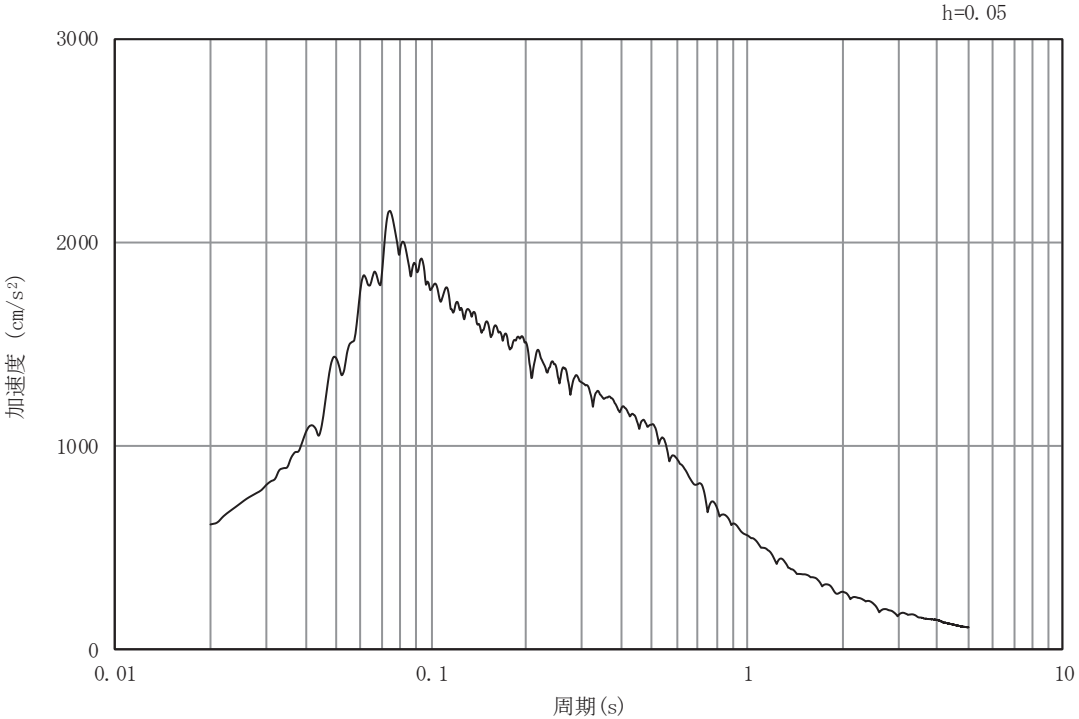


図 4-1 入力地震動算定の概念図（基準地震動  $S_s$  及び弾性設計用地震動  $S_d$ ）

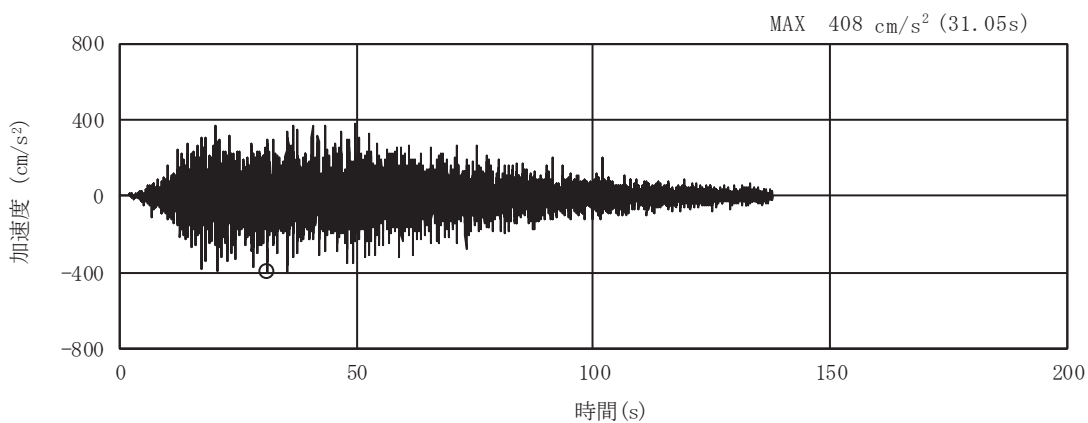


(a) 加速度時刻歴波形

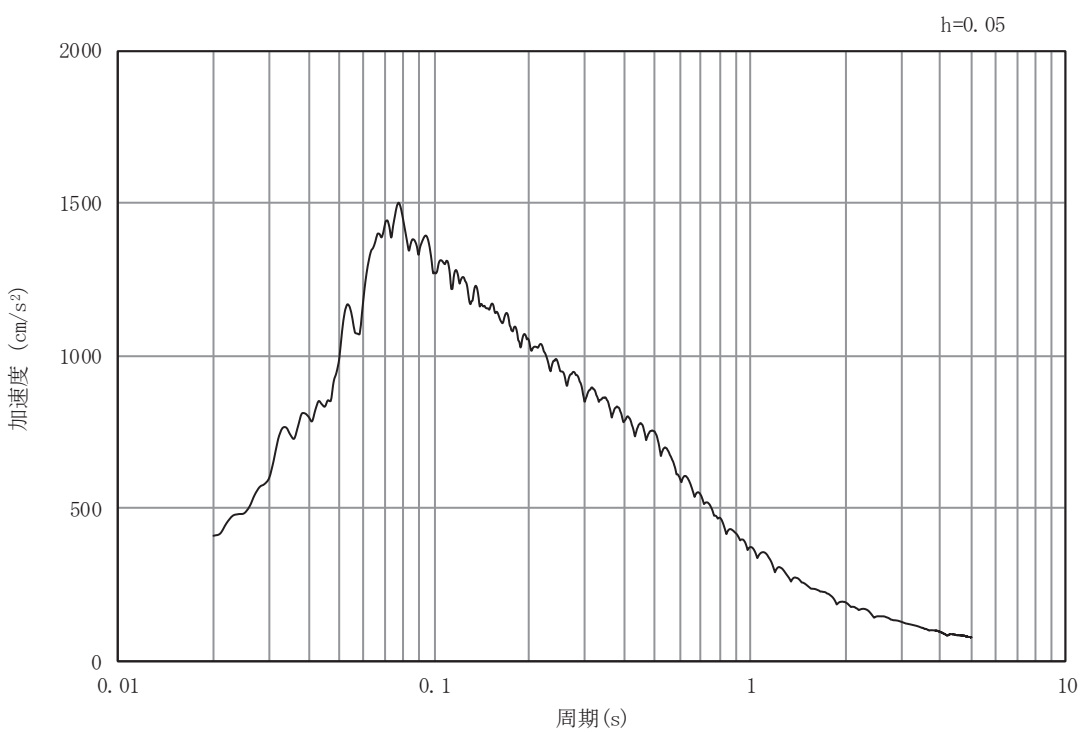


(b) 加速度応答スペクトル

図4-2(1) 入力地震動の加速度時刻歴波形及び加速度応答スペクトル (土砂部 (断面①))  
(水平成分 : S s-D 1)

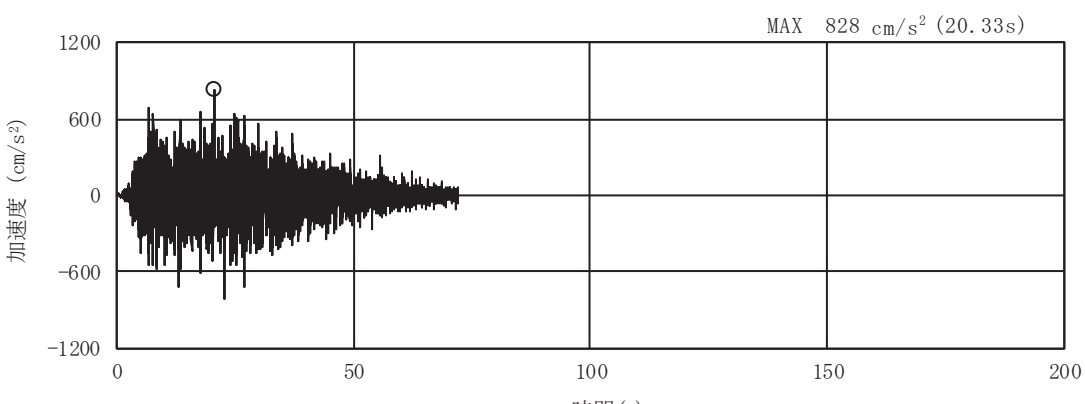


(a) 加速度時刻歴波形

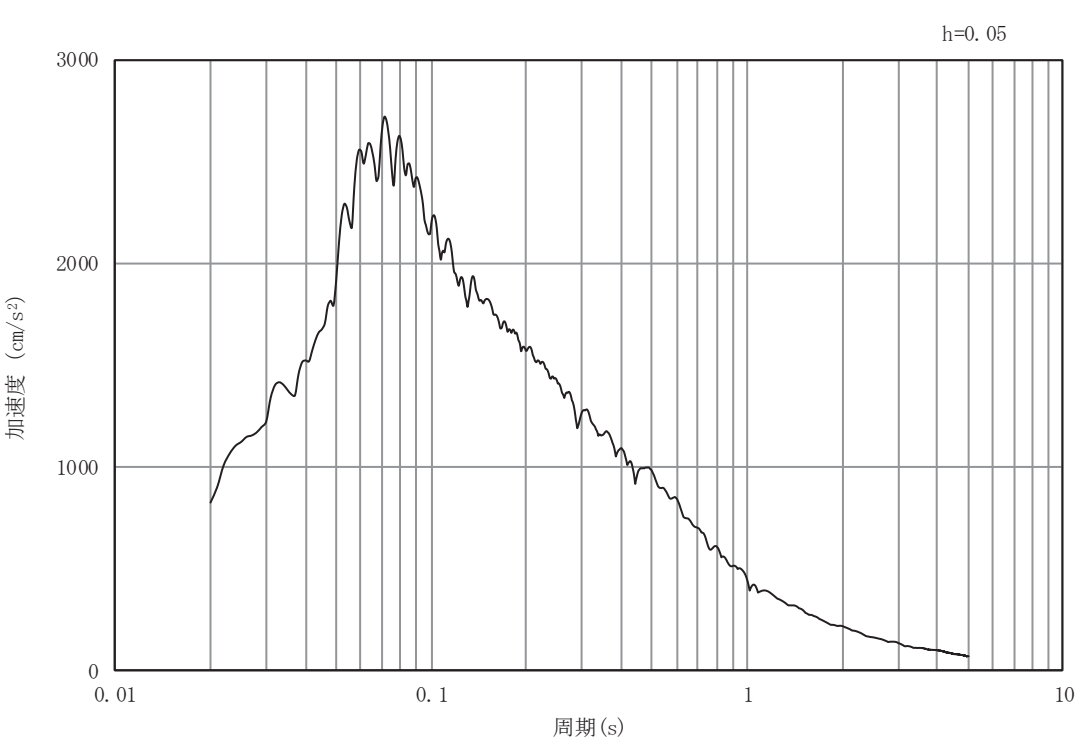


(b) 加速度応答スペクトル

図4-2(2) 入力地震動の加速度時刻歴波形及び加速度応答スペクトル (土砂部 (断面①))  
(鉛直成分 : S s-D 1)

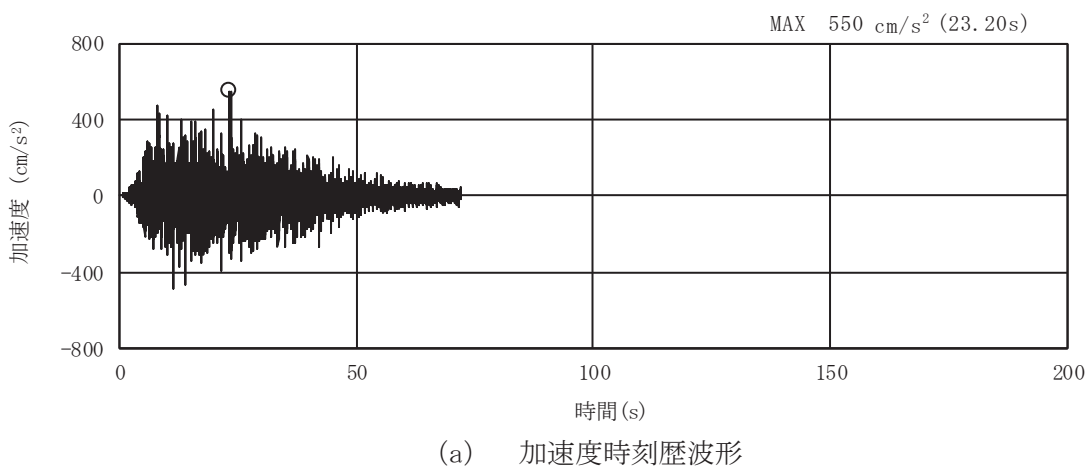


(a) 加速度時刻歴波形

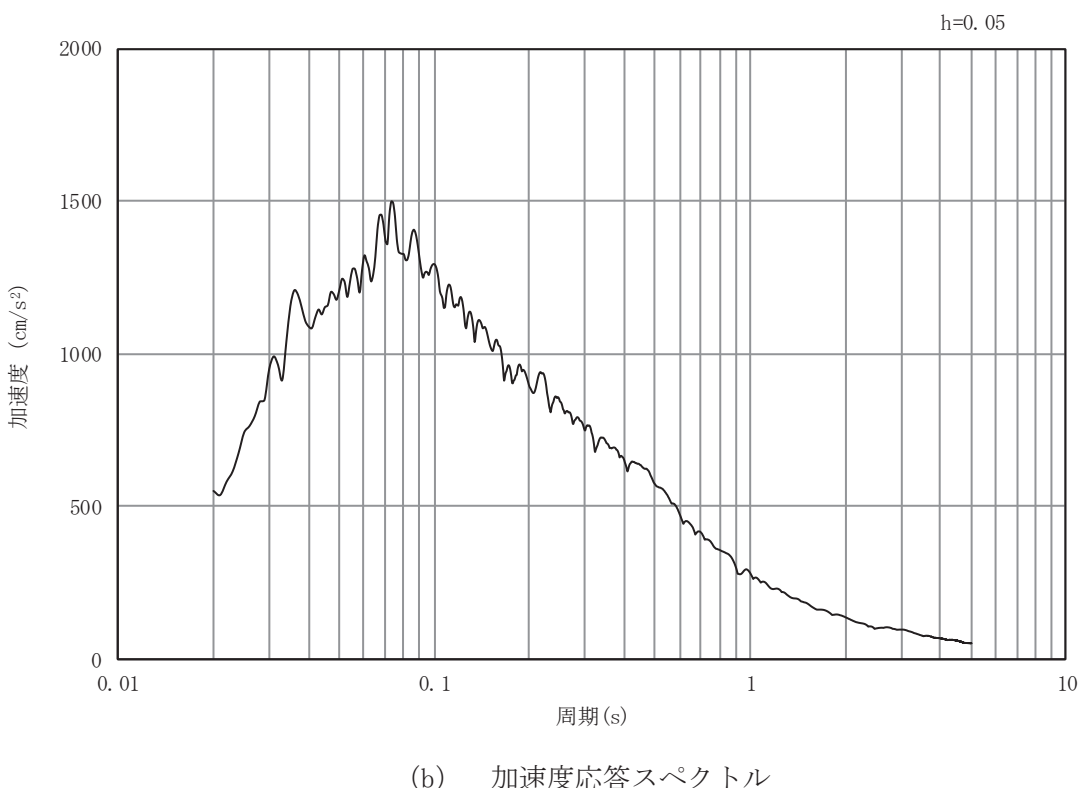


(b) 加速度応答スペクトル

図4-2(3) 入力地震動の加速度時刻歴波形及び加速度応答スペクトル (土砂部 (断面①))  
(水平成分 : S s-D 2)

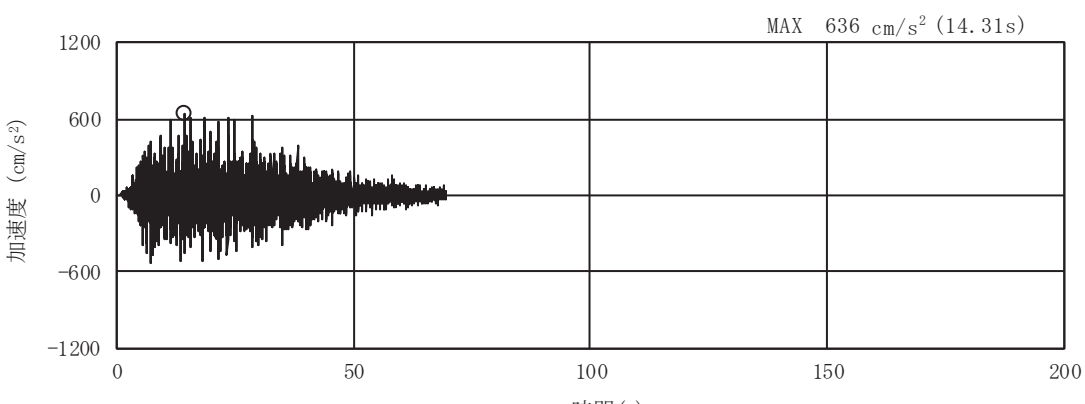


(a) 加速度時刻歴波形

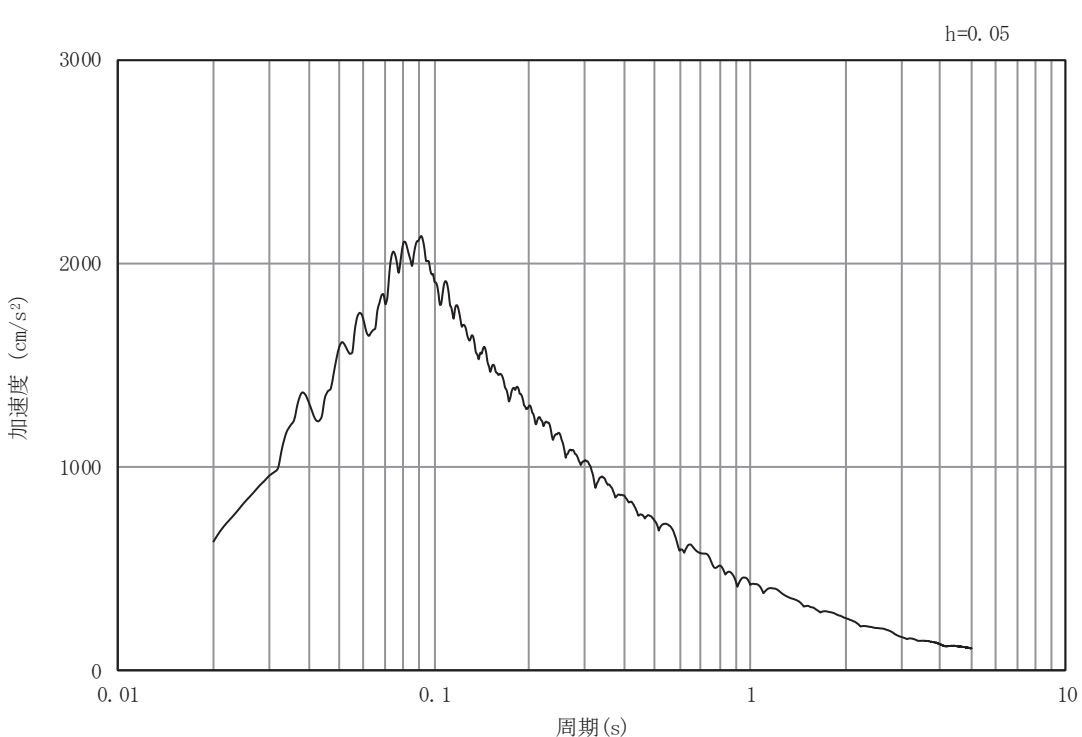


(b) 加速度応答スペクトル

図4-2(4) 入力地震動の加速度時刻歴波形及び加速度応答スペクトル (土砂部 (断面①))  
(鉛直成分 : S s-D 2)

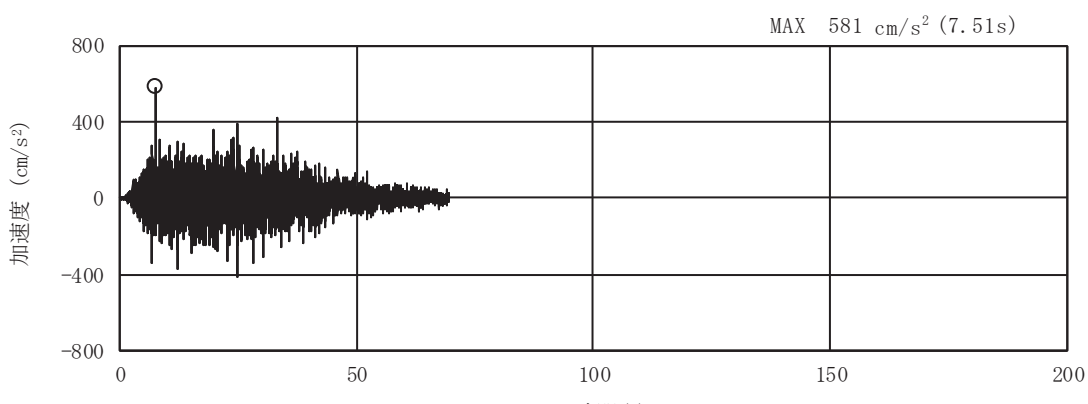


(a) 加速度時刻歴波形

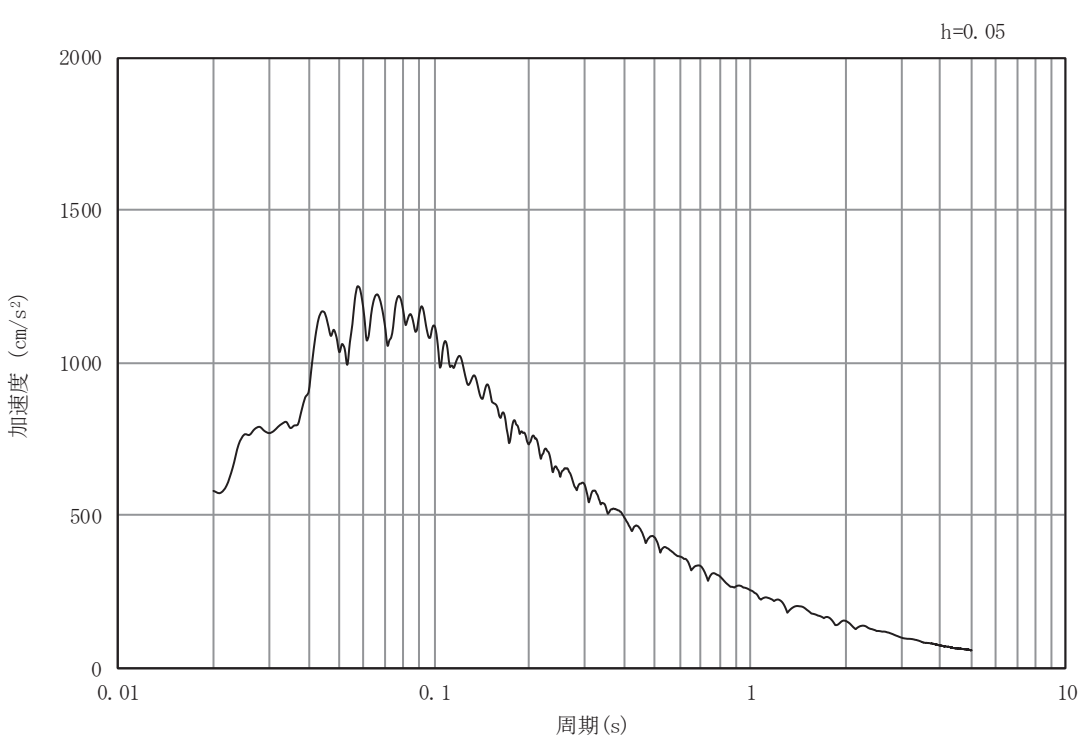


(b) 加速度応答スペクトル

図4-2(5) 入力地震動の加速度時刻歴波形及び加速度応答スペクトル (土砂部 (断面①))  
(水平成分 : S s-D 3)

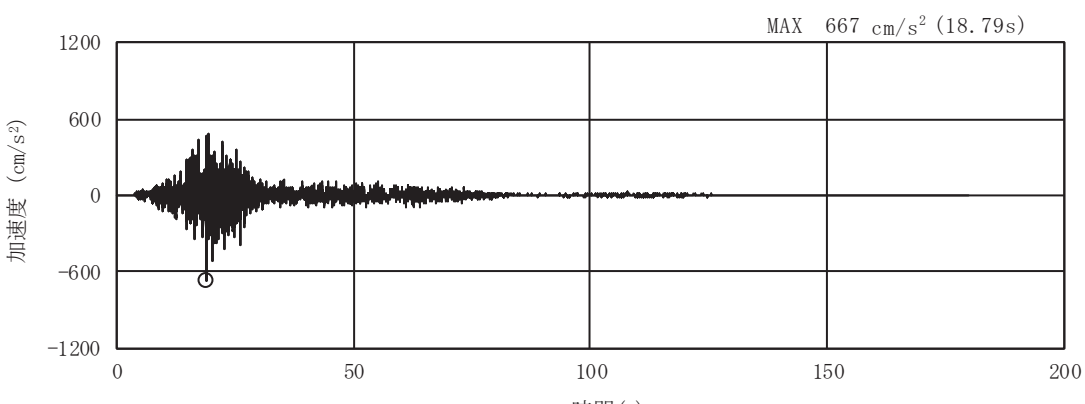


(a) 加速度時刻歴波形

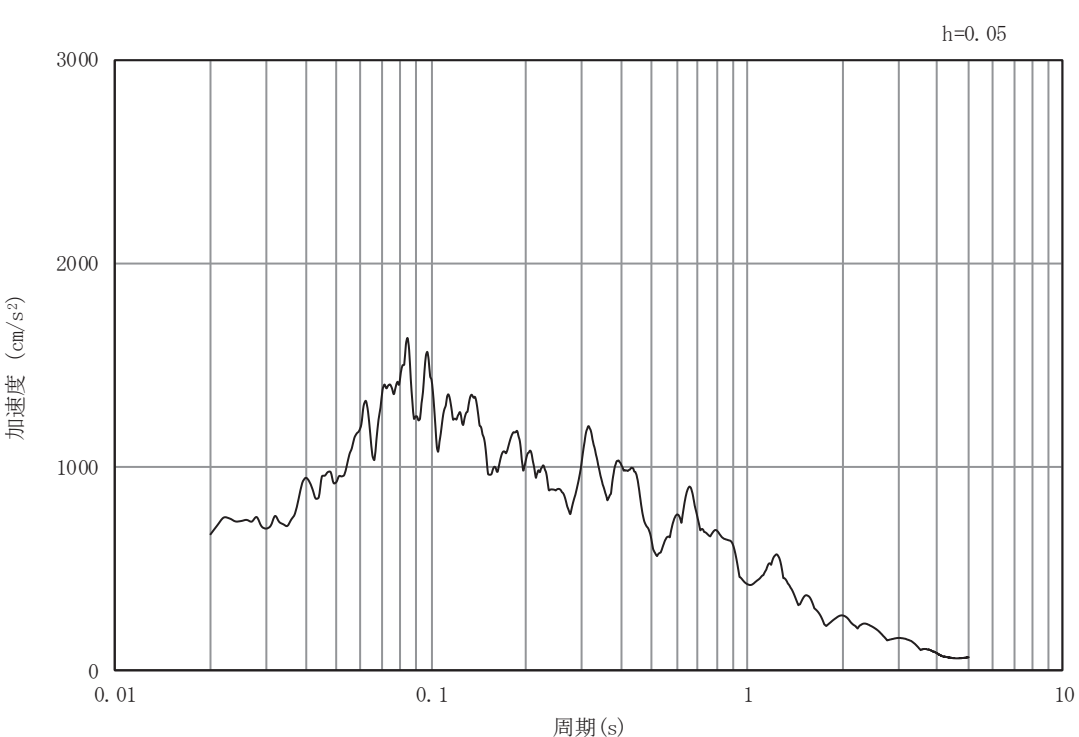


(b) 加速度応答スペクトル

図4-2(6) 入力地震動の加速度時刻歴波形及び加速度応答スペクトル (土砂部 (断面①))  
(鉛直成分 : S s-D 3)

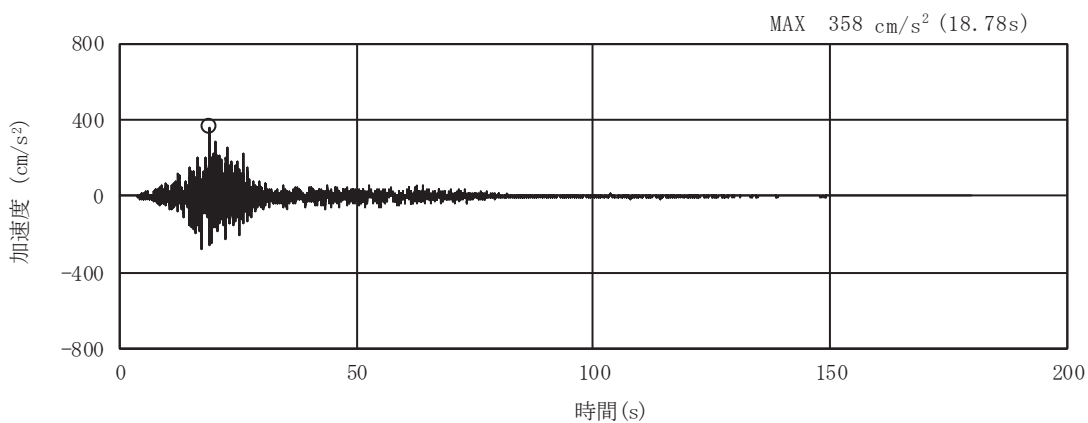


(a) 加速度時刻歴波形

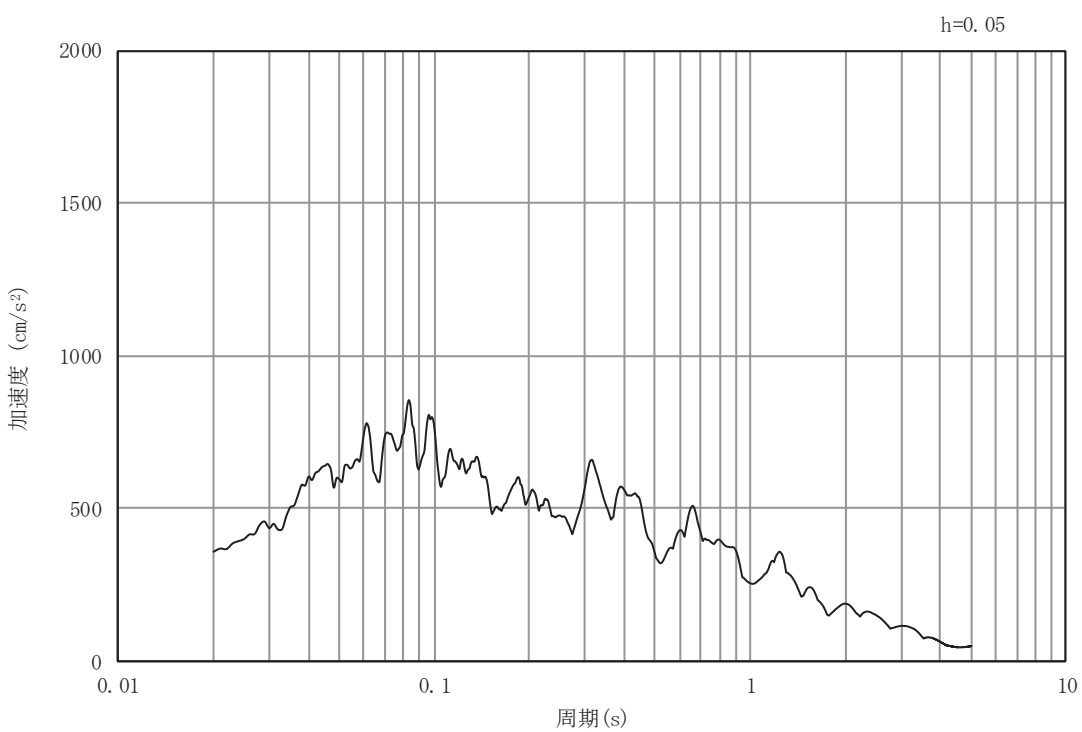


(b) 加速度応答スペクトル

図4-2(7) 入力地震動の加速度時刻歴波形及び加速度応答スペクトル (土砂部 (断面①))  
(水平成分 : S s - F 1)

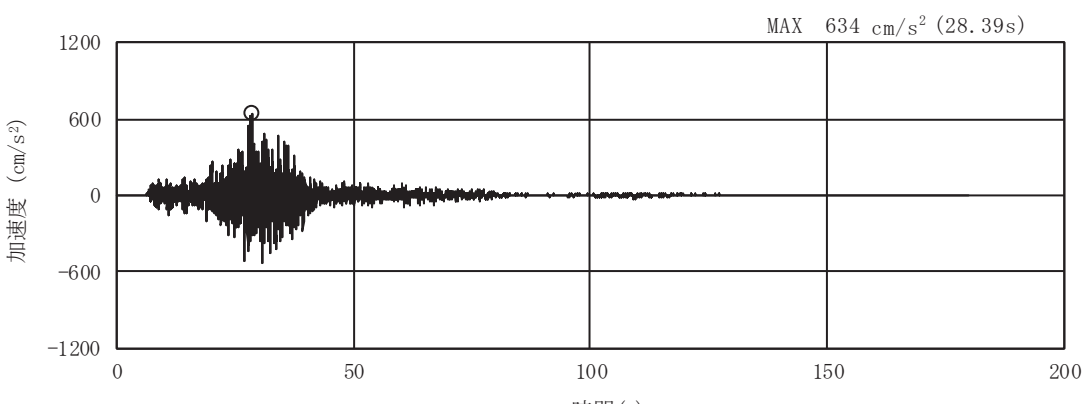


(a) 加速度時刻歴波形

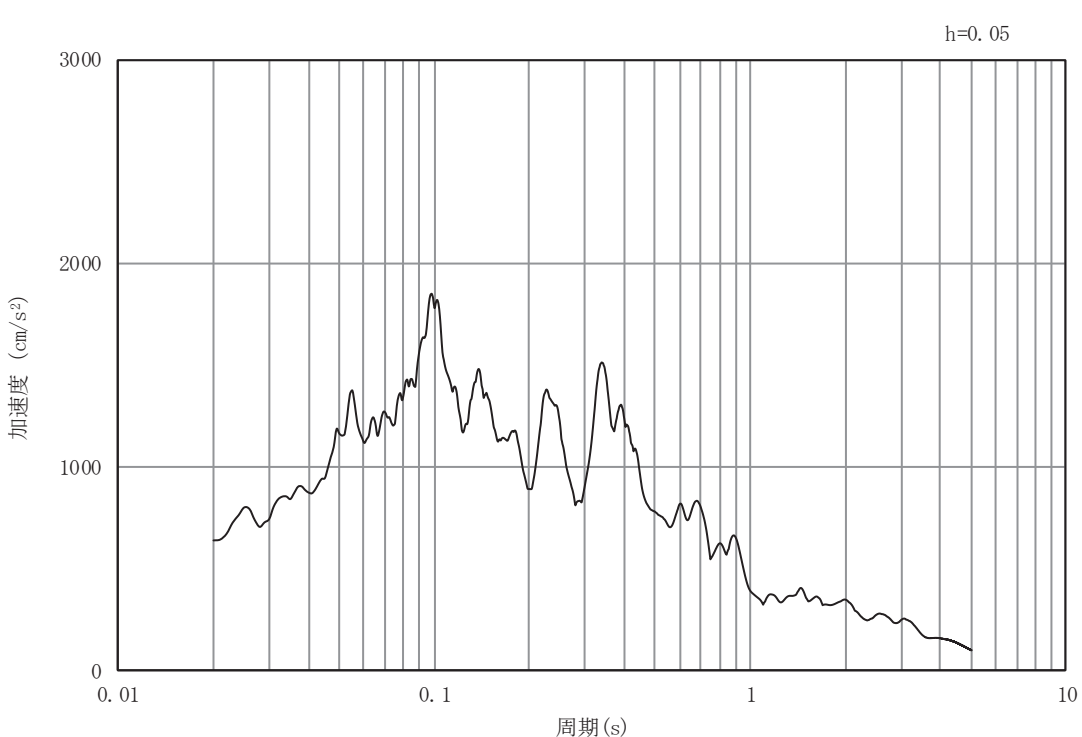


(b) 加速度応答スペクトル

図4-2(8) 入力地震動の加速度時刻歴波形及び加速度応答スペクトル (土砂部 (断面①))  
(鉛直成分 : S s - F 1)

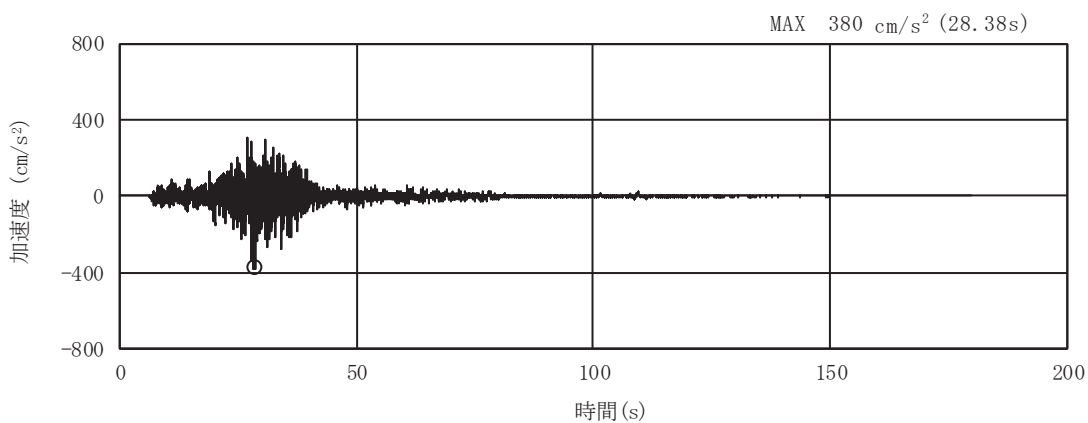


(a) 加速度時刻歴波形

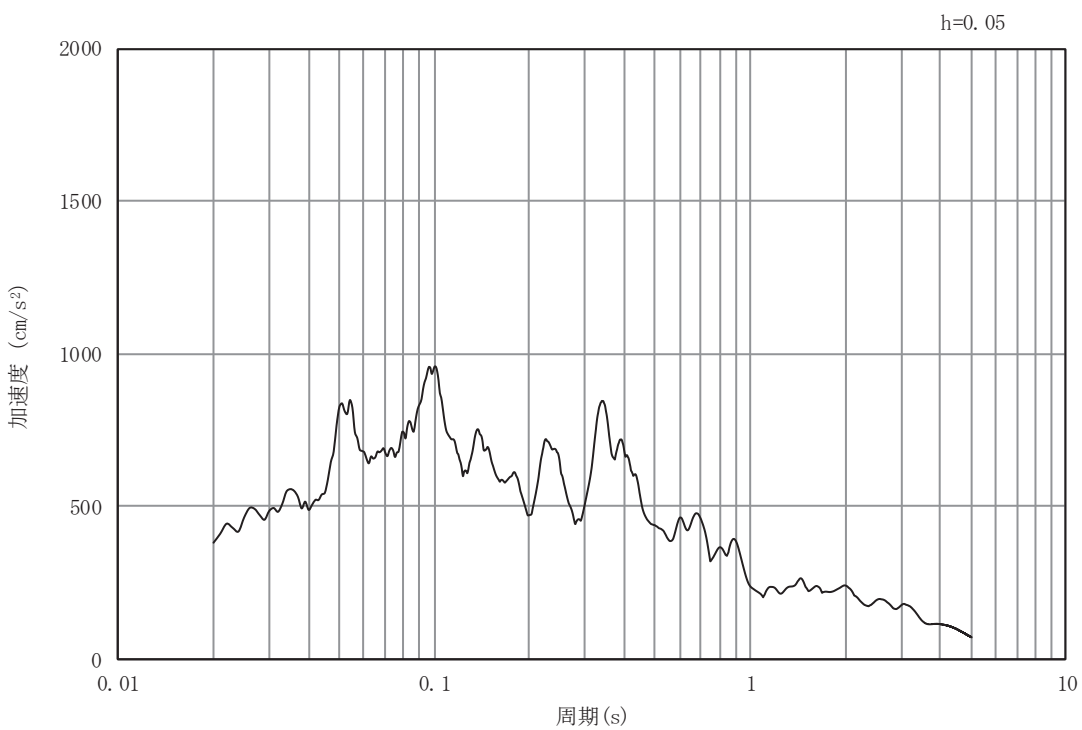


(b) 加速度応答スペクトル

図4-2(9) 入力地震動の加速度時刻歴波形及び加速度応答スペクトル (土砂部 (断面①))  
(水平成分 : S s - F 2)

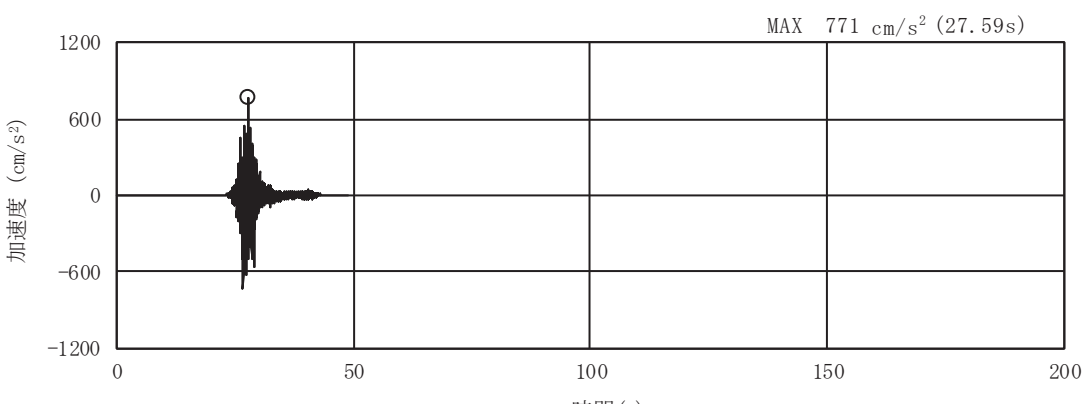


(a) 加速度時刻歴波形

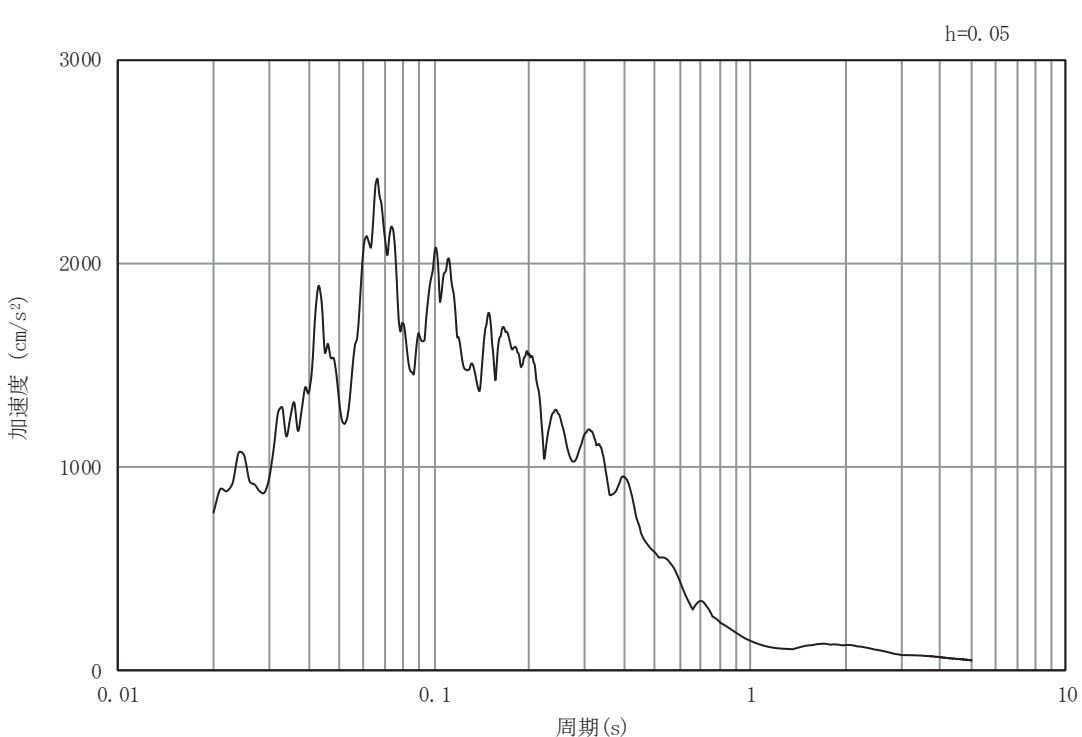


(b) 加速度応答スペクトル

図4-2(10) 入力地震動の加速度時刻歴波形及び加速度応答スペクトル (土砂部 (断面①))  
(鉛直成分 : S s - F 2)

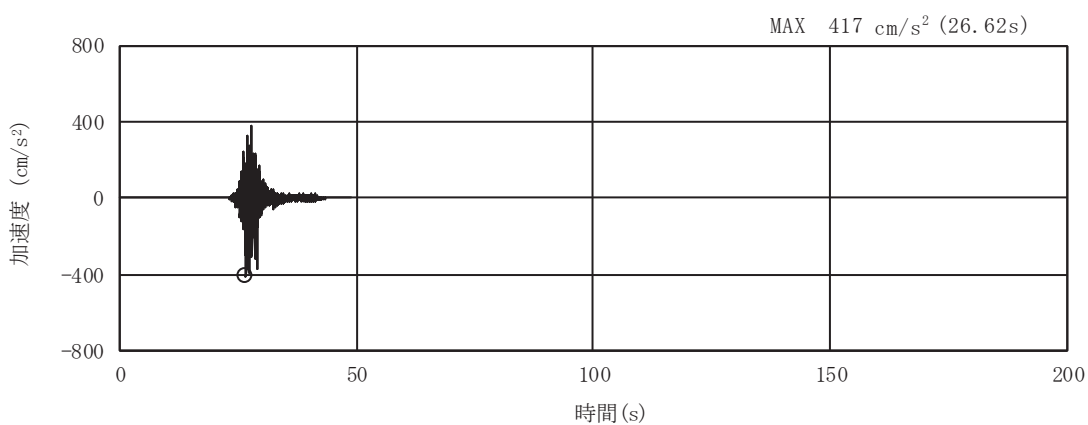


(a) 加速度時刻歴波形

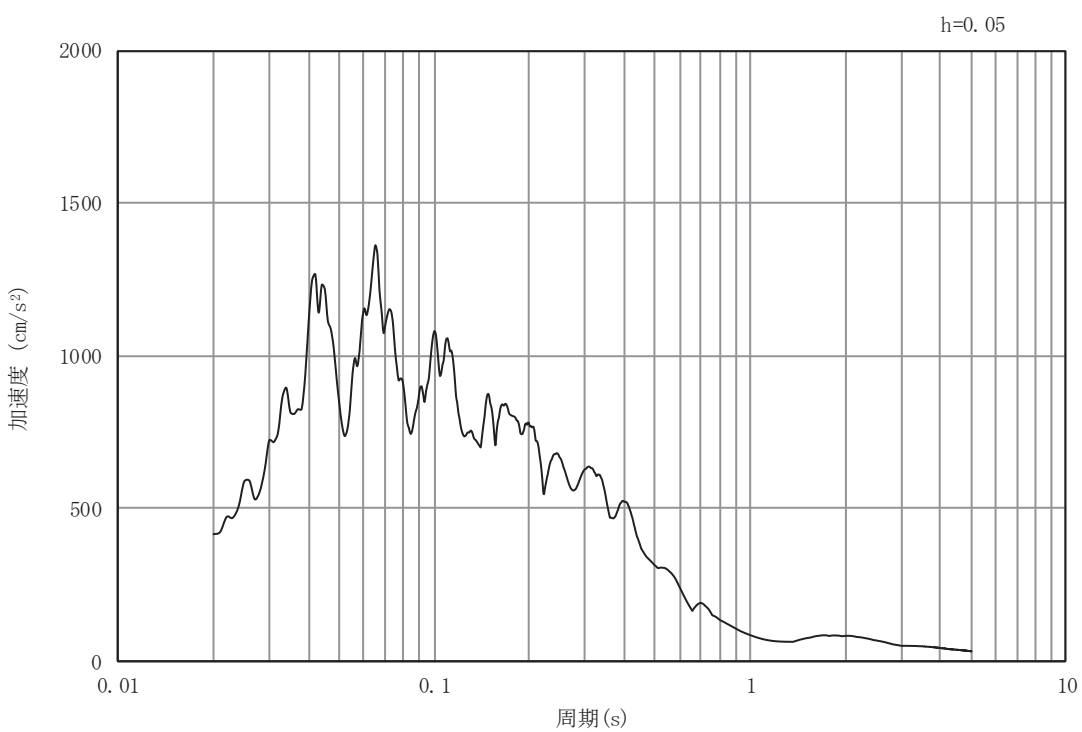


(b) 加速度応答スペクトル

図4-2(11) 入力地震動の加速度時刻歴波形及び加速度応答スペクトル (土砂部 (断面①))  
(水平成分 : S s - F 3)

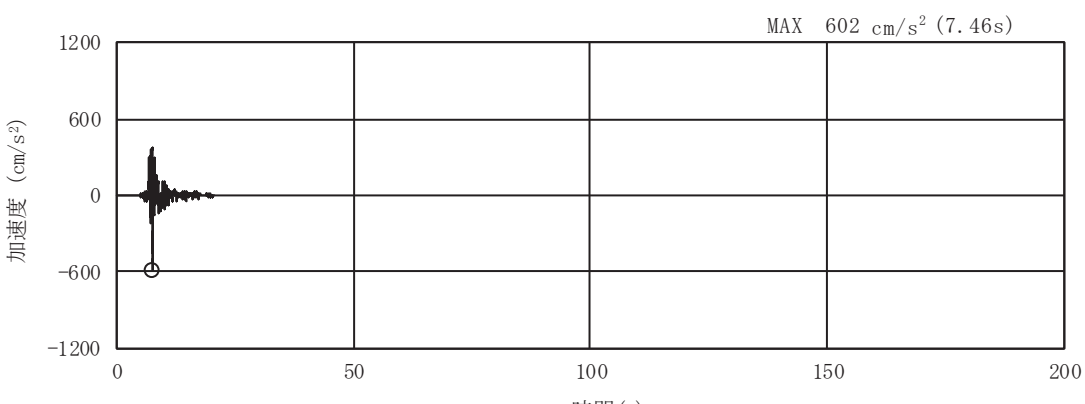


(a) 加速度時刻歴波形

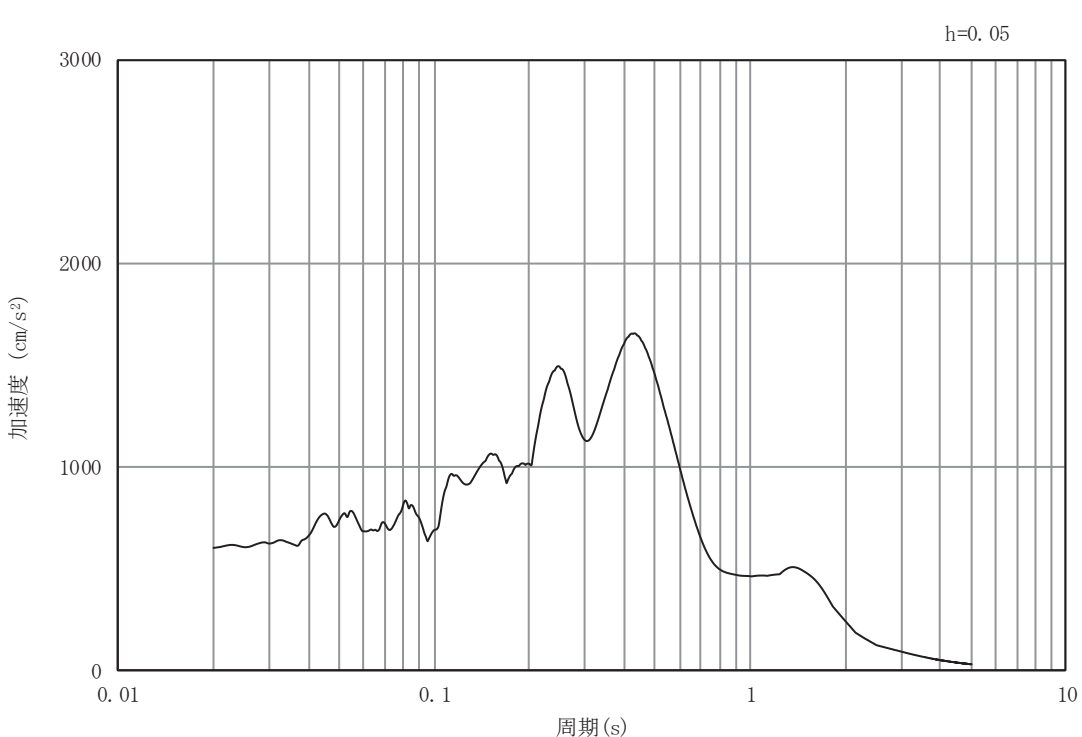


(b) 加速度応答スペクトル

図4-2(12) 入力地震動の加速度時刻歴波形及び加速度応答スペクトル (土砂部 (断面①))  
(鉛直成分 : S s - F 3)

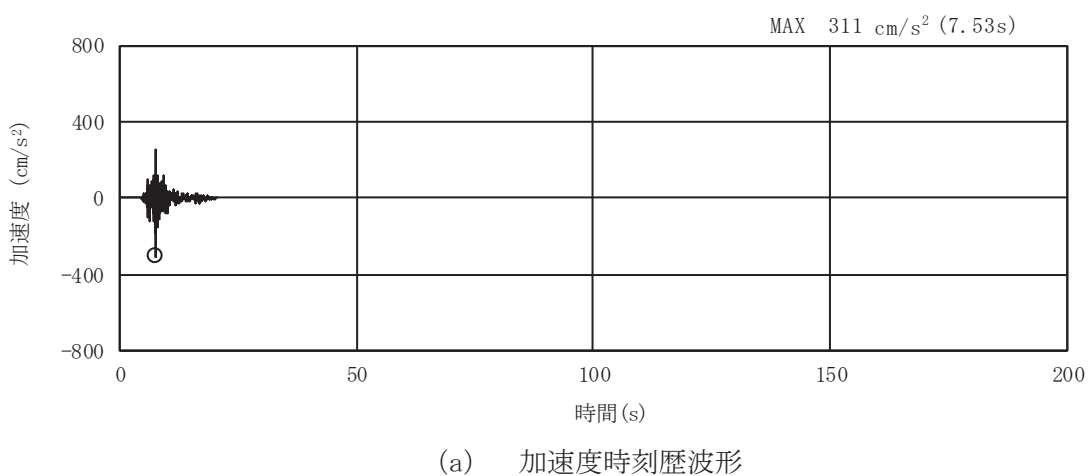


(a) 加速度時刻歴波形

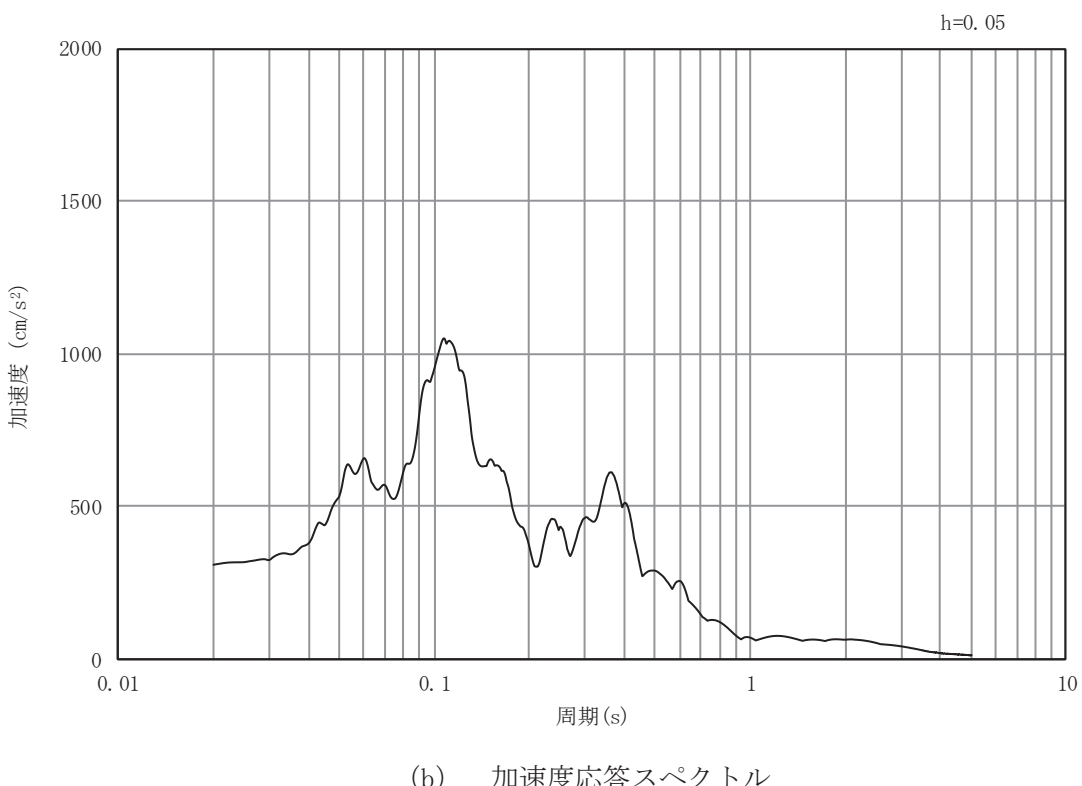


(b) 加速度応答スペクトル

図4-2(13) 入力地震動の加速度時刻歴波形及び加速度応答スペクトル (土砂部 (断面①))  
(水平成分: S s-N 1)

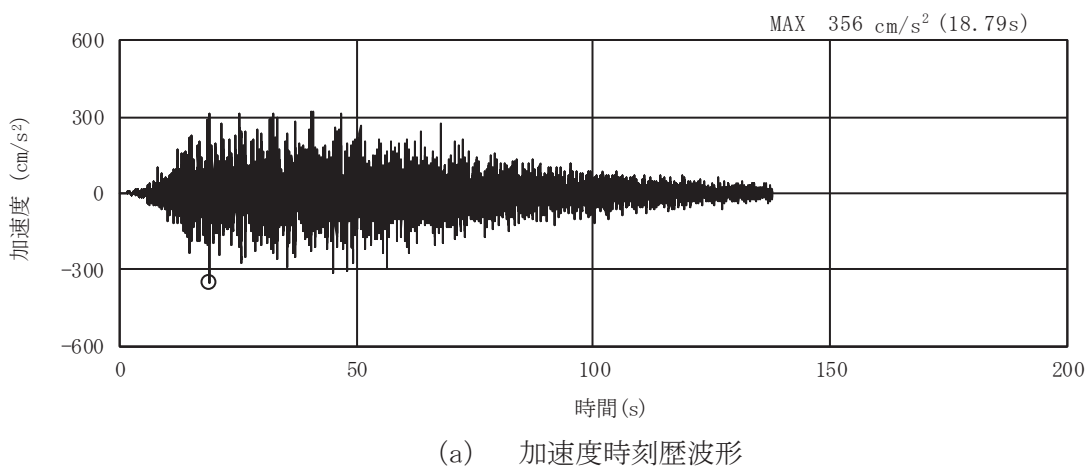


(a) 加速度時刻歴波形

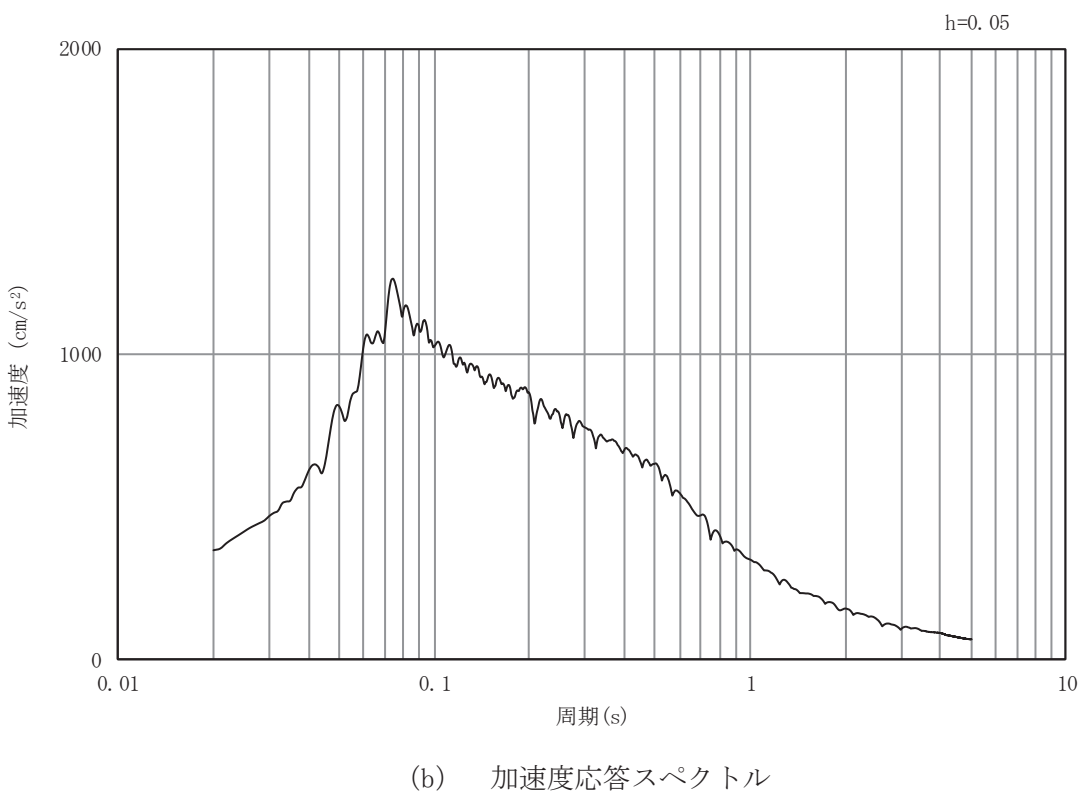


(b) 加速度応答スペクトル

図4-2(14) 入力地震動の加速度時刻歴波形及び加速度応答スペクトル (土砂部 (断面①))  
(鉛直成分 : S s - N 1)

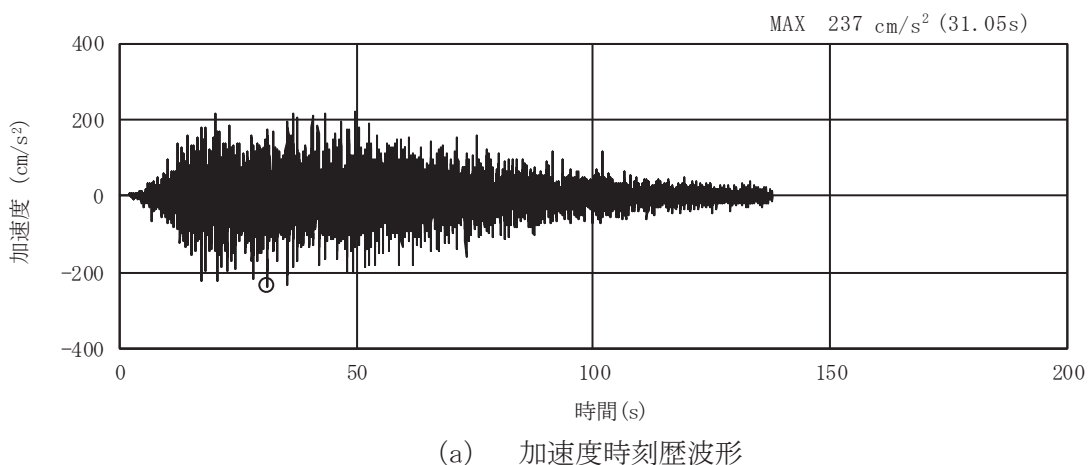


(a) 加速度時刻歴波形

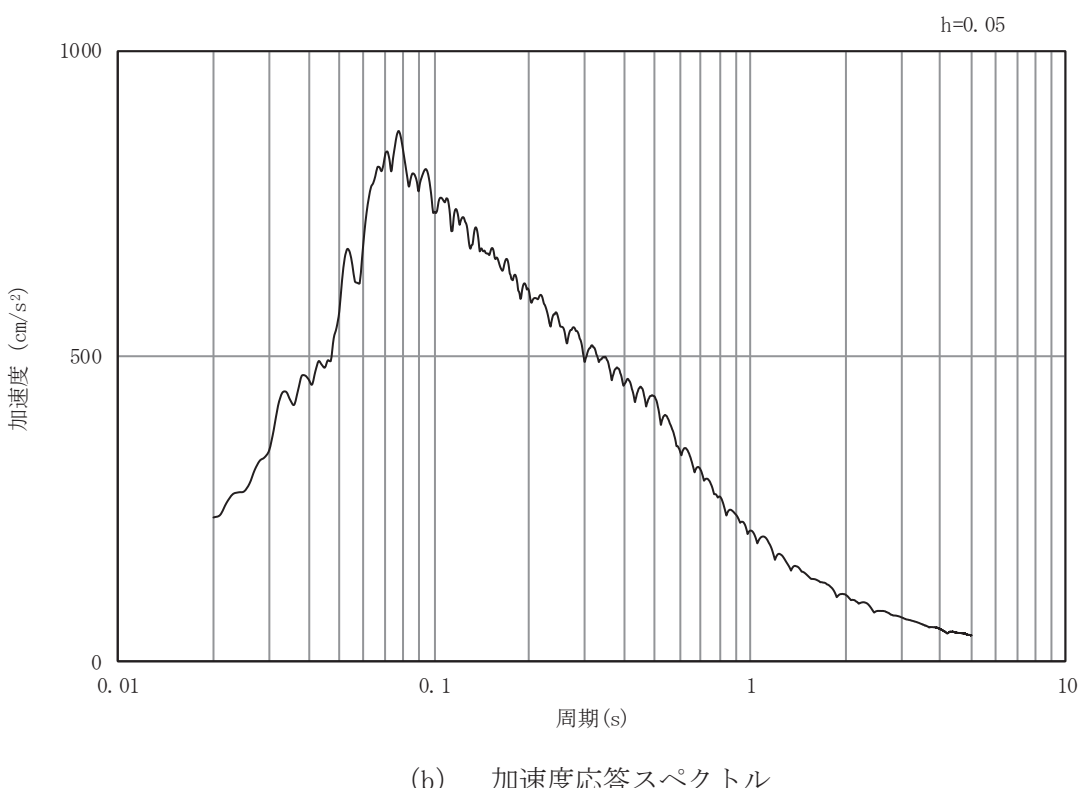


(b) 加速度応答スペクトル

図4-2(15) 入力地震動の加速度時刻歴波形及び加速度応答スペクトル (土砂部 (断面①))  
(水平成分 : S d-D 1)

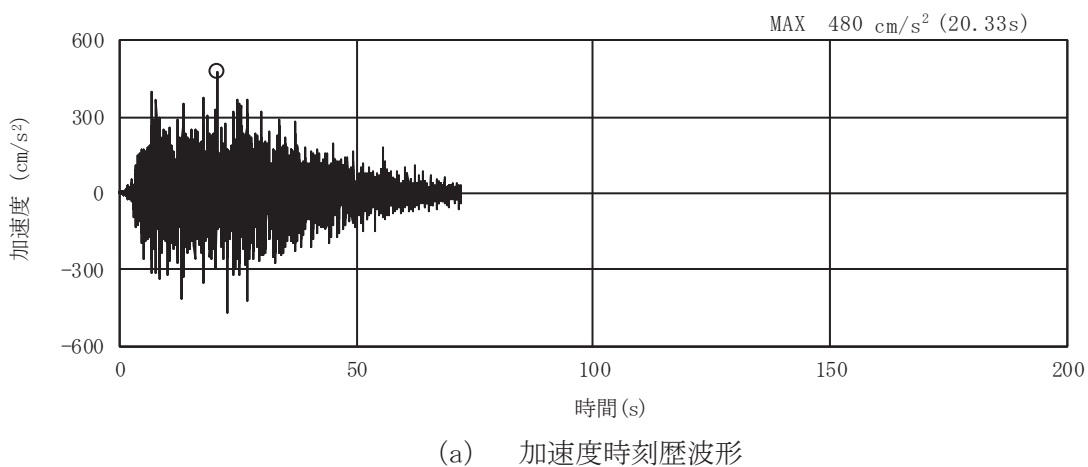


(a) 加速度時刻歴波形

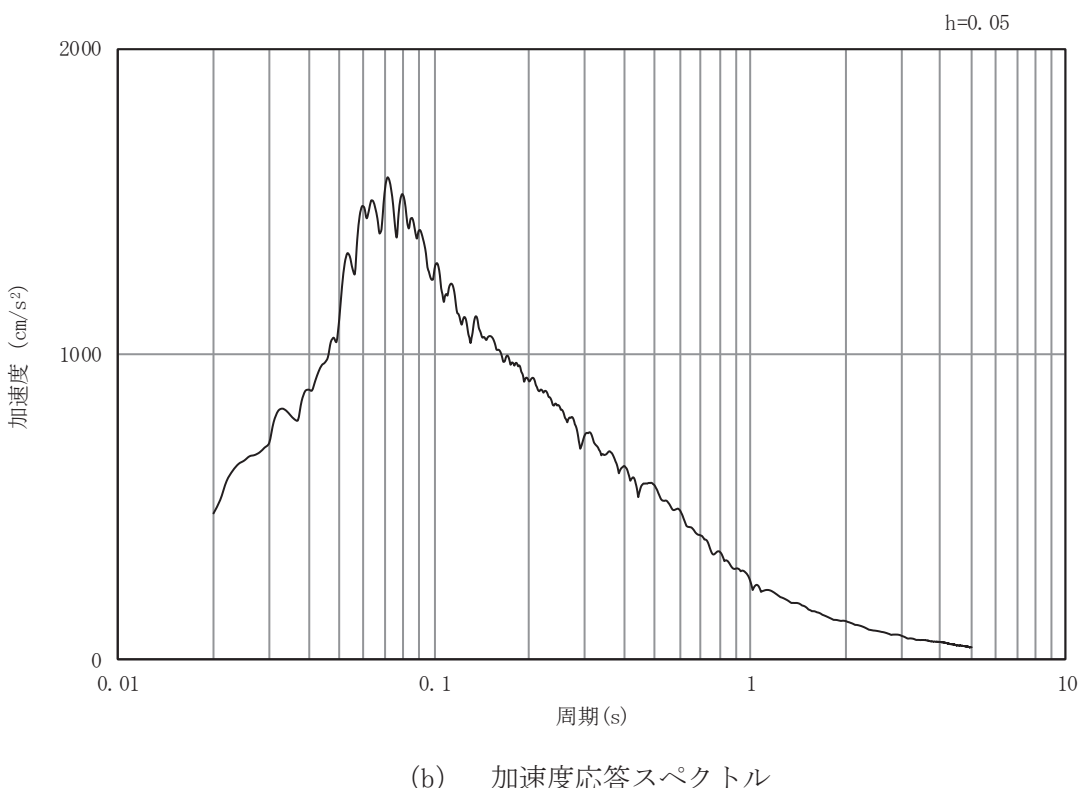


(b) 加速度応答スペクトル

図4-2(16) 入力地震動の加速度時刻歴波形及び加速度応答スペクトル (土砂部 (断面①))  
(鉛直成分 : S d-D 1)

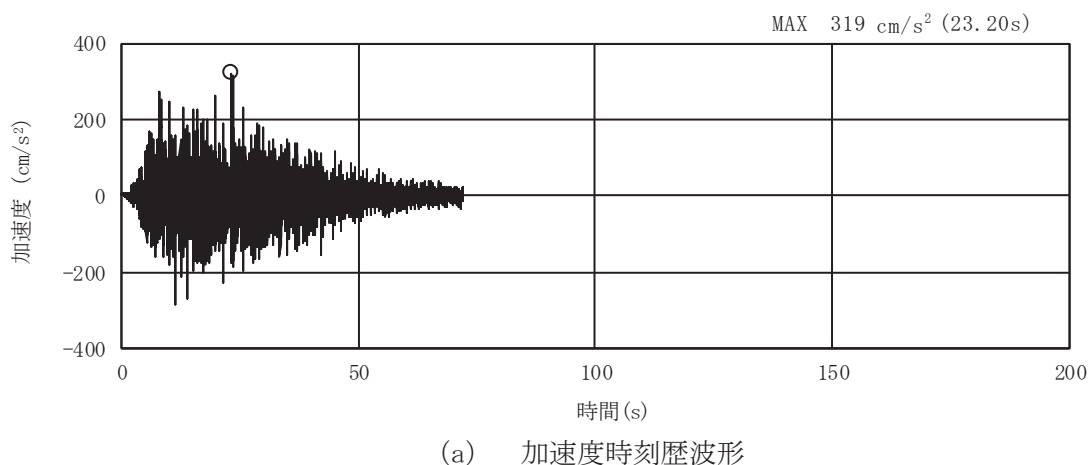


(a) 加速度時刻歴波形

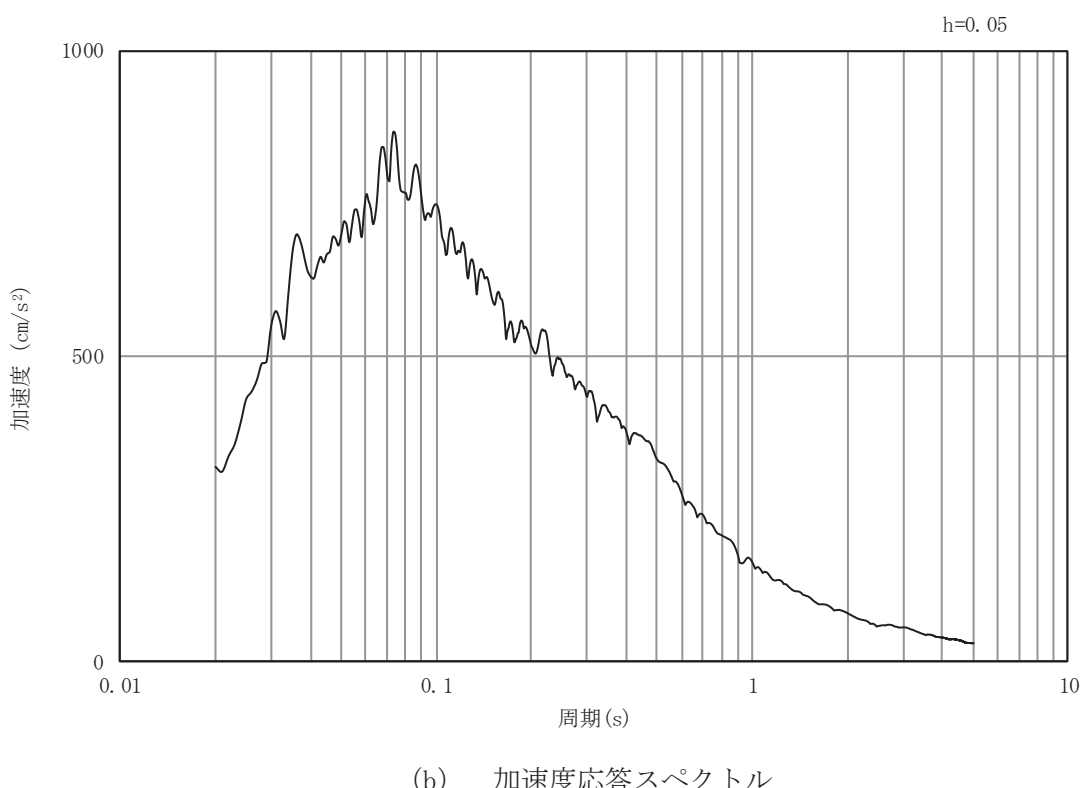


(b) 加速度応答スペクトル

図4-2(17) 入力地震動の加速度時刻歴波形及び加速度応答スペクトル (土砂部 (断面①))  
(水平成分 : S d-D 2)

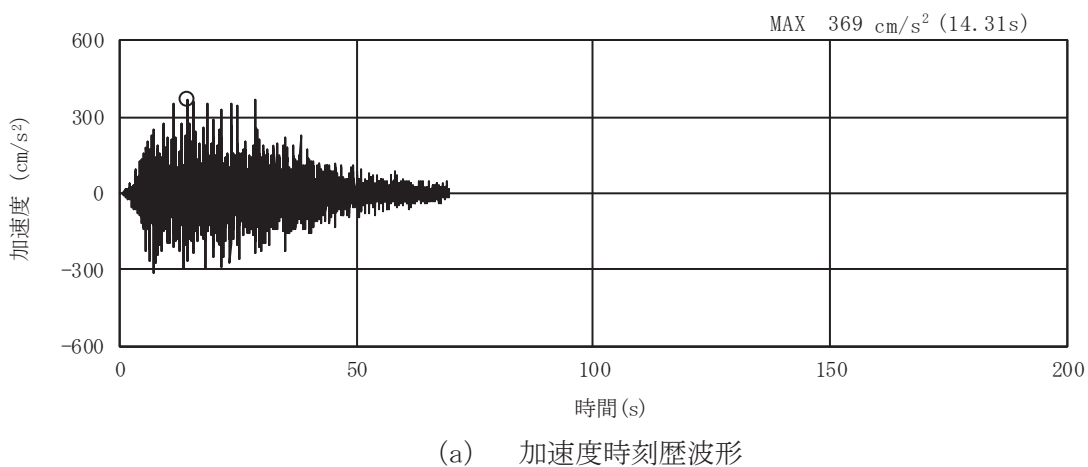


(a) 加速度時刻歴波形

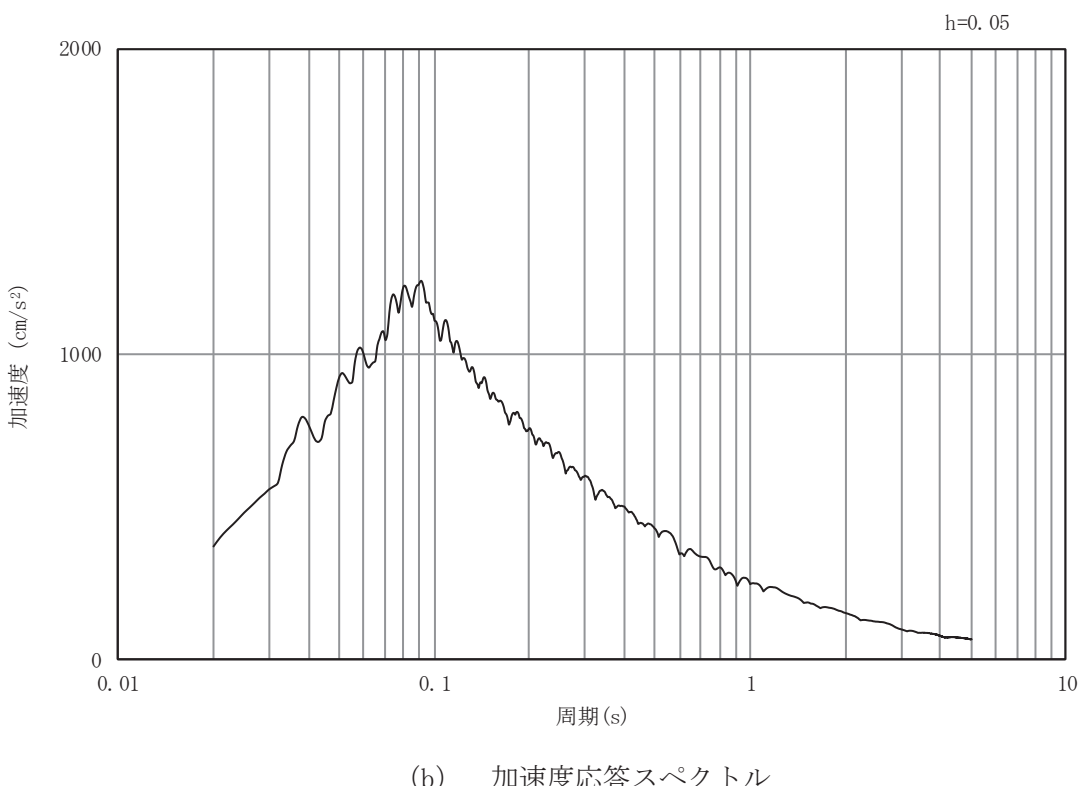


(b) 加速度応答スペクトル

図4-2(18) 入力地震動の加速度時刻歴波形及び加速度応答スペクトル (土砂部 (断面①))  
(鉛直成分 : S d-D 2)

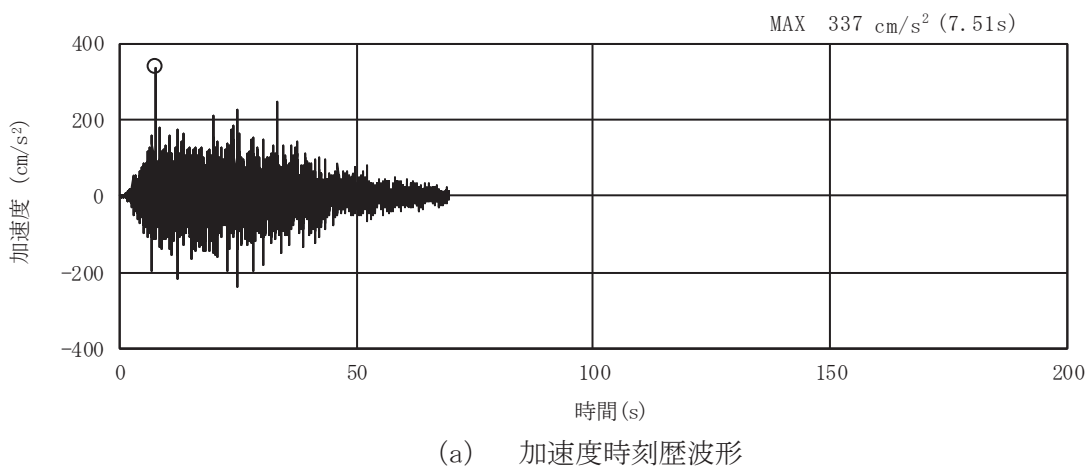


(a) 加速度時刻歴波形

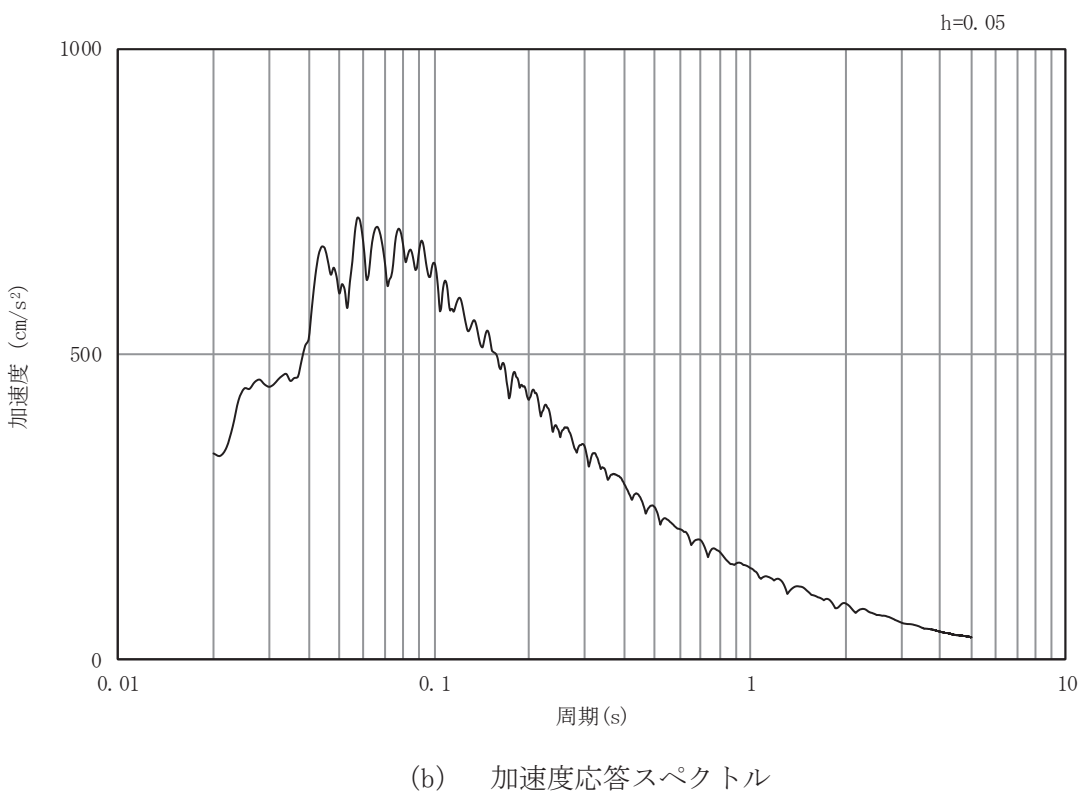


(b) 加速度応答スペクトル

図4-2(19) 入力地震動の加速度時刻歴波形及び加速度応答スペクトル (土砂部 (断面①))  
(水平成分 : S d-D 3)

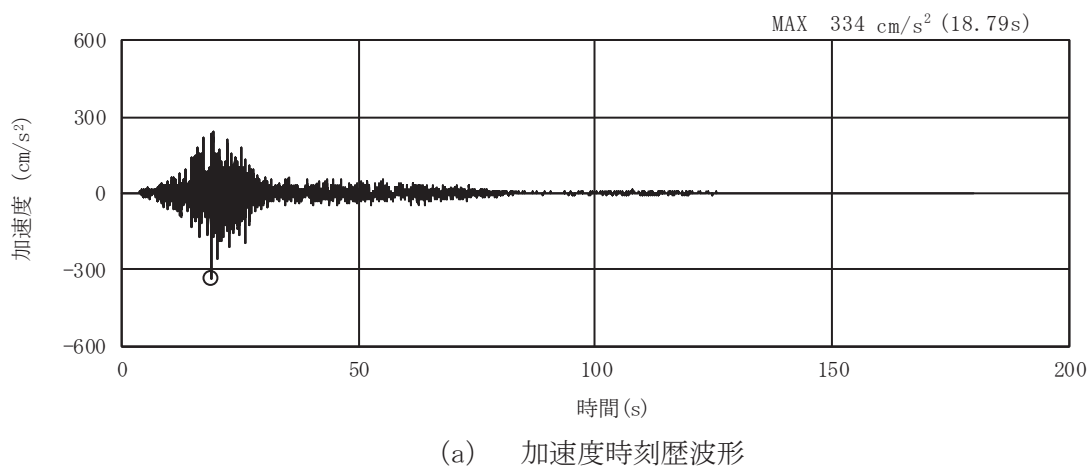


(a) 加速度時刻歴波形

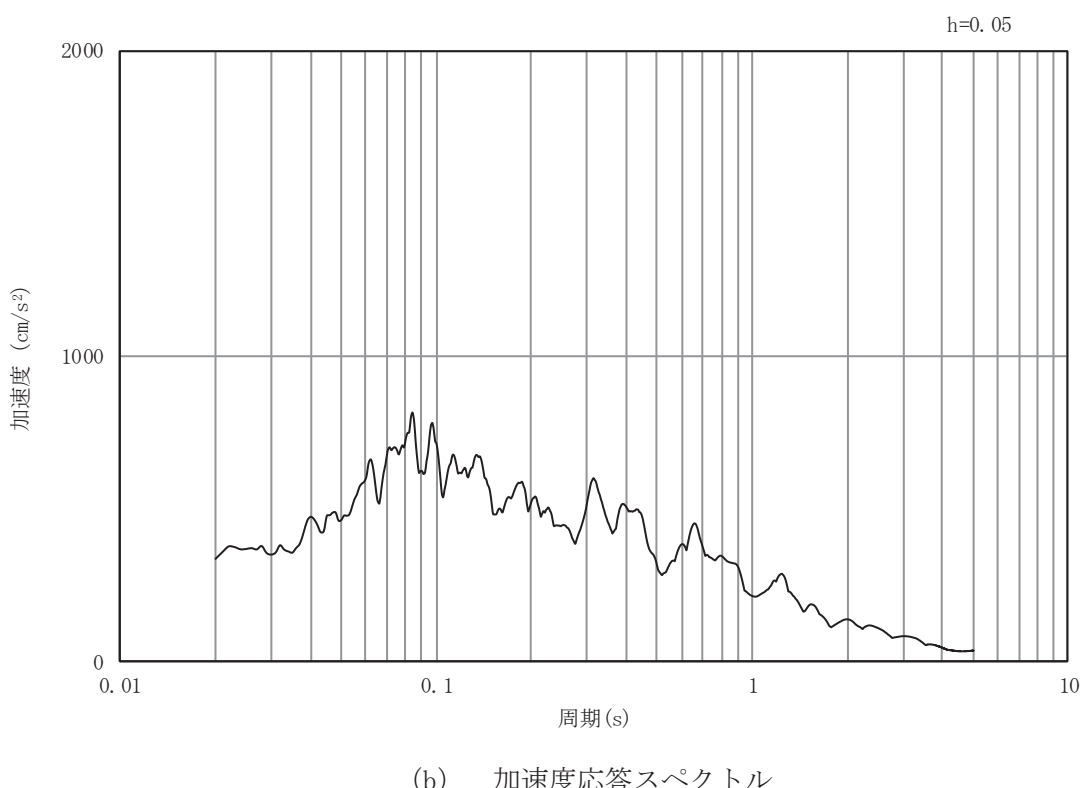


(b) 加速度応答スペクトル

図4-2(20) 入力地震動の加速度時刻歴波形及び加速度応答スペクトル (土砂部 (断面①))  
(鉛直成分 : S d-D 3)



(a) 加速度時刻歴波形



(b) 加速度応答スペクトル

図4-2(21) 入力地震動の加速度時刻歴波形及び加速度応答スペクトル (土砂部 (断面①))  
(水平成分 : S d - F 1)

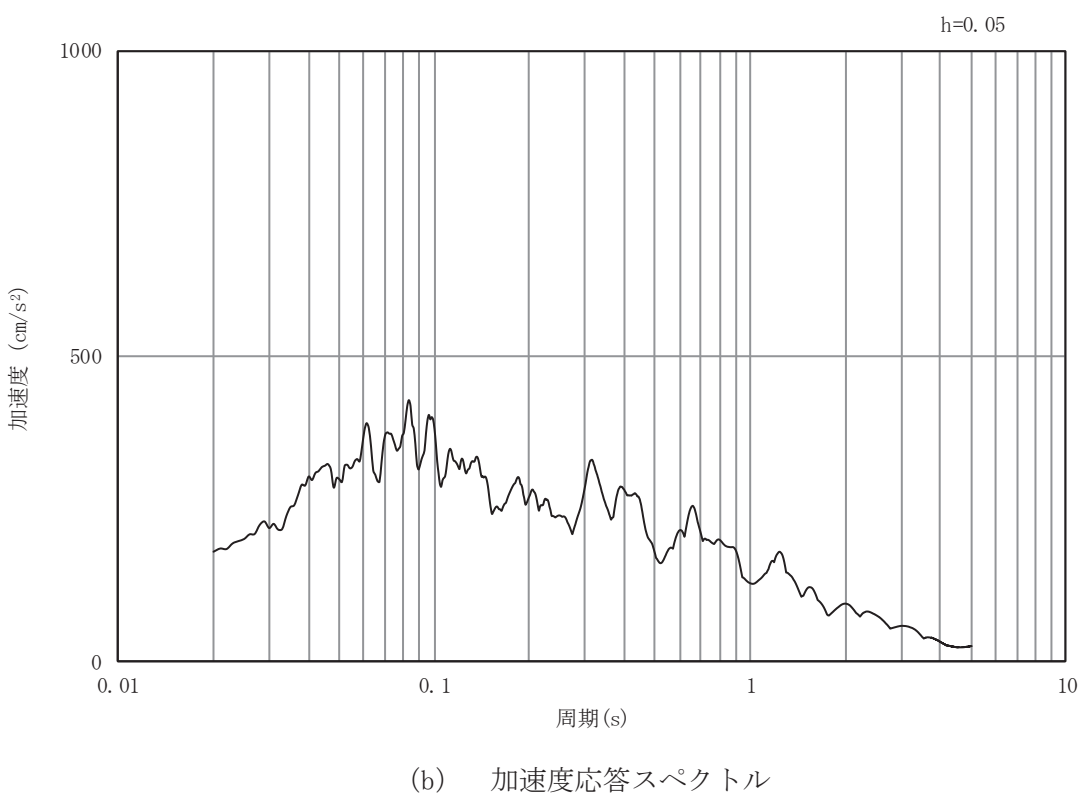
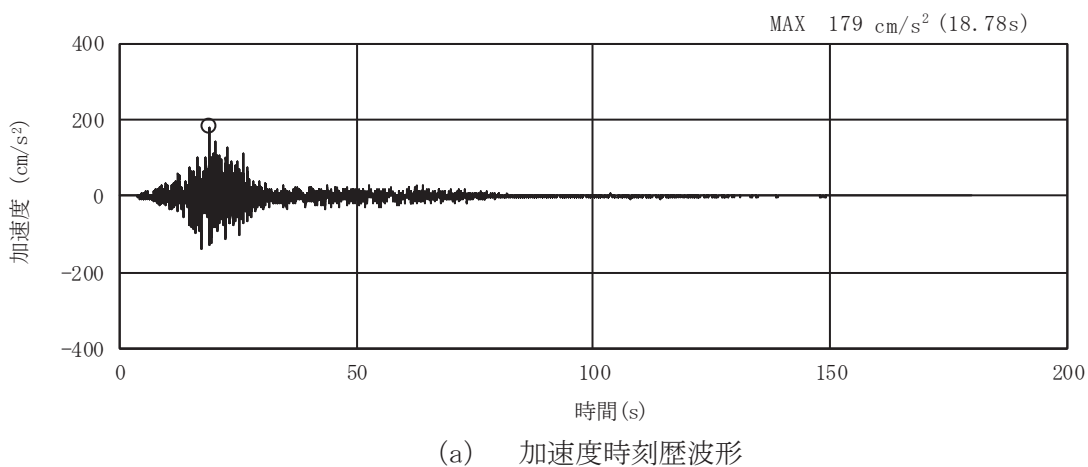
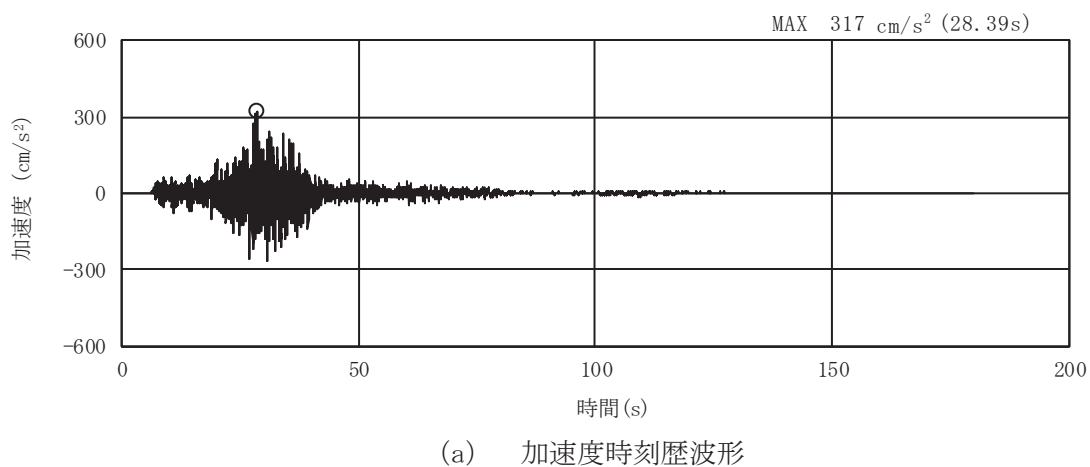
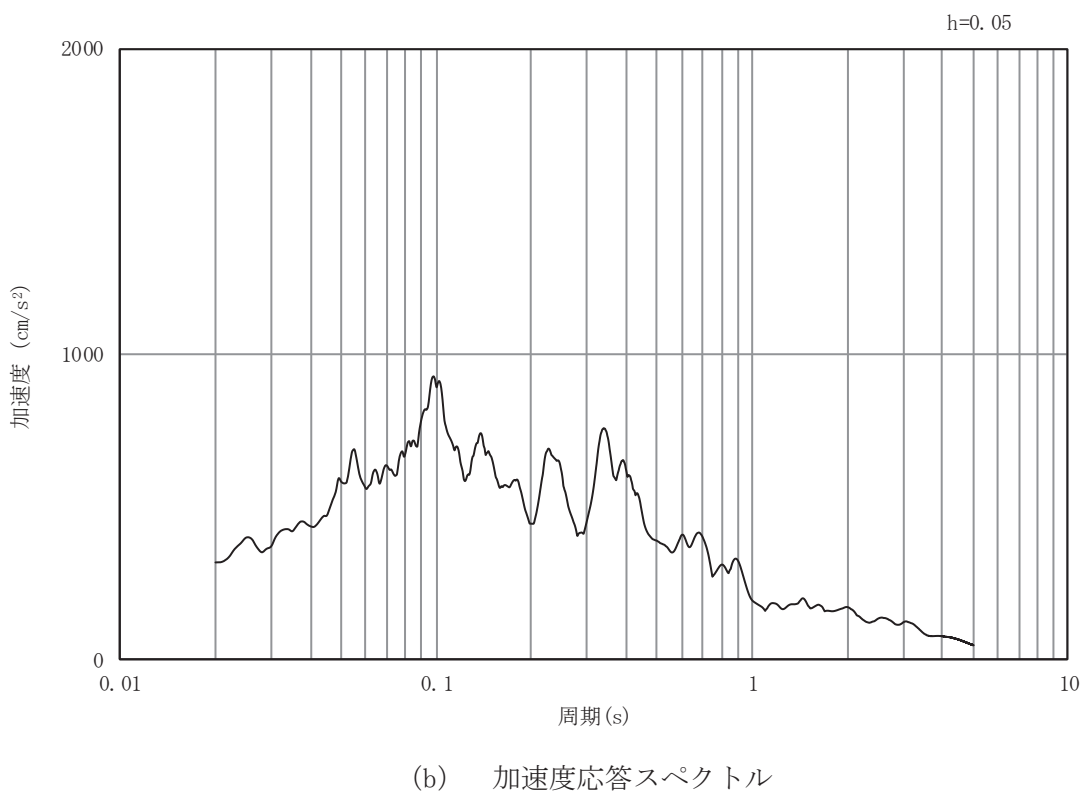


図4-2(22) 入力地震動の加速度時刻歴波形及び加速度応答スペクトル (土砂部 (断面①))  
(鉛直成分 : S d - F 1 )



(a) 加速度時刻歴波形



(b) 加速度応答スペクトル

図4-2(23) 入力地震動の加速度時刻歴波形及び加速度応答スペクトル (土砂部 (断面①))  
(水平成分 : S d - F 2)

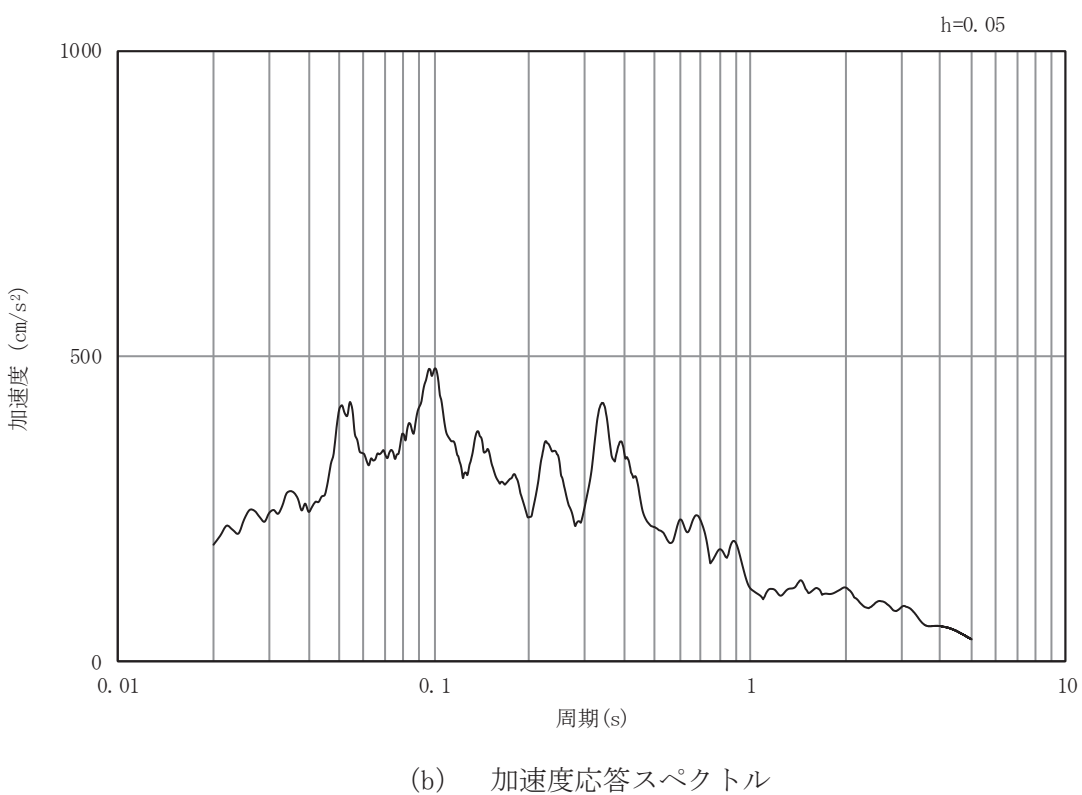
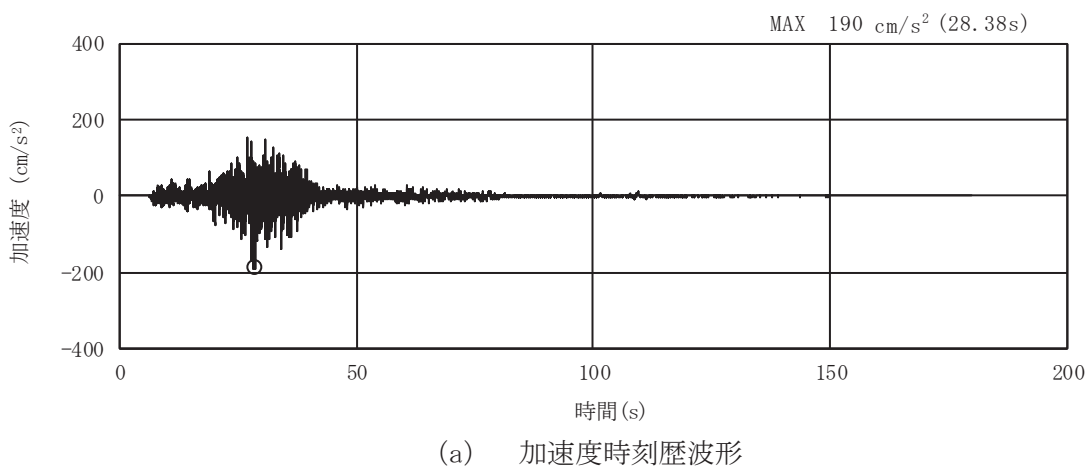
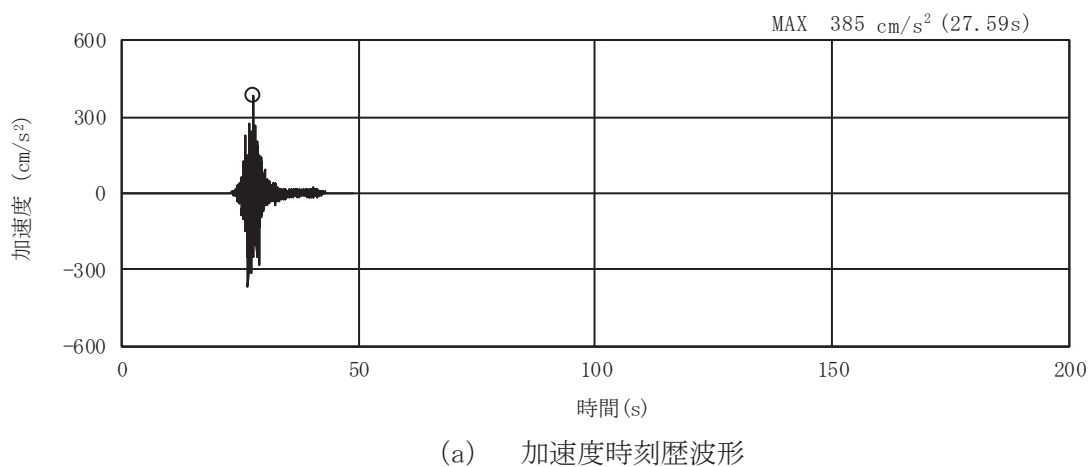
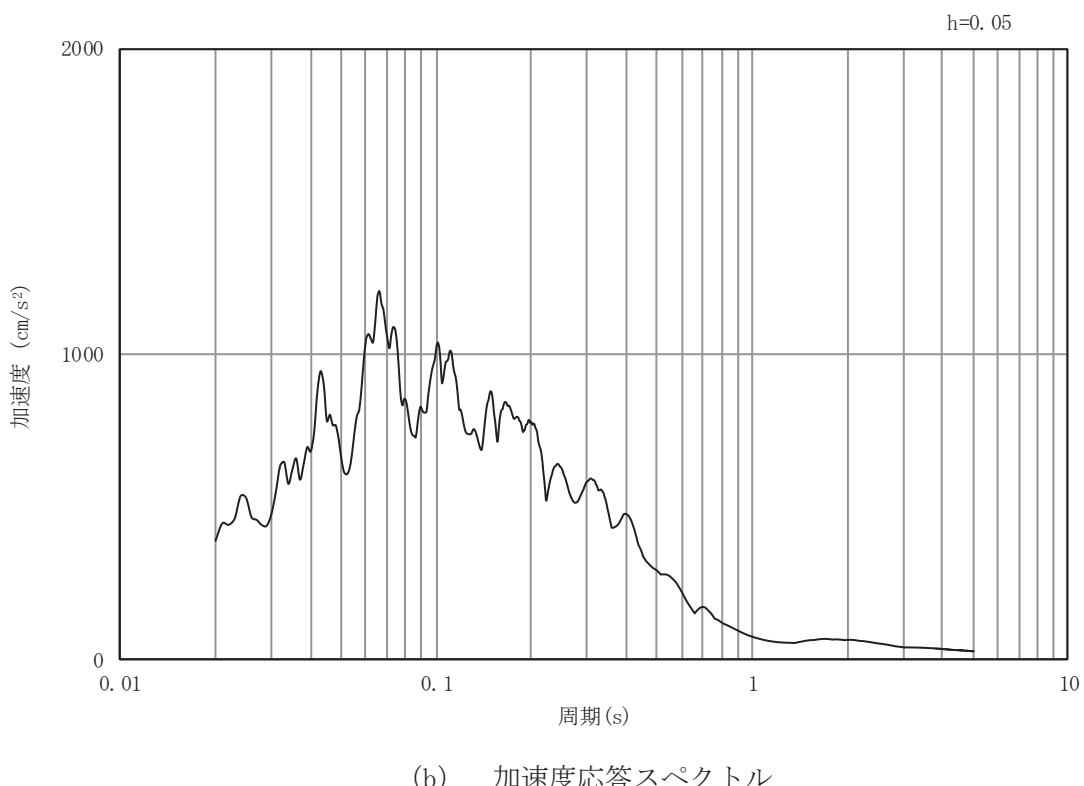


図4-2(24) 入力地震動の加速度時刻歴波形及び加速度応答スペクトル (土砂部 (断面①))  
(鉛直成分 : S d - F 2)



(a) 加速度時刻歴波形



(b) 加速度応答スペクトル

図4-2(25) 入力地震動の加速度時刻歴波形及び加速度応答スペクトル (土砂部 (断面①))  
(水平成分 : S d - F 3)

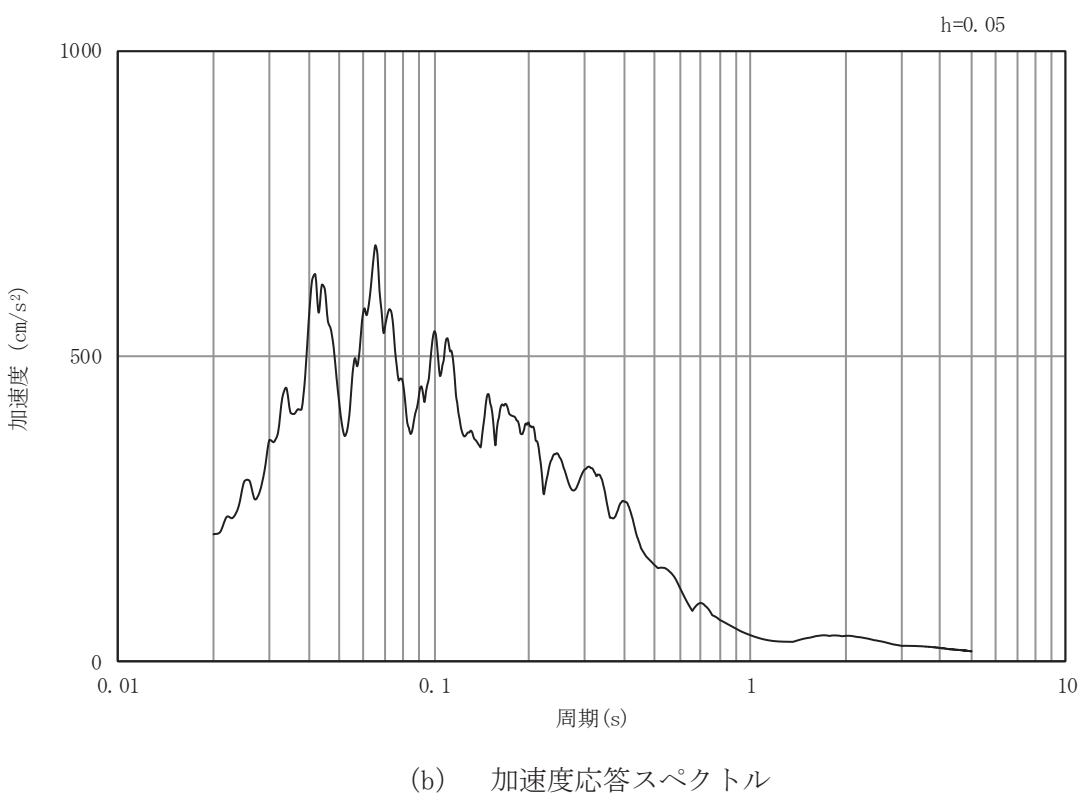
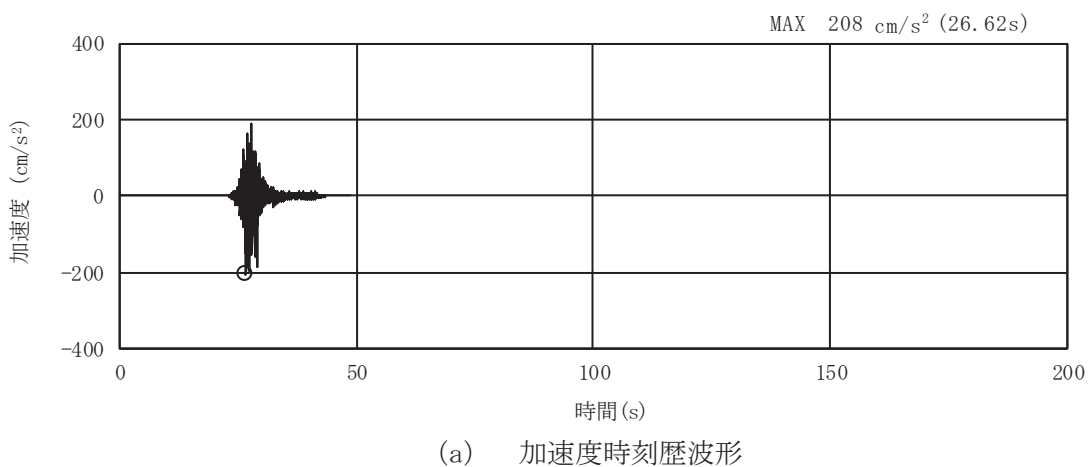
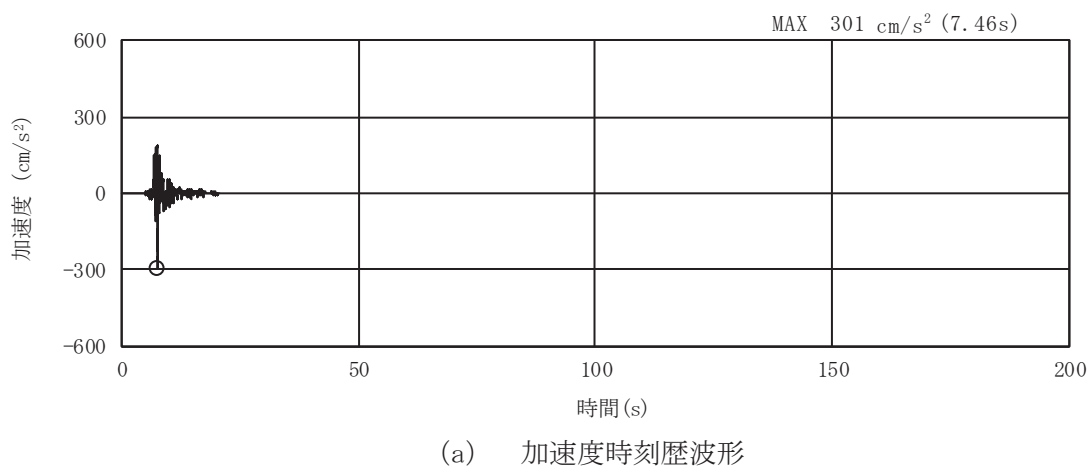
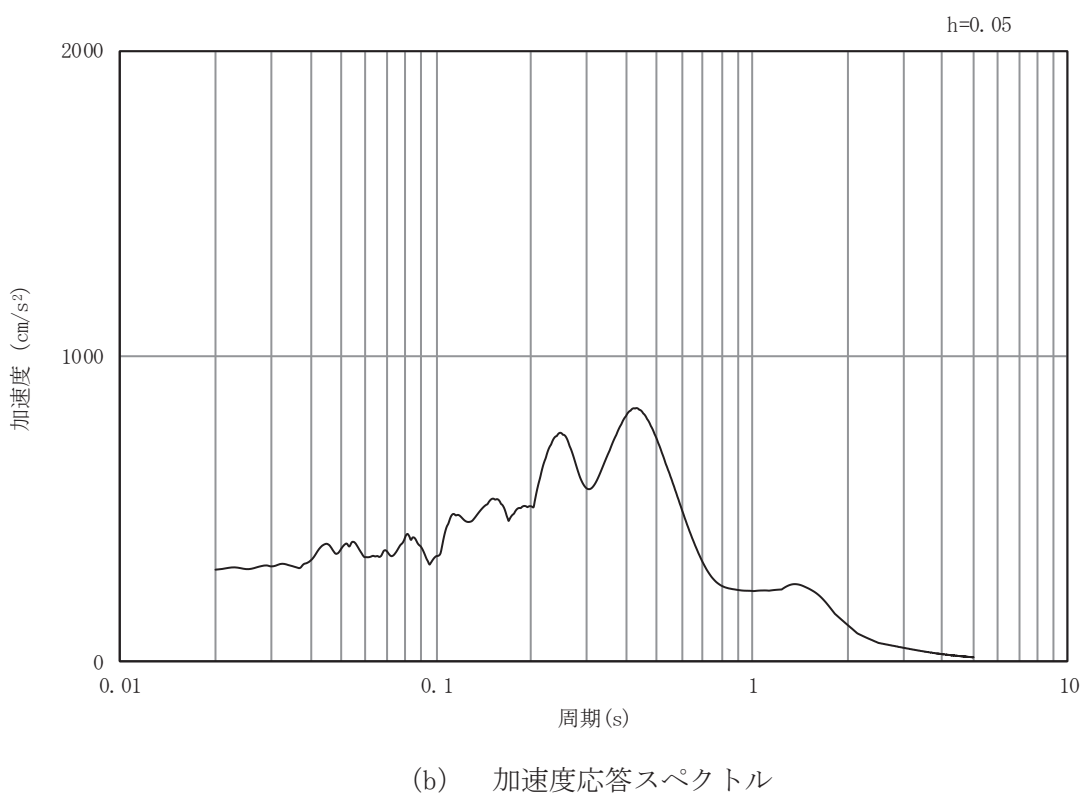


図4-2(26) 入力地震動の加速度時刻歴波形及び加速度応答スペクトル (土砂部 (断面①))  
(鉛直成分 : S d - F 3)

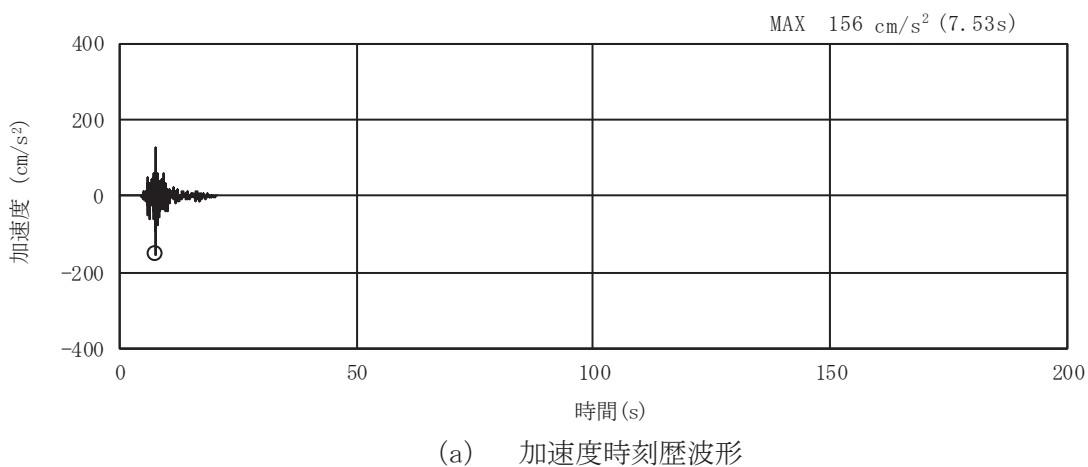


(a) 加速度時刻歴波形

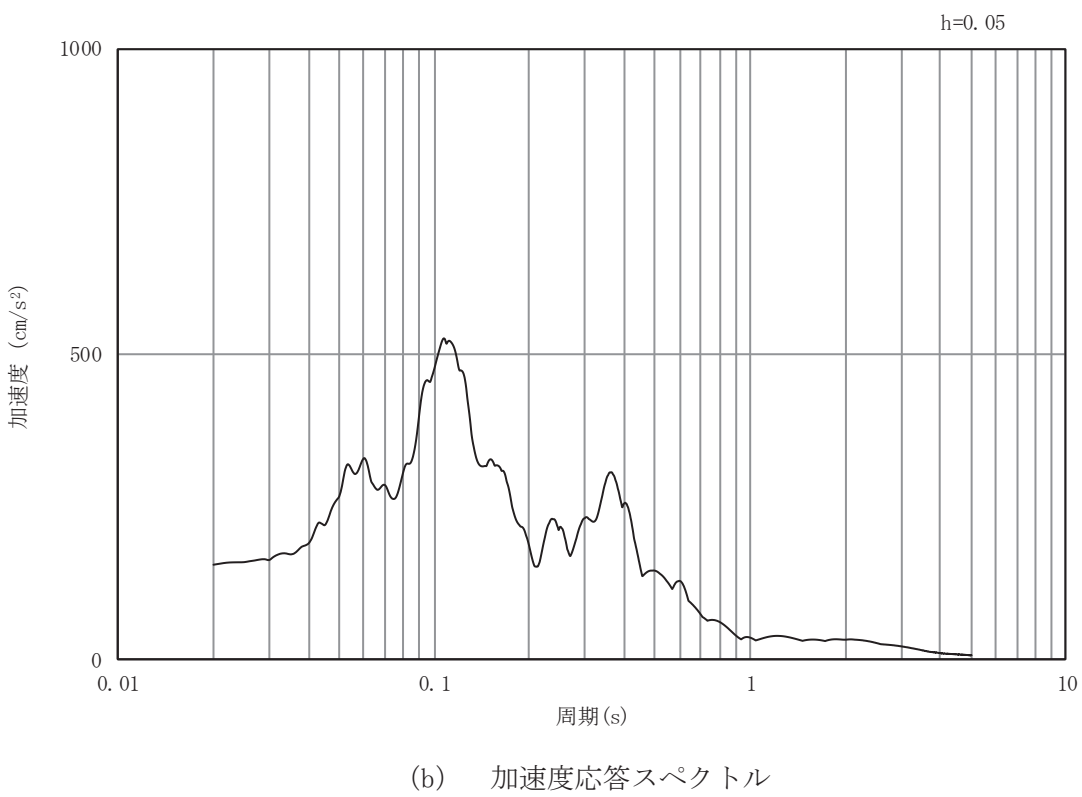


(b) 加速度応答スペクトル

図4-2(27) 入力地震動の加速度時刻歴波形及び加速度応答スペクトル (土砂部 (断面①))  
(水平成分 : S d - N 1)

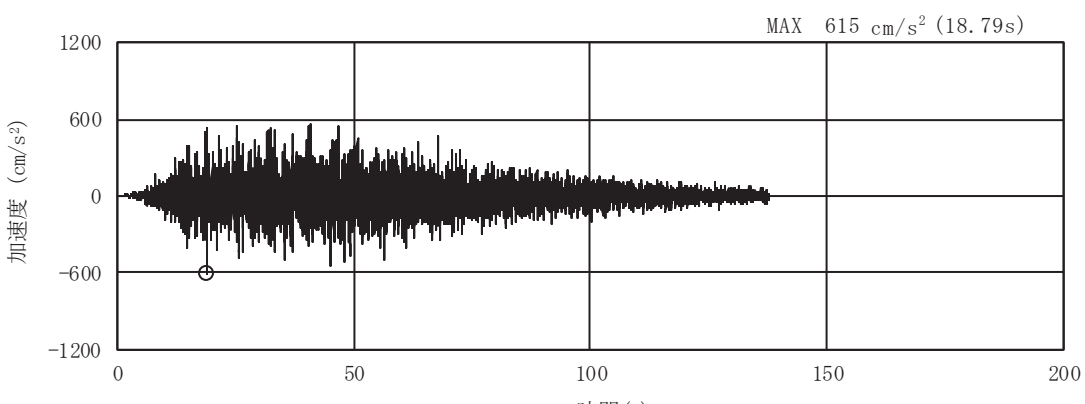


(a) 加速度時刻歴波形

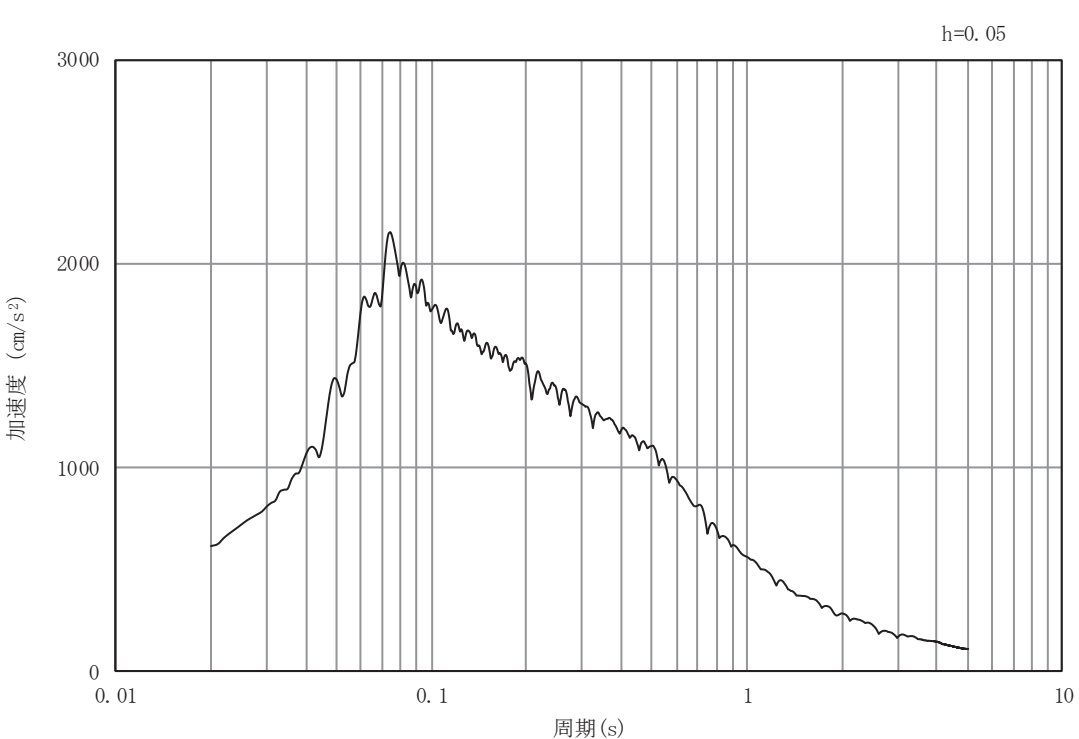


(b) 加速度応答スペクトル

図4-2(28) 入力地震動の加速度時刻歴波形及び加速度応答スペクトル (土砂部 (断面①))  
(鉛直成分 : S d - N 1 )



(a) 加速度時刻歴波形



(b) 加速度応答スペクトル

図 4-2(29) 入力地震動の加速度時刻歴波形及び加速度応答スペクトル (土砂部 (断面③))  
(水平成分 : S s-D 1)

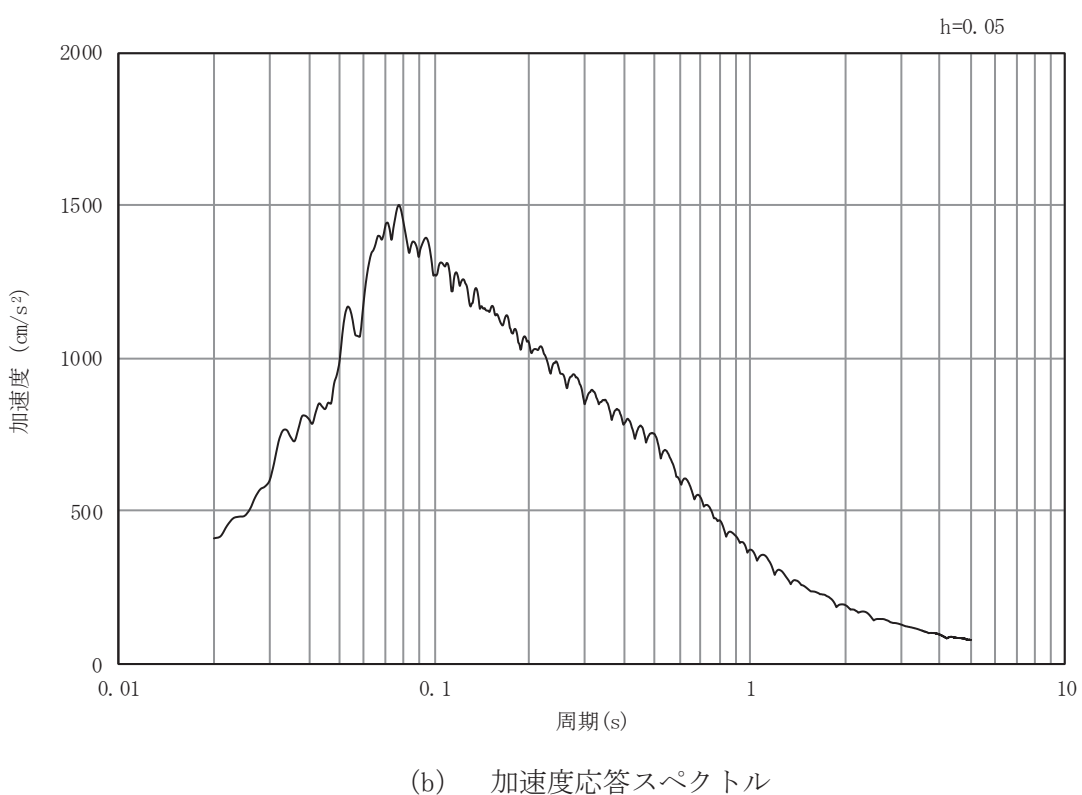
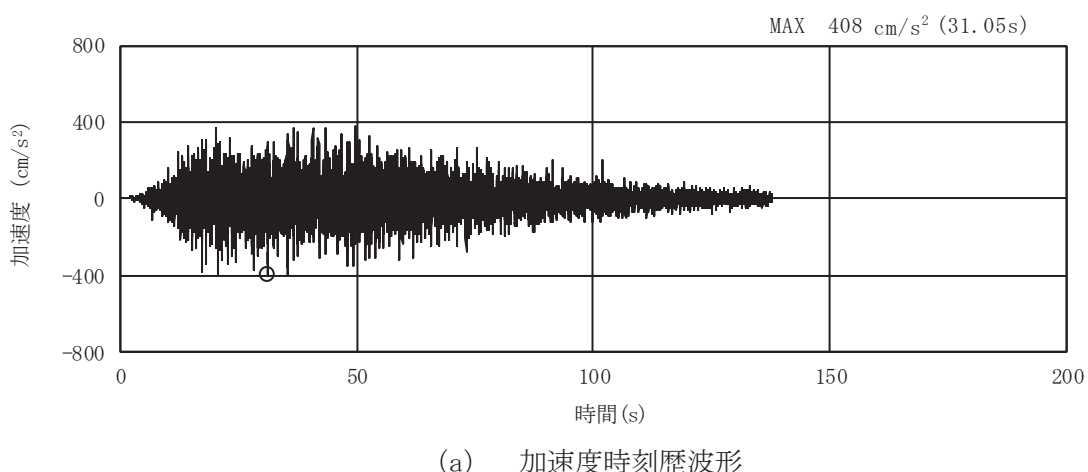
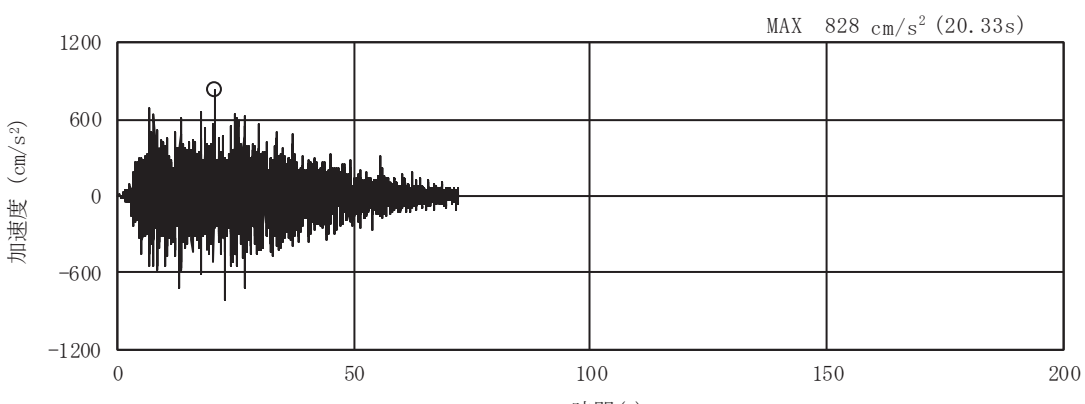
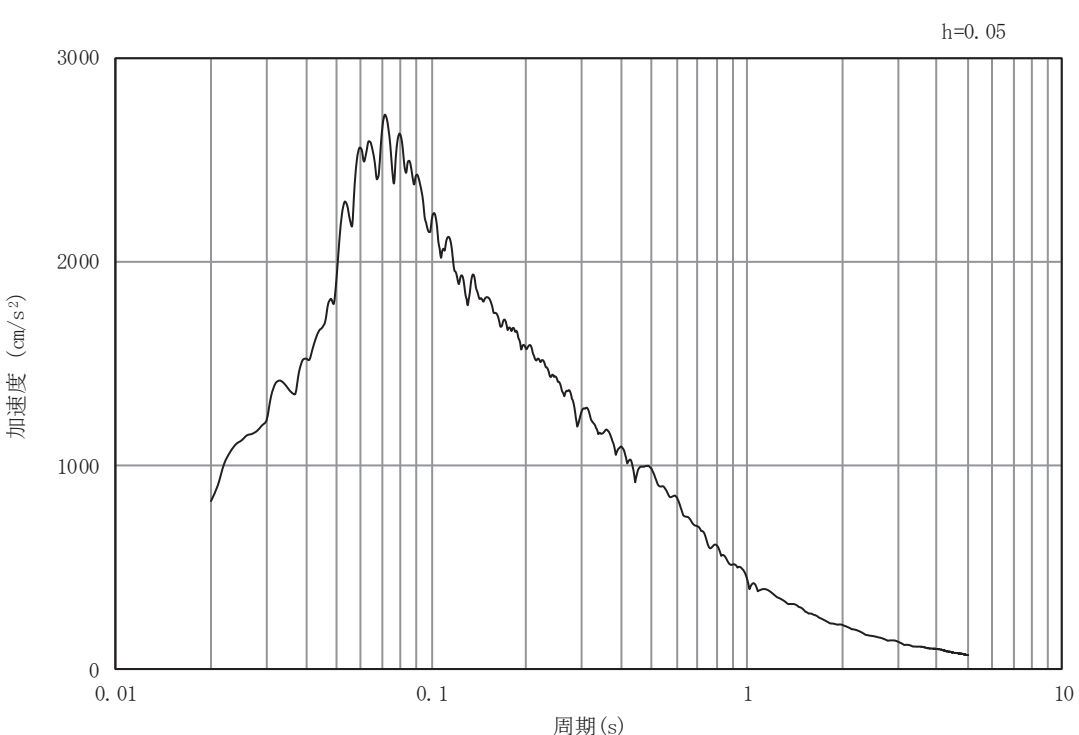


図 4-2(30) 入力地震動の加速度時刻歴波形及び加速度応答スペクトル (土砂部 (断面③))  
(鉛直成分 : S s-D 1)

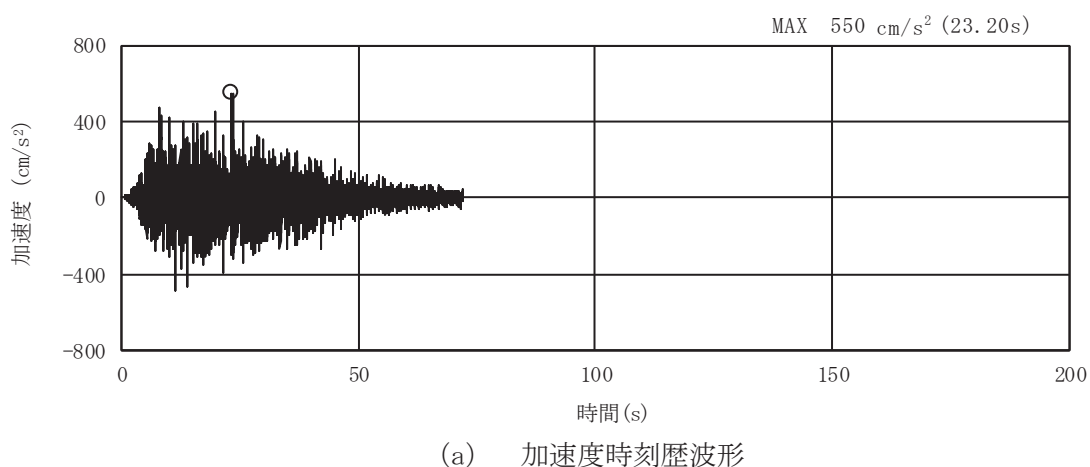


(a) 加速度時刻歴波形

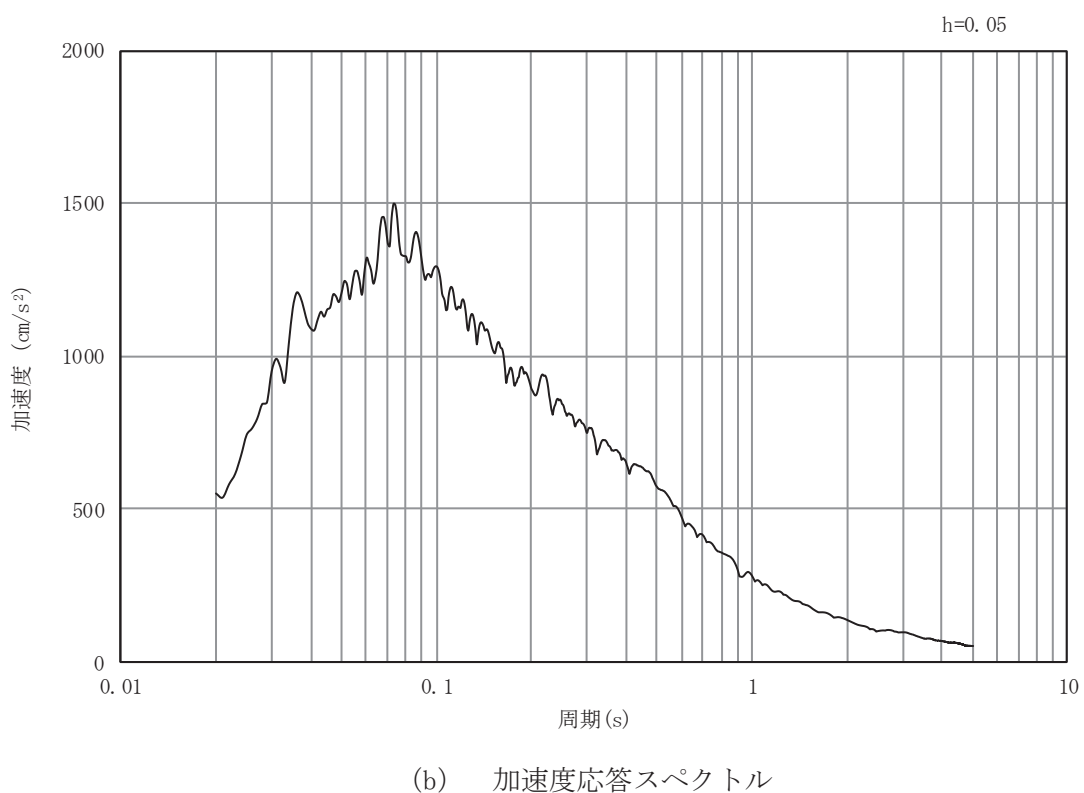


(b) 加速度応答スペクトル

図 4-2(31) 入力地震動の加速度時刻歴波形及び加速度応答スペクトル (土砂部 (断面③))  
(水平成分 : S s-D 2)

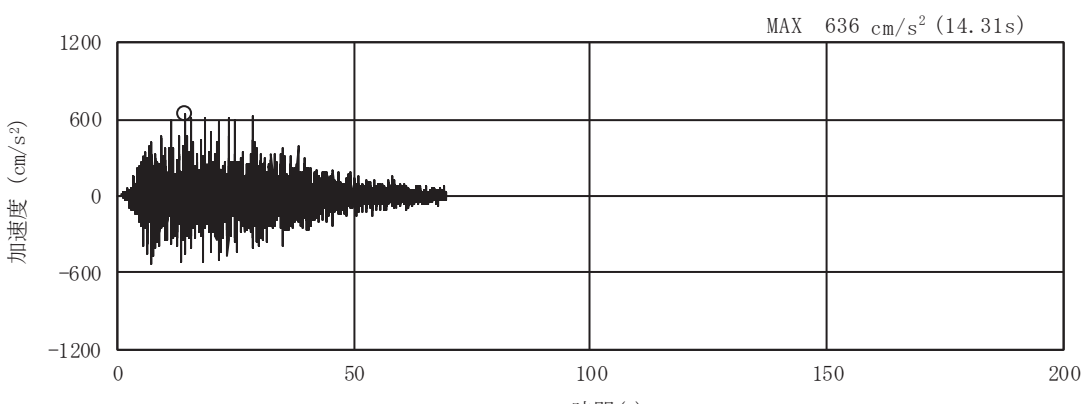


(a) 加速度時刻歴波形

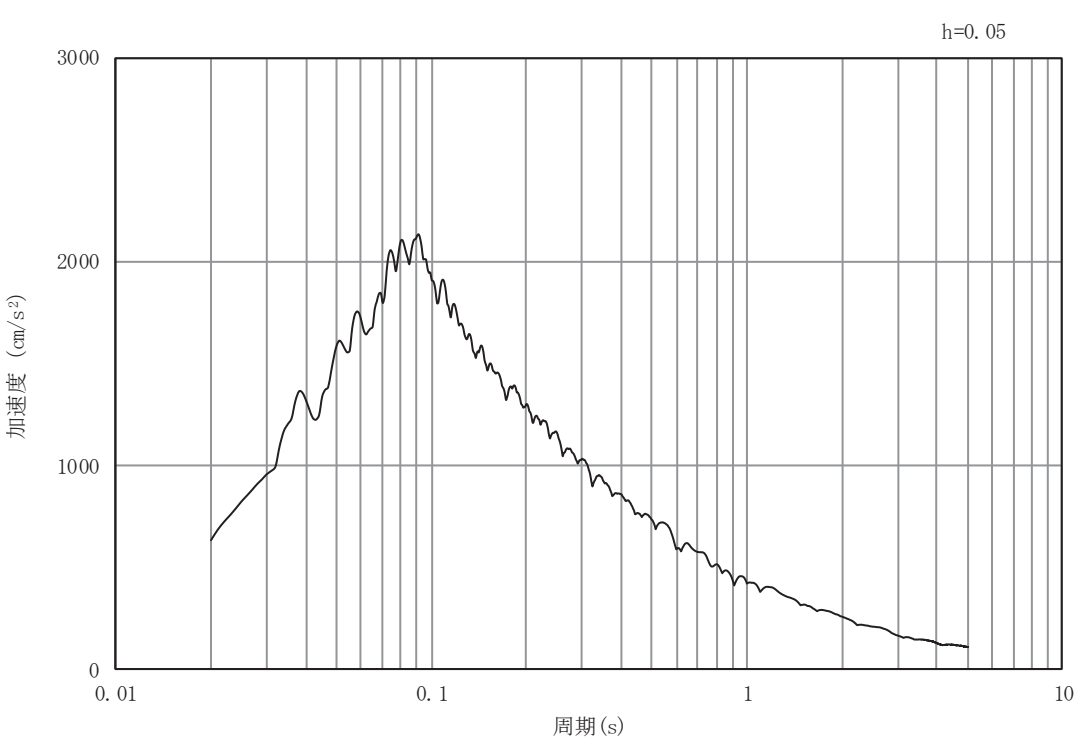


(b) 加速度応答スペクトル

図 4-2(32) 入力地震動の加速度時刻歴波形及び加速度応答スペクトル (土砂部 (断面③))  
(鉛直成分 : S s-D 2)

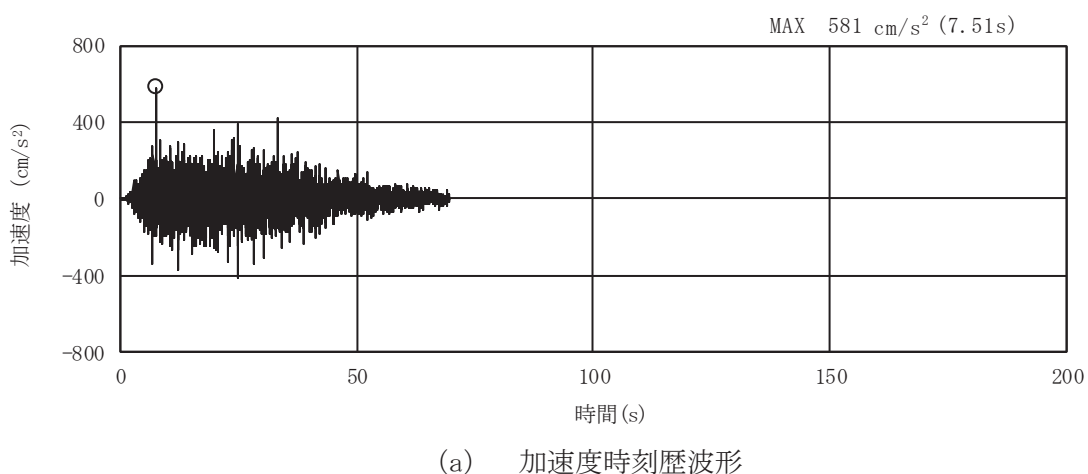


(a) 加速度時刻歴波形

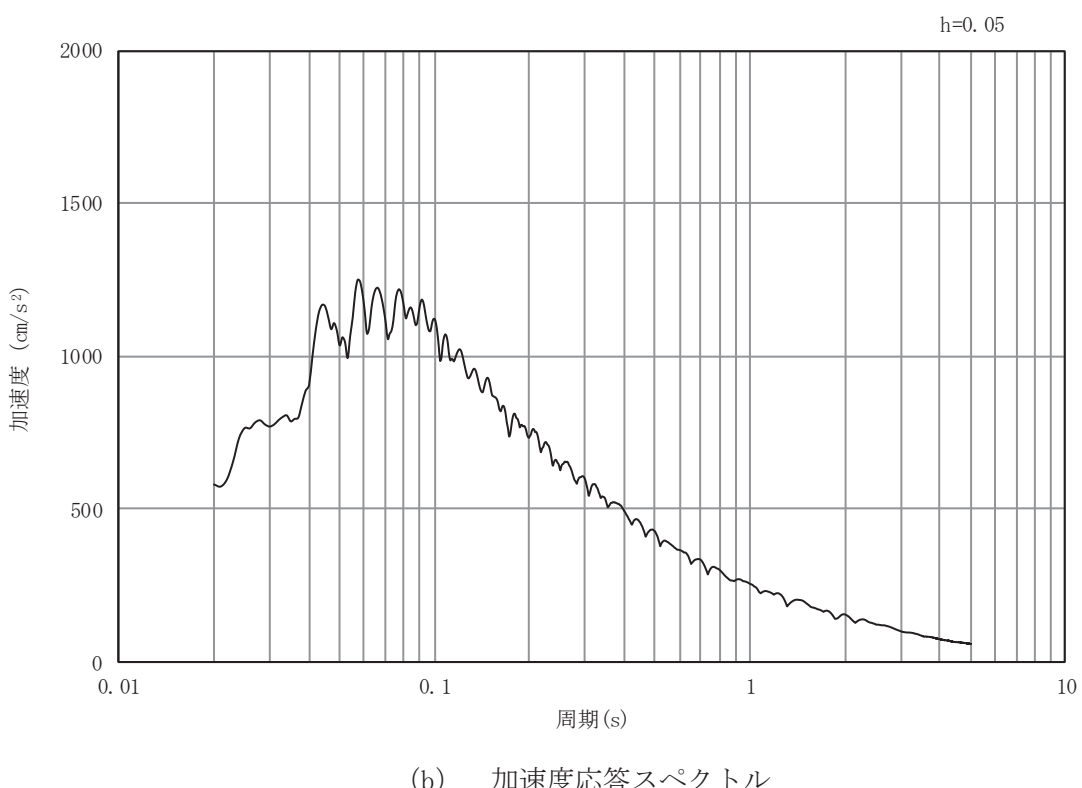


(b) 加速度応答スペクトル

図 4-2(33) 入力地震動の加速度時刻歴波形及び加速度応答スペクトル (土砂部 (断面③))  
(水平成分 : S s-D 3)

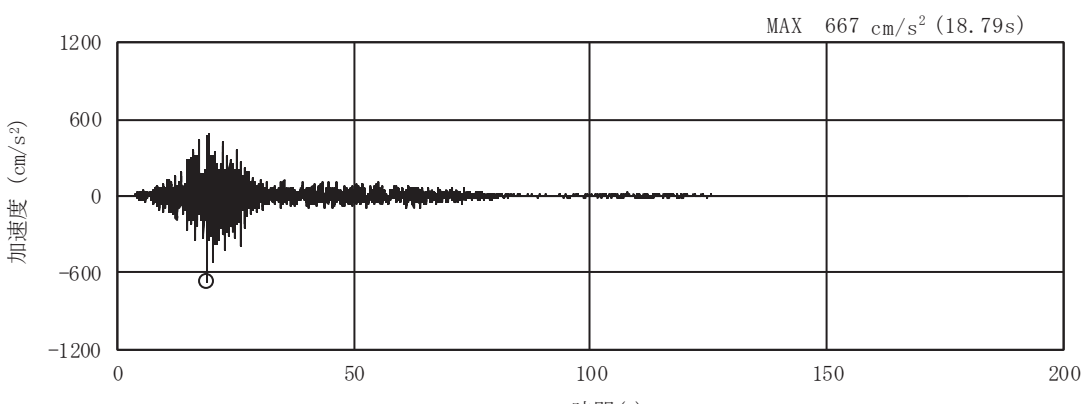


(a) 加速度時刻歴波形

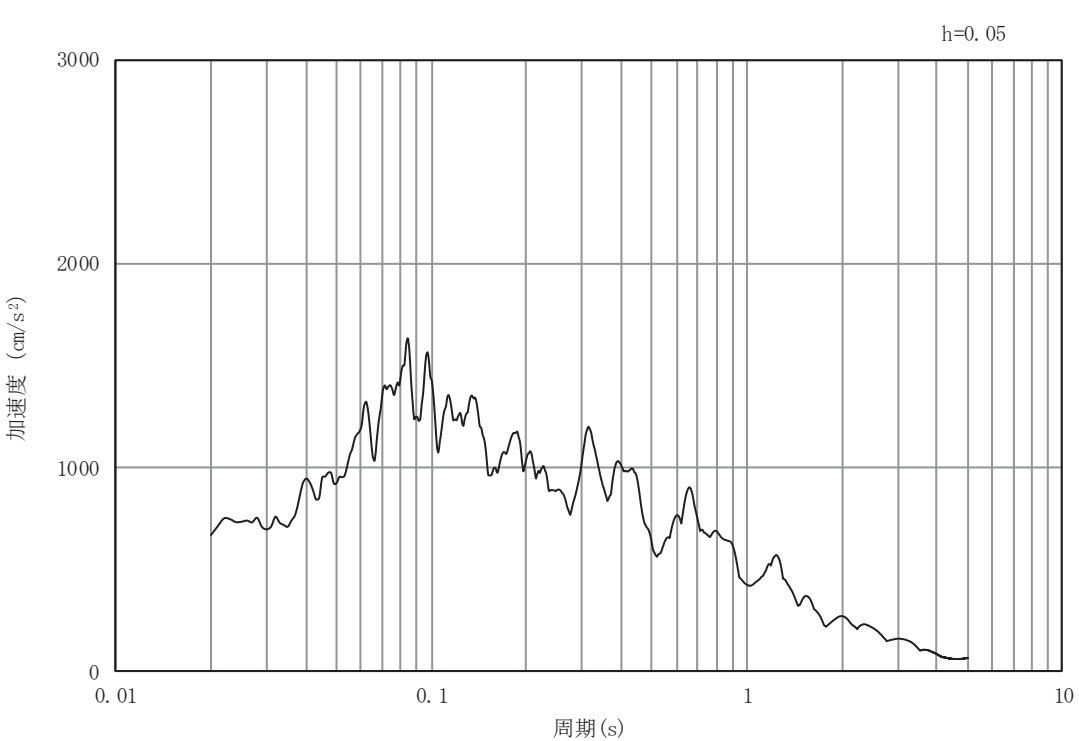


(b) 加速度応答スペクトル

図 4-2(34) 入力地震動の加速度時刻歴波形及び加速度応答スペクトル (土砂部 (断面③))  
(鉛直成分 : S s-D 3)

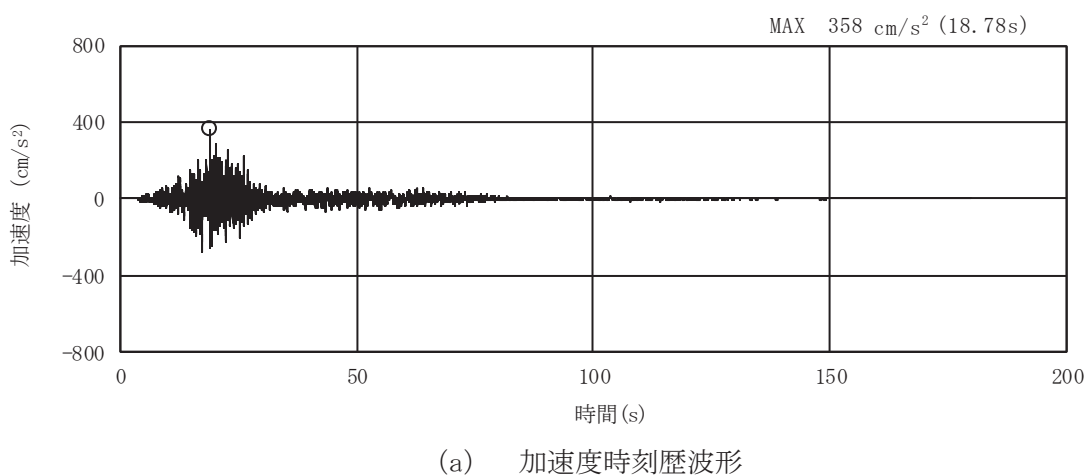


(a) 加速度時刻歴波形

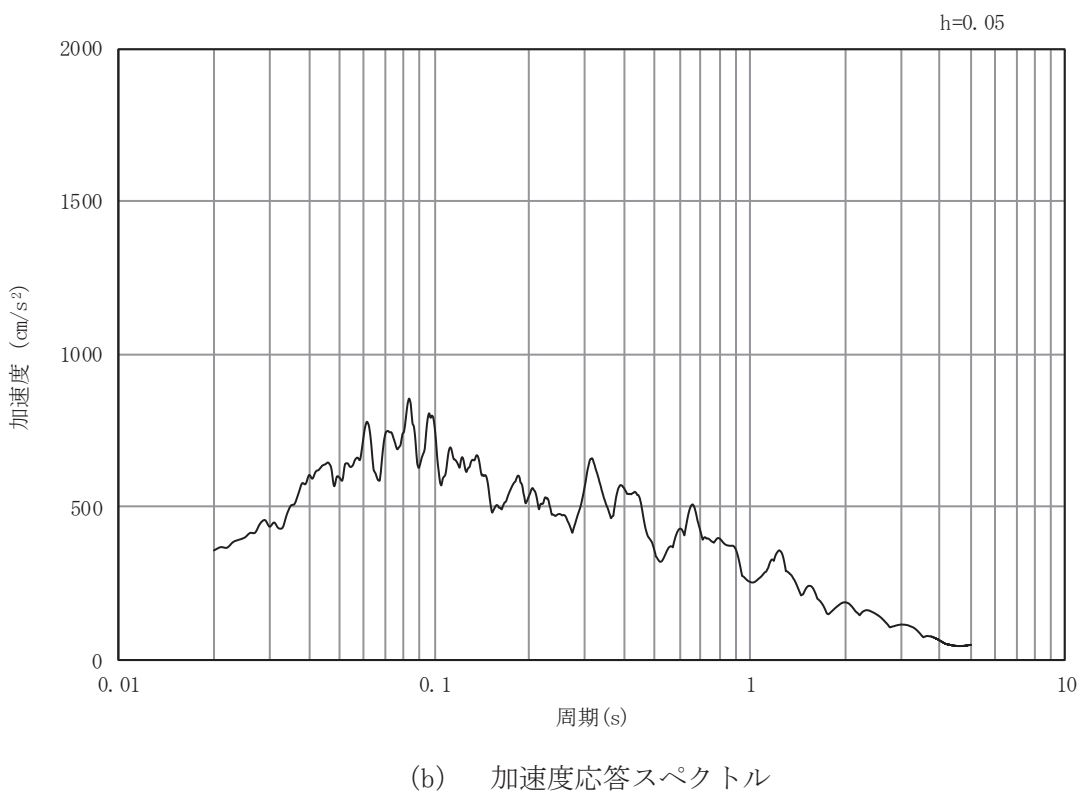


(b) 加速度応答スペクトル

図 4-2(35) 入力地震動の加速度時刻歴波形及び加速度応答スペクトル (土砂部 (断面③))  
(水平成分 : S s - F 1)

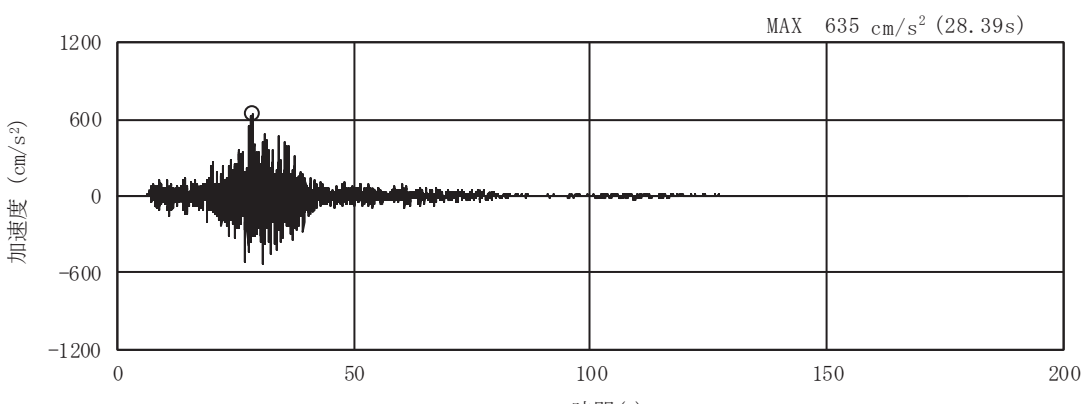


(a) 加速度時刻歴波形

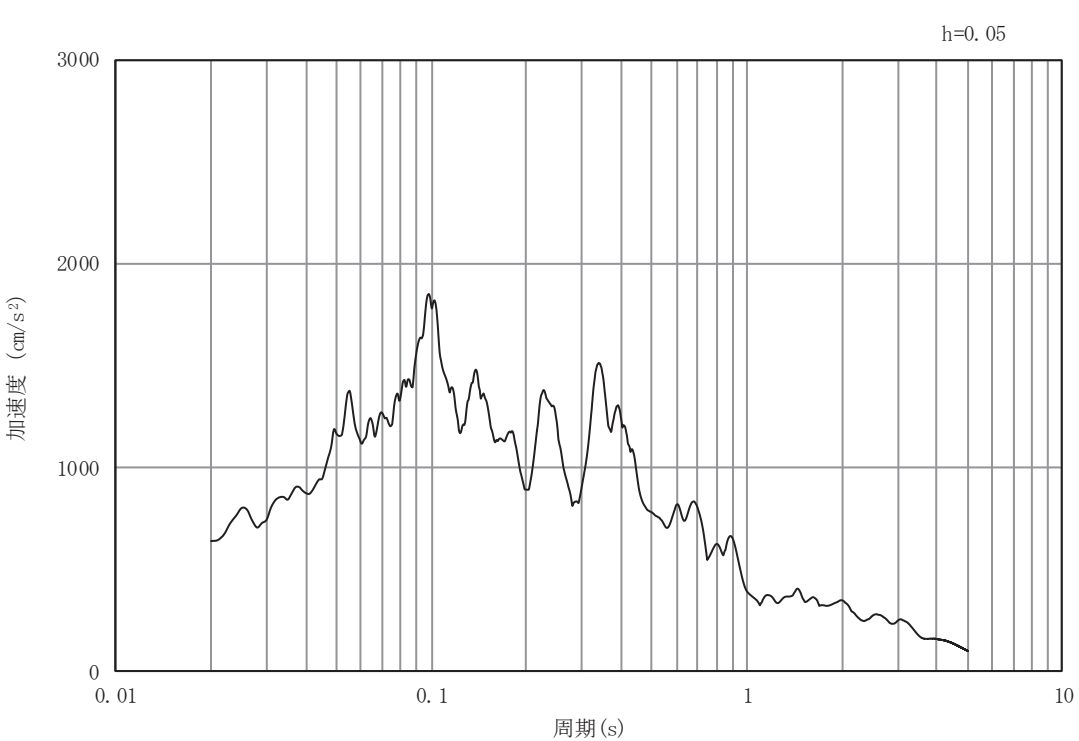


(b) 加速度応答スペクトル

図 4-2(36) 入力地震動の加速度時刻歴波形及び加速度応答スペクトル (土砂部 (断面③))  
(鉛直成分 : S s - F 1)



(a) 加速度時刻歴波形



(b) 加速度応答スペクトル

図 4-2(37) 入力地震動の加速度時刻歴波形及び加速度応答スペクトル (土砂部 (断面③))  
(水平成分 : S s - F 2)

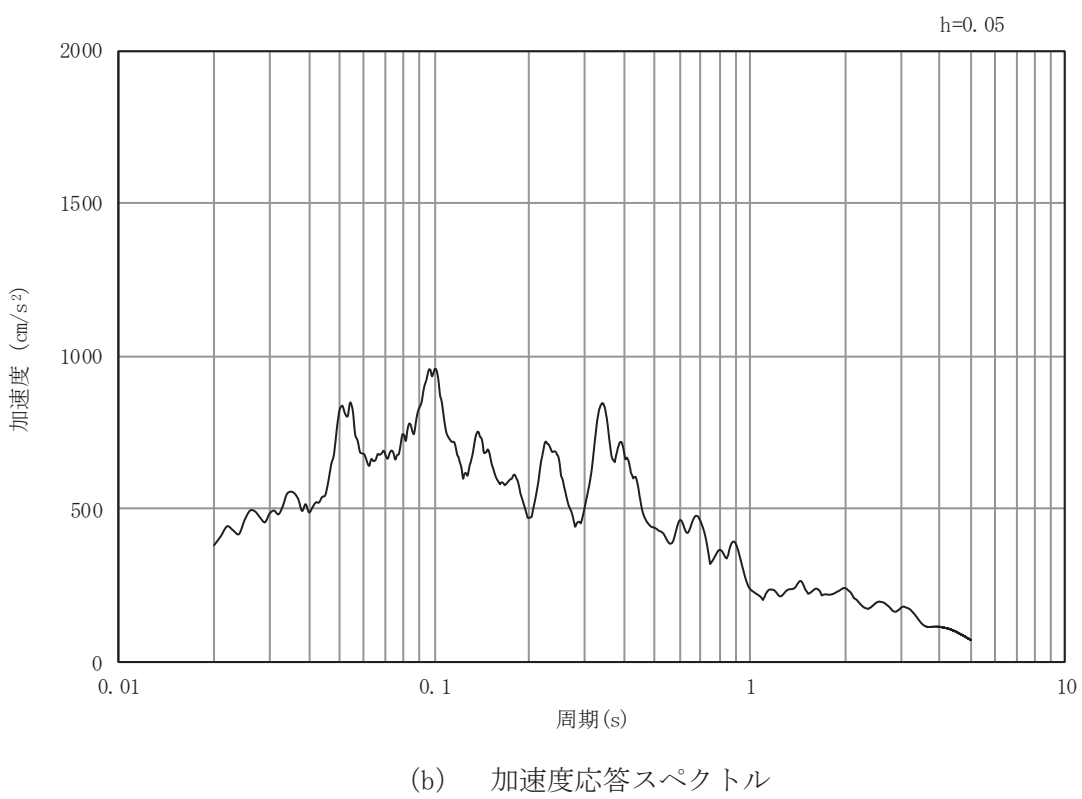
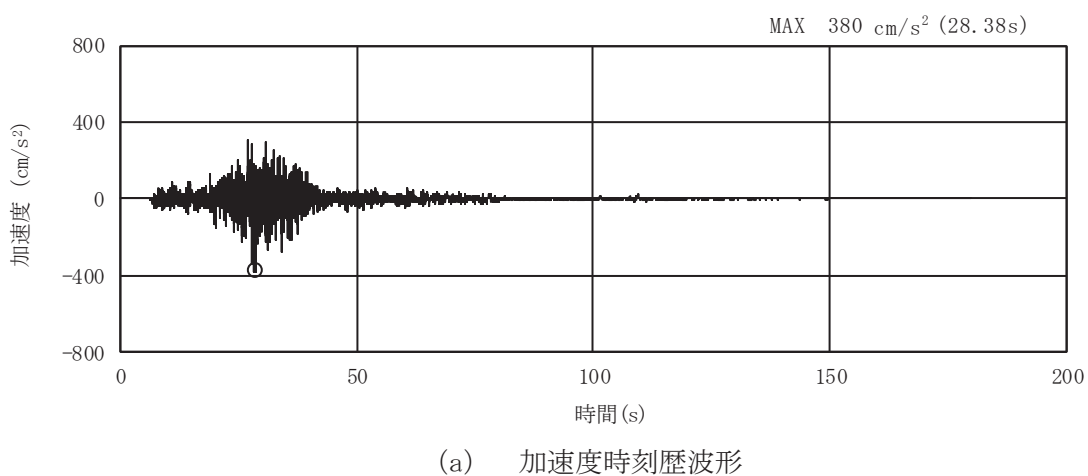
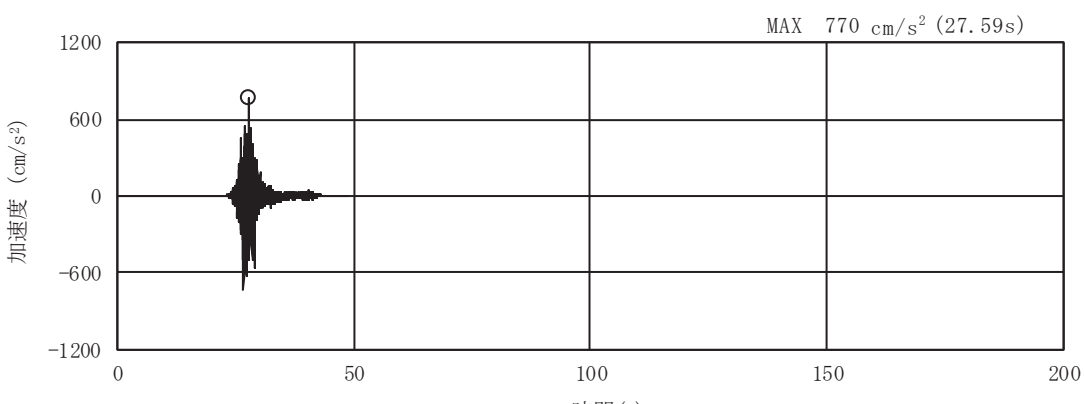
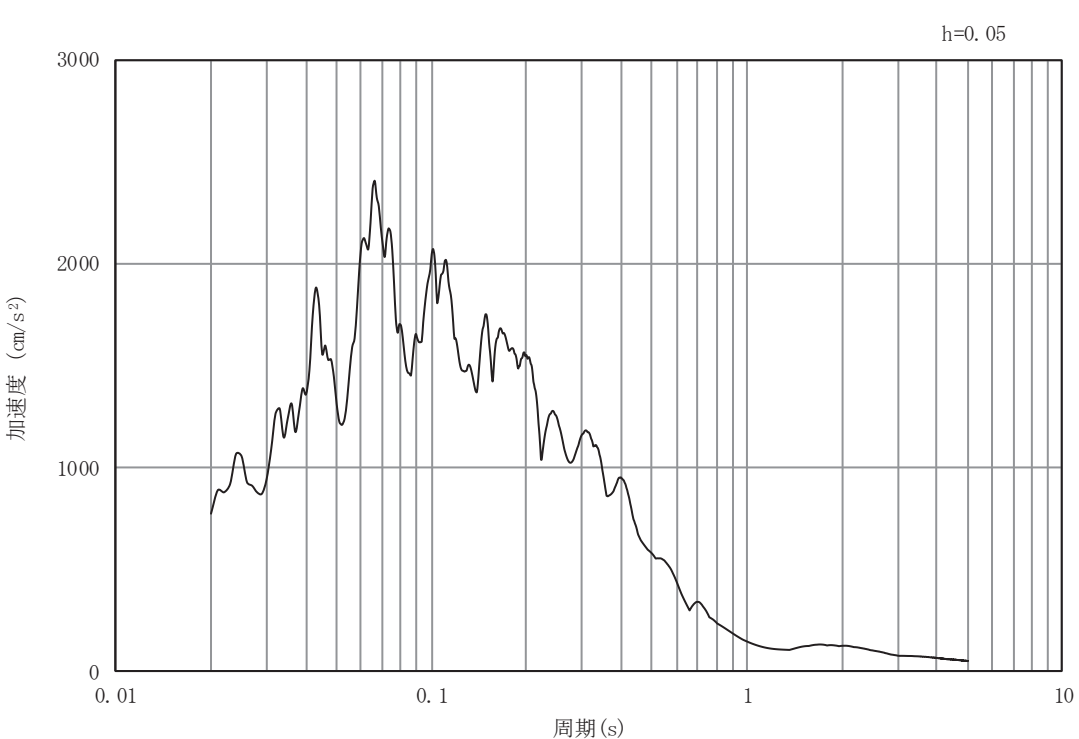


図 4-2(38) 入力地震動の加速度時刻歴波形及び加速度応答スペクトル (土砂部 (断面③))  
(鉛直成分 : S s - F 2 )



(a) 加速度時刻歴波形



(b) 加速度応答スペクトル

図 4-2(39) 入力地震動の加速度時刻歴波形及び加速度応答スペクトル (土砂部 (断面③))  
(水平成分 : S s - F 3)

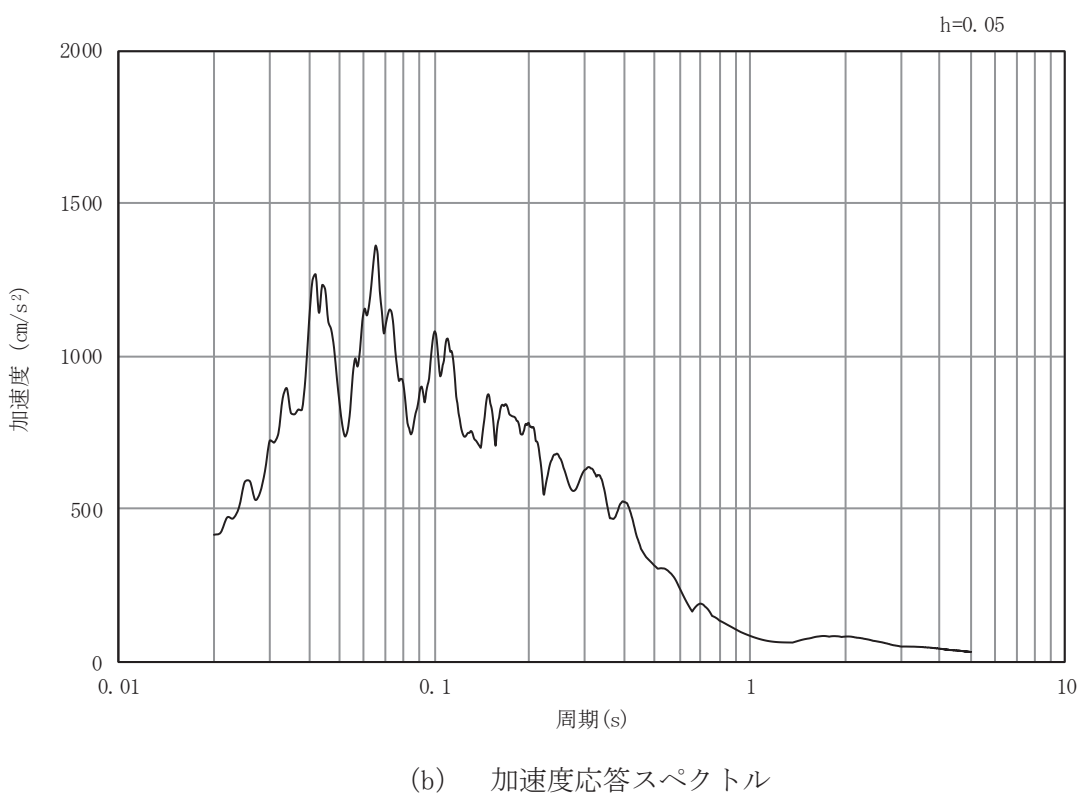
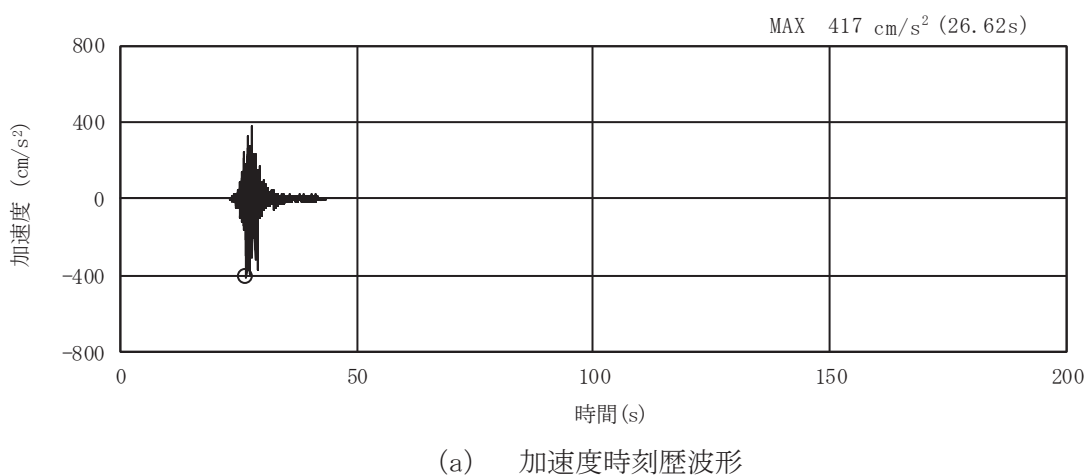
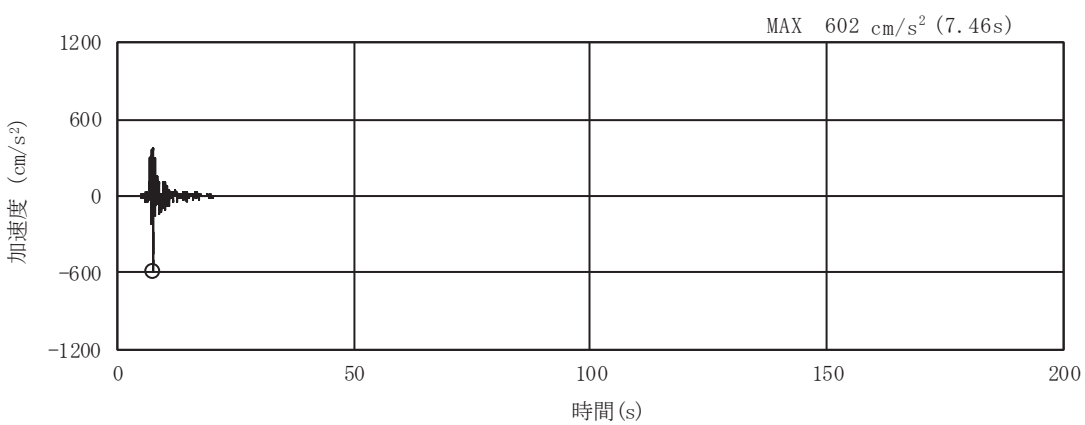
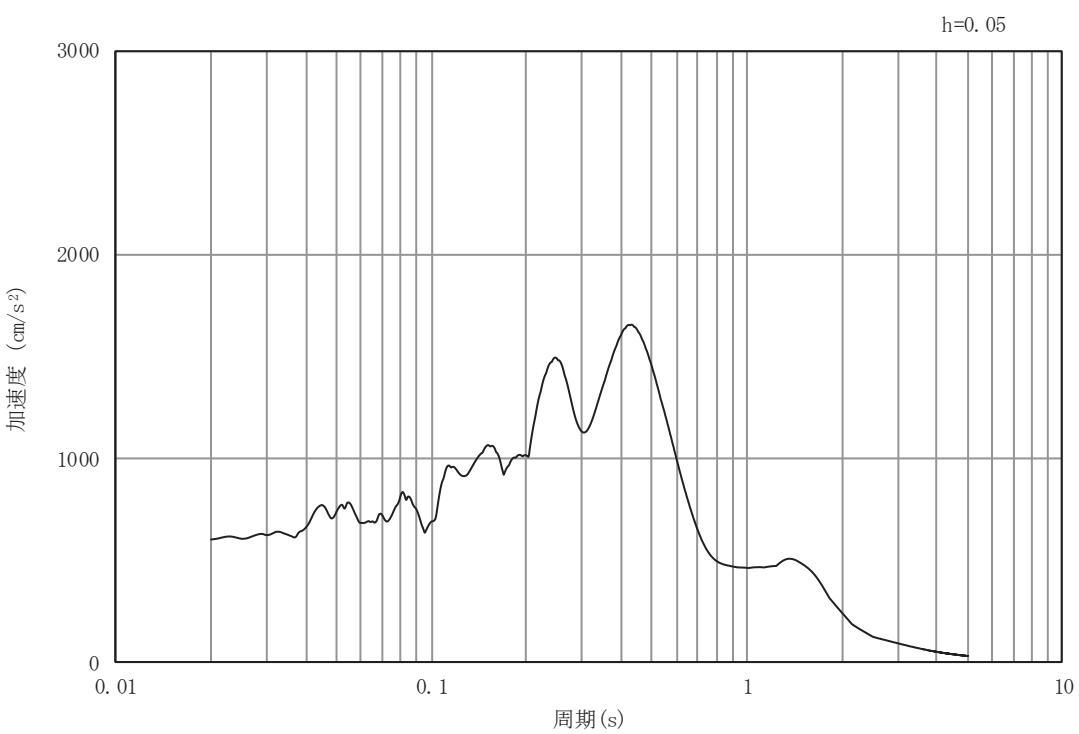


図 4-2(40) 入力地震動の加速度時刻歴波形及び加速度応答スペクトル (土砂部 (断面③))  
(鉛直成分 : S s - F 3 )

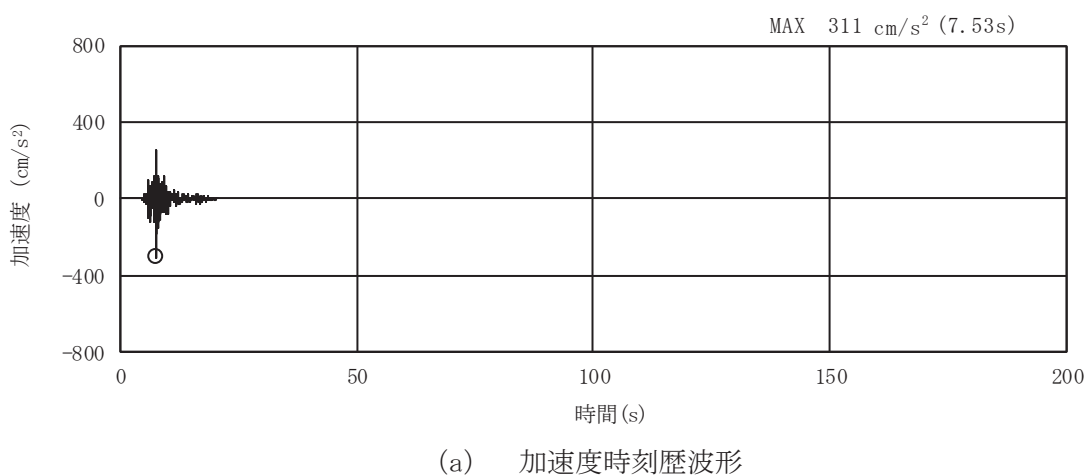


(a) 加速度時刻歴波形

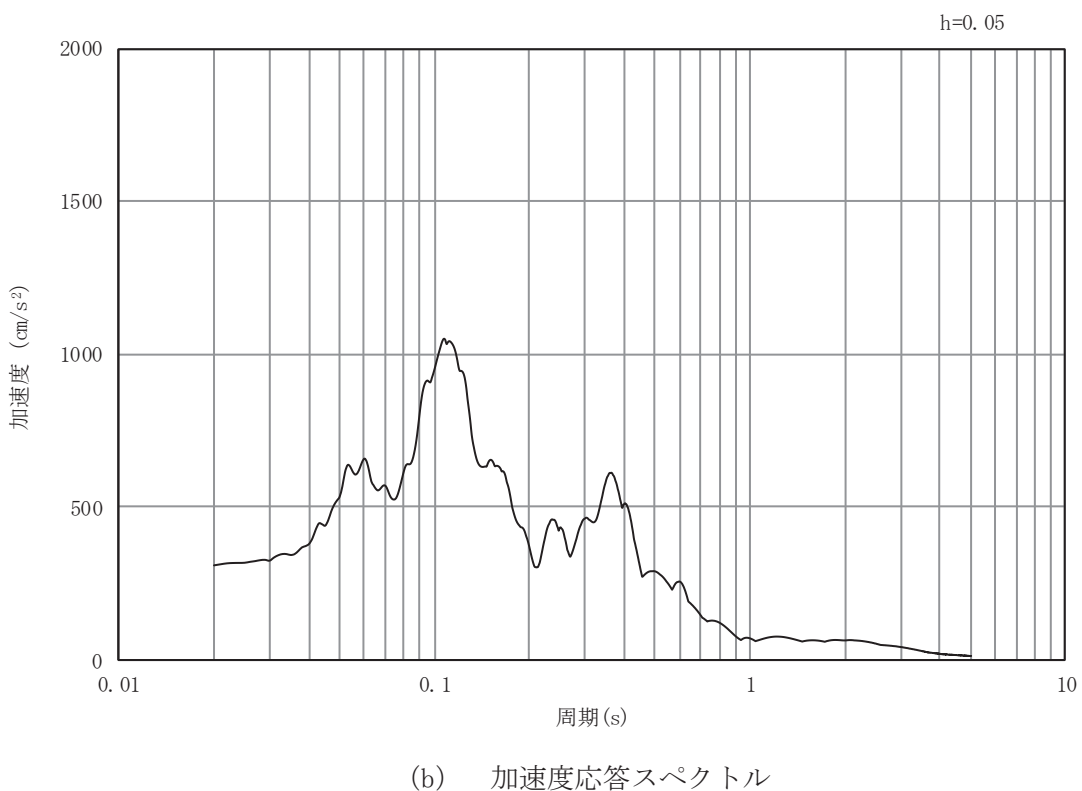


(b) 加速度応答スペクトル

図 4-2(41) 入力地震動の加速度時刻歴波形及び加速度応答スペクトル (土砂部 (断面③))  
(水平成分 : S s - N 1)

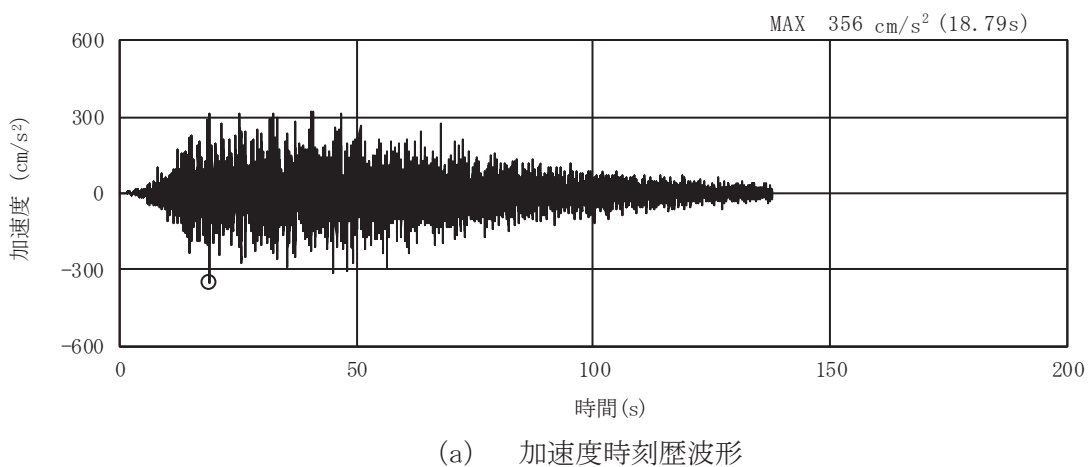


(a) 加速度時刻歴波形

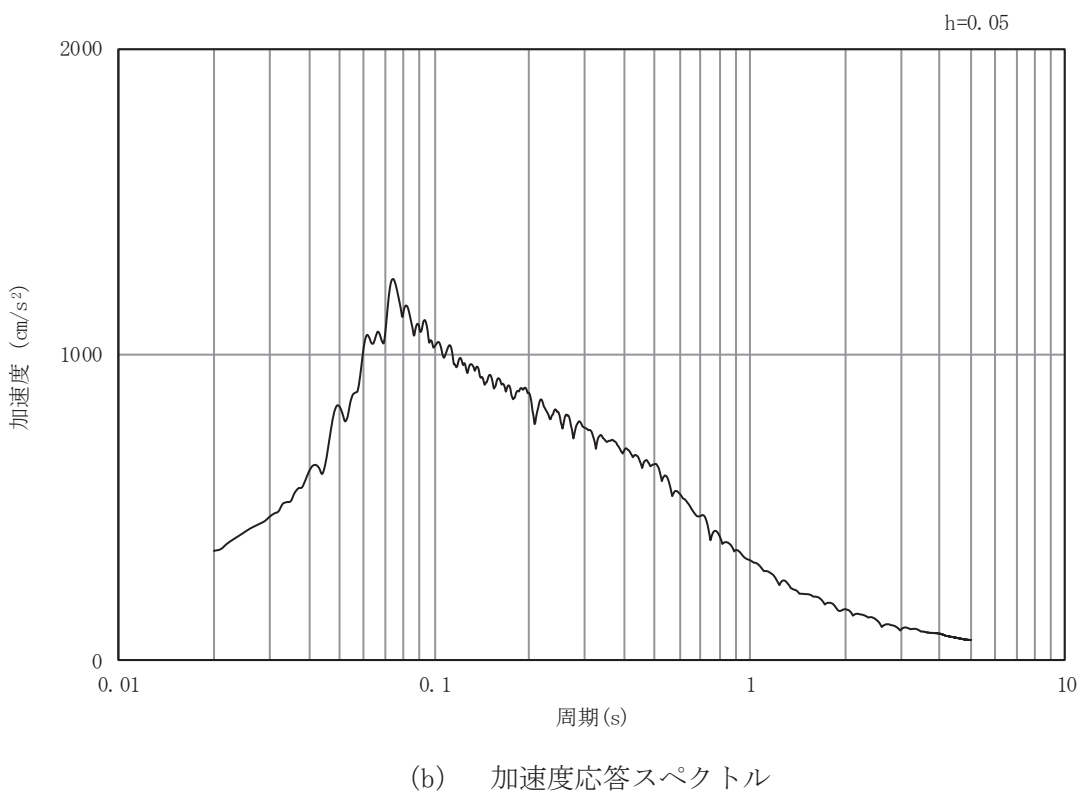


(b) 加速度応答スペクトル

図 4-2(42) 入力地震動の加速度時刻歴波形及び加速度応答スペクトル (土砂部 (断面③))  
(鉛直成分 : S s - N 1 )



(a) 加速度時刻歴波形



(b) 加速度応答スペクトル

図 4-2(43) 入力地震動の加速度時刻歴波形及び加速度応答スペクトル (土砂部 (断面③))  
(水平成分 : S d-D 1)

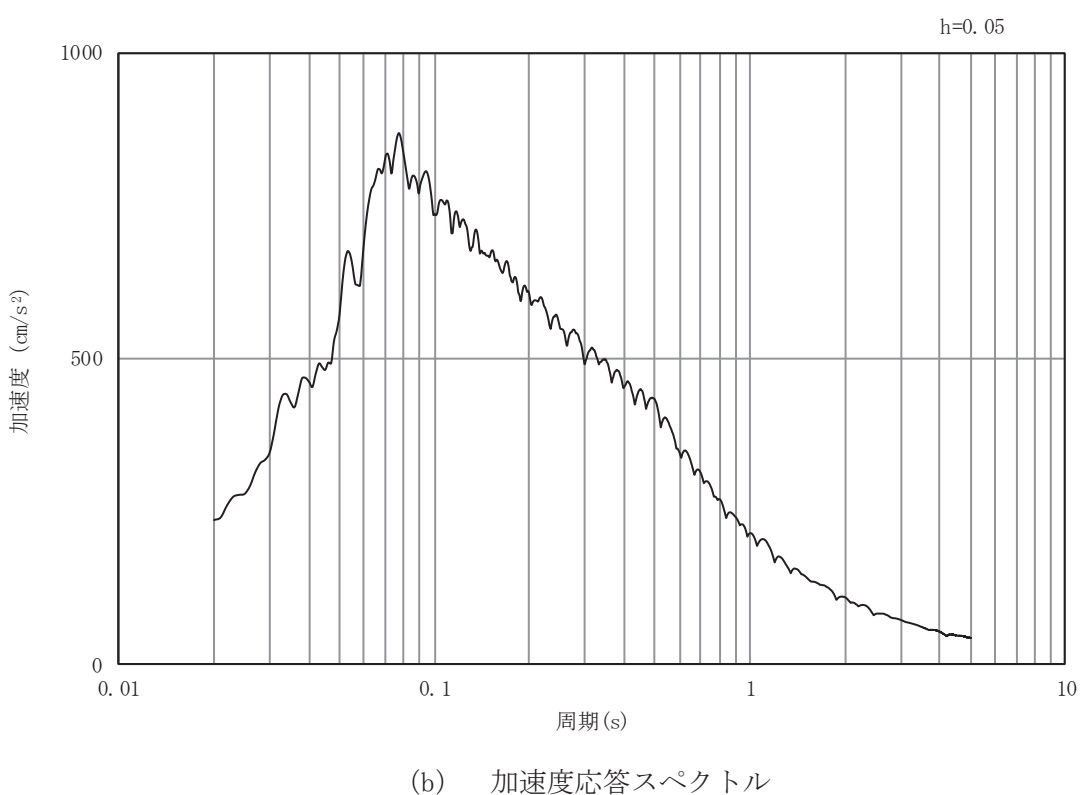
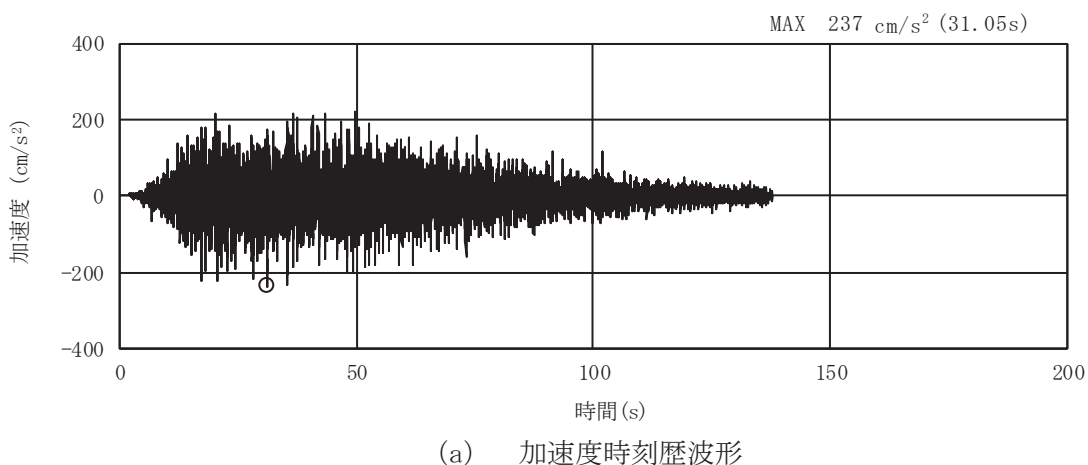
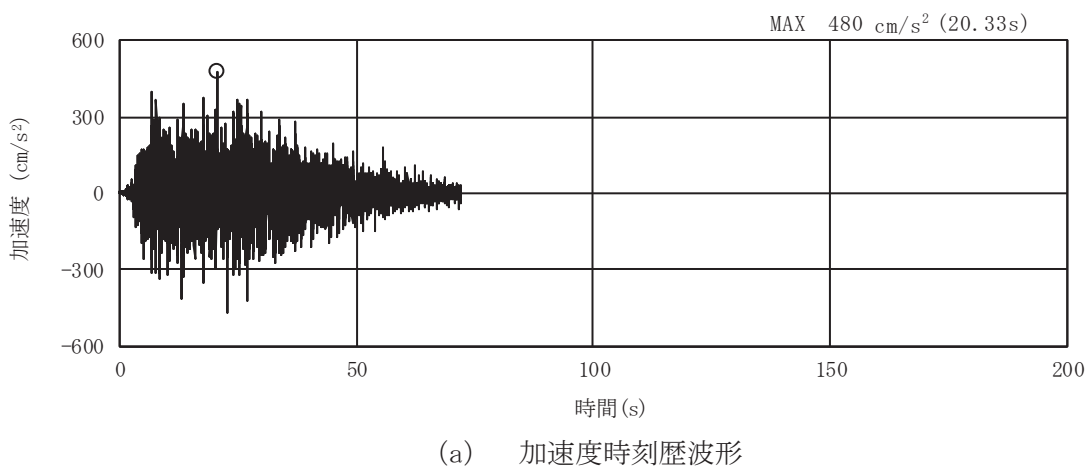
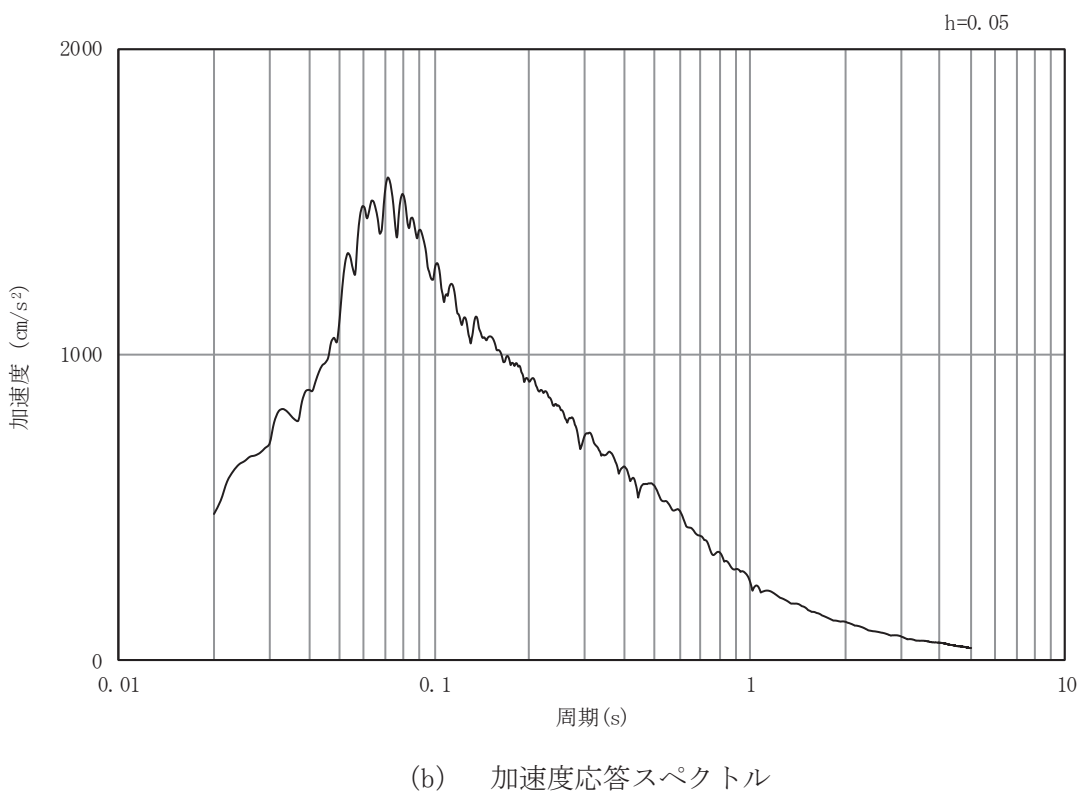


図 4-2(44) 入力地震動の加速度時刻歴波形及び加速度応答スペクトル (土砂部 (断面③))  
(鉛直成分 : S d-D 1)

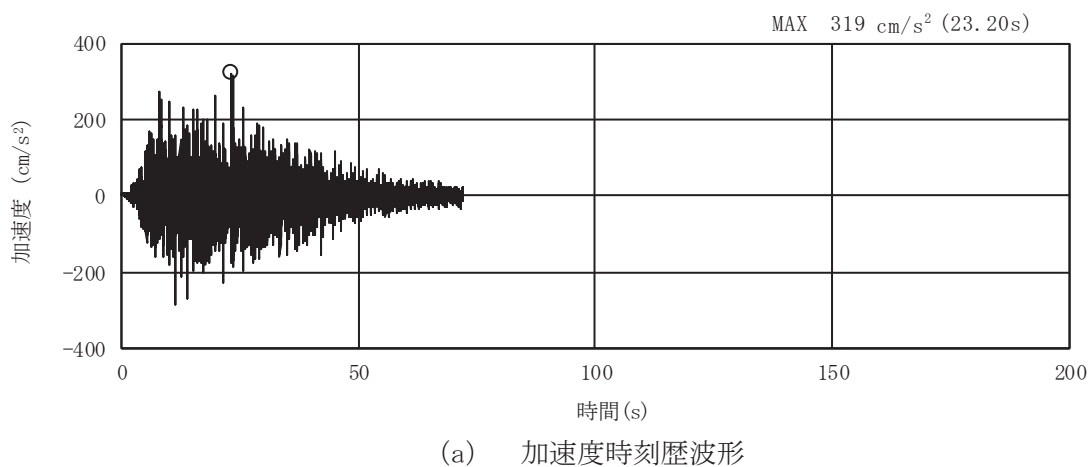


(a) 加速度時刻歴波形

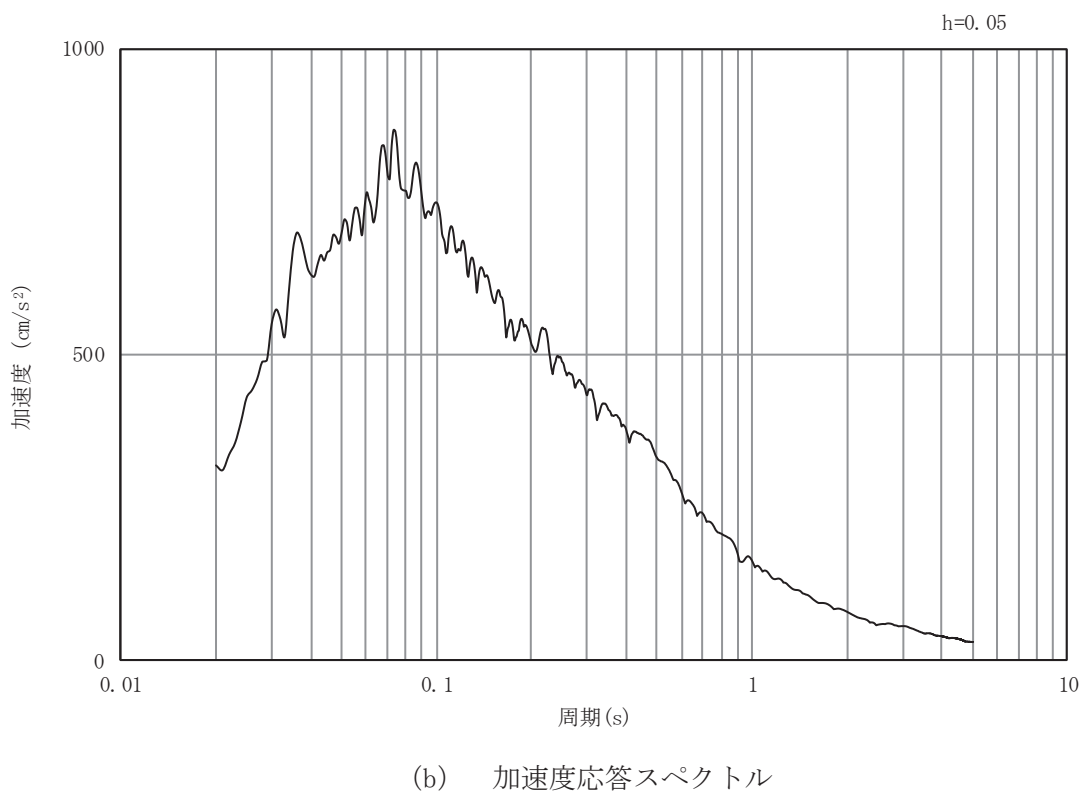


(b) 加速度応答スペクトル

図 4-2(45) 入力地震動の加速度時刻歴波形及び加速度応答スペクトル (土砂部 (断面③))  
(水平成分 : S d-D 2)

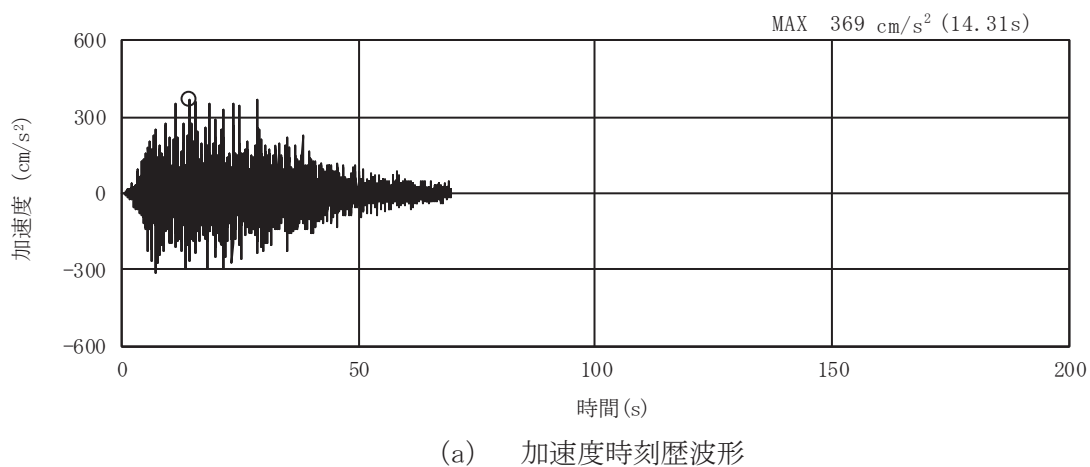


(a) 加速度時刻歴波形

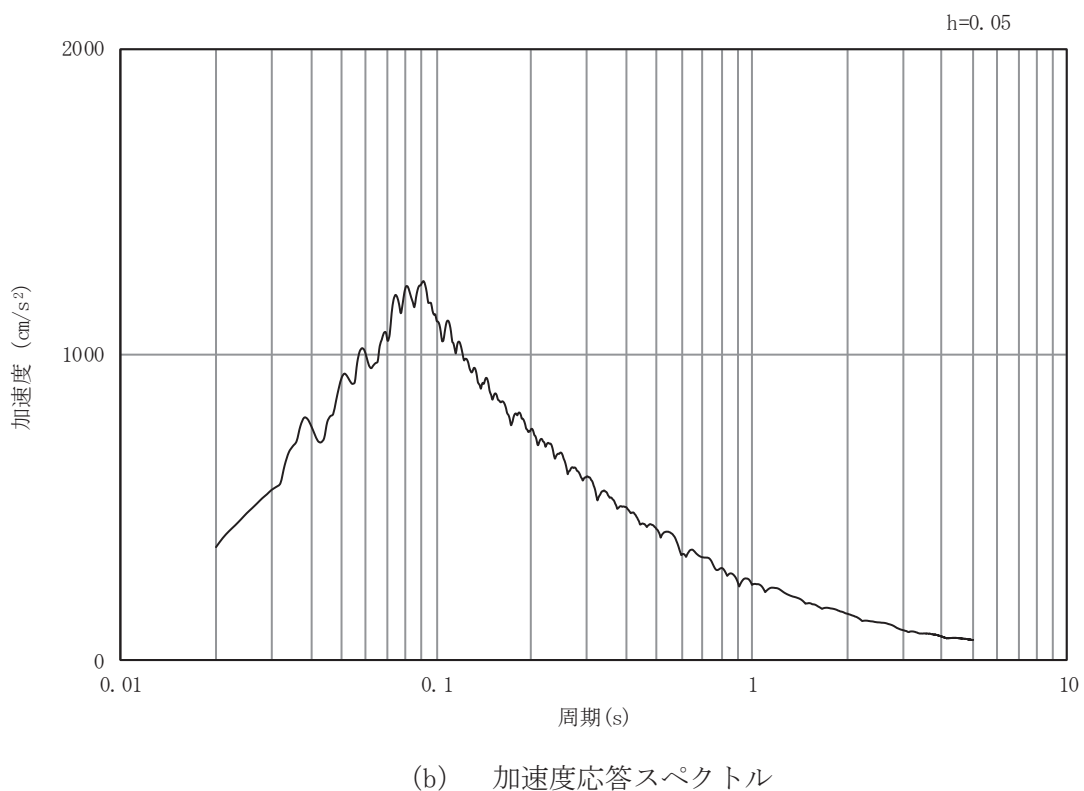


(b) 加速度応答スペクトル

図 4-2(46) 入力地震動の加速度時刻歴波形及び加速度応答スペクトル (土砂部 (断面③))  
(鉛直成分 : S d-D 2)

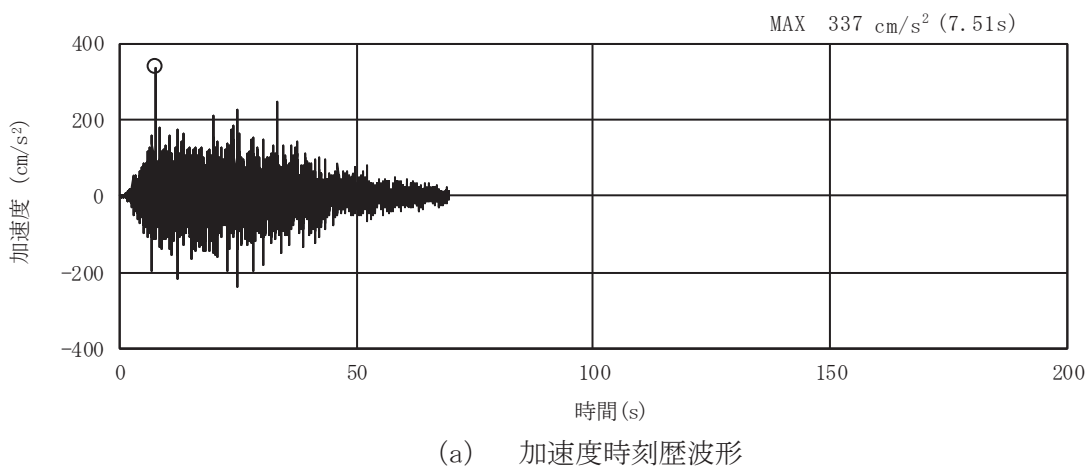


(a) 加速度時刻歴波形

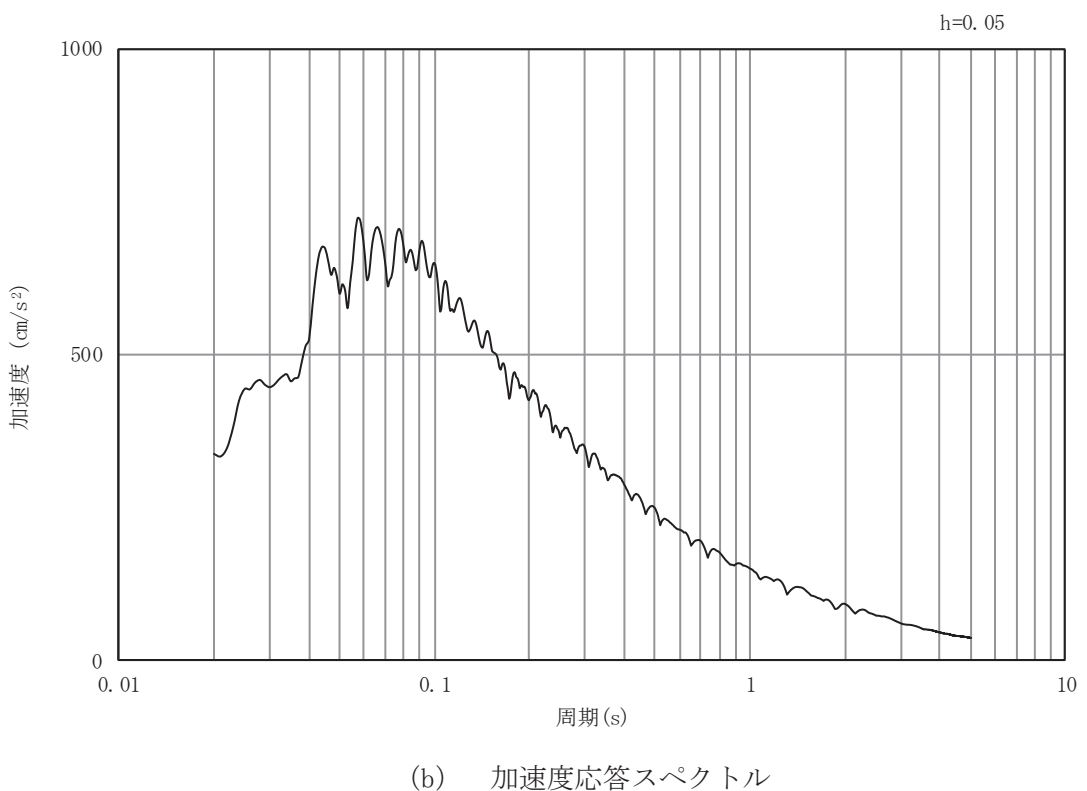


(b) 加速度応答スペクトル

図 4-2(47) 入力地震動の加速度時刻歴波形及び加速度応答スペクトル (土砂部 (断面③))  
(水平成分 : S d-D 3)

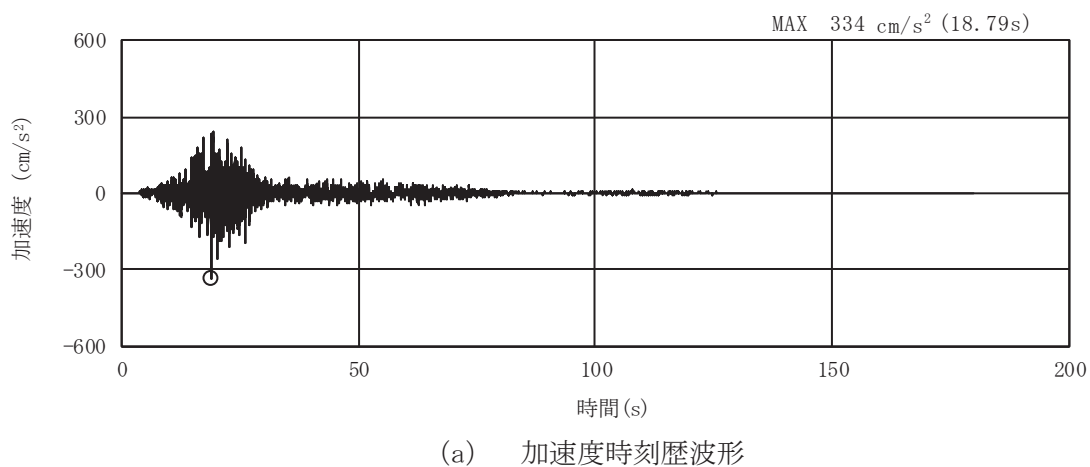


(a) 加速度時刻歴波形

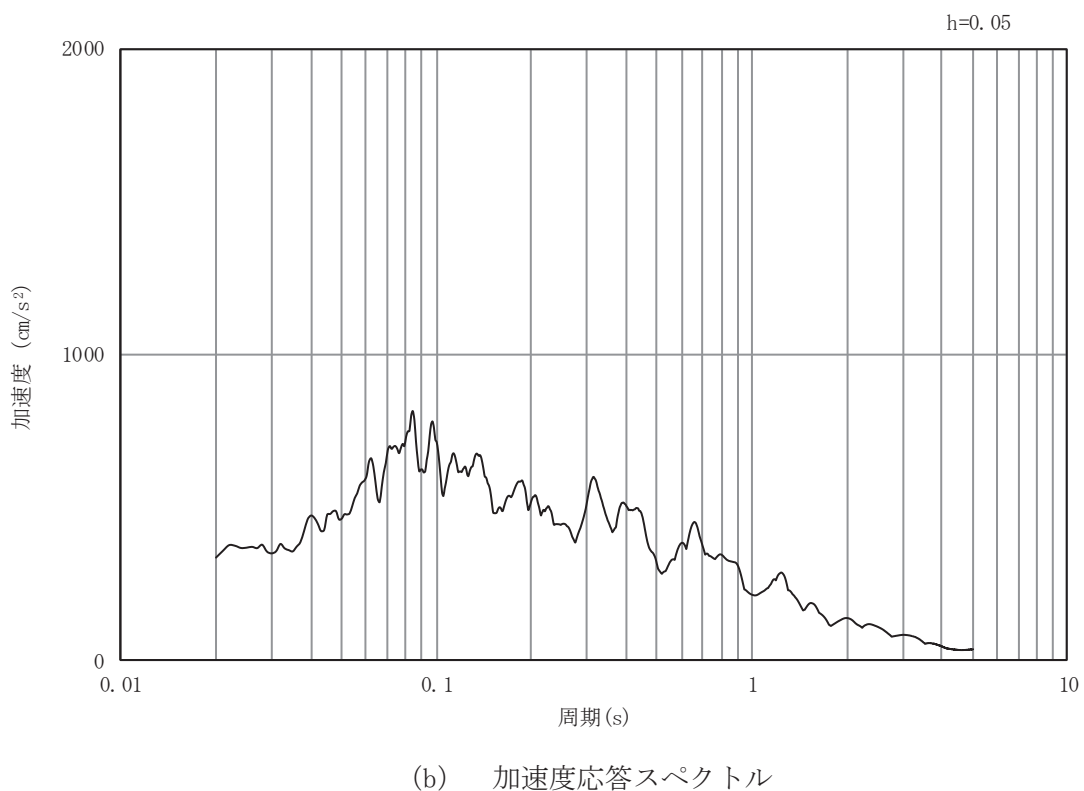


(b) 加速度応答スペクトル

図 4-2(48) 入力地震動の加速度時刻歴波形及び加速度応答スペクトル (土砂部 (断面③))  
(鉛直成分 : S d-D 3)



(a) 加速度時刻歴波形



(b) 加速度応答スペクトル

図 4-2(49) 入力地震動の加速度時刻歴波形及び加速度応答スペクトル (土砂部 (断面③))  
(水平成分 : S d - F 1)

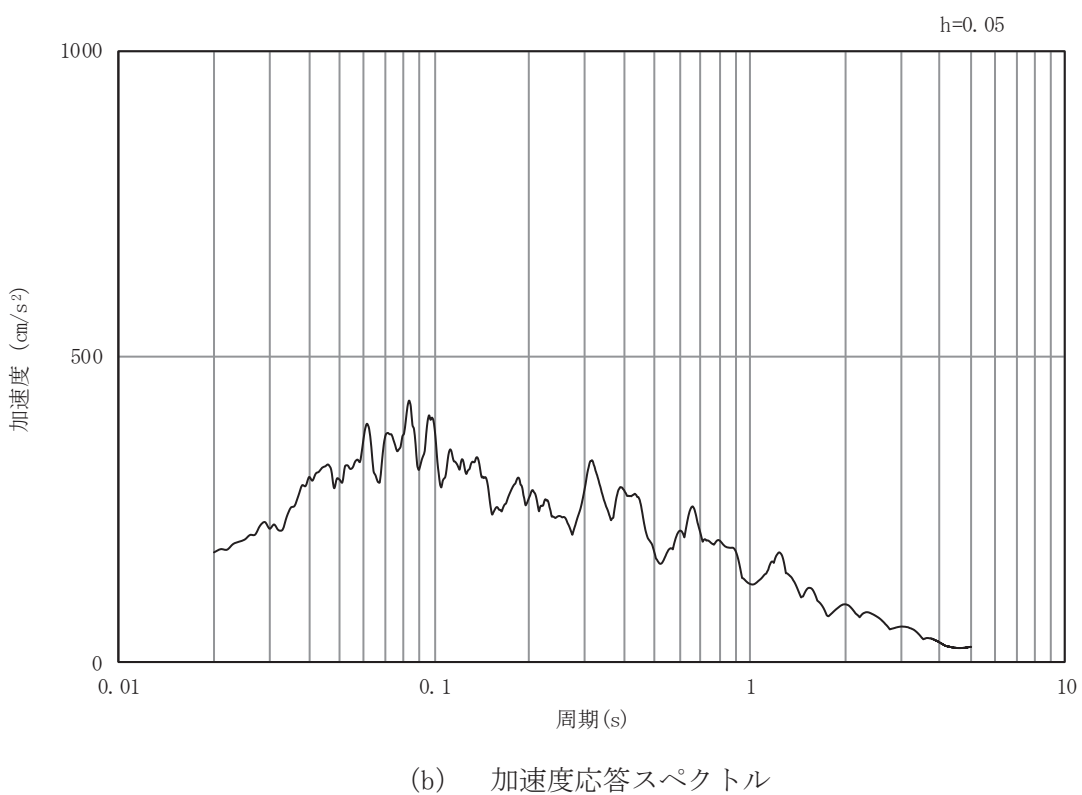
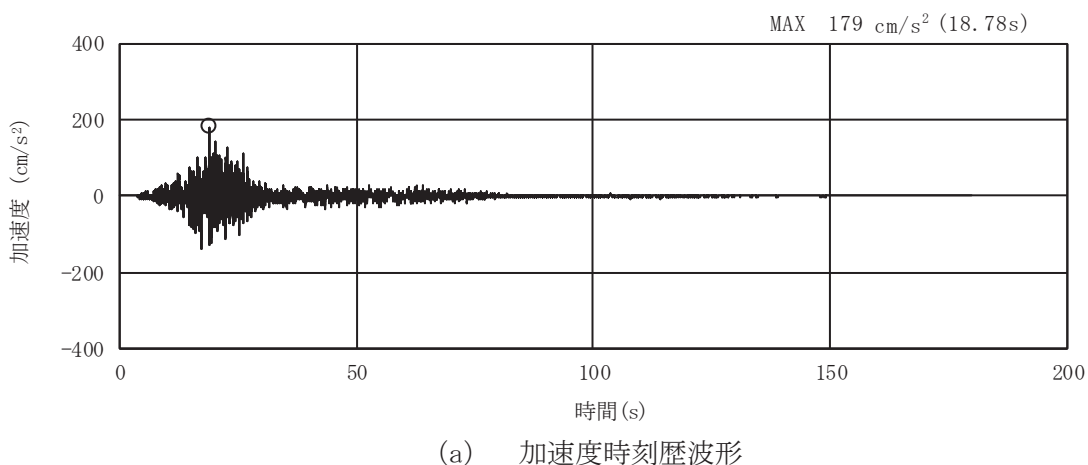
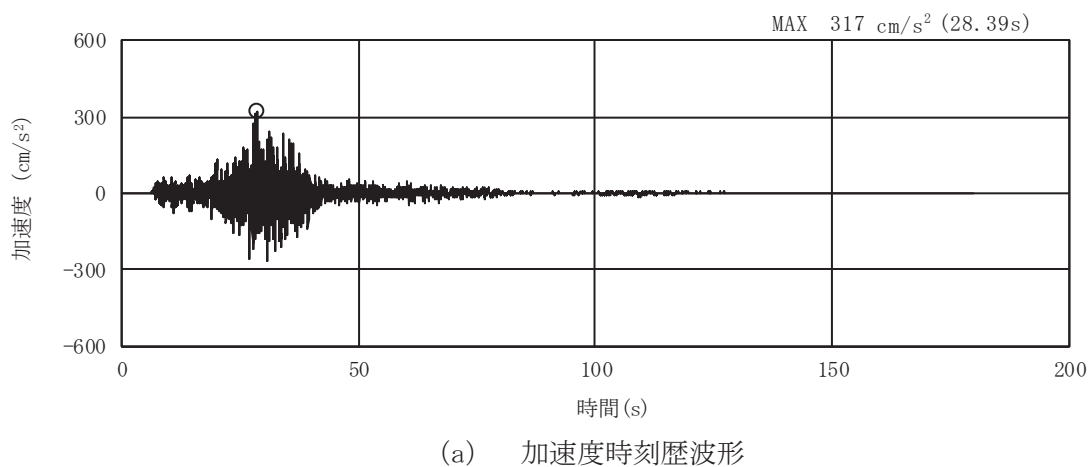
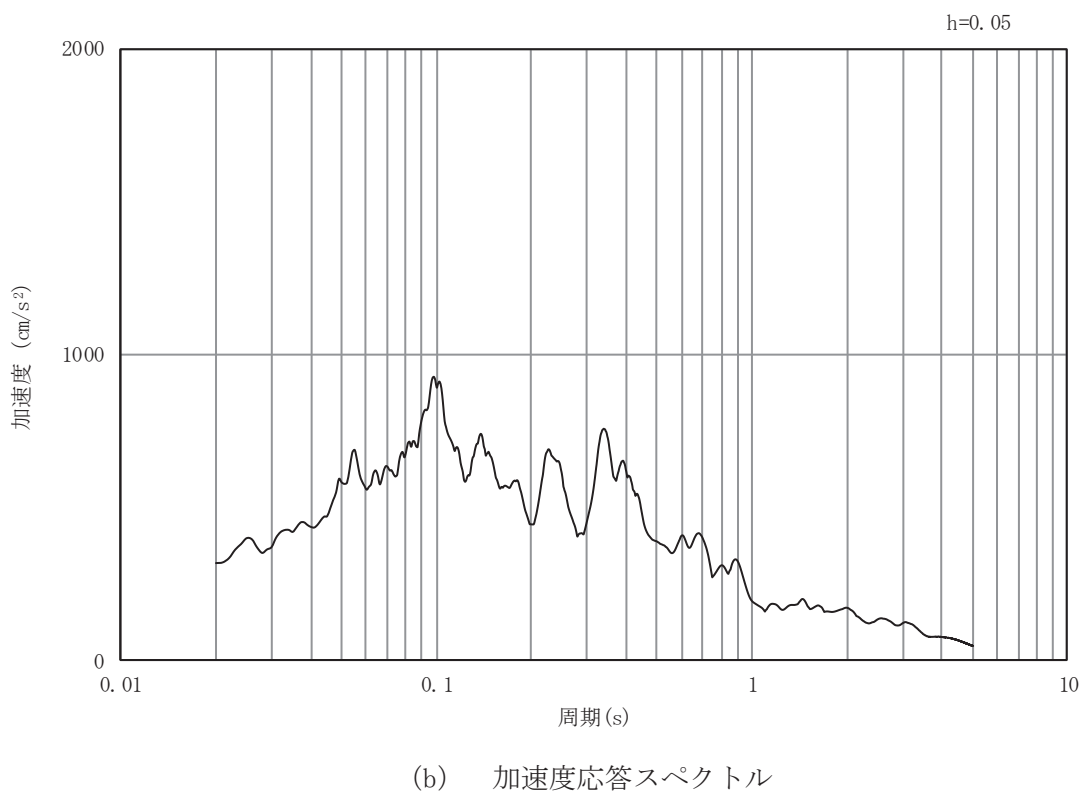


図 4-2(50) 入力地震動の加速度時刻歴波形及び加速度応答スペクトル (土砂部 (断面③))  
(鉛直成分 : S d - F 1 )



(a) 加速度時刻歴波形



(b) 加速度応答スペクトル

図 4-2(51) 入力地震動の加速度時刻歴波形及び加速度応答スペクトル (土砂部 (断面③))  
(水平成分 : S d - F 2 )

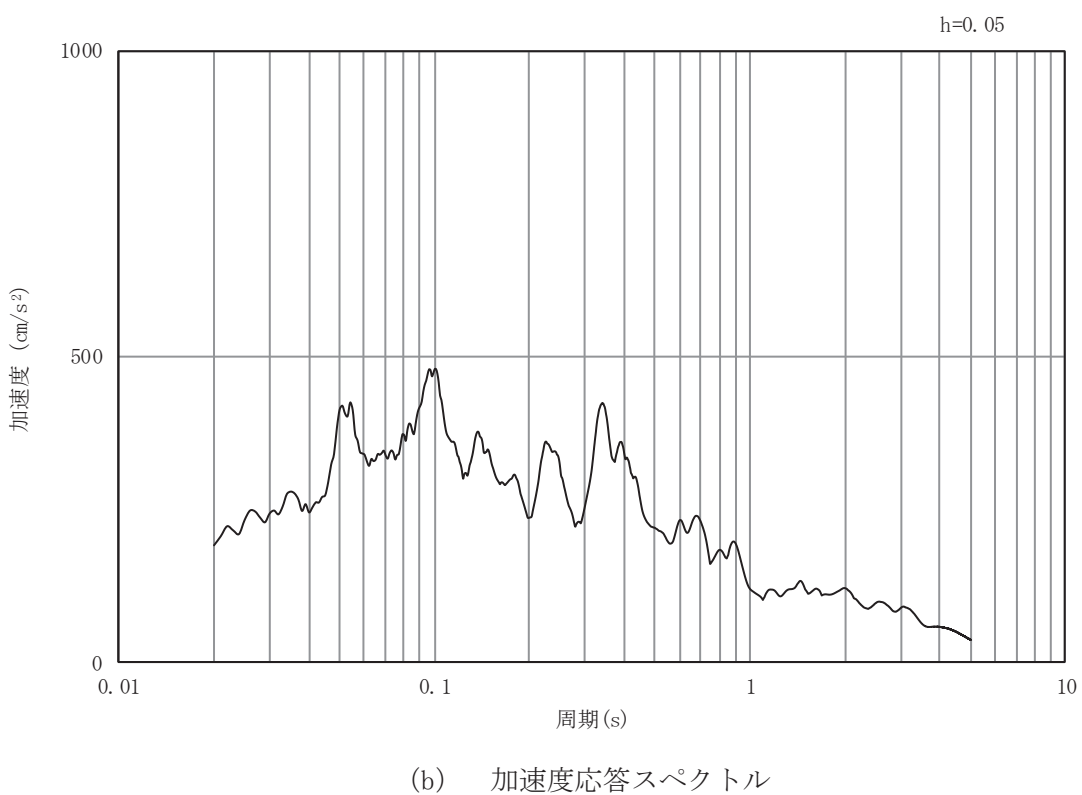
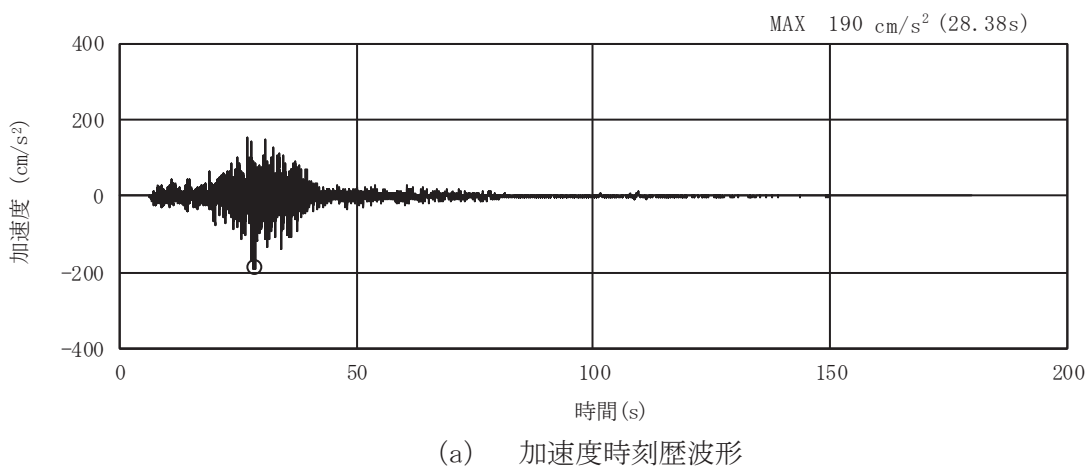
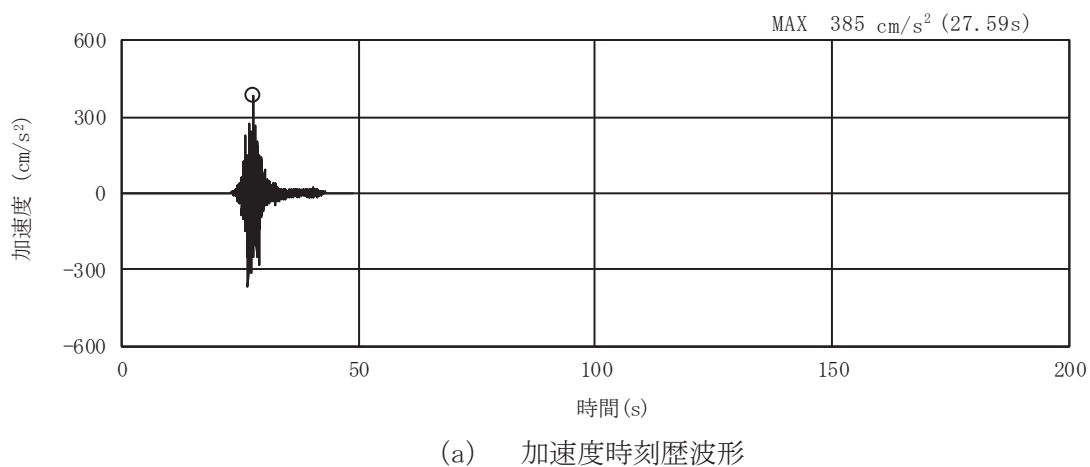
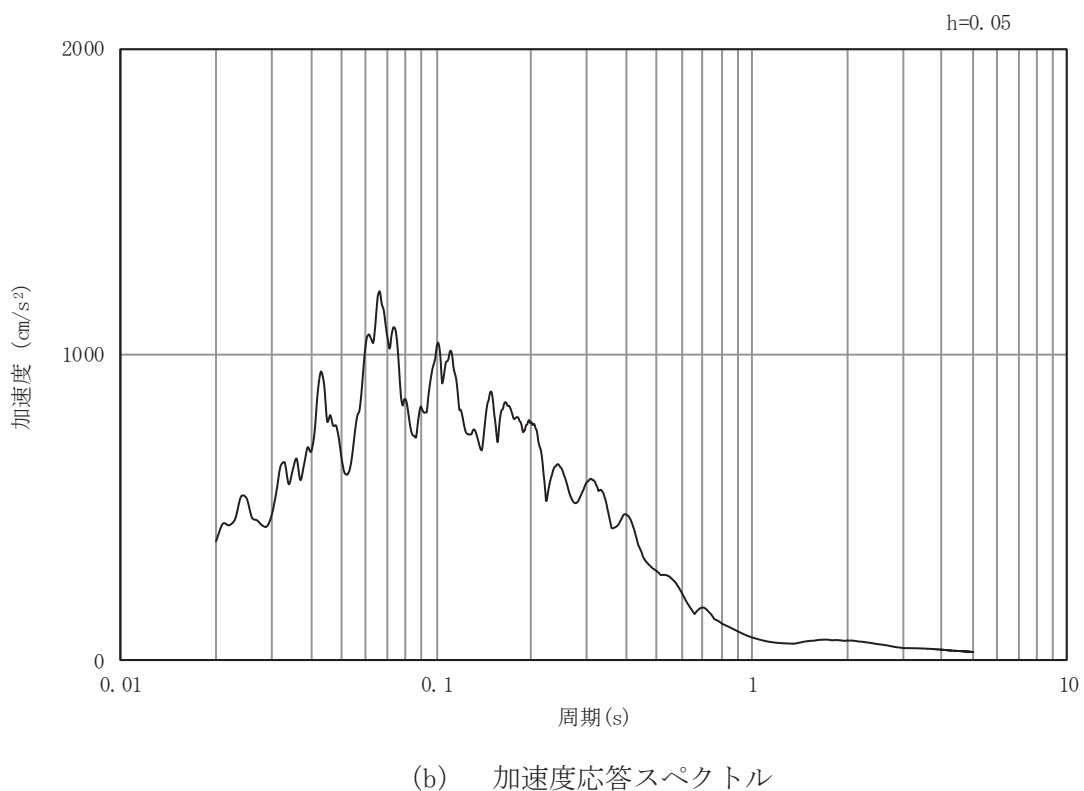


図 4-2(52) 入力地震動の加速度時刻歴波形及び加速度応答スペクトル (土砂部 (断面③))  
(鉛直成分 : S d - F 2 )



(a) 加速度時刻歴波形



(b) 加速度応答スペクトル

図 4-2(53) 入力地震動の加速度時刻歴波形及び加速度応答スペクトル (土砂部 (断面③))  
(水平成分 : S d - F 3 )

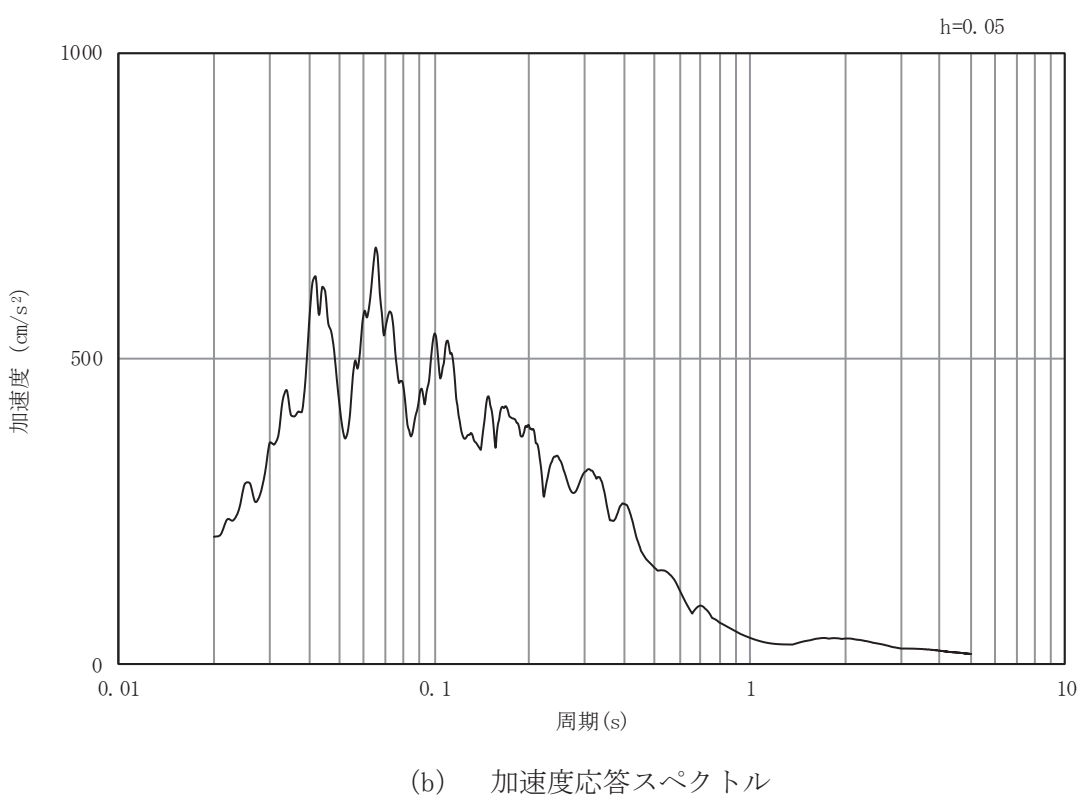
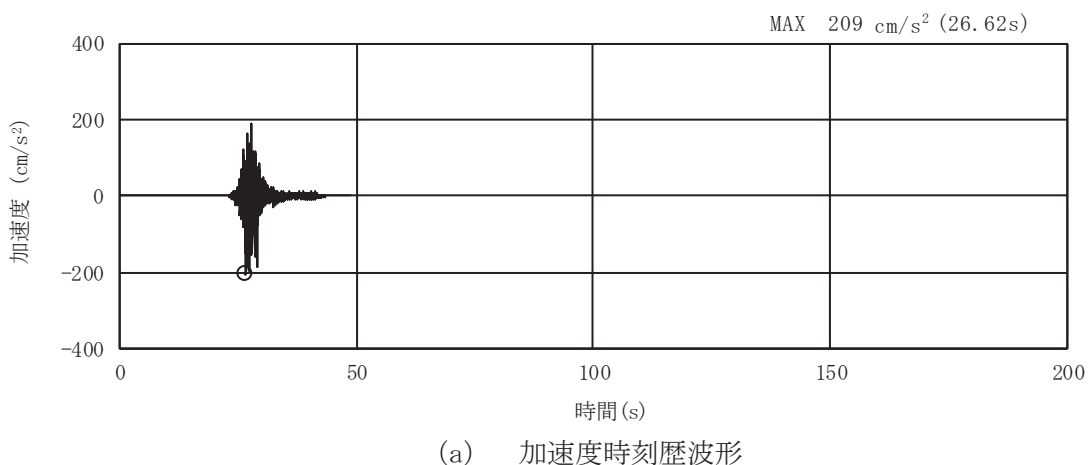


図 4-2(54) 入力地震動の加速度時刻歴波形及び加速度応答スペクトル (土砂部 (断面③))  
(鉛直成分 : S d - F 3 )

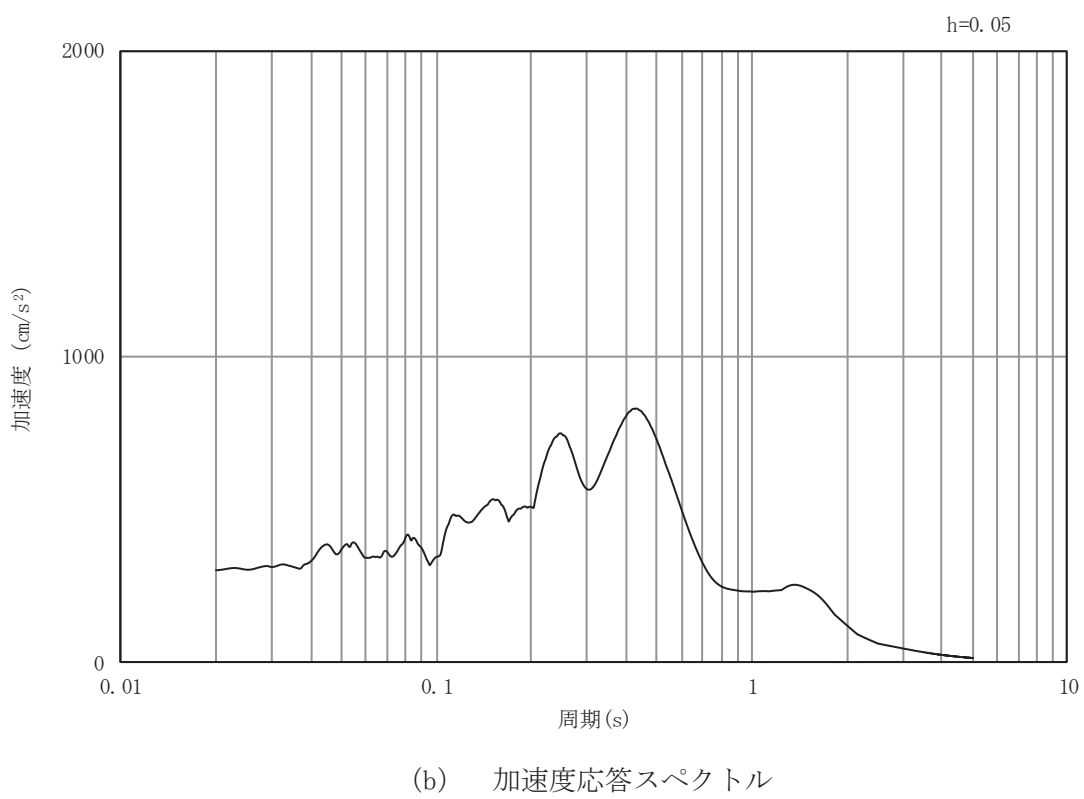
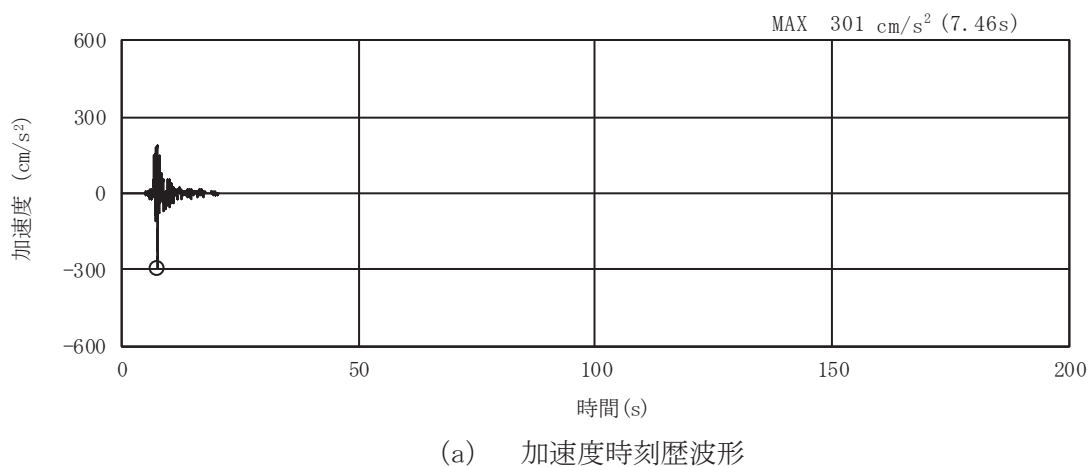
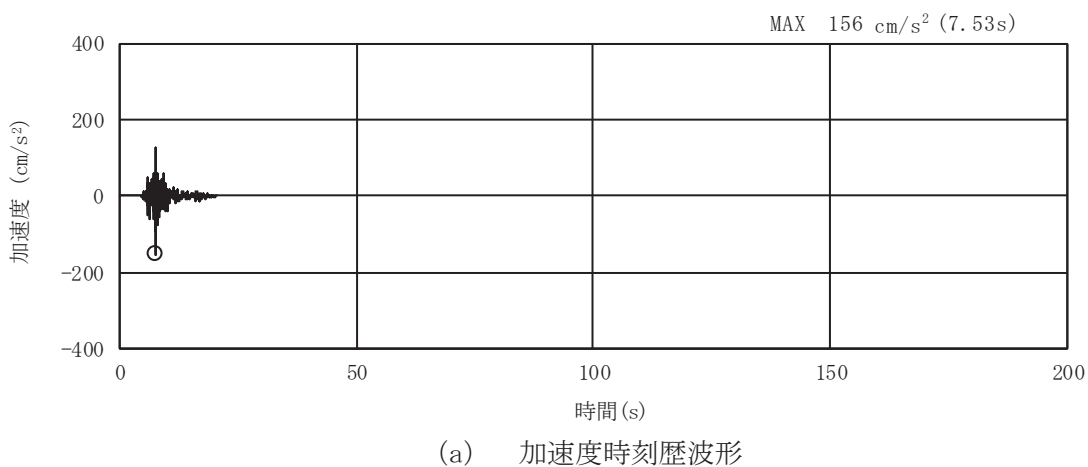
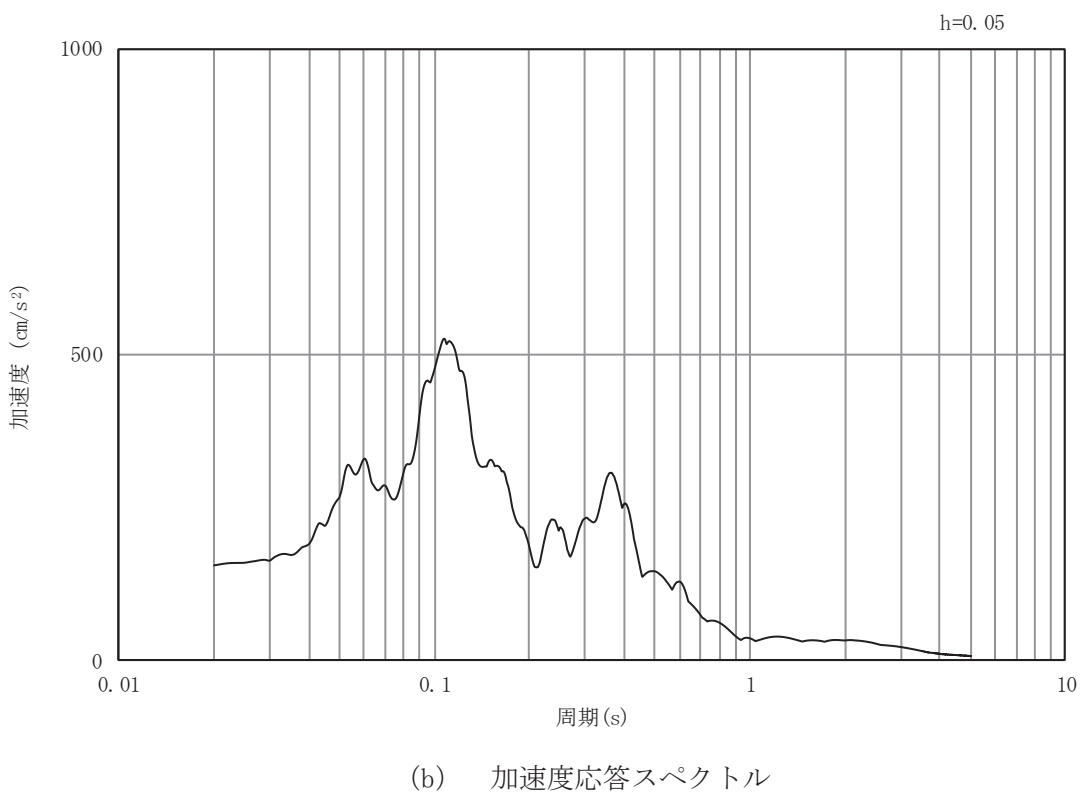


図 4-2(55) 入力地震動の加速度時刻歴波形及び加速度応答スペクトル (土砂部 (断面③))  
(水平成分 : S d - N 1 )



(a) 加速度時刻歴波形



(b) 加速度応答スペクトル

図 4-2(56) 入力地震動の加速度時刻歴波形及び加速度応答スペクトル (土砂部 (断面③))  
(鉛直成分 : S d - N 1 )

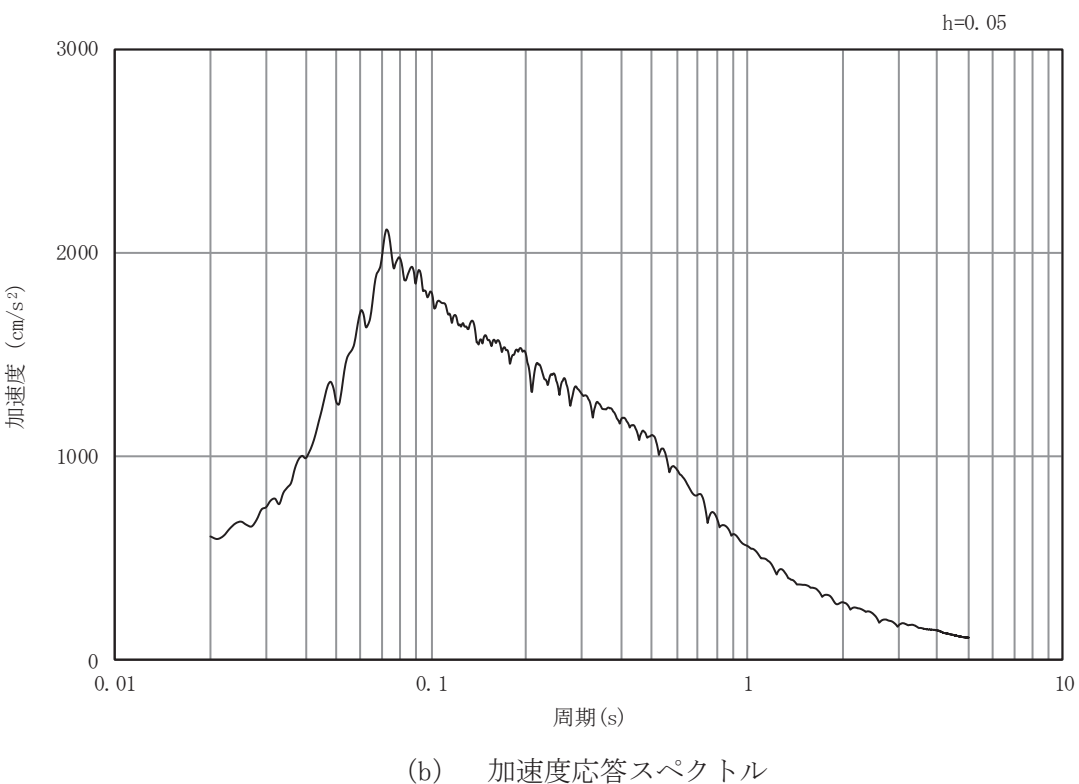
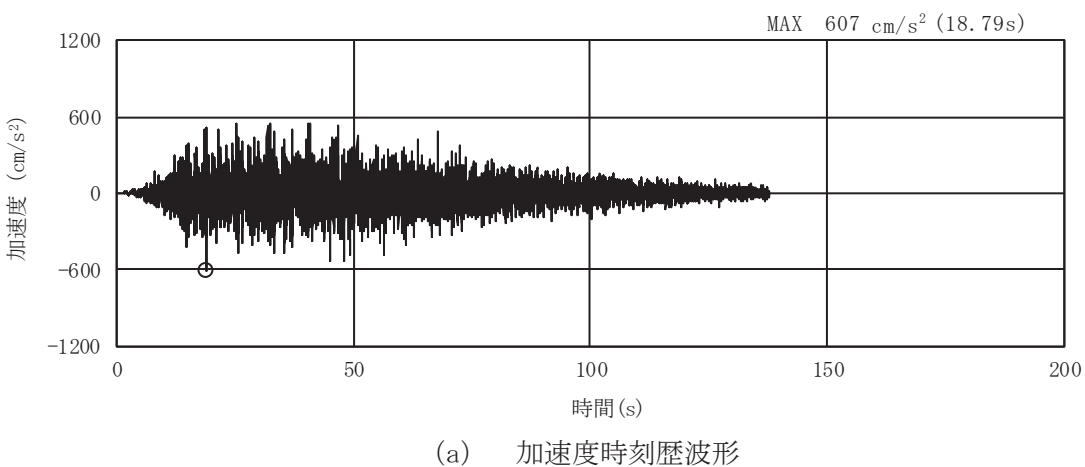
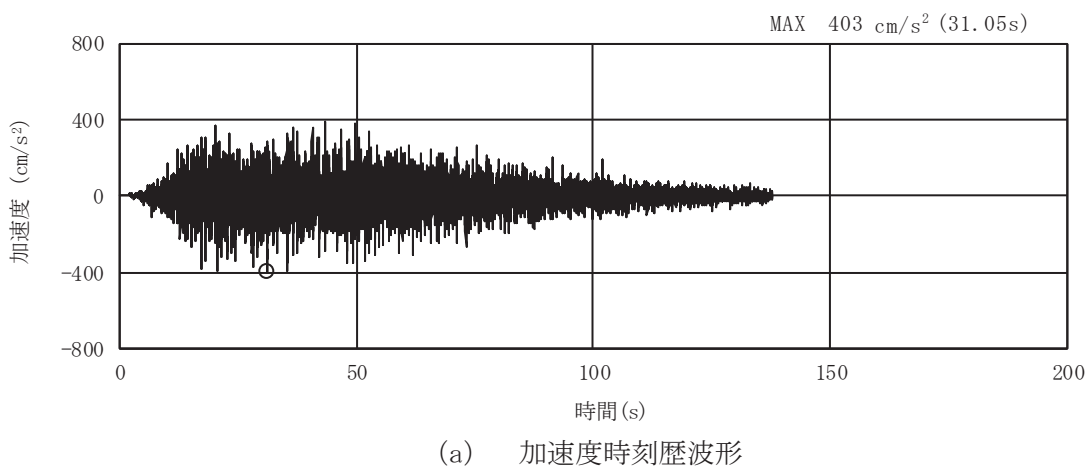
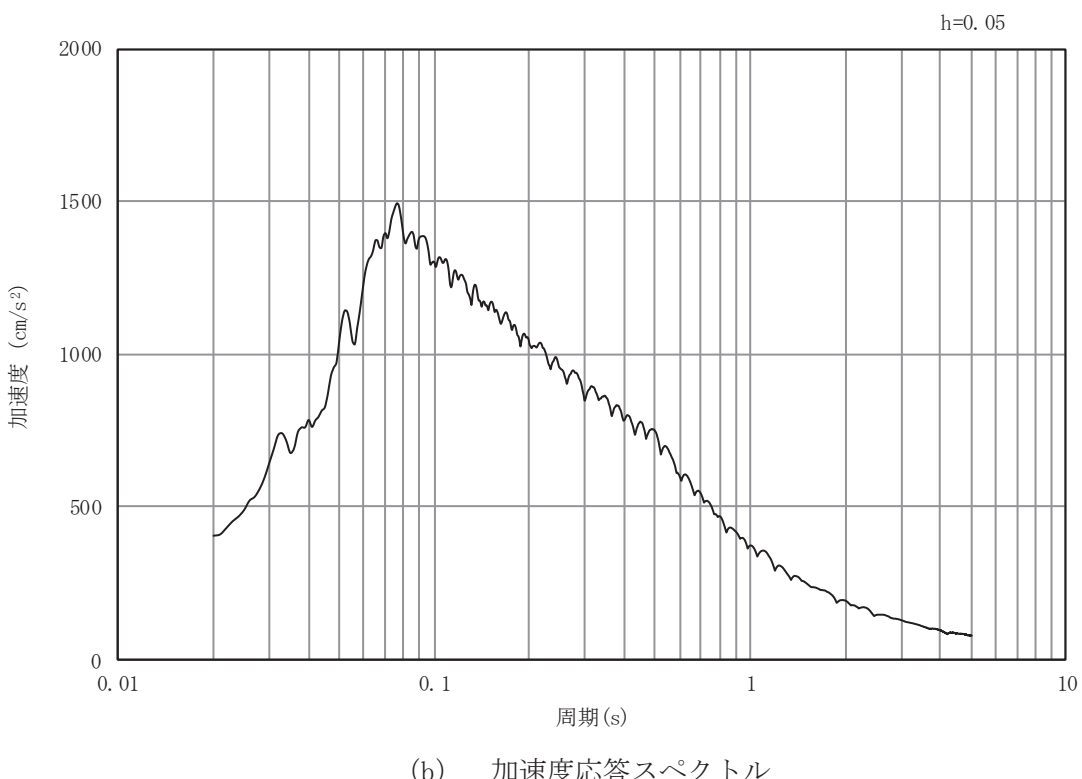


図 4-2(57) 入力地震動の加速度時刻歴波形及び加速度応答スペクトル (岩盤部 (断面⑤))  
(水平成分 : S s-D 1)

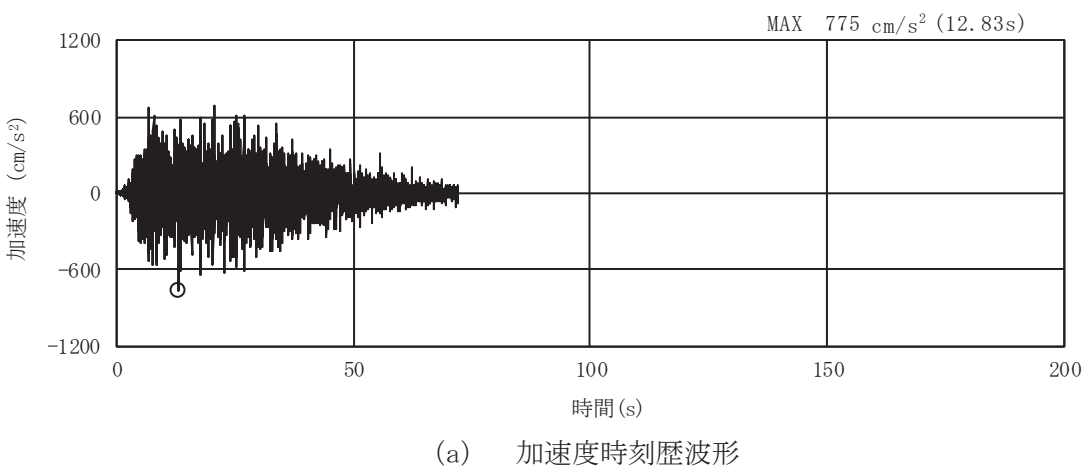


(a) 加速度時刻歴波形

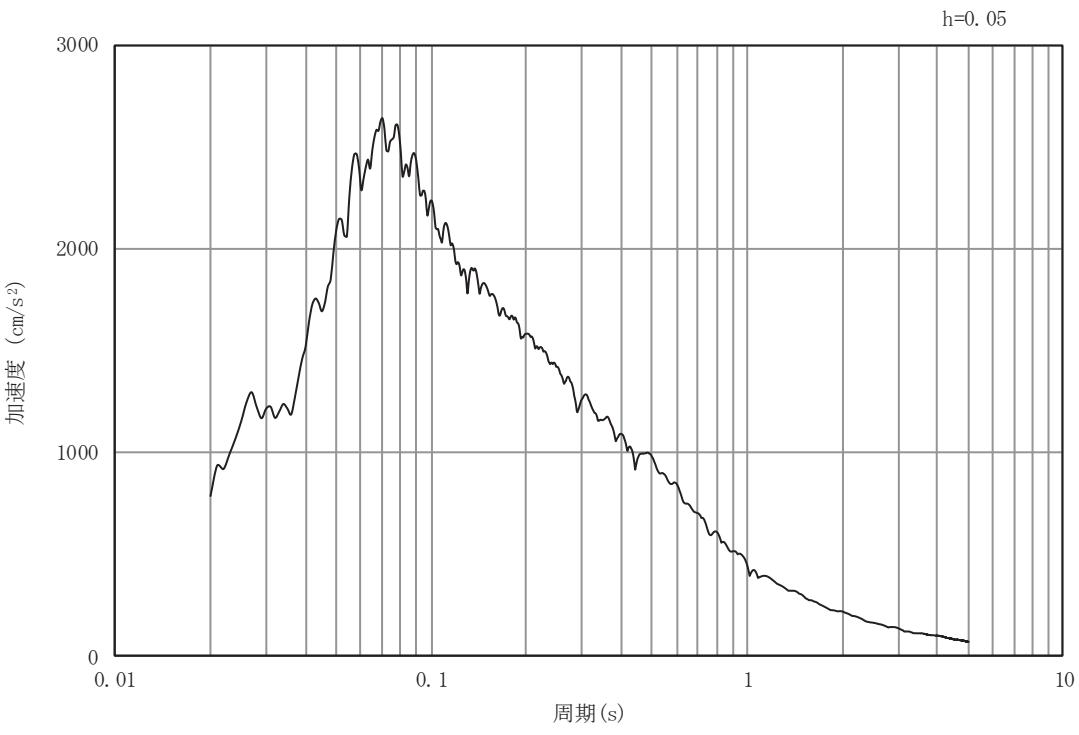


(b) 加速度応答スペクトル

図4-2(58) 入力地震動の加速度時刻歴波形及び加速度応答スペクトル (岩盤部 (断面⑤))  
(鉛直成分 : S s-D 1)



(a) 加速度時刻歴波形



(b) 加速度応答スペクトル

図4-2(59) 入力地震動の加速度時刻歴波形及び加速度応答スペクトル (岩盤部 (断面⑤))  
(水平成分 : S s-D 2)

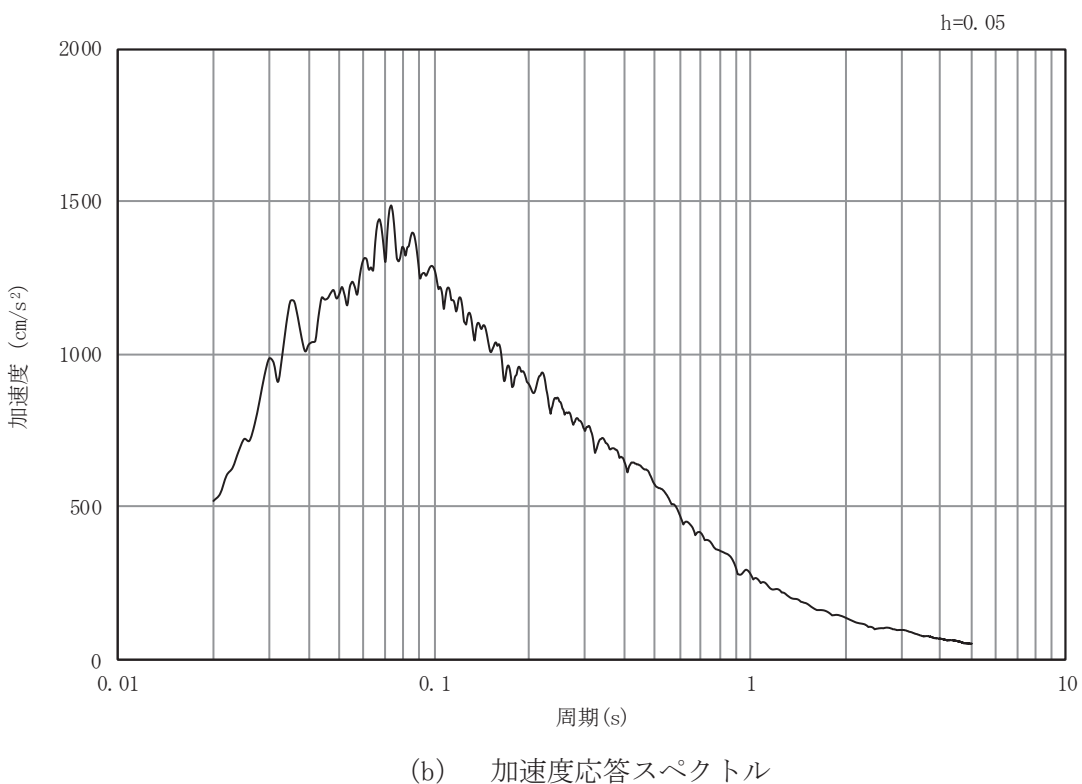
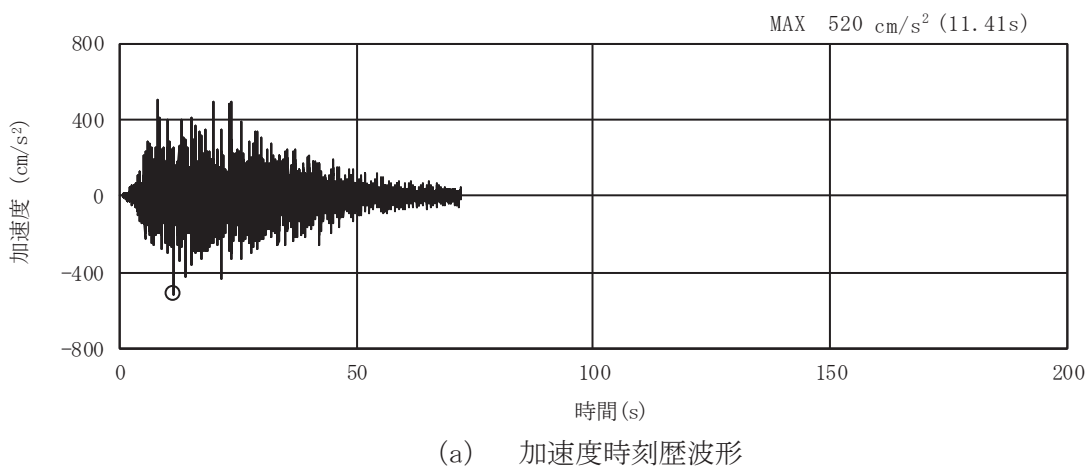
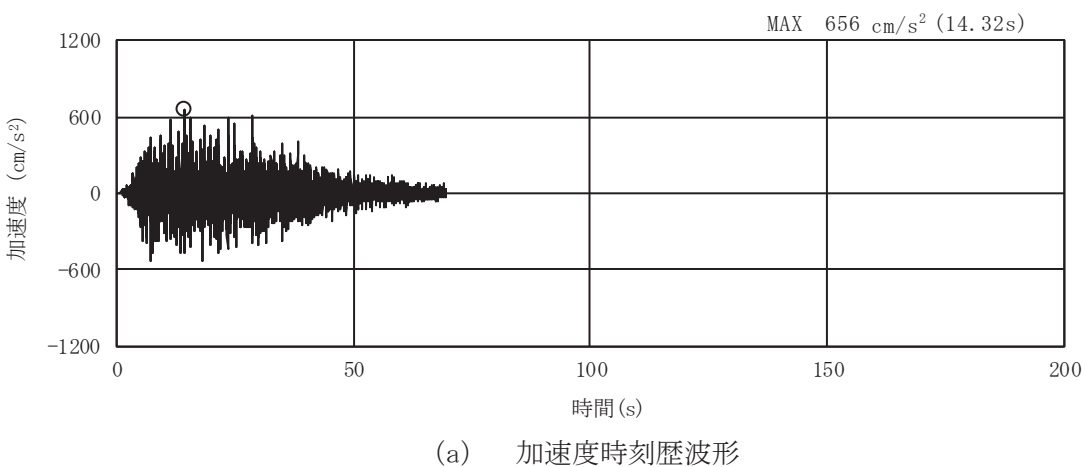
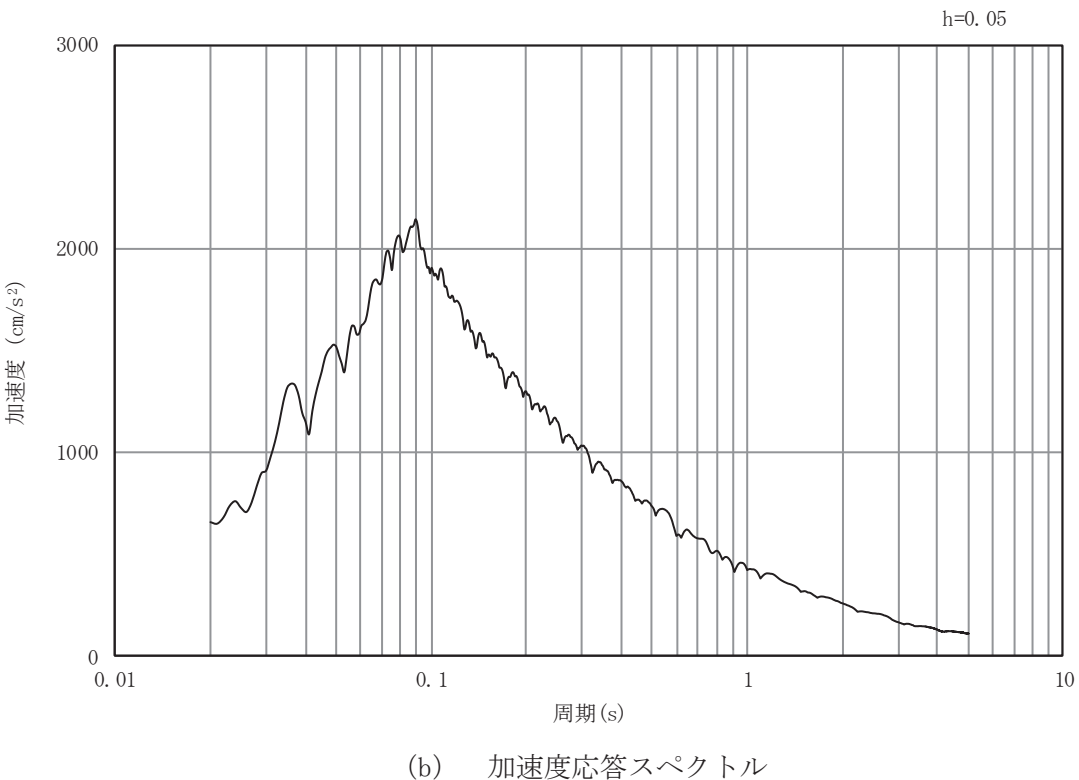


図4-2(60) 入力地震動の加速度時刻歴波形及び加速度応答スペクトル (岩盤部 (断面⑤))  
(鉛直成分 : S s-D 2)



(a) 加速度時刻歴波形



(b) 加速度応答スペクトル

図4-2(61) 入力地震動の加速度時刻歴波形及び加速度応答スペクトル (岩盤部 (断面⑤))  
(水平成分 : S s-D 3)

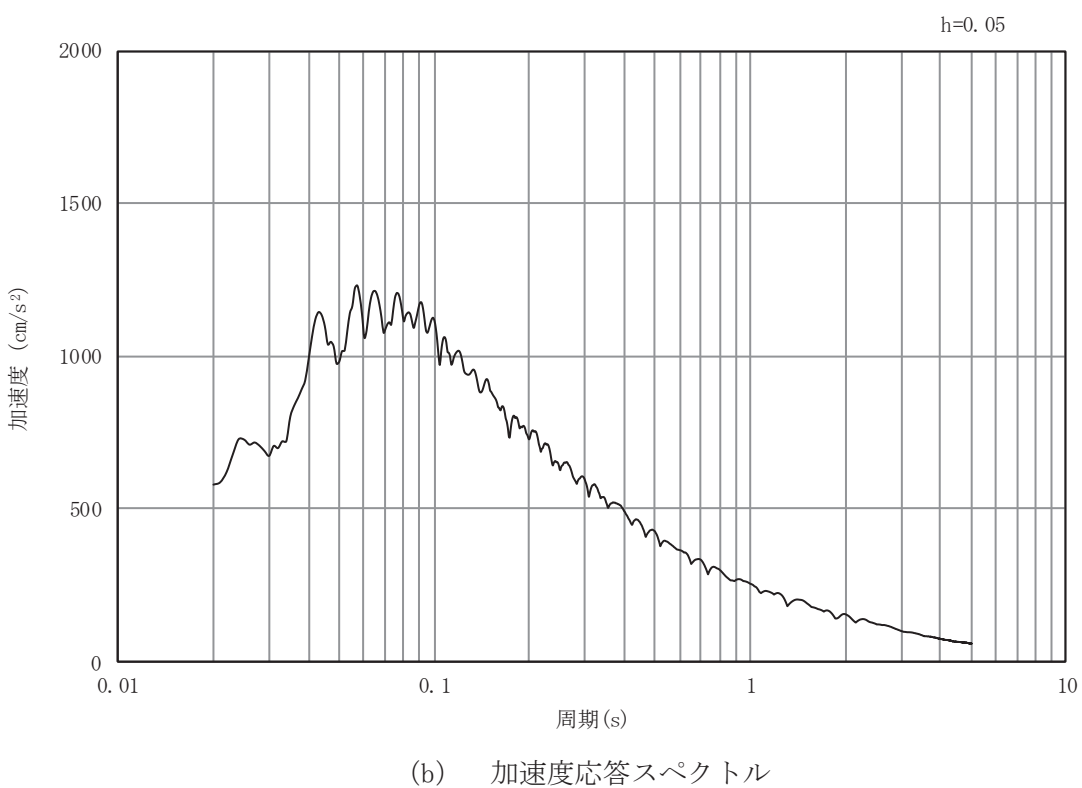
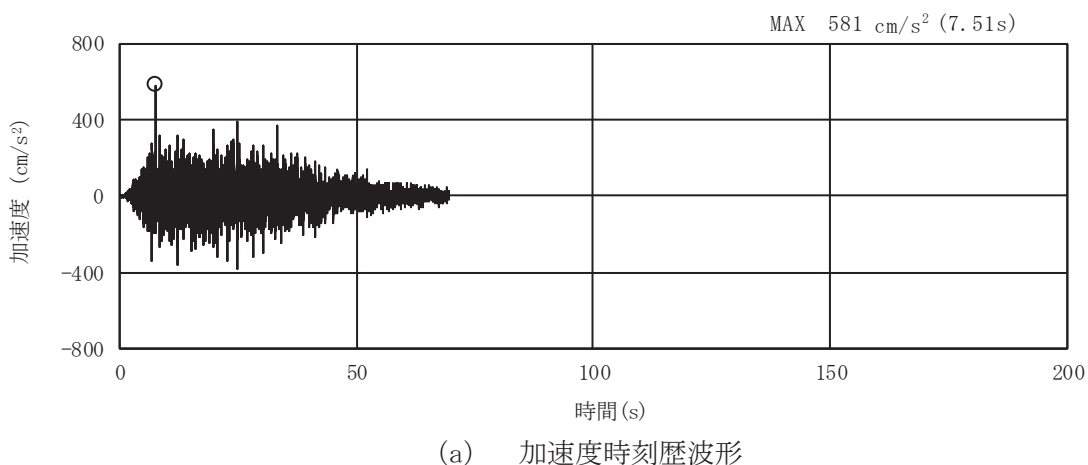


図4-2(62) 入力地震動の加速度時刻歴波形及び加速度応答スペクトル (岩盤部 (断面⑤))  
(鉛直成分 : S s-D 3)

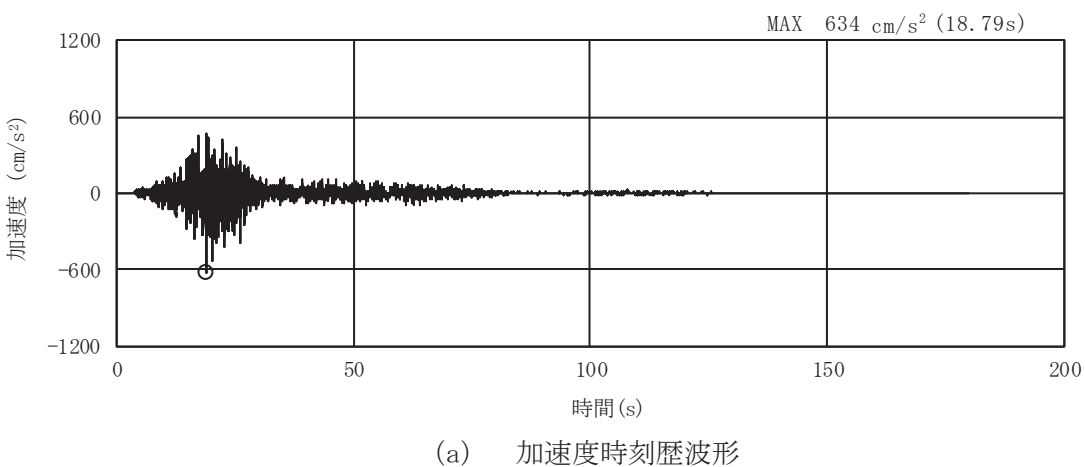


図4-2(63) 入力地震動の加速度時刻歴波形及び加速度応答スペクトル (岩盤部 (断面⑤))  
(水平成分 : S s - F 1)

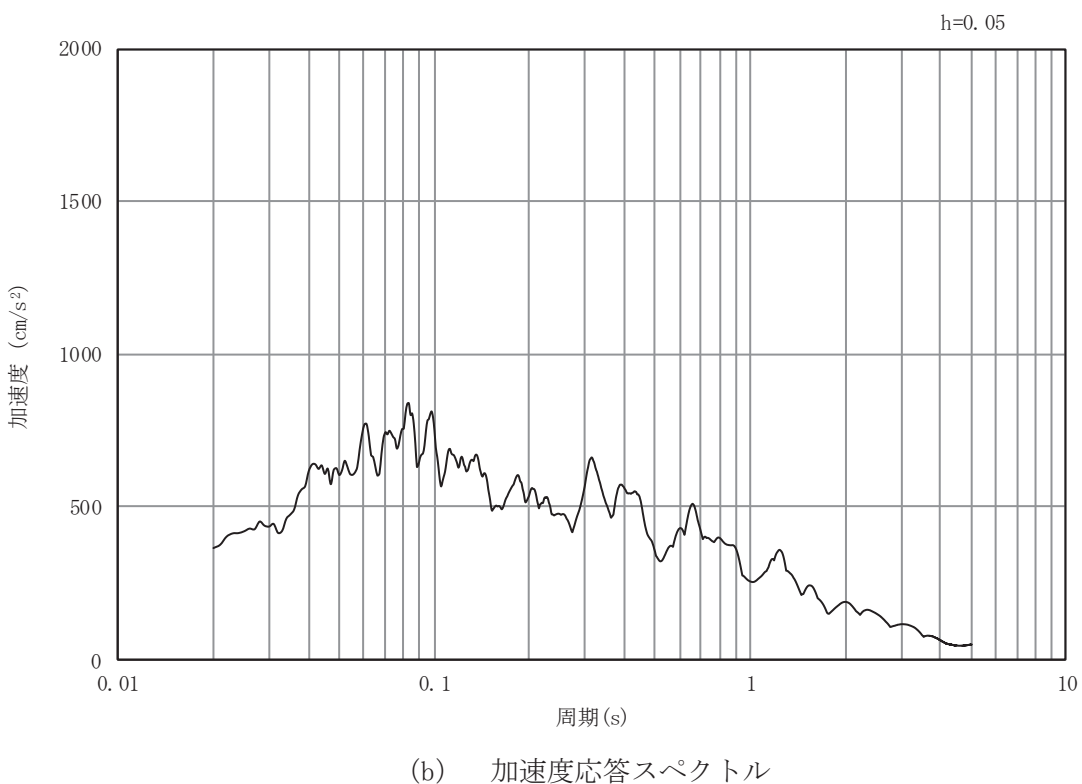
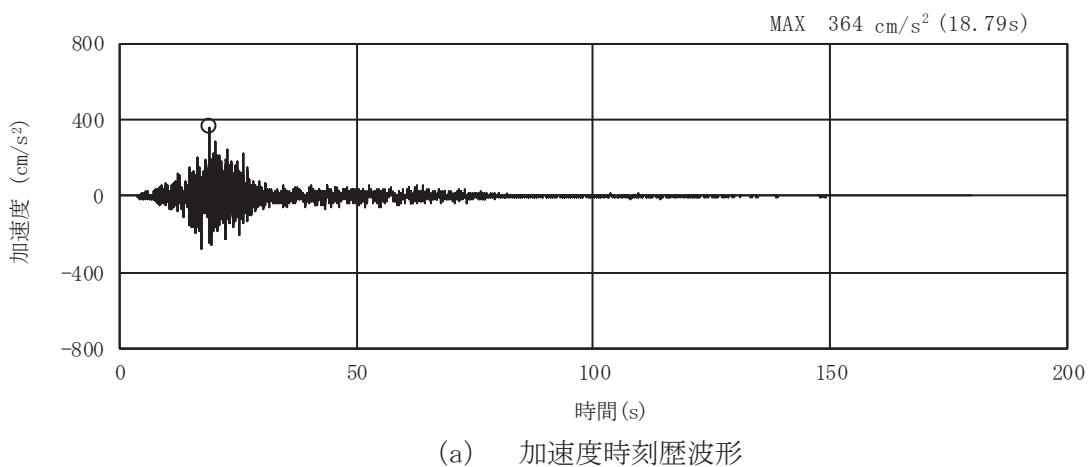
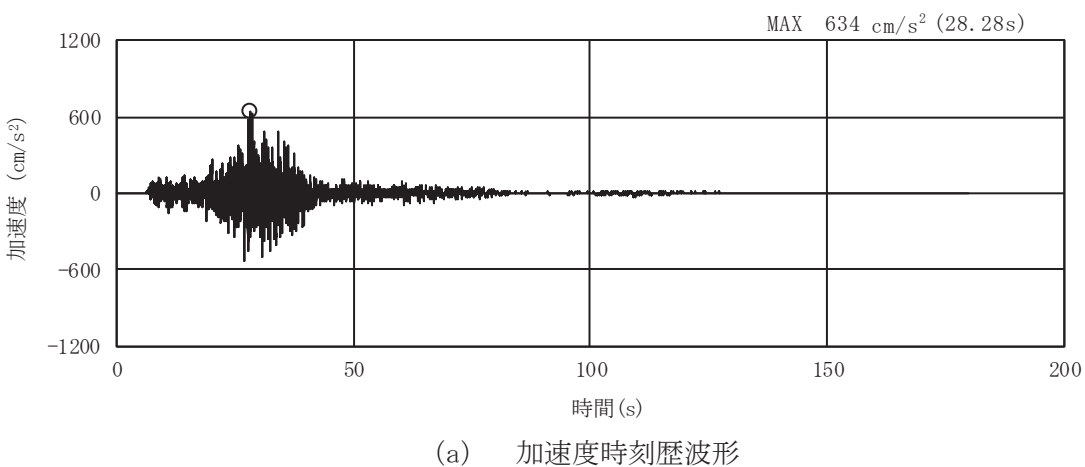
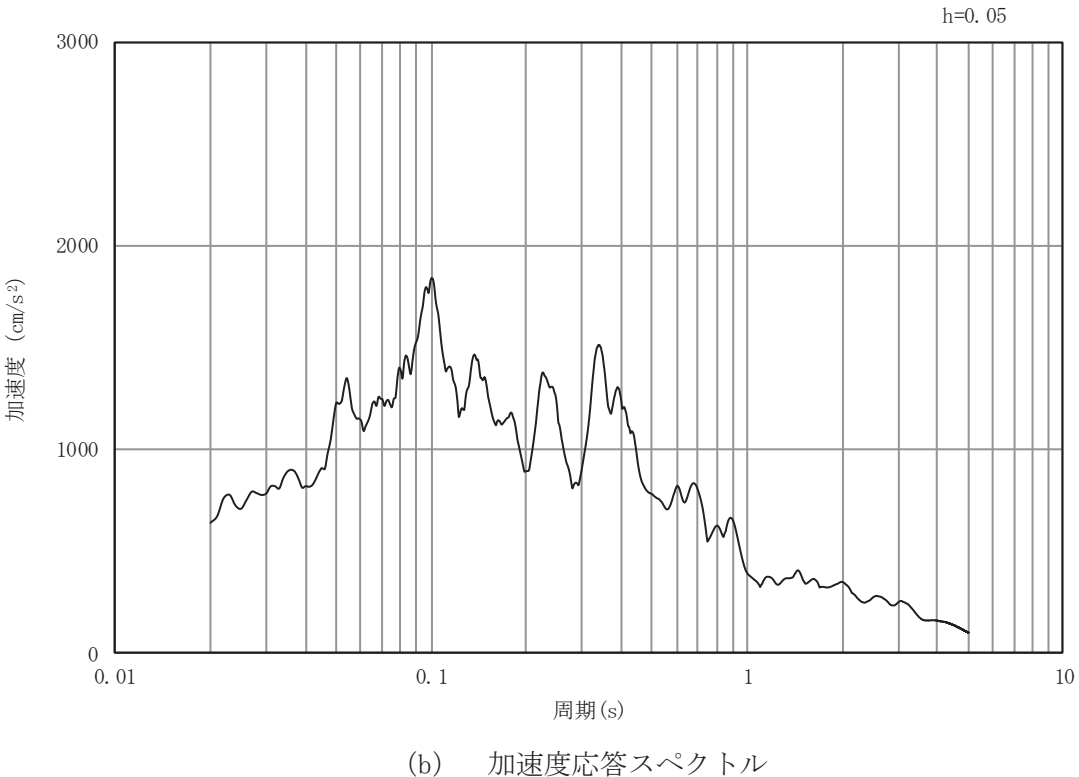


図4-2(64) 入力地震動の加速度時刻歴波形及び加速度応答スペクトル (岩盤部 (断面⑤))  
(鉛直成分 : S s - F 1)



(a) 加速度時刻歴波形



(b) 加速度応答スペクトル

図4-2(65) 入力地震動の加速度時刻歴波形及び加速度応答スペクトル (岩盤部 (断面⑤))  
(水平成分 : S s - F 2)

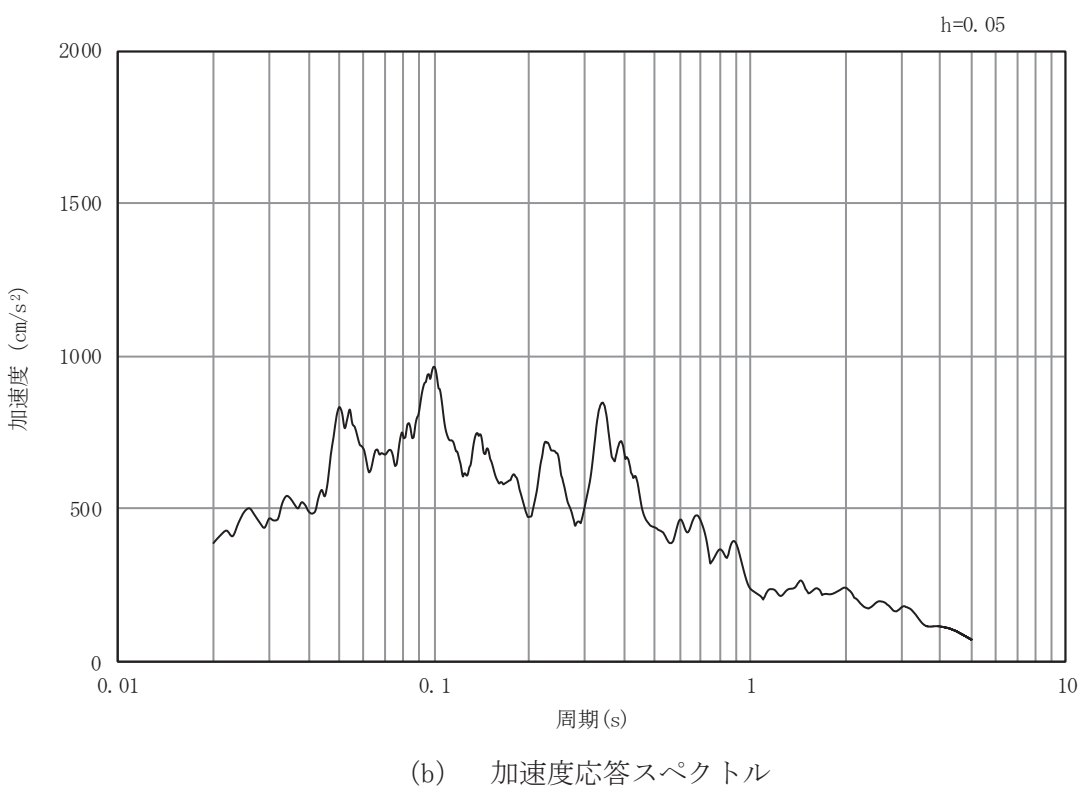
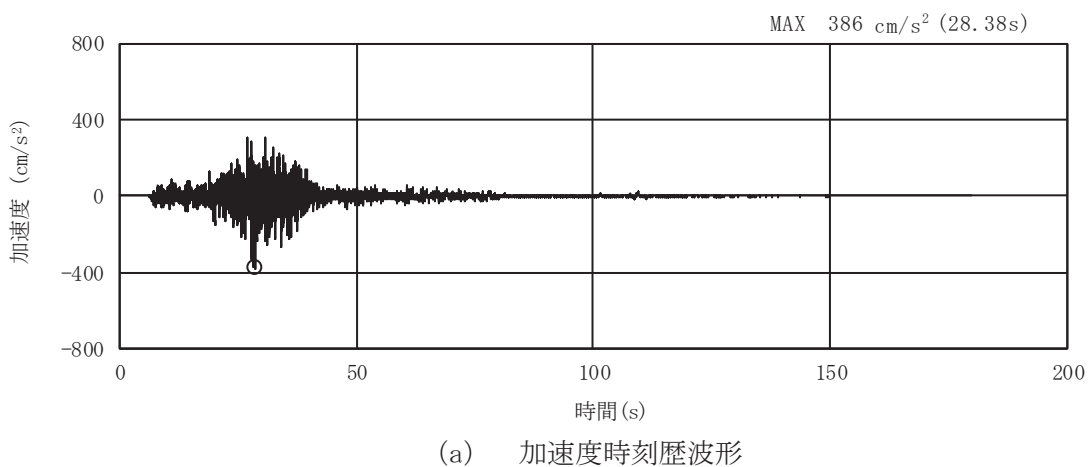


図4-2(66) 入力地震動の加速度時刻歴波形及び加速度応答スペクトル (岩盤部 (断面⑤))  
(鉛直成分 : S s - F 2)

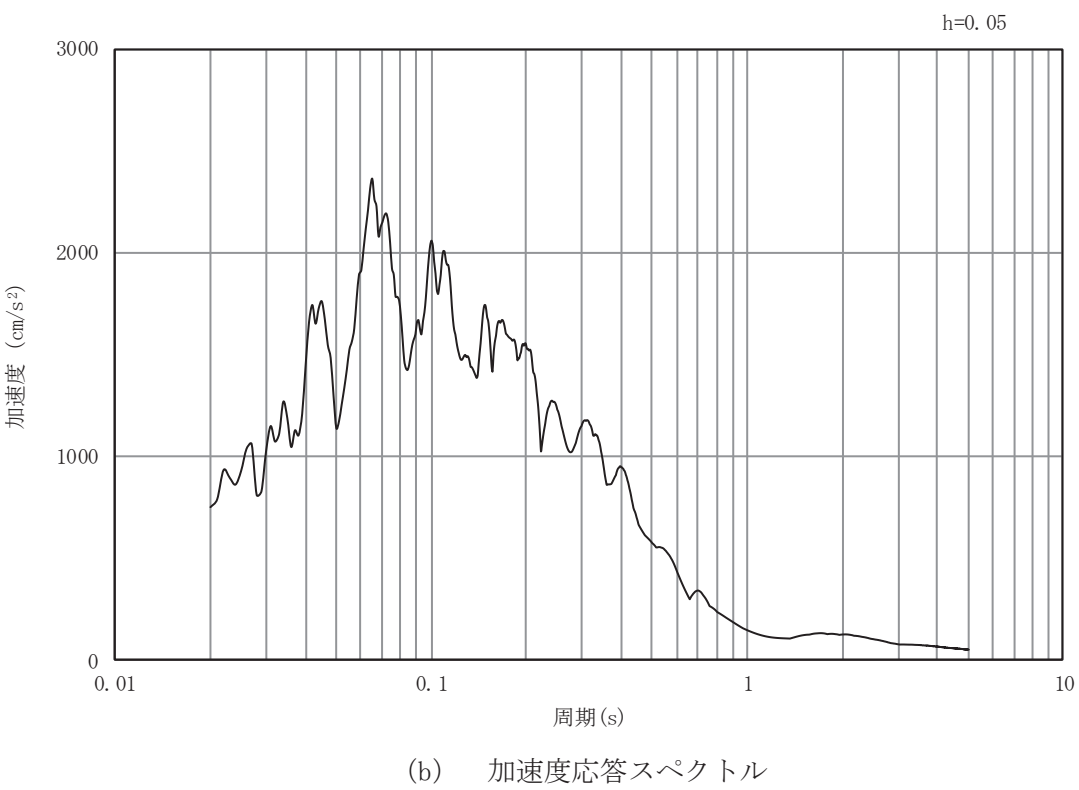
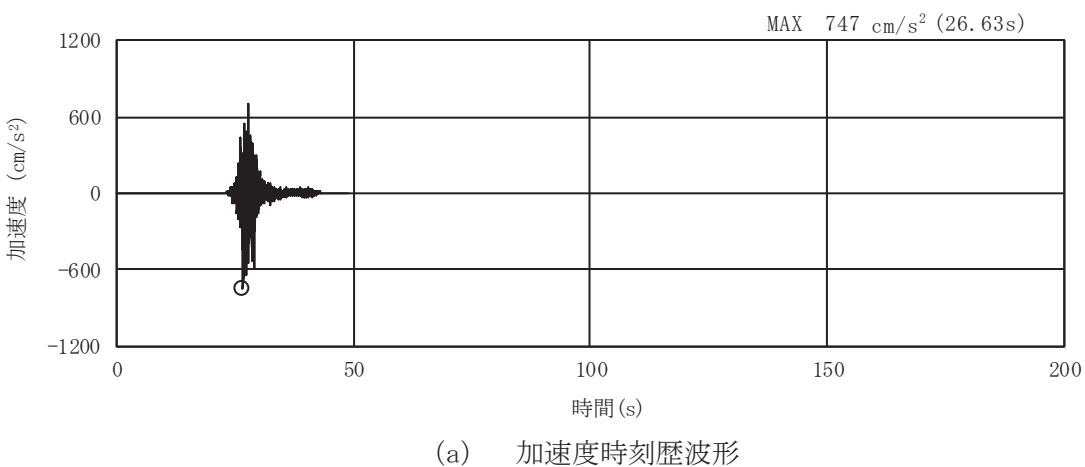


図4-2(67) 入力地震動の加速度時刻歴波形及び加速度応答スペクトル (岩盤部 (断面⑤))  
(水平成分 : S s - F 3)

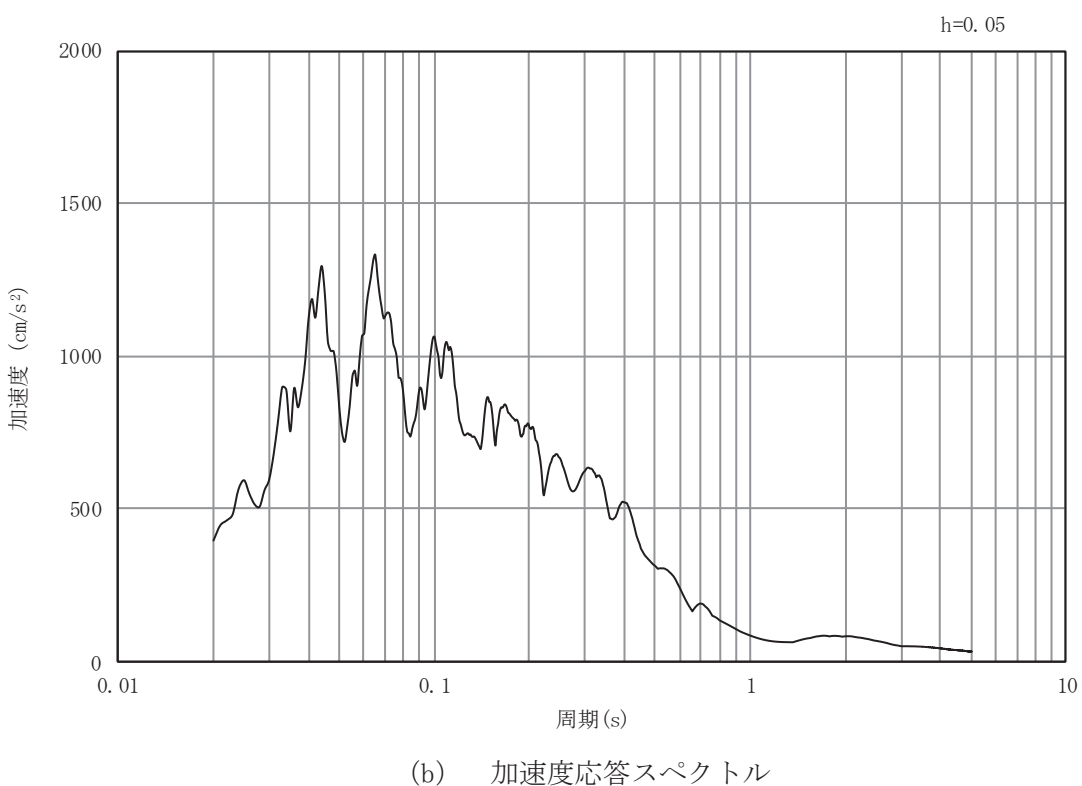
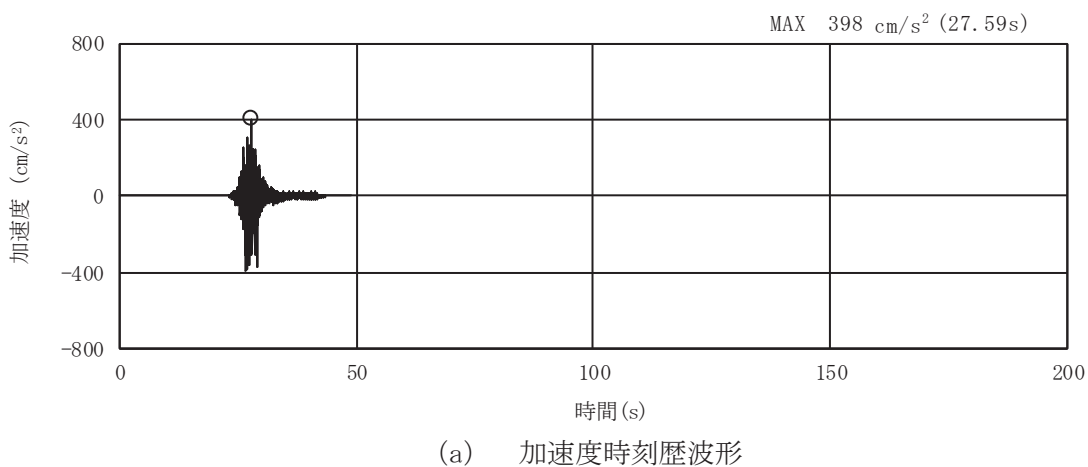


図4-2(68) 入力地震動の加速度時刻歴波形及び加速度応答スペクトル (岩盤部 (断面⑤))  
(鉛直成分 : S s - F 3)

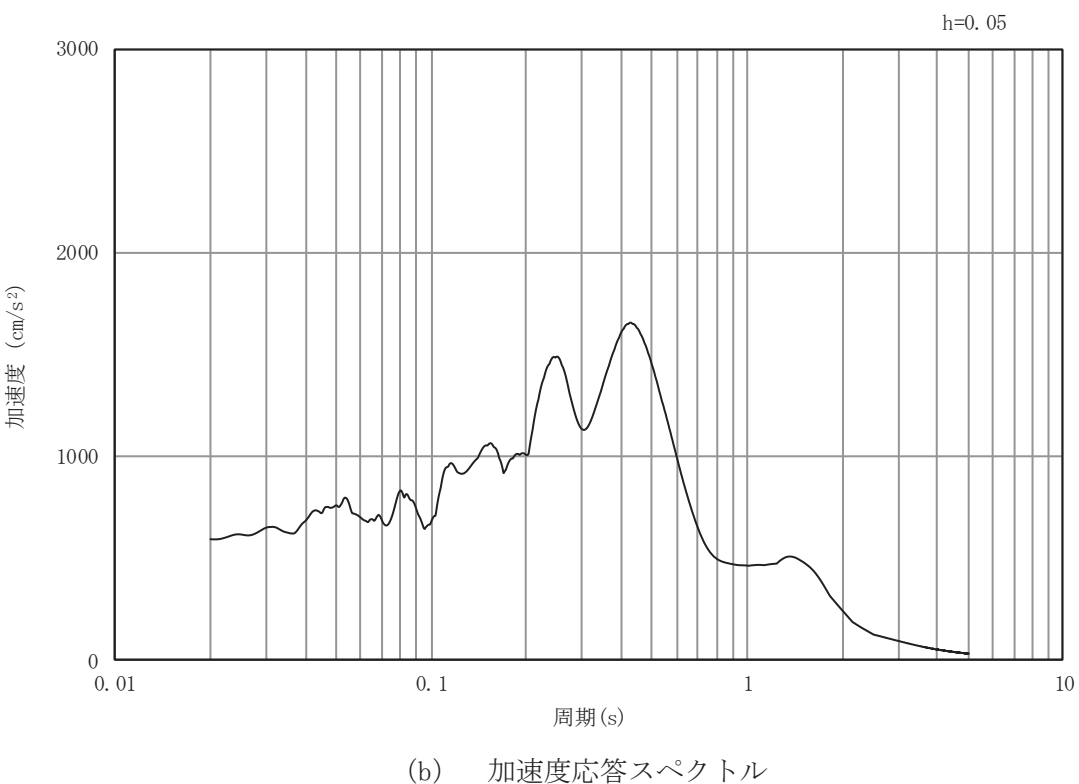
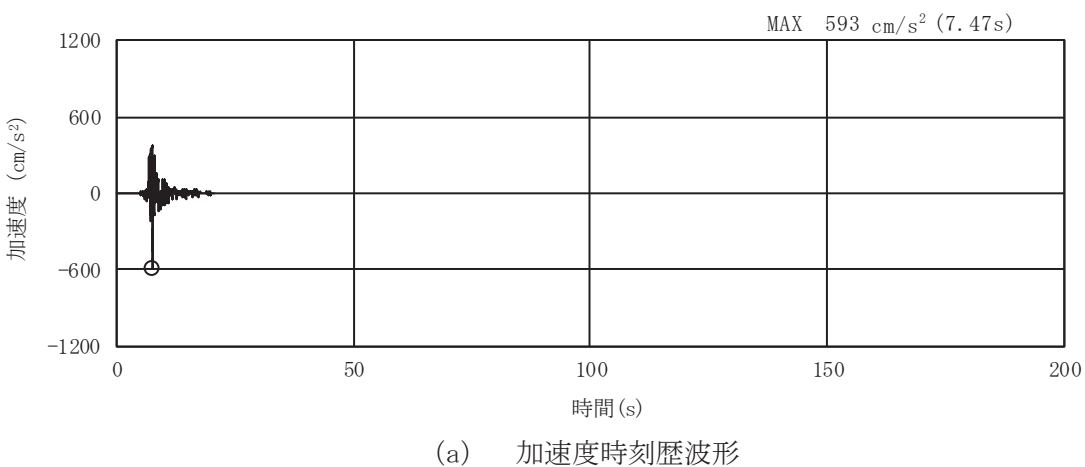


図4-2(69) 入力地震動の加速度時刻歴波形及び加速度応答スペクトル (岩盤部 (断面⑤))  
(水平成分 : S s - N )

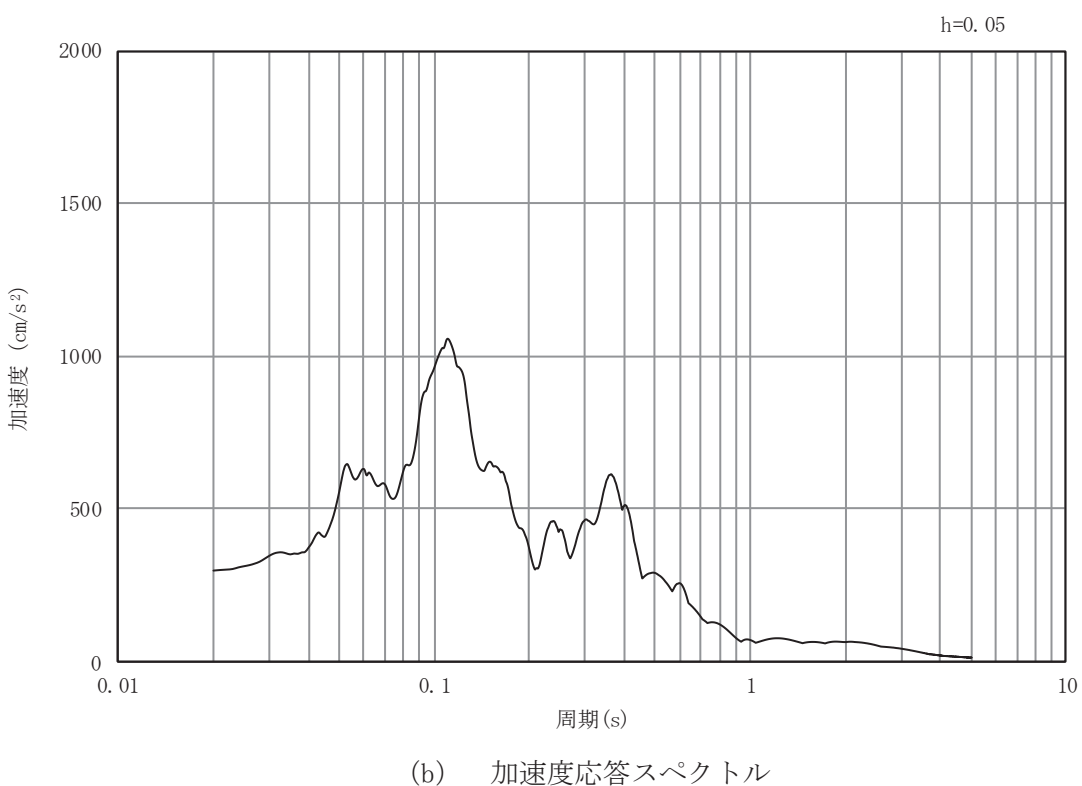
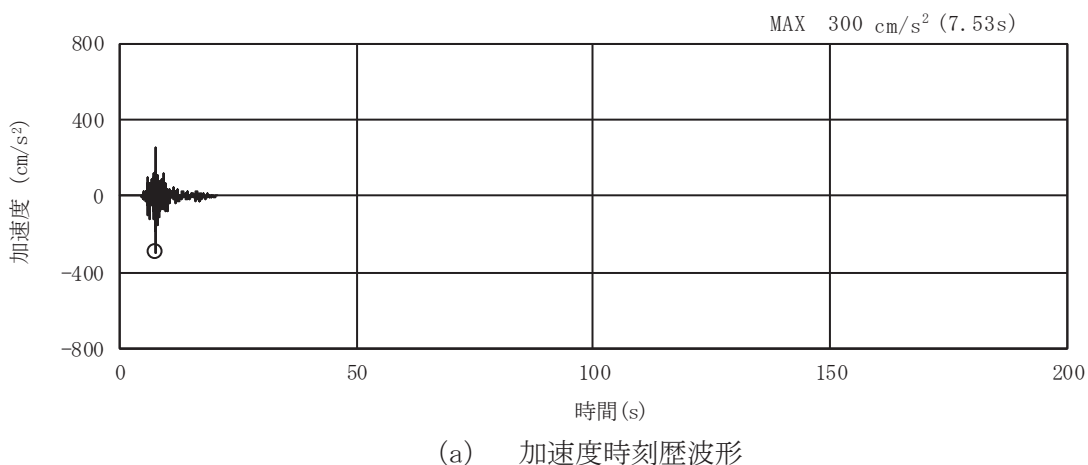
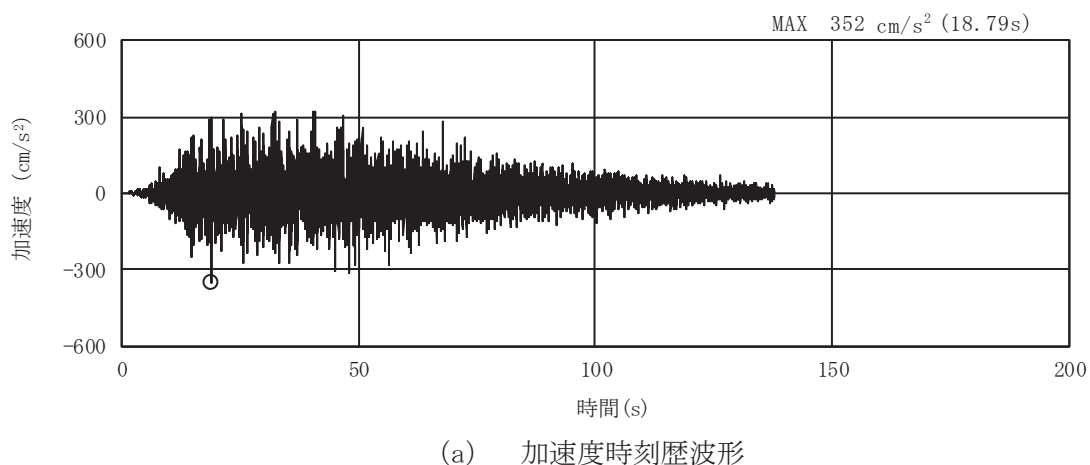
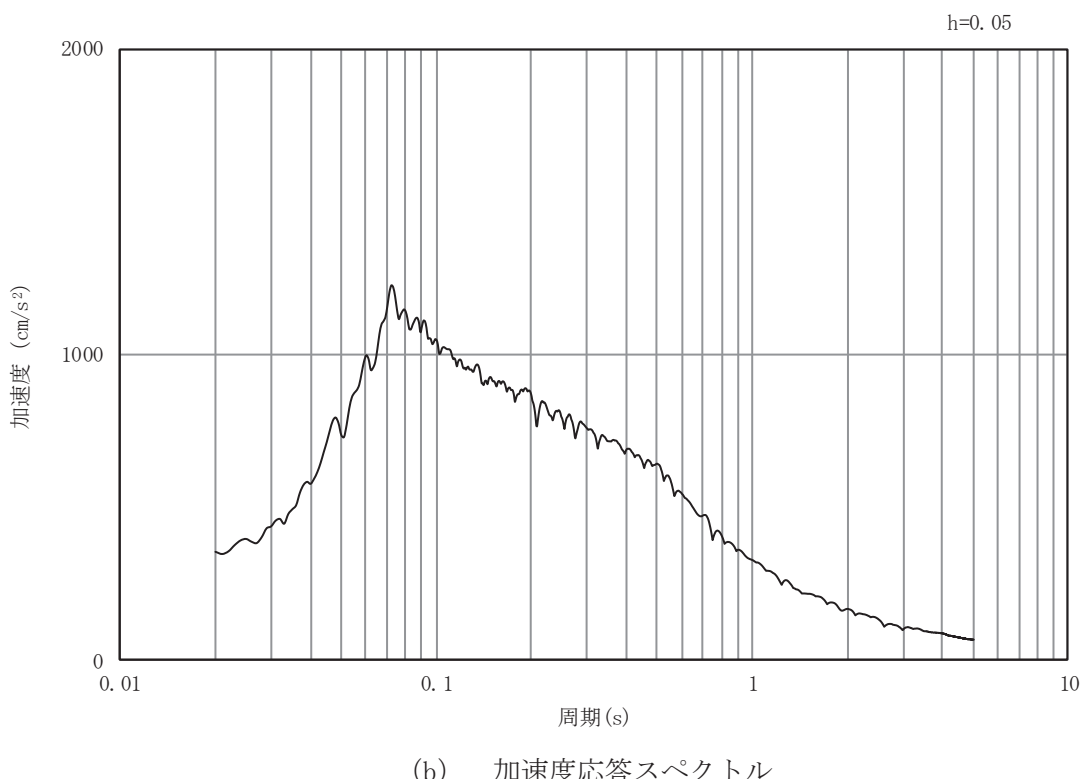


図4-2(70) 入力地震動の加速度時刻歴波形及び加速度応答スペクトル (岩盤部 (断面⑤))  
(鉛直成分 : S s - N 1)

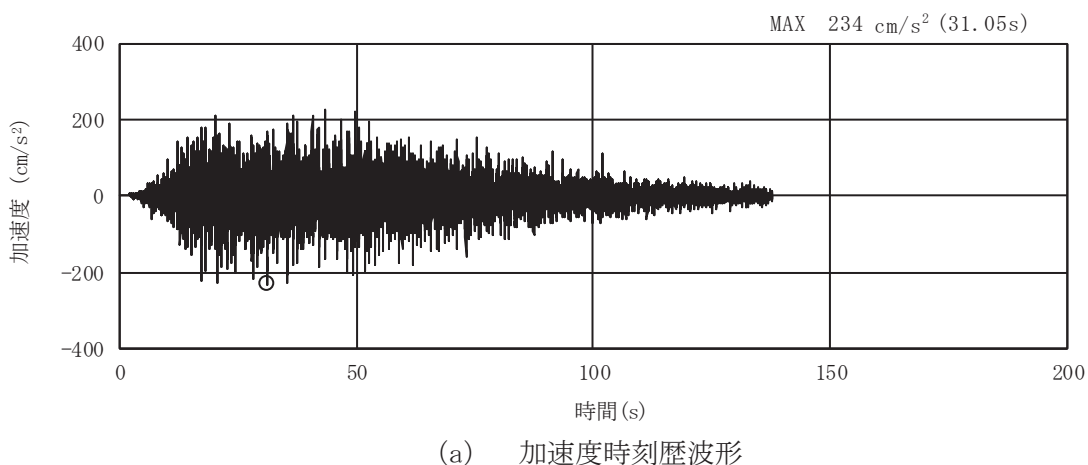


(a) 加速度時刻歴波形

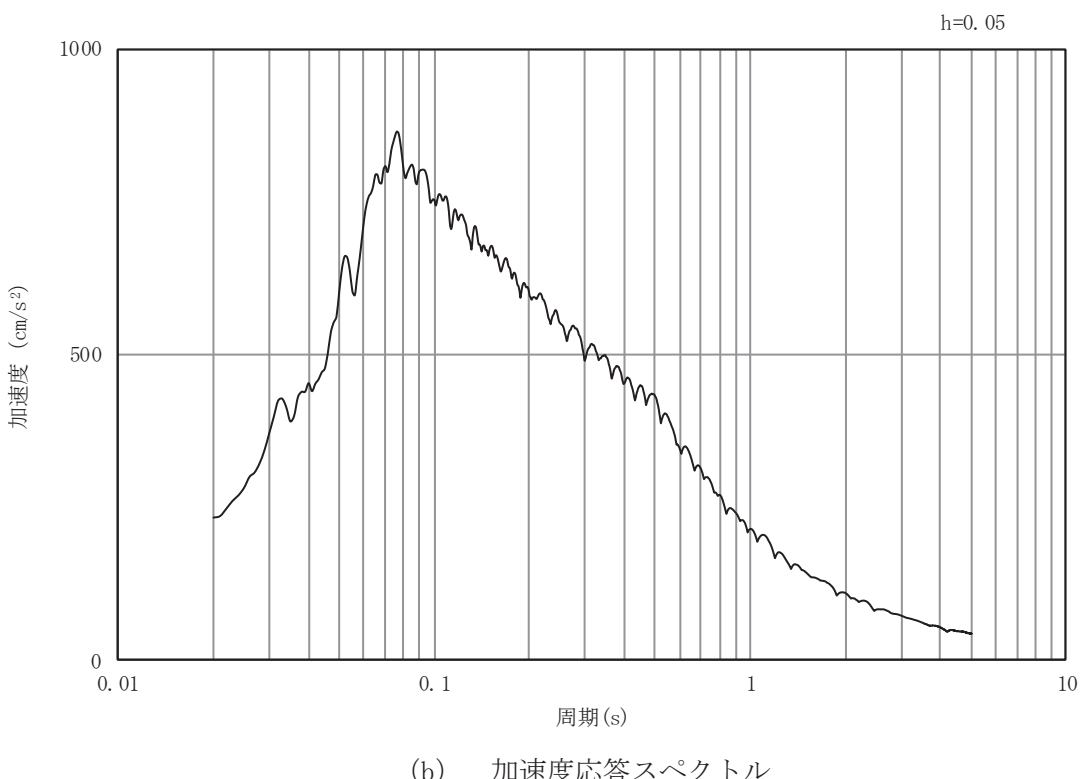


(b) 加速度応答スペクトル

図4-2(71) 入力地震動の加速度時刻歴波形及び加速度応答スペクトル (岩盤部 (断面⑤))  
(水平成分 : S d-D 1)

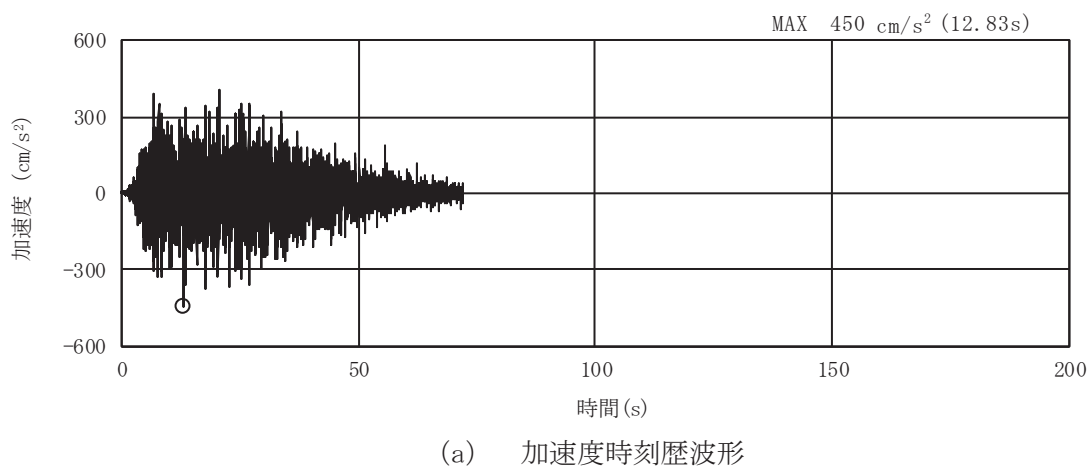


(a) 加速度時刻歴波形

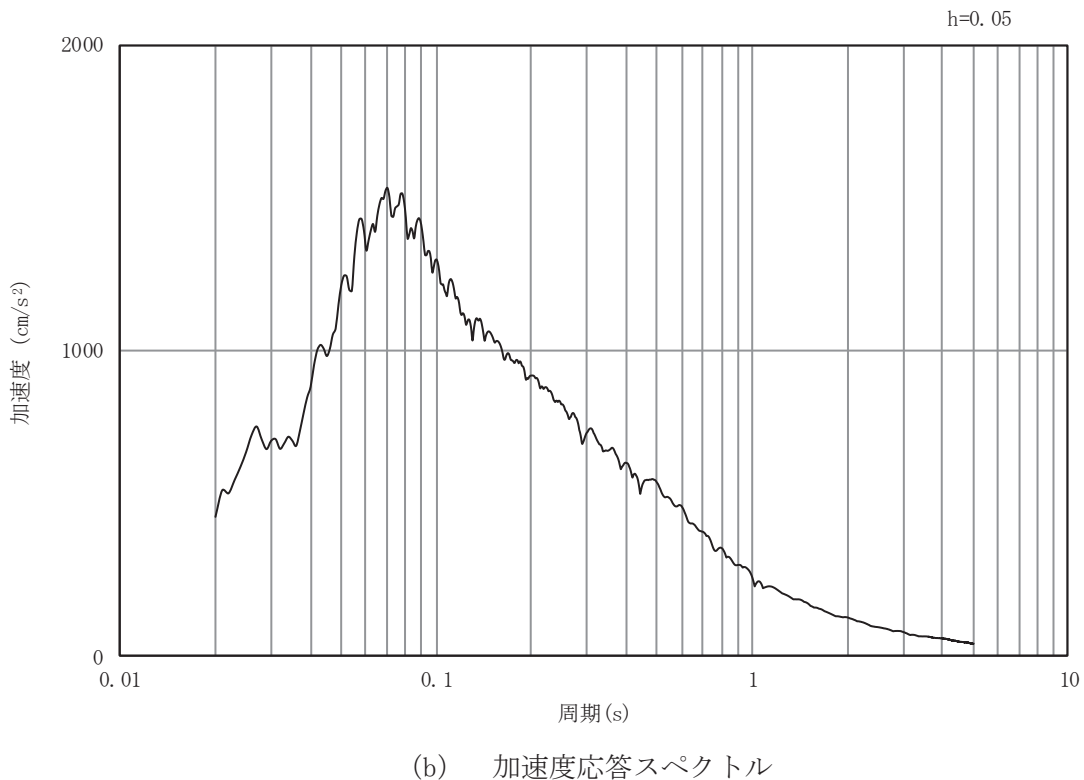


(b) 加速度応答スペクトル

図4-2(72) 入力地震動の加速度時刻歴波形及び加速度応答スペクトル (岩盤部 (断面⑤))  
(鉛直成分 : S d-D 1)



(a) 加速度時刻歴波形



(b) 加速度応答スペクトル

図4-2(73) 入力地震動の加速度時刻歴波形及び加速度応答スペクトル (岩盤部 (断面⑤))  
(水平成分 : S d-D 2)

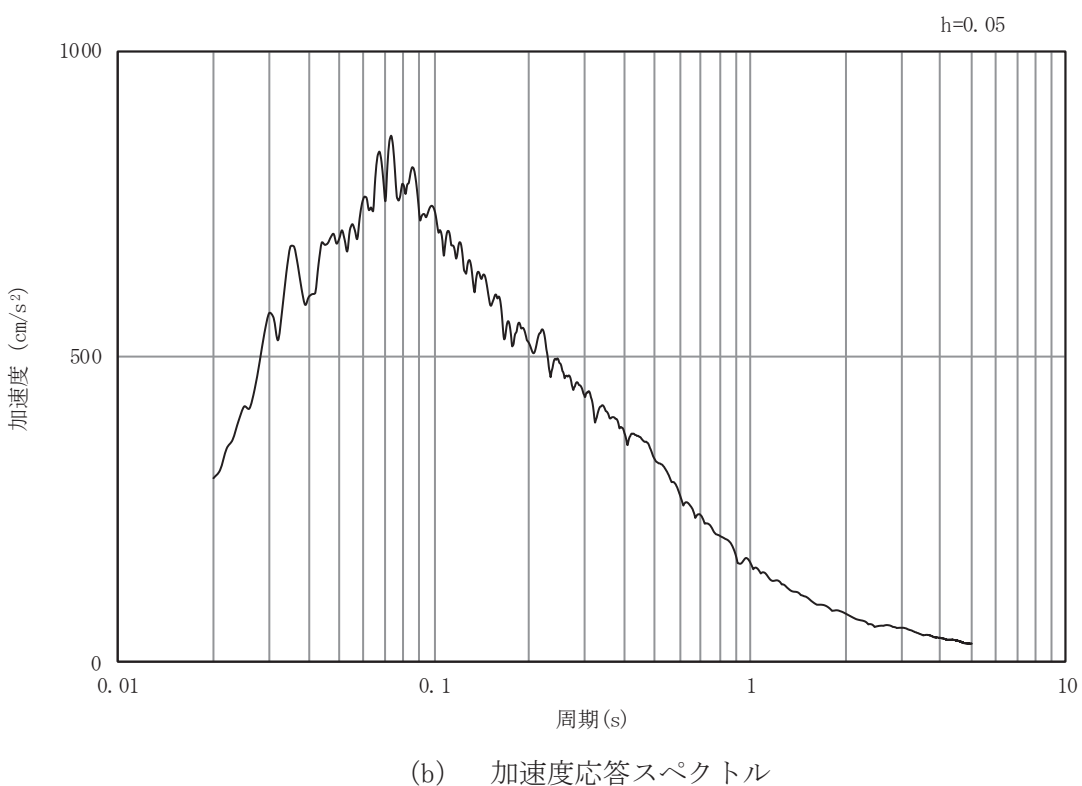
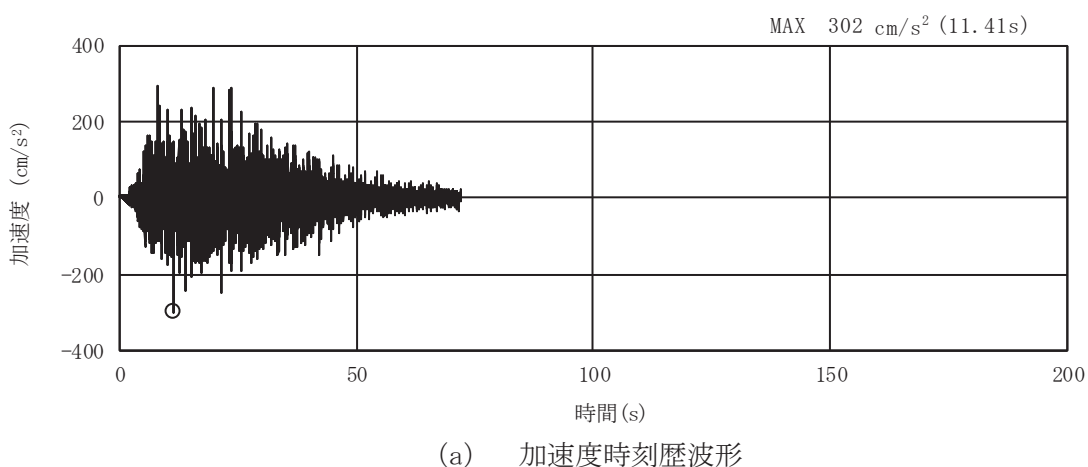


図4-2(74) 入力地震動の加速度時刻歴波形及び加速度応答スペクトル (岩盤部 (断面⑤))  
(鉛直成分 : S d - D 2)

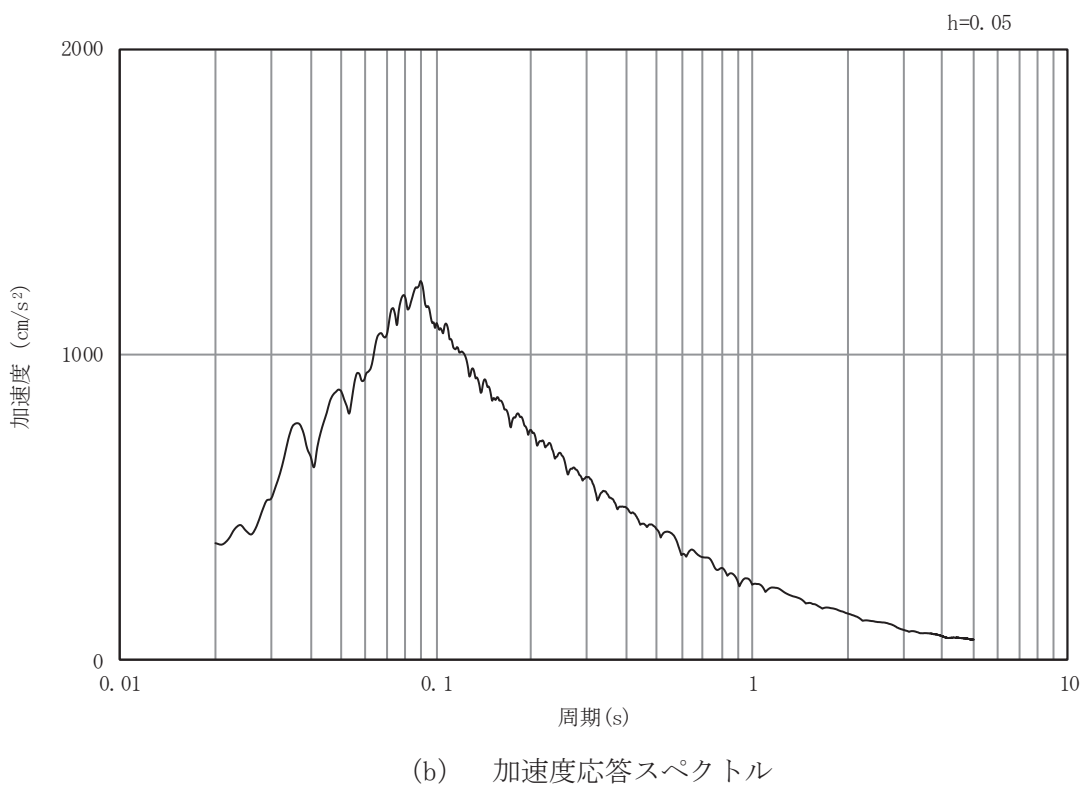
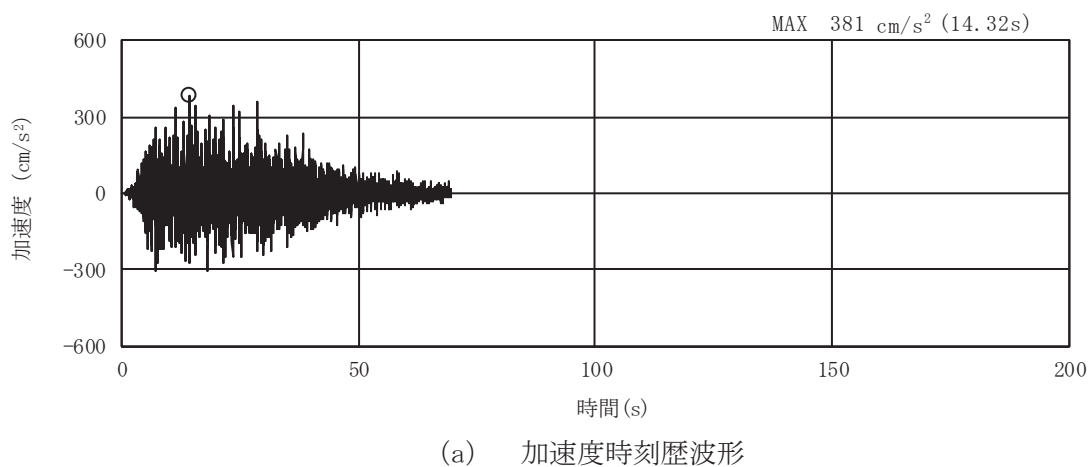
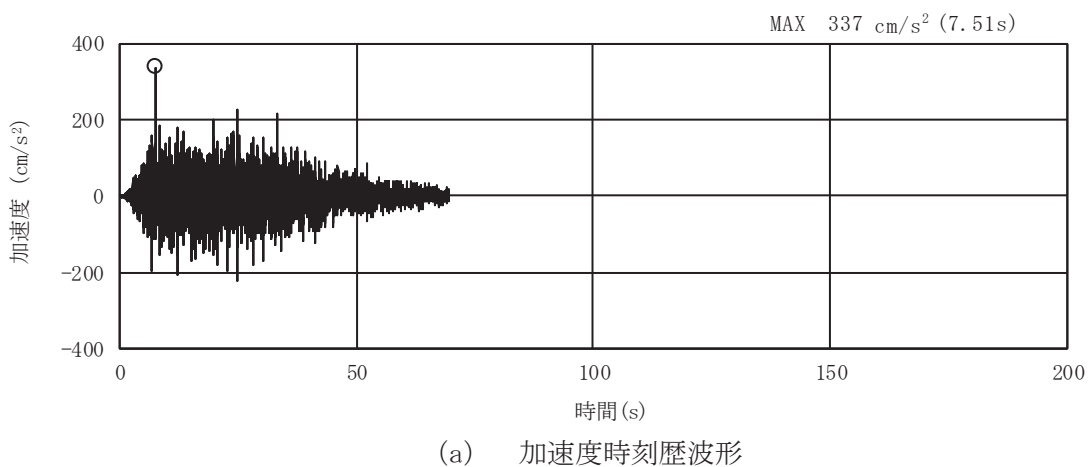
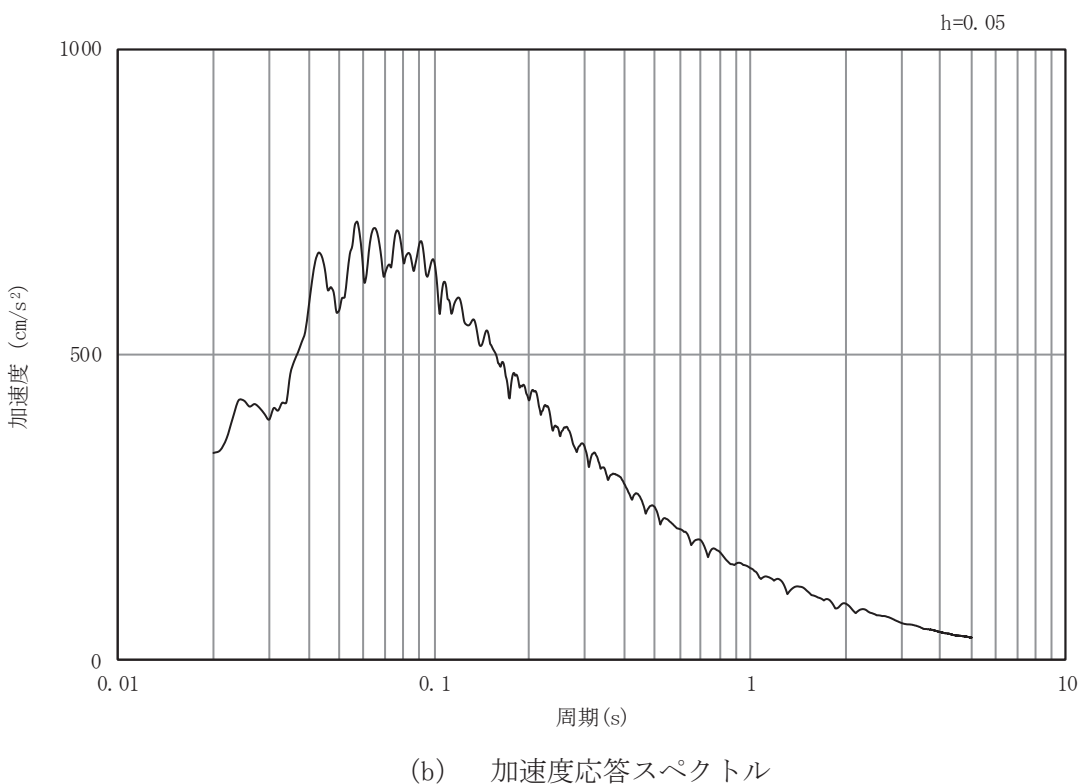


図4-2(75) 入力地震動の加速度時刻歴波形及び加速度応答スペクトル (岩盤部 (断面⑤))  
(水平成分 : S d - D 3)



(a) 加速度時刻歴波形



(b) 加速度応答スペクトル

図4-2(76) 入力地震動の加速度時刻歴波形及び加速度応答スペクトル (岩盤部 (断面⑤))  
(鉛直成分 : S d-D 3)

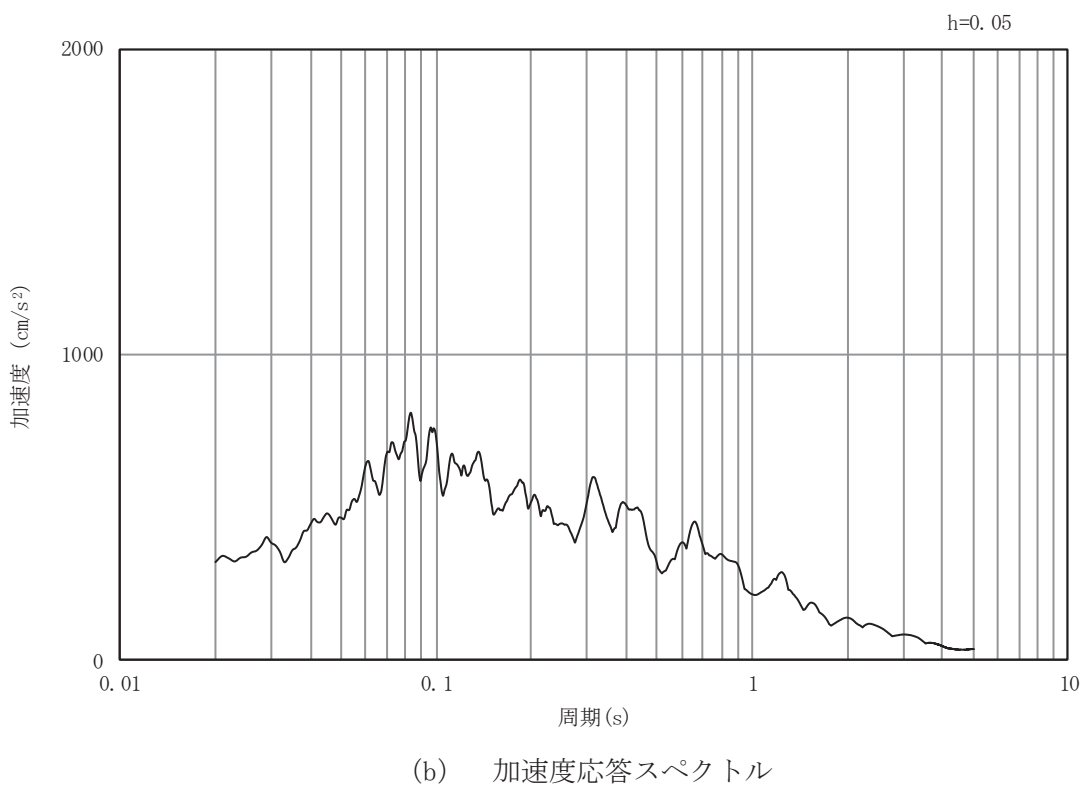
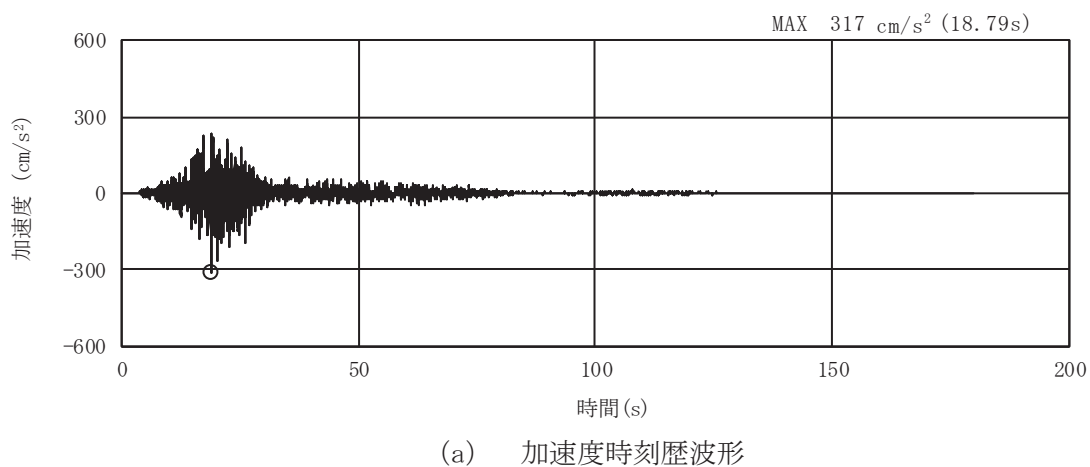
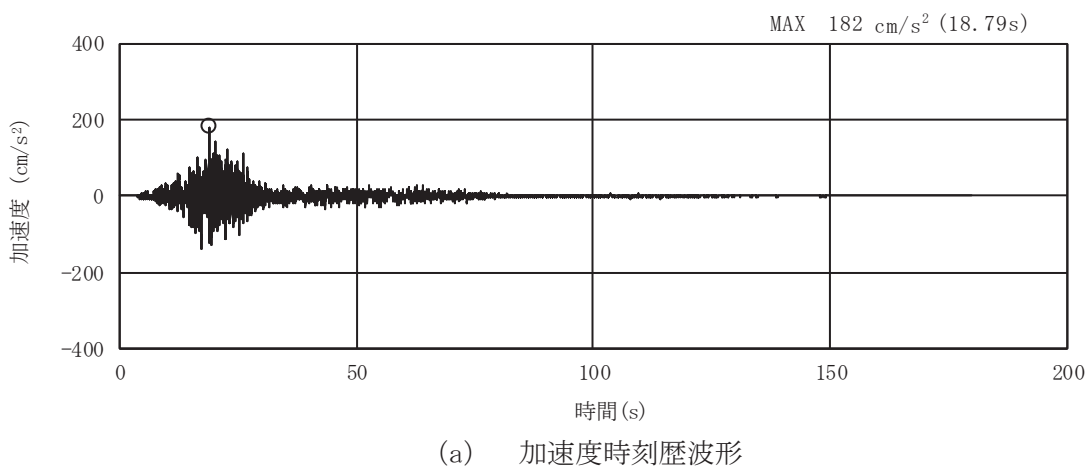
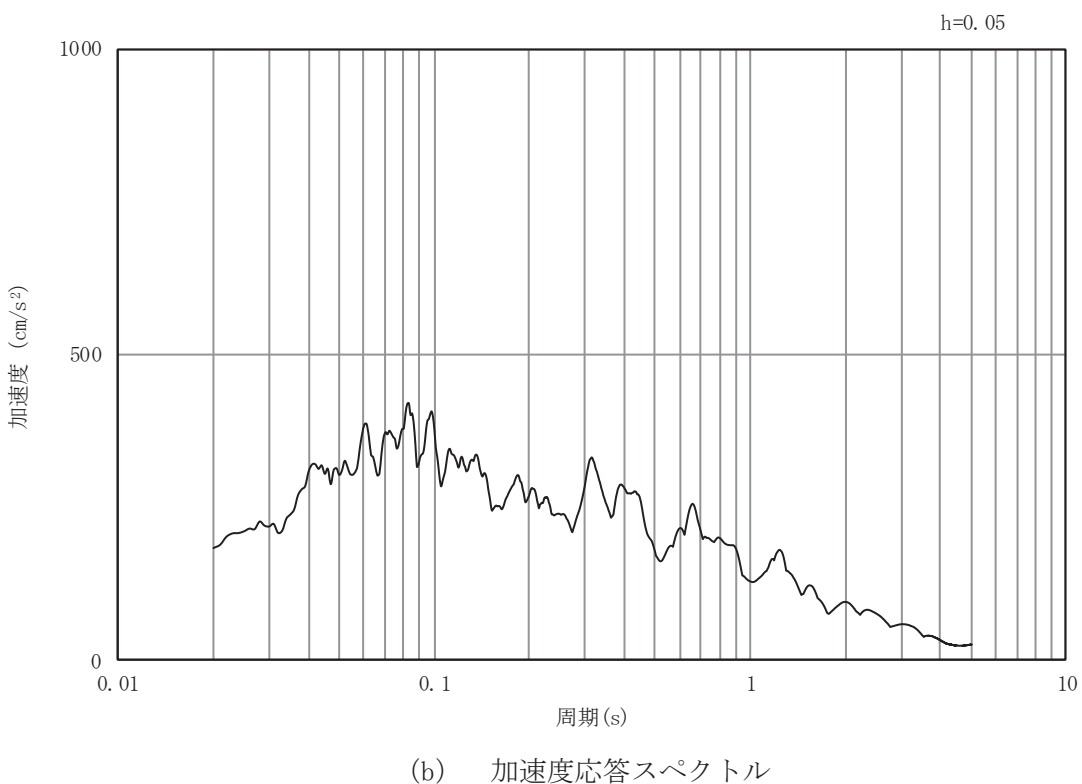


図4-2(77) 入力地震動の加速度時刻歴波形及び加速度応答スペクトル (岩盤部 (断面⑤))  
(水平成分 : S d - F 1 )

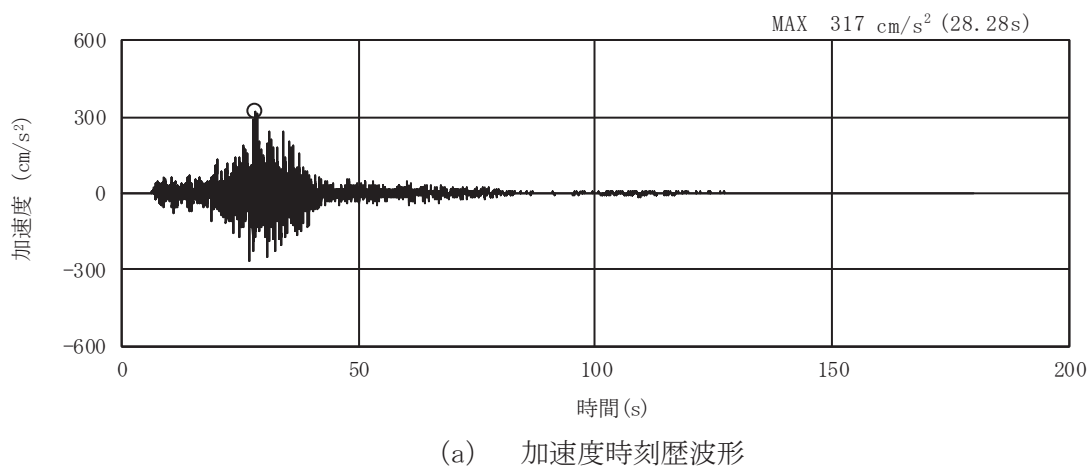


(a) 加速度時刻歴波形

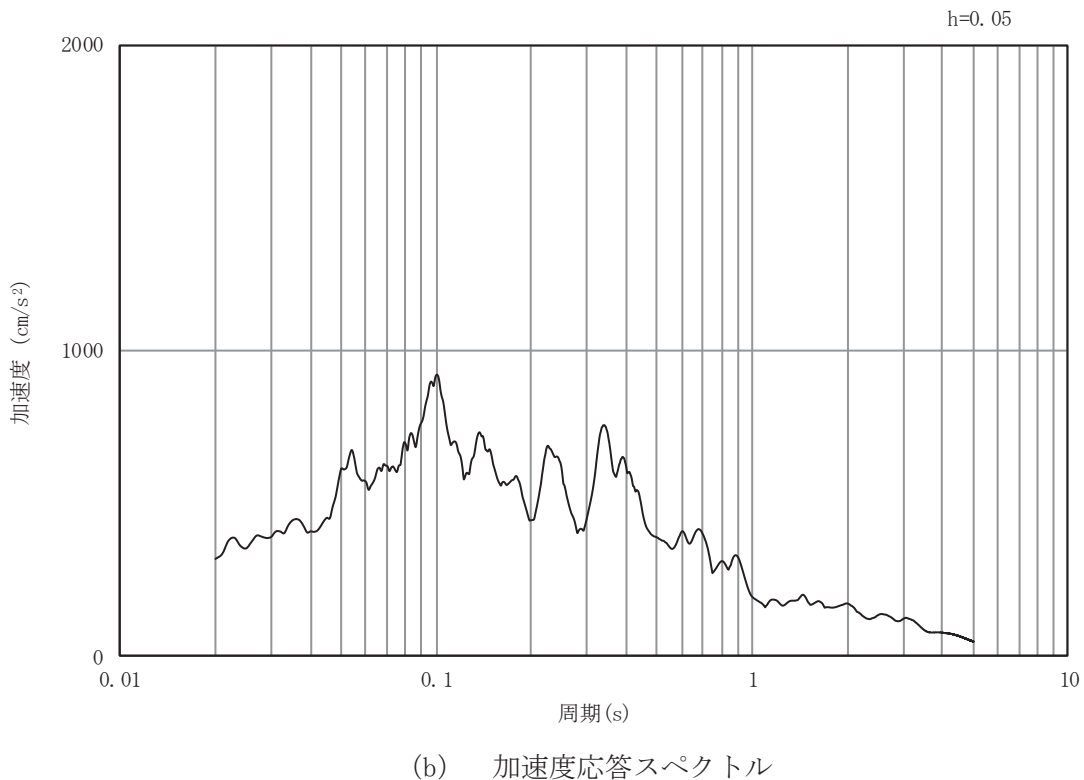


(b) 加速度応答スペクトル

図4-2(78) 入力地震動の加速度時刻歴波形及び加速度応答スペクトル (岩盤部 (断面⑤))  
(鉛直成分 : S d - F 1)

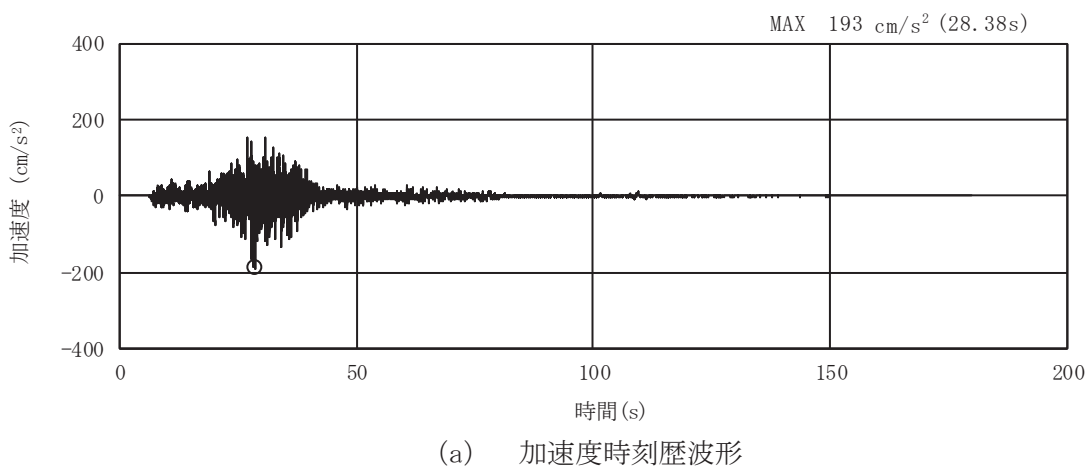


(a) 加速度時刻歴波形

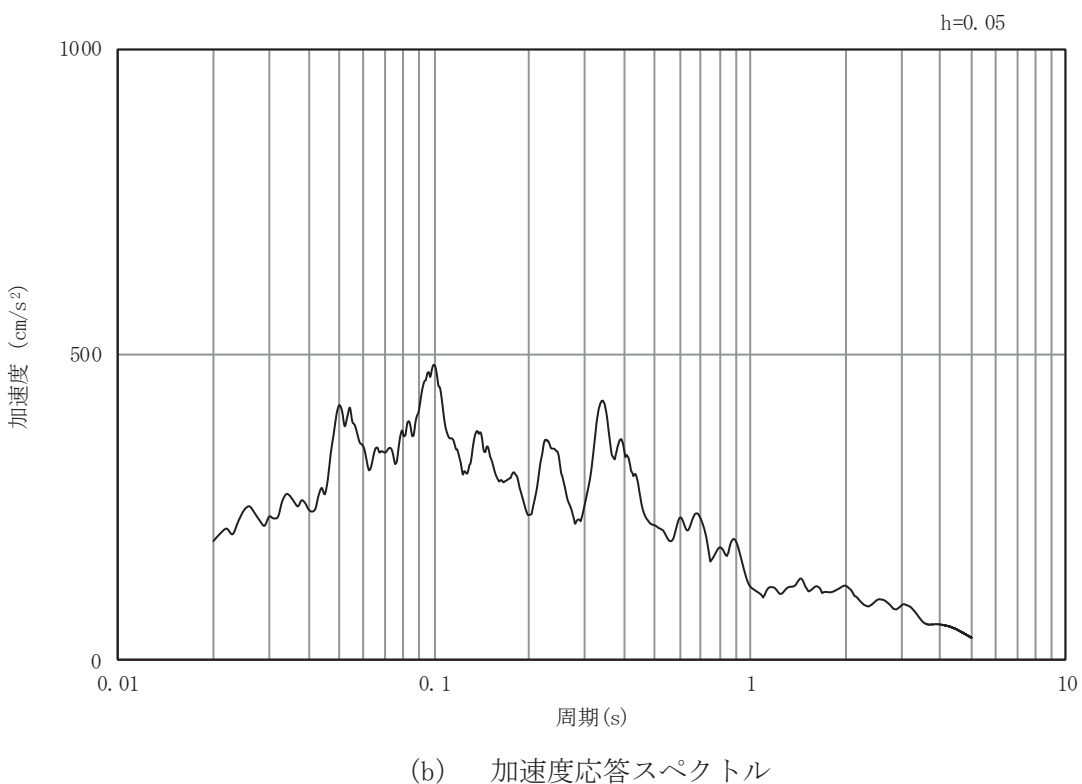


(b) 加速度応答スペクトル

図4-2(79) 入力地震動の加速度時刻歴波形及び加速度応答スペクトル (岩盤部 (断面⑤))  
(水平成分 : S d - F 2)

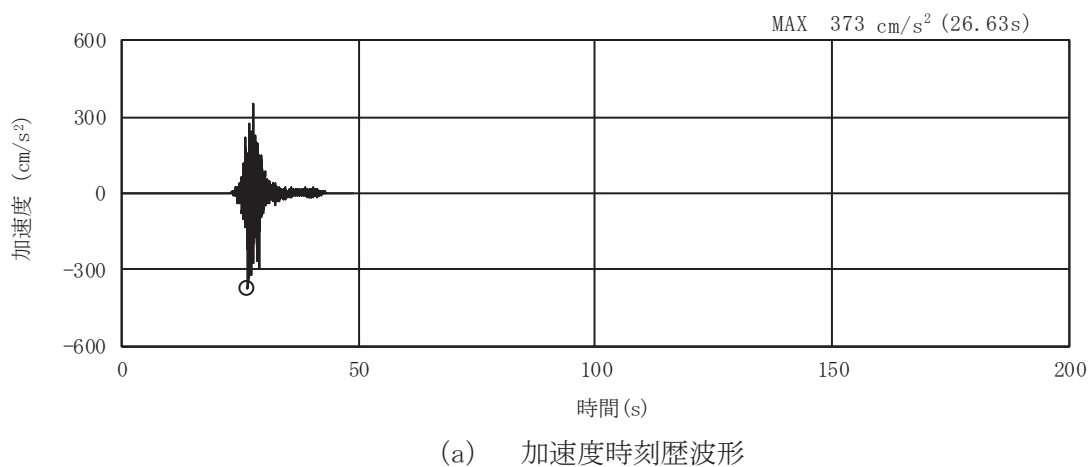


(a) 加速度時刻歴波形

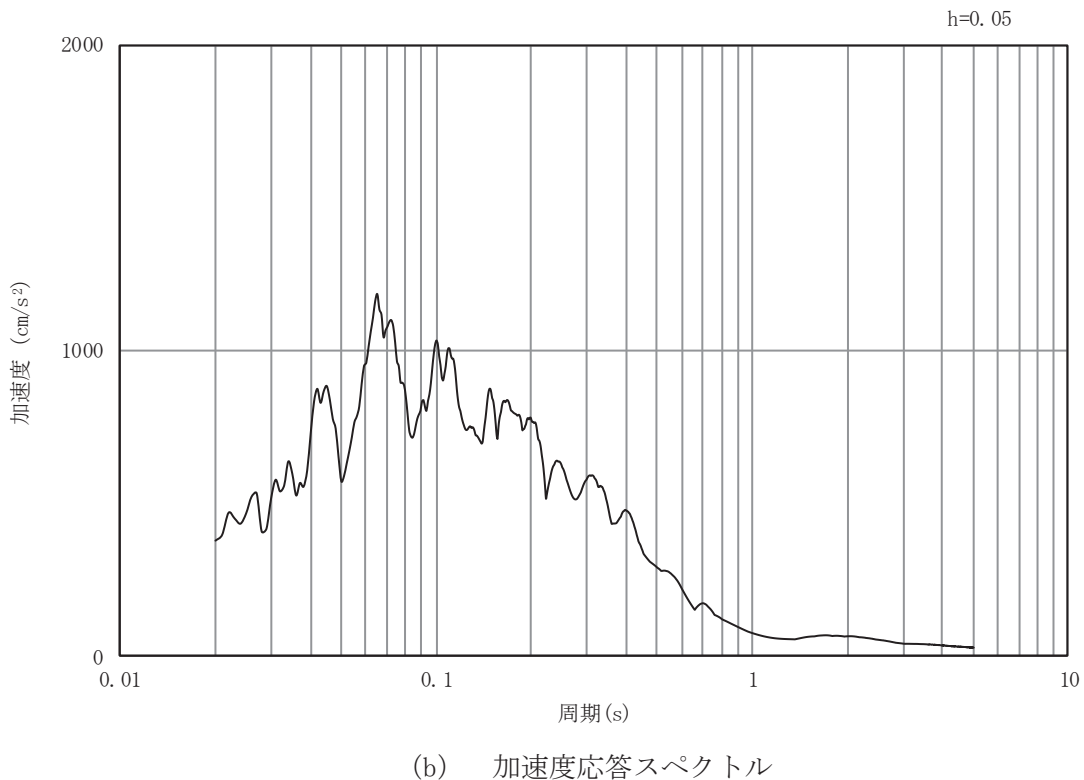


(b) 加速度応答スペクトル

図4-2(80) 入力地震動の加速度時刻歴波形及び加速度応答スペクトル (岩盤部 (断面⑤))  
(鉛直成分 : S d - F 2)



(a) 加速度時刻歴波形



(b) 加速度応答スペクトル

図4-2(81) 入力地震動の加速度時刻歴波形及び加速度応答スペクトル (岩盤部 (断面⑤))  
(水平成分 : S d - F 3)

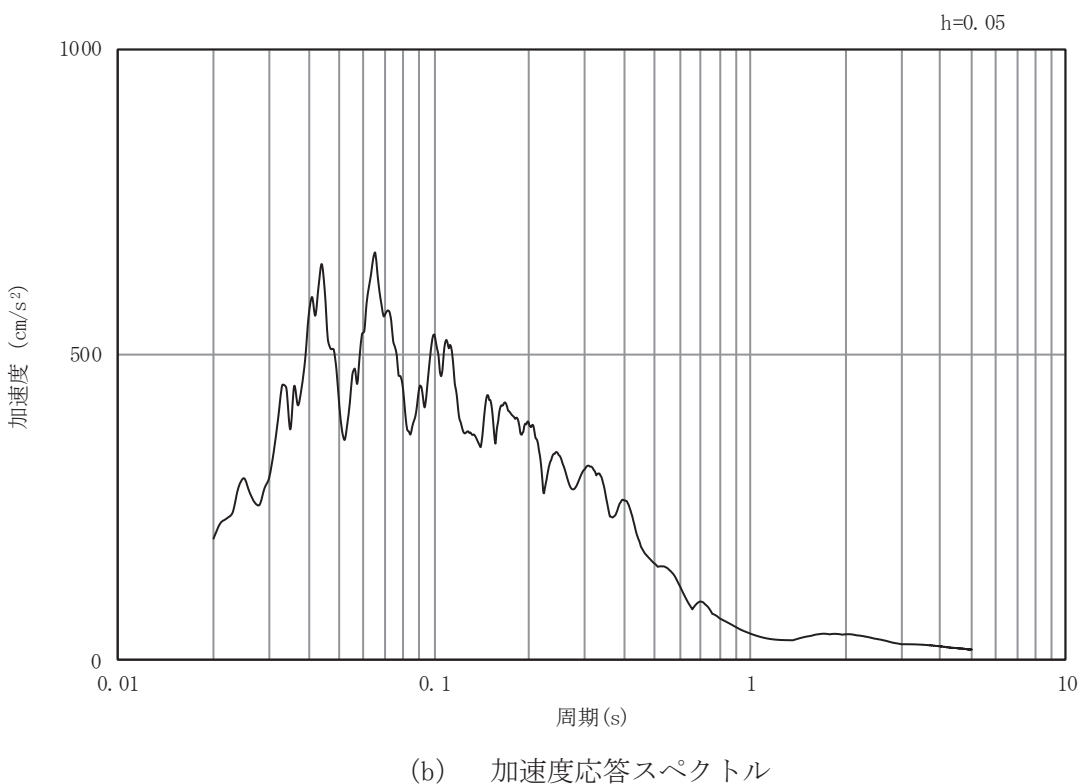
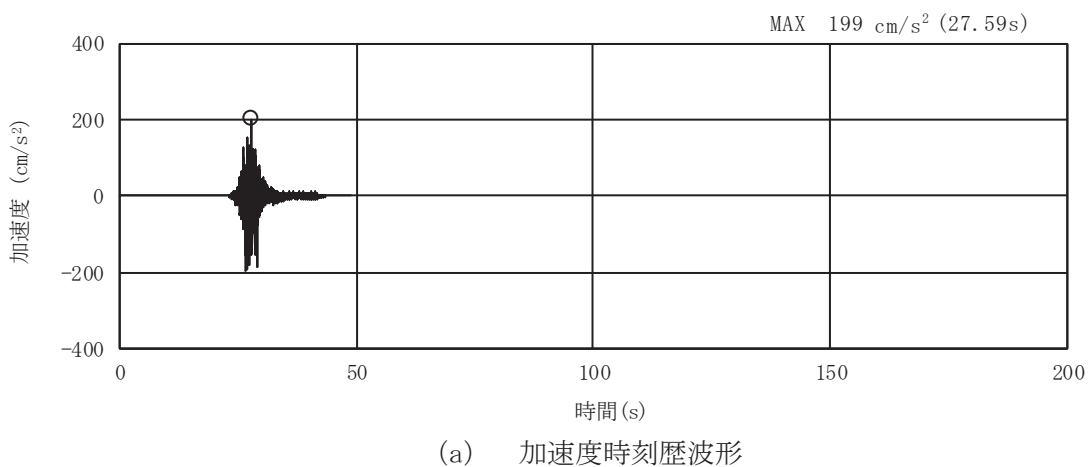
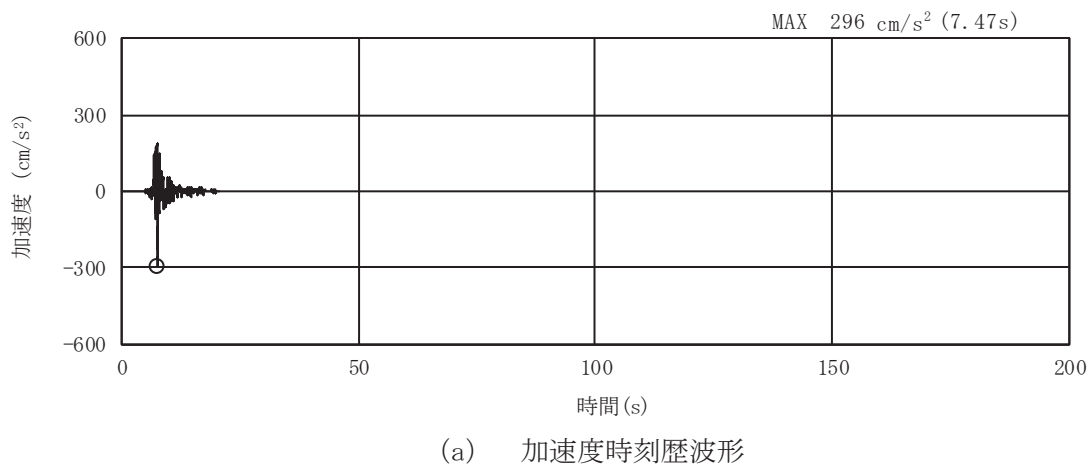
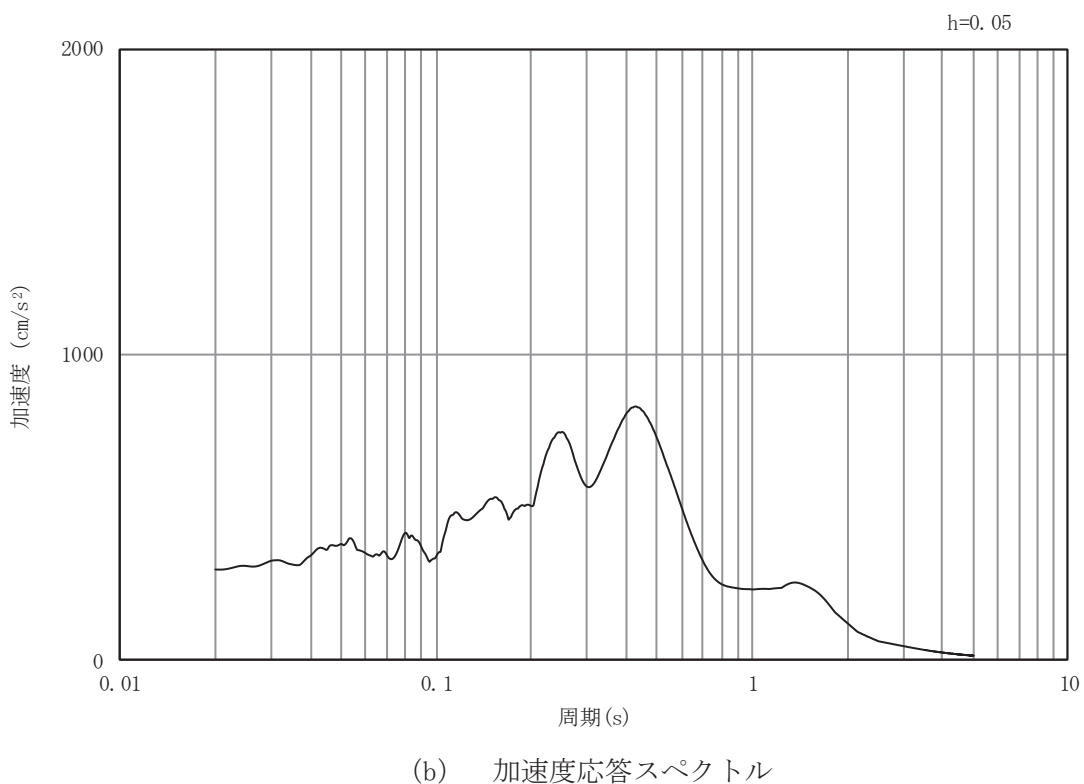


図4-2(82) 入力地震動の加速度時刻歴波形及び加速度応答スペクトル (岩盤部 (断面⑤))  
(鉛直成分 : S d - F 3)



(a) 加速度時刻歴波形



(b) 加速度応答スペクトル

図4-2(83) 入力地震動の加速度時刻歴波形及び加速度応答スペクトル (岩盤部 (断面⑤))  
(水平成分 : S d - N 1)

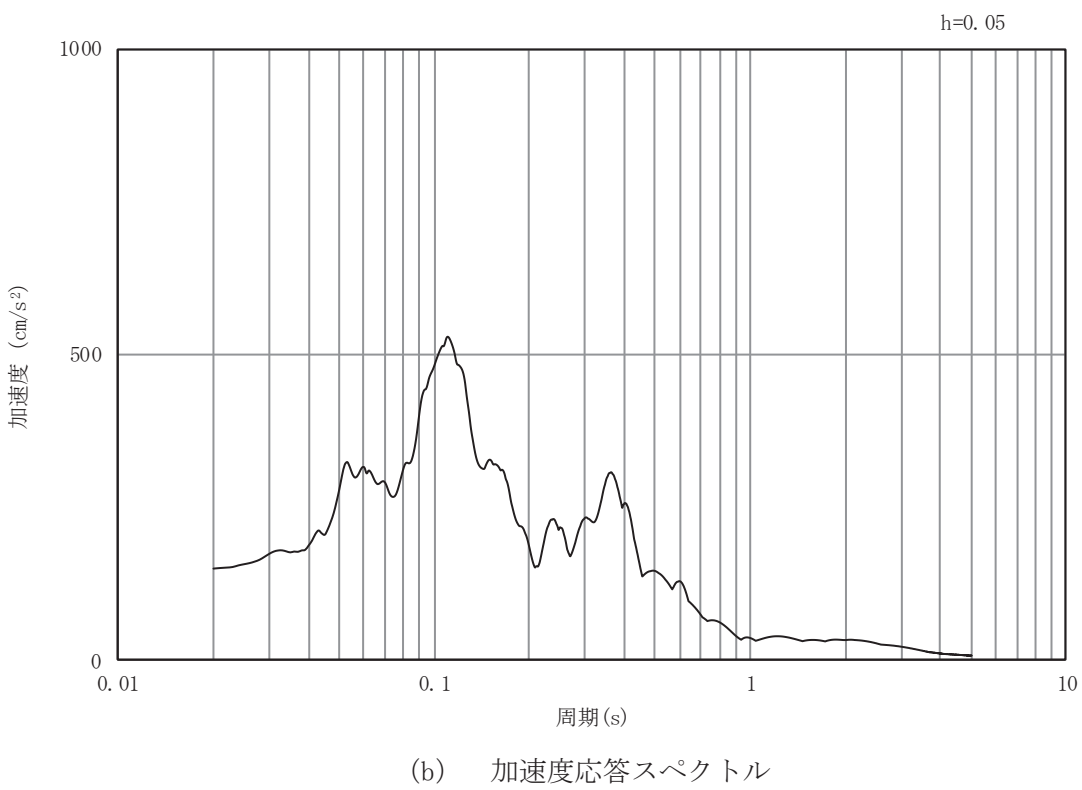
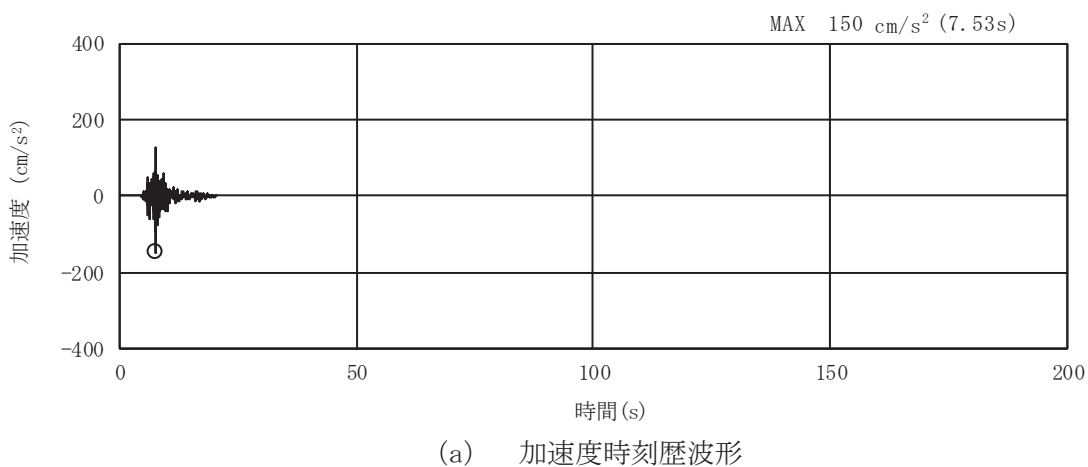


図4-2(84) 入力地震動の加速度時刻歴波形及び加速度応答スペクトル (岩盤部 (断面⑤))  
(鉛直成分 : S d - N 1 )

## 4.2 許容限界の設定

### 4.2.1 曲げ・軸力系の破壊に対する許容限界

#### (1) 土砂部 (断面①)

土砂部 (断面①) の構造強度を有することの確認における曲げ・軸力系の破壊に対する許容限界は土木学会マニュアルに基づき、限界層間変形角（層間変形角 1/100）とする。

曲げ・軸力系の破壊に対する限界状態については、土木学会マニュアルではコンクリートの圧縮縁のかぶりが剥落しないこととされており、層間変形角 1/100 の状態は、かぶりコンクリートが剥落する前の状態であることが、屋外重要土木構造物を模したラーメン構造の破壊実験及び数値シミュレーション等の結果より確認されている。この状態を限界値として構造全体としての安定性等が確保できるとして設定されたものである。

また、底版のアンカ一定着部に要求される S クラスの施設を支持する機能を損なわないことの確認においては、全応力解析では、コンクリート標準示方書に基づき、コンクリートの圧縮ひずみ及び主筋ひずみについて、部材降伏に相当する限界ひずみ（コンクリート：2000  $\mu$ 、主鉄筋：1725  $\mu$ ）とする。有効応力解析では、鉄筋の降伏を許容限界として降伏曲げモーメントとする。

曲げ・軸力系の破壊に対する照査に用いる照査用層間変形角及び照査用ひずみは、地震応答解析により得られた応答値に安全係数（構造解析係数）1.2 を、照査用曲げモーメントは、地震応答解析により得られた応答値に安全係数（構造解析係数）1.0 を乗じることにより、曲げ・軸力系の破壊に対する安全余裕を見込んだ評価を実施する。

鉄筋コンクリートの曲げ・軸力系の破壊に対する許容限界を表 4-1 に示す。

表 4-1 曲げ・軸力系の破壊に対する許容限界

確認項目	許容限界	
構造強度を有すること	限界層間変形角	1/100 <sup>*1</sup>
S クラスの施設を支持する機能 を損なわないこと	限界ひずみ	コンクリート : 2000 $\mu$ <sup>*2</sup> 主鉄筋 (SD345) : 1725 $\mu$ <sup>*2</sup>
	曲げモーメント	降伏曲げモーメント <sup>*3</sup>

$$\text{注記*1 : } \gamma_i \frac{R_d}{R_u} < 1.0$$

ここで、 $\gamma_i$  : 構造物係数 ( $\gamma_i = 1.0$ )

$R_u$  : 限界層間変形角 (=1/100)

$R_d$  : 照査用層間変形角 ( $R_d = \gamma_a \cdot R$ )

$\gamma_a$  : 構造解析係数 ( $\gamma_a = 1.2$ )

$R$  : 発生層間変形角

$$\text{*2 : } \gamma_i \frac{\varepsilon_d}{\varepsilon_R} < 1.0$$

ここで、 $\gamma_i$  : 構造物係数 ( $\gamma_i = 1.0$ )

$\varepsilon_R$  : 限界ひずみ

$\varepsilon_d$  : 照査用ひずみ ( $\varepsilon_d = \gamma_a \cdot \varepsilon$ )

$\gamma_a$  : 構造解析係数 ( $\gamma_a = 1.2$ )

$\varepsilon$  : 発生ひずみ

$$\text{*3 : } \gamma_i \frac{M_d}{M_y} < 1.0$$

ここで、 $\gamma_i$  : 構造物係数 ( $\gamma_i = 1.0$ )

$M_y$  : 鉄筋降伏に相当する曲げモーメント

$M_d$  : 照査用曲げモーメント ( $M_d = \gamma_a \cdot M$ )

$\gamma_a$  : 構造解析係数 ( $\gamma_a = 1.0$ )

$M$  : 発生曲げモーメント

(2) 岩盤部 (断面⑤)

岩盤部 (断面⑤) の構造強度を有することの確認及び S クラスの施設を支持する機能を損なわないことの確認における構造部材（鉄筋コンクリート）の曲げ・軸力系の破壊に対する許容限界は、短期許容応力度とする。コンクリート及び鉄筋の許容応力度を表 4-2 及び表 4-3 に示す。

なお、底版のアンカ一定着部は S クラスの施設を支持する機能を要求される。短期許容応力度により照査を行うため、構造強度を有することの確認と S クラスの施設を支持する機能を損なわないことの確認における許容限界は同一となる。したがって、全部材に対して構造強度を有することを確認することで、S クラスの施設を支持する機能を損なわないことの確認も同時に行う。

表 4-2 コンクリートの許容応力度及び短期許容応力度

設計基準強度	許容応力度 (N/mm <sup>2</sup> )		短期許容応力度* (N/mm <sup>2</sup> )
$f'_{c,k} = 20.5 \text{ (N/mm}^2\text{)}$	許容曲げ圧縮応力度 $\sigma'_{c,a}$	7.8	11.7
	許容せん断応力度 $\tau_{a,1}$	0.42	0.63

注記\* : コンクリート標準示方書[構造性能照査編]（土木学会 2002 年制定）により  
地震時の割り増し係数として 1.5 を考慮する。

表 4-3 鉄筋の許容応力度及び短期許容応力度

鉄筋の種類	許容応力度 (N/mm <sup>2</sup> )		短期許容応力度* (N/mm <sup>2</sup> )
SD345	許容引張応力度 $\sigma_{s,a}$	196	294

注記\* : コンクリート標準示方書[構造性能照査編]（土木学会 2002 年制定）により  
地震時の割り増し係数として 1.5 を考慮する。

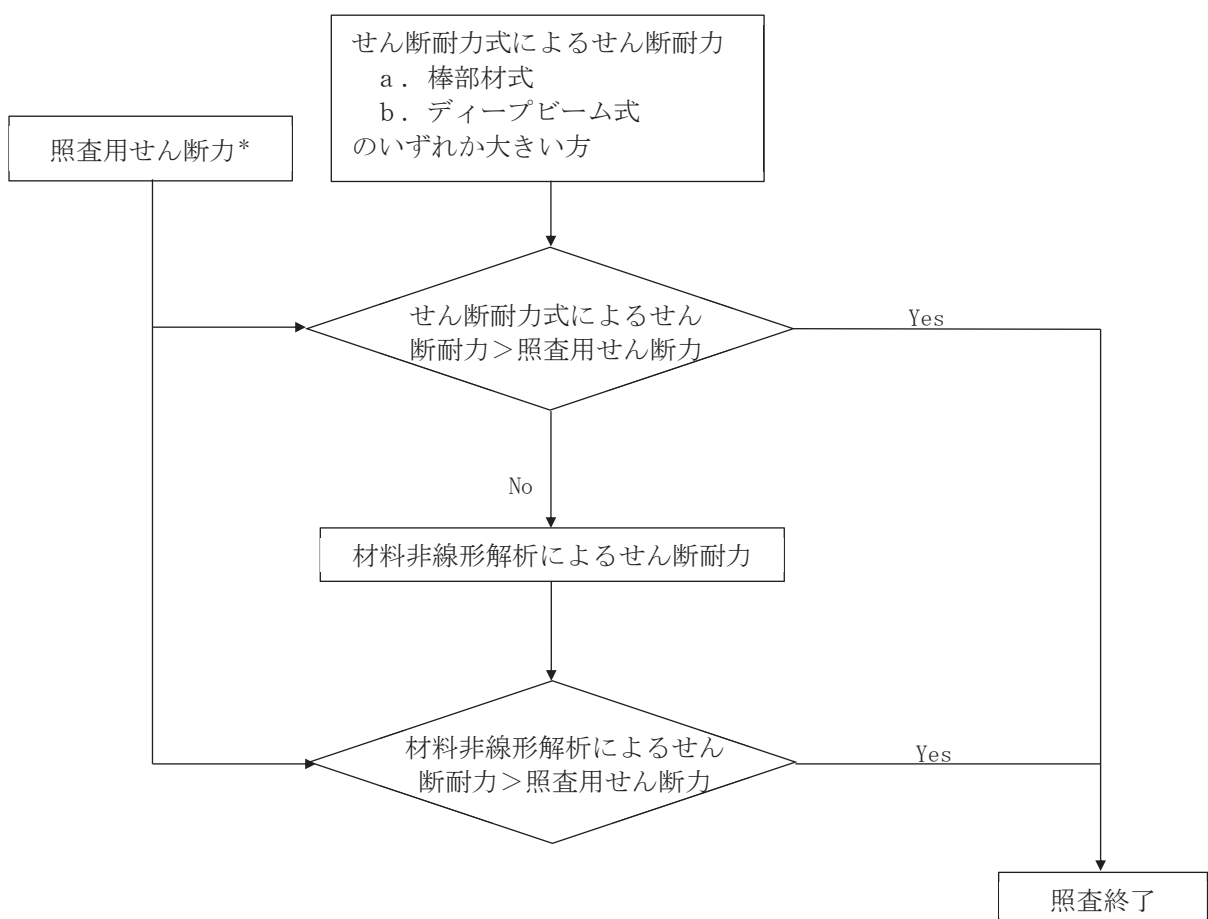
#### 4.2.2 せん断破壊に対する許容限界（せん断耐力式によるせん断耐力）

##### (1) 土砂部（断面①）

土砂部（断面①）の構造強度を有することの確認及びSクラスの施設を支持する機能を損なわないことの確認における構造部材（鉄筋コンクリート）のせん断破壊に対する許容限界は、土木学会マニュアルに基づくせん断耐力とする。

せん断耐力を、土木学会マニュアルに基づき「a. 棒部材式」、「b. ディープビーム式」のせん断耐力式で求まるせん断耐力のうち、いずれか大きい方とする。

また、せん断耐力式による照査において照査用せん断力が上記のせん断耐力を上回る場合、材料非線形解析により部材のせん断耐力を求め許容限界とする。せん断破壊に対する照査のフローを図4-3に示す。



注記\*：照査用せん断力  $V_d = \text{発生せん断力 } V \times \text{構造解析係数 } \gamma_a$

図4-3 せん断破壊に対する照査フロー

### a. 棒部材式

$$V_{yd} = V_{cd} + V_{sd}$$

ここで、 $V_{yd}$  : せん断耐力

$V_{cd}$  : コンクリートが分担するせん断耐力

$V_{sd}$  : せん断補強鉄筋が分担するせん断耐力

$$V_{cd} = \beta_d \cdot \beta_p \cdot \beta_n \cdot \beta_a \cdot f'_{cd} \cdot b_w \cdot d / \gamma_{bc}$$

$$f'_{cd} = 0.20 \sqrt[3]{f'_{ck}} \quad \text{ただし, } f'_{cd} > 0.72 \text{ (N/mm}^2\text{) となる場合は} \\ f'_{cd} = 0.72 \text{ (N/mm}^2\text{)}$$

$$\beta_d = \sqrt[4]{1/d} \quad (d [m]) \quad \text{ただし, } \beta_d > 1.5 \text{ となる場合は } \beta_d = 1.5$$

$$\beta_p = \sqrt[3]{100 p_v} \quad \text{ただし, } \beta_p > 1.5 \text{ となる場合は } \beta_p = 1.5$$

$$\beta_n = 1 + M_0/M_d \quad (N'_d \geq 0) \quad \text{ただし, } \beta_n > 2.0 \text{ となる場合は } \beta_n = 2.0$$

$$= 1 + 2M_0/M_d \quad (N'_d < 0) \quad \text{ただし, } \beta_n < 0 \text{ となる場合は } \beta_n = 0$$

$$\beta_a = 0.75 + \frac{1.4}{a/d} \quad \text{ただし, } \beta_a < 1.0 \text{ となる場合は } \beta_a = 1.0$$

ここで、 $f'_{cd}$  : コンクリート圧縮強度の設計用値(N/mm<sup>2</sup>)で設計基準強度  $f'_{ck}$  を材料係数  $\gamma_{mc}$  で除したもの

$p_v$  : 引張鉄筋比  $p_v = A_s / (b_w \cdot d)$

$A_s$  : 引張側鋼材の断面積

$b_w$  : 部材の有効幅

$d$  : 部材の有効高さ

$N'_d$  : 設計軸圧縮力

$M_d$  : 設計曲げモーメント

$M_0$  :  $M_d$  に対する引張縁において、軸方向力によって発生する応力を打ち消すのに必要なモーメント (デコンプレッションモーメント)

$$M_0 = N'_d \cdot D / 6$$

$D$  : 断面高さ

$a/d$  : せん断スパン比

$\gamma_{bc}$  : 部材係数

$\gamma_{mc}$  : 材料係数

$$V_{sd} = \left\{ A_w f_{wyd} (\sin \alpha + \cos \alpha) / s \right\} z / \gamma_{bs}$$

ここで、  
 $A_w$  : 区間  $s$  におけるせん断補強鉄筋の総断面積  
 $f_{wyd}$  : せん断補強鉄筋の降伏強度を  $\gamma_{ms}$  で除したもので、  
 400N/mm<sup>2</sup> 以下とする。ただし、コンクリート圧縮強度の特性値  
 $f'_{ck}$  が 60N/mm<sup>2</sup> 以上のときは 800N/mm<sup>2</sup> 以下とする。  
 $\alpha$  : せん断補強鉄筋と部材軸のなす角度  
 $s$  : せん断補強鉄筋の配置間隔  
 $z$  : 圧縮応力の合力の作用位置から引張鋼材図心までの距離で  
 $d/1.15$  とする。  
 $\gamma_{bs}$  : 部材係数  
 $\gamma_{ms}$  : 材料係数

### b. ディープビーム式

$$V_{ydd} = V_{cdd} + V_{sdd}$$

ここで、  
 $V_{ydd}$  : せん断耐力  
 $V_{cdd}$  : コンクリートが分担するせん断耐力  
 $V_{sdd}$  : せん断補強鉄筋が分担するせん断耐力

$$V_{cdd} = \beta_d \cdot \beta_p \cdot \beta_n \cdot f_{dd} \cdot b_w \cdot d / \gamma_{bc}$$

$$f_{dd} = 0.19 \sqrt{f'_{cd}}$$

$$\beta_d = \sqrt[4]{1/d} \quad (d [m]) \quad \text{ただし, } \beta_d > 1.5 \text{ となる場合は } \beta_d = 1.5$$

$$\beta_p = \sqrt[3]{100 p_v} \quad \text{ただし, } \beta_p > 1.5 \text{ となる場合は } \beta_p = 1.5$$

$$\beta_a = \frac{5}{1 + (a/d)^2}$$

ここで、  
 $\gamma_{bc}$  : 部材係数

$$V_{sdd} = \phi \cdot V_{sd}$$

$$\phi = -0.17 + 0.3 a/d + 0.33/p_{wb} \quad \text{ただし } 0 \leq \phi \leq 1$$

ここで、  
 $p_{wb}$  : せん断補強鉄筋比(%)

土木学会マニュアルでは、コンクリート標準示方書におけるせん断耐力式のうち棒部材式において等価せん断スパンにより設定可能な係数  $\beta_a$  を考慮している。これは、地中に埋設されたラーメン構造で、分布荷重が卓越、スパン内に曲げモーメントの反曲点が存在する等の載荷形態にある条件下では、せん断耐力が増大するという実験的知見を踏まえ、より合理的なせん断耐力を与えるよう、コンクリート標準示方書のせん断耐力式を精緻化したものである。

また、土木学会マニュアルにおけるせん断耐力式による評価においては、表 4-4 に示すとおり、複数の安全係数が見込まれていることから、せん断破壊に対して安全余裕を見込んだ評価を実施することが可能である。

表 4-4 せん断耐力式による評価において考慮している安全係数

安全係数			せん断照査		内容
			応答値算定	限界値算定	
材料係数	コンクリート	$\gamma_m^c$	1.0	1.3	コンクリートが負担するせん断力を低減
	鉄筋	$\gamma_m^s$	1.0	1.0	—
部材係数	コンクリート	$\gamma_b^c$	—	1.3	コンクリートが負担するせん断力を低減*
	鉄筋	$\gamma_b^s$	—	1.1	せん断補強筋が負担するせん断力を低減*
構造解析係数		$\gamma_a$	1.05	—	応答値（断面力）の割り増し

注記\*：土木学会マニュアルでは、部材係数  $\gamma_b = \gamma_{b1} \cdot \gamma_{b2}$

$$\gamma_{b1} = \begin{cases} 1.3 & (\text{コンクリート}) \\ 1.1 & (\text{鉄筋}) \end{cases}$$

$$\gamma_{b2} = \begin{cases} 1.0 & (R \leq 0.01) \\ \frac{100R+2}{3} & (0.01 < R \leq 0.025) \\ 1.5 & (R > 0.025) \end{cases}$$

ここで、R : 層間変形角

とされている。

排気筒連絡ダクトは、層間変形角 1/100 を鉄筋コンクリート部材の曲げ・軸力系の破壊に対する許容限界とすることから、 $\gamma_{b2}=1.0$  とする。

## (2) 岩盤部 (断面⑤)

岩盤部 (断面⑤) の構造強度を有することの確認及び S クラスの施設を支持する機能を損なわないことの確認における構造部材（鉄筋コンクリート）のせん断破壊に対する許容限界は、表 4-2 及び表 4-3 に示す短期許容応力度とする。

#### 4.2.3 せん断破壊に対する許容限界（材料非線形解析によるせん断耐力）

##### (1) 評価条件

図4-3のせん断破壊に対する照査フローに示すとおり、照査用せん断力が、せん断耐力式によるせん断耐力を上回る場合は、材料非線形解析によりせん断耐力を算定し、せん断耐力が照査用せん断力を上回ることを確認する。

「4.2.2 せん断破壊に対する許容限界（せん断耐力式によるせん断耐力）」で示したせん断耐力式は、既往の実験等から一般化されたものであることから、構造部材の形状、作用荷重及び鉄筋コンクリートの非線形特性を踏まえた材料非線形解析を実施することにより、より高い精度でせん断耐力を求め、構造部材のせん断照査を行う。

表4-5及び表4-6に材料非線形解析の概要を示す。

材料非線形解析は、90年代までに、ひび割れの進展モデルや破壊エネルギーの概念等、基本となるモデルが提示され、様々な問題に適用されながら有効性と信頼性を高めており、コンクリート標準示方書2017や土木学会マニュアル等で取り扱われている。

材料非線形解析にて用いる鉄筋コンクリートの構成則については種々あるが、ここでは、現在までに実務でも使用され、適用性と信頼性が確認されており、コンクリート標準示方書2017において標準とされる以下の手法とする。

- ①鉄筋とコンクリートとの一体性を前提とする分散ひび割れモデルにてモデル化する。
- ②鉄筋との複合作用が支配的な鉄筋周辺のコンクリートについては、平均化構成則を用いる。
- ③鉄筋との複合作用が及ばない領域では、コンクリートの破壊力学の概念を導入する。

なお、材料非線形解析の適用に当たっては、当該構造物の構造的な特徴や荷重条件が類似する既往の実験等から得られたせん断耐力と、材料非線形解析によるせん断耐力を比較し、その適用性を判断した上で、モデル化や各種パラメータの設定に係る解析者の差を考慮した安全係数を設定する。

材料非線形解析においては、解析コード「UC-win/WC OMD」を使用する。

表 4-5 材料非線形解析の位置付け（土木学会マニュアル）

目標性能		選択される標準的な解析手法と耐震性能の照査に用いる物理量
区分	限界状態	
1	構造物の構成部材が降伏に至らない	手法①: 線形解析 ・鉄筋およびコンクリートの最大応力 ・最大せん断応力
2	構造物が最大耐力に至らない	手法②: 等価線形解析 ・鉄筋およびコンクリートの最大応力 ・最大せん断応力 ・最大せん断力 ・最大曲げモーメント
3	構造物が崩壊しない	手法③: 部材非線形的解析 ・最大曲げモーメント ・最大曲率 ・最大変位 ・最大層間変形角  手法④: 材料非線形的解析 ・最大変位 ・最大層間変形角 ・最大ひずみ

表 4-6 部材非線形解析と材料非線形解析の特徴

	部材非線形解析	材料非線形解析		
モデル化	骨組モデル	有限要素		
解析次元	一次元	二次元	三次元	
構成則	M-Φ, M-θ 等	応力-ひずみ関係		
要素	はり要素	ファイバー要素	平面ひずみ要素	
特徴	(汎用性) (解析時間)	狭い ← → 広い 短い ← → 長い	立体要素	

a. 適用基準

材料非線形解析については、土木学会マニュアル、コンクリート標準示方書2017等に基づき実施する。

表4-7に参考とする主な基準等を示す。

表4-7 参考とする主な基準等

項目	参考とする主な基準等	備考
材料定数 材料特性	・コンクリート標準示方書2017 ・土木学会マニュアル	—
許容限界	—	・せん断力－相対変位関係より設定した許容限界(破壊基準)が、部材係数の設定における材料非線形解析にて、実験結果とおおむね整合的であることを確認。

b. 材料定数

耐震評価に用いる材料定数は、文献等を基に設定する。コンクリート及び鉄筋の材料定数を表4-8及び表4-9に示す。

表4-8 コンクリートの材料定数

	設定値	諸元
単位体積重量	0.0 kN/m <sup>3</sup>	材料非線形解析による荷重に含まれることから考慮しない
圧縮強度	15.8 N/mm <sup>2</sup>	設計基準強度(20.5 N/mm <sup>2</sup> ) ／材料係数*
引張強度	1.33 N/mm <sup>2</sup>	引張強度／材料係数*
圧縮ピークひずみ	2000 $\mu$	コンクリート標準示方書2017
ひび割れせん断 伝達係数	1.0	コンクリート標準示方書2017
破壊エネルギー	0.0681 N/mm	コンクリート標準示方書2017

注記\*：材料係数を1.3として算出

表4-9 鉄筋の材料定数

	設定値	諸元
単位体積重量	0.0 kN/m <sup>3</sup>	材料非線形解析による荷重に含まれることから考慮しない
ヤング係数	200 kN/mm <sup>2</sup>	コンクリート標準示方書2017
降伏 強度	主鉄筋 せん断 補強筋	せん断破壊先行型の破壊形態となる よう曲げ耐力が増大するように設定
		SD345

### c. 解析モデルの要素分割

材料非線形解析の対象とする構造部材を平面ひずみ要素でモデル化する。構造部材のモデル化に当たっては、図4-4に示すとおり、鉄筋の付着が有効な領域を鉄筋コンクリート要素としてモデル化し、付着の影響が及ばない領域を無筋コンクリート要素としてモデル化する。

部材厚方向の要素分割数については、鉄筋を含む要素と無筋要素を明確に指定できる分割数が望ましいこと、及び3層以上の分割数をとる場合、解析結果に大きな差異が生じないことから3層以上に設定することとする。

具体的には、鉄筋を含む要素は、鉄筋を中心としてかぶり厚さの2倍とし、無筋領域については、要素形状が極端に扁平とならないように分割する。

なお、対象とする構造部材に接合する部材は、弾性要素でモデル化し、モデル端部を固定境界とする。

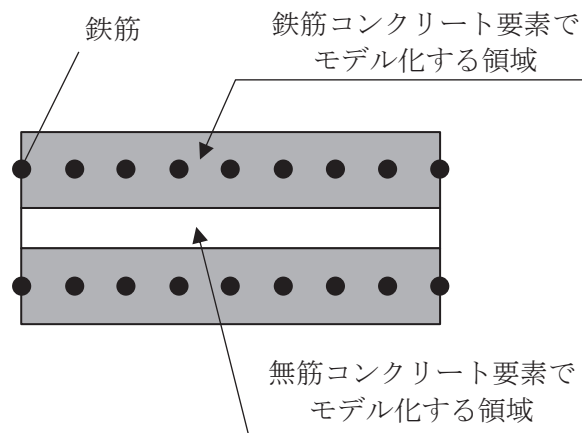


図4-4 鉄筋付着有効領域と無筋領域の分割の概要

#### d. コンクリートの非線形特性

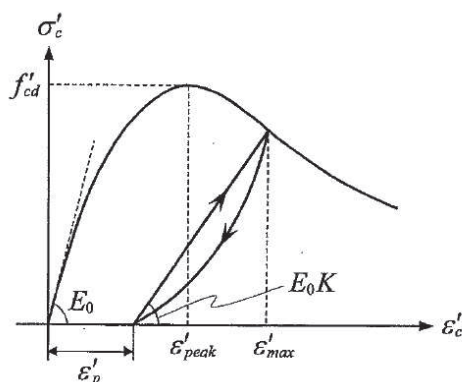
耐震評価に用いる要素は鉄筋コンクリート要素及び無筋コンクリート要素に分類されるが、それぞれの非線形特性は同一の考え方で表される。

##### (a) 圧縮応力下における応力-ひずみ関係

図4-5に一軸圧縮応力下における応力-ひずみ関係を示す。

圧縮応力下の応力-ひずみの骨格曲線は、最大応力点までの硬化域と、最大応力点を超えた軟化域で表され、残留塑性ひずみと除荷再載荷時の剛性低下を考慮している。

また、ひび割れ発生後のコンクリートの圧縮強度については、図4-6に示す、低減係数を破壊パラメータに乗じることで、ひび割れ発生後の圧縮強度の低下を考慮する。



$$\sigma'_{c} = E_0 K (\varepsilon'_{c} - \varepsilon'_{p}) \geq 0$$

$$E_0 = \frac{2 \cdot f'_{c,d}}{\varepsilon'_{peak}}$$

$$K = \exp \left\{ -0.73 \frac{\varepsilon'_{max}}{\varepsilon'_{peak}} \left( 1 - \exp \left( -1.25 \frac{\varepsilon'_{max}}{\varepsilon'_{peak}} \right) \right) \right\}$$

$$\varepsilon'_{p} = \varepsilon'_{max} - 2.86 \cdot \varepsilon'_{peak} \left\{ 1 - \exp \left( -0.35 \frac{\varepsilon'_{max}}{\varepsilon'_{peak}} \right) \right\}$$

ここに、 $f'_{c,d} = f'_{ck} / \gamma_c$

$\varepsilon'_{peak}$ ：圧縮強度に対応するひずみ（一般に、0.002としてもよい）

$\varepsilon'_{max}$ ：過去に受けた圧縮ひずみの最大値

$\varepsilon'_{p}$ ：塑性ひずみ

K : 弹性剛性残存率

図4-5 圧縮応力下におけるコンクリートの非線形特性

(コンクリート標準示方書2017より引用)

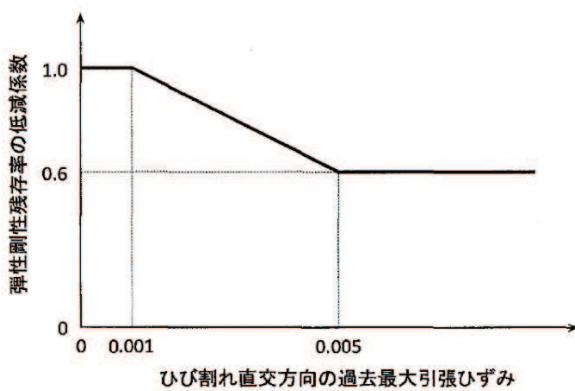
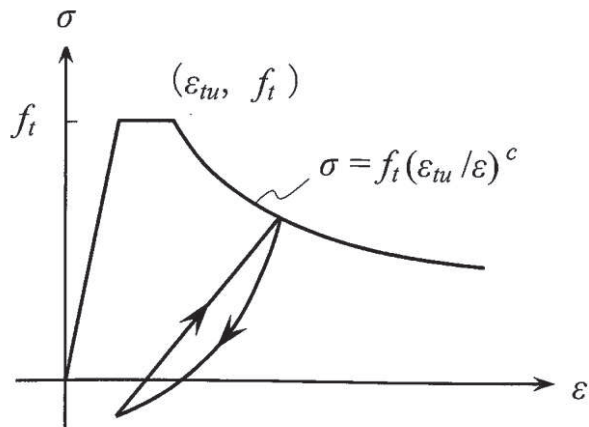


図 4-6 弾性剛性残存率の低減係数  
(コンクリート標準示方書 2017 より引用)

(b) 引張応力下における応力ーひずみ関係

引張応力下における応力ーひずみ関係は、ひび割れ発生までは線形弾性とし、ひび割れ強度以降は、鉄筋とコンクリートの付着の影響等を考慮し、図 4-7 に示す骨格曲線を用いて、ひび割れ間のコンクリートに引張応力分担を考慮する。

引張力を受ける無筋コンクリート要素では、引張軟化挙動は、破壊エネルギー ( $G_f$ ) によって定義する。引張軟化挙動の考慮に当たっては、図 4-8 に示すひび割れ発生後の軟化曲線とひび割れ発生点からの除荷曲線とで囲まれる面積が  $G_f/Le$  (要素寸法) に一致するように、軟化特性を表す係数  $c$  を用いる。



ここに、  
 $f_t$  : 引張強度  
 $\varepsilon_{tu}$  : 引張軟化開始ひずみ  
 $c$  : 引張軟化特性を表す係数

図 4-7 引張対応力下における鉄筋とコンクリートの付着効果を考慮した応力ーひずみ関係  
(コンクリート標準示方書 2017 より引用)

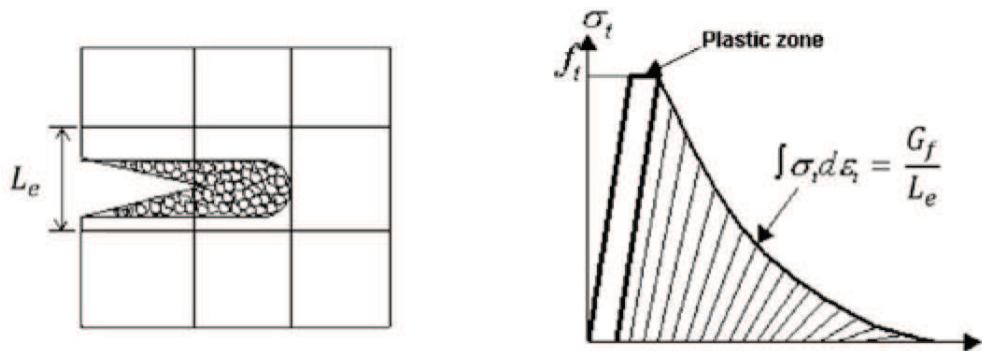
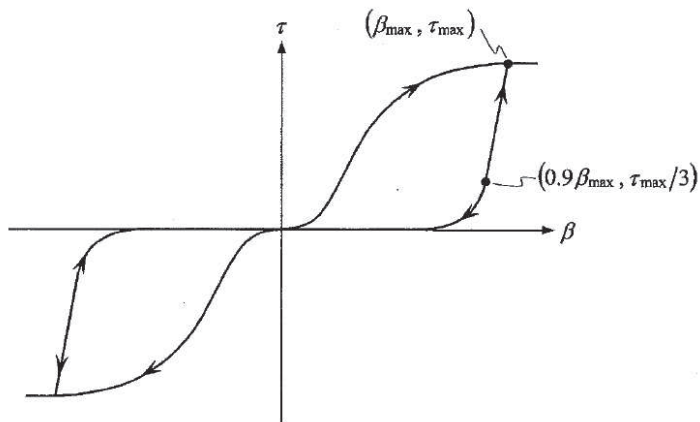


図 4-8 応力—ひずみ曲線と破壊エネルギー $G_f$  の関係

### (c) ひび割れ面でのせん断伝達関係

コンクリートのひび割れ発生後にひび割れ角度を固定する固定ひび割れモデルでは、ひび割れ面のずれによるせん断応力伝達特性を考慮する必要がある。

ひび割れ面でのせん断伝達挙動は、斜めひび割れの発生に伴う剛性低下や破壊を評価するため、図 4-9 に示すとおり、ひび割れ面におけるせん断ひずみ  $\gamma$  とひび割れ開口ひずみ  $\varepsilon$  の比をパラメータとし、コンクリートの剛性低下を考慮するモデルを用いる。



ここに、 $\beta$  : ひび割れ面におけるせん断ひずみ  $\gamma$  とひび割れ開口ひずみ  $\varepsilon$  の比  
 $(\gamma / \varepsilon)$

$\tau$  : ひび割れ面でのせん断応力

$\tau_{\text{max}}$  : 除荷開始時せん断応力

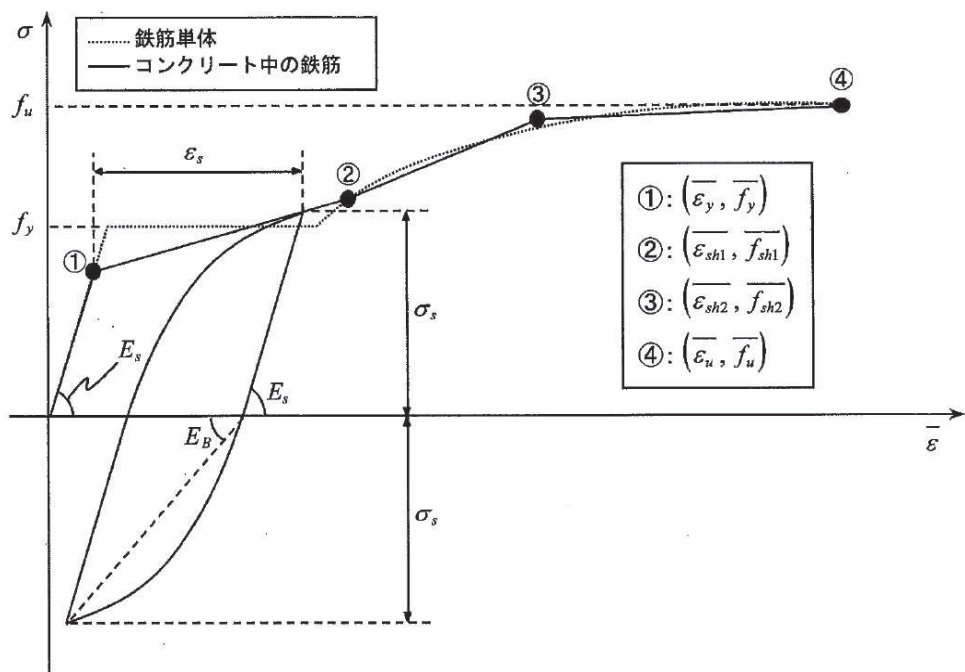
$\beta_{\text{max}}$  : 除荷開始時せん断ひずみ  $\gamma$  とひび割れ開口ひずみ  $\varepsilon$  の比

図 4-9 ひび割れ面でのせん断伝達モデル

(コンクリート標準示方書 2017 より引用)

e. 鉄筋の非線形特性

ひび割れを複数含む領域におけるコンクリート中の鉄筋の平均応力－平均ひずみ関係は、単体鉄筋の応力－ひずみ関係と異なり、図 4-10 に示すひずみ硬化特性を考慮する。



$f_y$  : 鉄筋単体の降伏強度 ( $N/mm^2$ )

$f_u$  : 鉄筋単体の引張強度 ( $N/mm^2$ )

$E_s$  : 鉄筋単体のヤング率 ( $N/mm^2$ )

$\epsilon_y$  : 鉄筋単体の降伏ひずみ

$\epsilon_{sh}$  : 鉄筋単体のひずみ硬化開始ひずみ

p : 鉄筋比

$f_1$  : コンクリートの引張強度 ( $N/mm^2$ )

図 4-10 ひずみ硬化域までモデル化した鉄筋の平均応力－平均ひずみ関係  
(コンクリート標準示方書 2017 より引用)

f. 鉄筋コンクリートとしてのモデル化

コンクリートと鉄筋の界面の付着特性をテンションスティフニング効果（引張特性が硬化する現象）として、鉄筋コンクリート要素の中に取り込むことにより、鉄筋コンクリートの構成則を直接与える。

鉄筋コンクリートの引張応力下の平均応力は、以下の式で表される。

$$\bar{\sigma}_{RC} = \frac{A_s}{A_{RC}} \bar{\sigma}_s + \frac{A_c}{A_{RC}} \bar{\sigma}_c$$

ここに、 $\bar{\sigma}_s$ ,  $\bar{\sigma}_c$  : それぞれ鉄筋とコンクリートの平均応力

$A_s$ ,  $A_c$  : それぞれ鉄筋とコンクリートの断面積,  $A_{RC} = A_s + A_c$

g. 荷重の組合せ

材料非線形解析においては、地震応答解析（部材非線形解析）により得られた荷重を用いることから、荷重の組み合わせは、地震応答解析と同様である。

## (2) 評価内容

### a. 耐震評価フロー

材料非線形解析を用いたせん断耐力評価の評価フローを図 4-11 に示す。

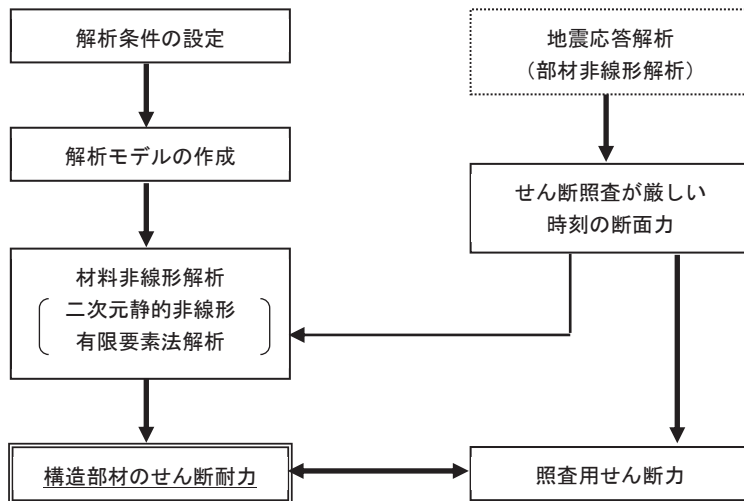


図 4-11 材料非線形解析の耐震評価フロー

### b. 荷重の設定

材料非線形解析にて考慮する荷重は、地震応答解析（二次元時刻歴応答解析（全応力解析及び有効応力解析））から得られる荷重を考慮する。具体的には、地震応答解析で評価対象部材のせん断照査結果が厳しくなる時刻における断面力（曲げモーメント、軸力、せん断力）を材料非線形解析モデルに図 4-12 に示すとおりに作用させる。

材料非線形解析では、地震応答解析で得られた照査時刻の断面力分布を再現できる荷重分布を算出し、この荷重比率を維持しながら漸増載荷する。

作用荷重は、常時荷重及び地震時荷重を、図 4-13 に示すとおり載荷し材料非線形解析を実施する。

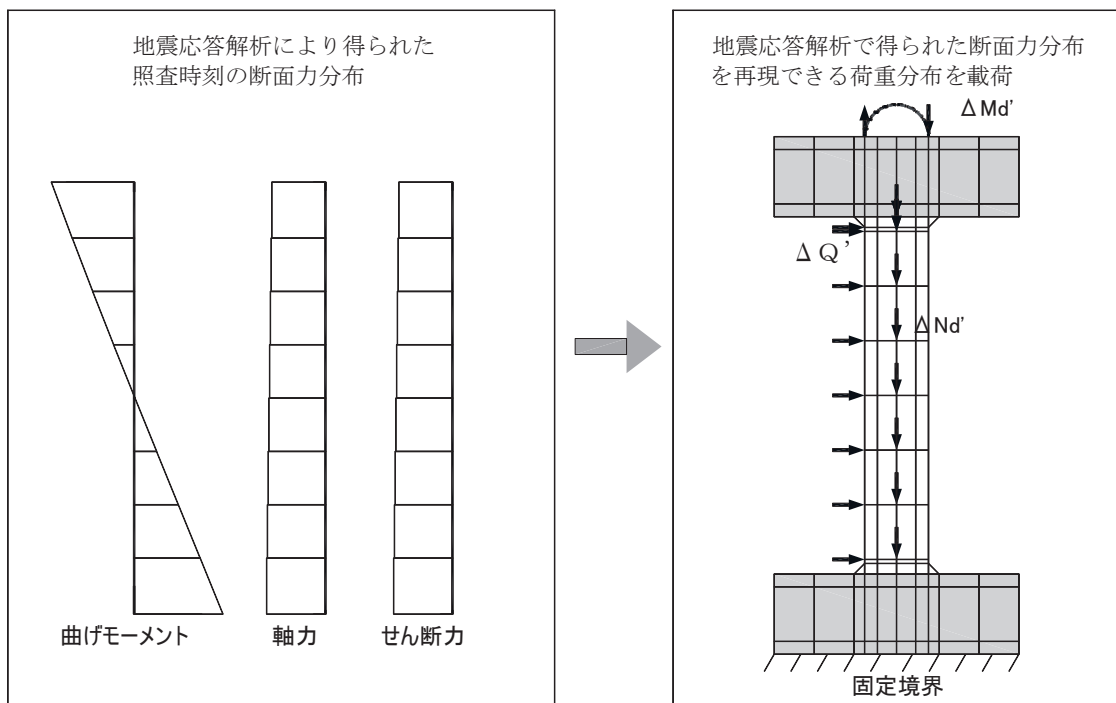


図 4-12 材料非線形解析における載荷状況

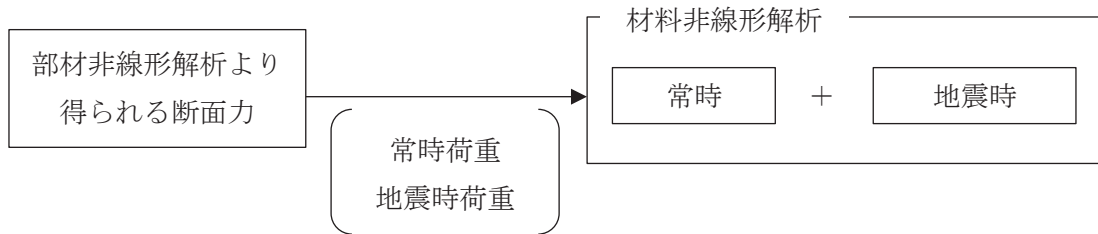


図 4-13 荷重の作用手順

### c. せん断耐力

材料非線形解析を用いたせん断耐力は、材料非線形解析におけるせん断力－相対変位関係から設定する。具体的には、図 4-14 に示す例のとおり、せん断力  $Q$ －相対変位  $\delta$  関係においてせん断力の増分に対して相対変位が急増する直前の点を部材のせん断耐力と判断する。

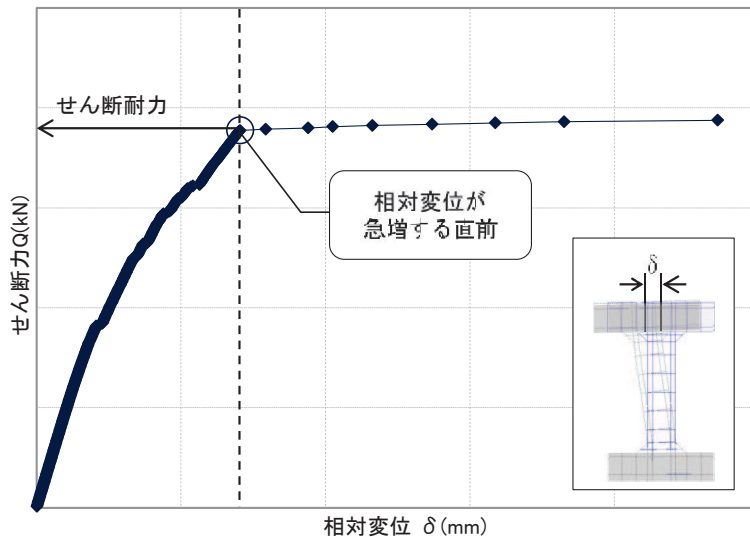


図 4-14 材料非線形解析を用いたせん断耐力の設定例

#### d. 安全係数の設定

材料非線形解析では、地震応答解析（二次元時刻歴応答解析（全応力解析及び有効応力解析））で得られる断面力（曲げモーメント、軸力、せん断力）を材料非線形解析に作用させた時のせん断力  $V$  と材料非線形解析で得られるせん断耐力  $V_y$  に、以下のとおり部材係数  $\gamma_{b1}$ ,  $\gamma_{b2}$ , 構造解析係数  $\gamma_a$ , 構造物係数  $\gamma_i$  を考慮し、照査用せん断力  $V_d$ , 設計せん断耐力  $V_{yd}$  を算定する。

$$V_d = \gamma_i \cdot \gamma_a \cdot V$$

$$V_{yd} = V_y / (\gamma_{b1} \cdot \gamma_{b2})$$

考慮する安全係数の設定結果を表 4-10 に示す。ここで、部材係数  $\gamma_{b1}$  については、実験又はせん断耐力式により得られるせん断耐力と材料非線形解析により得られるせん断耐力との比率により設定することとし、解析における構成則の相違や、要素の種類、要素分割、材料物性の設定、入力増分等、多岐にわたる解析者間の差を考慮する。

具体的には、土木学会マニュアルに示される 17 ケースの材料非線形解析を実施し、実験又はせん断耐力との差が最も大きい Case No. 7 の部材係数 1.14 を設定する（表 4-11）。

表 4-10 考慮する安全係数の設定結果

安全係数*		値	設定根拠
部材係数	$\gamma_{b1}$	1.14	別途実施する材料非線形解析により設定
	$\gamma_{b2}$	1.0	地震応答解析による層間変形角より設定
構造物係数	$\gamma_i$	1.0	構造物の重要度は、基準地震動 S s により評価することで包絡されていると判断
構造解析係数	$\gamma_a$	1.05	各種文献より保守的に設定
材料係数	$\gamma_m$	1.3	文献に基づく標準的な値を設定

表 4-11 部材係数  $\gamma_{b1}$  の設定結果

Case No.	試験結果		部材係数 (解析結果/ 実験結果) (②/①)	備考
	せん断耐力 (kN) ①	せん断耐力 (kN) ②		
1	475	427.5	0.90	
2	1187	1222.6	1.03	
3	324	359.6	1.11	
4	294	311.6	1.06	
5	581	517.1	0.89	
6	329	338.9	1.03	
7	1587	1809.2	1.14	最大値
8	350	395.5	1.13	
9	855	880.6	1.03	
10	165	104.0	0.63	
11	333	359.6	1.08	
12	127	99.1	0.78	
13	188	120.3	0.64	
14	163	117.4	0.72	
15	273	185.6	0.68	
16	356	320.4	0.90	
17	432	250.6	0.58	

#### 4.2.4 基礎地盤の支持性能に対する許容限界

基礎地盤（狐崎部層）に発生する接地圧に対する許容限界は、添付書類「VI-2-1-3 地盤の支持性能に係る基本方針」に基づき、岩盤の極限支持力とする。

基礎地盤（狐崎部層）の許容限界を表4-12に示す。

表4-12 基礎地盤の支持性能に対する許容限界

評価項目	基礎地盤	許容限界 (N/mm <sup>2</sup> )
極限支持力	狐崎部層	13.7

## 5. 評価結果

### 5.1 地震応答解析結果

全応力解析及び有効応力解析の地震応答解析結果として「層間変形角時刻歴波形」，断面力に対し照査を行っている項目のうち最も厳しい照査値に対する「断面力分布」，曲げ・軸力系の破壊に対する照査及びせん断破壊に対する照査で最大照査値を示すケースの地盤の「最大せん断ひずみ分布」，「過剰間隙水圧比分布」を記載する。なお，断面力分布は単位奥行きあたりの断面力を図示する。

### 5.1.1 解析ケースと照査値

耐震評価における解析ケースについては、「資料 1 屋外重要土木構造物の耐震安全性評価について」のうち「10. 屋外重要土木構造物等の耐震評価における追加解析ケースの選定」に基づき設定する。

土砂部（断面①）については、全応力解析及び有効応力解析の両解析により耐震評価を行うことから、すべての基準地震動 S s に対して実施するケース①（全応力解析）及びケース⑥（有効応力解析）を基本ケースとし、曲げ・軸力系の破壊、せん断破壊及び基礎地盤の支持力照査において、照査値が 0.5 以上となるすべての照査項目に対して、最も厳しい（許容限界に対する裕度が最も小さい）地震動を用いて、全応力解析の場合はケース②～④、有効応力解析の場合はケース⑦及び⑧を実施する。

岩盤部（断面⑤）については、全応力解析により耐震評価を行うことから、ケース①（全応力解析）を基本ケースとし、曲げ・軸力系の破壊、せん断破壊及び基礎地盤の支持力照査において、照査値が 0.5 以上となるすべての照査項目に対して、最も厳しい（許容限界に対する裕度が最も小さい）地震動を用いて、ケース②～④を実施する。

また、上記実施ケースの結果を踏まえ、更に照査値が大きくなる可能性がある場合は、追加解析を実施する。

以下に、排気筒連絡ダクトの曲げ・軸力系の破壊に対する照査、せん断破壊に対する照査及び基礎地盤の支持性能に対する照査結果を示す。なお、評価位置を図 5-1 に示す。

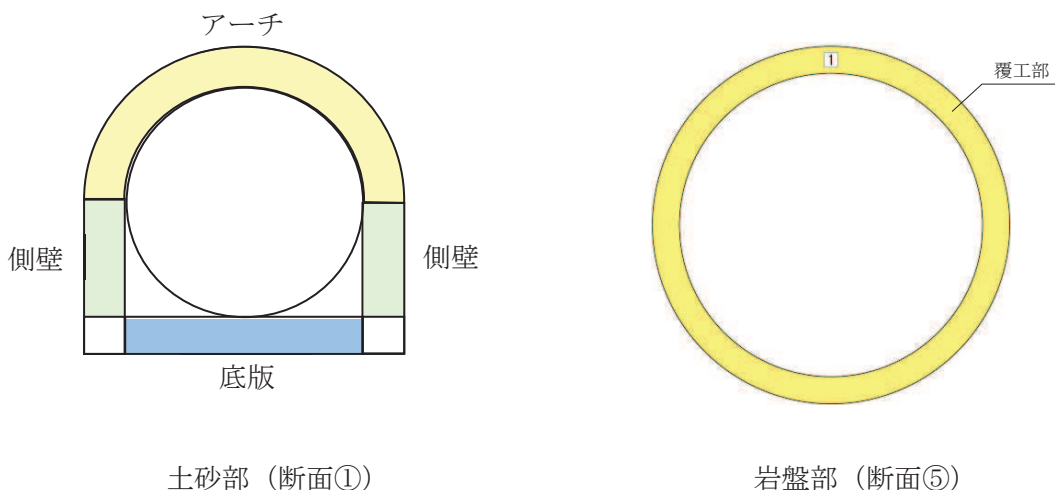


図 5-1 評価位置図

(1) 土砂部 (断面①)

a. 曲げ・軸力系の破壊に対する照査

表 5-1 に曲げ・軸力系の破壊に対する照査の実施ケースと照査値を示す。

曲げ・軸力系の破壊に対する照査は、全応力解析においては限界層間変形角又は限界ひずみを許容限界とし、有効応力解析においては、降伏曲げモーメントを許容限界とする。なお、詳細については、「5.2.1 曲げ・軸力系の破壊に対する評価結果」のうち「(1) 土砂部 (断面①)」に示す。

曲げ・軸力系の破壊に対する照査値は、ばらつきを考慮しても 0.79 であり、要求機能を満足していると評価できる。

表 5-1(1) 曲げ・軸力系の破壊に対する照査の実施ケースと照査値

地震動	解析ケース	曲げ・軸力系の破壊に対する照査 <sup>*1, 2</sup>				
		全応力解析				
		①	②	③	④	
S s - D 1	++	0.66				
	-+	0.63				
S s - D 2	++	0.79	0.79	0.78	0.79	
	-+	0.74				0.75
S s - D 3	++	0.62				
	-+	0.58				
S s - F 1	++	0.63				
	-+	0.63				
S s - F 2	++	0.70				
	-+	0.67				
S s - F 3	++	0.40				
	-+	0.38				
S s - N 1	++	0.57	0.56	0.59	0.58	
	-+	0.59				

注記\*1：照査値は、構造強度を有することに対する評価結果（層間変形角）と S クラスの施設を支持する機能に対する評価結果（ひずみ）の厳しい方を記載。

\*2：赤枠は、前述図3-25のフローに基づき、解析ケース②～④を実施する地震動の基本ケース①の照査値を示す。

表 5-1(2) 曲げ・軸力系の破壊に対する照査の実施ケースと照査値

地震動	解析ケース	曲げ・軸力系の破壊に対する照査 <sup>*1, 2</sup>		
		有効応力解析		
		(⑥)	(⑦)	(⑧)
S s - D 1	++	0.55		
	-+	0.55		
S s - D 2	++	0.61		
	-+	0.62		
S s - D 3	++	0.66		
	-+	0.67	0.67	0.67
S s - F 1	++	0.67		
	-+	0.67		
S s - F 2	++	0.63		
	-+	0.64		
S s - F 3	++	0.46		
	-+	0.45		
S s - N 1	++	0.62		
	-+	0.62		

注記\*1：照査値は、構造部材の健全性に対する評価結果（層間変形角）と S クラスの施設を支持する機能に対する評価結果（曲げモーメント）の厳しい方を記載

\*2：赤枠は、前述図 3-25 のフローに基づき、解析ケース⑦及び⑧を実施する地震動の基本ケース⑥の照査値を示す。

b. せん断破壊に対する照査

表 5-2 にせん断破壊に対する照査の実施ケースと照査値を示す。

せん断破壊に対する照査は、せん断耐力を許容限界とする。

せん断破壊に対する照査に用いるせん断耐力は、せん断耐力式により算定しているが、照査値が 1.0 を超えるケースについては、構造部材の形状、作用荷重及び鉄筋コンクリートの非線形特性を踏まえた材料非線形解析を実施することにより、より高い精度でせん断耐力を求め照査を行っている。材料非線形解析によりせん断耐力を求めた照査値については、せん断耐力式によるせん断耐力を併記する。

なお、詳細については、「5.2.2 せん断破壊に対する評価結果」のうち「(1) 土砂部(断面①)」に示す。

せん断破壊に対する照査値は、より高い精度でせん断耐力を評価する材料非線形解析による照査を用い、ばらつきを考慮しても 0.88 であり、要求機能を満足していると評価できる。

表 5-2(1) せん断破壊に対する照査の実施ケースと照査値 (アーチ) \*

地震動	解析ケース	せん断破壊に対する照査			
		全応力解析			
		①	②	③	④
S s - D 1	++	0.85			
	-+	0.84			
S s - D 2	++	0.83	0.83	0.82	0.84
	-+	0.86			
S s - D 3	++	0.76			
	-+	0.77			
S s - F 1	++	0.76			
	-+	0.77			
S s - F 2	++	0.81			
	-+	0.80			
S s - F 3	++	0.59			
	-+	0.57			
S s - N 1	++	0.81	0.80	0.82	0.82
	-+	0.80			

注：せん断耐力式による照査値を示す。

注記\*：評価位置を図 5-5 に示す。

表 5-2(2) せん断破壊に対する照査の実施ケースと照査値（アーチ）\*

地震動	解析ケース	せん断破壊に対する照査		
		有効応力解析		
		(6)	(7)	(8)
S s - D 1	++	0.65		
	-+	0.64		
S s - D 2	++	0.72		
	-+	0.73		
S s - D 3	++	0.77		
	-+	0.76	0.77	0.76
S s - F 1	++	0.72		
	-+	0.73		
S s - F 2	++	0.67		
	-+	0.67		
S s - F 3	++	0.51		
	-+	0.51		
S s - N 1	++	0.73		
	-+	0.72		

注：せん断耐力式による照査値を示す。

注記\*：評価位置を図 5-5 に示す。

表5-2(2) せん断破壊に対する照査の実施ケースと照査値（側壁）<sup>\*1</sup>

地震動	解析ケース	せん断破壊に対する照査			
		全応力解析			
		①	②	③	④
S s - D 1	++	0.61 <sup>*2</sup> (1.69)			
	-+	0.62 <sup>*2</sup> (1.69)			
S s - D 2	++	0.63 <sup>*2</sup> (1.61)	0.62 <sup>*2</sup> (1.61)	0.63 <sup>*2</sup> (1.61)	0.63 <sup>*2</sup> (1.63)
	-+	0.59 <sup>*2</sup> (1.56)			
S s - D 3	++	0.60 <sup>*2</sup> (1.56)			
	-+	0.61 <sup>*2</sup> (1.54)			
S s - F 1	++	0.59 <sup>*2</sup> (1.45)			
	-+	0.62 <sup>*2</sup> (1.46)			
S s - F 2	++	0.61 <sup>*2</sup> (1.48)			
	-+	0.66 <sup>*2</sup> (1.60)			
S s - F 3	++	0.57 <sup>*2</sup> (1.47)			
	-+	0.52 <sup>*2</sup> (1.39)			
S s - N 1	++	0.72 <sup>*2</sup> (1.74)	0.69 <sup>*2</sup> (1.73)	0.76 <sup>*2</sup> (1.76)	0.74 <sup>*2</sup> (1.75)
	-+	0.68 <sup>*2</sup> (1.72)			

注記1\*：評価位置を図5-5に示す。

注記2\*：材料非線形解析によるせん断耐力を用いた照査値を示す。なお、( ) 内に記載の数値は、せん断耐力式による照査値を示す。

表5-2(3) せん断破壊に対する照査の実施ケースと照査値（側壁）\*1

地震動	解析ケース	せん断破壊に対する照査		
		有効応力解析		
		(6)	(7)	(8)
S s - D 1	++	0.53* <sup>2</sup> (1.23)		
	-+	0.51* <sup>2</sup> (1.22)		
S s - D 2	++	0.57* <sup>2</sup> (1.33)		
	-+	0.58* <sup>2</sup> (1.34)		
S s - D 3	++	0.66* <sup>2</sup> (1.34)		
	-+	0.66* <sup>2</sup> (1.32)	0.64* <sup>2</sup> (1.32)	0.63* <sup>2</sup> (1.31)
S s - F 1	++	0.50* <sup>2</sup> (1.26)		
	-+	0.60* <sup>2</sup> (1.27)		
S s - F 2	++	0.51* <sup>2</sup> (1.18)		
	-+	0.51* <sup>2</sup> (1.18)		
S s - F 3	++	0.43* <sup>2</sup> (1.03)		
	-+	0.41* <sup>2</sup> (1.06)		
S s - N 1	++	0.52* <sup>2</sup> (1.28)		
	-+	0.50* <sup>2</sup> (1.28)		

注記\*1：評価位置を図5-5に示す。

注記\*2：材料非線形解析によるせん断耐力を用いた照査値を示

す。なお、( )内に記載の数値は、せん断耐力式による  
照査値を示す。

表5-2(4) せん断破壊に対する照査の実施ケースと照査値（底版）<sup>\*1</sup>

地震動	解析ケース	せん断破壊に対する照査 <sup>*2</sup>			
		全応力解析			
		(1)	(2)	(3)	(4)
S s - D 1	++	0.84 <sup>*3</sup> (1.36)			
	-+	0.82 <sup>*3</sup> (1.34)			
S s - D 2	++	0.76 <sup>*3</sup> (1.24)	0.76 <sup>*3</sup> (1.24)	0.78 <sup>*3</sup> (1.25)	0.78 <sup>*3</sup> (1.25)
	-+	0.86 <sup>*3</sup> (1.24)			0.87 <sup>*3</sup> (1.24)
S s - D 3	++	0.77 <sup>*3</sup> (1.22)			
	-+	0.76 <sup>*3</sup> (1.21)			
S s - F 1	++	0.79 <sup>*3</sup> (1.22)			
	-+	0.74 <sup>*3</sup> (1.19)			
S s - F 2	++	0.75 <sup>*3</sup> (1.18)			
	-+	0.81 <sup>*3</sup> (1.25)			
S s - F 3	++	0.69 <sup>*3</sup> (1.14)			
	-+	0.67 <sup>*3</sup> (1.09)			
S s - N 1	++	0.87 <sup>*3</sup> (1.37)	0.86 <sup>*3</sup> (1.36)	0.88 <sup>*3</sup> (1.38)	0.88 <sup>*3</sup> (1.36)
	-+	0.86 <sup>*3</sup> (1.35)			

注記\*1：評価位置を図5-5に示す。

注記\*2：赤枠は、前述図3-25のフローに基づき、解析ケース②～④を実施する地震動の基本ケース①の照査値を示す。

\*3：材料非線形解析によるせん断耐力を用いた照査値を示す。なお、( )内に記載の数値は、せん断耐力式による照査値を示す。

表 5-2(5) せん断破壊に対する照査の実施ケースと照査値（底版）\*1

地震動	解析ケース	せん断破壊に対する照査*2		
		有効応力解析		
		(6)	(7)	(8)
S s - D 1	++	0.65* <sup>3</sup> (1.03)		
	-+	0.66* <sup>3</sup> (1.02)		
S s - D 2	++	0.68* <sup>3</sup> (1.04)		
	-+	0.68* <sup>3</sup> (1.03)		
S s - D 3	++	0.71* <sup>3</sup> (1.08)		
	-+	0.73* <sup>3</sup> (1.09)	0.73* <sup>3</sup> (1.10)	0.72* <sup>3</sup> (1.08)
S s - F 1	++	0.98		
	-+	0.69* <sup>3</sup> (1.01)		
S s - F 2	++	0.95		
	-+	0.95		
S s - F 3	++	0.91		
	-+	0.88		
S s - N 1	++	0.98		
	-+	0.97		

注記\*1：評価位置を図 5-5 に示す。

注記\*2：赤枠は、前述図 3-25 のフローに基づき、解析ケース⑦及び⑧を実施する地震動の基本ケース①の照査値を示す。

\*3：材料非線形解析によるせん断耐力を用いた照査値を示す。

なお、( ) 内に記載の数値は、せん断耐力式による照査値を示す。

c. 基礎地盤の支持性能に対する照査

表 5-3 に基づき基礎地盤の支持性能に対する照査の実施ケースと照査値を示す。

基礎地盤の支持性能に対する照査は、極限支持力を許容限界とする。なお、詳細については、「5.3 基礎地盤の支持性能に対する評価結果」のうち「5.3.1 土砂部(断面①)」に示す。

基礎地盤の支持性能に対する照査は、ばらつきを考慮しても極限支持力に基づく許容限界に対して 0.5 未満であり、要求機能を満足していると評価できる。

表 5-3(1) 基礎地盤の支持性能に対する照査の実施ケースと照査値

地震動	解析ケース	基礎地盤の支持性能に対する照査			
		全応力解析			
		①	②	③	④
S s - D 1	++	0.22			
	-+	0.22			
S s - D 2	++	0.22	0.22	0.22	0.22
	-+	0.25			
S s - D 3	++	0.22			
	-+	0.20			
S s - F 1	++	0.21			
	-+	0.22			
S s - F 2	++	0.22			
	-+	0.25			
S s - F 3	++	0.22			
	-+	0.20			
S s - N 1	++	0.24	0.24	0.25	0.24
	-+	0.22			

表 5-3(2) 基礎地盤の支持性能に対する照査の実施ケースと照査値

地震動	解析ケース	基礎地盤の支持性能に対する照査		
		有効応力解析		
		(6)	(7)	(8)
S s - D 1	++	0.21		
	-+	0.21		
S s - D 2	++	0.22		
	-+	0.22		
S s - D 3	++	0.23		
	-+	0.23	0.23	0.22
S s - F 1	++	0.21		
	-+	0.21		
S s - F 2	++	0.20		
	-+	0.20		
S s - F 3	++	0.20		
	-+	0.19		
S s - N 1	++	0.22		
	-+	0.21		

## (2) 岩盤部 (断面⑤)

### a. 曲げ・軸力系の破壊に対する照査

表5-4に曲げ・軸力系の破壊に対する照査の実施ケースと照査値を示す。

曲げ・軸力系の破壊に対する照査は、短期許容応力度を許容限界とする。なお、詳細については、「5.2.1 曲げ・軸力系の破壊に対する評価結果」のうち「(2)岩盤部 (断面⑤)」に示す。

曲げ・軸力系の破壊に対する照査値は、ばらつきを考慮しても、保守的な許容限界である短期許容応力度に対して0.67であり、要求機能を満足していると評価できる。

表5-4 曲げ・軸力系の破壊に対する照査の実施ケースと照査値

地震動	解析ケース	曲げ・軸力系の破壊に対する照査*			
		①	②	③	④
S s - D 1	++	0.39			
	-+	0.53			
S s - D 2	++	0.45			
	-+	0.61	0.54	0.65	0.67
S s - D 3	++	0.40			
	-+	0.52			
S s - F 1	++	0.53			
	-+	0.52			
S s - F 2	++	0.55			
	-+	0.56			0.61
S s - F 3	++	0.49			
	-+	0.52			
S s - N 1	++	0.43			
	-+	0.42			

注記\* : 赤枠は、前述図3-25のフローに基づき、解析ケース②～④を実施する地震動の基本ケース①の照査値を示す。

b. せん断破壊に対する照査

表 5-5 にせん断破壊に対する照査の実施ケースと照査値を示す。

せん断破壊に対する照査は、短期許容応力度を許容限界とする。なお、詳細について  
は、「5.2.2 せん断破壊に対する評価結果」のうち「(2) 岩盤部（断面⑤）」に示す。

せん断破壊に対する照査値は、ばらつきを考慮しても、保守的な許容限界である短期  
許容応力度に対して 0.5 未満であり、要求機能を満足していると評価できる。

表 5-5 せん断破壊に対する照査の実施ケースと照査値

地震動	解析ケース	せん断破壊に対する照査			
		①	②	③	④
S s - D 1	++	0.32			
	-+	0.32			
S s - D 2	++	0.35			
	-+	0.35	0.34	0.39	0.37
S s - D 3	++	0.29			
	-+	0.32			
S s - F 1	++	0.26			
	-+	0.26			
S s - F 2	++	0.32			
	-+	0.34			
S s - F 3	++	0.26			
	-+	0.24			
S s - N 1	++	0.24			
	-+	0.21			

c. 基礎地盤の支持性能に対する照査

表 5-6 に基礎地盤の支持性能に対する照査の実施ケースと照査値を示す。

基礎地盤の支持性能に対する照査は、極限支持力を許容限界とする。なお、詳細については、「5.3 基礎地盤の支持性能に対する評価結果」のうち「5.3.2 岩盤部(断面⑤)」に示す。

基礎地盤の支持性能に対する照査は、ばらつきを考慮しても極限支持力に基づく許容限界に対して 0.5 未満であり、要求機能を満足していると評価できる。

表 5-6 基礎地盤の支持性能に対する照査の実施ケースと照査値

地震動		基礎地盤の支持性能に対する照査			
		①	②	③	④
S s - D 1	++	0.04			
	-+	0.03			
S s - D 2	++	0.04			
	-+	0.04	0.04	0.04	0.04
S s - D 3	++	0.03			
	-+	0.03			
S s - F 1	++	0.03			
	-+	0.03			
S s - F 2	++	0.03			
	-+	0.03			
S s - F 3	++	0.03			
	-+	0.03			
S s - N 1	++	0.03			
	-+	0.03			

### 5.1.2 層間変形角時刻歴波形（曲げ・軸力系の破壊に対する照査）

土砂部（断面①）における排気筒連絡ダクトの曲げ・軸力系の破壊に対する照査において、各解析ケースのうち最も厳しい照査値となる結果を表5-7に示す。また、該当する解析ケースの層間変形角時刻歴波形を図5-2に示す。

表5-7(1) 曲げ・軸力系の破壊に対する照査結果  
(最も厳しい照査値とその地震動：全応力解析)

解析ケース	地震動	照査用層間変形角* $R_d$	限界層間変形角 $R_u$	照査値 $R_d/R_u$
②	S s-D 2 (++)	$1.41 \times 10^{-3}$	$1.0 \times 10^{-2}$	0.15

注記\*：照査用層間変形角  $R_d = \text{最大層間変形角} R \times \text{構造解析係数} \gamma_a$

表5-7(2) 曲げ・軸力系の破壊に対する照査結果  
(最も厳しい照査値とその地震動：有効応力解析)

解析ケース	地震動	照査用層間変形角* $R_d$	限界層間変形角 $R_u$	照査値 $R_d/R_u$
⑦	S s-D 3 (-+)	$1.26 \times 10^{-3}$	$1.0 \times 10^{-2}$	0.13

注記\*：照査用層間変形角  $R_d = \text{最大層間変形角} R \times \text{構造解析係数} \gamma_a$

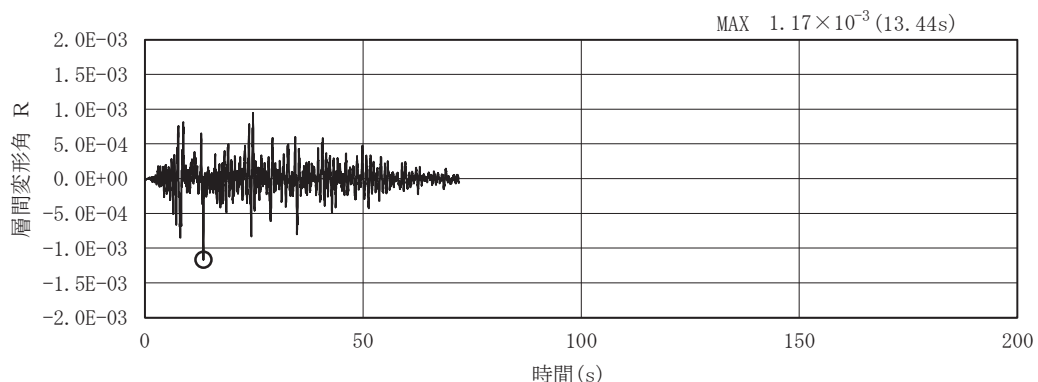


図5-2(1) 曲げ・軸力系の破壊に対する照査が最も厳しくなる  
ケースの層間変形角時刻歴波形（全応力解析）（解析ケース②，S s-D 2 (++)）

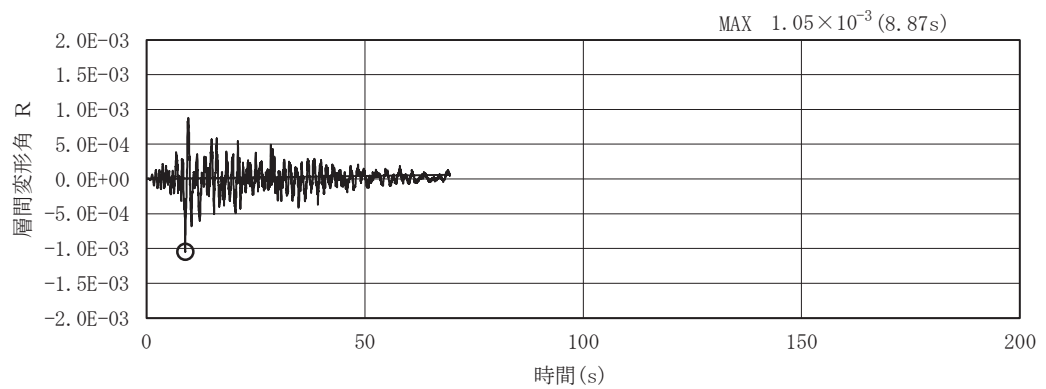


図 5-2(2) 曲げ・軸力系の破壊に対する照査が最も厳しくなる  
ケースの層間変形角時刻歴波形（有効応力解析）（解析ケース⑦，S s-D 3 （-+））

### 5.1.3 断面力分布（曲げ・軸力系の破壊に対する照査）

岩盤部（断面⑤）における排気筒連絡ダクトの曲げ・軸力系の破壊に対する照査において、各解析ケースのうち最も厳しい照査値となる結果を表5-8に示す。

また、最も厳しい照査値となる時刻における断面力分布図（曲げモーメント、軸力、せん断力）を図5-4に示す。

表5-8(1) 曲げ・軸力系の破壊に対する照査（コンクリート）  
(最も厳しい照査値とその地震動)

評価位置*		解析 ケース	地震動	曲げ モーメント (kN・m)	軸力 (kN)	発生 応力度 $\sigma'_c$ (N/mm <sup>2</sup> )	短期許容 応力度 $\sigma'_{ca}$ (N/mm <sup>2</sup> )	照査値 $\sigma'_c / \sigma'_{ca}$
覆工部	①	③	S s-D 2 (-+)	78	-70	4.5	11.7	0.39

注記\*：評価位置は図5-3に示す。

表5-8(2) 曲げ・軸力系の破壊に対する照査（鉄筋）  
(最も厳しい照査値とその地震動)

評価位置*		解析 ケース	地震動	曲げ モーメント (kN・m)	軸力 (kN)	発生 応力度 $\sigma_s$ (N/mm <sup>2</sup> )	短期許容 応力度 $\sigma_{sa}$ (N/mm <sup>2</sup> )	照査値 $\sigma_s / \sigma_{sa}$
覆工部	①	④	S s-D 2 (-+)	76	-37	196	294	0.67

注記\*：評価位置は図5-3に示す。

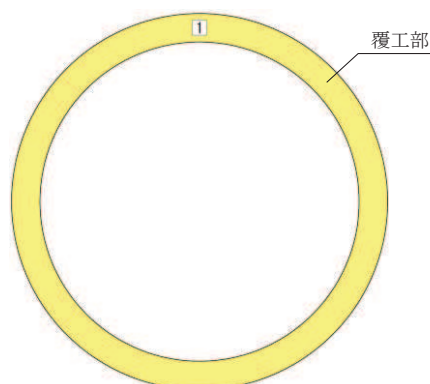


図5-3 評価位置図（岩盤部（断面⑤））

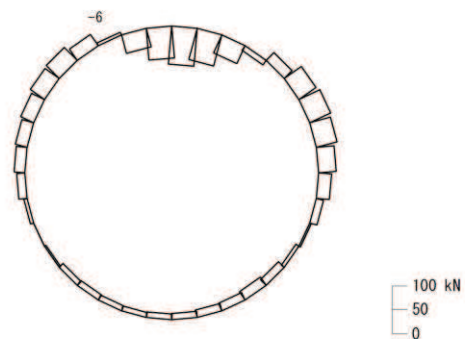
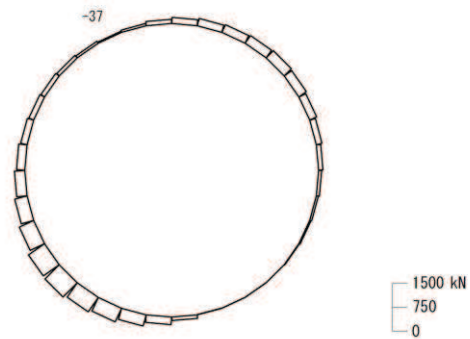
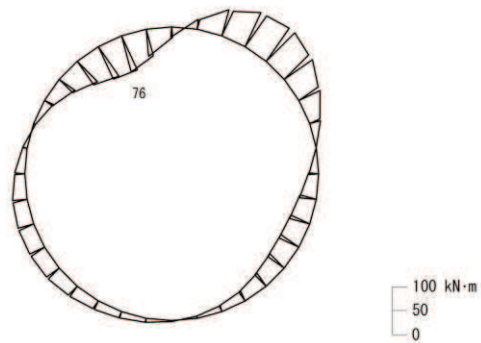


図 5-4 曲げ・軸力系の破壊に対する照査値最大時の断面力図  
(解析ケース④, S s-D 2 (-+))

### 5.1.4 断面力分布（せん断破壊に対する照査）

#### (1) 土砂部（断面①）

土砂部（断面①）におけるせん断破壊に対する照査について、各解析ケースのうち最も厳しい照査値となる結果を表5-9に示す。また、部材毎の照査値が最大となる時刻における断面力分布図（曲げモーメント、軸力、せん断力）を図5-6に示す。

表5-9(1) せん断破壊に対する最大照査値（全応力解析）

評価位置 <sup>*1</sup>		解析 ケース	地震動	照査用せん断力 <sup>*2</sup> $V_d$ (kN)	せん断耐力 $V_{yd}$ (kN)	照査値 $V_d/V_{yd}$
アーチ	[1]	①	S s-D 2 (-+)	946	1110 <sup>*3</sup>	0.86
側壁	[2]	③	S s-N 1 (++)	1883	2487 <sup>*4</sup>	0.76
底版	[4]	④	S s-N 1 (++)	2228	2537 <sup>*4</sup>	0.88

注記\*1：評価位置は図5-5に示す。

\*2：照査用せん断力＝発生せん断力×構造解析係数  $\gamma_a$

\*3：せん断耐力式によるせん断耐力

\*4：材料非線形解析によるせん断耐力

表5-9(2) せん断破壊に対する最大照査値（有効応力解析）

評価位置 <sup>*1</sup>		解析 ケース	地震動	照査用せん断力 <sup>*2</sup> $V_d$ (kN)	せん断耐力 $V_{yd}$ (kN)	照査値 $V_d/V_{yd}$
アーチ	[1]	⑦	S s-D 3 (-+)	848	1110	0.77
側壁	[3]	⑥	S s-D 3 (-+)	1394	2129 <sup>*3</sup>	0.66
底版	[4]	⑦	S s-D 3 (-+)	1653	2275 <sup>*3</sup>	0.73

注記\*1：評価位置は図5-5に示す。

\*2：照査用せん断力＝発生せん断力×構造解析係数  $\gamma_a$

\*3：せん断耐力式によるせん断耐力

\*4：材料非線形解析によるせん断耐力

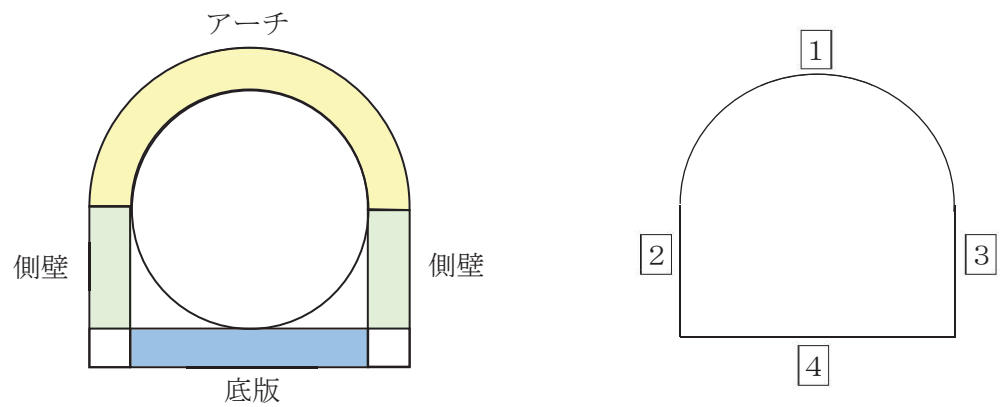


図 5-5 評価位置図 (土砂部 (断面①))

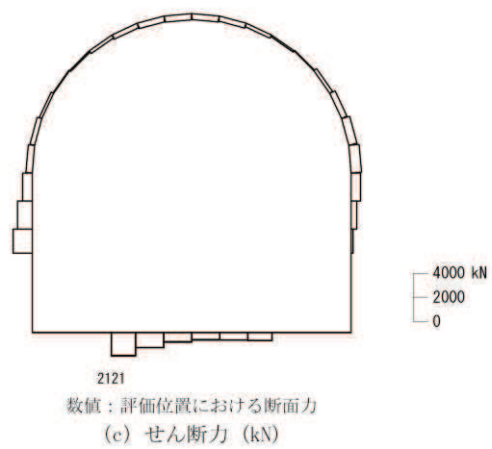
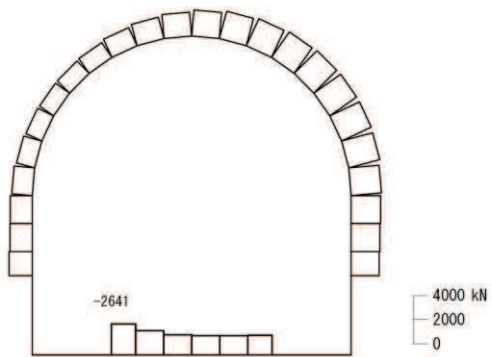
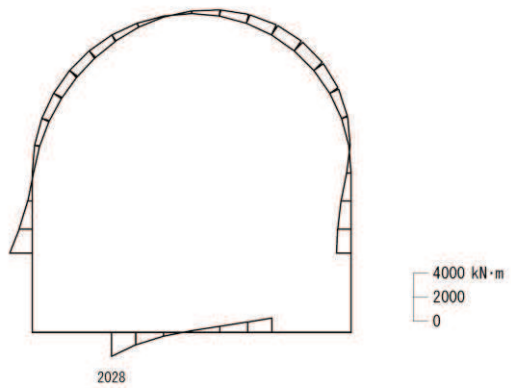


図 5-6(1) せん断破壊に対する照査値最大時\*の断面力図  
(全応力解析) (解析ケース④, S s - N 1 (++) )

注記\*：材料非線形解析による評価結果

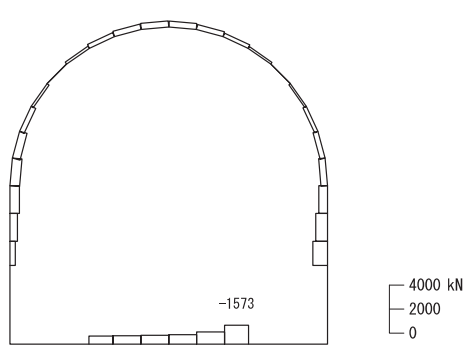
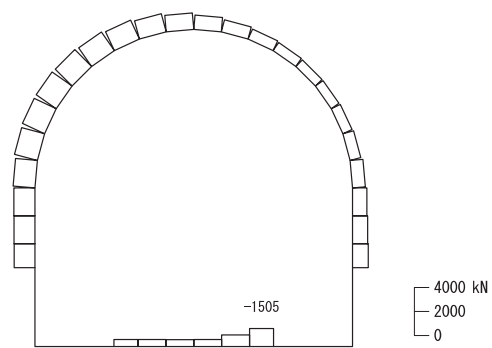
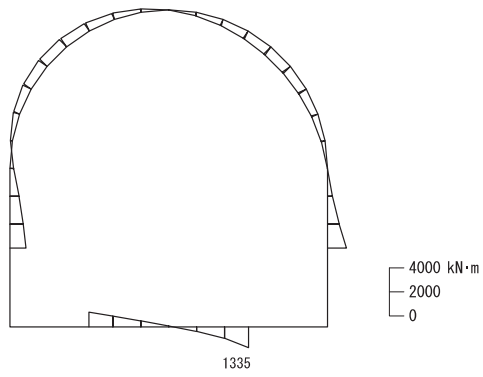


図 5-6(2) せん断破壊に対する照査値最大時\*の断面力図

(有効応力解析) (解析ケース⑦, S s-D 3 (-+))

注記\*：材料非線形解析による評価結果

(2) 岩盤部 (断面⑤)

岩盤部 (断面⑤) におけるせん断破壊に対する照査について、各解析ケースのうち最も厳しい照査値となる結果を表 5-10 に示す。また、最も厳しい照査値となる時刻における断面力分布図（曲げモーメント、軸力、せん断力）を図 5-7 に示す。

表 5-10 せん断破壊に対する最大照査値

評価位置*		解析 ケース	地震動	発生 せん断力 (kN)	発生 応力度 $\tau_d$ (N/mm <sup>2</sup> )	短期許容 応力度 $\tau_{a1}$ (N/mm <sup>2</sup> )	照査値 $\tau_d / \tau_{a1}$
覆工部	①	③	S s - D 2 (-+)	80	0.24	0.63	0.39

注記\* : 評価位置は図5-3に示す。

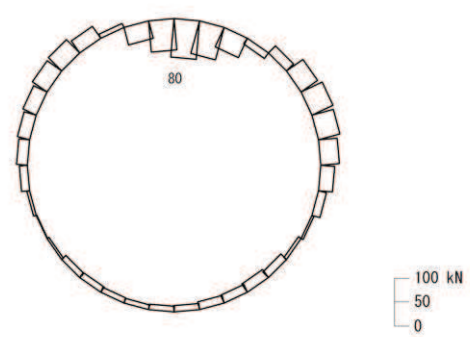
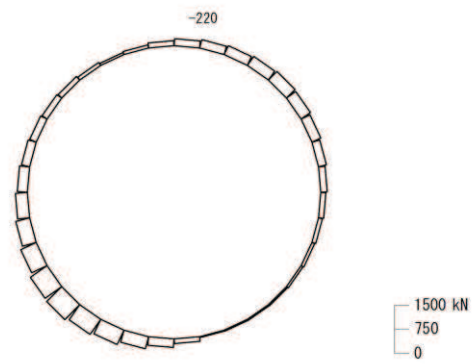
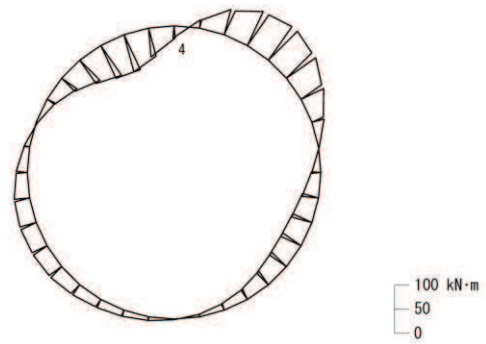


図 5-7 せん断破壊に対する照査値最大時の断面力図  
(解析ケース③, S s-D 2 (-+))

### 5.1.5 最大せん断ひずみ分布

#### (1) 土砂部 (断面①)

曲げ・軸力系の破壊に対する照査及びせん断破壊に対する照査で最大照査値を示すケースについて、地盤に発生した最大せん断ひずみを確認する。

最大照査値を示す解析ケースの一覧を表5-11に、最大せん断ひずみ分布図を図5-8に示す。

表5-11(1) 最大照査値を示すケースの一覧(全応力解析)

評価項目	
曲げ・軸力系の破壊に対する照査	せん断破壊に対する照査
ケース④ S s-D 2 (++)	ケース④ S s-N 1 (++)

表5-11(2) 最大照査値を示すケースの一覧(有効応力解析)

評価項目	
曲げ・軸力系の破壊に対する照査	せん断破壊に対する照査
ケース⑦ S s-D 3 (-+)	ケース⑦ S s-D 3 (-+)

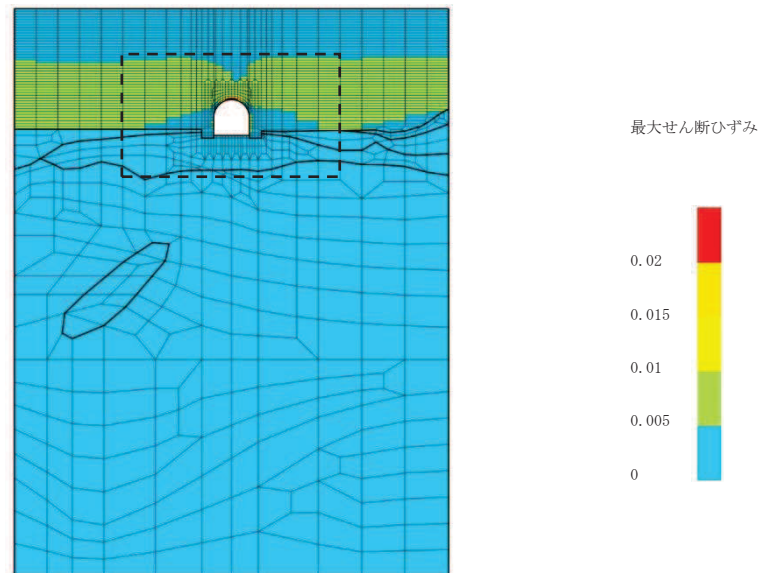
注：耐震評価における解析ケース一覧

#### 【全応力解析】

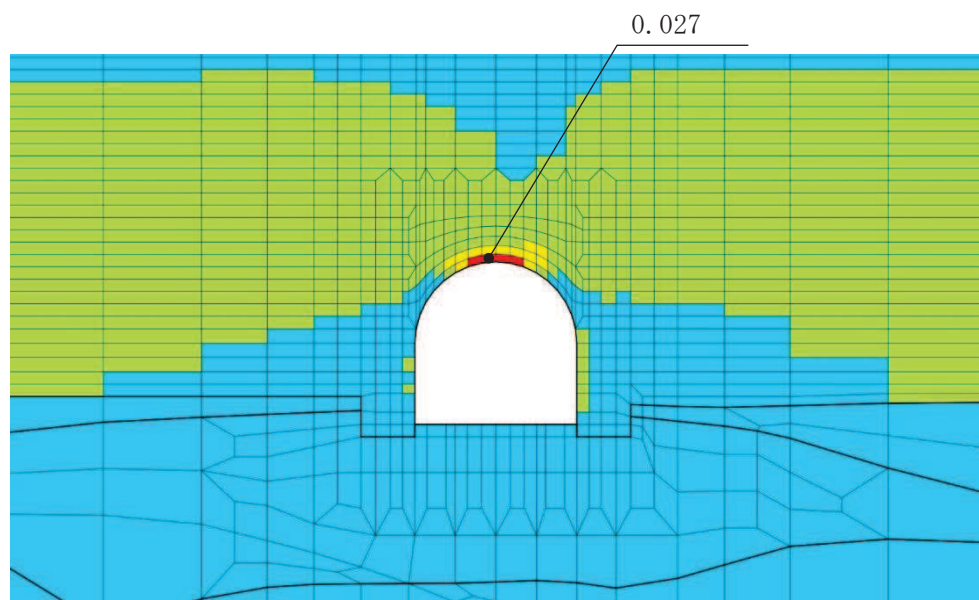
解析ケース	ケース①	ケース②	ケース③	ケース④
基本ケース	地盤物性のばらつき (+1σ) を考慮した解析ケース	地盤物性のばらつき (-1σ) を考慮した解析ケース	材料物性 (コンクリート) に実強度を考慮した解析ケース	
地盤物性	平均値	平均値 + 1σ	平均値 - 1σ	平均値
材料物性	設計基準強度	設計基準強度	設計基準強度	実強度に基づく圧縮強度

#### 【有効応力解析】

解析ケース	ケース⑥	ケース⑦	ケース⑧
基本ケース	地盤物性のばらつき (+1σ) を考慮した解析ケース	地盤物性のばらつき (-1σ) を考慮した解析ケース	
地盤物性	平均値	平均値 + 1σ	平均値 - 1σ
材料物性	設計基準強度	設計基準強度	設計基準強度



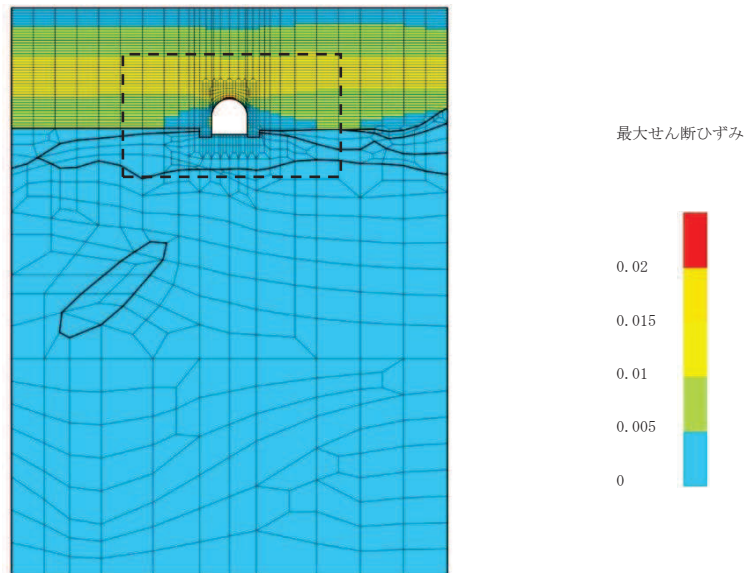
(a) 全体図



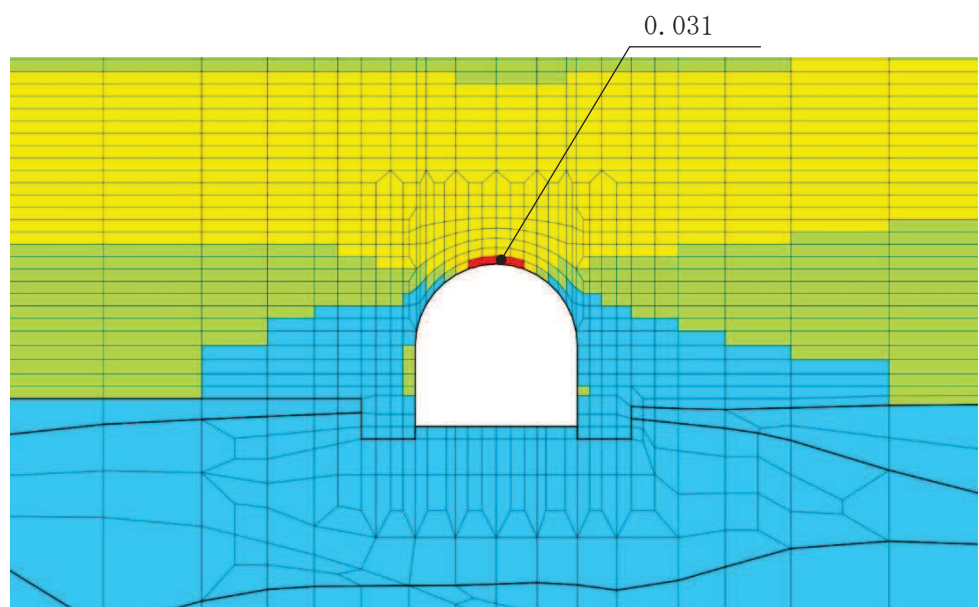
(b) 構造物周辺拡大図

図 5-8(1) 最大せん断ひずみ分布図（土砂部（断面①））

（全応力解析）（解析ケース④， S s - D 2 （++））

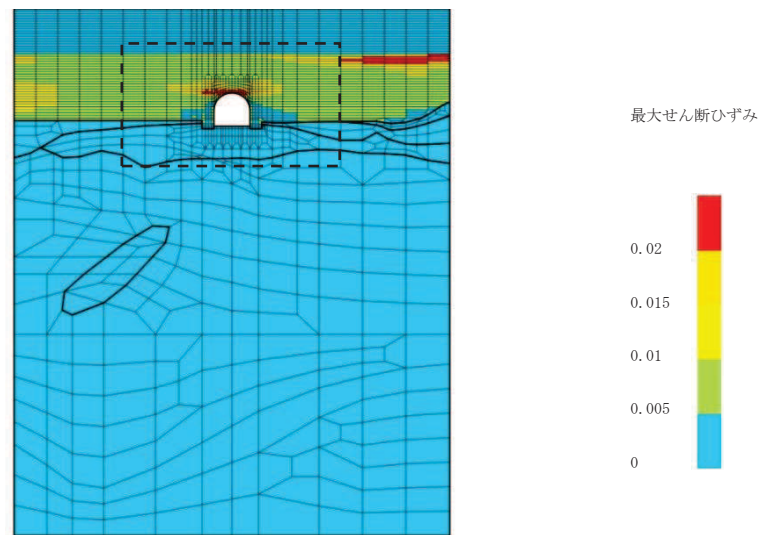


(a) 全体図

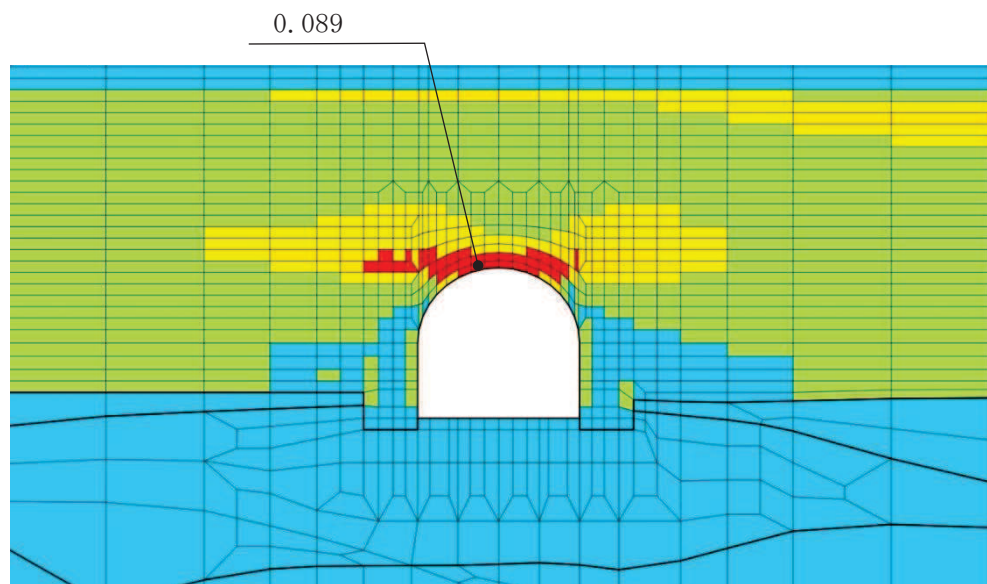


(b) 構造物周辺拡大図

図 5-8(2) 最大せん断ひずみ分布図（土砂部（断面①））  
 (全応力解析) (解析ケース④, S s - N 1 (++) )



( a ) 全体図



( b ) 構造物周辺拡大図

図 5-8(3) 最大せん断ひずみ分布図（土砂部（断面①））  
 （有効応力解析）（解析ケース⑦， S s-D 3 (-+)）

## (2) 岩盤部 (断面⑤)

曲げ・軸力系の破壊に対する照査及びせん断破壊に対する照査で最大照査値を示すケースについて、地盤に発生した最大せん断ひずみを確認する。

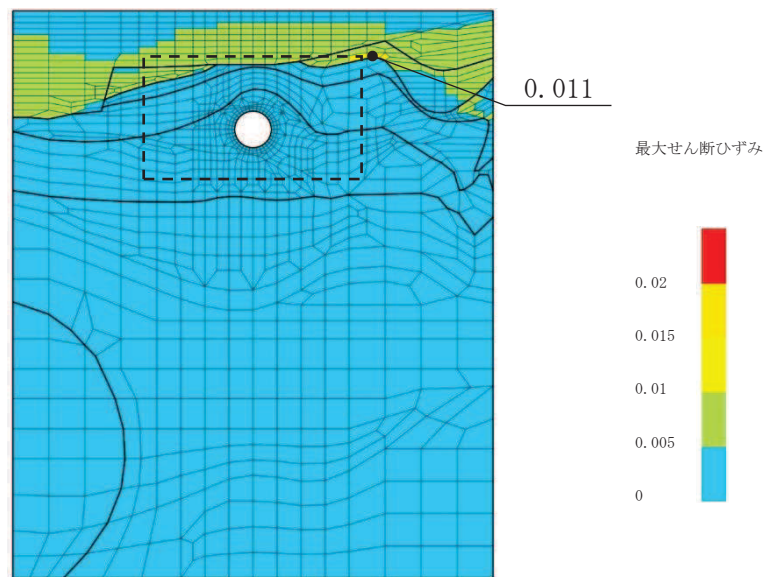
最大照査値を示す解析ケースの一覧を表 5-12 に、最大せん断ひずみ分布図を図 5-9 に示す。

表 5-12 最大照査値を示す解析ケースの一覧

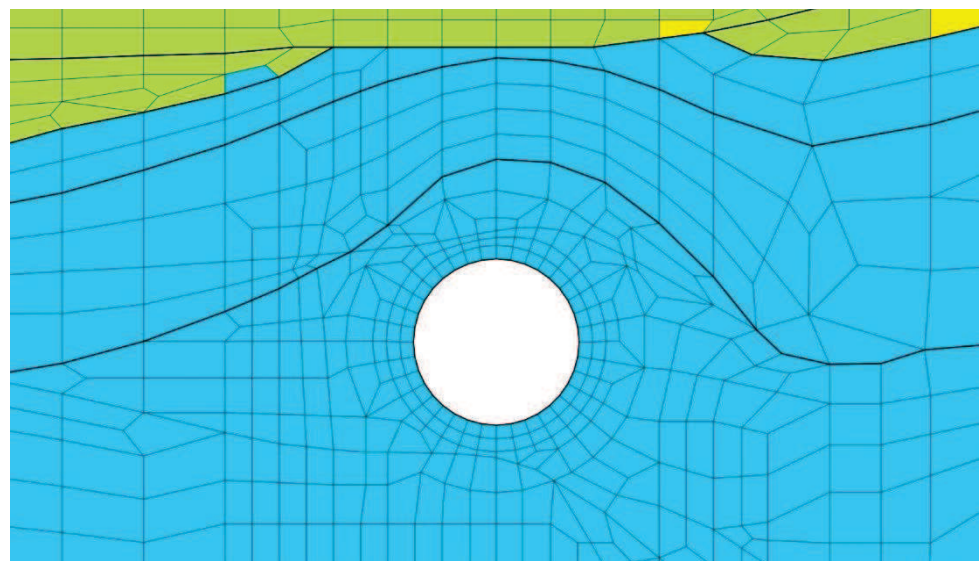
評価項目	
曲げ・軸力系の破壊に対する照査	せん断破壊に対する照査
ケース④ S s - D 2 (-+)	ケース③ S s - D 2 (-+)

注：耐震評価における解析ケース一覧

解析ケース	ケース①	ケース②	ケース③	ケース④
	基本ケース	地盤物性のばらつき (+1σ) を考慮した解析ケース	地盤物性のばらつき (-1σ) を考慮した解析ケース	材料物性 (コンクリート) に実強度を考慮した解析ケース
地盤物性	平均値	平均値 + 1σ	平均値 - 1σ	平均値
材料物性	設計基準強度	設計基準強度	設計基準強度	実強度に基づく圧縮強度



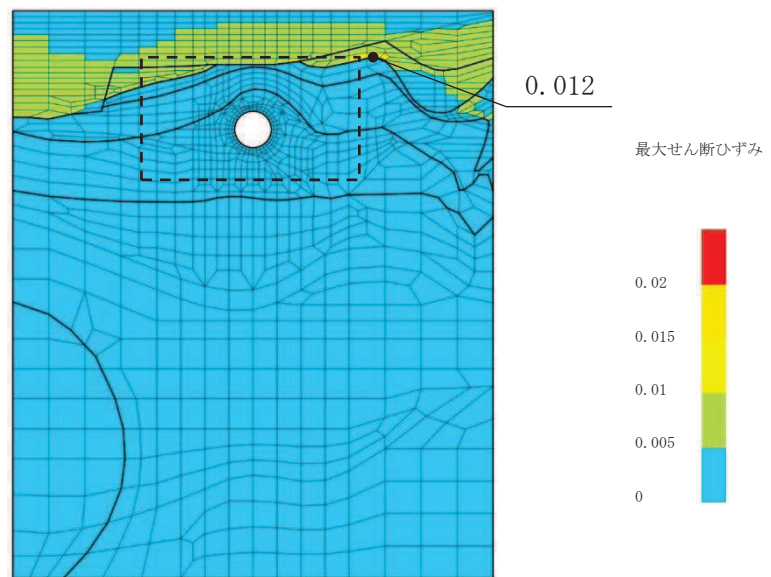
(a) 全体図



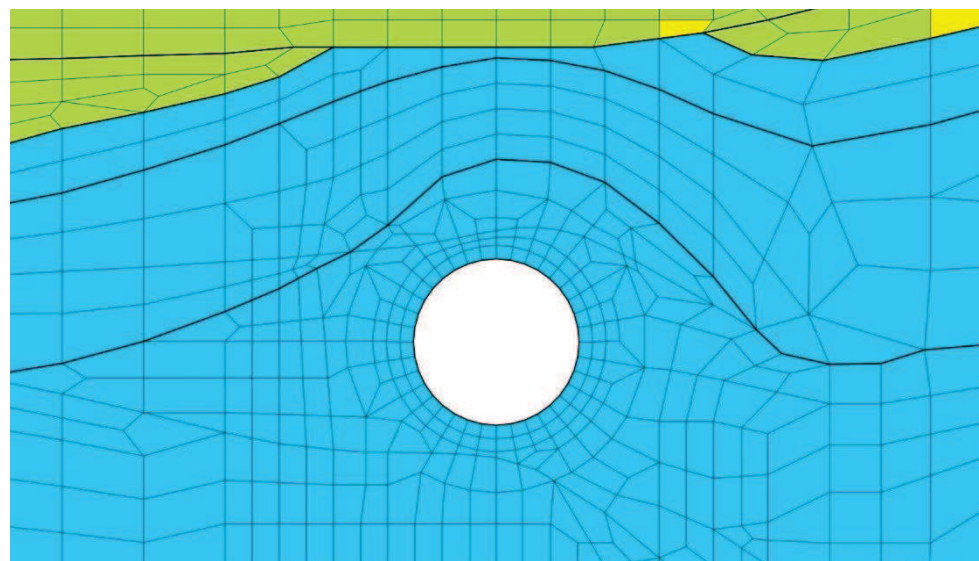
(b) 構造物周辺拡大図

図 5-9(1) 最大せん断ひずみ分布図 (岩盤部 (断面⑤))

(解析ケース④, S s - D 2 (-+))



(a) 全体図



(b) 構造物周辺拡大図

図 5-9(2) 最大せん断ひずみ分布図 (岩盤部 (断面⑤))

(解析ケース③, S s - D 2 (-+))

### 5.1.6 過剰間隙水圧比分布

曲げ・軸力系の破壊に対する照査及びせん断破壊に対する照査で最大照査値を示すケースについて、地盤に発生した過剰間隙水圧比分布を確認する。

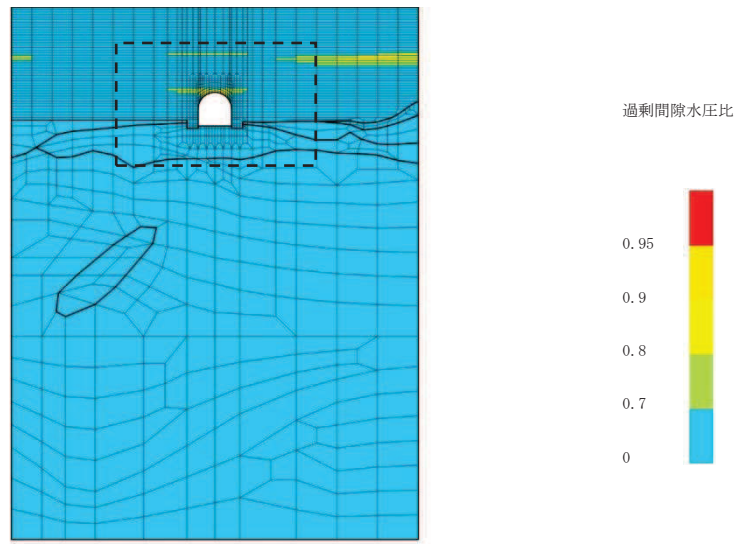
最大照査値を示す解析ケースの一覧を表 5-13 に、過剰間隙水圧比分布図を図 5-10 に示す。

表 5-13 最大照査値を示すケースの一覧

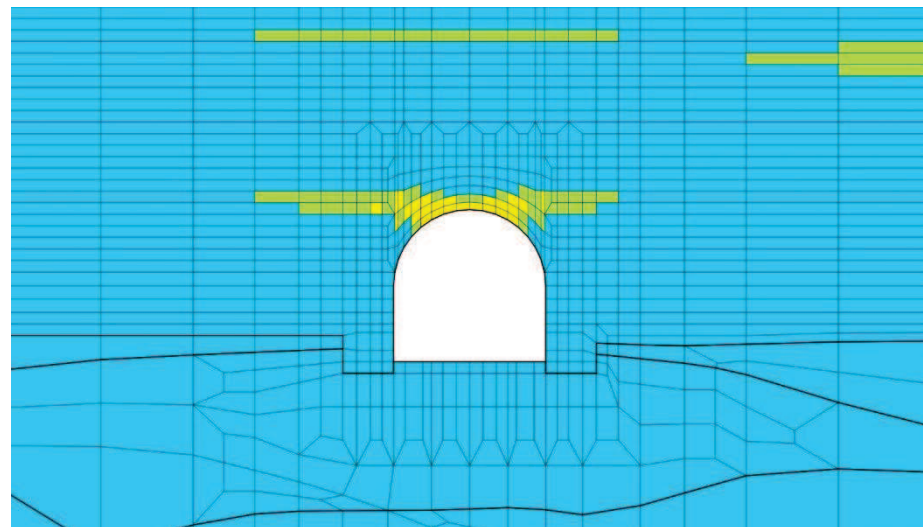
評価項目	
曲げ・軸力系の破壊に対する照査	せん断破壊に対する照査
ケース⑦ S s-D 3 (-+)	ケース⑦ S s-D 3 (-+)

注：耐震評価における解析ケース一覧

解析ケース	ケース⑥	ケース⑦	ケース⑧
	基本ケース	地盤物性のばらつき (+1σ) を考慮した解析ケース	地盤物性のばらつき (-1σ) を考慮した解析ケース
地盤物性	平均値	平均値 + 1σ	平均値 - 1σ
材料物性	設計基準強度	設計基準強度	設計基準強度



(a) 全体図



(b) 構造物周辺拡大図

図 5-10 最大過剰間隙水圧比分布図（土砂部（断面①））  
(解析ケース⑦, S s - D 3 (-+))

## 5.2 構造部材の健全性に対する評価結果

### 5.2.1 曲げ・軸力系の破壊に対する評価結果

#### (1) 土砂部 (断面①)

構造強度を有することの確認における曲げ・軸力系の破壊に対する評価結果を表 5-14 に示す。また、S クラスの施設を支持する機能を損なわないことの確認における曲げ・軸力系の破壊に対する評価結果を表 5-15 に示す。照査値は、層間変形角、ひずみ及び曲げモーメントを許容限界で除した値として時々刻々求め、全時刻において最大となる照査値を記載する。

表 5-14 のとおり、全ケースにおいて照査用層間変形角は限界層間変形角（層間変形角 1/100）を下回ることを確認した。

表 5-15 のとおり、S クラスの施設を支持する機能を有する底版におけるコンクリートの圧縮ひずみ、主筋ひずみ及び照査用曲げモーメントが、全ケースにおいて許容限界（コンクリートの圧縮ひずみ：2000  $\mu$ 、主筋ひずみ：1725  $\mu$ 、降伏曲げモーメント）を下回ることを確認した。

最大となるコンクリートの圧縮ひずみ及び主筋ひずみが発生したケースについて、最大値の発生位置とその値を図 5-11 に示す。

表 5-14(1) 曲げ・軸力系の破壊に対する評価結果  
(構造強度を有することの確認：全応力解析)

解析ケース	地震動		照査用層間変形角*	限界層間変形角	照査値
			R_d	R_u	R_d / R_u
①	S s - D 1	++	$1.26 \times 10^{-3}$	$1.0 \times 10^{-2}$	0.13
		-+	$1.25 \times 10^{-3}$	$1.0 \times 10^{-2}$	0.13
	S s - D 2	++	$1.41 \times 10^{-3}$	$1.0 \times 10^{-2}$	0.15
		-+	$1.39 \times 10^{-3}$	$1.0 \times 10^{-2}$	0.14
	S s - D 3	++	$1.14 \times 10^{-3}$	$1.0 \times 10^{-2}$	0.12
		-+	$1.16 \times 10^{-3}$	$1.0 \times 10^{-2}$	0.12
	S s - F 1	++	$1.19 \times 10^{-3}$	$1.0 \times 10^{-2}$	0.12
		-+	$1.21 \times 10^{-3}$	$1.0 \times 10^{-2}$	0.13
	S s - F 2	++	$1.32 \times 10^{-3}$	$1.0 \times 10^{-2}$	0.14
		-+	$1.34 \times 10^{-3}$	$1.0 \times 10^{-2}$	0.14
	S s - F 3	++	$6.36 \times 10^{-4}$	$1.0 \times 10^{-2}$	0.07
		-+	$6.17 \times 10^{-4}$	$1.0 \times 10^{-2}$	0.07
	S s - N 1	++	$1.24 \times 10^{-3}$	$1.0 \times 10^{-2}$	0.13
		-+	$1.25 \times 10^{-3}$	$1.0 \times 10^{-2}$	0.13
②	S s - D 2	++	$1.41 \times 10^{-3}$	$1.0 \times 10^{-2}$	0.15
	S s - N 1	++	$1.23 \times 10^{-3}$	$1.0 \times 10^{-2}$	0.13
③	S s - D 2	++	$1.39 \times 10^{-3}$	$1.0 \times 10^{-2}$	0.14
	S s - N 1	++	$1.27 \times 10^{-3}$	$1.0 \times 10^{-2}$	0.13
④	S s - D 2	++	$1.34 \times 10^{-3}$	$1.0 \times 10^{-2}$	0.14
		-+	$1.31 \times 10^{-3}$	$1.0 \times 10^{-2}$	0.14
	S s - N 1	++	$1.18 \times 10^{-3}$	$1.0 \times 10^{-2}$	0.12

注記\* : 照査用層間変形角  $R_d = \text{最大層間変形角 } R \times \text{構造解析係数 } \gamma_a$

表 5-14(2) 曲げ・軸力系の破壊に対する評価結果  
(構造強度を有することの確認：有効応力解析)

解析ケース	地震動		照査用層間変形角*	限界層間変形角	照査値
			$R_d$	$R_u$	$R_d / R_u$
⑥	S s - D 1	++	$8.75 \times 10^{-4}$	$1.0 \times 10^{-2}$	0.09
		-+	$8.55 \times 10^{-4}$	$1.0 \times 10^{-2}$	0.09
	S s - D 2	++	$1.09 \times 10^{-3}$	$1.0 \times 10^{-2}$	0.11
		-+	$1.13 \times 10^{-3}$	$1.0 \times 10^{-2}$	0.12
	S s - D 3	++	$1.26 \times 10^{-3}$	$1.0 \times 10^{-2}$	0.13
		-+	$1.25 \times 10^{-3}$	$1.0 \times 10^{-2}$	0.13
	S s - F 1	++	$1.14 \times 10^{-3}$	$1.0 \times 10^{-2}$	0.12
		-+	$1.16 \times 10^{-3}$	$1.0 \times 10^{-2}$	0.12
	S s - F 2	++	$1.02 \times 10^{-3}$	$1.0 \times 10^{-2}$	0.11
		-+	$1.03 \times 10^{-3}$	$1.0 \times 10^{-2}$	0.11
	S s - F 3	++	$5.12 \times 10^{-4}$	$1.0 \times 10^{-2}$	0.06
		-+	$4.85 \times 10^{-4}$	$1.0 \times 10^{-2}$	0.05
	S s - N 1	++	$1.13 \times 10^{-3}$	$1.0 \times 10^{-2}$	0.12
		-+	$1.10 \times 10^{-3}$	$1.0 \times 10^{-2}$	0.11
⑦	S s - D 3	-+	$1.26 \times 10^{-3}$	$1.0 \times 10^{-2}$	0.13
⑧	S s - D 3	-+	$1.22 \times 10^{-3}$	$1.0 \times 10^{-2}$	0.13

注記\* : 照査用層間変形角  $R_d =$  発生層間変形角  $R \times$  構造解析係数  $\gamma_a$

表 5-15(1) 曲げ・軸力系の破壊に対する評価結果（コンクリートの圧縮ひずみ、底版）  
 (S クラスの施設を支持する機能を損なわないことの確認：全応力解析)

解析ケース	地震動		照査用ひずみ*	限界ひずみ $\varepsilon_R$	照査値 $\varepsilon_d / \varepsilon_R$
①	S s - D 1	++	875 $\mu$	2000 $\mu$	0.44
		-+	819 $\mu$	2000 $\mu$	0.41
	S s - D 2	++	860 $\mu$	2000 $\mu$	0.43
		-+	892 $\mu$	2000 $\mu$	0.45
	S s - D 3	++	785 $\mu$	2000 $\mu$	0.40
		-+	752 $\mu$	2000 $\mu$	0.38
	S s - F 1	++	810 $\mu$	2000 $\mu$	0.41
		-+	761 $\mu$	2000 $\mu$	0.39
	S s - F 2	++	832 $\mu$	2000 $\mu$	0.42
		-+	817 $\mu$	2000 $\mu$	0.41
	S s - F 3	++	568 $\mu$	2000 $\mu$	0.29
		-+	569 $\mu$	2000 $\mu$	0.29
	S s - N 1	++	782 $\mu$	2000 $\mu$	0.40
		-+	785 $\mu$	2000 $\mu$	0.40
②	S s - D 2	++	859 $\mu$	2000 $\mu$	0.43
	S s - N 1	++	766 $\mu$	2000 $\mu$	0.39
③	S s - D 2	++	856 $\mu$	2000 $\mu$	0.43
	S s - N 1	++	802 $\mu$	2000 $\mu$	0.41
④	S s - D 2	++	777 $\mu$	2000 $\mu$	0.39
		-+	805 $\mu$	2000 $\mu$	0.41
	S s - N 1	++	706 $\mu$	2000 $\mu$	0.36

注記\* : 照査用ひずみ=発生ひずみ×構造解析係数  $\gamma_a$

表 5-15(2) 曲げ・軸力系の破壊に対する評価結果（主筋ひずみ、底版）  
 (S クラスの施設を支持する機能を損なわないことの確認：全応力解析)

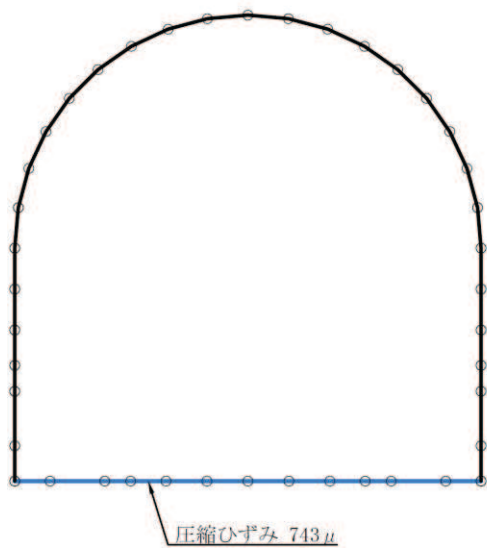
解析ケース	地震動	照査用ひずみ*		限界ひずみ $\epsilon_R$	照査値 $\epsilon_d / \epsilon_R$
		$\epsilon_d$	$\epsilon_R$		
①	S s - D 1	++	1137 $\mu$	1725 $\mu$	0.66
		-+	1083 $\mu$	1725 $\mu$	0.63
	S s - D 2	++	1349 $\mu$	1725 $\mu$	0.79
		-+	1274 $\mu$	1725 $\mu$	0.74
	S s - D 3	++	1061 $\mu$	1725 $\mu$	0.62
		-+	986 $\mu$	1725 $\mu$	0.58
	S s - F 1	++	1077 $\mu$	1725 $\mu$	0.63
		-+	1073 $\mu$	1725 $\mu$	0.63
	S s - F 2	++	1193 $\mu$	1725 $\mu$	0.70
		-+	1146 $\mu$	1725 $\mu$	0.67
	S s - F 3	++	675 $\mu$	1725 $\mu$	0.40
		-+	649 $\mu$	1725 $\mu$	0.38
	S s - N 1	++	979 $\mu$	1725 $\mu$	0.57
		-+	1013 $\mu$	1725 $\mu$	0.59
②	S s - D 2	++	1352 $\mu$	1725 $\mu$	0.79
	S s - N 1	++	959 $\mu$	1725 $\mu$	0.56
③	S s - D 2	++	1333 $\mu$	1725 $\mu$	0.78
	S s - N 1	++	1014 $\mu$	1725 $\mu$	0.59
④	S s - D 2	++	1353 $\mu$	1725 $\mu$	0.79
		-+	1282 $\mu$	1725 $\mu$	0.75
	S s - N 1	++	992 $\mu$	1725 $\mu$	0.58

注記\*：照査用ひずみ=発生ひずみ×構造解析係数  $\gamma_a$

表 5-15(3) 曲げ・軸力系の破壊に対する評価結果（降伏曲げモーメント、底版）  
 (S クラスの施設を支持する機能を損なわないことの確認：有効応力解析)

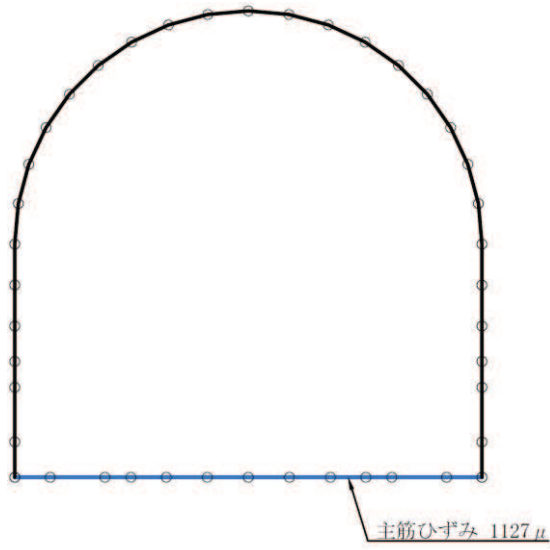
解析ケース	地震動		照査用 曲げモーメント*	降伏曲げ モーメント $M_y$ (kN·m)	照査値 $M_d / M_y$
⑥	S s - D 1	++	1025	1893	0.55
		-+	1050	1913	0.55
	S s - D 2	++	1254	2060	0.61
		-+	1279	2063	0.62
	S s - D 3	++	1319	2019	0.66
		-+	1341	2005	0.67
	S s - F 1	++	1094	1657	0.67
		-+	1112	1672	0.67
	S s - F 2	++	1048	1678	0.63
		-+	1061	1681	0.64
	S s - F 3	++	818	1782	0.46
		-+	794	1765	0.45
	S s - N 1	++	1253	2027	0.62
		-+	1242	2010	0.62
⑦	S s - D 3	-+	1339	2001	0.67
⑧	S s - D 3	-+	1331	2008	0.67

注記\* : 照査用曲げモーメント=発生曲げモーメント×構造解析係数  $\gamma_a$



注記＊：—はSクラスの施設を支持する部材（底版）を示す

図5-11(1) 最大圧縮ひずみ発生位置  
(底版, 解析ケース①, S s-D 2 (-+))



注記＊：—はSクラスの施設を支持する部材（底版）を示す

図5-11(2) 最大主筋ひずみ発生位置  
(底版, 解析ケース④, S s-D 2 (++) )

## (2) 岩盤部 (断面⑤)

構造強度を有することの確認及びSクラスの施設を支持する機能を損なわないことの確認における曲げ・軸力系の破壊に対する評価結果を表5-16に示す。照査値は、応力度を許容限界で除した値として時々刻々求め、全時刻において最大となる照査値を記載する。

同表のとおり、全ケースにおいて発生応力度は短期許容応力度を下回ることを確認した。

表 5-16(1) 曲げ・軸力系の破壊に対する評価結果（コンクリート）

解析 ケース	地震動		評価位置*		曲げ モーメント (kN・m)	軸力 (kN)	発生 応力度 $\sigma_c'$ (N/mm <sup>2</sup> )	短期許容 応力度 $\sigma_{ca}'$ (N/mm <sup>2</sup> )	照査値 $\sigma_c' / \sigma_{ca}'$
①	S s - D 1	++	覆工部	[1]	-77	-762	3.3	11.7	0.29
		-+	覆工部	[1]	67	-66	3.8	11.7	0.33
	S s - D 2	++	覆工部	[1]	-72	-1009	3.6	11.7	0.31
		-+	覆工部	[1]	71	-41	4.1	11.7	0.36
	S s - D 3	++	覆工部	[1]	-58	-946	3.1	11.7	0.27
		-+	覆工部	[1]	64	-141	3.5	11.7	0.30
	S s - F 1	++	覆工部	[1]	-60	-1010	3.3	11.7	0.29
		-+	覆工部	[1]	-56	-1000	3.2	11.7	0.28
	S s - F 2	++	覆工部	[1]	-77	-1054	3.8	11.7	0.33
		-+	覆工部	[1]	71	-157	3.9	11.7	0.34
	S s - F 3	++	覆工部	[1]	-62	-177	3.2	11.7	0.28
		-+	覆工部	[1]	-46	-1061	3.1	11.7	0.27
	S s - N 1	++	覆工部	[1]	-41	-1039	3.0	11.7	0.26
		-+	覆工部	[1]	-48	-1177	3.4	11.7	0.30
②	S s - D 2	-+	覆工部	[1]	65	-50	3.8	11.7	0.33
③	S s - D 2	-+	覆工部	[1]	78	-70	4.5	11.7	0.39
④	S s - D 2	-+	覆工部	[1]	76	-37	4.5	11.7	0.39
	S s - F 2	-+	覆工部	[1]	78	-147	4.4	11.7	0.38

注記\*：評価位置は図 5-12 に示す。

表 5-16(2) 曲げ・軸力系の破壊に対する評価結果（鉄筋）

解析 ケース	地震動		評価位置*		曲げ モーメント (kN・m)	軸力 (kN)	発生 応力度 $\sigma_s$ (N/mm <sup>2</sup> )	短期許容 応力度 $\sigma_{sa}$ (N/mm <sup>2</sup> )	照査値 $\sigma_s / \sigma_{sa}$
①	S s - D 1	++	覆工部	[1]	33	32	113	294	0.39
		-+	覆工部	[1]	60	-31	153	294	0.53
	S s - D 2	++	覆工部	[1]	30	82	132	294	0.45
		-+	覆工部	[1]	71	-41	178	294	0.61
	S s - D 3	++	覆工部	[1]	34	35	115	294	0.40
		-+	覆工部	[1]	60	-35	150	294	0.52
	S s - F 1	++	覆工部	[1]	30	115	153	294	0.53
		-+	覆工部	[1]	33	98	152	294	0.52
	S s - F 2	++	覆工部	[1]	63	-35	159	294	0.55
		-+	覆工部	[1]	50	36	163	294	0.56
	S s - F 3	++	覆工部	[1]	41	45	142	294	0.49
		-+	覆工部	[1]	28	118	150	294	0.52
	S s - N 1	++	覆工部	[1]	25	94	125	294	0.43
		-+	覆工部	[1]	36	38	123	294	0.42
②	S s - D 2	-+	覆工部	[1]	65	-50	157	294	0.54
③	S s - D 2	-+	覆工部	[1]	74	-35	190	294	0.65
④	S s - D 2	-+	覆工部	[1]	76	-37	196	294	0.67
	S s - F 2	-+	覆工部	[1]	55	37	177	294	0.61

注記\*：評価位置は図 5-12 に示す。

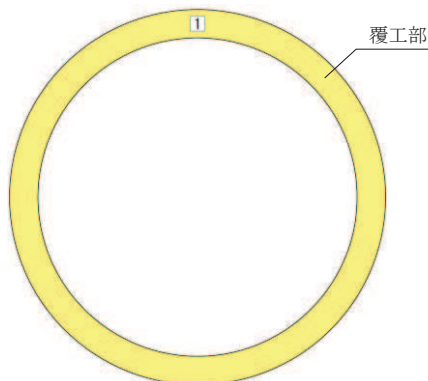


図 5-12 評価位置図 (岩盤部 (断面⑤))

### 5.2.2 せん断破壊に対する評価結果

#### (1) 土砂部 (断面①)

##### a. せん断耐力式による評価結果

せん断破壊に対する評価結果のうち、せん断耐力式による評価結果を表 5-17 に示す。

照査値は、せん断力を許容限界で除した値として時々刻々求め、全時刻において最大となる照査値を記載する。

同表中には、照査値が 1.0 を上回る解析ケース、部材があることから、次項「b. 材料非線形解析による評価結果」にて照査値が 1.0 を下回ることを確認する。

表 5-17(1) せん断破壊に対する評価結果 (せん断耐力式: 全応力解析)

解析 ケース	地震動		評価位置 <sup>*1</sup>		照査用 せん断力 <sup>*2</sup> $V_d$ (kN)	せん断耐力 $V_{y,d}$ (kN)	照査値 $V_d / V_{y,d}$
①	S s - D 1	++	アーチ	[1]	935	1110	0.85
			側壁	[3]	1834	1090	1.69
			底版	[4]	2080	1531	1.36
		-+	アーチ	[1]	924	1110	0.84
			側壁	[2]	1842	1091	1.69
			底版	[4]	2189	1636	1.34
	S s - D 2	++	アーチ	[1]	911	1110	0.83
			側壁	[2]	1741	1083	1.61
			底版	[4]	2036	1649	1.24
		-+	アーチ	[1]	946	1110	0.86
			側壁	[3]	1678	1082	1.56
			底版	[4]	1880	1521	1.24
	S s - D 3	++	アーチ	[1]	836	1110	0.76
			側壁	[3]	1672	1078	1.56
			底版	[4]	1989	1641	1.22
		-+	アーチ	[1]	848	1110	0.77
			側壁	[2]	1648	1076	1.54
			底版	[4]	1980	1639	1.21
	S s - F 1	++	アーチ	[1]	833	1110	0.76
			側壁	[3]	1548	1071	1.45
			底版	[4]	1853	1524	1.22
		-+	アーチ	[1]	851	1110	0.77
			側壁	[2]	1555	1071	1.46
			底版	[4]	1803	1527	1.19
	S s - F 2	++	アーチ	[1]	893	1110	0.81
			側壁	[3]	1585	1071	1.48
			底版	[4]	1799	1537	1.18
		-+	アーチ	[1]	887	1110	0.80
			側壁	[2]	1717	1074	1.60
			底版	[4]	2033	1634	1.25

注記\*1: 評価位置は図 5-13 に示す。

\*2: 照査用せん断力  $V_d$  = 発生せん断力  $V$  × 構造解析係数  $\gamma_a$

表 5-17(2) せん断破壊に対する評価結果 (せん断耐力式: 全応力解析)

解析 ケース	地震動		評価位置 <sup>*1</sup>		照査用 せん断力 <sup>*2</sup> $V_d$ (kN)	せん断耐力 $V_{yd}$ (kN)	照査値 $V_d / V_{yd}$
①	S s - F 3	++	アーチ	[1]	645	1110	0.59
			側壁	[2]	1601	1091	1.47
			底版	[4]	1863	1639	1.14
		-+	アーチ	[1]	630	1110	0.57
			側壁	[3]	1507	1090	1.39
			底版	[4]	1780	1636	1.09
	S s - N 1	++	アーチ	[1]	892	1110	0.81
			側壁	[2]	1867	1074	1.74
			底版	[4]	2239	1640	1.37
		-+	アーチ	[1]	878	1110	0.80
			側壁	[3]	1850	1076	1.72
			底版	[4]	2204	1642	1.35
②	S s - D 2	++	アーチ	[1]	911	1110	0.83
			側壁	[2]	1736	1083	1.61
			底版	[4]	2030	1649	1.24
	S s - N 1	++	アーチ	[1]	880	1110	0.80
			側壁	[2]	1853	1075	1.73
			底版	[4]	2224	1641	1.36
③	S s - D 2	++	アーチ	[1]	908	1110	0.82
			側壁	[2]	1740	1082	1.61
			底版	[4]	2041	1642	1.25
	S s - N 1	++	アーチ	[1]	909	1110	0.82
			側壁	[2]	1883	1074	1.76
			底版	[4]	2257	1640	1.38
④	S s - D 2	++	アーチ	[1]	926	1110	0.84
			側壁	[2]	1753	1082	1.63
			底版	[4]	2044	1648	1.25
		-+	底版	[4]	1891	1528	1.24

注記\*1：評価位置は図 5-13 に示す。

\*2：照査用せん断力  $V_d$  = 発生せん断力  $V$  × 構造解析係数  $\gamma_a$

表 5-17(3) せん断破壊に対する評価結果 (せん断耐力式: 全応力解析)

解析 ケース	地震動		評価位置 <sup>*1</sup>		照査用 せん断力 <sup>*2</sup> $V_d$ (kN)	せん断耐力 $V_{y,d}$ (kN)	照査値 $V_d/V_{y,d}$
④	S s - N 1	++	アーチ	1	905	1110	0.82
			側壁	2	1874	1074	1.75
			底版	4	2228	1639	1.36

注記\*1：評価位置は図 5-13 に示す。

\*2：照査用せん断力  $V_d = \text{発生せん断力 } V \times \text{構造解析係数 } \gamma_a$

表 5-17(4) せん断破壊に対する評価結果（せん断耐力式：有効応力解析）

解析 ケース	地震動		評価位置 <sup>*1</sup>		照査用 せん断力 <sup>*2</sup> $V_d$ (kN)	せん断耐力 $V_{y,d}$ (kN)	照査値 $V_d/V_{y,d}$
⑥	S s - D 1	++	アーチ	[1]	713	1110	0.65
			側壁	[2]	1313	1076	1.23
			底版	[4]	1661	1627	1.03
		-+	アーチ	[1]	705	1110	0.64
			側壁	[3]	1306	1076	1.22
			底版	[4]	1653	1627	1.02
	S s - D 2	++	アーチ	[1]	798	1110	0.72
			側壁	[3]	1413	1070	1.33
			底版	[4]	1566	1518	1.04
		-+	アーチ	[1]	805	1110	0.73
			側壁	[2]	1425	1069	1.34
			底版	[4]	1556	1516	1.03
	S s - D 3	++	アーチ	[1]	845	1110	0.77
			側壁	[2]	1413	1062	1.34
			底版	[4]	1619	1512	1.08
		-+	アーチ	[1]	843	1110	0.76
			側壁	[3]	1394	1060	1.32
			底版	[4]	1640	1510	1.09
	S s - F 1	++	アーチ	[1]	793	1110	0.72
			側壁	[3]	1352	1079	1.26
			底版	[4]	1485	1527	0.98
		-+	アーチ	[1]	801	1110	0.73
			側壁	[2]	1343	1065	1.27
			底版	[4]	1527	1513	1.01
	S s - F 2	++	アーチ	[1]	739	1110	0.67
			側壁	[3]	1260	1073	1.18
			底版	[4]	1427	1503	0.95
		-+	アーチ	[1]	736	1110	0.67
			側壁	[2]	1259	1071	1.18
			底版	[4]	1532	1616	0.95

注記\*1：評価位置は図 5-13 に示す。

\*2：照査用せん断力  $V_d$  = 発生せん断力  $V$  × 構造解析係数  $\gamma_a$

表 5-17(5) せん断破壊に対する評価結果 (せん断耐力式: 有効応力解析)

解析 ケース	地震動	評価位置 <sup>*1</sup>	照査用 せん断力 <sup>*2</sup> $V_d$ (kN)	せん断耐力 $V_{yd}$ (kN)	照査値 $V_d / V_{yd}$	
⑥	S s - F 3	++	アーチ <span style="border: 1px solid black; padding: 2px;">1</span>	559	1110	0.51
			側壁 <span style="border: 1px solid black; padding: 2px;">3</span>	1105	1081	1.03
			底版 <span style="border: 1px solid black; padding: 2px;">4</span>	1464	1611	0.91
		-+	アーチ <span style="border: 1px solid black; padding: 2px;">1</span>	562	1110	0.51
			側壁 <span style="border: 1px solid black; padding: 2px;">2</span>	1154	1098	1.06
			底版 <span style="border: 1px solid black; padding: 2px;">4</span>	1417	1622	0.88
	S s - N 1	++	アーチ <span style="border: 1px solid black; padding: 2px;">1</span>	802	1110	0.73
			側壁 <span style="border: 1px solid black; padding: 2px;">2</span>	1383	1082	1.28
			底版 <span style="border: 1px solid black; padding: 2px;">4</span>	1479	1514	0.98
		-+	アーチ <span style="border: 1px solid black; padding: 2px;">1</span>	798	1110	0.72
			側壁 <span style="border: 1px solid black; padding: 2px;">3</span>	1376	1083	1.28
			底版 <span style="border: 1px solid black; padding: 2px;">4</span>	1581	1630	0.97
⑦	S s - D 3	-+	アーチ <span style="border: 1px solid black; padding: 2px;">1</span>	848	1110	0.77
			側壁 <span style="border: 1px solid black; padding: 2px;">3</span>	1393	1060	1.32
			底版 <span style="border: 1px solid black; padding: 2px;">4</span>	1653	1511	1.10
⑧	S s - D 3	-+	アーチ <span style="border: 1px solid black; padding: 2px;">1</span>	833	1110	0.76
			側壁 <span style="border: 1px solid black; padding: 2px;">3</span>	1388	1061	1.31
			底版 <span style="border: 1px solid black; padding: 2px;">4</span>	1626	1512	1.08

注記\*1：評価位置は図 5-13 に示す。

\*2：照査用せん断力  $V_d = \text{発生せん断力 } V \times \text{構造解析係数 } \gamma_a$

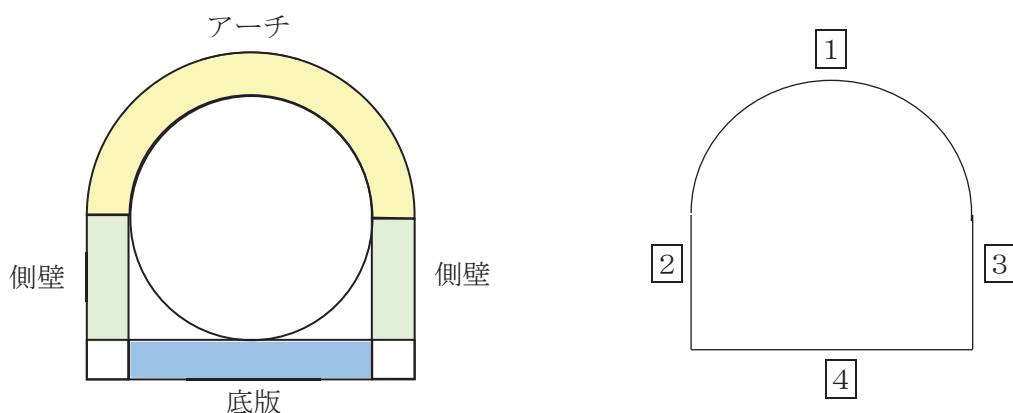


図 5-13 評価位置図 (土砂部 (断面①))

b. 材料非線形解析による評価結果

(a) 評価条件

前項「a. せん断耐力式による評価結果」では、排気筒連絡ダクトの側壁、底版において、照査用せん断力がせん断耐力式によるせん断耐力を上回る結果となった。

せん断耐力式は、既往の実験等から一般化されたものであることから、ここでは、構造部材の形状、作用荷重及び鉄筋コンクリートの非線形特性を踏まえた材料非線形解析を実施することにより、より高い精度でせん断耐力を求め、構造部材のせん断破壊に対する健全性を確認する。

図 5-14 に材料非線形解析によりせん断破壊に対する評価を実施する対象部材を示す。また、評価対象部材の要素分割図を図 5-15 に、要素プロパティ番号図を図 5-16 及び図 5-17、要素プロパティ条件を表 5-18 及び表 5-19 に示す。材料非線形解析におけるハンチ部についても、図 3-8 に示すとおり、断面内部の円弧部を、部材の軸線に対して  $45^\circ$  傾斜し円弧部に接するハンチとみなしている。

■ : 評価対象部材

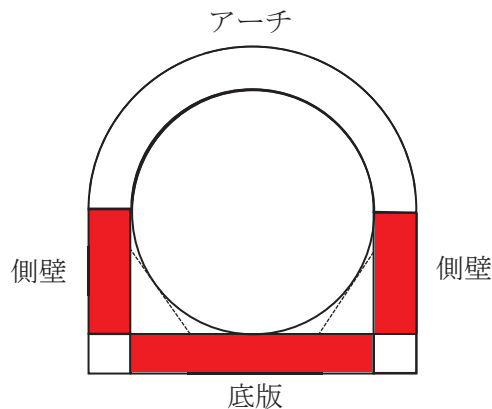
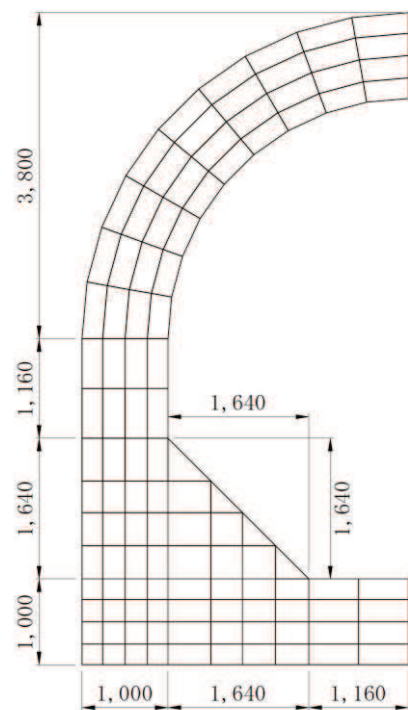
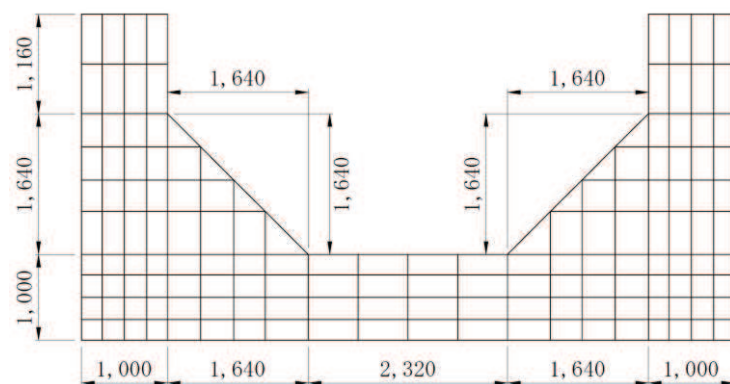


図 5-14 材料非線形解析における評価対象部材



(a) 側壁



(b) 底版

図 5-15 要素分割図

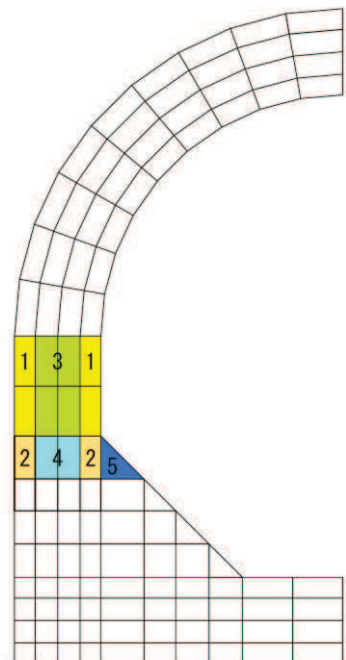


図 5-16 要素プロパティ番号図（側壁）

表 5-18 要素プロパティ条件（側壁）

番号	元要素			オーバーラッピング要素		
	材料	引張硬化軟化係数		材料	引張硬化軟化係数	
		C x	C y		C x	C y
1	R C	0.4	0.4	R C	1.9	0.4
2	R C	0.4	0.4	R C	1.9	0.4
3	R C	0.4	4.4	無筋	2.0	4.4
4	R C	0.4	3.6	無筋	2.0	3.6
5	無筋	2.6	2.6	—	—	—

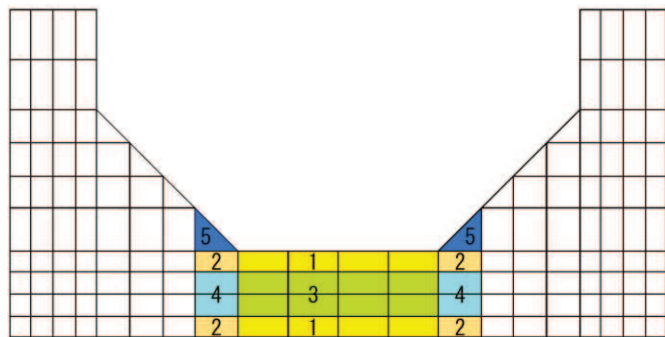


図 5-17 要素プロパティ番号図（底版）

表 5-19 要素プロパティ条件（底版）

番号	元要素				オーバーラッピング要素		
	材料	引張硬化軟化係数			材料	引張硬化軟化係数	
		C x	C y			C x	C y
1	RC	0.4	0.4		RC	0.4	1.9
2	RC	0.4	0.4		RC	0.4	1.9
3	RC	4.4	0.4		無筋	4.4	2.0
4	RC	3.6	0.4		無筋	3.6	2.0
5	無筋	2.6	2.6		—	—	—

材料非線形解析によるせん断耐力の算定において考慮する荷重は、地震応答解析から得られる荷重を考慮する。具体的には地震応答解析で評価対象部材のせん断照査が厳しくなる時刻における断面力（曲げモーメント、軸力、せん断力）を材料非線形解析モデルに図5-18及び図5-19のように作用させる。**排気筒連絡ダクトはアーチ部を持つ構造であり、一般的な矩形構造と異なることから、側壁における材料非線形解析による評価において最も照査値が厳しい解析ケースに対する地震応答解析による断面力と材料非線形解析モデルとの断面力の比較を図5-20に示す。**なお、参考までに、**排気筒連絡ダクトの底版における断面力の比較を図5-21に示す。**

材料非線形解析では、地震応答解析から得られた照査時刻の断面力分布を再現できる荷重分布を算出し、この荷重を100分割したものを $\Delta M$ ,  $\Delta Q$ ,  $\Delta N$ とし、これらの比率を維持しながら漸増載荷する。

なお、作用荷重は、常時荷重( $\Delta M_s$ ,  $\Delta Q_s$ ,  $\Delta N_s$ )及び地震時荷重( $\Delta M_d$ ,  $\Delta Q_d$ ,  $\Delta N_d$ )とし、図5-22に作用手順を示す。表5-20に代表例として、材料非線形解析による評価において最も照査値が厳しい解析ケースにおける $\Delta M$ ,  $\Delta Q$ ,  $\Delta N$ を示す。

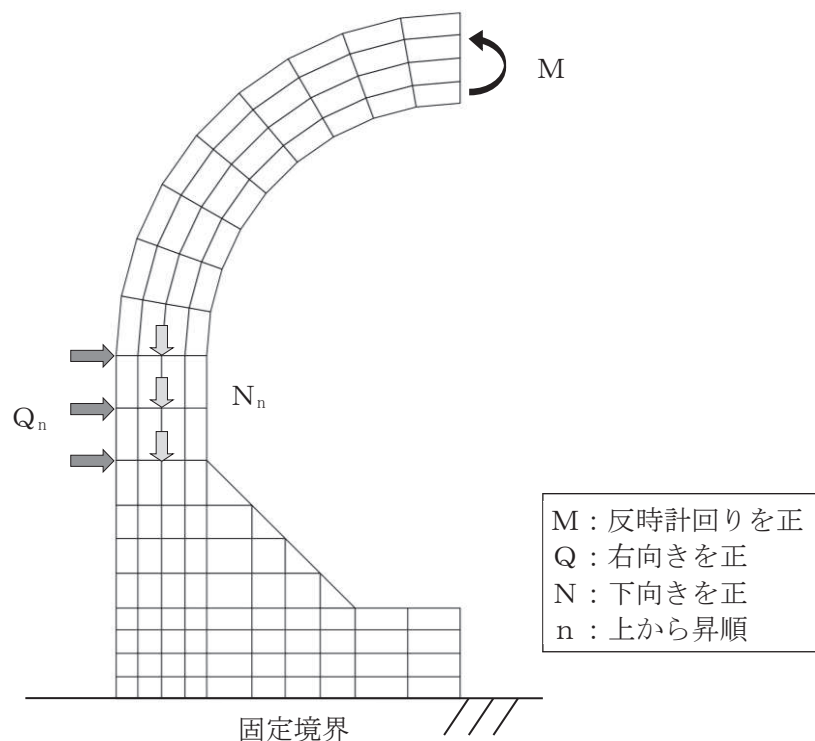


図 5-18 材料非線形解析における載荷状況（側壁）

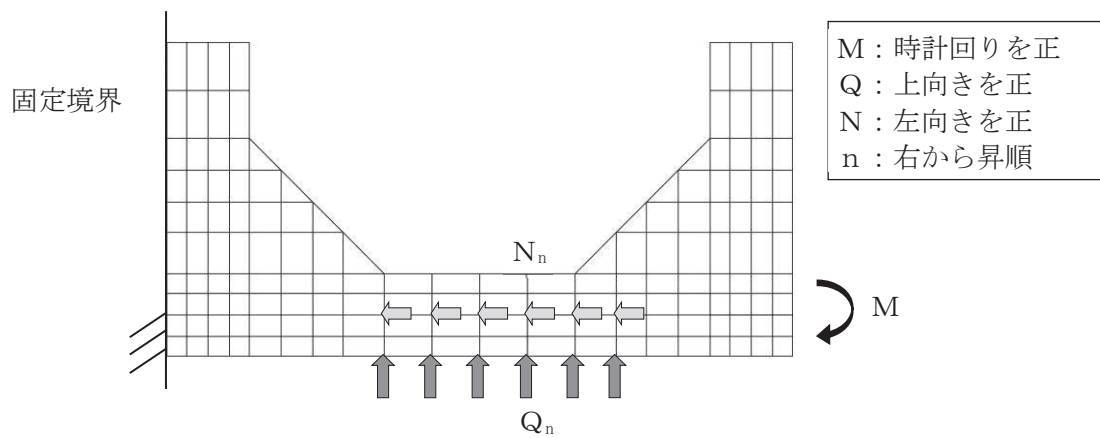
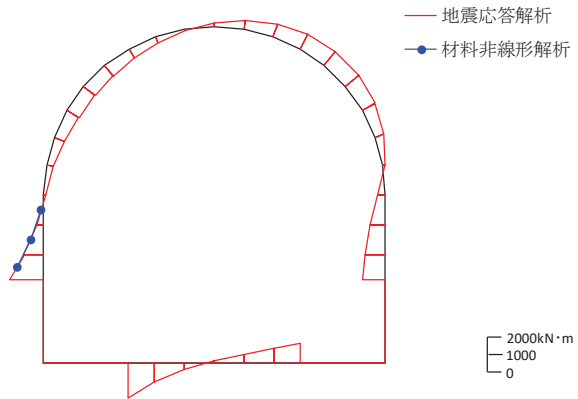
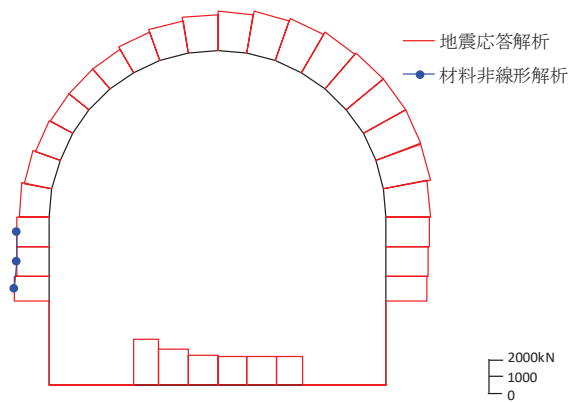


図 5-19 材料非線形解析における載荷状況（底版）



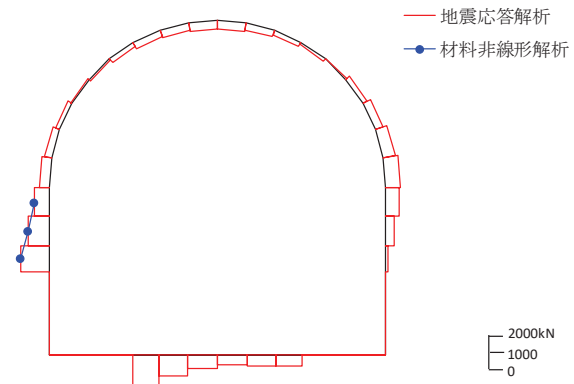
数値：材料非線形解析における評価対象部材の断面力

(a) 曲げモーメント ( $\text{kN} \cdot \text{m}$ )



数値：材料非線形解析における評価対象部材の断面力

(b) 軸力 ( $\text{kN}$ ) (+ : 引張, - : 圧縮)

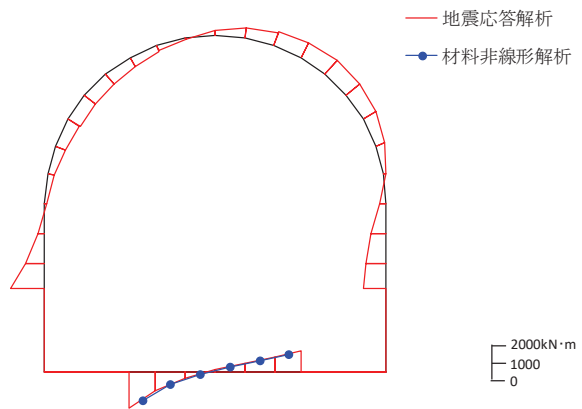


数値：材料非線形解析における評価対象部材の断面力

(c)せん断力 ( $\text{kN}$ )

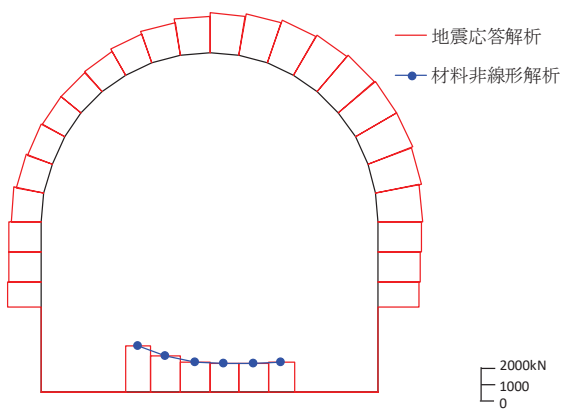
図 5-20 地震応答解析による断面力と材料非線形解析モデルにおける断面力の比較

(側壁, 解析ケース③, S s - N 1 (++) )



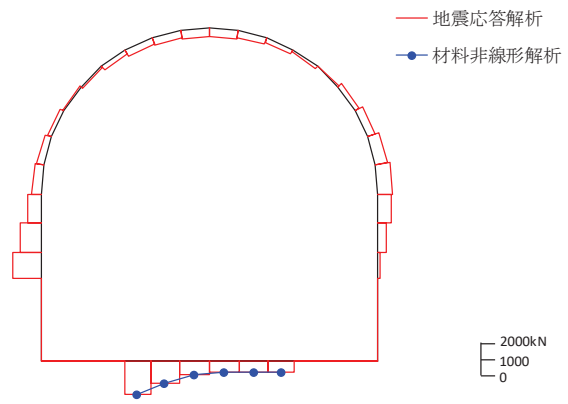
数値：材料非線形解析における評価対象部材の断面力

(a) 曲げモーメント ( $\text{kN} \cdot \text{m}$ )



数値：材料非線形解析における評価対象部材の断面力

(b) 軸力 ( $\text{kN}$ ) (+ : 引張, - : 圧縮)



数値：材料非線形解析における評価対象部材の断面力

(c)せん断力 ( $\text{kN}$ )

図 5-21 地震応答解析による断面力と材料非線形解析モデルにおける断面力の比較

(底版, 解析ケース④, S s - N 1 (++) )

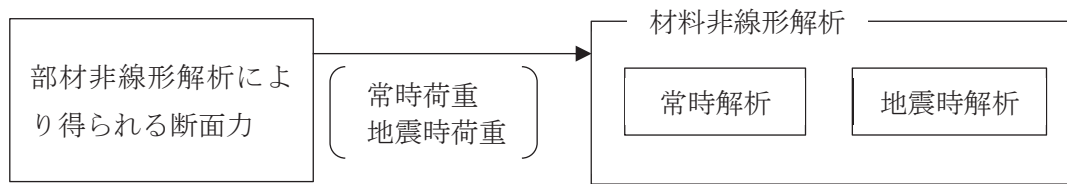


図 5-22 荷重の作用手順

表 5-20 材料非線形解析における作用荷重

部材		側壁	底版
地震動		S s - N 1 (++)	S s - N 1 (++)
解析ケース		解析ケース③	解析ケース④
常時荷重	曲げモーメント (kN・m)	$\Delta M$	0.4052
	せん断力 (kN)	$\Delta Q_1$	0.2923
		$\Delta Q_2$	2.1473
		$\Delta Q_3$	2.0107
		$\Delta Q_4$	1.2893
		$\Delta Q_5$	1.4918
	軸力 (kN)	$\Delta N_1$	9.1365
		$\Delta N_2$	-0.2204
		$\Delta N_3$	-0.1327
		$\Delta N_4$	-0.0190
		$\Delta N_5$	0.0949
		$\Delta N_6$	0.1851
地震時荷重	曲げモーメント (kN・m)	$\Delta M$	14.4107
	せん断力 (kN)	$\Delta Q_1$	11.0063
		$\Delta Q_2$	-2.1653
		$\Delta Q_3$	-1.7379
		$\Delta Q_4$	0.5889
		$\Delta Q_5$	3.3939
	軸力 (kN)	$\Delta N_1$	5.0979
		$\Delta N_2$	8.0032
		$\Delta N_3$	-0.1259
		$\Delta N_4$	-0.0036
		$\Delta N_5$	0.9697
		$\Delta N_6$	3.3634

## (b) 評価結果

### イ. 側壁の評価結果

評価対象部材（側壁）における荷重－変位曲線を図 5-23 に示す。同図は、評価対象部材において最も厳しい照査値となる地震動と解析ケースの組合せ（解析ケース③、地震動 S s - N 1 （++））の結果を示している。

図中の赤丸で示した 100 ステップは、地震応答解析（部材非線形解析）において得られた断面力図を再現した状態である。169 ステップ以降、変位の急増が認められる。なお、168 ステップにおいて、せん断補強筋の降伏が発生している。せん断補強筋の初期降伏箇所を図 5-24 に示す。

図 5-25 に、各ステップにおけるひび割れ図を示す。

ひび割れ図に着目すると、169 ステップまでは、荷重の増加に伴って徐々にひび割れが進展していくが、169 ステップ以降は、斜めひび割れが進展する様相を示している。したがって、169 ステップ以降の変位の発生は、斜めひび割れの進展に伴うものであると判断される。

以上のとおり、評価対象部材（側壁）に対する材料非線形解析では、斜めひび割れの進展によりせん断破壊に至ることを考慮し、169 ステップ（図中の青丸）をせん断耐力発生時の状態として設定する。

また、図 5-26 に、各ステップにおける変形図を示す。

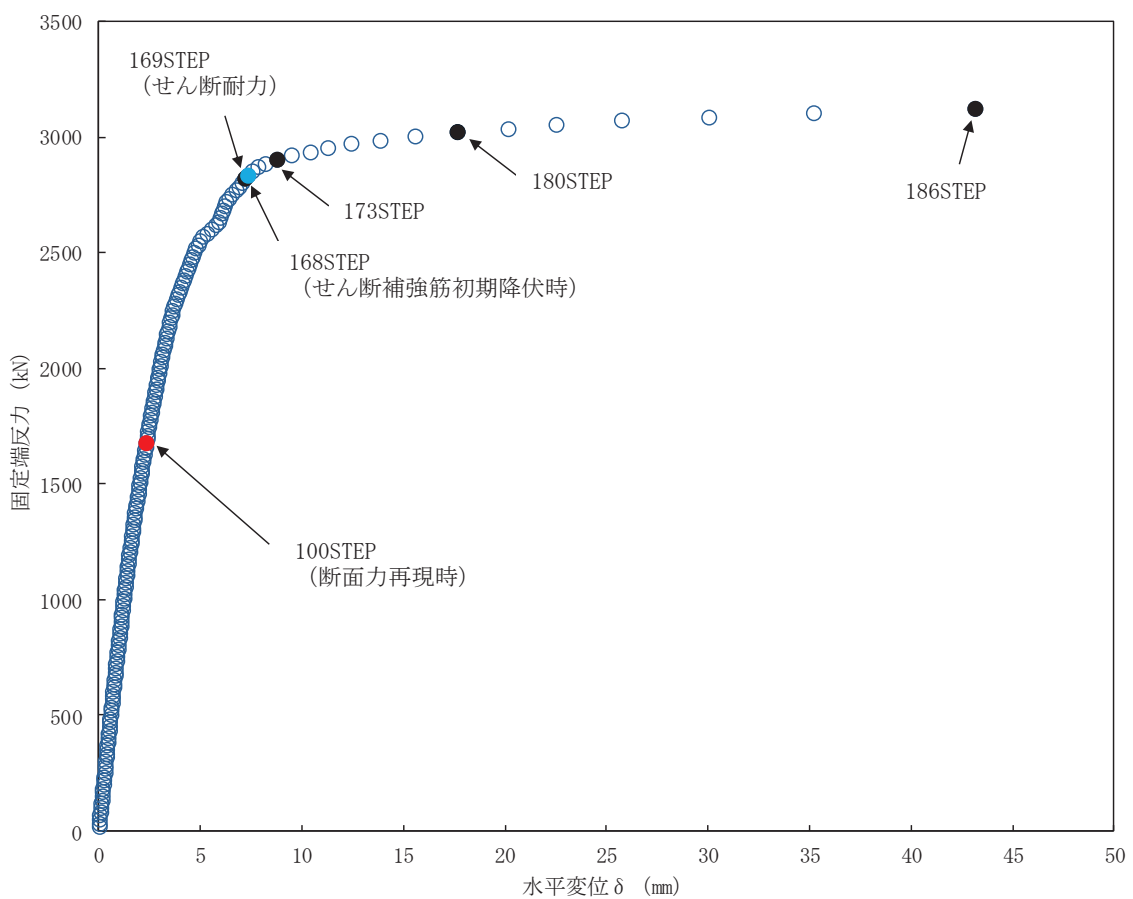


図 5-23 荷重一変位曲線  
(側壁, 解析ケース③, S s - N 1 (++) )

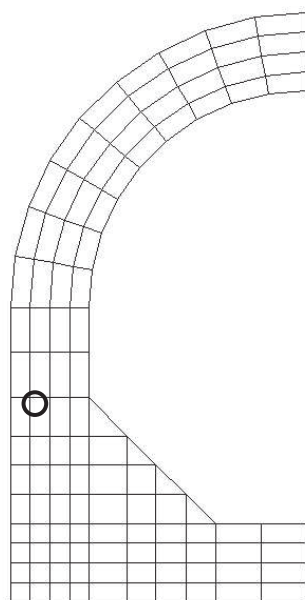


図 5-24 せん断補強筋の初期降伏箇所  
(側壁, 解析ケース③, S s - N 1 (++) 168STEP)

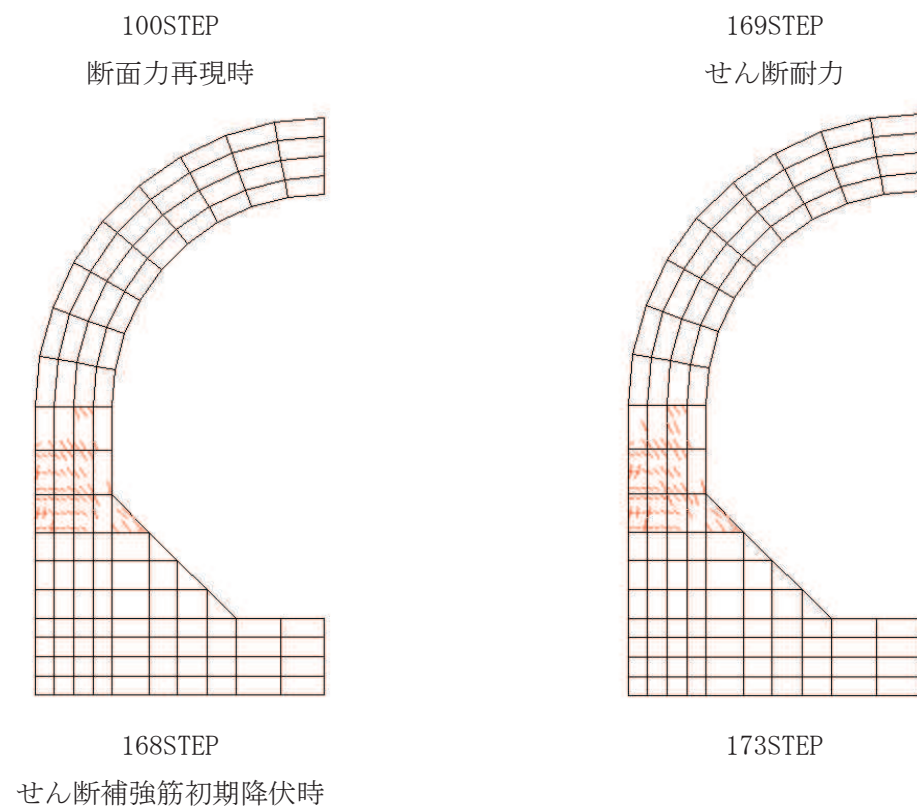
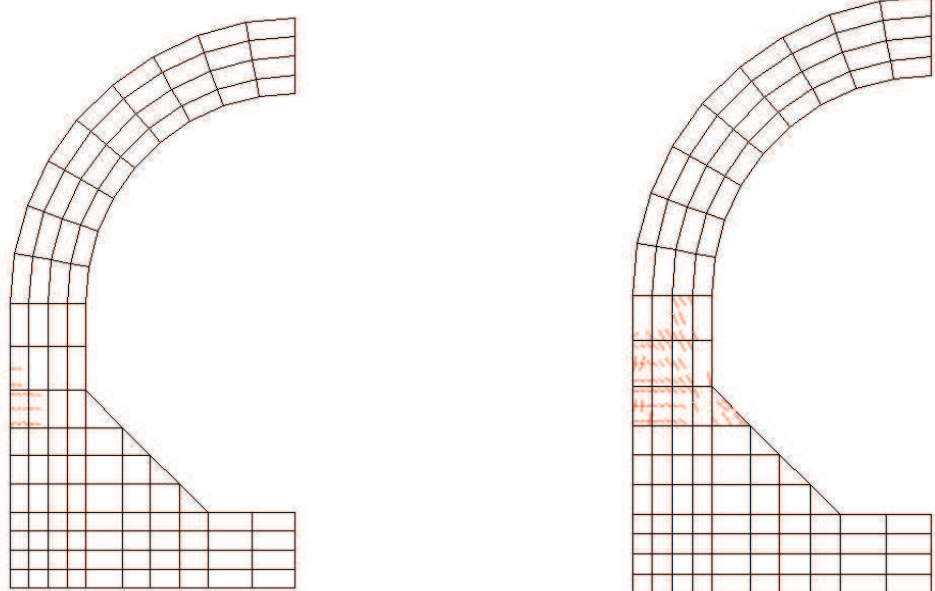


図 5-25(1) 各ステップにおけるひび割れ図  
(側壁, 解析ケース③, S s - N 1 (++) )

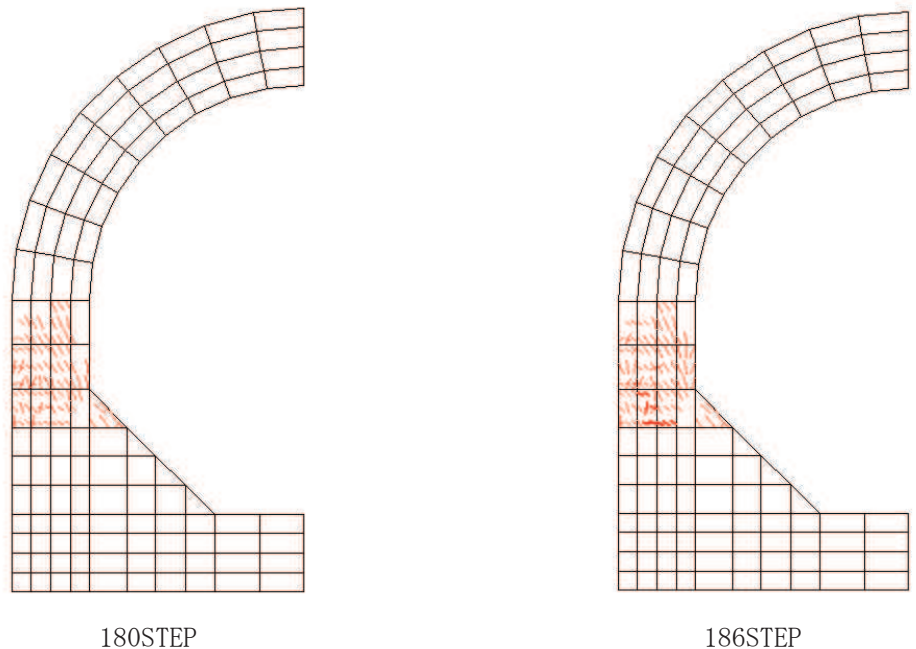


図 5-25(2) 各ステップにおけるひび割れ図  
(側壁, 解析ケース③, S s - N 1 (++) )

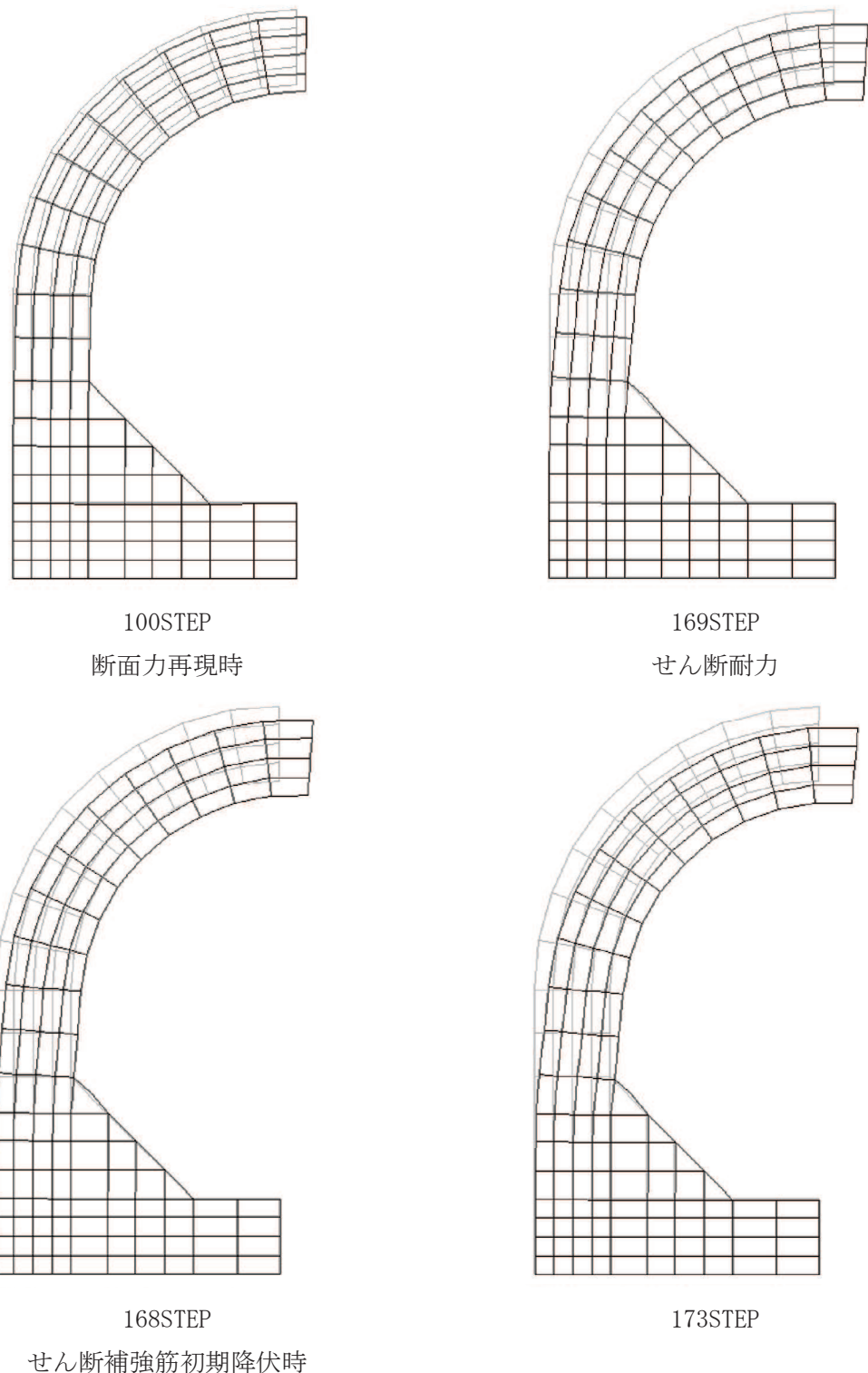
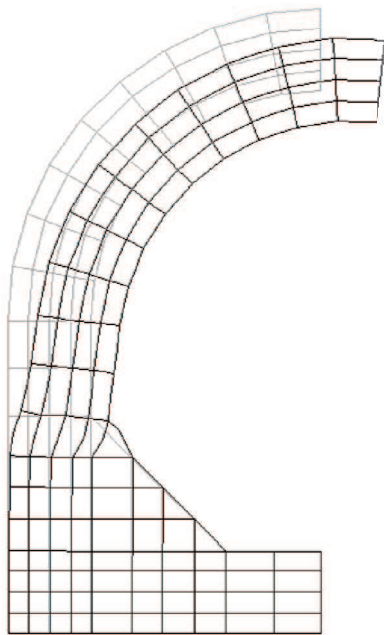


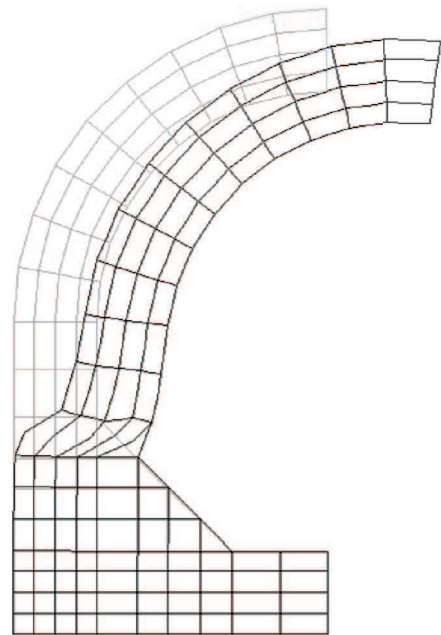
図 5-26(1) 各ステップにおける変形図

(側壁, 解析ケース③, S s - N 1 (++) )

変形倍率 ( $\times 20$ )



180STEP



186STEP

変形倍率 ( $\times 20$ )

図 5-26(2) 各ステップにおける変形図  
(側壁, 解析ケース③, S s - N 1 (++) )

#### ロ. 底版の評価結果

評価対象部材（底版）における荷重－変位曲線を図 5-27 に示す。同図は、評価対象部材において最も厳しい照査値となる地震動と解析ケースの組合せ（解析ケース④、地震動 S s - N 1 （++））の結果を示している。

図中の赤丸で示した 100 ステップは、地震応答解析（部材非線形解析）において得られた断面力図を再現した状態である。143 ステップ以降、変位の急増が認められる。なお、155 ステップにおいて、せん断補強筋の降伏が発生している。せん断補強筋の初期降伏箇所を図 5-28 に示す。

図 5-29 に、各ステップにおけるひび割れ図を示す。

ひび割れ図に着目すると、143 ステップまでは、荷重の増加に伴って徐々にひび割れが進展していくが、143 ステップ以降は、斜めひび割れが急激に進展する様相を示している。したがって、143 ステップ以降の変位の発生は、斜めひび割れの進展に伴うものであると判断される。

以上のとおり、評価対象部材（底版）に対する材料非線形解析では、斜めひび割れの進展によりせん断破壊に至ることを考慮し、143 ステップ（図中の青丸）をせん断耐力発生時の状態として設定する。

また、図 5-30 に、各ステップにおける変形図を示す。

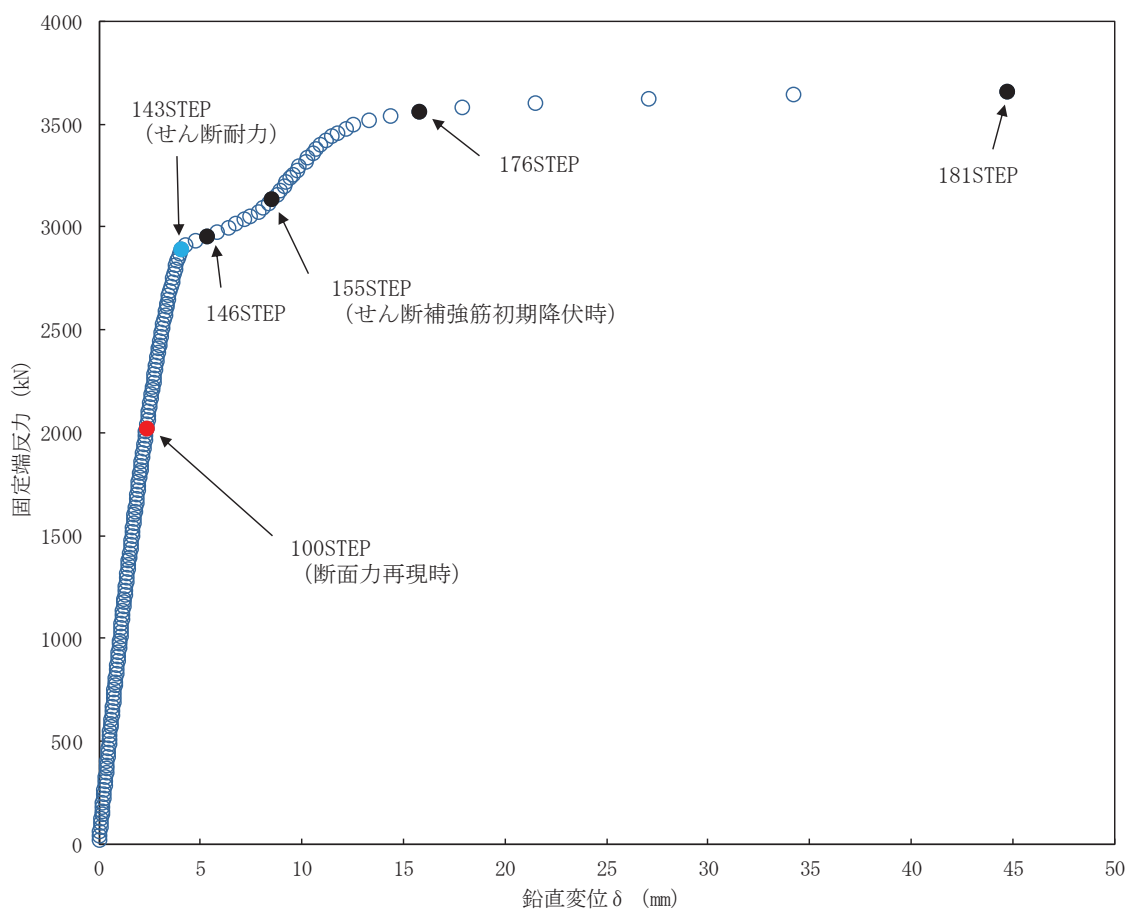


図 5-27 荷重-変位曲線  
(底版, 解析ケース④, S s - N 1 (++) )

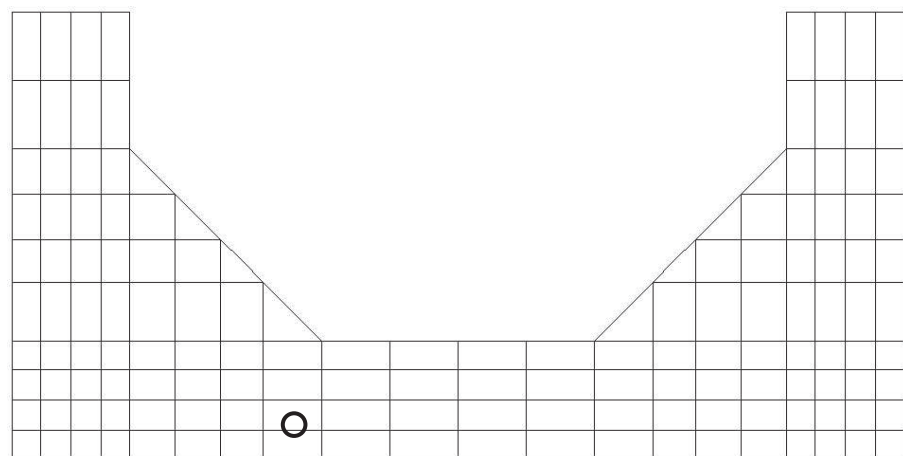


図 5-28 せん断補強筋の初期降伏箇所  
(底版, 解析ケース④, S s - N 1 (++) 155STEP)